Göteborgs Stad

SWECO

PM GEOTEKNIK

GÖTEBORG STAD

Geoteknisk utredning för ändring av detaljplaner för järnvägstunneln Västlänken mellan Gullbergsvass och Almedal (0486/13)

UPPDRAGSNUMMER: 2305 478-810



GÖTEBORG **2014-11-10, REV A 2015-06-11**

Sweco Civil AB
Geoteknik

Sweco
Gullbergs Strandgata 3
Box 2203
SE-403 14 Göteborg, Sverige
Telefon +46 (0)31 627500
Fax +46 (0)31 627722
www.sweco.se

Sweco Civil AB
Org.nr 556507-0868
Styrelsens säte: Stockholm

SWECO

INNEHÅLLSFÖRTECKNING

1	**Uppdragsinformation**	**3**
2	**Ändring av detaljplaner för järnvägstunneln Västlänken**	**3**
3	**Objektsbeskrivning**	**4**
4	**Underlag**	**4**
4.1	Kartor, ortofoto, mätdata mm	4
4.2	Koordinat- och höjdsystem	4
4.3	Geotekniska undersökningar	4
5	**Översiktlig geoteknisk beskrivning av sträckan Gullbergsvass-Almedal**	**5**
5.1	Fyllning	6
5.2	Lera	7
5.3	Friktionsjord	8
5.4	Sättningsförhållanden	8
5.5	Stabilitetsförhållanden	8
5.6	Bergteknik	9
5.7	Karakteristiska vattenstånd	9
6	**Geoteknisk beskrivning av delområden längs järnvägstunneln Västlänken**	**10**
6.1	Linje Station Centralen	10
6.2	Linje Station Centralen – Station Haga	21
6.3	Linje Station Haga	30
6.4	Geotekniska parametrar	34
6.5	Geohydrologiska förhållanden	36
6.6	Linje Station Haga – Station Korsvägen	39
6.7	Linje Station Korsvägen	41
6.8	Geotekniska parametrar	44
6.9	Linje Station Korsvägen - Almedal	47
7	**Bergteknik**	**53**
8	**Slutsats**	**54**
8.1	Stabilitet	54

BILAGOR

1 Översiktlig jordlager- och bergprofil
2 Sammanställning av parametrar
3 Stabilitet befintliga förhållanden, delområde Stn Centralen
4 Stabilitet befintliga förhållanden, delområde Stn Centralen – Stn Haga
5 Stabilitet befintliga förhållanden, delområde Stn Haga
6 Stabilitet befintliga förhållanden, delområde Stn Korsvägen – Almedal
7 PM Bergteknik (dat 2015-04-15)

Ritningar

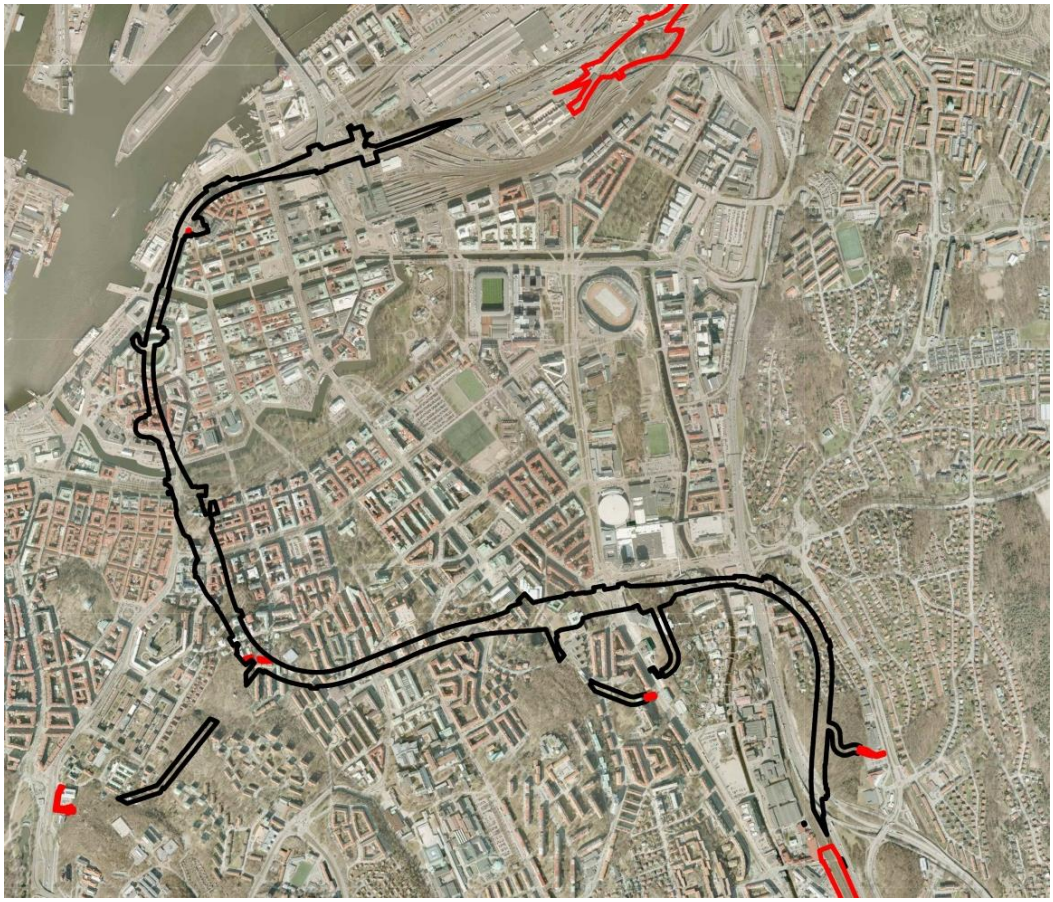
AKF05-08-110_005 till AKF05-08-110_023
Planer, geotekniska undersökningar skala 1:1000 (A1)

1 Uppdragsinformation

Uppdrag	Geoteknisk utredning för ändring av detaljplaner för järnvägstunneln Västlänken mellan Gullbergsvass och Almedal
Plats	Göteborg
Uppdragsgivare	Göteborg Stad
Uppdragsnr	2305478-810
Konsult	Sweco Civil AB / Golder Associates AB
Uppdragsledare	Karolina Sanell
Ansvarig geotekniker	Urban Högsta
Handläggare	Peter Damgaard

2 Ändring av detaljplaner för järnvägstunneln Västlänken

På uppdrag av Göteborg Stad, Stadsbyggnadskontoret, har Sweco Civil AB (med Golder Associates AB som underkonsult) utfört en geoteknisk utredning i samband med ändring av detaljplaner för järnvägstunneln Västlänken mellan Gullbergsvass och Almedal.



Figur 1 Översiktskarta för ändring av detaljplaner för järnvägstunneln Västlänken mellan Gullbergsvass och Almedal (svart områdesgräns, koncept 2014-11-10).

Syftet med den geotekniska utredningen är att klargöra de geotekniska förhållandena längs sträckan, samt utreda de befintliga stabilitetsförhållandena för området. Detta som underlag för ändring av detaljplanerna längs järnvägstunneln.

3 Objektsbeskrivning

Inom området planeras byggande av järnvägstunneln Västlänken och dess tekniska anläggningar.

4 Underlag

4.1 Kartor, ortofoto, mätdata mm

Som underlag för denna gotekniska utredning för detaljplan har nedanstående underlagsmaterial nyttjats. Huvuddelen av underlagsmaterialet har erhållits från Göteborgs Stad.

- Digital primärkarta med 0,5 m ekvidistans (AutoCad-fomat).
- Terrängmodell som är upprättad för projekteringen av Västlänken
- Ortofoton över aktuellt planområde
- Stadsbyggnadskontorets detaljerade jordartskarta från år 2006

4.2 Koordinat- och höjdsystem

Ny detaljplan upprättas i koordinatsystem SWEREF 991200 och höjdsystem RH2000. Samtligt underlagsmaterial har erhållits eller transformerats till dessa system.

4.3 Geotekniska undersökningar

I samband med framtagandet av järnvägsplan och systemhandling för Västlänken har ett stort antal geotekniska fält- och laboratorieundersökningar genomförts under åren 2012-2013. Undersökningarna redovisas i följande handling:

- PM F 05 – 004, Markteknisk undersökningsrapport, Geoteknik (MUR Geoteknik), Västlänken Trafikverket, daterad 2013-09-30, reviderad 2014-06-19, projektnummer 2305478.

Inventering av tidigare utförda geotekniska undersökningar har genomförts för området och redovisas i följande handling:

- PM F 05 – 001, Inventering tidigare utförda geotekniska undersökningar, Västlänken Trafikverket, daterad 2013-07-05, rev 2014-06-19, projektnummer 2305478.

Av de tidigare utförda undersökningarna kan stabilitetskarteringen av befintliga förhållanden inom Göteborgs stad (från år 2011) speciellt nämnas.

De undersökningar som har utförts för järnvägsplane- och systemhandlingsskedet samt tidigare utförda undersökningar som ligger till grund för denna utredning redovisas på planritningar AKF05-08-110_005 till AKF05-08-110_023.

För att klarlägga förutsättningarna kring sättningsproblematiken inom området har kartläggning av befintliga byggnader och anläggningar och dess grundläggning genomförts.

Tidigare utförda sättningsuppföljningar av befintliga byggnader, anläggningar och i mark har samlats in och analyserats. Befintliga grundvattenrör och portrycksstationer har kartlagts och mätdata för dessa har samlats in.

Inom projekt Västlänken har nya grundvattenrör och portrycksstationer samt nya mätdubbar i mark och byggnader samt bälgsättningsmätare installerats. Sättningsuppföljning av nya och befintliga mätdubbar inom området pågår och planeras att fortsätta under hela projektet.

I efterföljande avsnitt 5 ges en översiktig generell beskrivning av de geotekniska förutsättningarna längs hela sträckan. I avsnitt 6 beskrivs respektive delområde längs sträckningen mer i detalj.

5 Översiktlig geoteknisk beskrivning av sträckan Gullbergsvass-Almedal

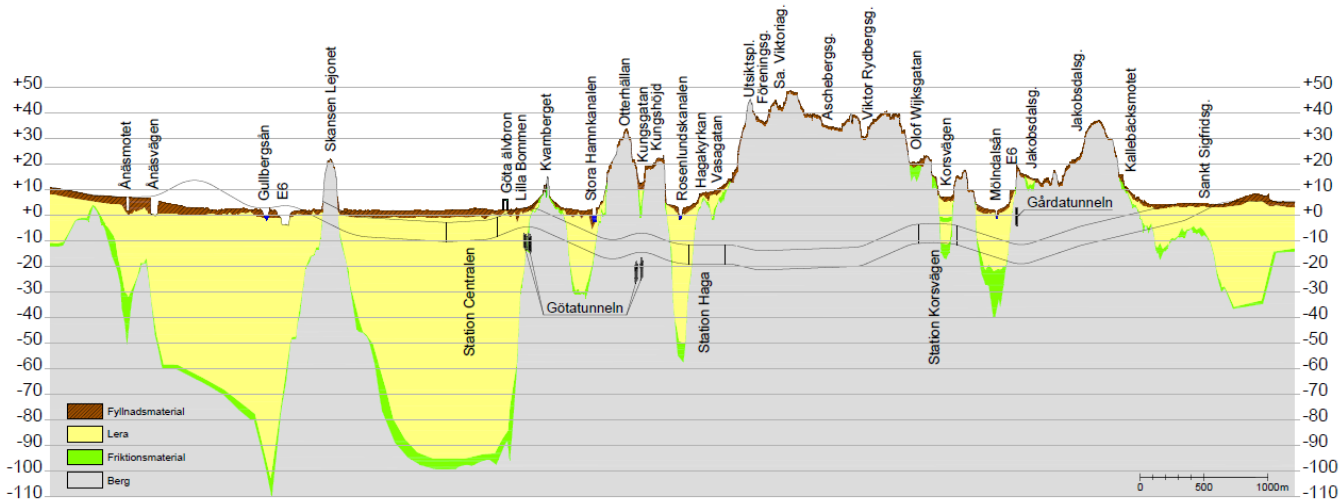
Området sträcker sig genom Göteborgs centrala delar från Gullbergsvass i norr via Göteborgs central, Packhusplatsen, Otterhällan, Haga, Korsvägen, Örgryte till Almedal i söder.



Figur 2 Översikt Västlänken.

Göteborg karaktäriseras av låglänta områden längs med Göta älv och övriga vattendrag samt av något mer kuperade bergområden söder om centrala staden och öster om Mölndalsåns dalgång. Nivåskillnaden mellan de lågt och högre liggande områdena är ungefär 40 m. Markförhållandena längs sträckan utgörs i huvudsak av hårdgjorda ytor och bebyggda områden.

Jordlagren i dalgångarna utgörs generellt överst av *fyllning* och därunder följer ett relativt mäktigt lager med *lera*. Leran vilar normalt på ett lager av grövre material, *friktionsjord,* innan berget tar vid. Inom de högre liggande partierna utgörs jordlagren i huvudsak av friktionsjord. Jordlagren framgår översiktligt av nedanstående jordlager- och bergprofil längs järnvägstunnelns sträckning, Figur 3.



Figur 3 Översiktlig jordlager- och bergprofil längs Västlänkens sträckning (se även Bilaga 1).

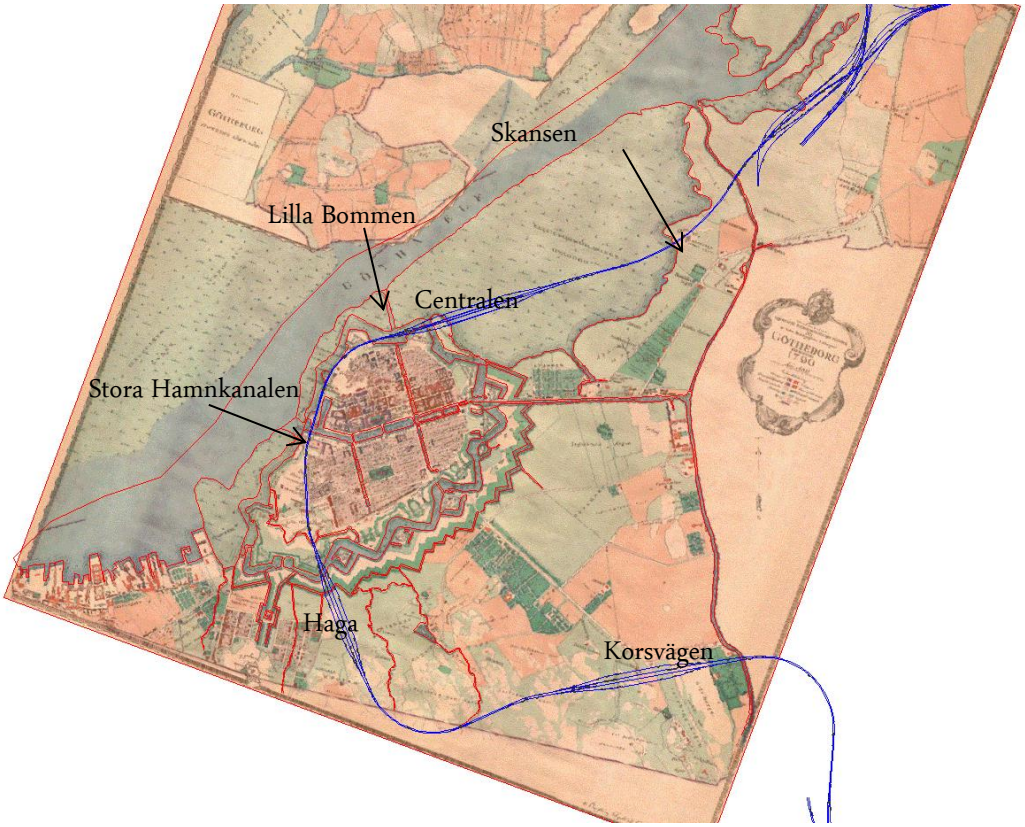
5.1 Fyllning

Jordlagren, inom de jordtäckta områdena längs järnvägstunneln, utgörs normalt överst av cirka 1 till 3 meter mäktig fyllning. Inom Station Centralen, vid Lilla Bommen, Packhuskajen och Rosenlundskanalen kan dock fyllningen lokalt vara större och uppgå till cirka 5 till 7 meter.

Fyllningen består generellt överst av överbyggnadsmaterial för järnväg, vägar, gator och torg men även rivningsrester från äldre bebyggelse påträffas. Fyllningen på större djup härrör från 1800-talet då vattenområdena utanför stadens befästningar torrlades och började fyllas igen i takt med att staden växte. När stadens befästningar anlades på 1600-talet låg strandlinjen precis utanför Kvarnberget som omgärdades av vatten i väster, norr och öster, se Figur 4. I takt med att staden växte under 1800- och 1900-talet genomfördes omfattande torrläggning och utfyllnad i områdena Gullbergsvass, Centralen, Lilla Bommen och Packhusplatsen. Som fyllnadsmaterial användes främst muddermassor från älven och andra schakt- och rivningsmassor. Även Vallgraven grävdes om i syfte att anpassa vattendraget för transporter in och ut från stadskärnan.

Den äldre och djupare fyllningen som ofta utgörs av muddermassor eller schaktmassor och består av mer finkornig jord såsom organisk jord, lera, silt och sand men även rivnings- och trärester har använts som fyllnadsmaterial.

Stora delar av sträckan har varit bebyggt under lång tid och områdena har med tiden förändrats vilket innebär att det även finns grundrester i marken från tidigare verksamheter (exempelvis fundament, pålar och äldre grundläggning). Även rester från befästningarnas och kajmurarnas nedre delar (kajer tillhörande igenfyllda kanaler och hamnbassänger) finns kvar i marken under nuvarande gator och parkeringsytor.



Figur 4 Göteborg år 1790 samt Västlänkens sträckning (källa: Karta 1790 Göteborg från Jubileumsutställningen 1923, Stadsbyggnadskontorets arkiv)

5.2 Lera

Under fyllningen följer generellt en naturligt avlagrad lera med en hållfasthet som är mycket låg i den övre delen av jordprofilen och som ökar till medelhög mot djupet.

Lerans mäktighet varierar mycket längs sträckan, se Figur 3 och Bilaga 1. Stora lerdjup, 40 till 100 meter, förekommer i områdena Gullbergsvass, Göteborgs central och tillhörande spårområden, Lilla Bommen samt Rosenlund/Haga. Lerdjupen är ca 20 till 40 meter i området vid Korsvägen och Mölndalsåns dalgång söder om Örgrytevägen.

Leran längs järnvägssträckningen är generellt låg- till mellansensitiv. I området kring Korsvägen och Mölndalsån påträffas dock högsensitiv lera (kvicklera).

5.3 Friktionsjord

Under leran följer som regel ett lager friktionsjord med några meters mäktighet ovanpå berget. Där jorddjupen minskar och berget ligger nära markytan avtar generellt friktionsjordslagrets mäktighet (ca 0,5 till1,5 meter) eller saknas helt. Inom de högre liggande partierna där jorddjupen är mindre och berget ligger nära markytan utgörs jorden i huvudsak enbart av friktionsjord.

Inom området för Mölndalsåns dalgång underlagras leran av ett mer än 10 m mäktigt lager med friktionsjord.

Friktionsjorden består till stora delar av sand men även grövre material som grus, sten och block förekommer.

5.4 Sättningsförhållanden

Leran längs järnvägstunnelns sträckning är generellt känslig för ökad belastning (normalt till svagt överkonsoliderad). Detta medför att ökad belastning från exempelvis uppfyllnader eller grundvattennivåsänkningar kan leda till sättningar.

De omfattande utfyllnader som har utförts i området, lasten från befintliga tunga äldre kohesionspålade byggnader samt grundvattennivåsänkning har genom åren orsakat sättningar i den underliggande leran. Inom stora delar av de lågt liggande områdena längs Västlänken pågår det marksättningar idag och flera byggnader och anläggningar inom området har fått sättningar. Pågående sättningshastighet i marken är generellt cirka 0,2 till 0,5 cm/år men där det lokalt förekommer större uppfyllnader, exempelvis i området kring Packhusplatsen, Lilla Bommen och Haga, är sättningshastigheten upp mot 1 cm/år.

5.5 Stabilitetsförhållanden

Stabilitetsförhållandena har utretts längs järnvägstunnelns sträckning. De områden som har identifierats som intressanta att studera är bland annat utmed Göta älv (Lilla Bommens hamn och Packhuskajen), Stora Hamnkanalen, Rosenlundskanalen och Mölndalsån.

Sammanfattningsvis är stabilitetssituationen generellt tillfredställande för befintliga förhållanden längs järnvägstunnelns sträckning och uppfyller rekommenderad säkerhetsnivå enligt IEG:s rapport 4:2010. Ändringen av detaljplanerna möjliggör byggandet av järnvägstunneln men i övrigt är det befintliga detaljplaner och planbestämmelser som gäller. Efter utbyggnaden av järnvägstunneln återställs marken i enlighet med gällande detaljplaner och planbestämmelser (avseende exempelvis markanvändning ovan mark, marknivåer, slänters utformning etc) vilket innebär att stabilitetssituationen efter utbyggnad ej förändras jämfört med befintliga förhållanden.

5.6 Bergteknik

Längs Västlänkens sträckning finns ett flertal fasta partier med berg i dagen eller ytnära berg. Dessa områden är Gullberget med Skansen Lejonet, Kvarnberget, Otterhällan/Kungshöjd, Landala/Johanneberg, Liseberget samt Örgryte/Almedal.

Berget längs järnvägssträckningen består nästan uteslutande av gnejs. Mindre områden med pegmatit, en mycket grovkornig granitisk bergart, och metabasit, förekommer också längs sträckan. Ett större område av metabasit förekommer vid Gullberget (Skansen Lejonet). Berget i vilket Västlänken kommer att anläggas lämpar sig generellt väl för bergbyggnad. Svaghetszoner förekommer vanligtvis som enskilda lokala strukturer och följer oftast huvudstrukturen, foliationen, i bergmassan. Svaghetszoner har främst identifierats i området under Kungsgatan samt vid området runt Korsvägen. Området vid Korsvägen uppvisar generellt sämre bergkvalitet än resterande sträcka, vilket kan indikera förekomst av en större svaghetszon. Med avseende på genomsläpplighet, motsvarar bergets egenskaper ett normalt västsvenskt berg.

5.7 Karakteristiska vattenstånd

Karakteristiska vattenstånd (lägsta lågvatten samt medellågvatten) i Göta älv, Stora Hamnkanalen, Vallgraven/Rosenlundskanalen samt Mölndalsån redovisas i nedanstående tabeller.

Tabell 1 Karakteristiska vattenståndsnivåer(lägsta lågvatten samt medellågvatten) (höjdsystem, RH2000) i Göta älv, Stora Hamnkanalen och Vallgraven/Rosenlundskanalen

MLW	-0,58
LLW (100 år)	-1,00

Tabell 2 Karakteristiska vattenståndsnivåer(lägsta lågvatten samt medellågvatten) (höjdsystem, RH2000) i Mölndalsån

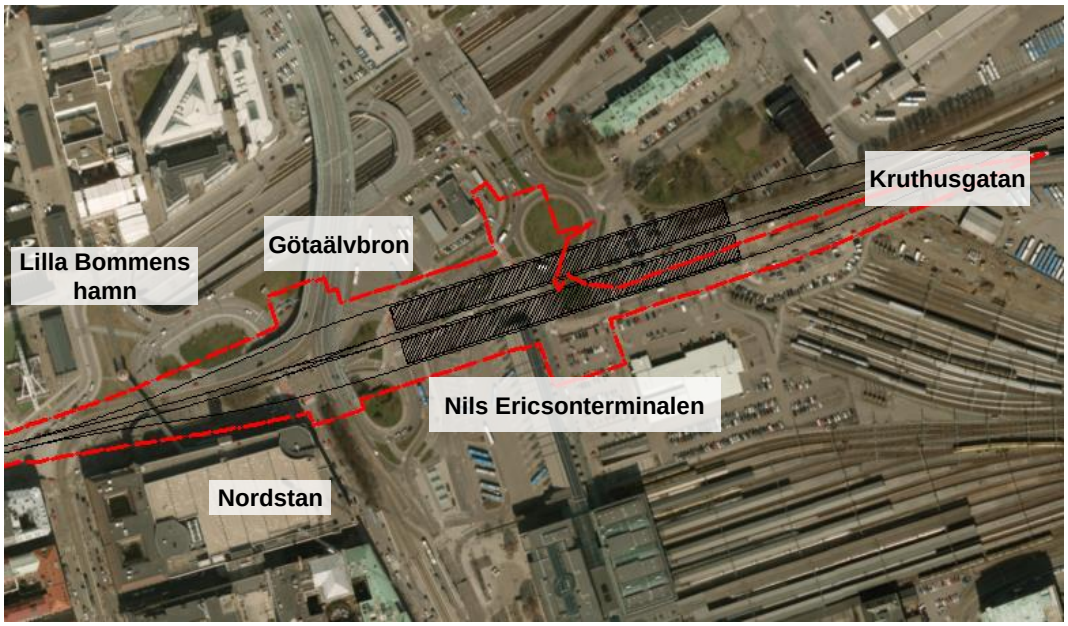
MLW	+1,25
LLW (100 år)	+1,05

6 Geoteknisk beskrivning av delområden längs järnvägstunneln Västlänken

6.1 Linje Station Centralen

6.1.1 Topografi och områdesbeskrivning

Marken inom området är relativt plan, med undantag för tillfartsramperna till Götaälvbron. Längs Kruthusgatan, omkring Nils Ericsonsterminalen och Kanaltorgsgatan är nivån på markytan ca +2,0 till +2,5. Längs Sankt Eriksgatan stiger markytan uppåt, vid korsningen med Torggatan (km 457+800) är marknivån ca +5. Tillfartsramperna till Götaälvbron ansluter till bron på nivå ca +7,2.



Figur 5 Översikt, Linje Station Centralen (områdesgräns, koncept 2014-11-10).

Området för järnvägstunneln utgörs av utfyllt vattenområde. När stadens befästningar anlades på 1600-talet låg strandlinjen precis norr och öster om dagens Nordstan, se Figur 6. Östra Hamnkanalen (nuvarande Östra Hamngatan) mynnade där gästhamnen vid Lilla Bommen ligger idag. Området vid Lilla Bommen och Centralen torrlades och fylldes ut under mitten av 1800-talet, Även vallgraven mellan befästningsverken och Hultmans holme fylldes under mitten av 1800-talet.

Källa, Jubileumsutställningen 1923



Göteborg år 1820



Göteborg år 1860



Göteborg år 1890



Göteborg år 1921 (med 1790 års karta inlagd i bakgrunden)

Figur 6 Historiska kartor som visar utredningsområdets utveckling och utfyllnader under 1800-talet.

Den inre delen av hamnbassängen vid Lilla Bommen och Östra Hamnkanalen fylldes igen 1936 och grundrester från de ursprungliga kajmurarna finns kvar under nuvarande gata.

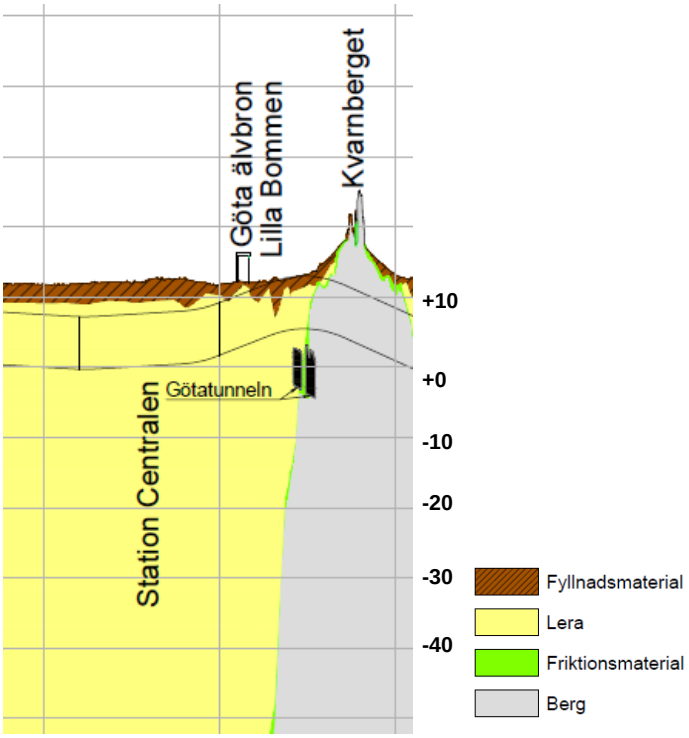


Figur 7 Igenfyllning av Östra Hamnkanalen 1936, med Börsen till vänster i bild (källa: Stadsmuseets fotoarkiv)

6.1.2 Jordlagerbeskrivning

Jordlagerförhållanden inom planområdet domineras av mäktiga jordlager (upp mot 100 m). Jordmäktigheterna avtar dock snabbt i anslutning till Kvarnberget, se nedanstående översiktliga jordlagerprofil längs tunnelns sträckning genom området för station Centralen (Figur 8).

Jordlagren utgörs generellt överst av *fyllning.* De naturligt avsatta jordlagren består av *lera* som vilar på *friktionsjord* ovan *berg*.



Figur 8 *Översiktlig jord- och bergprofil längs järnvägstunneln sträckning för området mellan Kruthusgatan i öster och Kvarnberget i väster.*

Fyllning

Fyllnadsmäktigheterna är ca 2,5-3 m öster om Nils Ericsonterminalen, vilket motsvarar ner till nivåerna ca -0,9 till -1,2. Inom den igenfyllda vallgraven vid det nordöstra hörnet av köpcentrumet Nordstan och norr om den västra tillfartsrampen till Götaälvbron uppgår fyllnadsmäktigheterna till närmare 5-6 m, med en nivå för ursprunglig botten på -3 till -3,5.

Vid Kanaltorgsgatan varierar fyllnadsmäktigheterna något mer mellan utförda borrpunkter men bedöms generellt till ca 2-3 m, innebärande att överkant för naturliga sediment är +0,5 till -0,5. Inom den igenfyllda Östra Hamnkanalen uppgår fyllnadsmäktigheterna till närmare 5-6 m, med en nivå för ursprunglig botten på -3 till -3,5. Inom den igenfyllda inre delen av Lilla Bommens hamnbassäng är fyllnadsmäktigheterna upp mot 7 m, vilket motsvarar en ursprunglig bottennivå på -4 till -4,5.

Fyllningsmaterialet utgörs generellt överst av ca 1-2 m mäktigt lager med sten, grus, sand, gatsten, makadam men även rivningsrester som härrör från 1900-talet. Därunder följer finkornigare material såsom sand, silt och lera med tegel-, trä- och glasrester (som härrör från mudder- och schaktmassor från 1800-talet) samt grundrester från tidigare byggnadsverk. Även organisk jord förekommer i den äldre fyllningen. Även Östra Hamnkanalen och Lilla Bommens hamnbassäng fylldes igen med grus, sand, silt, lera, tegel och trä. Grundrester och murblock från de ursprungliga kajmurarna finns kvar i marken.

Lera

Under fyllningen följer en naturligt avsatt lera. Leran närmast under fyllningen är av torrskorpekaraktär (med mäktighet ca 1-2 m, till ca 3-5 m djup). Utförda CPT-sonderingar visar på en homogen lera utan någon förekomst av vattenförande skikt. Sonderingar har utförts till stopp i ett flertal punkter inom det aktuella området. Sonderingar har utförts till stopp i ett flertal punkter inom det aktuella området. Sonderingar som är utförda till stopp visar att lerans mäktighet är ca 85-100 m i östra delen av området, inom större delen av stationsläget. Vid korsningen med Östra Hamngatan grundar det snabbt upp och innan korsningen med Götatunneln påträffas underkant lera på nivån ca -26. Efter korsningen med Götatunneln är jordmäktigheten ca 2 m och utgörs endast av fyllningsmaterial.

Friktionsjord

Under leran följer som regel ett lager friktionsjord med några meters mäktighet som vilar på berget. Där berget grundar upp i västra delen av området är friktionsjordslagret tunt (0,5-1,5 m) eller saknas helt.

Berg

Bergnivåerna ligger på ca -85 till -100 strax öster om korsningen med Östra Hamngatan. Väster om korsningen med Östra Hamngatan grundar berget snabbt upp till nivån ca – 28 innan passagen av Götatunneln. Efter passagen med Götatunneln påträffas berget ca 2 m under markytan, vilket motsvarar nivån ca +3.

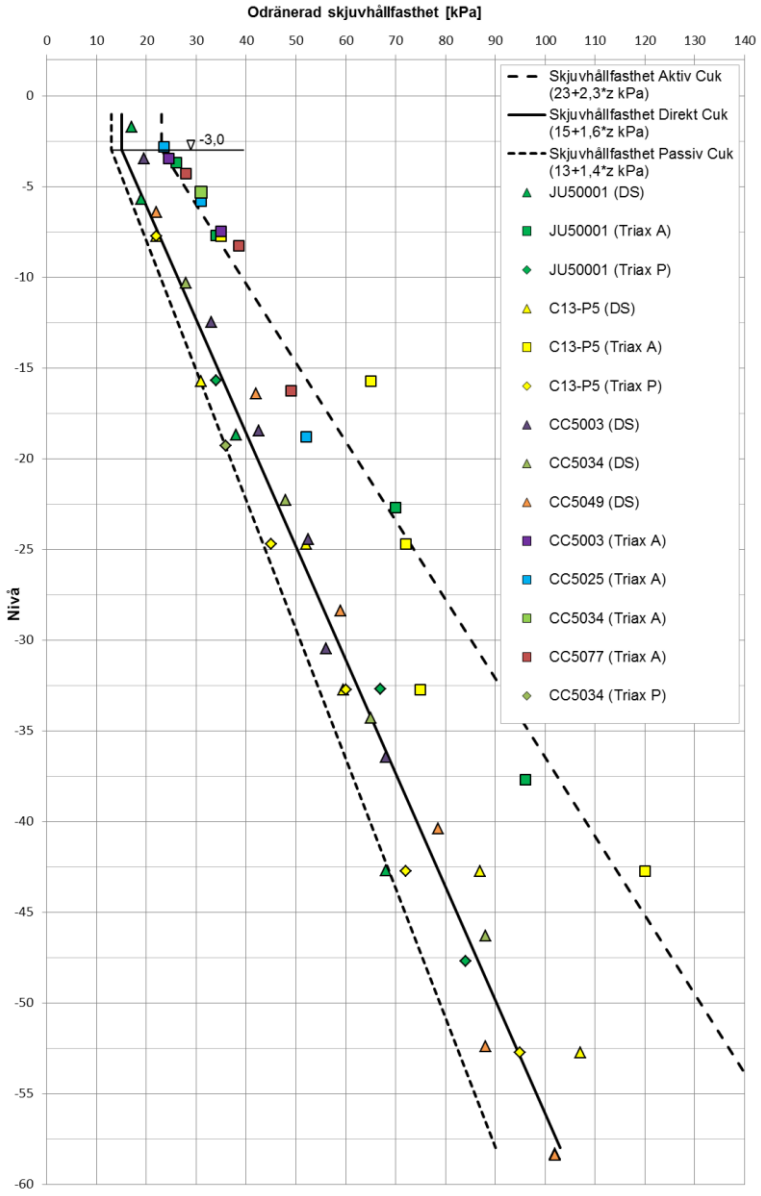
6.1.3 Geotekniska parametrar

Sammanställningar av bestämda geotekniska parametrar redovisas i Bilaga 2.

Lera, östra delen – från Kruthusgatan och fram till Götaälvbron

Lerans densitet är ca 1,6 t/m^3 ner till nivån -18, därunder ökar densiteten mot djupet till ca 1,7 t/m^3 vid nivån -60. Lerans vattenkvot är ca 60-90 %, där de högre värdena återfinns ner till ca 10 m djup. Leran är mellansensitiv med en sensitivitet som generellt varierar mellan 10-30.

Lerans odränerade skjuvhållfasthet (c_{uk}) är konstant 15 kPa ner till nivån -3 och därunder är hållfasthetstillväxten 1,6 kPa/m, se Figur 9.



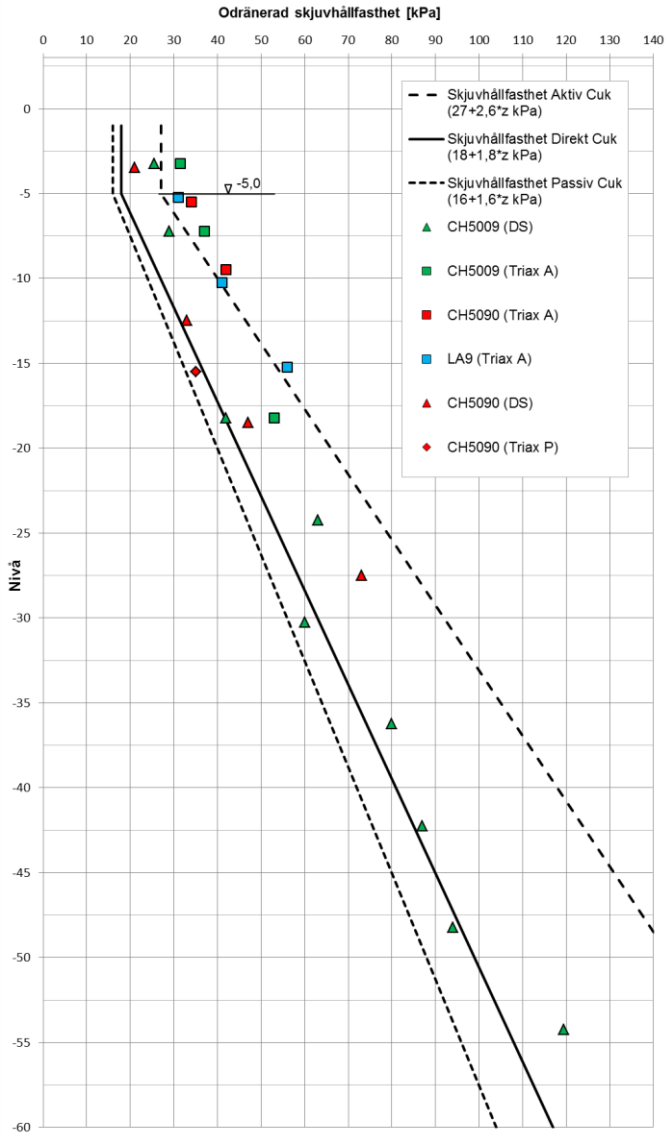
Figur 9 Skjuvhållfasthetsdiagram för området mellan Kruthusgatan och Götaälvbron.

Leran är på nivån -3 överkonsoliderad med ca 20 kPa (ca OCR=1,4). Överkonsolideringen ökar konstant mot djupet till att vara ca 100 kPa på nivå – 50 (ca OCR=1,3).

Lera, västra delen – mellan Götaälvbron och Kvarnberget

Under fyllningen är lerans densitet ca 1,55-1,65 t/m^3 där de lägre värdet återfinns inom den ytligare delen av lerprofilen, därunder ökar densiteten svagt mot djupet. Lerans vattenkvot är generellt ca 65 % ned till 40 m djup och minskar därunder något. Leran är mellansensitiv med en sensitivitet som varierar mellan 10-30.

Den odränerade skjuvhållfastheten (c_{uk}) är konstant 18 kPa ner till nivån -5 och därunder är hållfasthetstillväxten 1,8 kPa/m, se Figur 10.



Figur 10 Skjuvhållfasthetsdiagram för området mellan Götaälvbron och Kvarnberget.

Leran är på nivån -3 överkonsoliderad med ca 20 kPa (ca OCR=1,3). Överkonsolideringen ökar konstant mot djupet till att vara ca 140 kPa på nivå – 60 (ca OCR=1,35).

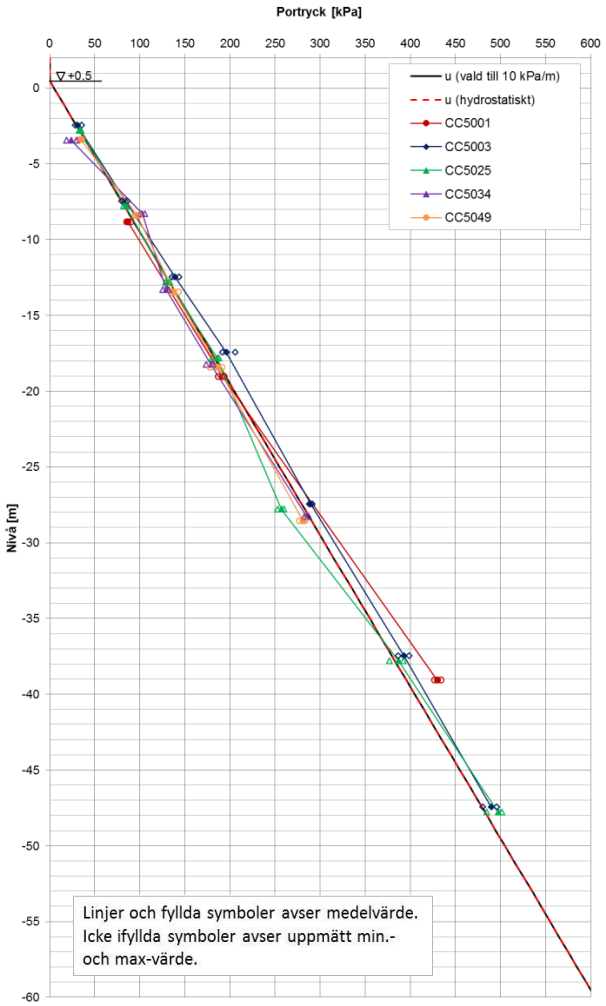
6.1.4 Geohydrologiska förhållanden

Grundvatten förekommer dels i de ytliga jordlagren, som till stor del består av fyllnadsmaterial, och dels i friktionsjordslagren under de mäktiga lerlagren.

Geohydrologiska förhållanden, östra och centrala delen – från Kruthusgatan och fram till Götaälvbron

Mätningar i det övre magasinet visar på att grundvattennivån ligger på nivåerna +0,5 till +1,5. Närheten till Göta Älv innebär att grundvattennivån i det övre magasinet styrs av nivåerna i älven.

Portrycksmätningar visar att portrycksnivån i leran motsvarar en grundvattenyta som ligger på nivån +0,5. Mätning på stora djup visar på något högre trycknivåer, vilket indikerar en tendens till övertryck (trycknivåer motsvarande en grundvattennivå på ca +1 till +4), se Figur 11.

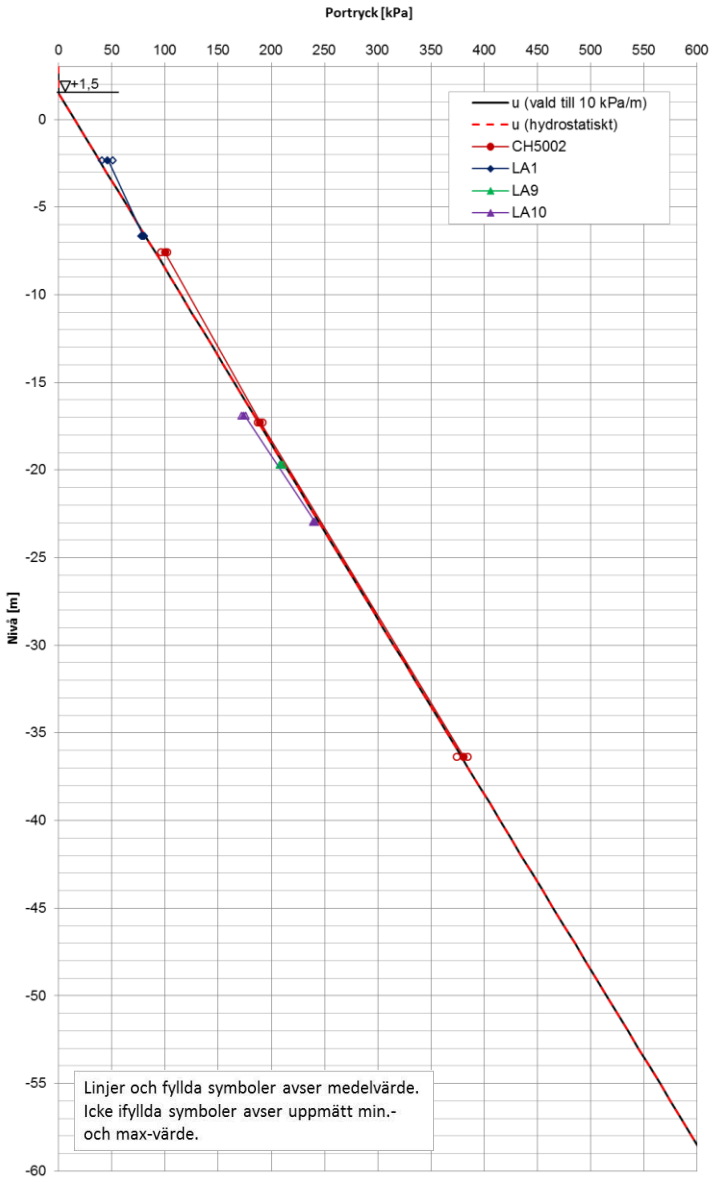


Figur 11 Uppmätta portrycksnivåer inom området mellan Kruthusgatan och Götaälvbron.

Geohydrologiska förhållanden, västra delen – mellan Götaälvbron och Kvarnberget

Mätningar i det övre magasinet visar på att grundvattennivån ligger på nivåerna +0,5 till +1,5. Närheten till Göta Älv innebär att grundvattennivån i det övre magasinet styrs av nivåerna i älven.

Portrycksmätningar visar att trycknivån i leran motsvarar en grundvattenyta på nivån +1,5 och en i princip hydrostatisk portrycksprofil, se Figur 12.



Figur 12 Uppmätta portrycksnivåer inom området mellan Götaälvbron och Kvarnberget.

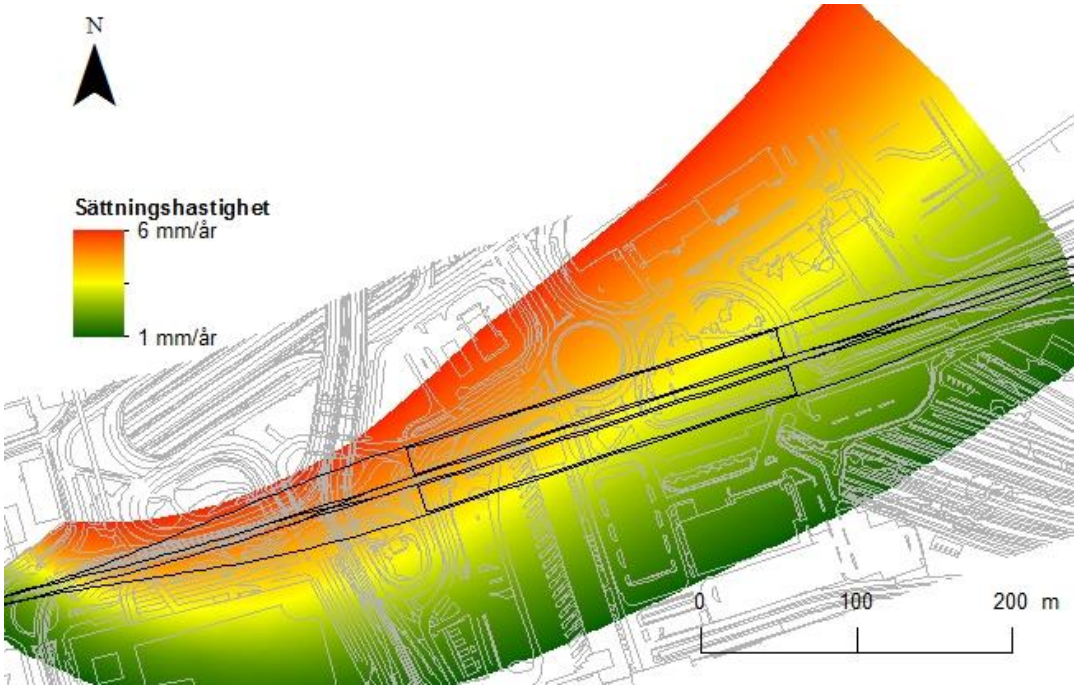
6.1.5 Sättningsförhållanden

Lerans spänningssituation i området kring station Centralen innebär att det sedan lång tid tillbaka pågår sättningar i marken. Sättningarna är främst orsakade av tillskotts-belastningar på leran, från de omfattande utfyllnaderna som är utförda i området.

Sättningsförhållandena skiljer sig en del inom området till följd av att lasterna från bland annat utfyllnader, igenfyllda kanaler och befästningsverk varierar inom området. Generellt ökar de pågående sättningar i riktning mot älven, i takt med att fyllnadsmäktigheterna ökar.

Utförda sättningsmätningar inom östra och centrala delarna av området visar att sättningar pågår med en sättningshastighet motsvarande är ca 2-4 mm/år. Sättningarna bedöms pågå ner till drygt 10 m djup. I området mellan Götaälvbron och Kvarnberget ökar sättningshastigheten något, till ca 4-6 mm/år. Sättningarna inom det området bedöms pågå ner till ca 15-20 m djup, se Figur 13.

Sättningsmätningar i gatumarken närmast norr om köpcentrumet Nordstan visar på en låg pågående sättningshastighet (<1 mm/år). Den lägre sättningshastigheten beror sannolikt på avlastning av jordlagren till följd av byggnadernas källarplan men även på grund av att detta område ligger innanför befästningsverken (det vill säga mindre fyllnadsmäktigheter).



Figur 13 Pågående marksättningar inom Station Centralen.

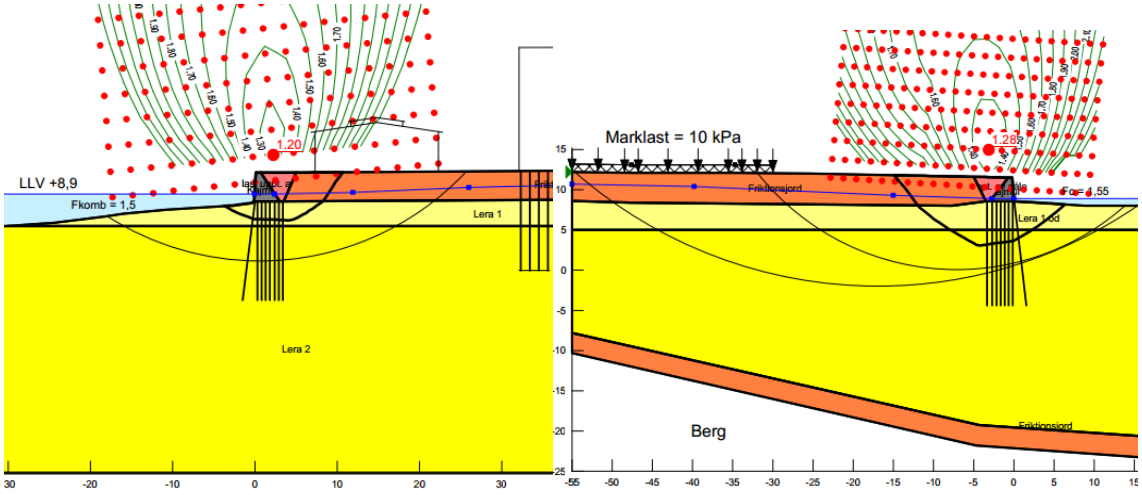
Inom området har sättningsuppföljning av byggnader och anläggningar pågått genom åren. Resultaten från sättningsmätningarna redovisas i separat PM F 05-020, daterad 2013-07-05, reviderad 2014-08-28. Nya mätpunkter/sättningsdubbar har även installerats

i samband med projekteringen av järnvägstunneln. Sättningsuppföljning av nya och befintliga mätpunkter pågår och planeras att fortsätta under hela projektet.

6.1.6 Stabilitetsförhållanden

Stabiliteten för befintliga förhållanden har kontrollerats såväl mot Götaleden som för riktigt långa glidytor med en utbredning till Göta älv och redovisas i Bilaga 3. Stabiliteten har även analyserats mot Lilla Bommens hamn vilket redovisas i Bilaga 4.

Analyserna visar att stabiliteten för området för järnvägstunneln är tillfredställande och uppfyller rekommenderad säkerhetsnivå för befintliga förhållanden enligt IEG rapport 4:2010. Säkerheten är dock något för låg (F_c=1,2-1,3 resp F_{komb}=1,2-1,3) för den östra respektive den västra kajen mot Lilla Bommens hamn för korta glidytor invid kajerna (utbredning ca 10-15 m), enligt nedanstående figur.



Figur 14 Stabilitetsanalys inom Lilla Bommens hamn (Sektion S114-K8 resp K9, komb analys).

För längre glidytor som når markytan ca 40-50 m bakom kajkant är säkerhetsfaktorn mot brott F_c=F_{komb} > 1,5.

Stabiliteten för Västlänken anses därmed inte påverkas av den lokalt något låga säkerheten närmast invid kajerna kring Lilla Bommens hamn då avståndet till detaljplaneområdet för Västlänken är ca 70 m.

6.2 Linje Station Centralen – Station Haga

6.2.1 Topografi och områdesbeskrivning

Området sträcker sig från Kvarnberget via Packhuskajen, Stora Hamnkanalen och Otterhällan till södra delen av Kungshöjd.



Figur 15 Översikt delområde Linje Station Centralen - Station Haga (områdesgräns, koncept 2014-11-10).

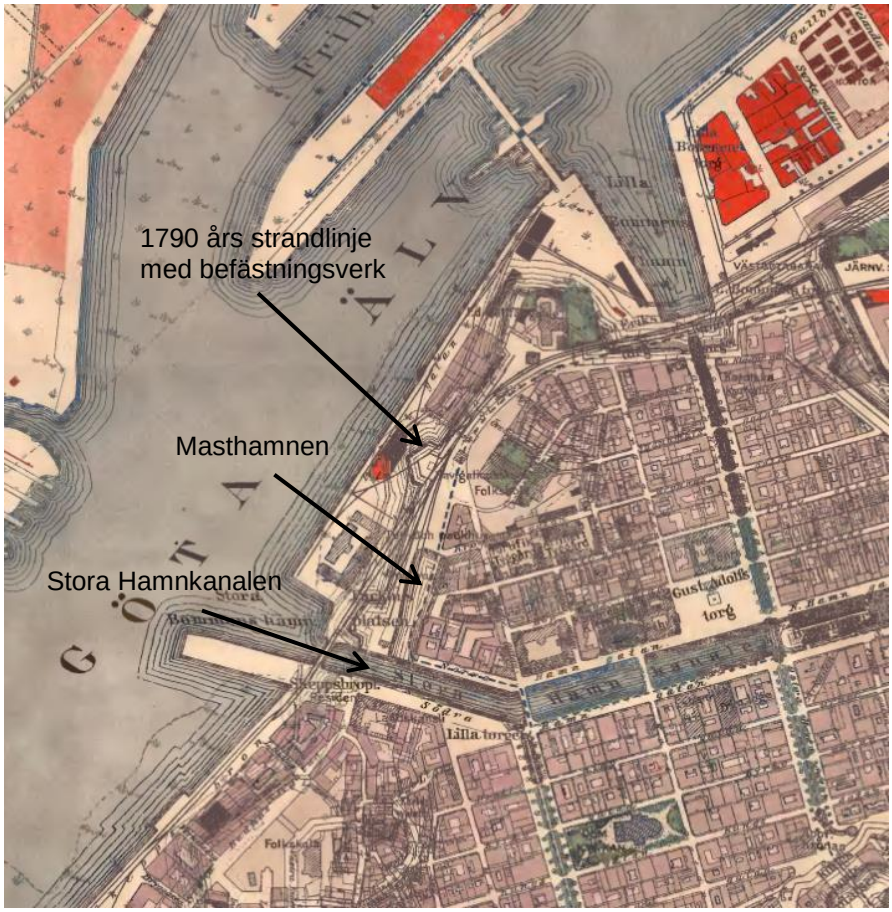
Markytan sluttar från nivån ca +21 uppe på Kvarnberget till nivån +2 till +2,5 nere vid de plana hårdgjorda ytorna längs Packhuskajen och Packhusplatsen. Till följd av omfattande sättningar genom åren ligger markytan något lägre inom området närmast kajkanten mot Göta älv och vid kasinot.

Stora Hamnkanalen är ca 30 m bred och ca 4,5 - 5,5 m djup i förhållande till omgivande markyta.

Söder om Stora Hamnkanalen och Södra Hamngatan stiger markytan upp mot Otterhällan till nivån ca +35 för att på efterföljande sträcka slutta nedåt mot Kungsgatan där marknivåerna är ca +12 till +12,5. Efter passagen med Kungsgatan stiger markytan till nivåerna +17 till +18 inom Kungshöjd.

Området som idag utgörs av Packhusplatsen och Packhuskajen var vattenområde fram till i början av 1800-talet, då området började fyllas ut. Före utfyllnaden låg strandlinjen precis utanför befästningarna nedanför Kvarnberget, se Figur 16. Innanför bastionen vid nuvarande Packhusplatsen låg det en rektangelformad, ca 35 m bred hamnbassäng (Kronans Masthamn), som anlades på 1600-talet. Hamnbassängen mynnade i Stora Hamnkanalen och sträckte sig norrut till i höjd med Kronhusgatan. Masthamnen fylldes igen i mitten av 1800-talet. Rester från befästningarnas nedre delar och rester från kajmurarna för Masthamnen finns kvar under nuvarande gator och parkeringsytor (redovisas av AKF 8).

Stora Hamnkanalen anlades under 1600-talet. Norra Hamngatans mur utgörs i stora drag av den ursprungliga muren medan muren på Södra Hamngatan byggdes om, dels under slutet av 1800-talet och dels under 2013 (i samband med byggandet av den nya spårvägssträckningen i Södra Hamngatan).



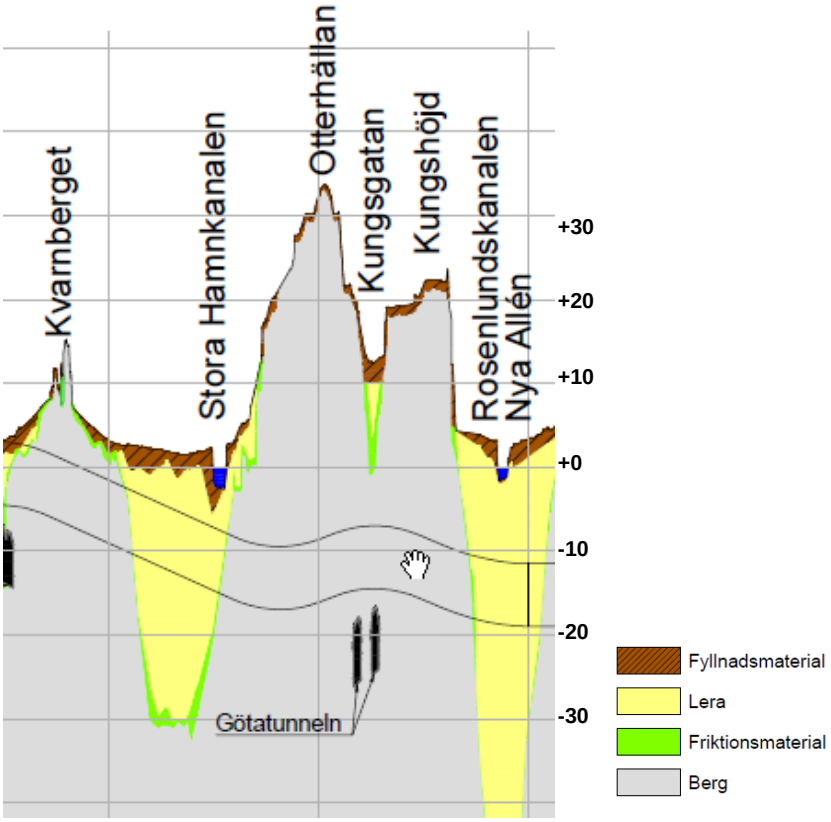
Figur 16 Historisk karta från 1921 med 1790 år karta inlagd i bakgrunden. Kartan från 1790 visar strandlinjen, befästningsverken och Masthamnen, som det såg ut innan utfyllnad för Packhuskajen genomfördes.

6.2.2 Jordlagerbeskrivning

Jordlagerförhållandena varierar stort inom planområdet, från berg i dagen (Kvarnberget, Otterhällan och Kungshöjd) till större jordmäktigheter (ca 35 m) vid Packhusplatsen. Jordmäktigheterna ökar generellt mot Göta älv och är som störst (ca 65 m) i anslutning till Packhuskajens sydvästra hörn. Söder om Otterhällan, vid korsningen Kungsgatan/Kungshöjdsgatan, återfinns en svacka i berget med jordmäktigheter kring ca 12 m (benämns ”Yxhugget”).

De varierande jordmäktigheterna framgår tydligt i nedanstående översiktliga jordlagerprofil längs tunnelns sträckning genom området, från Kvarnberget i norr till Kungshöjd i söder, se Figur 16.

Jordlagren utgörs generellt överst av *fyllning.* De naturligt avsatta jordlagren består av *lera* som vilar på *friktionsjord* ovan *berg*. Inom de högst liggande partierna, där jorddjupen är mindre och berget ligger nära markytan, utgörs de naturliga jordlagren i huvudsak av *friktionsjord* ovan *berg*.



Figur 17 Översiktlig jord- och bergprofil längs järnvägstunnelns sträckning mellan Kvarnberget och Kungshöjd.

Fyllning

Uppe på Kvarnberget, längs Sankt Eriksgatan, utgörs fyllningen av överbyggnadsmaterial med mäktighet ca 1 m ovan plansprängt berg.

Fyllnadsmäktigheterna inom området för Packhuskajen och Packhusplatsen ökar i riktning mot älven från ca 2 m till över 7 m närmast befintlig kajlinje, vilket innebär att överkant naturliga sediment återfinns på nivåer från ca +0 till – 6 närmast kajlinjen. Inom den igenfyllda Masthamnen är fyllnadsmäktigheterna ca 3 - 3,5 m, vilket motsvarar en ursprunglig bottennivå på -0,5 till -1.5. Den översta delen av fyllningen, ca 1-2 m mäktighet, utgörs generellt av vägöverbyggnadsmaterial bestående av sten, grus, sand, gatsten och rivningsrester som härrör från 1900-talet. Under överbyggnadsmaterialet följer en äldre fyllning som består av finkornigare material såsom sand, silt och lera med trä- och tegelrester. Den äldre fyllningen utgörs av mudder- och schaktmassor från utfyllnaderna som utfördes under 1800-talet. Det äldre fyllnadsmaterialets mäktighet varierar mellan ca 1-4 m där den största mäktigheten återfinns i anslutning till Casino Cosmopol.

Inom de högre liggande partierna söder om Stora Hamnkanalen utgörs jordlagren generellt överst av fyllning bestående av överbyggnadsmaterial, sand, grus och tegelrester. Fyllningen vilar vanligtvis direkt på berg och har en mäktighet på ca 1,5-2 m.

Fyllnadsmassor med en mäktighet uppemot ca 4 m har dock påträffats vid Kungshöjdsgatan.

Lera
Under fyllningen inom området för Packhusplatsen, Stora Hamnkanalen och Södra Hamngatan följer en naturligt avsatt lös till halvfast och svagt överkonsoliderad lera. Utförda CPT-sonderingar indikerar på en relativt homogen lera utan någon förekomst av vattenförande skikt. Från Kvarnberget och söderut, längs järnvägstunnelns sträckning, ökar lermäktigheterna till att vara ca 30-40 m strax norr om Stora Hamnkanalen. Därefter avtar lermäktigheterna åt söder för att vid Södra Hamngatan ha en mäktighet på ca 5-7 m.

Lermäktigheterna ökar generellt i riktning mot Göta älv och är som störst ca 65 m i anslutning till Packhuskajens sydvästra hörn. Vid norra delen av Packhuskajen, intill Operan, är lerans mäktighet ca 15 m.

Vid passagen av Kungsgatan/Kungshöjdsgatan utgörs de naturliga jordlagren, under fyllningen, av sandig siltig lera. I Kungsgatan är lermäktigheterna ca 2-4 m och i Kungshöjdsgatan är mäktigheterna ca 5-7 m. Lermäktigheterna avtar i nordlig och sydlig riktning från Kungsgatan.

Friktionsjord
Under leran följer ett fast lager friktionsjord där mäktigheterna inom området för Packhusplatsen generellt är ca 0,5 – 1,5 m. Friktionsjordens mäktighet ökar generellt i riktning mot Göta älv och Stora Hamnkanalen.

Vid Kungsgatan/Kungshöjdsgatan underlagras leran av ett lager friktionsjord som generellt utgörs av grusig siltig sand, sten och block. I Kungsgatan och i den norra delen av Kungshöjdsgatan är friktionsjordens mäktighet ca 10 m. Friktionsjordens mäktighet avtar i nordlig och sydlig riktning från Kungsgatan.

Berg
Berget är i dagen uppe på Kvarnberget, med bergnivåer uppemot ca +21. Berget stupar därifrån i nordvästlig, västlig och sydlig riktning för att vid Packhusplatsen ligga på nivåer kring -30 till -35. Strax norr om Stora Hamnkanalen grundar berget upp i riktning mot söder och precis norr om Residenset ligger bergytan på nivåer kring +0 till -4.

Bergnivåerna stiger från ca +5 inne på Residensets innergård upp till toppen av Otterhällan som ligger på ca +35. Berget sluttar därefter i sydlig riktning mot Kungsgatan där bergnivåerna är som lägst ca -6, i hörnet på byggnaden vid korsningen Kungsgatan/Kungshöjdsgatan. Efter passagen med Kungsgatan stiger bergytan i sydlig riktning till nivåer kring +20 längst i söder av Kungshöjd.

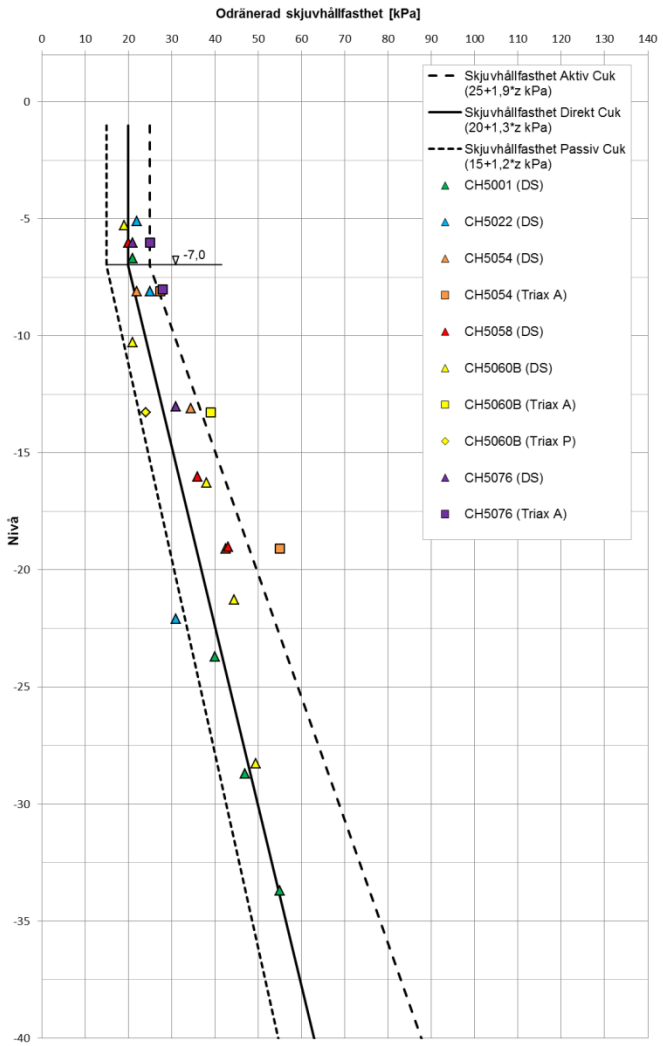
6.2.3 Geotekniska parametrar

Sammanställningar av bestämda geotekniska parametrar redovisas i Bilaga 2.

Inom området för Packhusplatsen/Stora Hamnkanalen är lerans densitet är ca 1,65 t/m³ ner till nivån -10 och därunder 1,6 t/m³. Det kan noteras att densiteten i leran i den övre delen av jordprofilen, ner till nivån -10, varierar en hel del mellan de olika borrpunkterna.

Lerans vattenkvot är ca 60-70 %. Vid Yxhugget är vattenkvoten i den sandiga, siltiga leran något lägre, ca 30 %. Leran är mellansensitiv med en sensitivitet som varierar mellan 8-20.

Inom området för Packhusplatsen/Stora Hamnkanalen är den odränerade skjuvhållfastheten (c_{uk}) konstant 20 kPa ner till nivån -7 och därunder är hållfasthetstillväxten 1,3 kPa/m, se Figur 18.



Figur 18 Skjuvhållfasthetsdiagram för området vid Packhusplatsen.

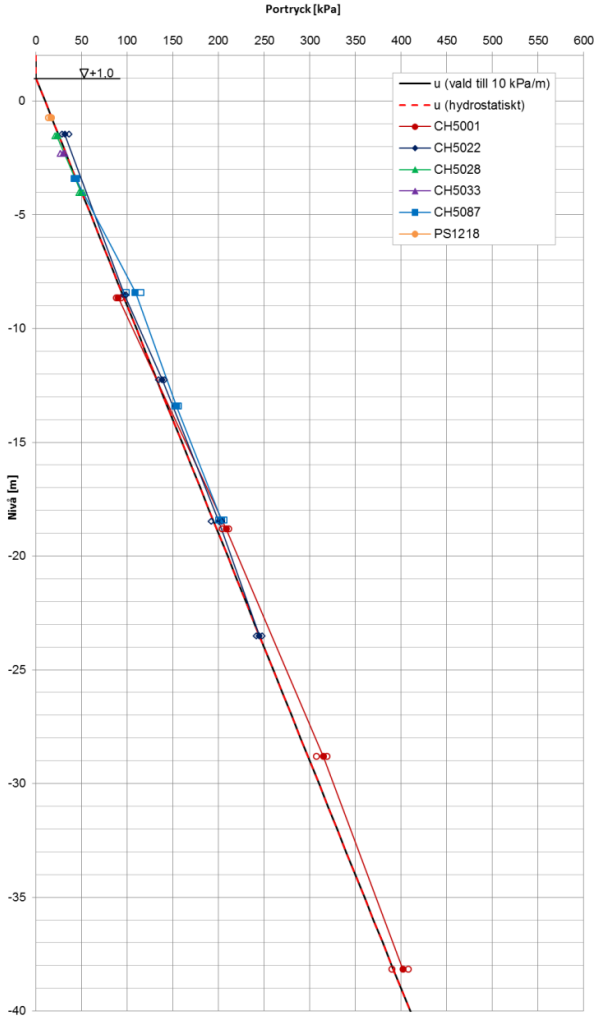
Leran är överkonsoliderad i den övre delen av lerprofilen med ca 30 kPa för att minska till ca 10 kPa på stora djup (OCR=1,5-1,05).

6.2.4 Geohydrologiska förhållanden

Grundvatten förekommer dels i de ytliga jordlagren, som till stor del består av fyllnadsmaterial, och dels i friktionsjordslagren under lerlagren.

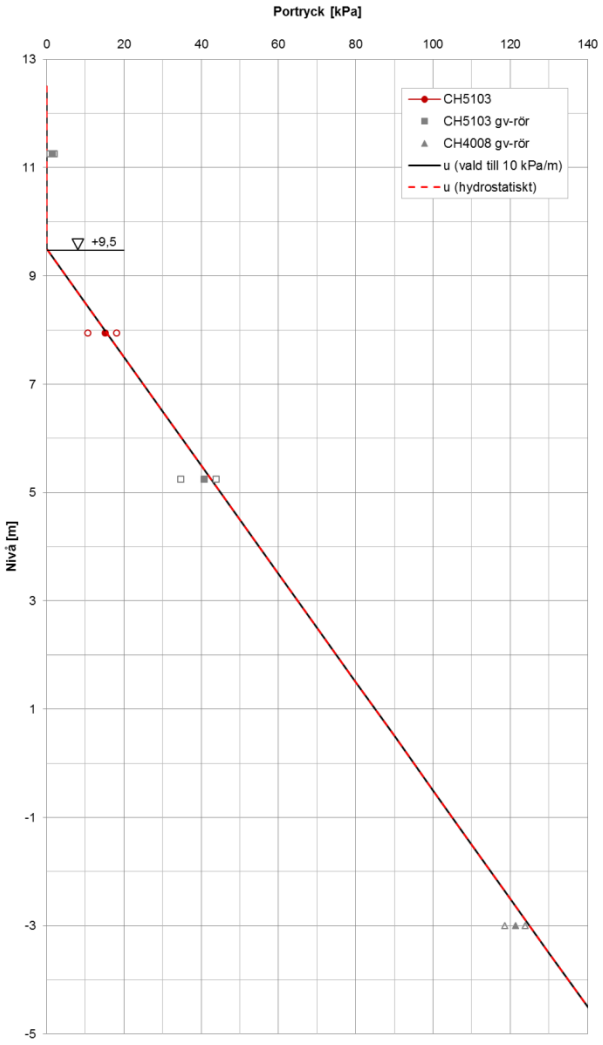
Packhusplatsens närhet till Göta älv och Stora Hamnkanalen medför att grundvattennivåerna i det övre magasinet styrs av vattennivåerna i älven. Detta innebär att grundvattennivån förväntas variera mellan nivåerna ca +0,5 till + 1,5.

Portrycksmätningar visar att trycknivån i leran motsvarar en grundvattenyta på nivån ca +1,0 och en i princip hydrostatisk portrycksprofil, se Figur 19. Mätning på stora djup (väster om järnvägstunnelns sträckning) visar på något högre trycknivåer, vilket indikerar en tendens till övertryck (trycknivåer motsvarande en grundvattennivå på ca +1 till +3).



Figur 19 Uppmätta portrycksnivåer inom området för Packhusplatsen.

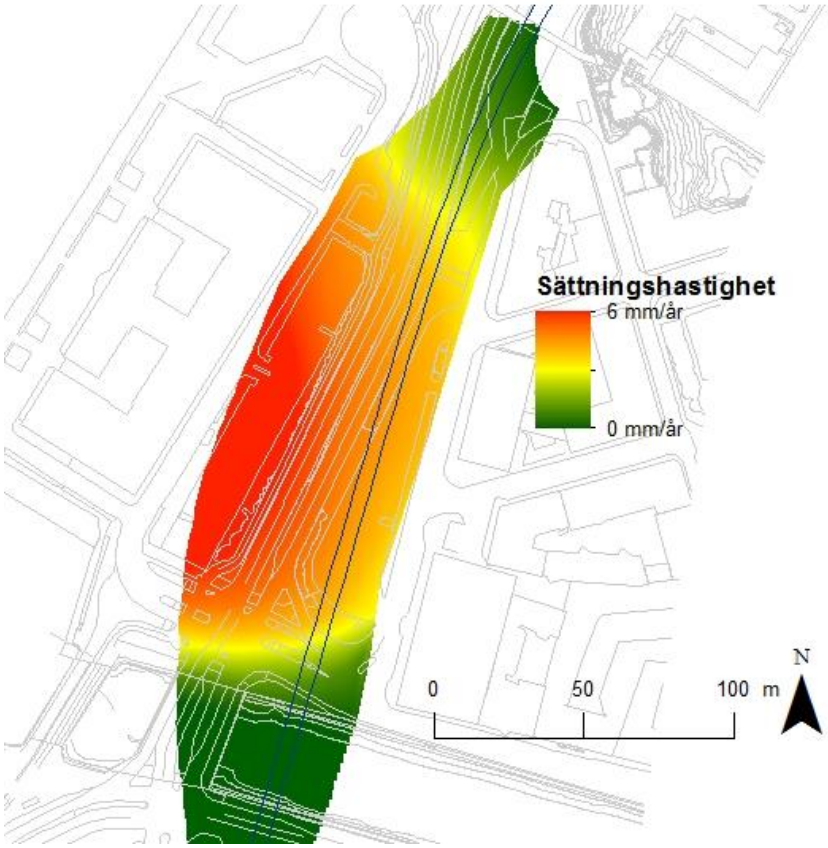
Grundvatten- och portrycksmätningar inom området för Kungsgatan visar att grundvattennivån ligger ca + 9,5, se Figur 20.



Figur 20 Uppmätta portrycksnivåer inom km 458+300 – 458+800 (Kungshöjd).

6.2.5 Sättningsförhållanden

Lerans spänningssituation inom området för Packhuskajen och Packhusplatsen innebär att det sedan lång tid tillbaka pågår sättningar i marken. Sättningarna är orsakade av tillskottsbelastningar på leran, dels från de omfattande utfyllnaderna som är utförda i området och dels från äldre byggnader som har grundlagts på korta kohesionspålar. Resultaten från tidigare sättningsuppföljningar och bälgsättningsmätare ger en samlad bild att de pågående sättningarna inom området. Sättningshastigheten i den östra delen av Packhusplatsen, i läget för järnvägstunneln, bedöms till 4 mm/år och sättningarna bedöms pågå ner till ca 20 m djup under markytan (motsvarar nivån -18). I takt med att jorddjupen minskar åt norr och söder så minskar även de pågående sättningar, se Figur 21. Inom övriga delar av sträckan bedöms det inte pågå några sättningar på grund av små jordmäktigheter, berg i dagen eller berg nära markytan.



Figur 21 Pågående marksättningar inom området för Packhusplatsen.

Inom området har sättningsuppföljning av byggnader och anläggningar pågått genom åren. Resultaten från sättningsmätningarna redovisas i separat PM F 05-020, daterad 2013-07-05, reviderad 2014-08-28. Nya mätpunkter/sättningsdubbar har även installerats i samband med projekteringen av järnvägstunneln. Sättningsuppföljning av nya och befintliga mätpunkter pågår och fortsätter under hela projektet.

6.2.6 Erosion

Generellt pågår ingen erosion inom utredningsområdet då samtliga delar i anslutning till vatten utgörs av kajkonstruktioner. Dykinspektionen som utförts utmed kajmurarna längs Stora Hamnkanalen visar att mindre urspolningar förkommer under rustbädden. Dessa urspolningar bedöms dock inte påverka stabiliteten eftersom rustbädden och den ovanpåliggande kajmuren vilar på pålar.

6.2.7 Stabilitetsförhållanden Linje Station Centralen – Station Haga

Den befintliga stabilitetssituationen längs Packhuskajen respektive Stora Hamnkanalen har kontrollerats och redovisas i Bilaga 4. Resultaten visar att stabiliteten för båda områdena är tillfredställande och uppfyller rekommenderad säkerhetsnivå för befintliga förhållanden enligt IEG rapport 4:2010.

6.3 Linje Station Haga

6.3.1 Topografi och områdesbeskrivning

Området sträcker sig från Kungshöjd i norr till utsiktsplatsen söder om Nedre Fogelbergsgatan.



Figur 22 Översikt området Station Haga (områdesgräns, koncept 2014-11-10).

I norra delen av området finns Rosenlundkanalen/Vallgraven (väster om Rosenlundsbron heter kanalen Rosenlundskanalen). Vallgraven grävdes ur i samband med att staden Göteborg bildades i början av 1600-talet. I samband med att befästningarna runt staden började rivas under första hälften av 1800-talet grävdes även Vallgraven om i syfte att anpassa vattendraget för transporter in och ut från stadskärnan. Omgrävningen utfördes i omgångar under 1800-talet och i huvudsak rätades Vallgraven ut väster om dagens Rosenlundsbro och döptes om till Rosenlundskanalen. Inom planområdet, i anslutning till Vallgraven och Rosenlundsbron, finns således såväl rester från det gamla befästningsverket som utfyllda områden där den ursprungliga Vallgraven var belägen.

Källa, Jubileumsutställningen 1923



Göteborg år 1790



Göteborg år 1860



Göteborg år 1890



Göteborg år 1920

Figur 23 Historiska kartor som visar utreningsområdets utveckling och Vallgravens/ Rosenlundskanalens omgrävningar under mellan slutet av 1700-talet till början av 1900-talet.

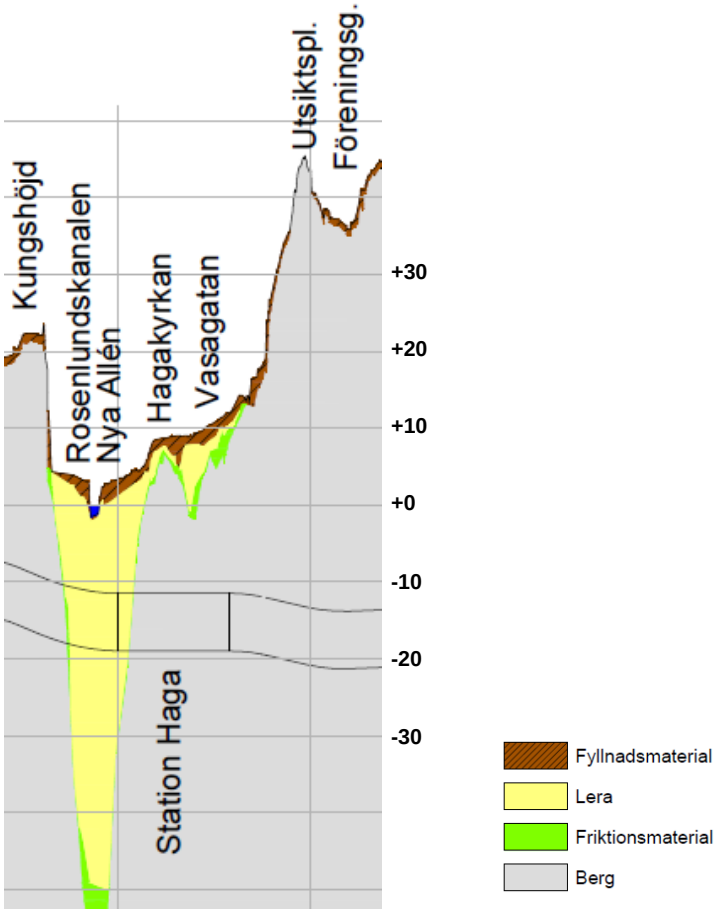
Berget stupar brant från nivån ca +12 uppe på Kungshöjd ner till nivån ca +4 vid Skattehuset (Inom Vallgraven 37:21). Därifrån sluttar markytan sluttar svagt i riktning mot Rosenlundskanalen/Vallgraven till nivån ca +2,5 vid kajlinjen. Vallgraven är ca 30 m bred och ca 3,5-4 m djup i förhållande till omgivande markyta. Södra kajkanten av Vallgraven ligger på nivån ca +1,5. Markytan stiger i riktning söderut upp mot Hagakyrkan där marknivån är ca +8. Söder om kyrkan stiger marken ytterligare upp till nivån ca +17 vid gränsen mot bergspartiet (Utsiktsplatsen). Markytan uppe vid Utsiktsplatsen ligger på nivån ca + 45.

6.3.2 Jordlagerbeskrivning

Jordlagerförhållanden varierar stort inom området, från mäktiga jordlager (ca 60 m) invid Vallgraven till mindre jordmäktigheter (<10 m) från Hagakyrkan och söderut.

Jordlagren utgörs generellt överst av *fyllning.* De naturligt avsatta jordlagren består av *lera* som vilar på *friktionsjord* ovan *berg*.

De relativt stora variationerna i jordmäktighet framgår tydligt i nedanstående översiktliga jordlagerprofil längs Västlänkens sträckning genom området för Station Haga (Figur 24).



Figur 24 Översiktlig jordlager- och bergprofil över Station Haga.

Fyllning
Inom den norra delen av området varierar fyllningens mäktighet en hel del med anledning av att Vallgraven grävts om några gånger under årens lopp. Fyllnadsmäktigheterna varierar från att vara mycket liten inom vissa grönytor till närmare 6-7 m där Vallgravens tidigare lägen.

Inom parkområdet mellan Haga kyrka och Samhällsvetenskapliga biblioteket utgörs fyllnadsmaterialen främst av grus, sand och lera samt tegel- och trärester. Inom grönytorna finns det överst ett tunt lager mulljord.

Längs Haga kyrkogata och Vasagatan utgörs fyllningen under de hårdgjorda ytorna av mestadels grus med inslag av tegel. Fyllningens mäktighet är generellt ca 1-2 m. Inne bland innergårdarna mellan Nedre Fogelbergsgatan och Haga Kyrkogata vilar fyllningen generellt direkt på berg.

Lera
Under fyllningen i den norra delen av området (området mellan Vallgraven och Parkgatan) följer en naturligt avsatt, lös till halvfast och svagt överkonsoliderad, lera. Utförda CPT-sonderingar indikerar på en relativt homogen lera utan någon förekomst av vattenförande skikt. Närmast Vallgraven är lerans mäktighet ca 40-50 m med de största mäktigheterna öster om Rosenlundsbrons landfäste. Lermäktigheterna avtar generellt mot söder för att strax norr om Haga kyrka ha en mäktighet på ca 2-4 m.

Inom de västra och norra delarna av parkområdet kring Haga kyrka vilar fyllningen generellt direkt på berg. Under fyllningen i de centrala delarna av parken följer en siltig sandig lera med förekommande skikt av silt och sand. Lerans mäktighet är ca 1-4 m. Vidare söderut, strax nordöst om Samhällsvetenskapliga biblioteket, är lermäktigheterna uppemot ca 4-7 m. Längs med Haga Kyrkogata är lermäktigheterna generellt ca 3-4 m. Längs Vasagatan är lermäktigheterna ca 1-10 m, där de större mäktigheterna återfinns i västra delen.

Friktionsjord
Under leran följer ett lager friktionsjord där mäktigheten generellt är ca 0,5-2,0 m. Närmast invid Vallgraven ökar dock den underliggande friktionsjordens mäktighet från ca 0,5-1,0 m i väster till upp emot ca 8-14 m öster om Rosenlundsbrons landfäste. . Friktionsjordens mäktighet är ca 0-2 m längs med Vasagatan. Friktionsjorden utgörs i huvudsak av fast lagrad sand och grus.

Berg
Berget är plansprängt under Skattehuset vid Rosenlundsplatsen. Bergnivåerna ligger på ca +2 till +4 m vid Rosenlundsplatsen och sluttar därefter i sydvästlig riktning ner mot Vallgraven. Bergnivåerna närmast Vallgraven är ca -45 till -60. Berget grundar upp mot söder och strax norr om Haga kyrka ligger bergytan på nivåer kring ca -2 till +4.

Enligt historiska uppgifter fanns det tidigare en bergtäkt i området där Hagaparken ligger idag. Bergnivåerna varierar inom parkområdet mellan ca +4 till +8 inom de västra och norra delarna och mellan ca +0 till +4 i området kring Samhällsvetenskapliga biblioteket.

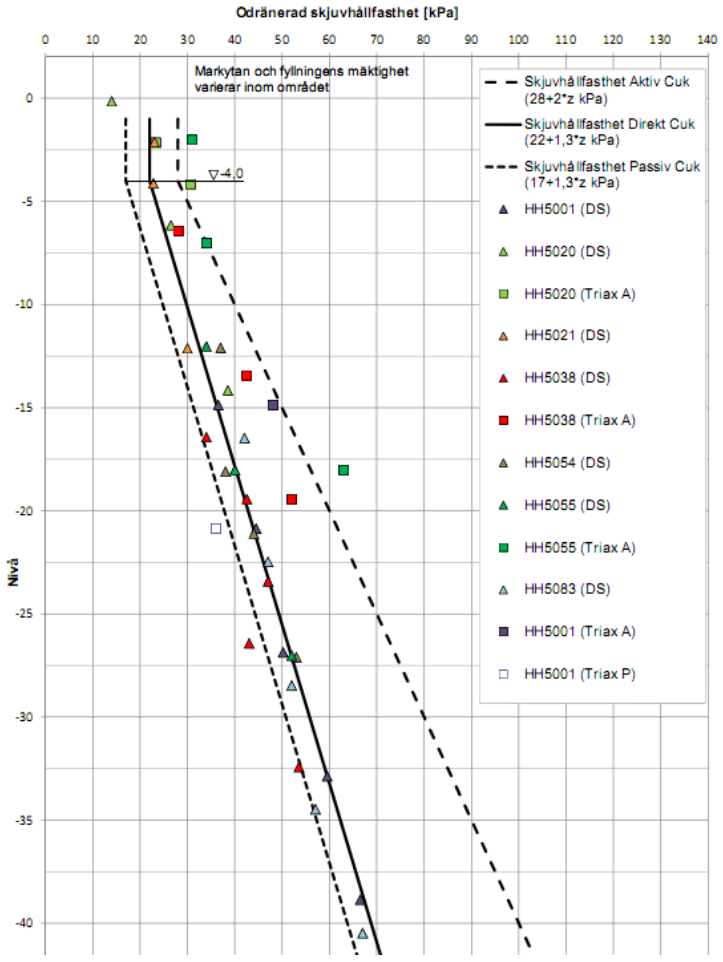
Bergnivån stiger generellt från nivån ca +6 vid Vasagatan till nivån ca +20 vid den södra änden av Nedre Fågelbergsgatan. Bergnivåer på uppemot +40 återfinns inom park- och bergsområdet som är beläget på höjden söder om Nedre Fogelbergsgatan.

6.4 Geotekniska parametrar

Sammanställningar av bestämda geotekniska parametrar redovisas i Bilaga 1.

Lera, norra delen - mellan Vallgraven och Haga kyrka
Lerans densitet är ca 1,6 t/m^3 ner till nivån -21, därunder ökar densiteten mot djupet för att vara ca 1,9 t/m^3 på stora djup. Lerans vattenkvot är ca 70 % ner till nivån -18 och minskar därunder till ca 40 % vid nivån -37. Leran är mellansensitiv med en sensitivitet som varierar mellan ca 3-30.

Lerans odränerade skjuvhållfasthet (c_{uk}) är konstant 22 kPa ner till nivån -4 och därunder ökar skjuvhållfastheten med 1,3 kPa/m (Figur 25).



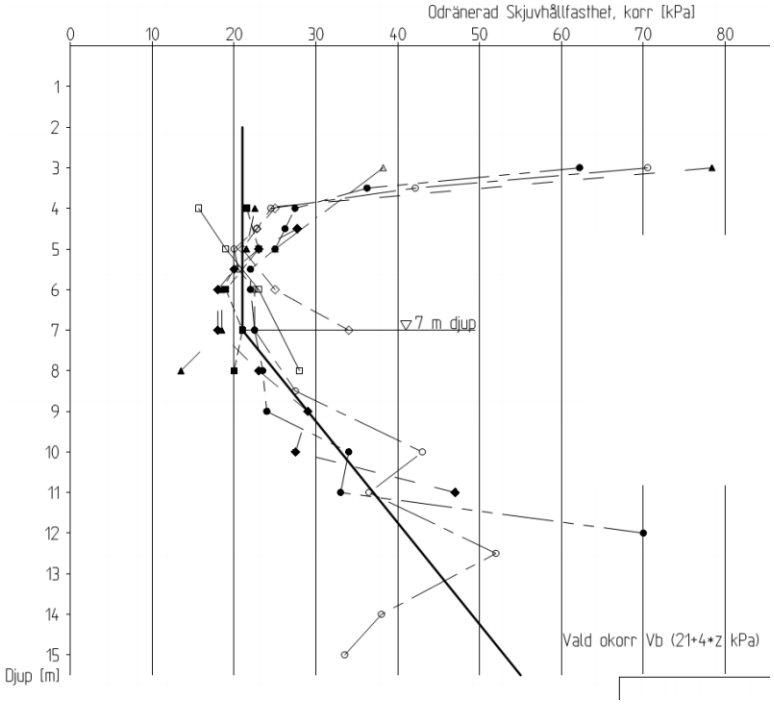
Figur 25 Skjuvhållfasthetsdiagram, (norra delen av planområdet mellan Vallgraven och Haga kyrka)

Leran inom den norra delen av planområdet är överkonsoliderad med ca 40 kPa (OCR=1,5–1,1).

Lera, södra delen - från parkområdet Haga kyrka och söderut
Under fyllningen är lerans densitet ca 1,75 t/m^3, därunder ökar densiteten mot djupet för att vara ca 1,9 t/m^3 vid ca 8 m djup.

Vattenkvoten är ca 30% ner till 4 meters djup där den ökar till ca 55% för att sedan minska igen till ca 30% vid djupet 8 meter under markytan. Leran är mellansensitiv med en sensitivitet som varierar mellan ca 10-20.

Lerans odränerade skjuvhållfasthet (c_{uk}) är konstant 21 kPa ner till djupet 7 m och därunder ökar skjuvhållfastheten med ca 4 kPa/m (Figur 26).



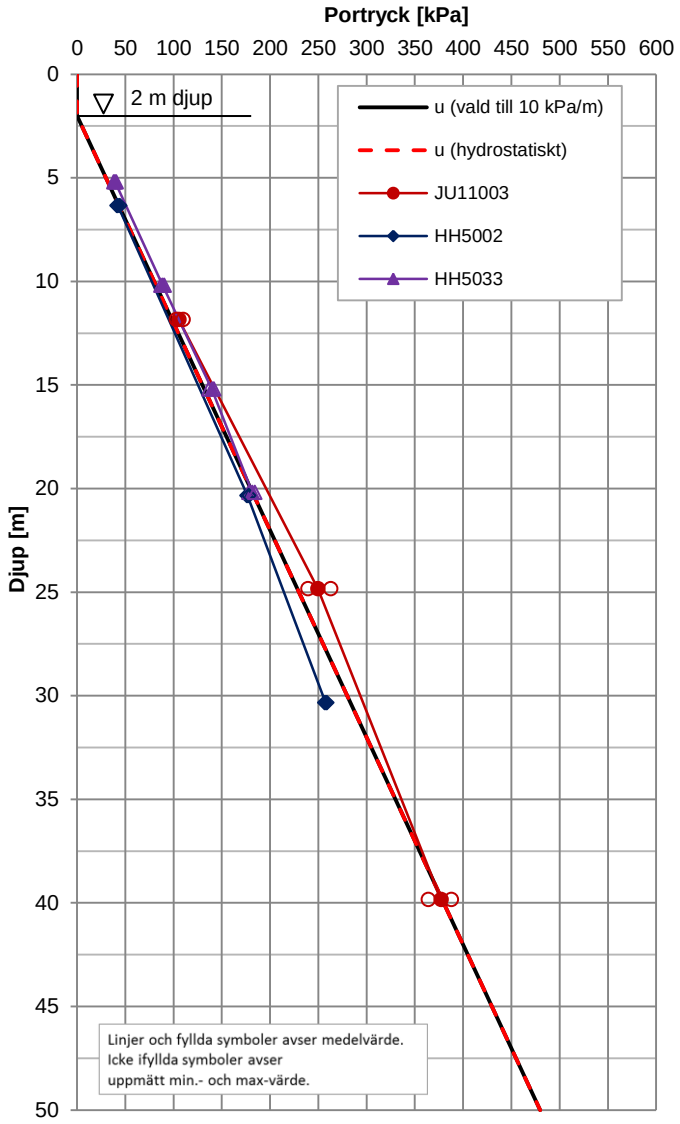
Figur 26 Skjuvhållfasthetsdiagram, (södra delen, parkområdet Haga kyrka och söderut)

Leran är överkonsoliderad med ca 40-75 kPa (OCR=1,5–2,5) ner till ca 6 meter djup. Därunder är leran överkonsoliderad med ca 35-40 kPa (OCR=1,2–1,6).

6.5 Geohydrologiska förhållanden

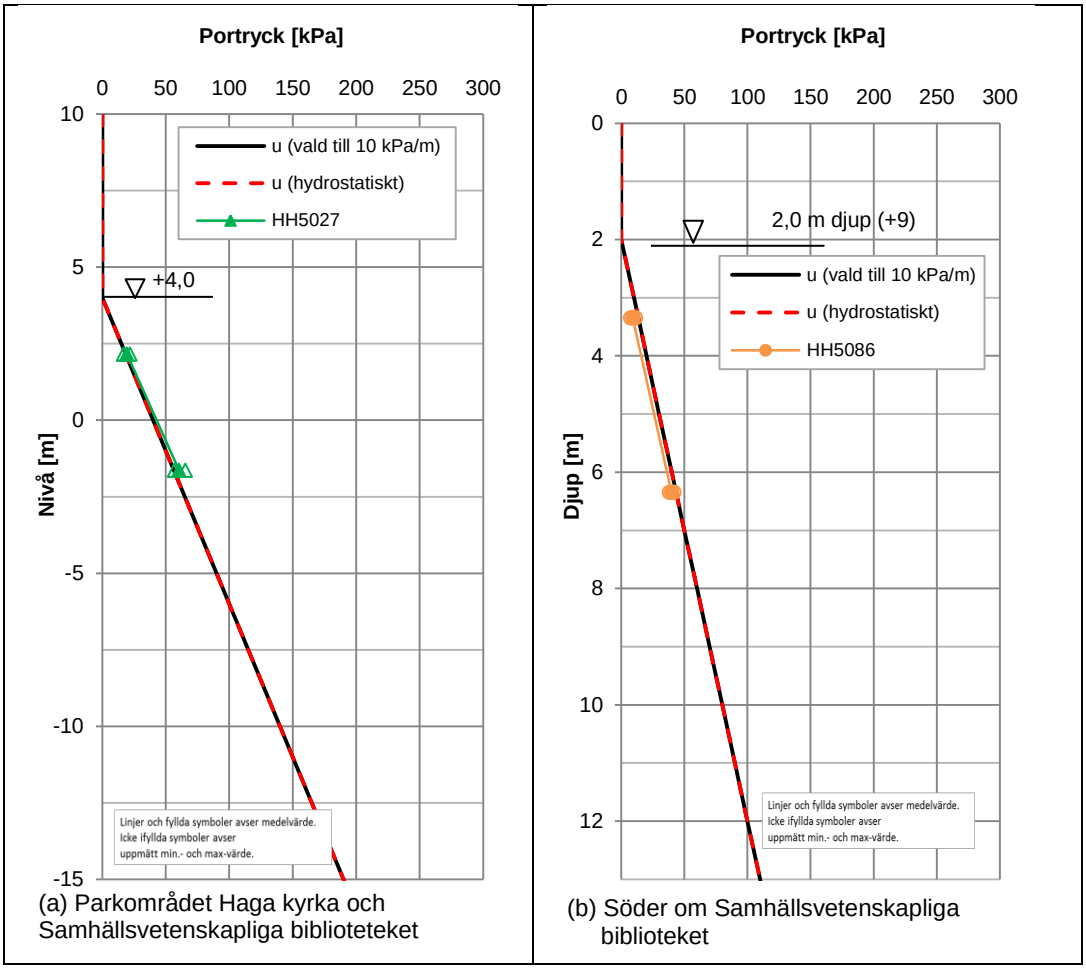
Grundvatten förekommer dels i de ytliga jordlagren, som till stor del består av fyllnadsmaterial, och dels i friktionsjordslagren under lerlagren.

Grundvattennivån i det övre magasinet, i området närmast Rosenlundskanalen, styrs av nivåerna i kanalen och Göta älv. Portrycksmätningar visar att portrycksnivån i leran motsvarar en grundvattenyta på ca 2 m djup under markytan (motsvarar nivån ca +1,0 i området kring Rosenlundskanalen och +3,0 vid Parkgatan med en i princip hydrostatisk portrycksprofil (Figur 27).



Figur 27 Uppmätta portrycksnivåer inom norra delen (mellan Vallgraven och Haga Kyrka).

Inom parkområdet visar portrycksmätningar att portrycksnivån motsvarar en grundvattenyta som ligger på nivån +4 till +5. Potrycksmätningar söder om Samhällsvetenskapliga biblioteket visar att portrycksnivån i leran motsvarar en grundvattenyta på 2 m djup (motsvarar nivå +9). Portrycksprofilen i leran har en hydrostatisk ökning mot djupet, se Figur 28.



(a) Parkområdet Haga kyrka och Samhällsvetenskapliga biblioteteket

(b) Söder om Samhällsvetenskapliga biblioteket

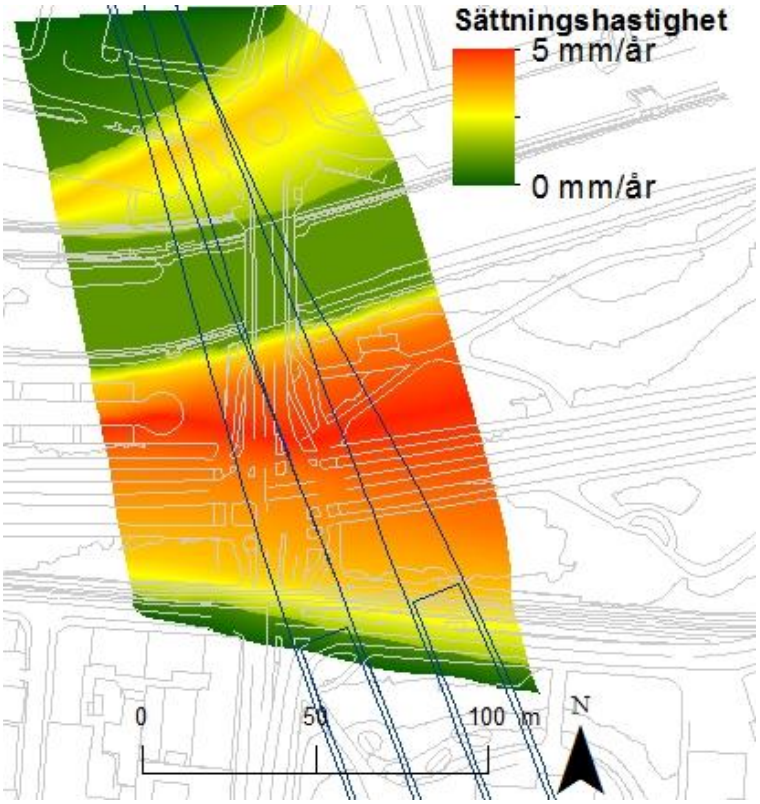
Figur 28 Uppmätta portrycksnivåer inom:
(a) Parkområdet mellan Haga Kyrka och Samhällsvetenskapliga biblioteteket
(b) Söder om Samhällsvetenskapliga biblioteket

6.5.1 Sättningsförhållanden

Lerans spänningssituation i området kring Rosenlundskanalen/Vallgraven innebär att det sedan lång tid tillbaka pågår sättningar i marken. Sättningarna är orsakade av tillskottsbelastningar på leran, dels från de omfattande utfyllnaderna som är utförda i området och dels av grundvatten- och portrycksförändringar i leran.

Utförda sättningsmätningar på södra sidan om Vallgraven visar att sättningar pågår med en sättningshastighet motsvarande ca 5-6 mm/år. Sättningarna bedöms pågå genom i

princip helar lerprofilen. Sättningarnas storlek avtar i riktning söderut, i takt med att lermäktigheterna minskar (Figur 29).



Figur 29 Pågående sättningar i mark inom området mellan Vallgraven och Haga kyrka.

Från området strax norr om Haga kyrka och söderut bedöms det inte pågå några sättningar på grund av små jordmäktigheter, berg i dagen eller berg nära markytan.

Inom området har sättningsuppföljning av byggnader och anläggningar pågått genom åren. Resultaten från sättningsmätningarna redovisas i separat PM F 05-020, daterad 2013-07-05, reviderad 2014-08-28. Nya mätpunkter/sättningsdubbar har även installerats i samband med projekteringen av järnvägstunneln. Sättningsuppföljning av nya och befintliga mätpunkter pågår och fortsätter under hela projektet.

6.5.2 Erosion

Generellt pågår ingen erosion inom delområdet då de delar som angränsar till vatten inom området utgörs av kajkonstruktioner. Slänten på södra sidan av Vallgraven öster om Rosenlundsbron är längs vattenlinjen skyddad med erosionsskydd i form av utlagd sten. Erfarenhetsmässigt förekommer viss underspolning av kajkonstruktionerna längs kanalerna inom centrala Göteborg. Dessa urspolningar är vanligtvis inte omfattande och bedöms inte påverka stabiliteten eftersom rustbädden och den ovanpåliggande kajmuren vilar på pålar.

6.5.3 Stabilitetsförhållanden

Stabiliteten har analyserats längs Rosenlundskanalen och redovisas i Bilaga 5. Analyserna visar att stabiliteten längs Rosenlundskanalen, där Västlänken passerar, är tillfredställande och uppfyller rekommenderad säkerhetsnivå för befintliga förhållanden (IEG Rapport 4:2010).

6.6 Linje Station Haga – Station Korsvägen

6.6.1 Topografi och områdesbeskrivning

Området sträcker sig från Föreningsgatan/Övre Fogelbergsgatan i väster till Viktor Rydbergsgatan i öster.



Figur 30 Översikt området Station Haga – Station Korsvägen (områdesgräns, koncept 2014-11-10).

Marken är kuperad och karakteriseras av höjdpartier med berg- och fastmarksområden med inslag av mindre svackor och dalgångar. Markytan ligger som lägst på nivån ca +30 i området kring Viktor Rydbergsgatan i öster och ca +35 vid Kapellplatsen/Aschebergsgatan i de centrala delarna av sträckan. I området kring Föreningsgatan i väster ligger markytan på nivåerna ca +35 till +40. Markytan ligger som högst på nivån ca +50 vid Fjäderborgen (sporthall) strax öster om S Viktoriagatan.

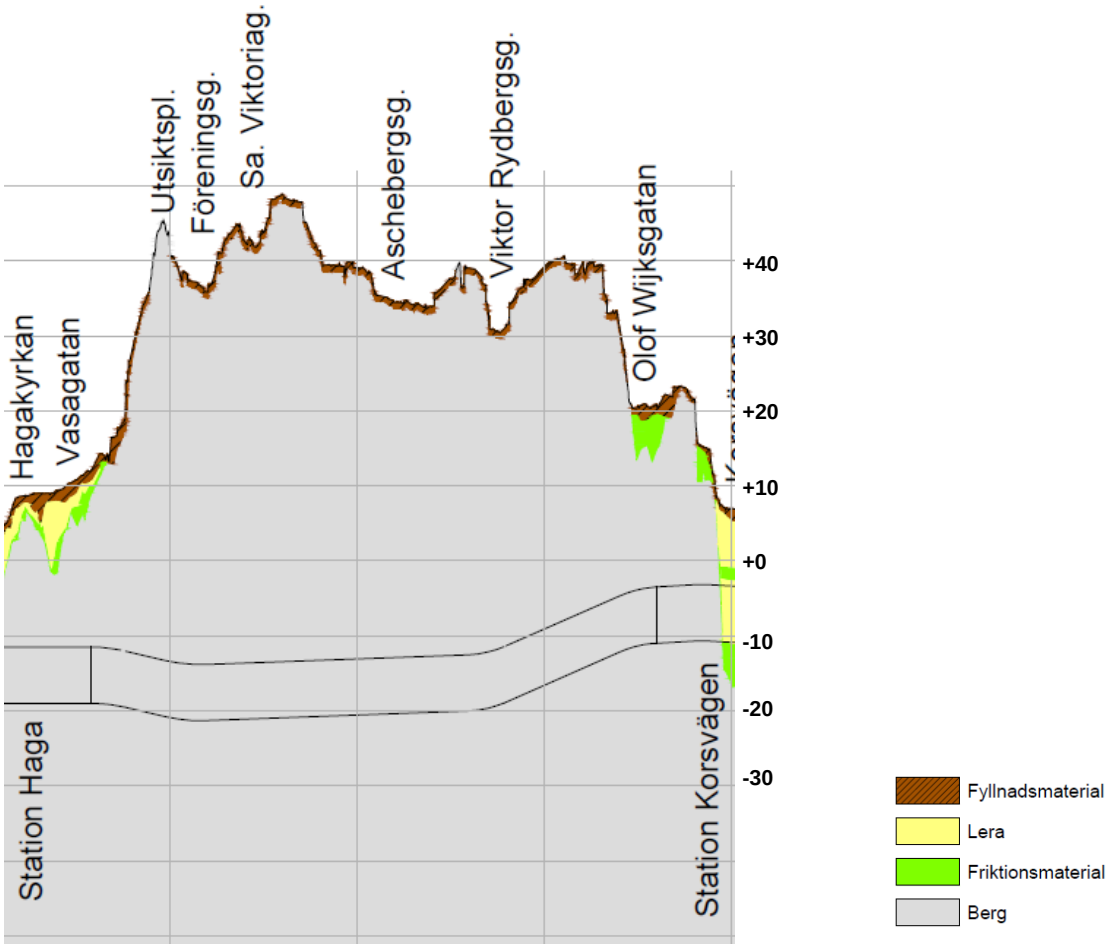
6.6.2 Jordlagerbeskrivning

Jordlagren utgörs generellt av fyllning bestående av överbyggnadsmaterial, sand, grus och tegelrester. Fyllningen vilar vanligtvis direkt på berg och har en mäktighet på ca 1-3 m. Den största jordlagermäktigheten (ca 7 m) påträffas i den norra delen av Kapellplatsen. Under fyllningen följer här ett lager siltig lera som vilar på ett tunt lager friktionsjord innan berget tar vid.

Berg i dagen förekommer längs med hela delsträckan. Bergnivåerna är som lägst ca +30 vid Viktor Rydbergsgatan och +35 vid Kapellplatsen. Högsta bergnivån är ca +50 vid

Fjäderborgen (sporthall) strax öster om S Viktoriagatan. Vid Föreningsgatan i väster är bergnivån ca +35 till +45.

Figur 31 nedan visar en översiktlig jord- och bergprofil längs järnvägstunnelns sträckning mellan Station Haga och Station Korsvägen.



Figur 31 Översiktlig profil för linje Station Haga – Station Korsvägen.

6.6.3 Sättnings- och stabilitetsförhållanden Linje Station Haga – Station Korsvägen

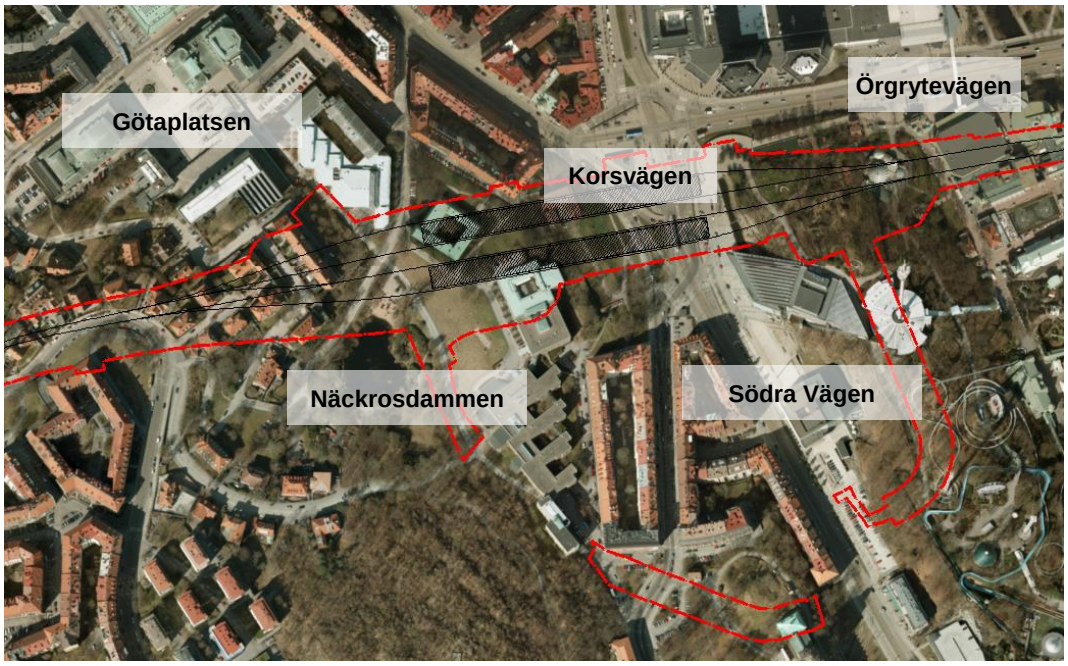
Det bedöms inte pågå några sättningar i området mellan Station Haga och Station Korsvägen på grund av små jordmäktigheter, berg i dagen eller berg nära markytan.

De begränsade jorddjupen och fastmarkspartierna medför att stabiliteten är tillfredställande och uppfyller rekommenderad säkerhetsnivå för befintliga förhållanden (IEG Rapport 4:2010).

6.7 Linje Station Korsvägen

6.7.1 Topografi och områdesbeskrivning

Området sträcker sig från Viktor Rydbergsgatan i väster till Lisebergsteatern i öster.

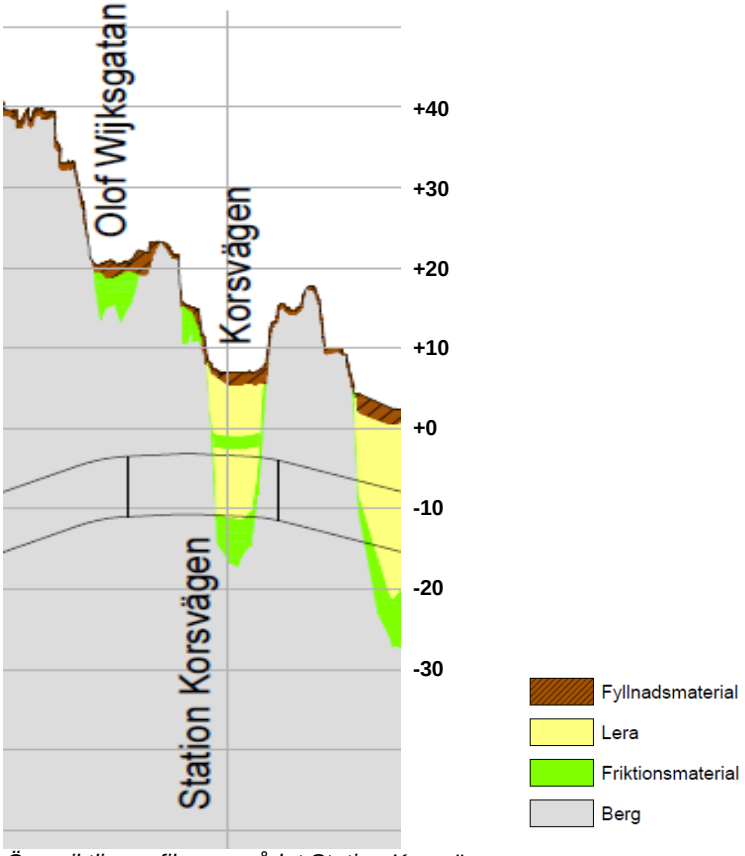


Figur 32 Översikt delområde Station Korsvägen (områdesgräns, koncept 2014-11-10).

Området utgörs mestadels av hårdgjorda ytor och parkområden. Marken kring Korsvägen och Skånegatan ligger på nivån ca +7. Mot väster stiger markytan till nivån ca +22 till +25 kring Näckrosdammen och ca +42 vid Viktor Rydbergsgatan. Mot öster stiger markytan till nivån ca +26 i området mellan Universeum och Lisebergsteatern.

6.7.2 Jordlagerbeskrivning

Jordlagerförhållanden varierar stort inom området, vilket framgår tydligt i nedanstående översiktliga jordlagerprofil längs Västlänkens sträckning genom området för Station Korsvägen Figur 33.



Figur 33 Översiktlig profil av området Station Korsvägen.

Fyllning

I området mellan Viktor Rydbergsgatan och Johannebergs landeri är fyllningens mäktighet ca 0,5–2 m. Fyllnadsmaterialen utgörs generellt av mulljord, grus, sand, silt och lera samt tegelrester.

Inom de hårdgjorda ytorna kring Södra vägen är fyllningens mäktighet ca 1,5–2,5 m. Inom den översta metern utgörs fyllnadsmaterialen generellt av väg- och spårfyllnadsmaterial men även finkornigare jord som sand, silt, lera och organisk jord kan förekomma ytligt.

Lisebergsområdet öster om Korsvägen/Södra vägen utgörs av tunt jordtäcke (framförallt fyllning) på berg alternativt berg i dagen. Fyllnadslagren utgörs av grus, sten, sand och lera med mäktigheter upp till ca 3 m. Även rivningsrester förekommer i fyllnadslagren.

Lera

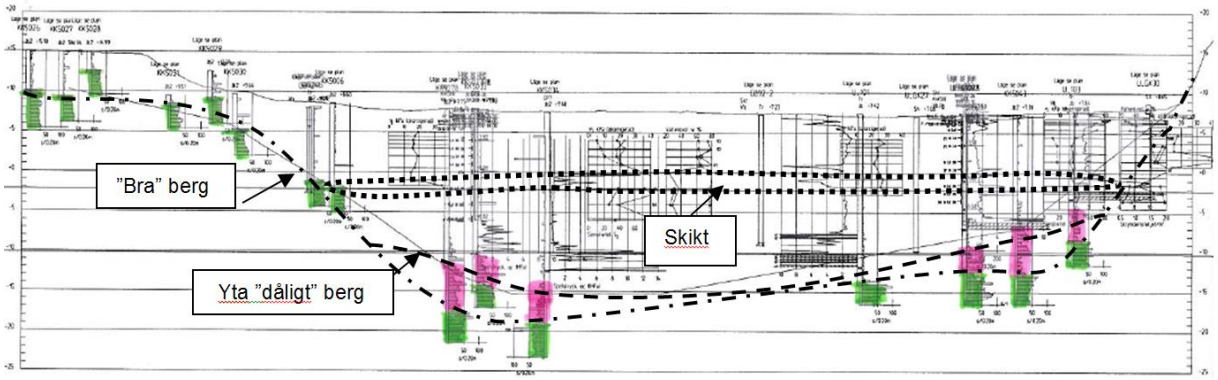
I området mellan fastmarkspartierna utgörs de naturligt avsatta jordlagren, under fyllningen, av lera vars mäktighet är ca 15-20 m med avtagande djup mot bergen som omgärdar området. I leran förekommer tydliga skikt som delar lerprofilen i två delar. Skikten (två tydliga skikt kan noteras resultat av utförda borrningar) består av silt, sand, sten och även block. Dessa skikt ligger, relativt horisontellt och går genom området, mellan nivåerna ca ±0 till -4. Det översta skiktet är ca 0,5 m mäktigt och ligger ungefär på nivån ±0 och det andra skiktet är ca 1-2 m mäktigt och ligger på nivån -2 till -4. Skikten är mycket fasta och problem att slå pålar igenom dessa skikt har noterats i samband med grundläggningsarbeten i av byggnader i området.

Leran har olika egenskaper över respektive under dessa skikt där leran är klart lösare över skiktet än under. Leran är svagt överkonsoliderad och lös men blir fastare mot djupet. Under skiktet är leran siltig, med ett siltinnehåll som är ca 50 %.

Friktionsjord

Vid Näckrosdammen underlagras generellt fyllningen av en siltig sand med inslag av lerskikt. Jordmäktigheten är överlag ca 0-7 inom delområdet. Vid den sydvästra delen av Näckrosdammen har dock jordmäktigheter uppemot 12 m påträffats. Det skiktade friktionsmaterialet vilar på berg.

Under leran inom området för Södra vägen följer ett lager hårt packad morän/friktionsjord. Utförda undersökningar visar att det lokalt är svårt att med traditionella metoder entydigt bestämma exakt var gränsen går mellan vad som är hårt packad morän/friktionsjord och ”dåligt” berg. I nedanstående längdsektion redovisas ett exempel på hur problemtiken ser ut sett från väster till öster. I längdsektionen redovisas dels en bedömd tänkbar överyta ”dåligt” berg samt en linje som markerar nivån för ”bra” berg. Gränsen däremellan utgör således en zon som kan vara antingen dåligt berg eller fast friktionsjord/block.



Figur 34 Översiktlig jordprofil av området Station Korsvägen.

Berg

Bergnivån är som lägst ca +11 i den sydvästra delen av näckrosdammen och som högst ca +42 vid Viktor Rydbergsgatan. Berg i dagen förekommer i området kring Viktor Rydbergsgatan, i slänten mellan Skyttegatan och artisten, östra sidan av

Näckrosdammen, i slänterna ned mot Korsvägen i höjd med Johannebergs landeri och Universitetsbiblioteket.

Bergnivåerna är generellt som lägst, ca -14 till -20, vid Södra Vägen där berget sluttar svagt norrut i riktning mot Korsvägens spårvagnshållplatser. Österut stiger bergnivåerna till ca -2 till -6 vid dammen utanför Universeum till som högst ca +26 mellan Universeum och Lisebergsteatern. Bergytan bedöms inte vara plan utan snarare sågformad och kantig.

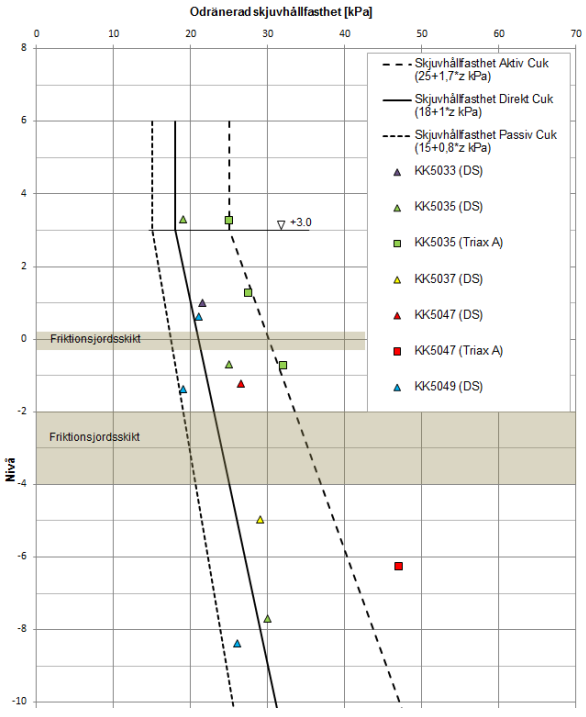
Vid Korsvägen finns sannolikt en depression i bergytan som är en del av en förkastningszon som stryker i nord-sydlig riktning i dalgången. På ömse sidor om Korsvägen är berget mer intakt.

6.8 Geotekniska parametrar

Sammanställningar av bestämda geotekniska parametrar redovisas i Bilaga 1.

Lerans densitet är ca 1,6 t/m^3 ner till sandlagret vid nivån -2. Under sandlagret ökar densiteten till 1,95 t/m^3. Lerans vattenkvot är ca 75 % ner till sandlagret vid nivån -2. Under sandlagret minskar vattenkvoten till ca 30 %. Leran är mellan- till högsensitiv med en sensitivitet som varierar mellan 10-40.

Den odränerade skjuvhållfastheten (c_{uk}) konstant 18 kPa ner till nivån +3 och därunder är hållfasthetstillväxten 1,0 kPa/m, se Figur 35.

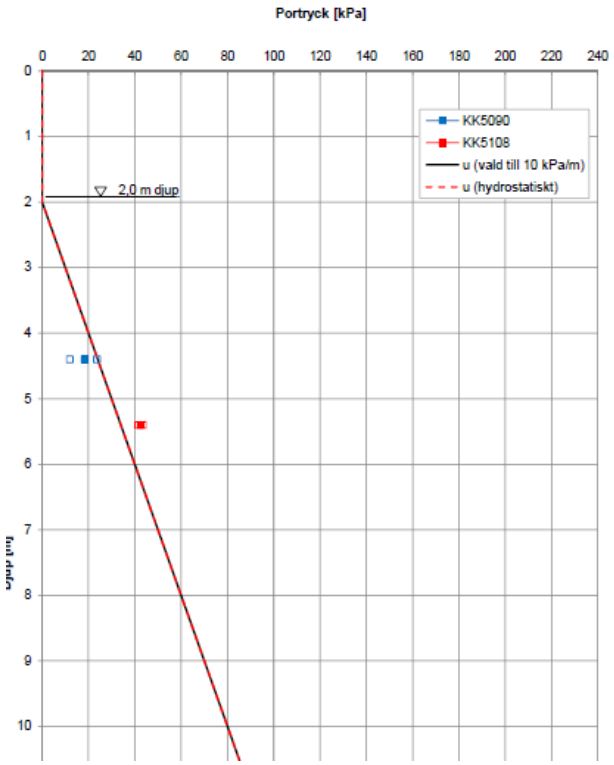


Figur 35 Skjuvhållfasthetsdiagram för området Station Korsvägen.

Leran inom Station Korsvägen är överkonsoliderad med ca 20 kPa (OCR=1,3–1,1).

6.8.1 Geohydrologiska förhållanden

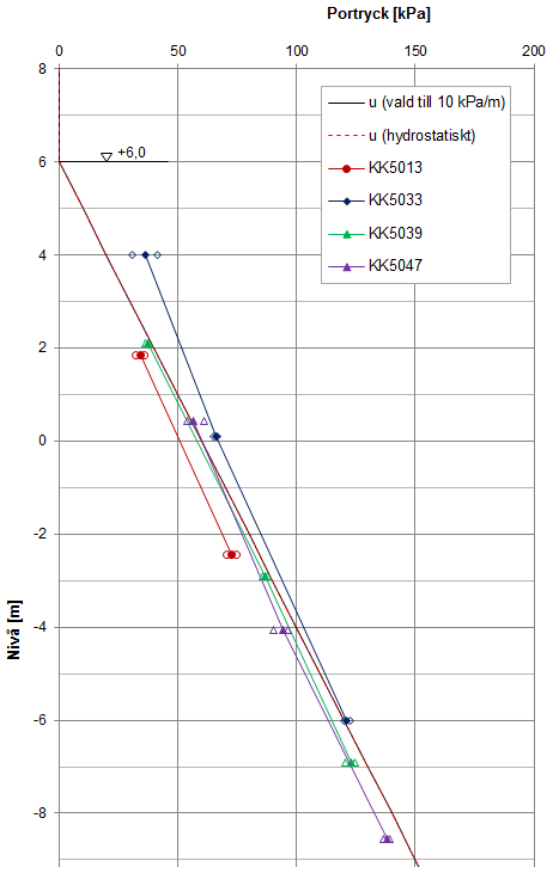
Portrycksmätningar i området vid Näckrosdammen visar att trycknivån i leran motsvarar en grundvattenyta som ligger på ca 2 m djup med en hydrostatisk portrycksprofil, se Figur 36.



Figur 36 Uppmätta portrycksnivåer inom den västra delen av området (Näckrosdammen).

Portrycksmätningar inom området för Södra vägen visar att trycknivån i leran motsvarar en grundvattenyta på nivån +5 till +8. Portrycksmätningar visar på en i princip hydrostatisk portrycksprofil. Karakteristiskt portryck har valts till en trycknivå som motsvarar en grundvattenyta på +6,0 med hydrostatisk portrycksprofil, se Figur 37.

Portrycksmätningar som är utförda i samband med provpumpning i den underliggande friktionsjorden visar på en tydlig trycksänkning i nedre delen av lerprofilen, närmast underliggande friktionsjord (det undre magasinet). Mätningarna visar vidare att efter provpumpningen har portrycken återhämtat sig och visar på normala värden.



Figur 37 Uppmätta portrycksnivåer inom km 460+900 – 461+100 (Korsvägen).

6.8.2 Sättningsförhållanden

Lerans spänningssituation inom området innebär att det pågår sättningar i marken. Sättningarna är orsakade av belastningar på leran, från utfyllnader, äldre bebyggelse som grundlagts på korta kohesionspålar samt grundvatten- och portrycksförändringar i leran. Inom området kring Näckrosdammen och i anslutning till Liseberget bedöms det inte pågå några sättningar på grund av små jordmäktigheter, berg i dagen eller berg nära markytan.

Sättningsuppföljning mellan år 1999 och 2012 av brunnar i Södra vägen visar att sättningshastigheten efter år 2007 är ca 1-2 mm/år mitt för Världskulturmuseet och 0-1 mm/år längre söderut mot Chalmerstunnelns bergpåslag. Sättningsuppföljningarna visar vidare på en tillfälligt ökad sättningshastighet i samband med byggande i området (ex. Chalmerstunneln och Världskulturmuseet) och att sättningshastigheten sedan har återgått till den sättningshastighet som gällde före byggandet. Sättningarna är sannolikt orsakade av tillskottsbelastningar på leran, dels från lasten från utfyllnader i området och dels av grundvatten- och portrycksförändringar i leran.

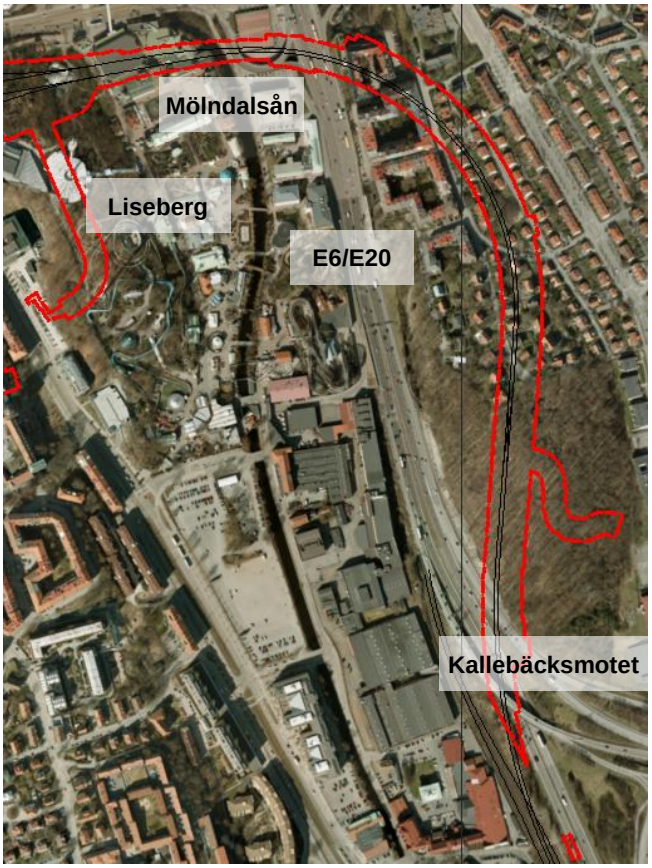
6.8.3 Stabilitetsförhållanden

Den plana markytan inom Korsvägen och de begränsade jorddjupen och fastmarkspartierna i slänterna på ömse sidor medför att stabiliteten är tillfredställande och uppfyller rekommenderad säkerhetsnivå för befintliga förhållanden (IEG Rapport 4:2010).

6.9 Linje Station Korsvägen - Almedal

6.9.1 Topografi och områdesbeskrivning

Området sträcker sig från den norra delen av Lisebergs nöjespark österut för att vidare korsa Mölndalsån för att sedan vika av söderut längs E6/E20 och Örgryte till Kallebäcksmotet i söder.



Figur 38 Översikt området mellan Liseberg och Almedal (områdesgräns, koncept 2014-11-10).

Liseberget sluttar i östlig riktning ned mot gångstråket direkt väster om Lisebergshallen. Markytan sluttar från nivån ca +4 vid Lisebergs entré till ca +2 vid Mölndalsån för att återigen stiga till nivån ca +4 strax väster om E6/E20. Inom norra delen av området ligger E6/E20 på nivån ca +9 och i södra delen på nivån +11, där av- och påfart för väg 40 ligger något högre. Inom området öster om E6/E20 varierar marknivåerna. Inom de bebyggda delarna öster om E6/E20 varierar markytan mellan +10 i den nordöstra delen

till +35 i den sydvästra delen. Berget söder om bebyggelsen ligger på nivåer kring ca +40 och sluttar ned mot E6/E20 samt avfarten för väg 40.

Mölndalsån är inom området ca 8-12 m bred och ca 2 m djup i relation till omgivande markyta.

Området var länge en del av landsbygden utanför staden Göteborg och det var inte förrän på slutet av 1800-talet och tidigt 1900-tal som bebyggelsen påbörjades. Stora delar av det, som idag är nöjesparken Liseberg, utgjordes ursprungligen av ängs- och åkermark. Figur 39 visar utvecklingen inom området mellan sent 1700-tal till tidigt 1900-tal. Den första delen av nöjesparken Liseberg anlades under 1910-talet och öppnades första gången till Göteborgs jubileumsutställning 1923.

Källa, Jubileumsutställningen 1923



Göteborg år 1790



Göteborg år 1860



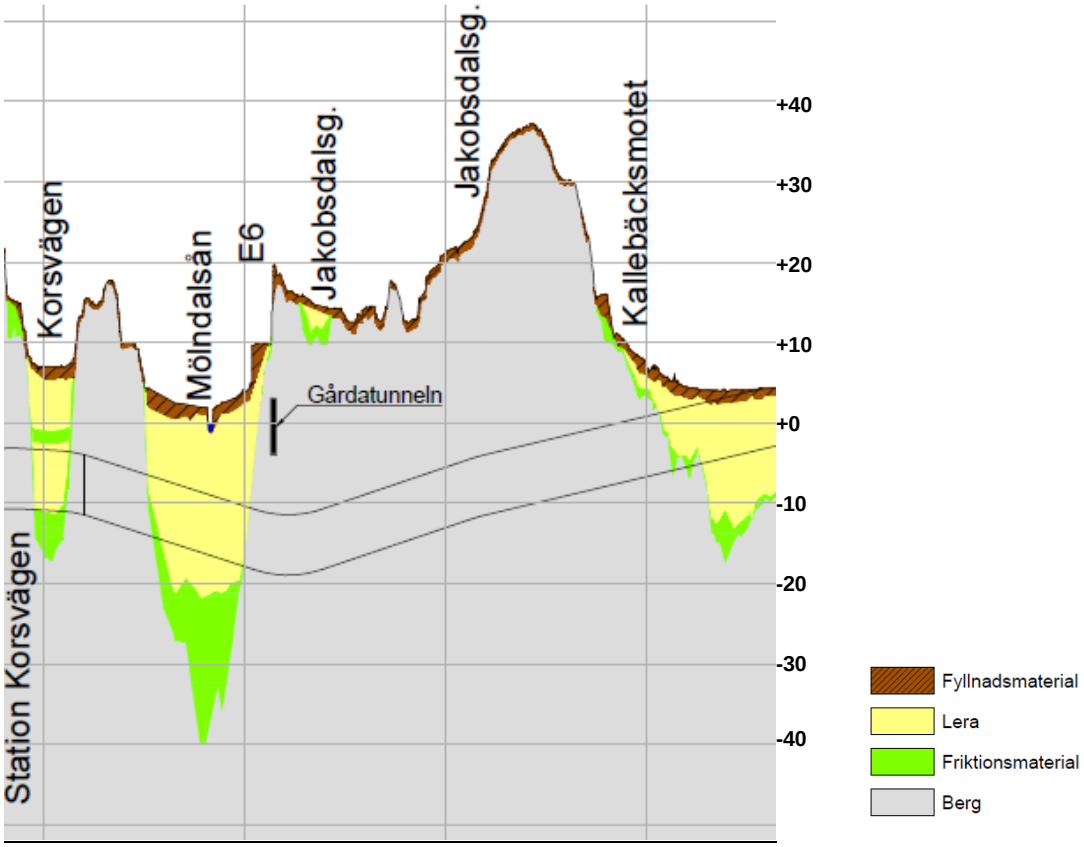
Göteborg år 1890



Göteborg år 1920

Figur 39 Historiska kartor som visar utredningsområdets utveckling mellan slutet av 1700-talet till början av 1900-talet.

6.9.2 Jordlagerbeskrivning



Figur 40 Översiktlig jordlager- och bergprofil för sträckan Linje Korsvägen – Almedal.

Fyllning

Jordlagren inom området för Möndalsåns dalgång utgörs generellt överst av ca 2 m fyllning. Lokala avvikelser förekommer exempelvis vid anslutningen mellan av- och påfartsrampen från E6:an och Örgrytevägen där fyllnadsmäktigheten uppgår till 3-4 m. I anslutning till bergspartierna vilar fyllnadsmaterialet direkt på berg.

Längs E6/E20 mellan Örgrytemotet och Kallebäcksmotet utgörs den övre delen av jordprofilen av fyllning vars mäktighet generellt varierar mellan 2-4 m. Större mäktigheter förekommer i anslutning till avfartsramperna vid Kallebäcksmotet.

Lera

I området mellan fastmarkspartierna utgörs jorden i huvudsak av lera. Lerans mäktighet är som störst i läget för Lisebergshallen där den är ca 20-25 m. Utförda CPT-sonderingar indikerar på en homogen lera utan någon förekomst av vattenförande skikt. Leran kan generellt betecknas som mellansensitiv. Högsensitiv lera förekommer dock vid nivåer under -8.

Lerans mäktighet är ca 10 m längs Kallebäcksmotets västra del för att vidare minska i östlig riktning mot berget. Inom de bebyggda delarna av delområdet har de största lermäktigheterna, ca 9 m, påträffats vid Laboratoriegatan där mäktigheten sedan minskar västerut och ökar österut.

I söder, vid Kallebäcksmotet, underlagras överbyggnaden av ca 0,5-2m lera.

Friktionsjord
Under leran följer ett lager fast friktionsjord där mäktigheten är som störst närmast Mölndalsån med mäktigheter mellan ca 16-18 m. Väster om Mölndalsån mellan Rondo och Lisebergshallen är mäktigheten ca 7-9 m och strax väster om Lisebergshallen är mäktigheten ca 1-2 m. Öster om Mölndalsån i höjd med Lisebergsgaragen är mäktigheten ca 1-8 m med en avtagande mäktighet mot öster.

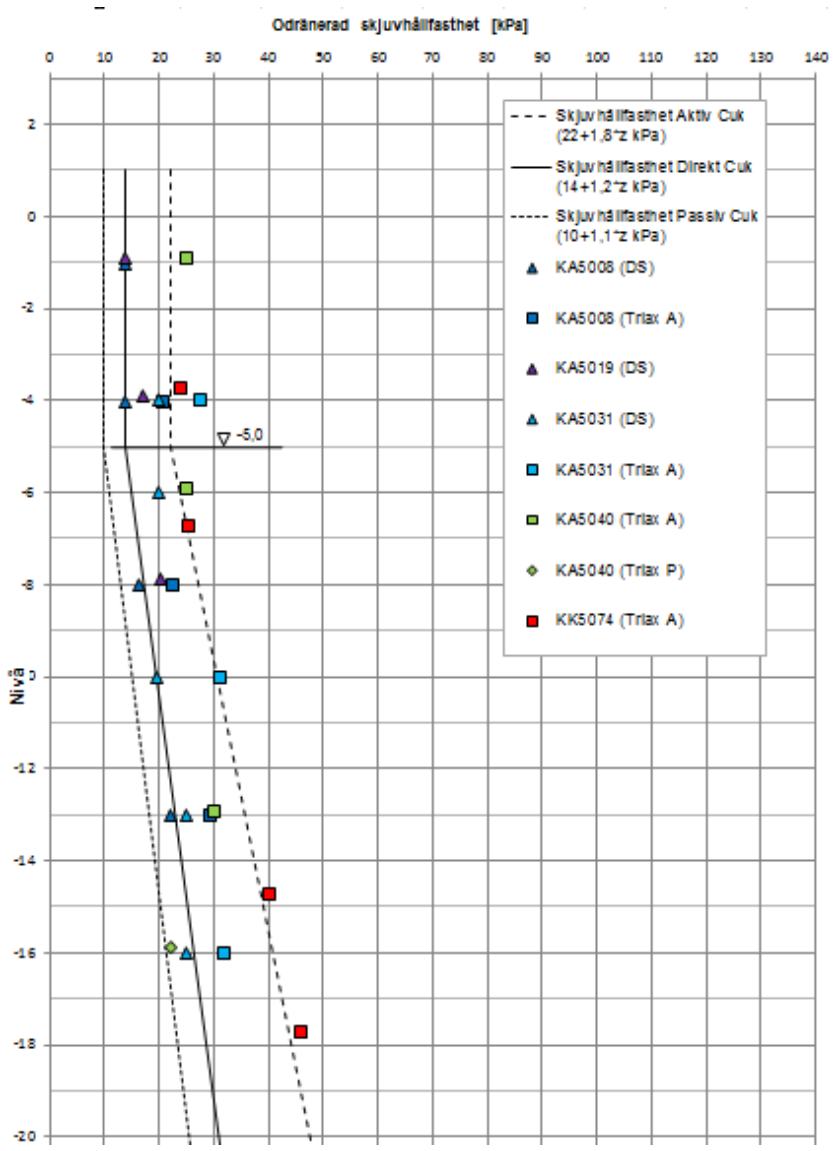
Under leran följer generellt ett tunt lager fast friktionsjord som i sin tur vilar på berg.

Berg
Berg i dagen förekommer i den västra delen av Lisebergsområdet och öster om E6/E20. Vid gångstråket, direkt väster om Lisebergshallen, sluttar berget brant i östlig riktning. Vid korsningen av E6/E20 ligger bergnivån på ca -6. Bergnivåerna vid Laboratoriegatan ligger på ca 0 till +8 och söder om bebyggelsen ligger den högsta bergnivån på ca +42. Längst i söder vid Kallebäcksmotet ligger bergnivåerna kring ca +0 till +4.

6.9.3 Geotekniska parametrar

Lerans densitet inom Mölndalsåns dalgång varierar mellan 1,5 t/m^3 ner till nivån -14 för att sedan öka till ca 2,0 t/m^3 vid nivån -19, därunder är densiteten konstant. Lerans vattenkvot är ca 90 % ner till nivån -16 för att därunder vara konstant ca 40 %. De högsta värdena på lerans vattenkvot påträffas i området kring Mölndalsån. Leran är generellt mellan- till högsensitiv med en sensitivitet som normalt varierar mellan ca 8-40. I området kring Mölndalsån förekommer dock högsensitiv lera (kvicklera) under nivån -12.

Den valda odränerade skjuvhållfastheten (c_{uk}) är konstant 14 kPa ner till nivån -5 och därunder är hållfasthetstillväxten 1,2 kPa/m, se Figur 41.



Figur 41 Skjuvhållfasthetsdiagram för Mölndalsåns dalgång

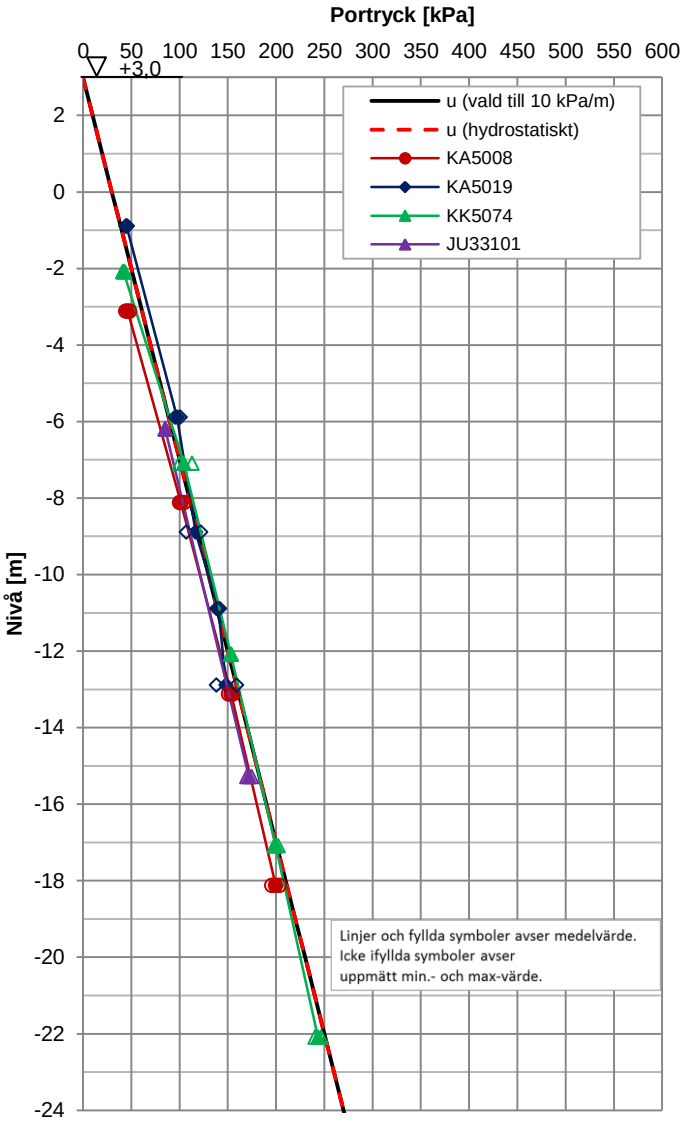
Leran inom Station Korsvägen är från nivån -5 överkonsoliderad med ca 15 kPa (OCR=1,3-1,1). Överkonsolideringen är något högre för de övre delarna av lerprofilen där den går från att vara 40 kPa i markytan till 15 kPa på nivån -5.

6.9.4 Geohydrologiska förhållanden

Grundvatten förekommer dels i de ytliga jordlagren, som till stor del består av fyllnadsmaterial, och dels i friktionsjordslagren under lerlagren. Nu utförda och tidigare utförda portrycksmätningar visar att trycknivån i leran motsvarar en grundvattenyta på nivån +1,5 till +4 vid Korsvägen. Portrycksmätningar visar på en i princip hydrostatisk

portrycksprofil, varpå en karakteristisk portrycksprofil med grundvattenyta på +3,0 m och hydrostatisk portrycksprofil har valts, se Figur 42.

Portrycksmätningar som är utförda i samband med provpumpning i den underliggande friktionsjorden visar på en tydlig trycksänkning i nedre delen av lerprofilen, närmast underliggande friktionsjord (det undre magasinet). Mätningarna visar vidare att efter provpumpningen har portrycken återhämtat sig och visar på normala värden.



Figur 42 Uppmätta portrycksnivåer inom området för Mölndalsåns dalgång

6.9.5 Sättningsförhållanden

Lerans spänningssituation inom området kring Mölndalsån innebär att det pågår sättningar i marken. Sättningarna som pågår är i huvudsak orsakade av dels lasttillskott från äldre utfyllnader i området, dels från grundvatten- och portrycksförändringar på grund av förändrade dräneringsförhållanden och dels från last av äldre byggnader som har grundlagts på korta kohesionspålar. Sättningshastigheten bedöms till 5 mm/år och bedöms pågå till ca 10 m djup.

Inom området för Liseberget och Örgryte bedöms det inte pågå några marksättningar på grund av små jordmäktigheter, berg i dagen eller berg nära markytan.

Inom området har sättningsuppföljning av byggnader och anläggningar pågått genom åren. Resultaten från sättningsmätningarna redovisas i separat PM F 05-020, daterad 2013-07-05, reviderad 2014-08-28. Nya mätpunkter/sättningsdubbar har även installerats i samband med projekteringen av järnvägstunneln. Sättningsuppföljning av nya och befintliga mätpunkter pågår och fortsätter under hela projektet.

6.9.6 Stabilitetsförhållanden

Den befintliga stabilitetssituationen för slänterna mot Mölndalsån har kontrollerats och redovisas i Bilaga 6. Resultaten visar att stabiliteten är tillfredställande och uppfyller rekommenderad säkerhetsnivå för befintliga förhållanden enligt IEG rapport 4:2010. Av- och påfartsramperna till E6 är grundförstärkta och pålgrundlagda vilket är positivt för stabiliteten i området. I södra delen av området (Almedal) som berörs av ändring av detaljer är stabiliteten för befintliga förhållanden tillfredställande och uppfyller rekommenderad säkerhetsnivå.

7 Bergteknik

Risk för bergras och blocknedfall har studerats i anslutning till de områden där järnvägsanläggningen bryter markytan. Resultaten av utförda besiktningar och rekommendationer avseende bergstabilitet och risk för blocknedfall redovisas i separat PM i Bilaga 7.

8 Slutsats

Denna PM avser geoteknisk beskrivning av de rådande geotekniska förhållandena inom området för de ändrade detaljplanerna. Gällande detaljplaner och dess planbestämmelser är fortsatt gällande efter ändringen, dock med tillägg för järnvägstunneln.

Grundläggning av tunneln kommer att utföras enligt Trafikverkets normer. Samtliga krav och förutsättningar kommer att utgöra grund för den järnvägsplan och MKB som trafikverket upprättar för Västlänken och dess anläggningar. Järnvägtunnel kommer att grundläggas så att krav på sättningar, stabilitet, upplyft och omgivningspåverkan blir säkerställda.

Järnvägsplan och MKB kommer att beskriva förutsättningar och konsekvenser för geotekniska frågor som berör omgivningspåverkan såsom sättningar, grundvatten-påverkan etc.

8.1 Stabilitet

Denna *detaljerade* stabilitetsutredning visar att stabilitet inom området är tillfredställande i enlighet med uppställda krav på erforderliga säkerhetsfaktorer mot brott.

Denna utredning avser endast beskrivning av stabilitetssituationen för befintliga förhållanden. Det finns dock inga ytterligare byggrätter i befintliga planer längs sträckningen att ta hänsyn till vid betraktande av stabilitetsförhållandena. I anslutning till förekommande kajer har konditionen på kajmurar och dess grundläggning i detta skede inte besiktigats då stabilitetsförhållandena för tunneln och dess sträckning ej påverkas av lokalstabiliteten kring kajerna vilken därmed inte är av betydelse för detaljplanen.

Anläggandet av Västlänken kommer medföra stora konsekvenser på området som helhet. Stabiliteten kommer att beaktas i samband med planeringen i kommande såväl projekterings- som utförandeskeden.

Stabilitetsanalysen i föreliggande rapport baseras på de idag rådande, kända, förutsättningarna inom planområdet. I samband med all förändring av områdena såsom nybyggnation, schaktning, ändrade dräneringsförutsättningar, lastförändringar, upplag etc. skall stabilitetssituationen beaktas.

I byggskedet hanteras schakters och slänters stabilitet i enlighet med Trafikverkets Tekniska krav (TK Geo 11, publ. 2011:047) som följer normerna i SS EN 1997-1. Inför byggskedet kommer kontrollprogram avseende schakters stabilitet att upprättas. Kontrollerna innefattar bland annat kontroll av horisontella och vertikala rörelser intill schakter.

Göteborg **2014-11-10, rev A 2015-06-11**
Sweco Civil AB / Golder Associates AB

Peter Damgaard Karolina Sanell Urban Högsta

Bilaga 1

Fyllnadsmaterial
Lera
Friktionsmaterial
Berg

0 500 1000m

454+000
+50
+40
+30
+20
+10
+0
-10
-20
-30
-40
-50
-60
-70
-80
-90
-100
-110

Ånäsmotet
Ånäsvägen
Gullbergsån
E6
Skansen Lejonet
Göta älvbron
Lilla Bommen
Kvarnberget
Stora Hamnkanalen
Otterhällan
Kungsgatan
Kungshöjd
Rosenlundskanalen
Nya Allén
Hagakyrkan
Vasagatan
Utsiktspl.
Föreningsg.
Sa. Viktoriag.
Aschebergsg.
Viktor Rydbergsg.
Olof Wijksgatan
Korsvägen
Mölndalsån
E6
Jakobsdalsg.
Jakobsdalsg.
Kallebäcksmotet
Sankt Sigfridsg.
Gårdatunneln
Götatunneln
Götatunneln
Station Centralen
Station Haga
Station Korsvägen

454+000 454+500 455+000 455+500 456+000 456+500 457+000 457+500 458+000 458+500 459+000 459+500 460+000 460+500 461+000 461+500 462+000 462+500 463+000 463+224 5+000 5+000

Bilaga 2

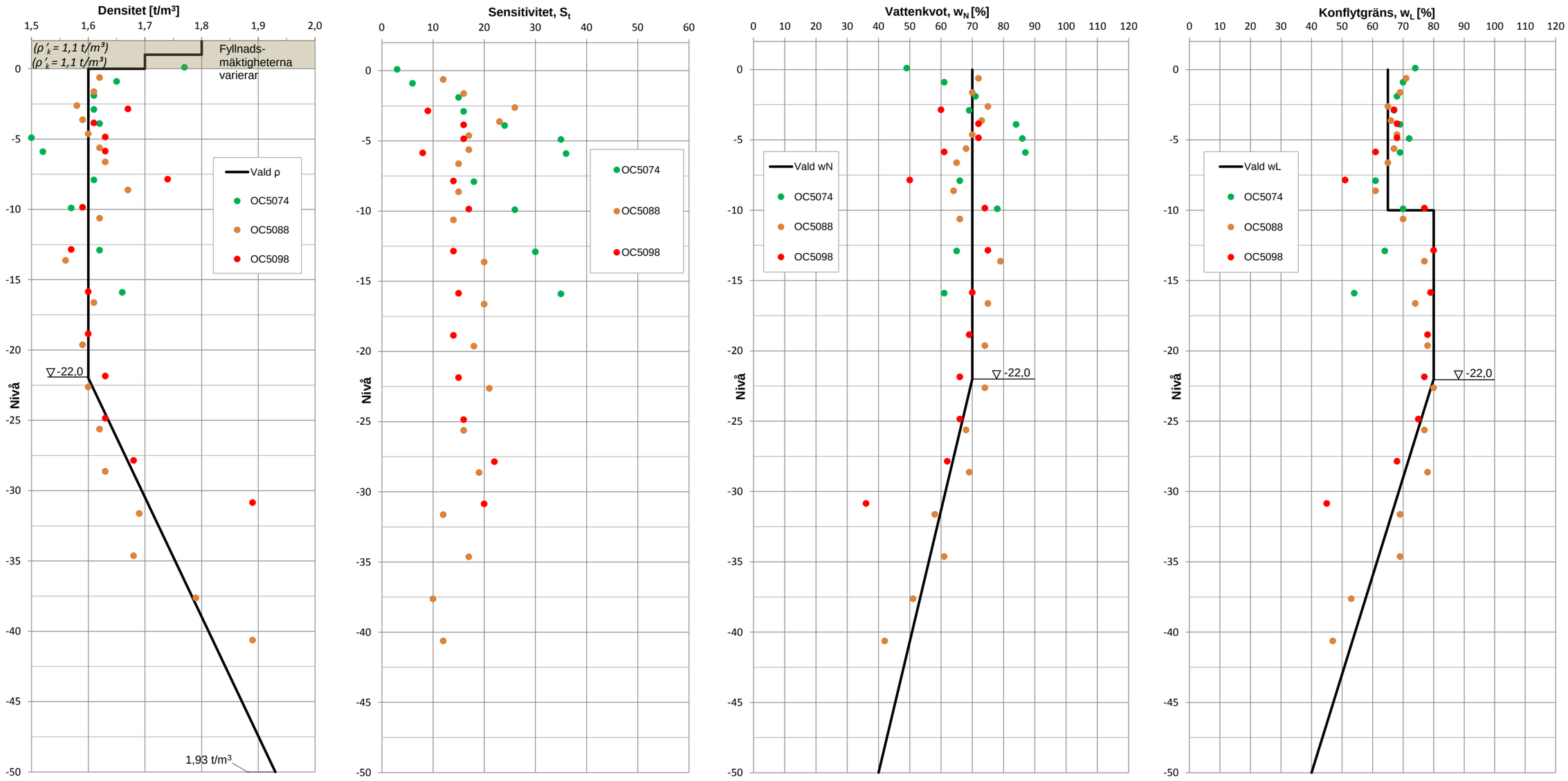
VÄSTLÄNKEN

DENSITET, SENSITIVITET, VATTENKVOT, KONFLYTGRÄNS

2014-06-19

LINJE OLSKROKEN - STATION CENTRALEN
km 455+850 - 456+200

BILAGA 9.1.1

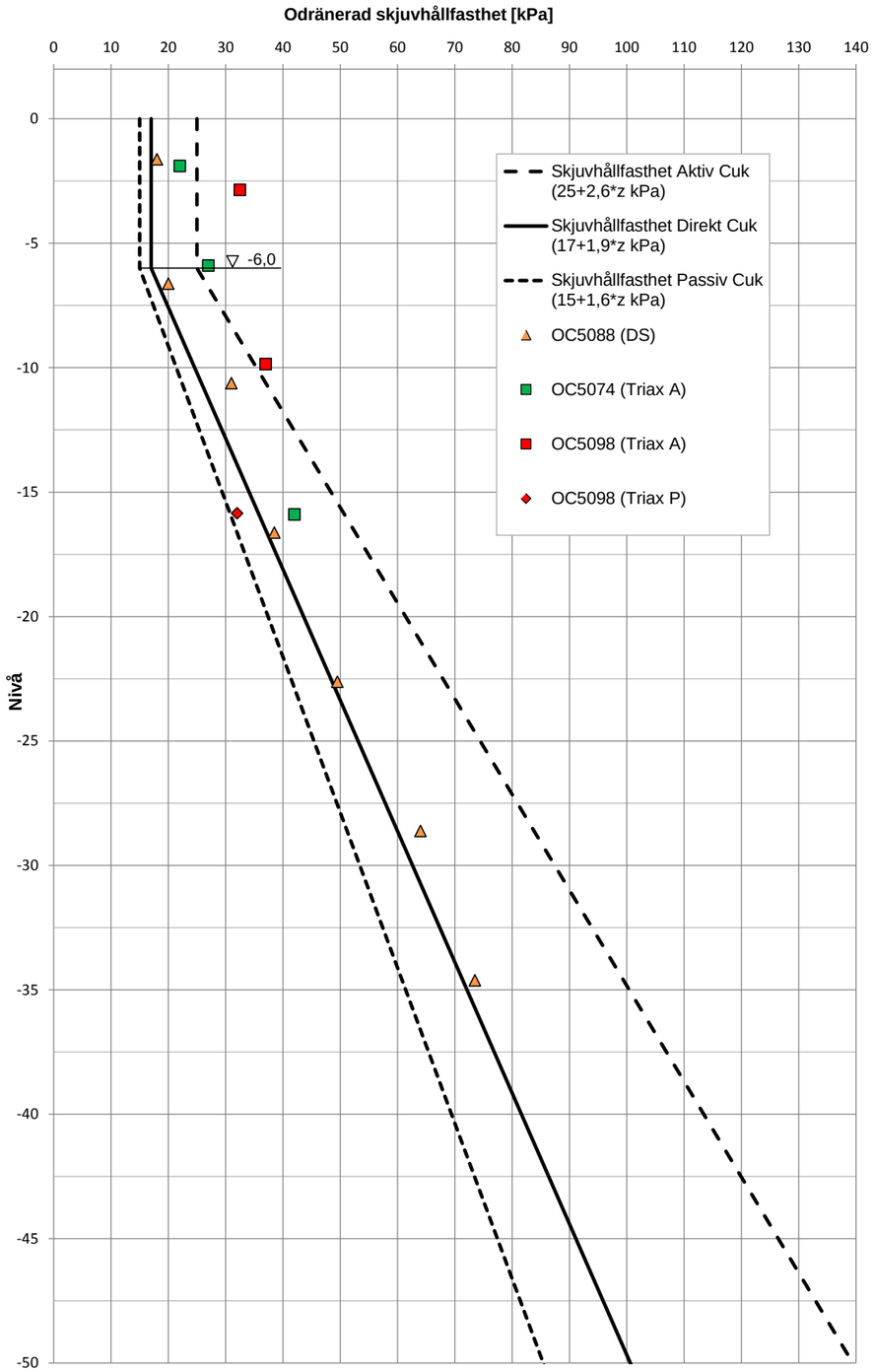


Friktionsjord som underlagrar leran
ρ_k = 1,9 t/m³
ρ'_k = 1,1 t/m³

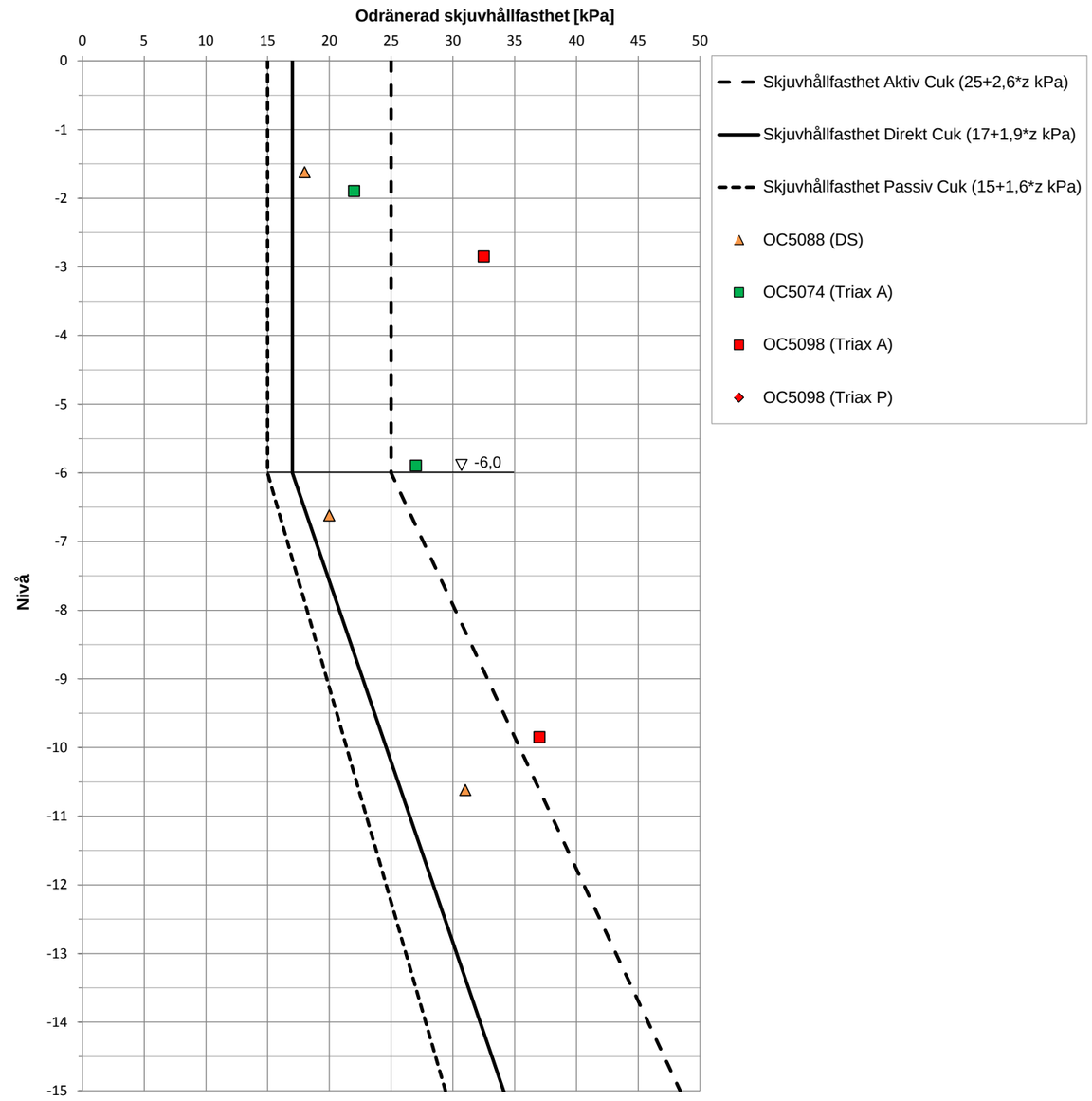
VÄSTLÄNKEN
ODRÄNERAD SKJUVHÅLLFASTHET
VALT KARAKTERISTISKT VÄRDE
2014-06-19

LINJE OLSKROKEN - STATION CENTRALEN
km 455+850 - 456+200

BILAGA 9.1.2.1



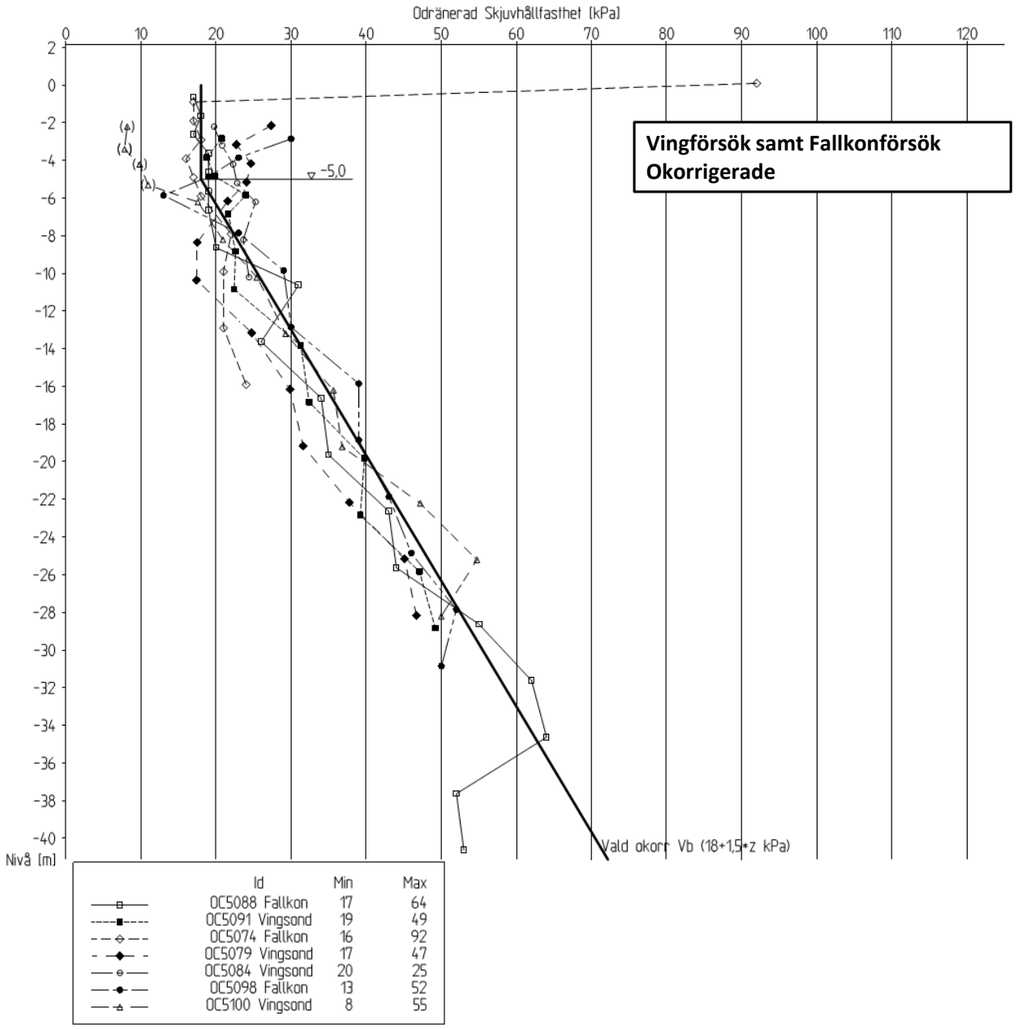
Detalj - Övre delen av jordprofilen



VÄSTLÄNKEN
ODRÄNERAD SKJUVHÅLLFASTHET
VALT KARAKTERISTISKT VÄRDE, OKORRIGERAT
2014-06-19

LINJE OLSKROKEN - STATION CENTRALEN
km 455+850 - 456+200

BILAGA 9.1.2.2



VÄSTLÄNKEN

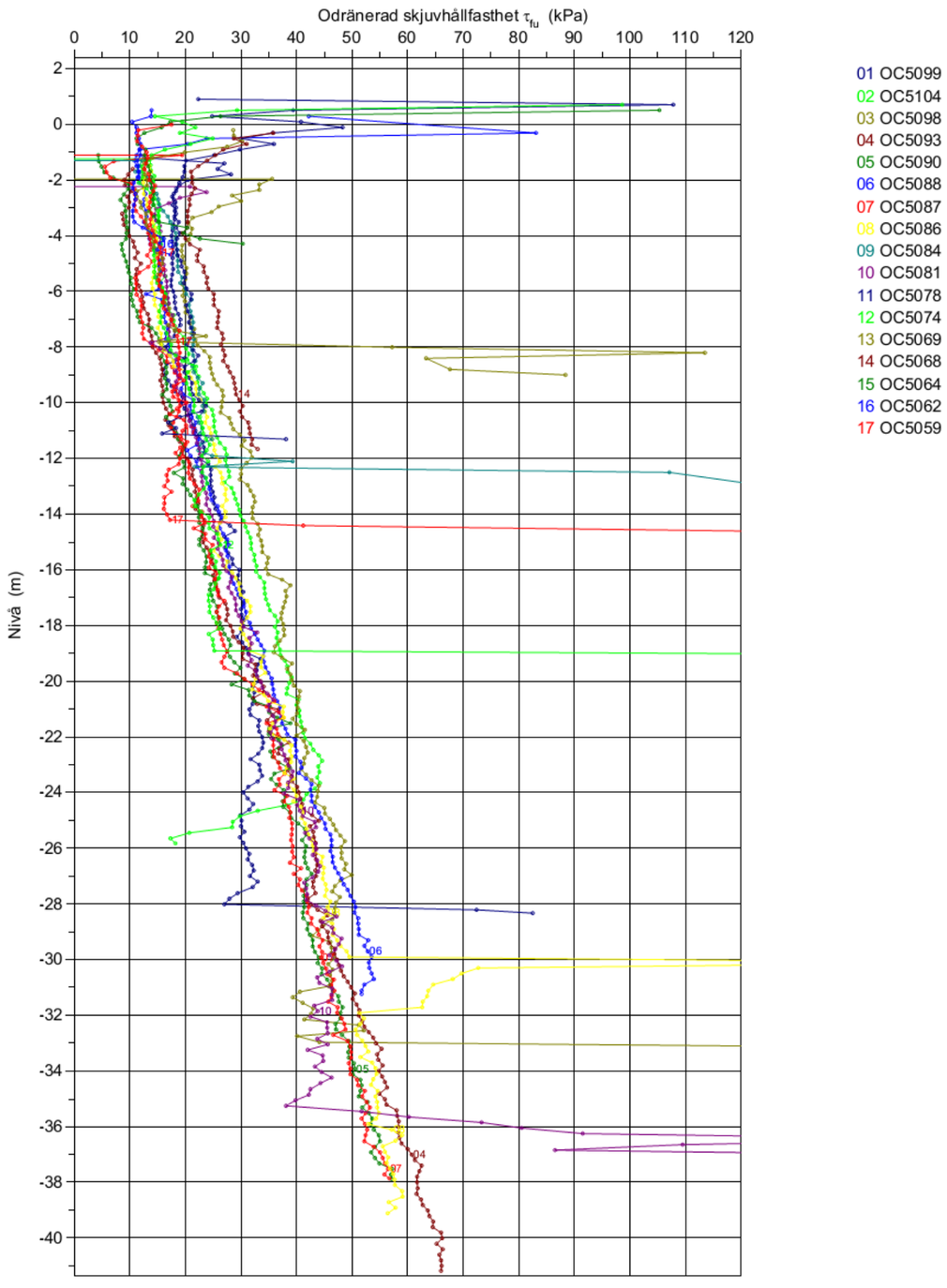
ODRÄNERAD SKJUVHÅLLFASTHET

SAMMANSTÄLLNING AV UTVÄRDERADE CPT-SONDERINGAR

2014-06-19

LINJE OLSKROKEN - STATION CENTRALEN
km 455+850 - 456+200

BILAGA 9.1.2.3



Dränerade hållfasthetsegenskaper i kohesionjord

Generellt gäller att vid dränerad analys ska för kohesionsjord antas att:
$\varphi'_k = 30°$
$c'_k = 0{,}1 \cdot c_{uk}$
där c_{uk} är karakteristisk odränerad skjuvhållfasthet

Hållfasthetsegenskaper i friktionsjord

Karakteristiska värden för friktionsvinkeln för befintlig överbyggnad, äldre fyllning samt underliggande friktionsjord framgår av nedanstående tabell.

Jordlager	***Friktionsvinkel, φ'***
Fy/Gr/Sa *(Befintlig överbyggnad, nyare fyllning)*	38°
Fy/Sa/Si *(Äldre befintlig fyllning)*	35°
Friktionsjord *(Naturligt avsatt friktionsjord som underlagrar leran)*	39°

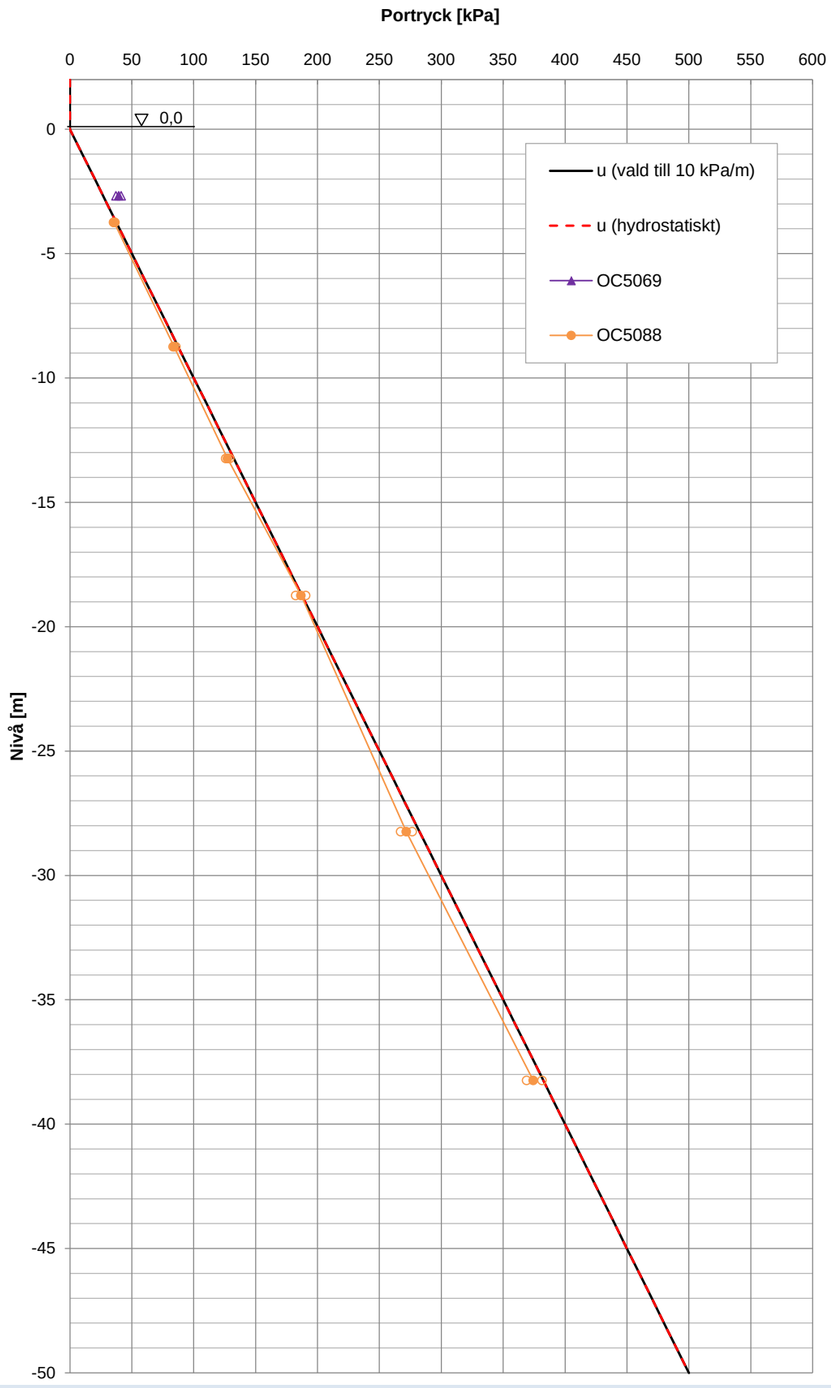
VÄSTLÄNKEN
PORTRYCKSPROFILER
2014-06-19

LINJE OLSKROKEN - STATION CENTRALEN
km 455+850 - 456+200

BILAGA 9.1.3

Linjer och fyllda symboler avser medelvärde. Icke ifyllda symboler avser uppmätt min.- och max-värde.

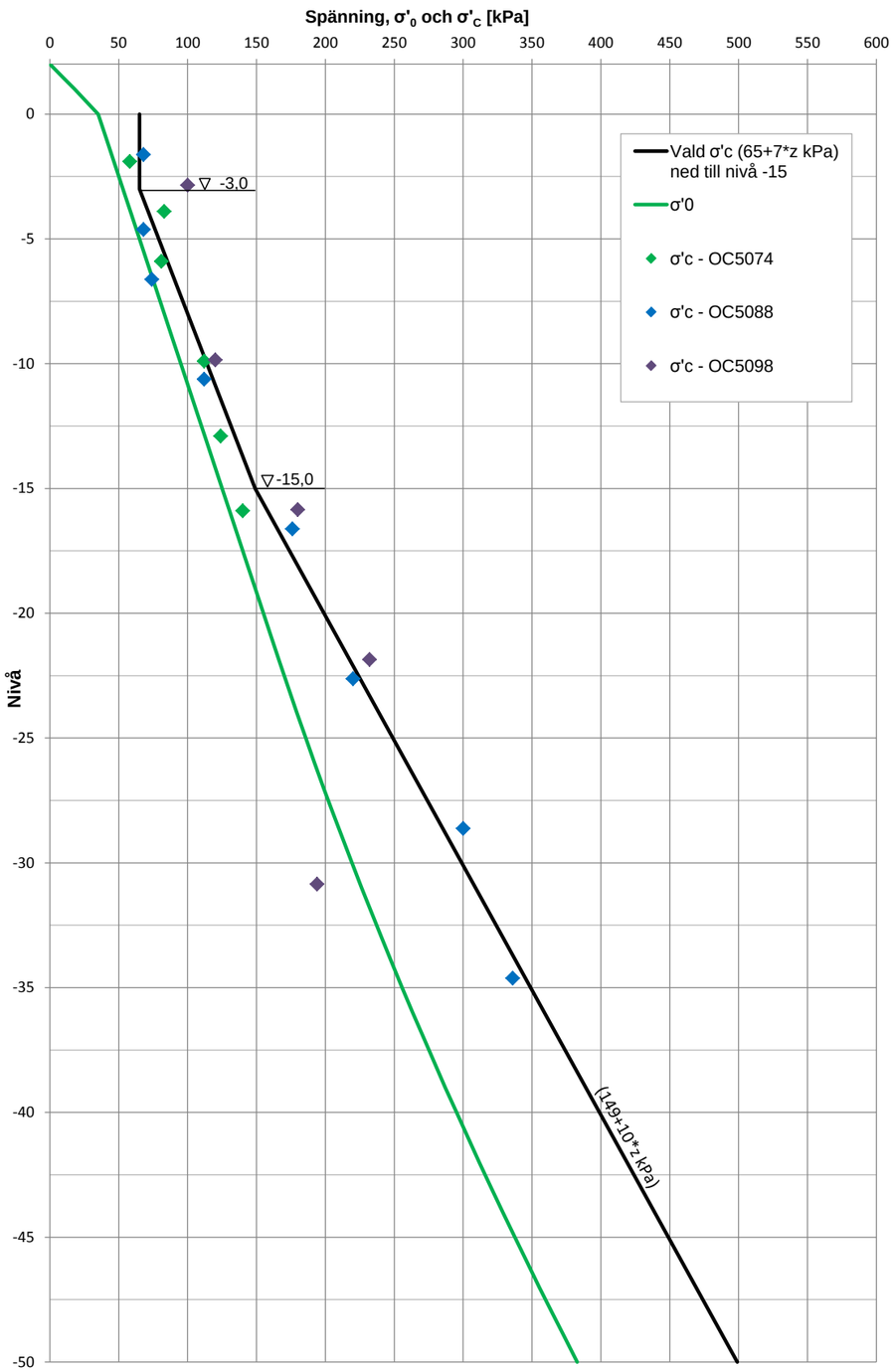
Mätperiod: 2012-10-05 - 2014-05-31

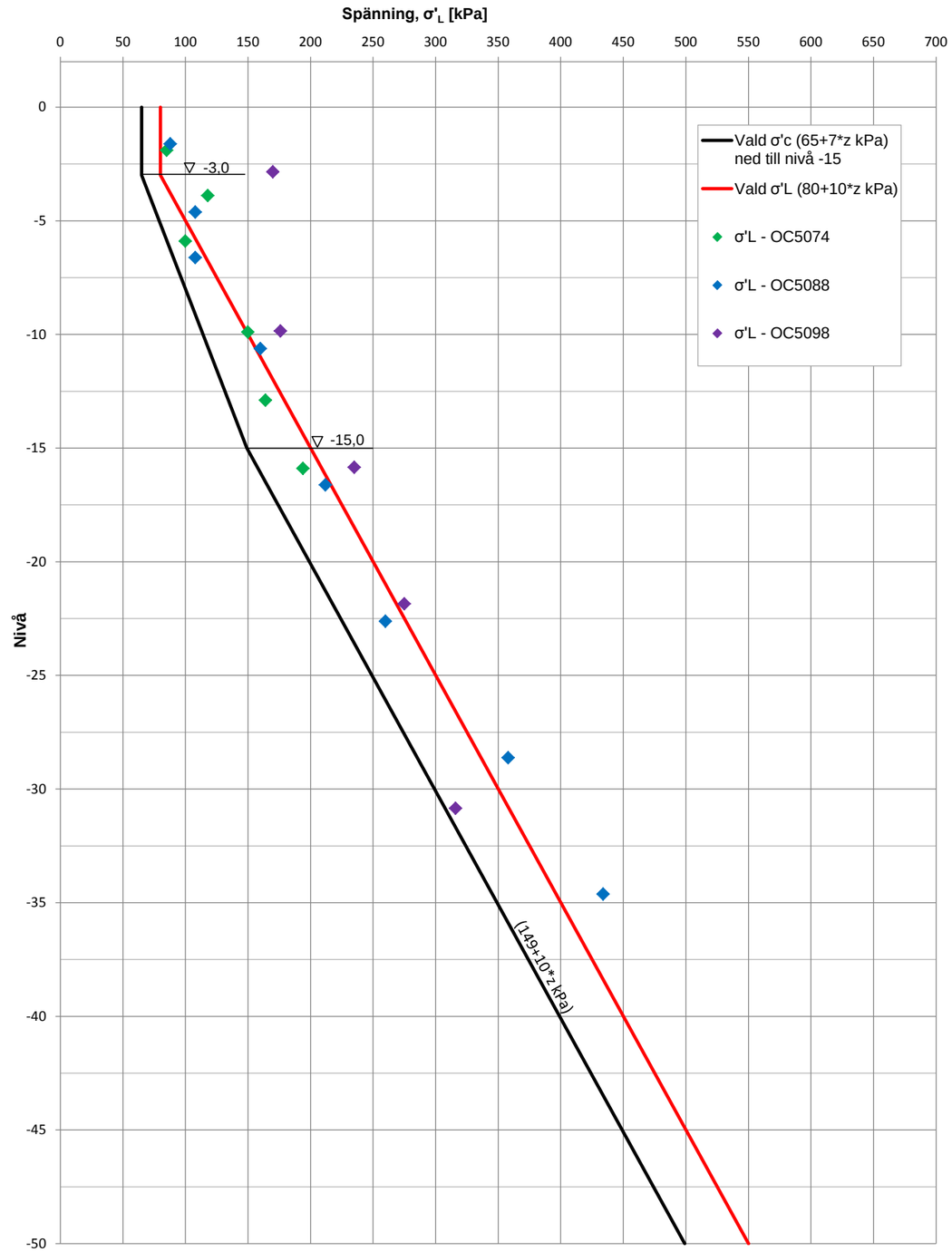


VÄSTLÄNKEN
SPÄNNINGAR
CRS-FÖRSÖK
2014-06-19

LINJE OLSKROKEN - STATION CENTRALEN
km 455+850 - 456+200

BILAGA 9.1.4.1



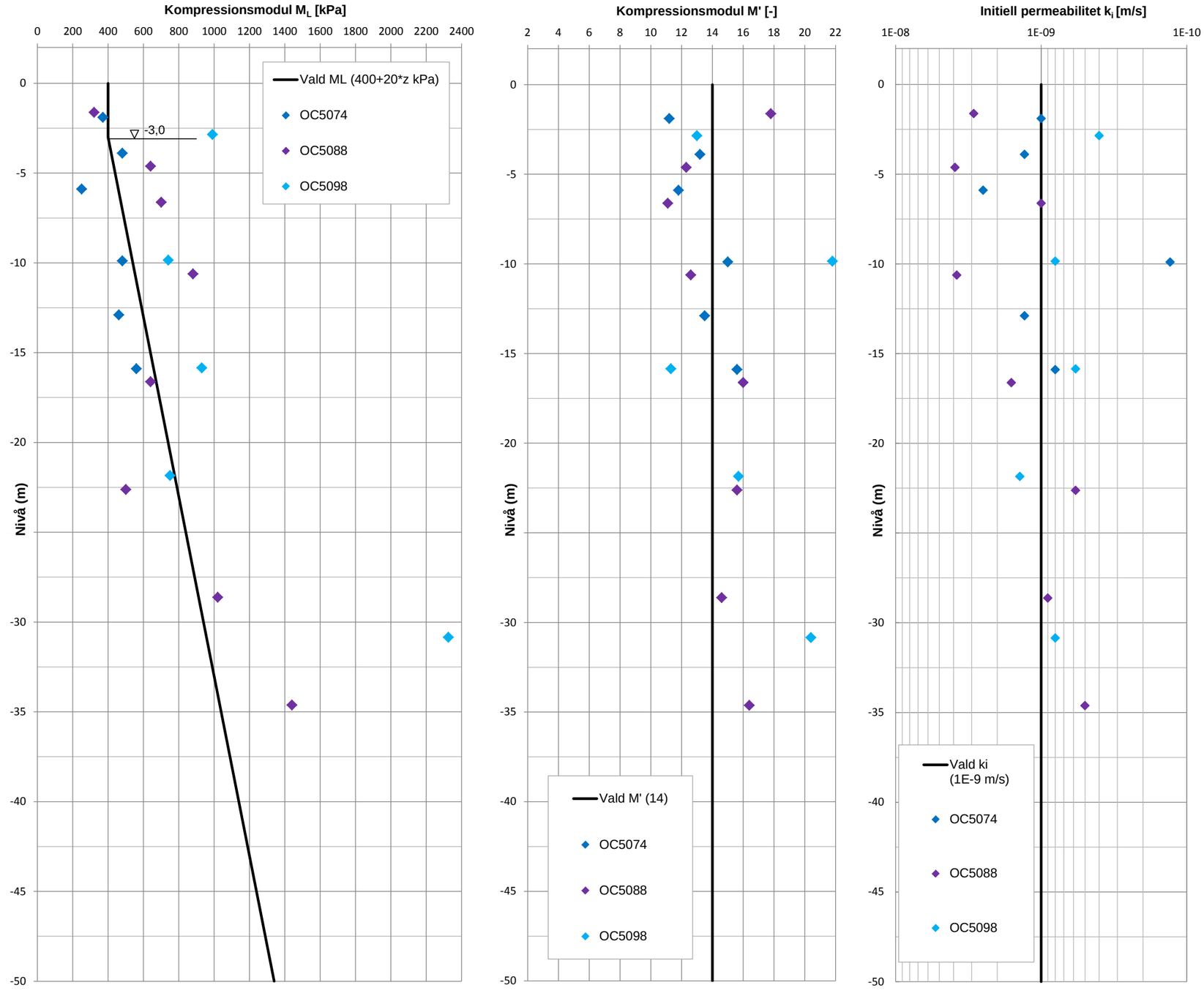


VÄSTLÄNKEN
MODULER, INITIELL PERMEABILITET
CRS-FÖRSÖK
2014-06-19

LINJE OLSKROKEN - STATION CENTRALEN
km 455+850 - 456+200

BILAGA 9.1.4.2

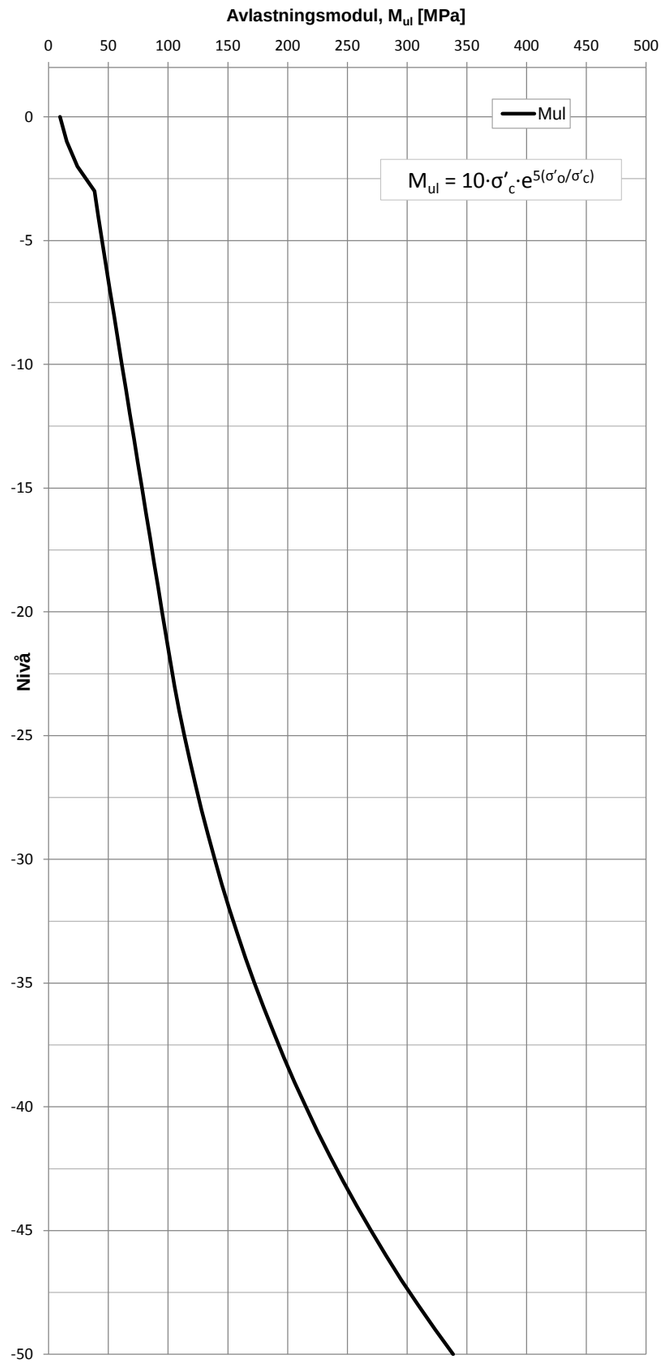
Kompressionsmodul, M_0 8500 kPa ner till nivå -6, därunder M_0 = 8500+950·z kPa



VÄSTLÄNKEN
MODULER
CRS-FÖRSÖK
2014-06-19

LINJE OLSKROKEN - STATION CENTRALEN
km 455+850 - 456+200

BILAGA 9.1.4.3



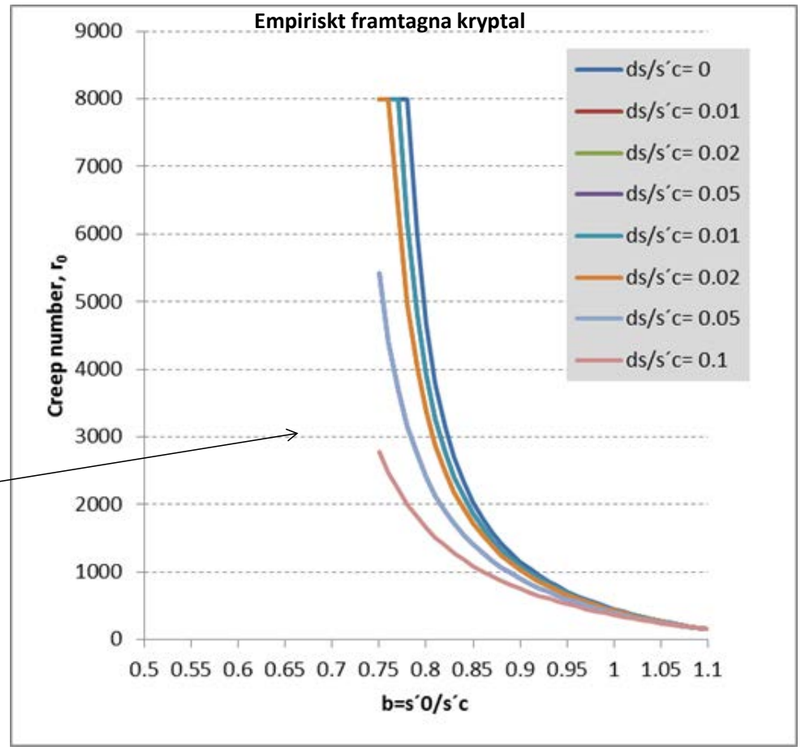
VÄSTLÄNKEN
KRYPPARAMETRAR
2014-06-19

LINJE OLSKROKEN - STATION CENTRALEN
km 455+850 - 456+200

BILAGA 9.1.4.4

Parameter	Värden som ska användas vid beräkningar (GS Settlements)
α_{Smax}	väljs enligt TK Geo 11, tabell 5.2-2
$\beta_{\alpha S}$	väljs enligt TK Geo 11, tabell 5.2-2
a_0	0,9
a_1	1,1
b_0	σ'_0/σ'_c
b_1	1,1
r_0 *	8000 vid $b_0 = 0,75$
r_0 *	3000 vid $b_0 = 0,8$
r_0 *	1750 vid $b_0 = 0,85$
r_0 *	1000 vid $b_0 = 0,9$
r_0 *	700 vid $b_0 = 0,95$
r_0 *	500 vid $b_0 = 1,0$
r_1	ln 10 / α_s (kap. 5.2.2.3.6, TK Geo 11)
t_{ref}	-1 dag
β_K	4

*Kryptal, r_0 har valts utifrån empiri i diagrammet till höger.



Kurvorna i diagrammet baseras på empiriskt framtagna kryptal med utgångspunkt från empiriska relationer som utvecklats i samband med pågående doktorandprojekt på Chalmers (Mats Olsson). Den empiriska funktionen bygger på metod som beskrivs i "Val av kryptal för lösa plastiska leror", daterad 2009-02-13. Parametern r_o kan genom denna empiriska relation bestämmas genom följande samband:

För $0.75<b<b_1$

$$r_0 = \frac{750 \cdot (b_1 - b_0)}{b_0 - 0.75 - \frac{\Delta\sigma}{\sigma'_{c_{ref}}}} + r_1 \quad \max r_0 = 8000$$

För $b \geq b_1$ gäller r_1

Där $b_1=1,1$ och $b_o = \sigma'_o/\sigma'_c$

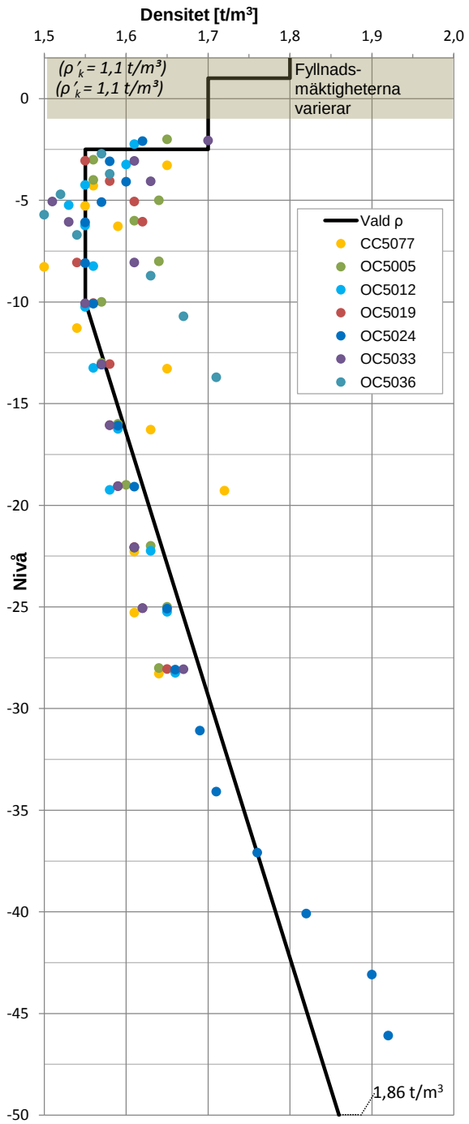
VÄSTLÄNKEN

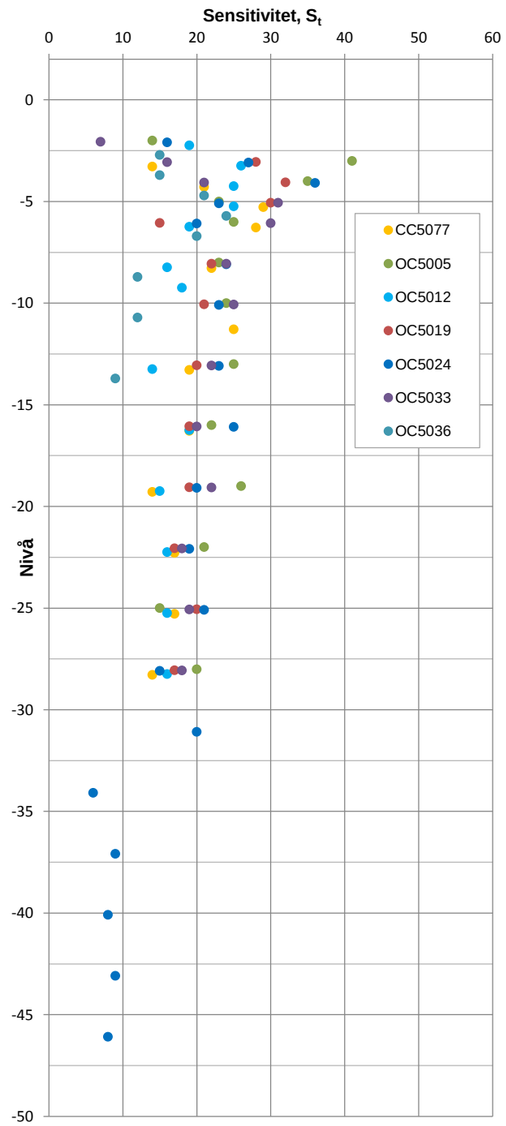
DENSITET, SENSITIVITET, VATTENKVOT, KONFLYTGRÄNS

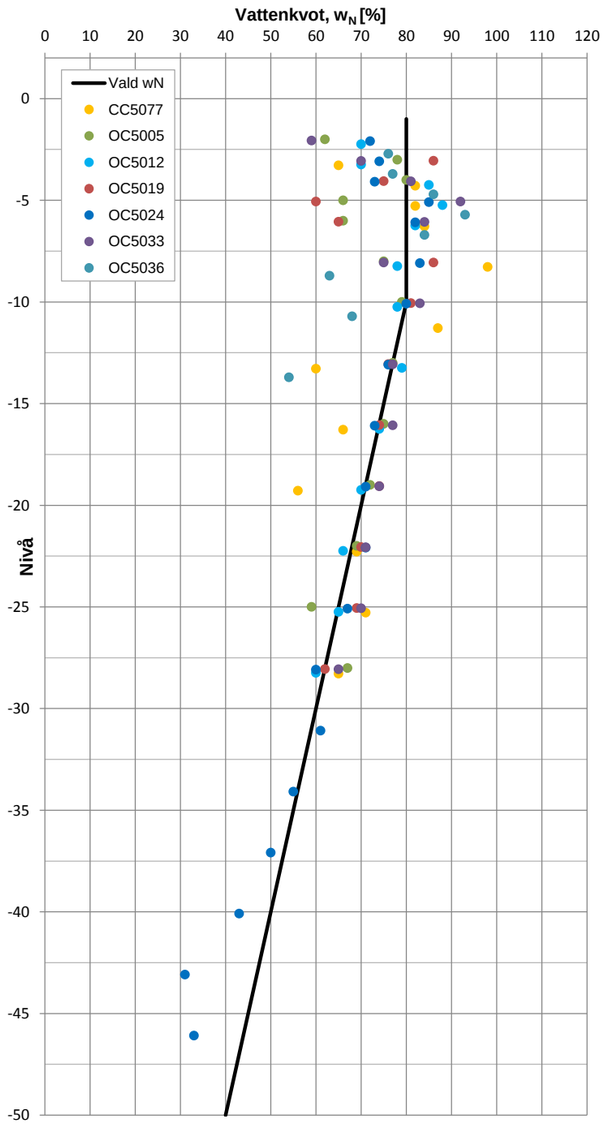
2014-06-19

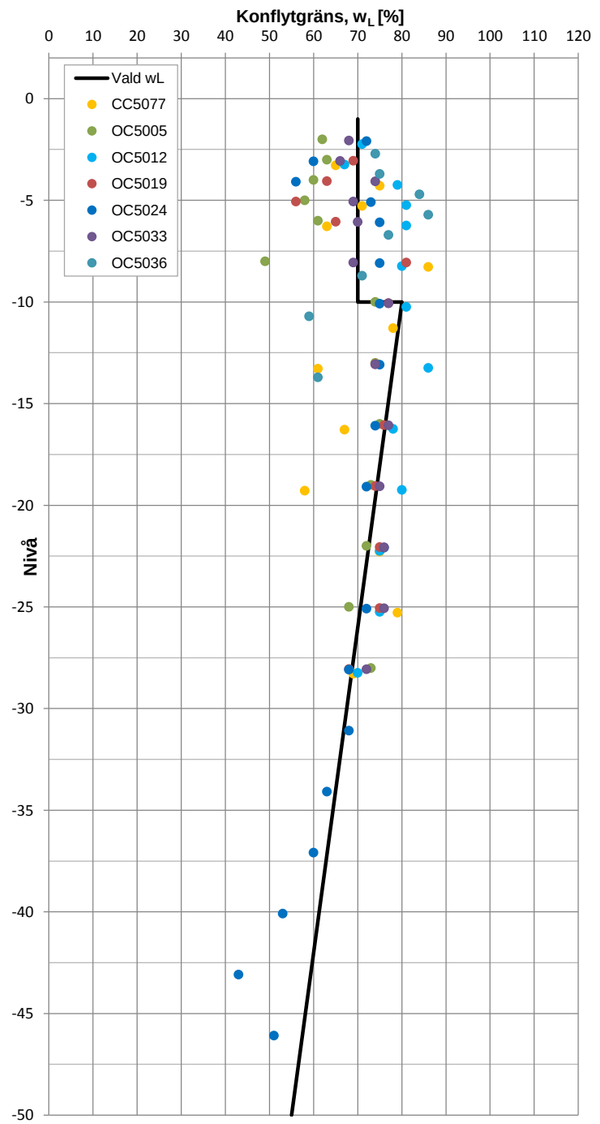
LINJE OLSKROKEN - STATION CENTRALEN
km 456+200 - 456+900

BILAGA 9.2.1







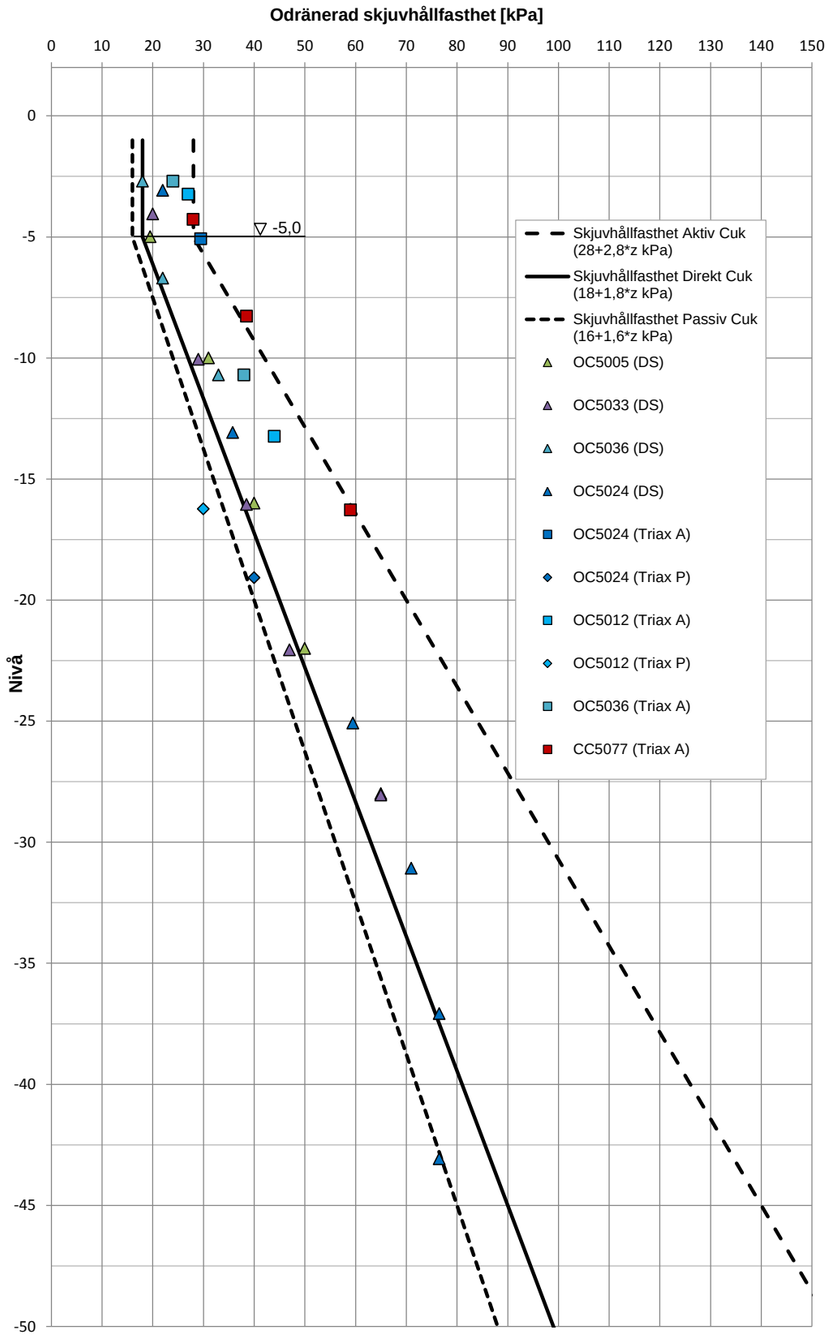


Friktionsjord som underlagrar leran
ρ_k = 1,9 t/m³
ρ'_k = 1,1 t/m³

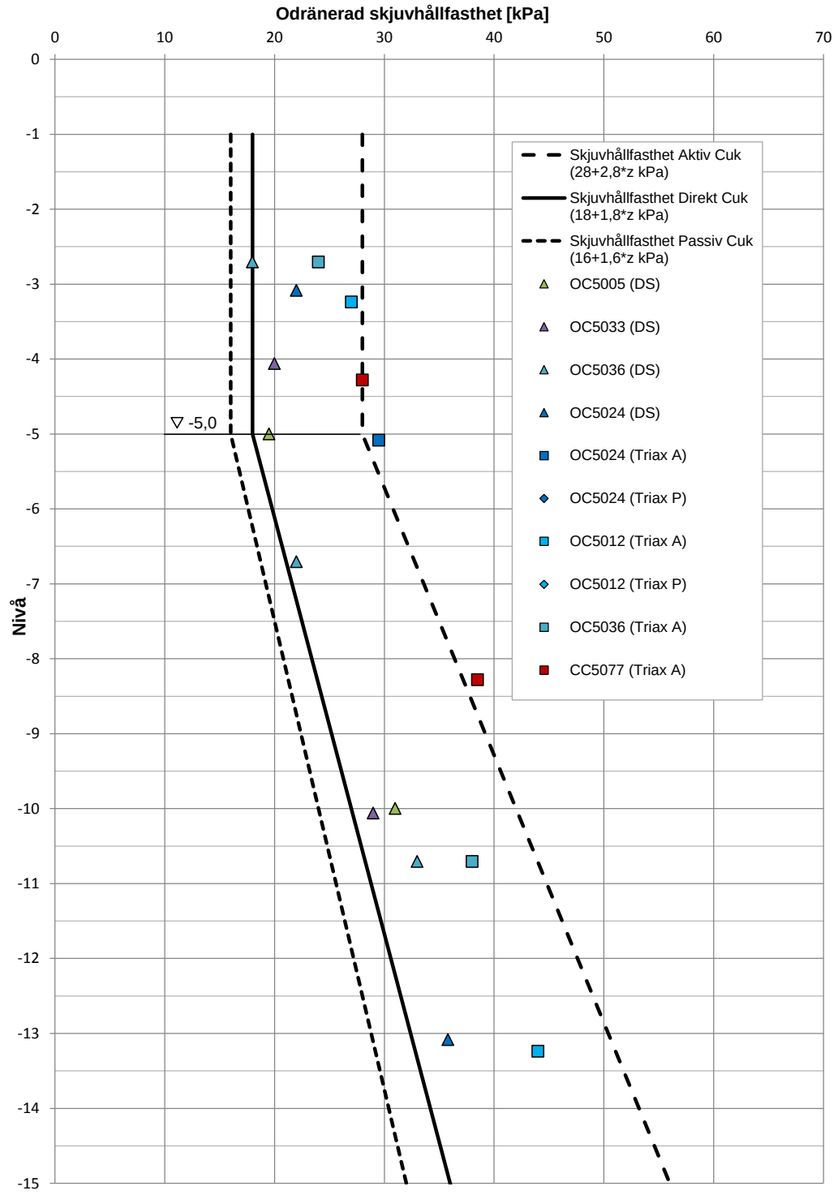
VÄSTLÄNKEN
ODRÄNERAD SKJUVHÅLLFASTHET
VALT KARAKTERISTISKT VÄRDE
2014-06-19

LINJE OLSKROKEN - STATION CENTRALEN
km 456+200 - 456+900

BILAGA 9.2.2.1



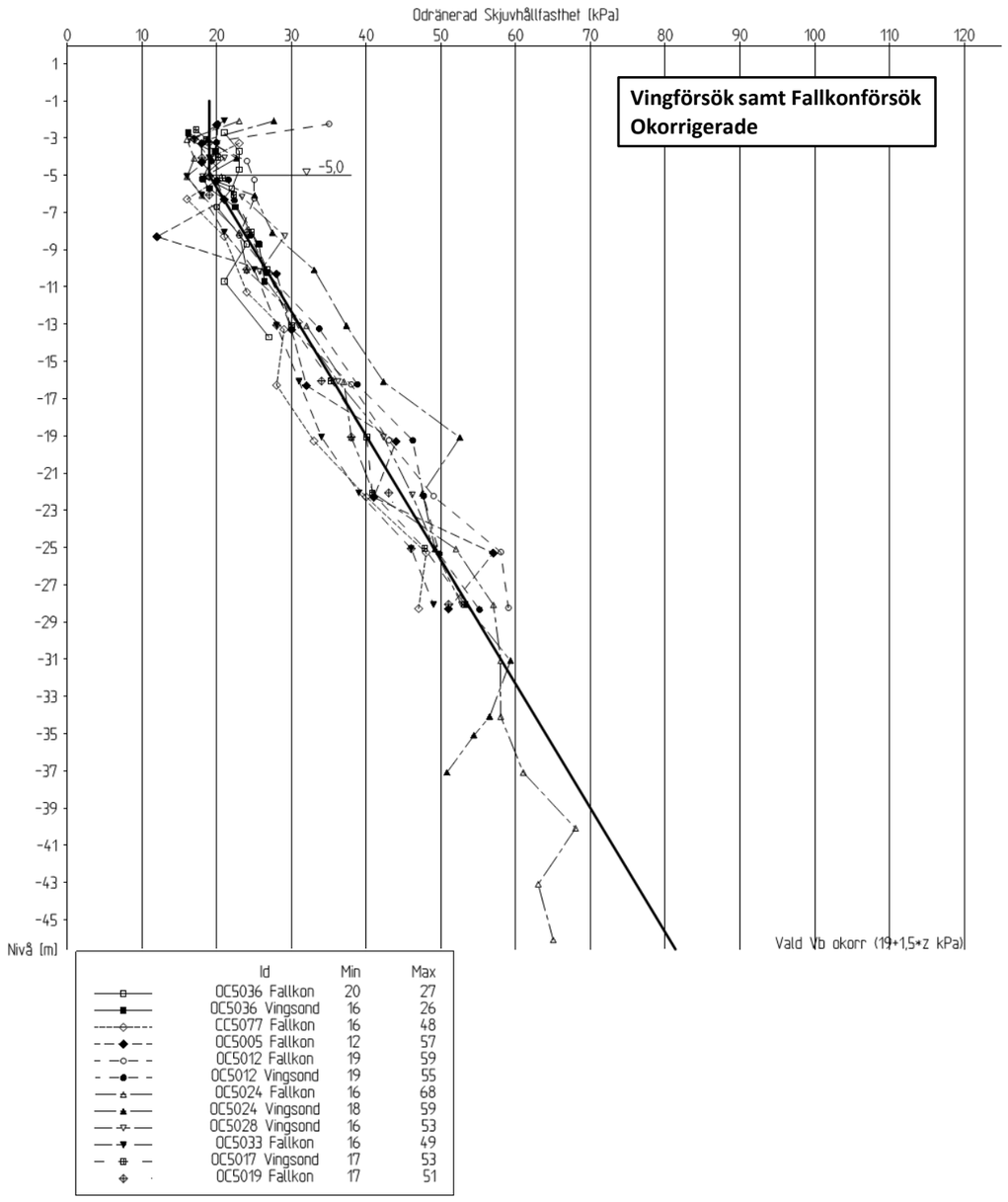
Detalj - Övre delen av jordprofilen



VÄSTLÄNKEN
ODRÄNERAD SKJUVHÅLLFASTHET
VALT KARAKTERISTISKT VÄRDE, OKORRIGERAT
2014-06-19

LINJE OLSKROKEN - STATION CENTRALEN
km 456+200 - 456+900

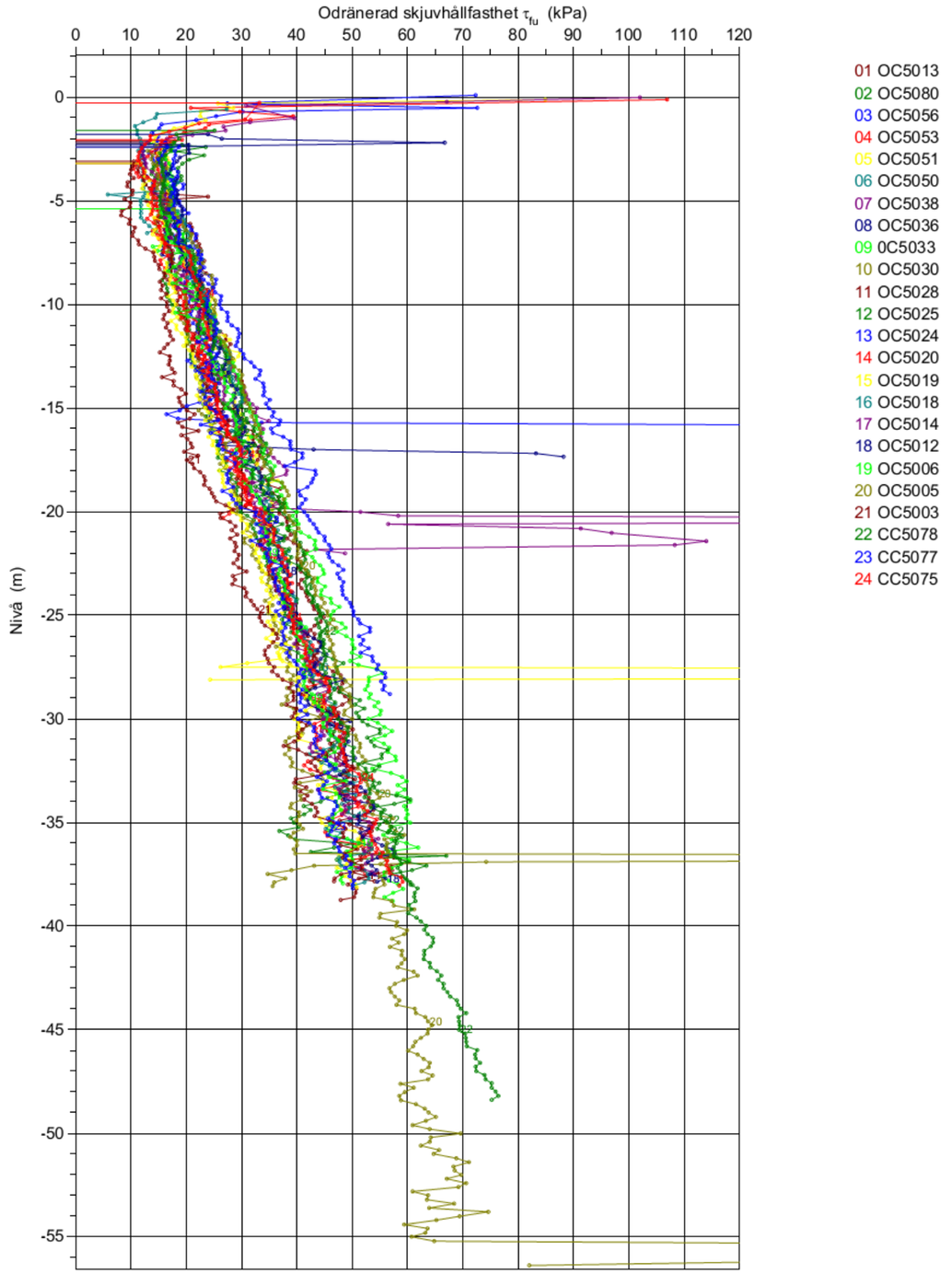
BILAGA 9.2.2.2



VÄSTLÄNKEN
ODRÄNERAD SKJUVHÅLLFASTHET
SAMMANSTÄLLNING AV UTVÄRDERADE CPT-SONDERINGAR
2014-06-19

LINJE OLSKROKEN - STATION CENTRALEN
km 456+200 - 456+900

BILAGA 9.2.2.3



Dränerade hållfasthetsegenskaper i kohesionjord

Generellt gäller att vid dränerad analys ska för kohesionsjord antas att:
$\varphi'_k = 30°$
$c'_k = 0{,}1 \cdot c_{uk}$
där c_{uk} är karakteristisk odränerad skjuvhållfasthet

Hållfasthetsegenskaper i friktionsjord

Karakteristiska värden för friktionsvinkeln för befintlig överbyggnad, äldre fyllning samt underliggande friktionsjord framgår av nedanstående tabell.

Jordlager	***Friktionsvinkel, φ'***
Fy/Gr/Sa *(Befintlig överbyggnad, nyare fyllning)*	38°
Fy/Sa/Si *(Äldre befintlig fyllning)*	35°
Friktionsjord *(Naturligt avsatt friktionsjord som underlagrar leran)*	39°

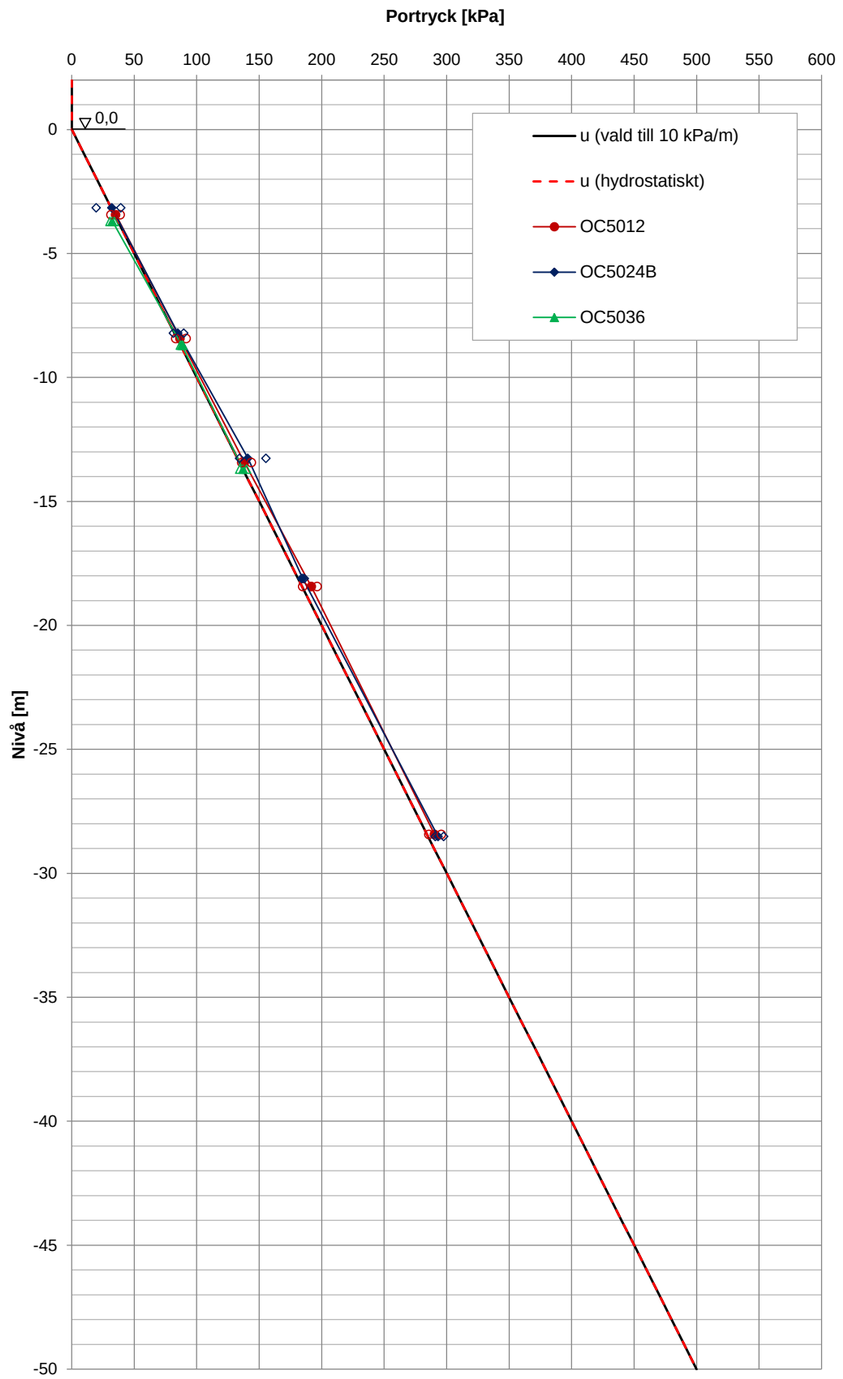
VÄSTLÄNKEN
PORTRYCKSPROFILER
2014-06-19

LINJE OLSKROKEN - STATION CENTRALEN
km 456+200 - 456+900

BILAGA 9.2.3

Linjer och fyllda symboler avser medelvärde. Icke ifyllda symboler avser uppmätt min.- och max-värde.

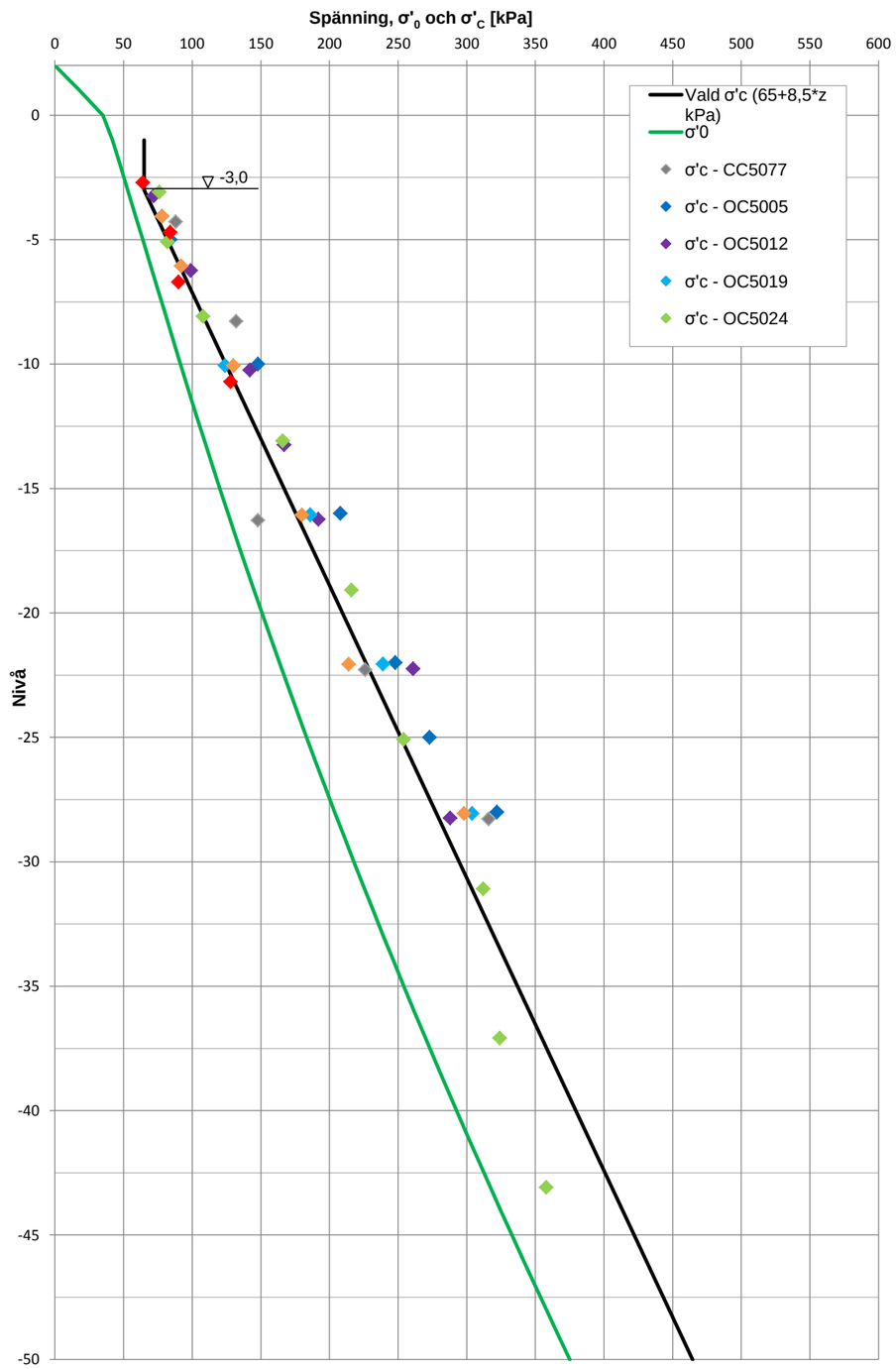
Mätperiod: 2012-10-11 - 2014-05-18

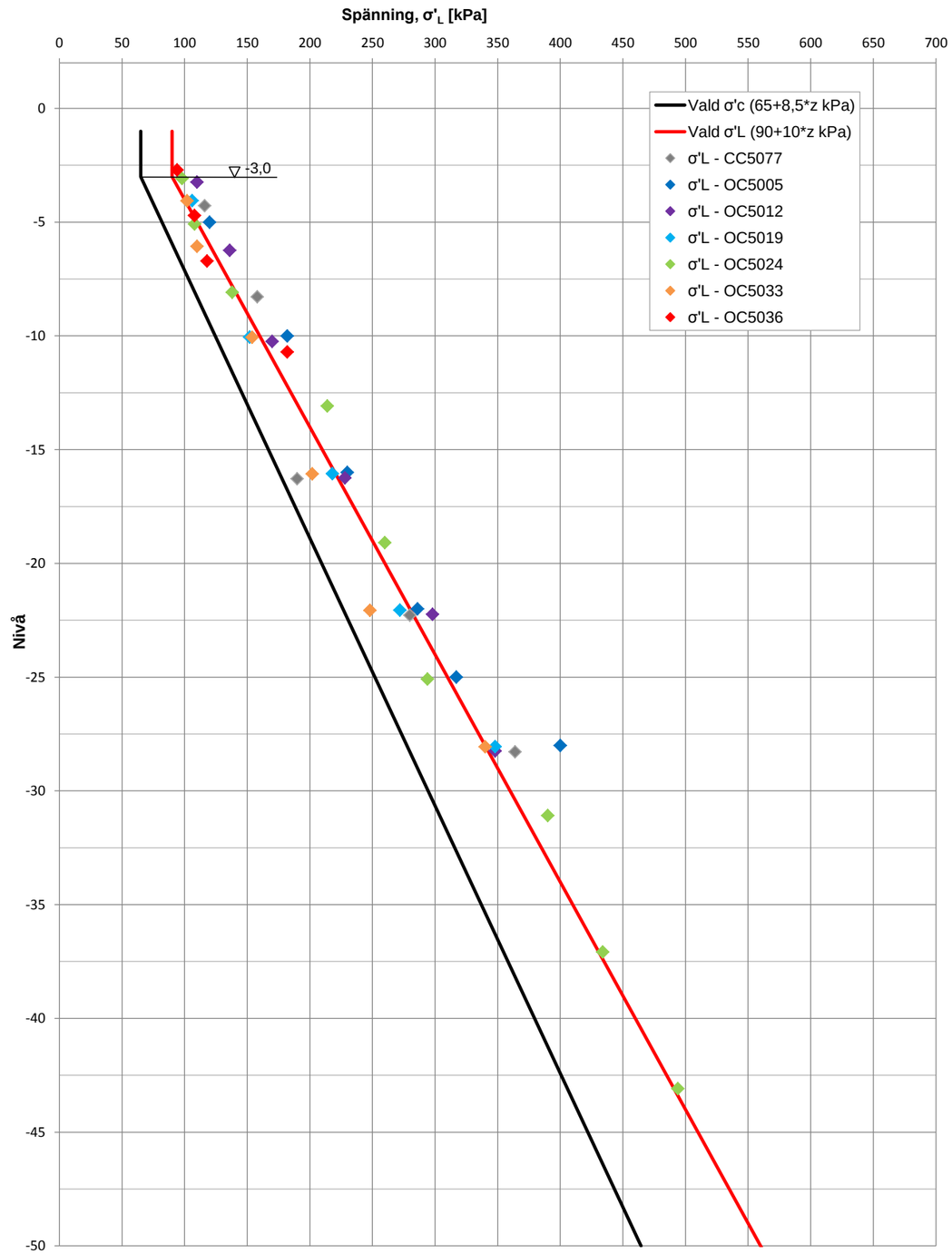


VÄSTLÄNKEN
SPÄNNINGAR
CRS-FÖRSÖK
2014-06-19

LINJE OLSKROKEN - STATION CENTRALEN
km 456+200 - 456+900

BILAGA 9.2.4.1



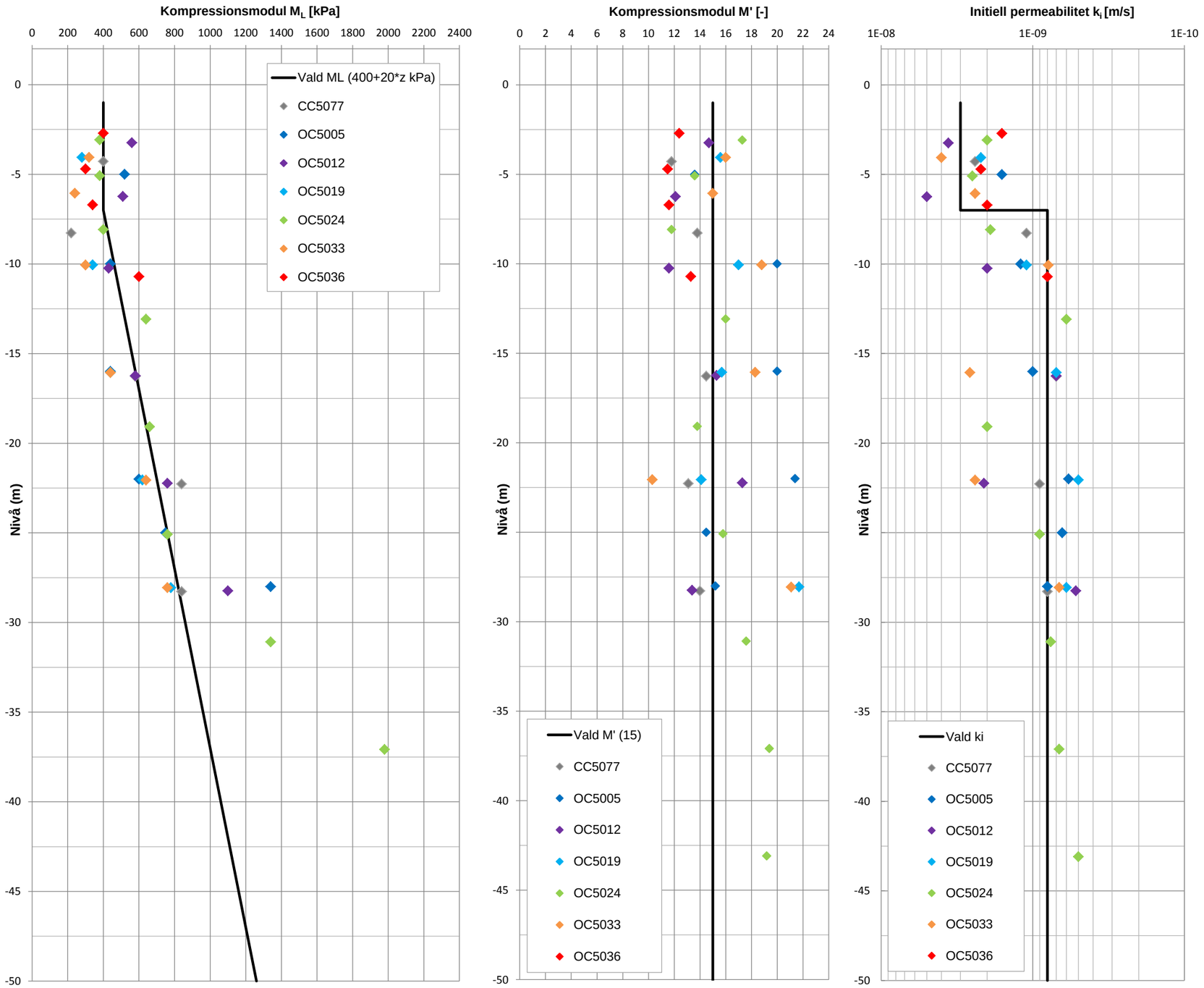


VÄSTLÄNKEN
MODULER, INITIELL PERMEABILITET
CRS-FÖRSÖK
2014-06-19

LINJE OLSKROKEN - STATION CENTRALEN
km 456+200 - 456+900

BILAGA 9.2.4.2

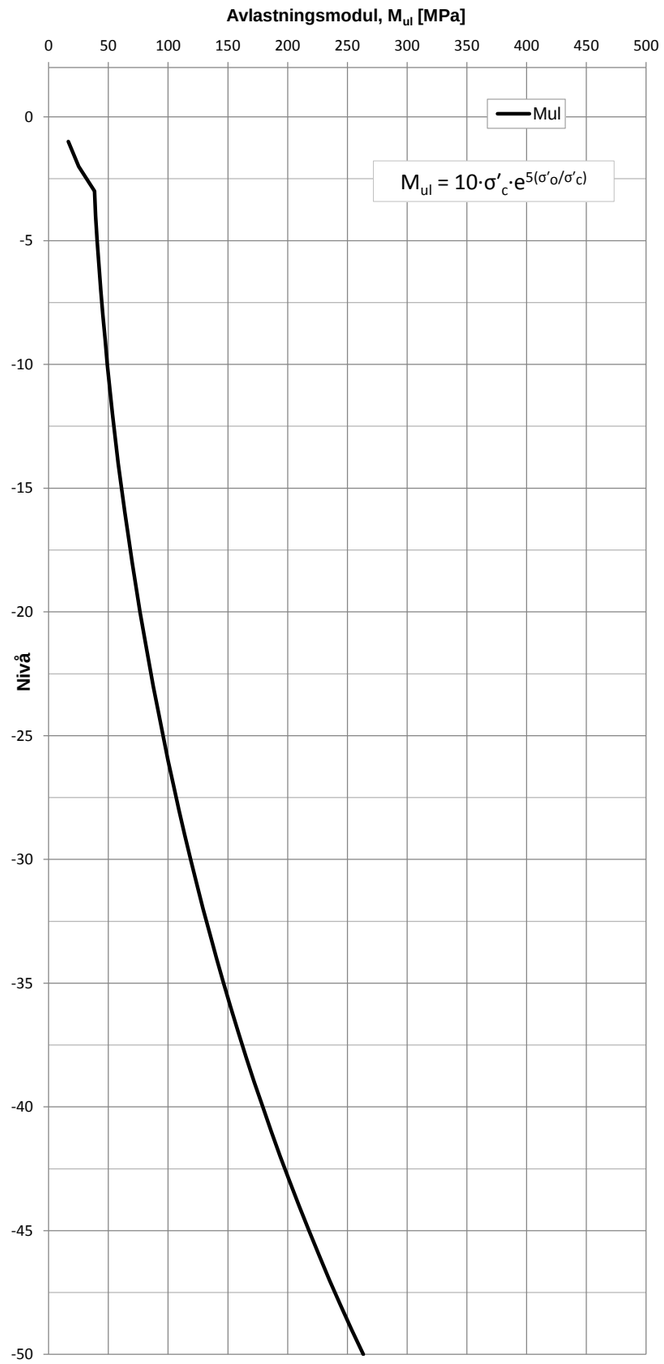
Kompressionsmodul, M_0 9000 kPa ner till nivå -5,
därunder M_0 = 9000+900·z kPa



VÄSTLÄNKEN
MODULER
CRS-FÖRSÖK
2014-06-19

LINJE OLSKROKEN - STATION CENTRALEN
km 456+200 - 456+900

BILAGA 9.2.4.3



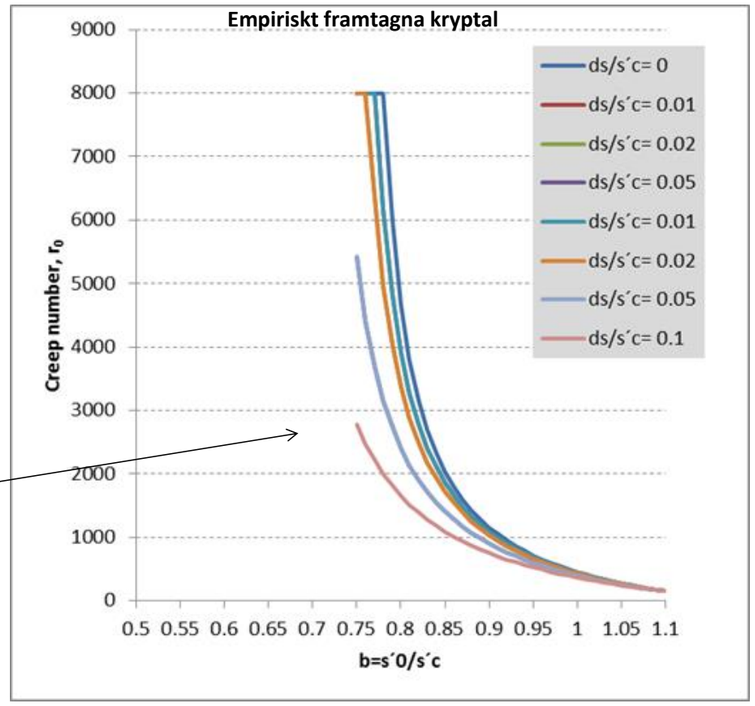
VÄSTLÄNKEN
KRYPPARAMETRAR
2014-06-19

LINJE OLSKROKEN - STATION CENTRALEN
ca km 456+200 - 456+900

BILAGA 9.2.4.4

Parameter	**Värden som ska användas vid beräkningar (GS Settlements)**
α_{Smax}	väljs enligt TK Geo 11, tabell 5.2-2
$\beta_{\alpha S}$	väljs enligt TK Geo 11, tabell 5.2-2
a_0	0,9
a_1	1,1
b_0	σ'_0/σ'_c
b_1	1,1
r_0 *	8000 vid $b_0 = 0,75$
r_0 *	3000 vid $b_0 = 0,8$
r_0 *	1750 vid $b_0 = 0,85$
r_0 *	1000 vid $b_0 = 0,9$
r_0 *	700 vid $b_0 = 0,95$
r_0 *	500 vid $b_0 = 1,0$
r_1	ln 10 / α_s (kap. 5.2.2.3.6, TK Geo 11)
t_{ref}	-1 dag
β_K	4

*Kryptal, r_0 har valts utifrån empiri i diagrammet till höger.



Kurvorna i diagrammet baseras på empiriskt framtagna kryptal med utgångspunkt från empiriska relationer som utvecklats i samband med pågående doktorandprojekt på Chalmers (Mats Olsson). Den empiriska funktionen bygger på metod som beskrivs i "Val av kryptal för lösa plastiska leror", daterad 2009-02-13. Parametern r_0 kan genom denna empiriska relation bestämmas genom följande samband:

För $0.75<b<b_1$

$$r_0 = \frac{750 \cdot (b_1 - b_0)}{b_0 - 0.75 - \frac{\Delta\sigma}{\sigma'_{c_{ref}}}} + r_1 \quad \max r_0 = 8000$$

För $b \geq b_1$ gäller r_1

Där $b_1=1,1$ och $b_0= \sigma'_0/\sigma'_c$

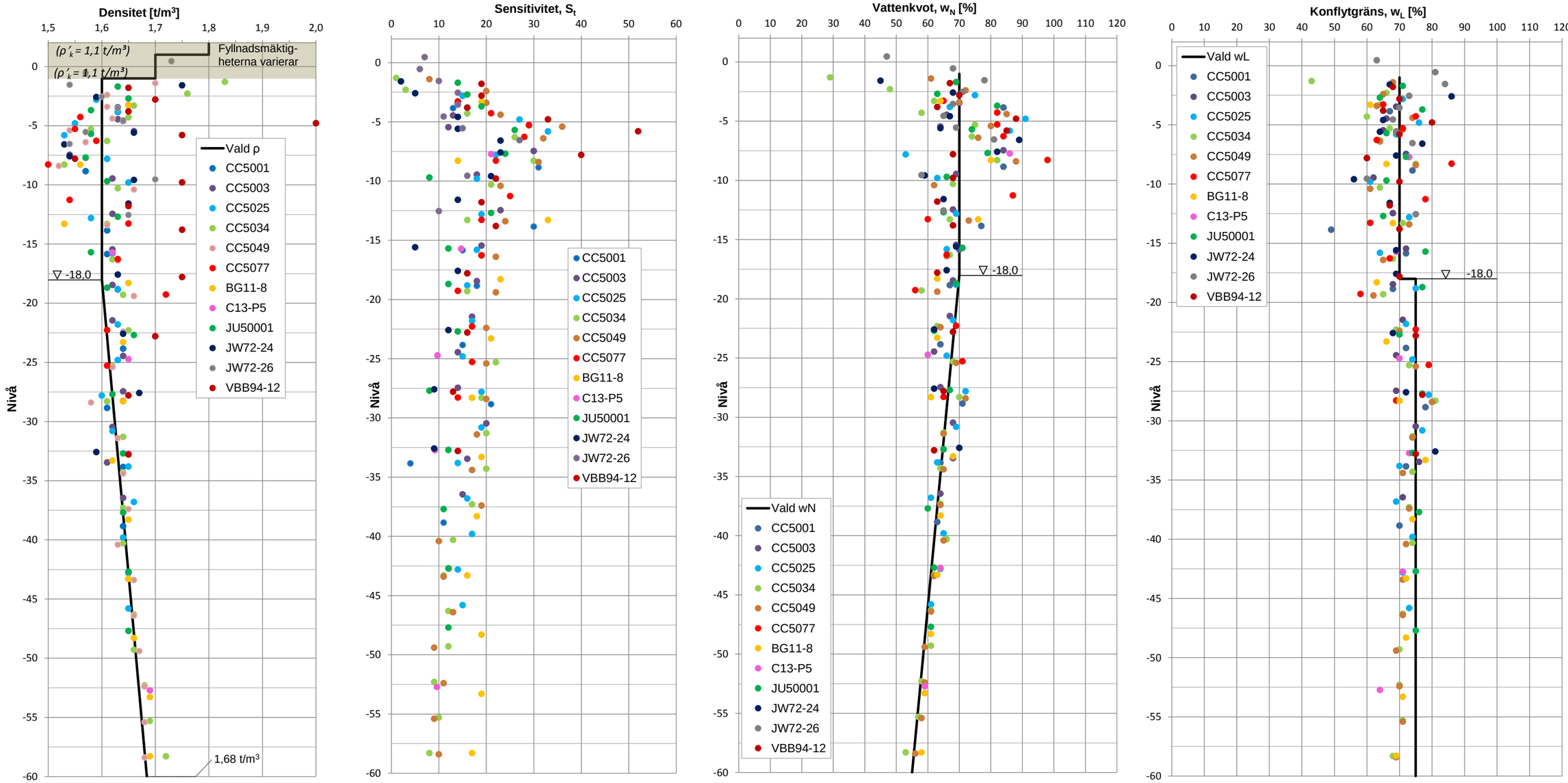
VÄSTLÄNKEN

DENSITET, SENSITIVITET, VATTENKVOT, KONFLYTGRÄNS

2014-06-19

STATION CENTRALEN
km 456+900 - 457+500

BILAGA 10.1.1

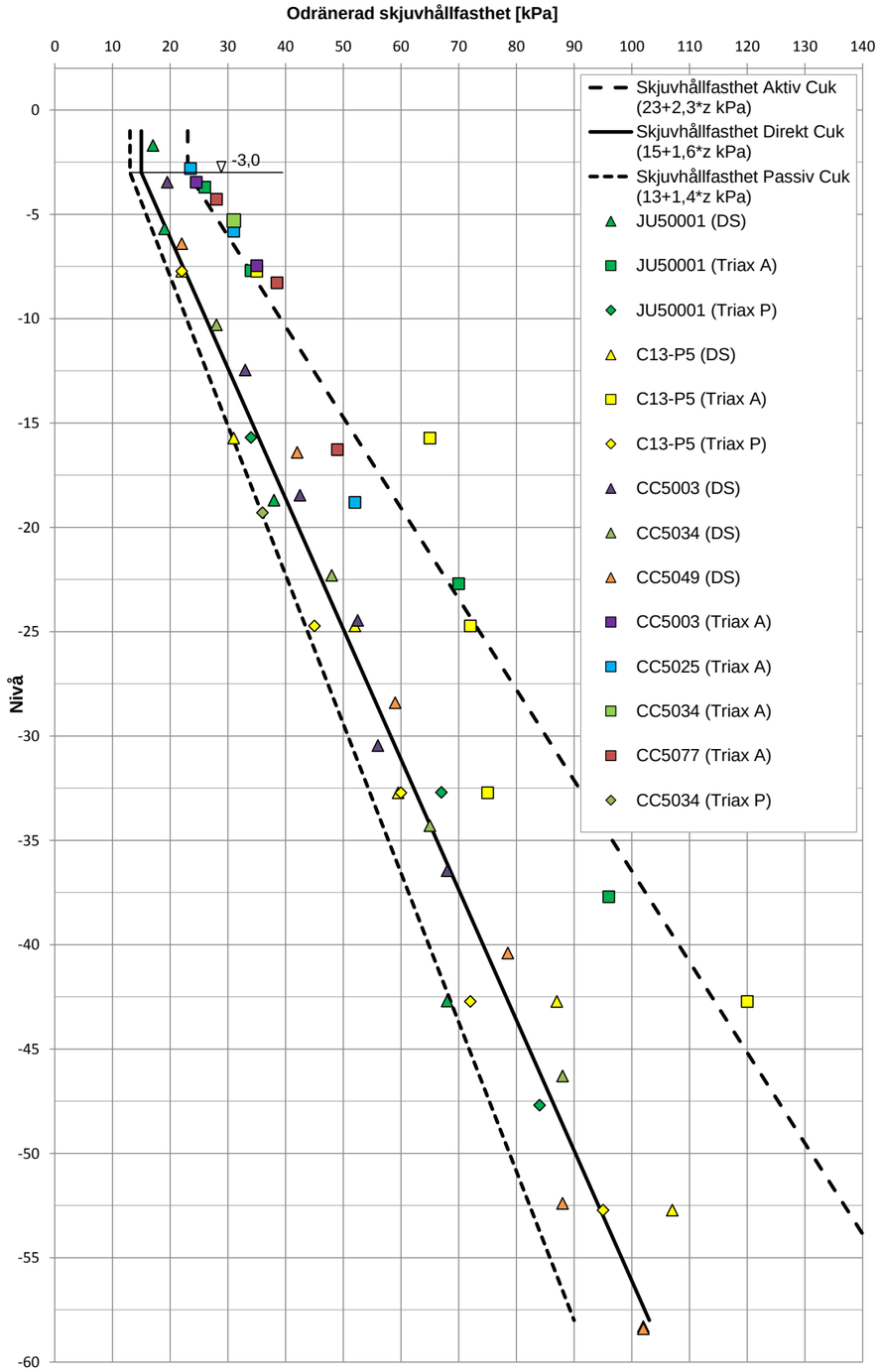


Friktionsjord som underlagrar leran
ρ_k = 1,9 t/m³
ρ'_k = 1,1 t/m³

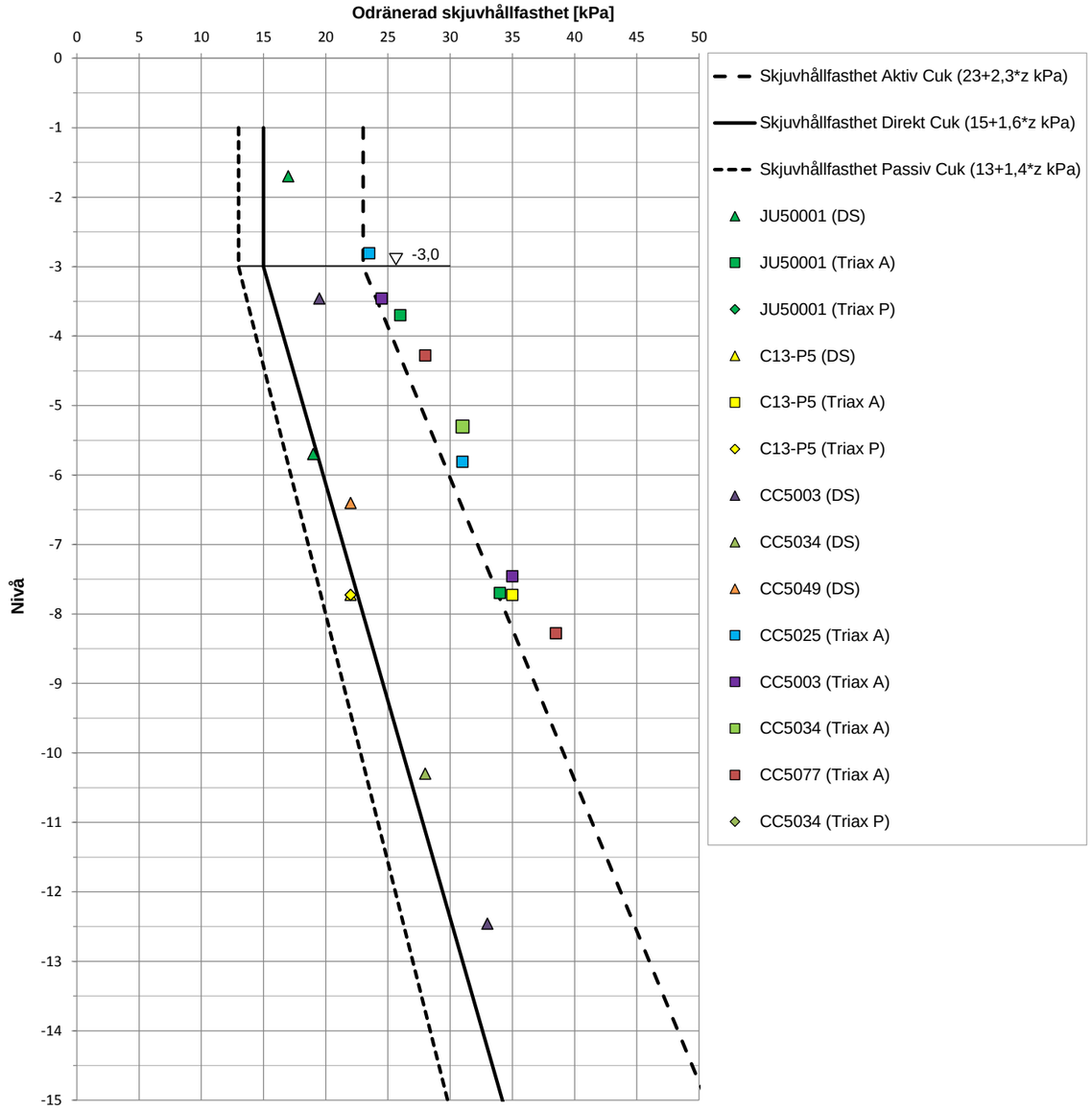
VÄSTLÄNKEN
ODRÄNERAD SKJUVHÅLLFASTHET
VALT KARAKTERISTISKT VÄRDE
2014-06-19

STATION CENTRALEN
km 456+900 - 457+500

BILAGA 10.1.2.1



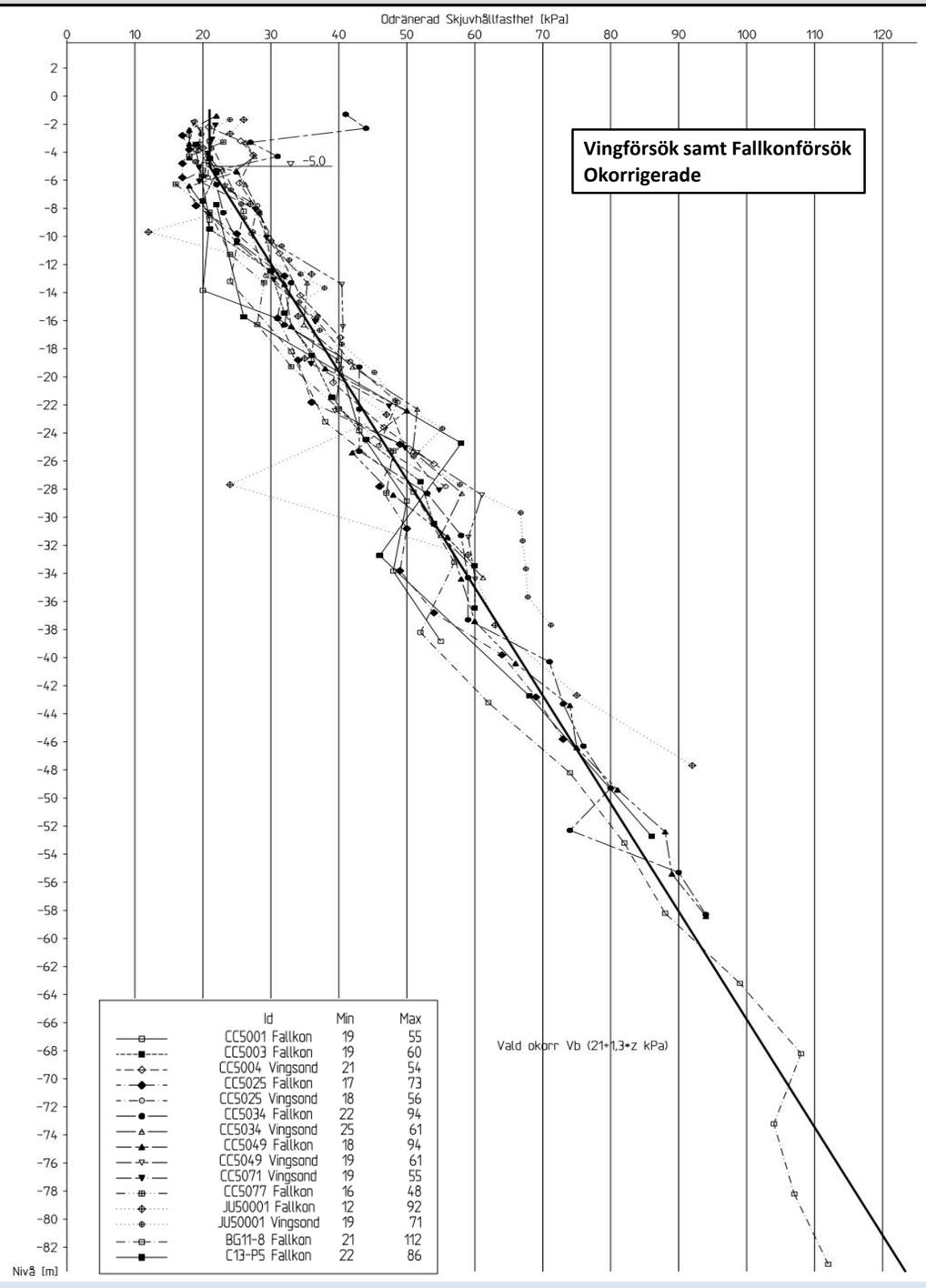
Detalj - Övre delen av jordprofilen



VÄSTLÄNKEN
ODRÄNERAD SKJUVHÅLLFASTHET
VALT KARAKTERISTISKT VÄRDE, OKORRIGERAT
2014-06-19

STATION CENTRALEN
km 456+900 - 457+500

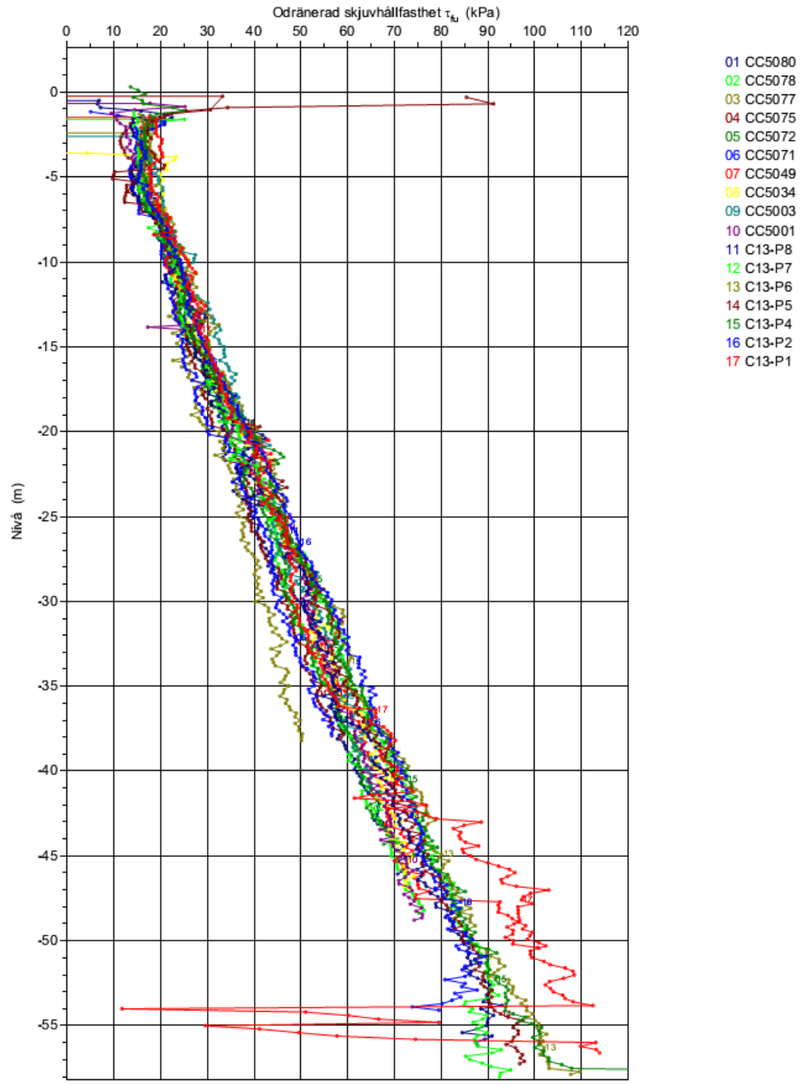
BILAGA 10.1.2.2



VÄSTLÄNKEN
ODRÄNERAD SKJUVHÅLLFASTHET
SAMMANSTÄLLNING AV UTVÄRDERADE CPT-SONDERINGAR
2014-06-19

STATION CENTRALEN
km 456+900 - 457+500

BILAGA 10.1.2.3



VÄSTLÄNKEN
DRÄNERADE HÅLLFASTHETSEGENSKAPER
2014-06-19

STATION CENTRALEN
km 456+900 - 457+500

BILAGA 10.1.2.4

Dränerade hållfasthetsegenskaper i kohesionjord

Generellt gäller att vid dränerad analys ska för kohesionsjord antas att:
$\varphi'_k = 30°$
$c'_k = 0{,}1 \cdot c_{uk}$
där c_{uk} är karakteristisk odränerad skjuvhållfasthet

Hållfasthetsegenskaper i friktionsjord

Karakteristiska värden för friktionsvinkeln för befintlig överbyggnad, äldre fyllning samt underliggande friktionsjord framgår av nedanstående tabell.

Jordlager	***Friktionsvinkel, φ'***
Fy/Gr/Sa *(Befintlig överbyggnad, nyare fyllning)*	38°
Fy/Sa/Si *(Äldre befintlig fyllning)*	35°
Friktionsjord *(Naturligt avsatt friktionsjord som underlagrar leran)*	39°

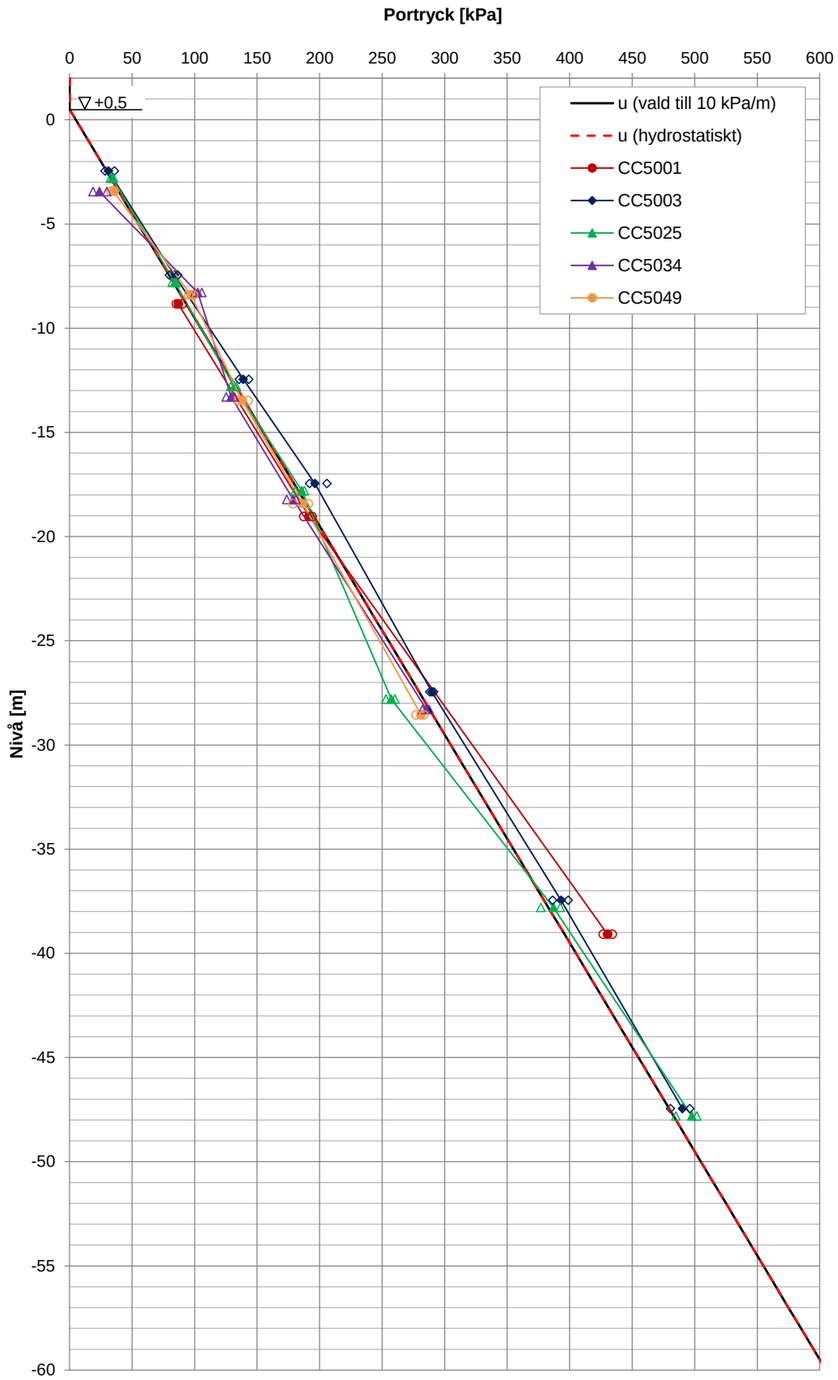
VÄSTLÄNKEN
PORTRYCKSPROFILER
2014-06-19

STATION CENTRALEN
km 456+900 - 457+500

BILAGA 10.1.3

Linjer och fyllda symboler avser medelvärde.
Icke ifyllda symboler avser uppmätt min.- och max-värde.

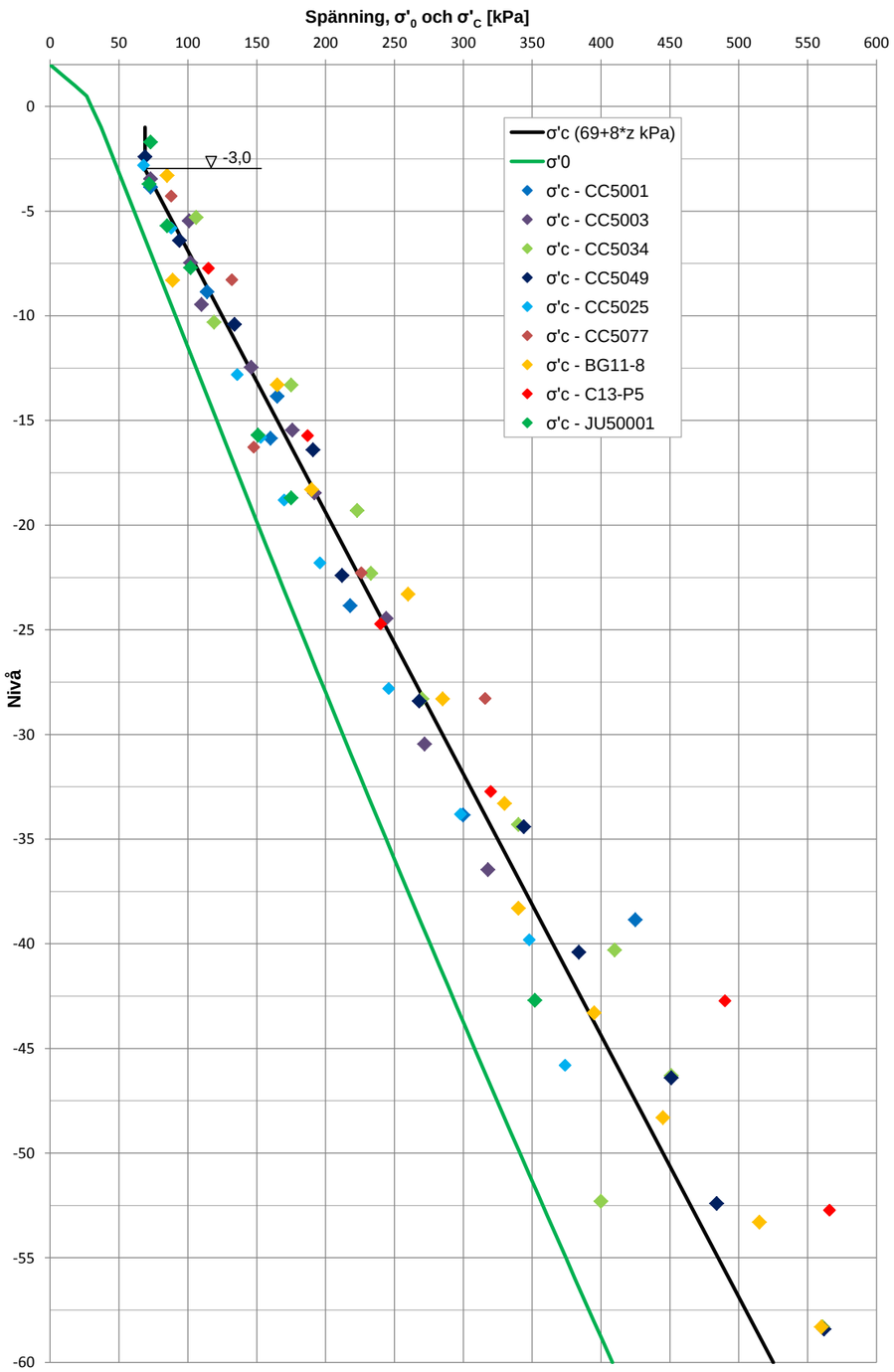
Mätperiod: 2012-04-10 - 2014-04-29

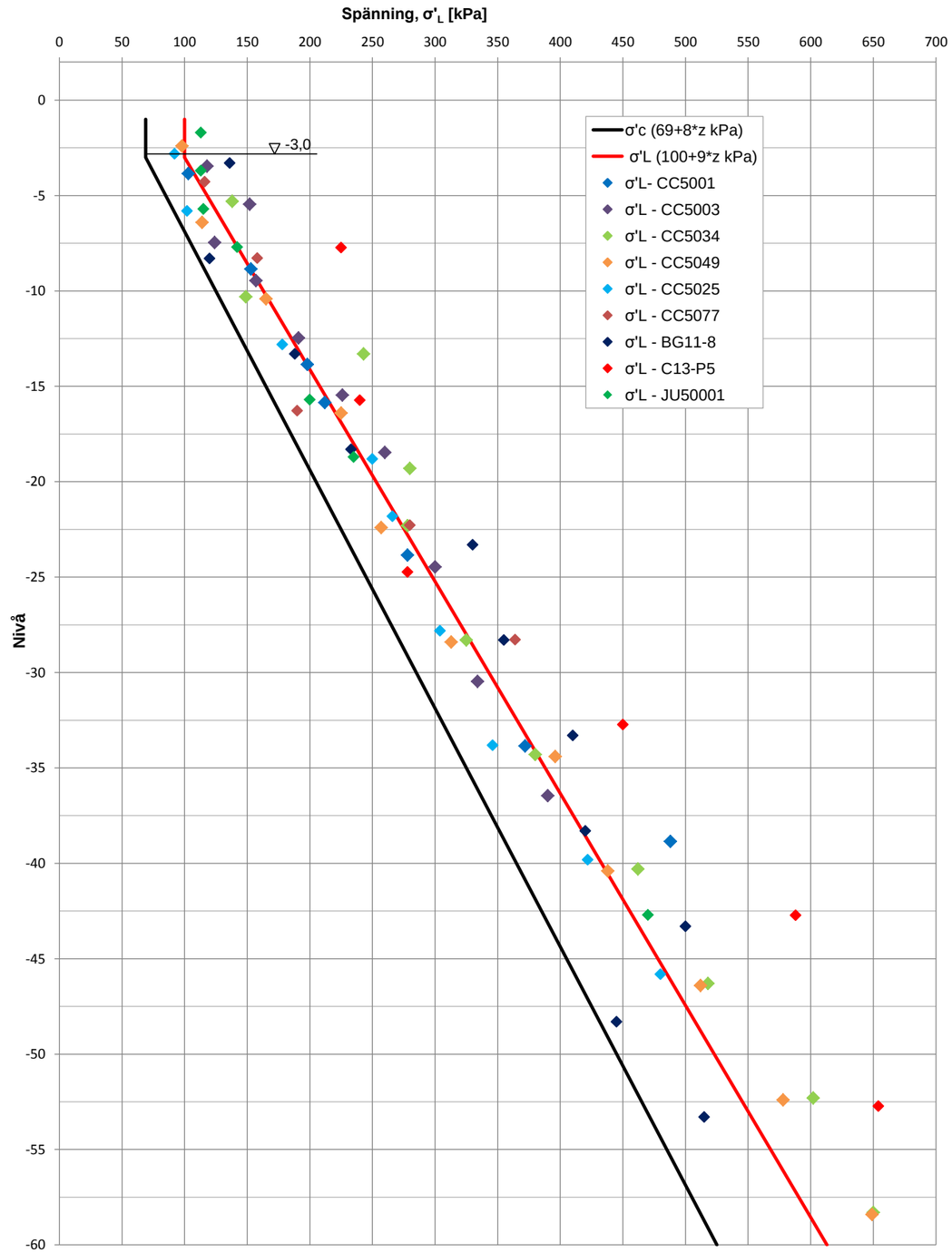


VÄSTLÄNKEN
SPÄNNINGAR
CRS-FÖRSÖK
2014-06-19

STATION CENTRALEN
km 456+900 - 457+500

BILAGA 10.1.4.1



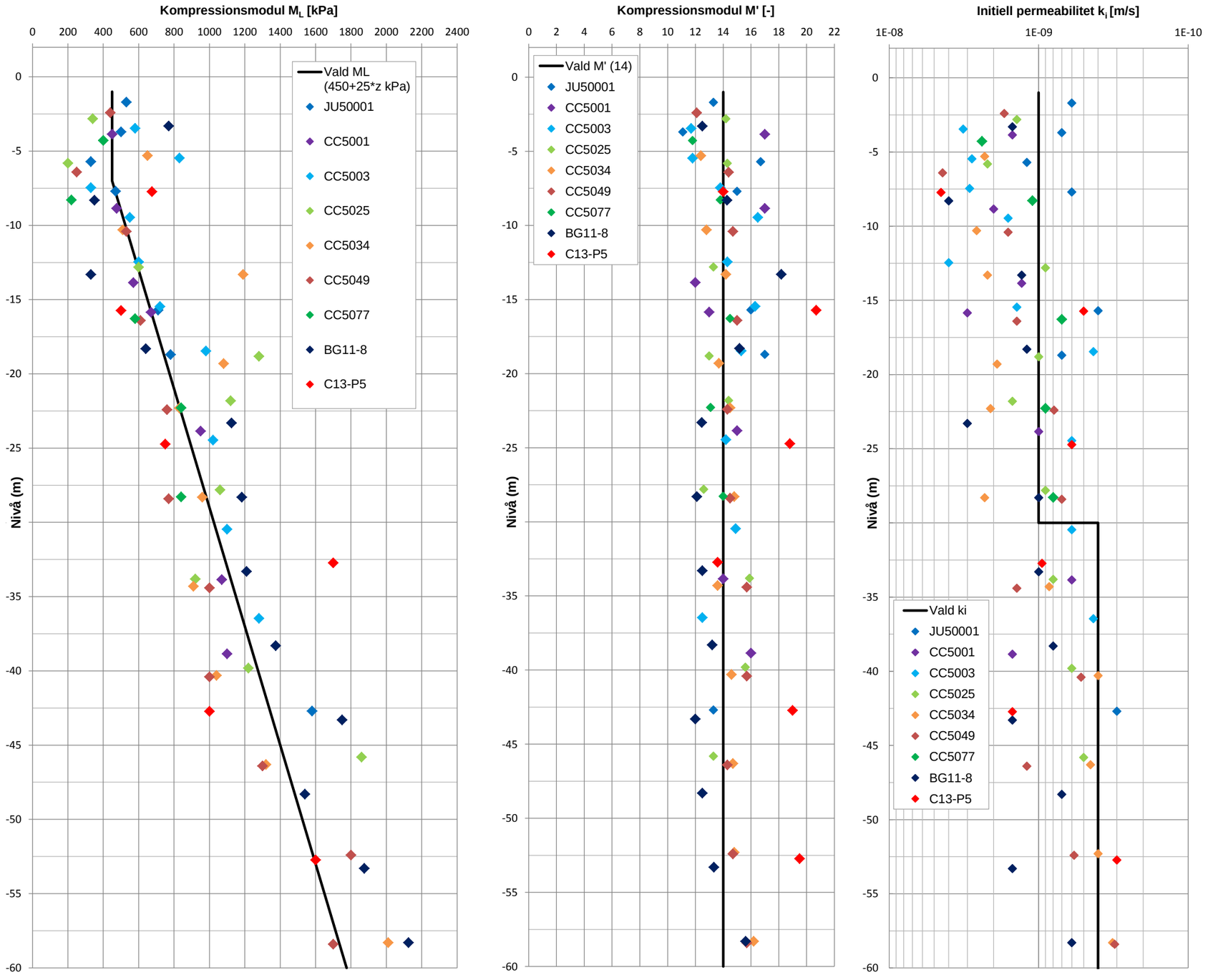


VÄSTLÄNKEN
MODULER, INITIELL PERMEABILITET
CRS-FÖRSÖK
2014-06-19

STATION CENTRALEN
km 456+900 - 457+500

BILAGA 10.1.4.2

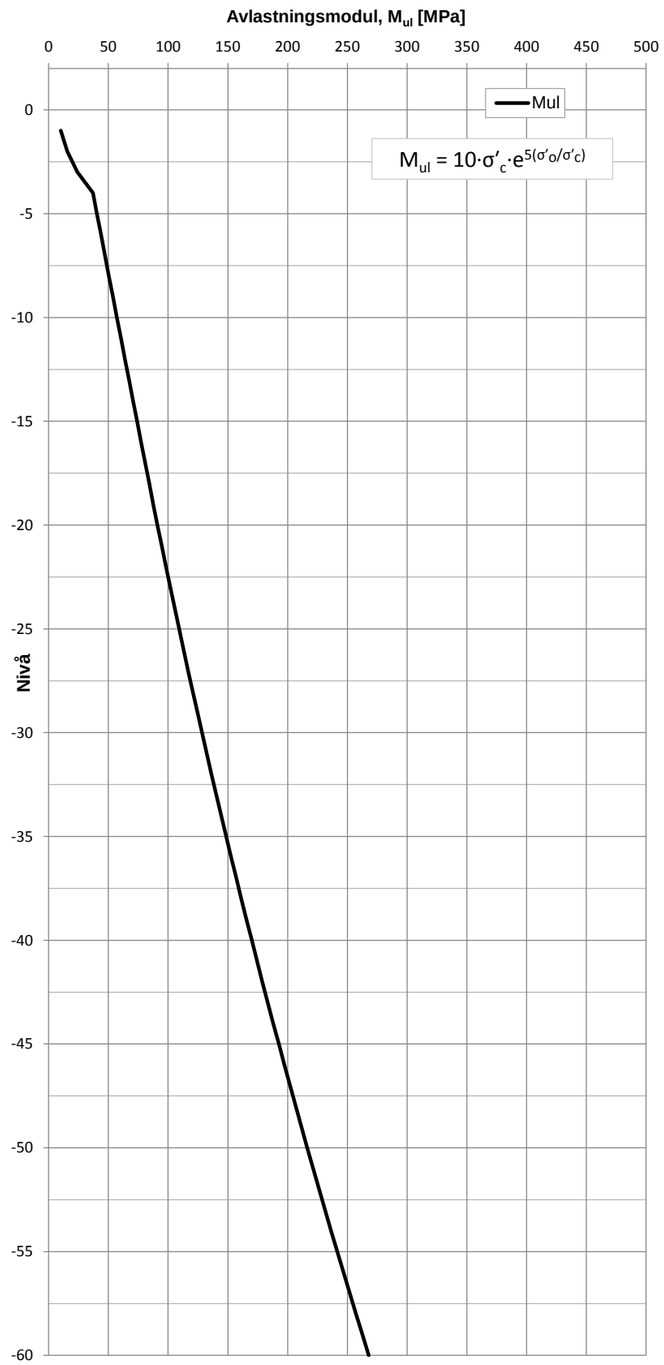
Kompressionsmodul, M_0 7500 kPa ner till nivå -3,
därunder M_0 = 7500+800·z kPa



VÄSTLÄNKEN
MODULER
CRS-FÖRSÖK
2014-06-19

STATION CENTRALEN
km 456+900 - 457+500

BILAGA 10.1.4.3

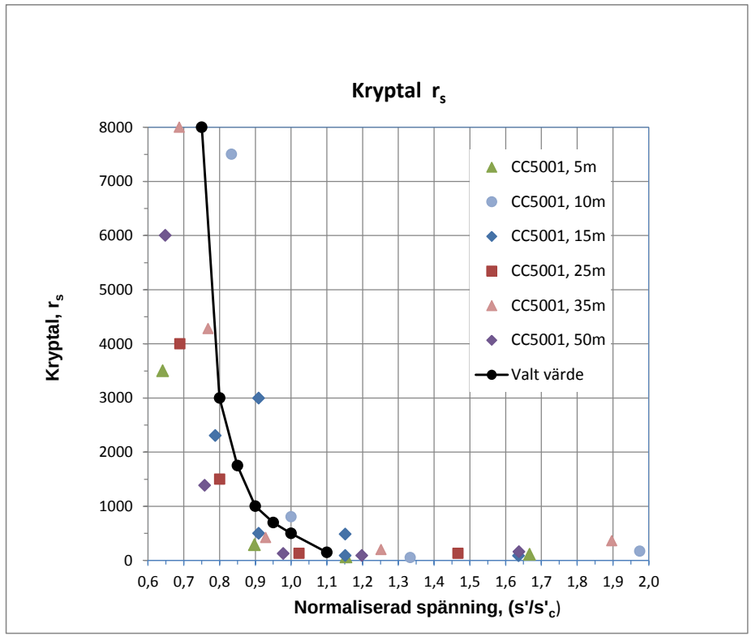


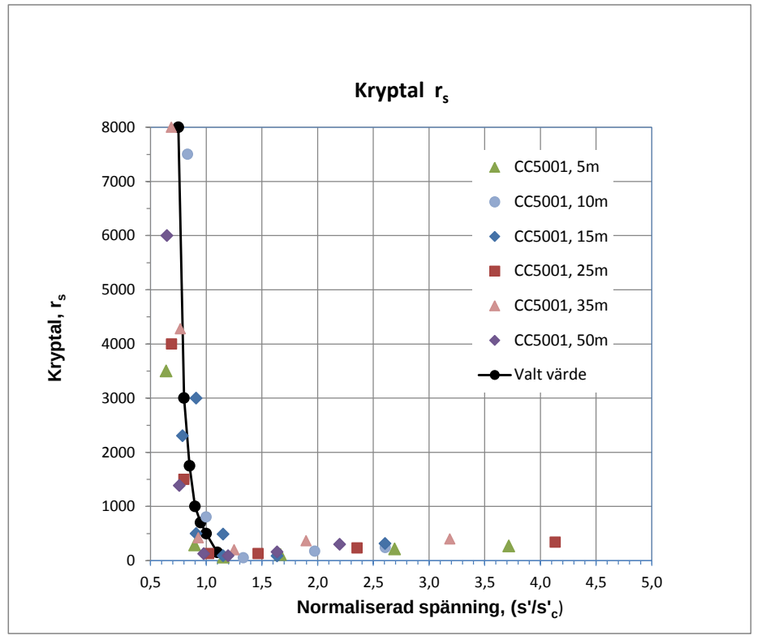
VÄSTLÄNKEN
KRYPPARAMETRAR
STEGVIS ÖDOMETER
2014-06-19

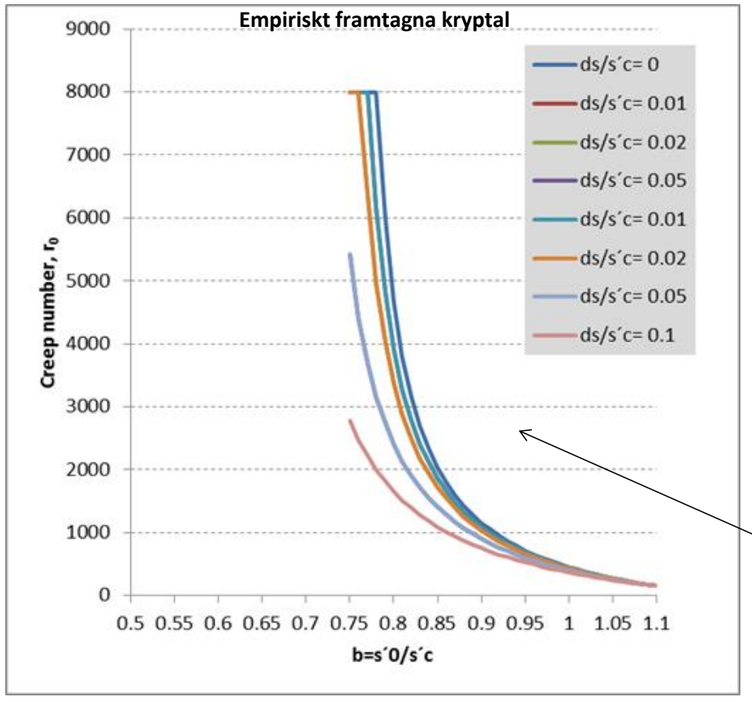
STATION CENTRALEN
km 456+900 - 457+500

BILAGA 10.1.4.4

Parameter	Värden som ska användas vid beräkningar (GS Settlements)
α_{Smax}	väljs enligt TK Geo 11, tabell 5.2-2
$\beta_{\alpha S}$	väljs enligt TK Geo 11, tabell 5.2-2
a_0	0,9
a_1	1,1
b_0	σ'_0/σ'_c
b_1	1,1
r_0	8000 vid b_0 = 0,75
r_0	3000 vid b_0 = 0,8
r_0	1750 vid b_0 = 0,85
r_0	1000 vid b_0 = 0,9
r_0	700 vid b_0 = 0,95
r_0	500 vid b_0 = 1,0
r_1	150
t_{ref}	-1 dag
β_K	4







Valda värden från diagram ovan kan jämföras med empiriskt framtagna kryptal.

Kurvorna i diagrammet baseras på empiriskt framtagna kryptal med utgångspunkt från empiriska relationer som utvecklats i samband med pågående doktorandprojekt på Chalmers (Mats Olsson). Den empiriska funktionen bygger på metod som beskrivs i "Val av kryptal för lösa plastiska leror", daterad 2009-02-13. Parametern r_0 kan genom denna empiriska relation bestämmas genom följande samband:

För $0.75<b<b_1$

$$r_0 = \frac{750\cdot(b_1 - b_0)}{b_0 - 0.75 - \frac{\Delta\sigma}{\sigma'_{c_{ref}}}} + r_1 \quad \max r_0 = 8000$$

För $b \geq b_1$ gäller r_1

Där b_1=1,1 och b_0= σ'_0/σ'_c

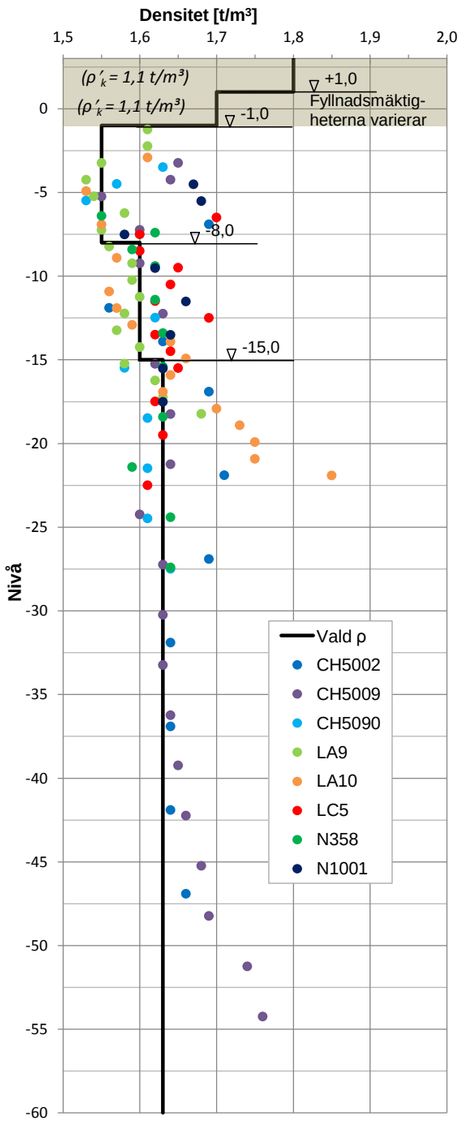
VÄSTLÄNKEN

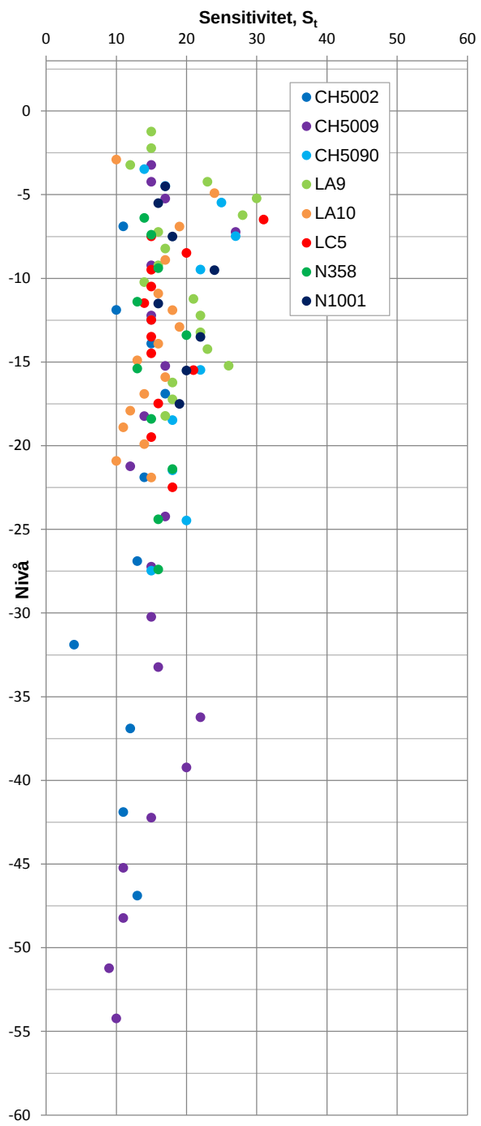
DENSITET, SENSITIVITET, VATTENKVOT, KONFLYTGRÄNS

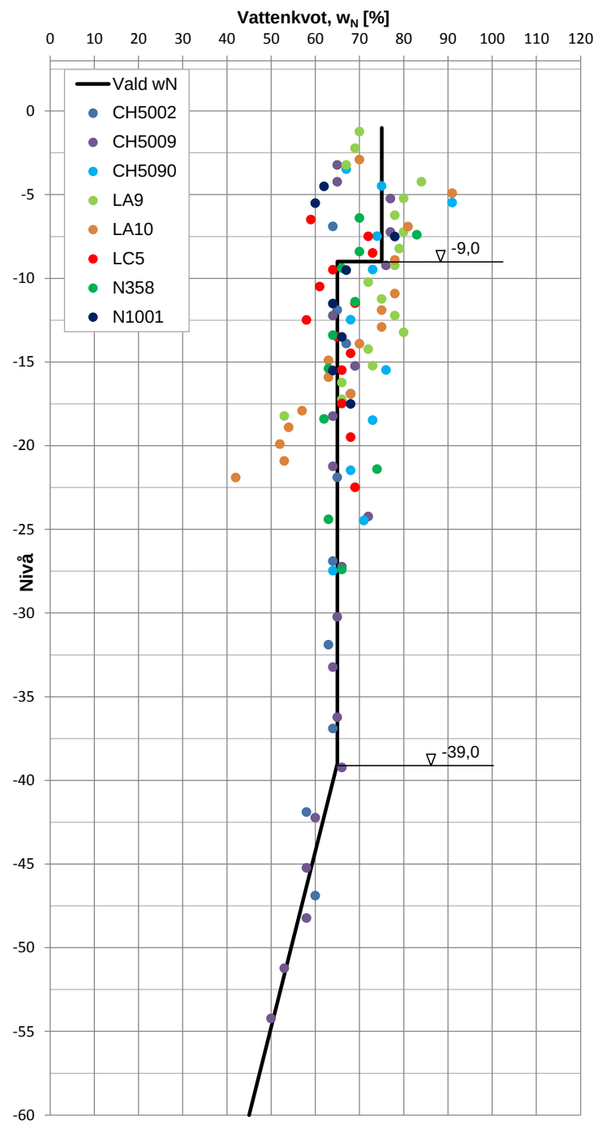
STATION CENTRALEN
km 457+500 - 457+800 (delområde Centralen - Kvarnberget)

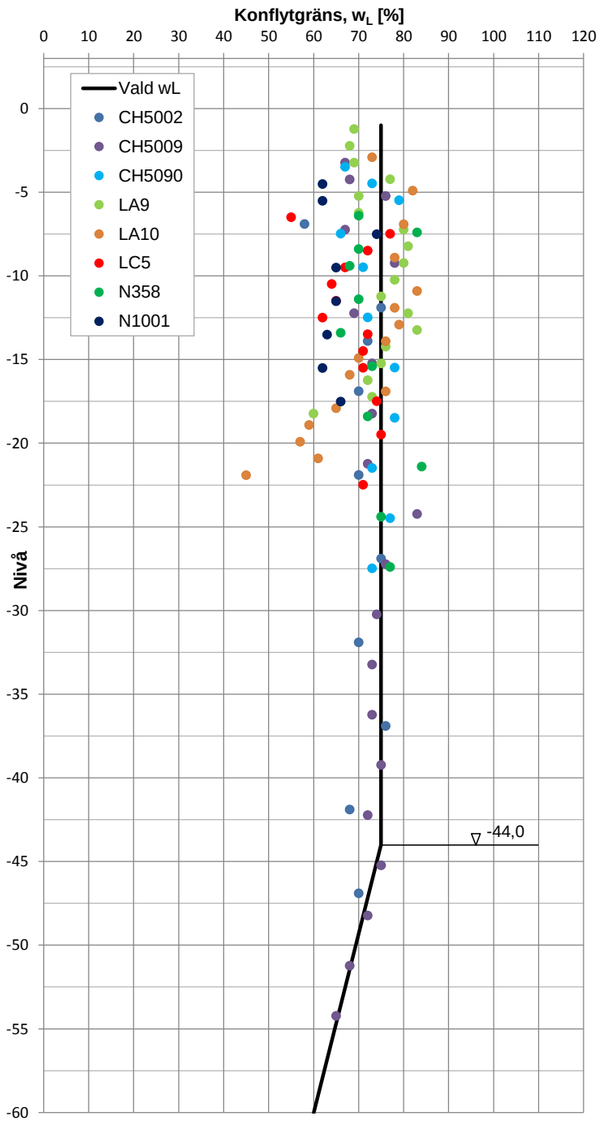
BILAGA 10.2.1

2014-06-19







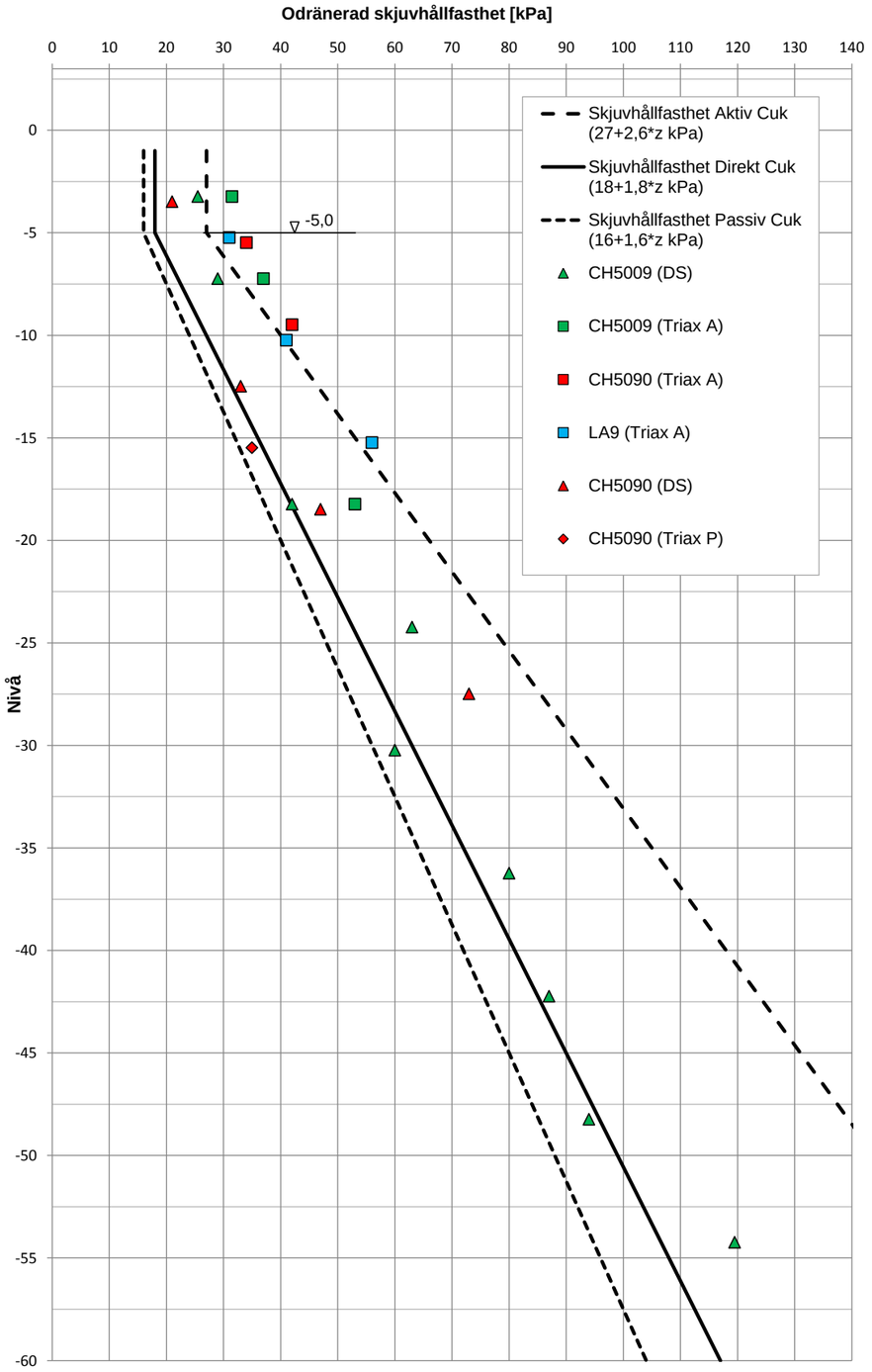


Friktionsjord som underlagrar leran
ρ_k = 1,9 t/m³
ρ'_k = 1,1 t/m³

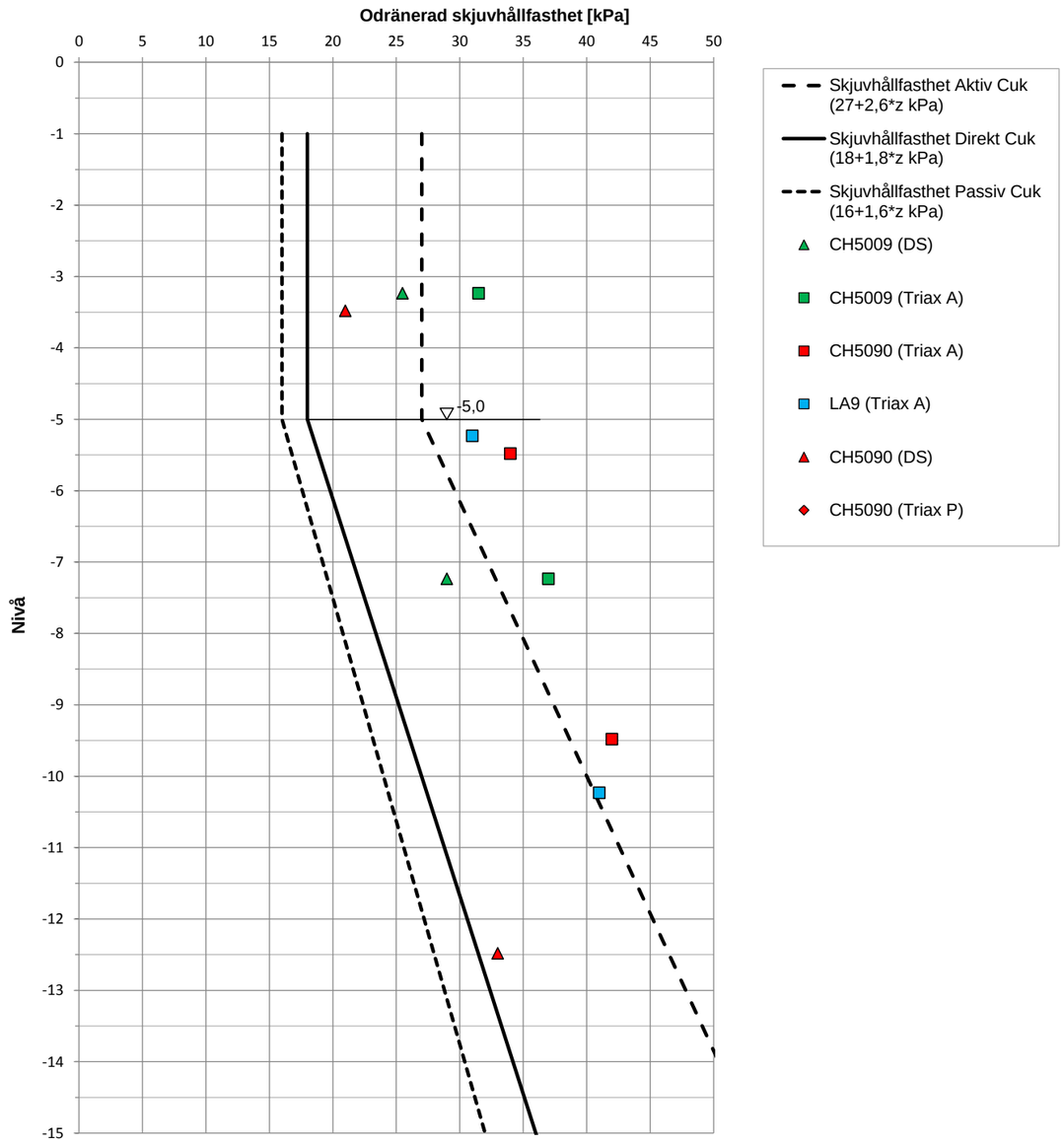
VÄSTLÄNKEN
ODRÄNERAD SKJUVHÅLLFASTHET
VALT KARAKTERISTISKT VÄRDE
2014-06-19

STATION CENTRALEN
km 457+500 - 457+800 (delområde Centralen - Kvarnberget)

BILAGA 10.2.2.1



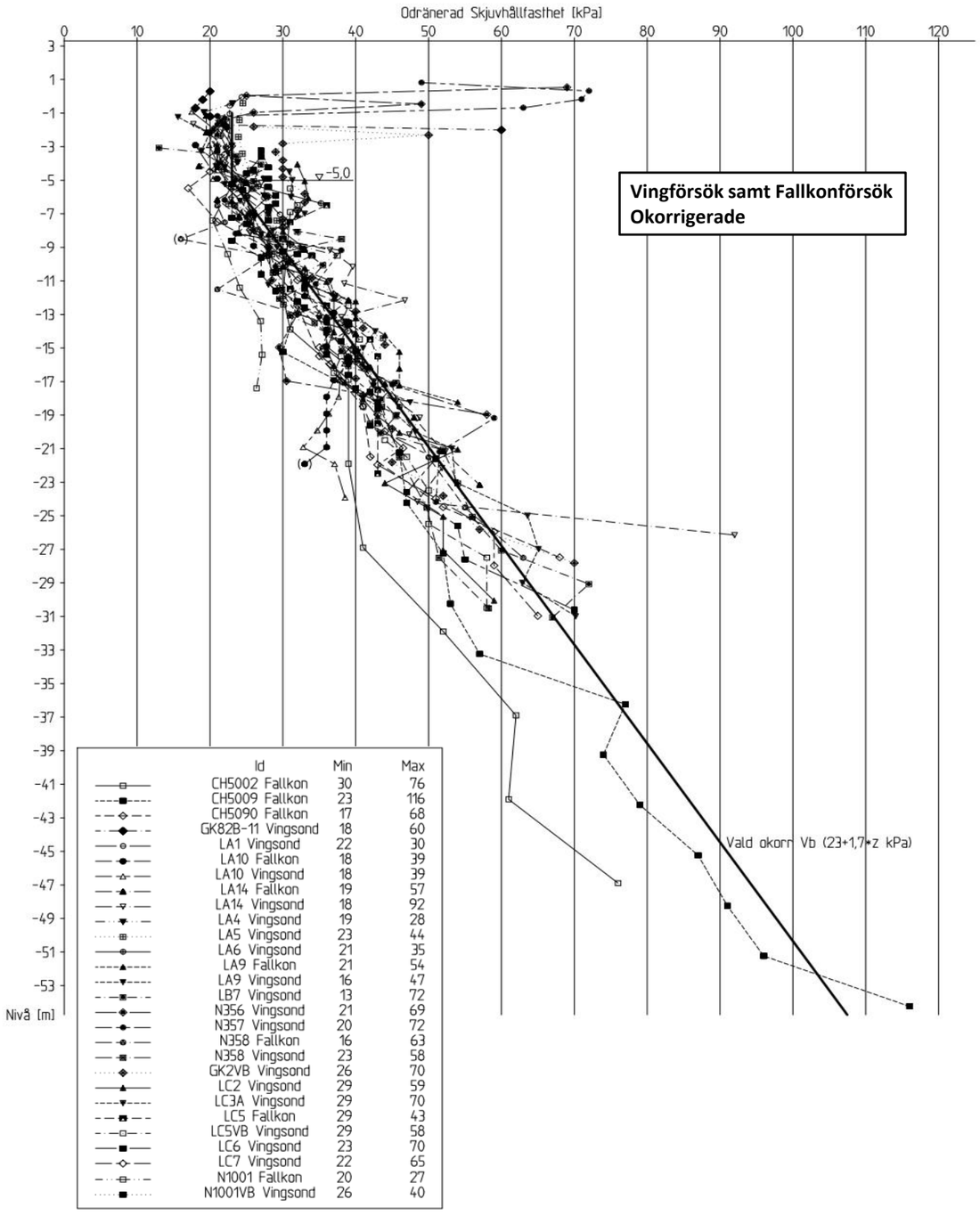
Detalj - Övre delen av jordprofilen



VÄSTLÄNKEN
ODRÄNERAD SKJUVHÅLLFASTHET
VALT KARAKTERISTISKT VÄRDE, OKORRIGERAT
2014-06-19

STATION CENTRALEN
km 457+500 - 457+800 (delområde Centralen - Kvarnberget)

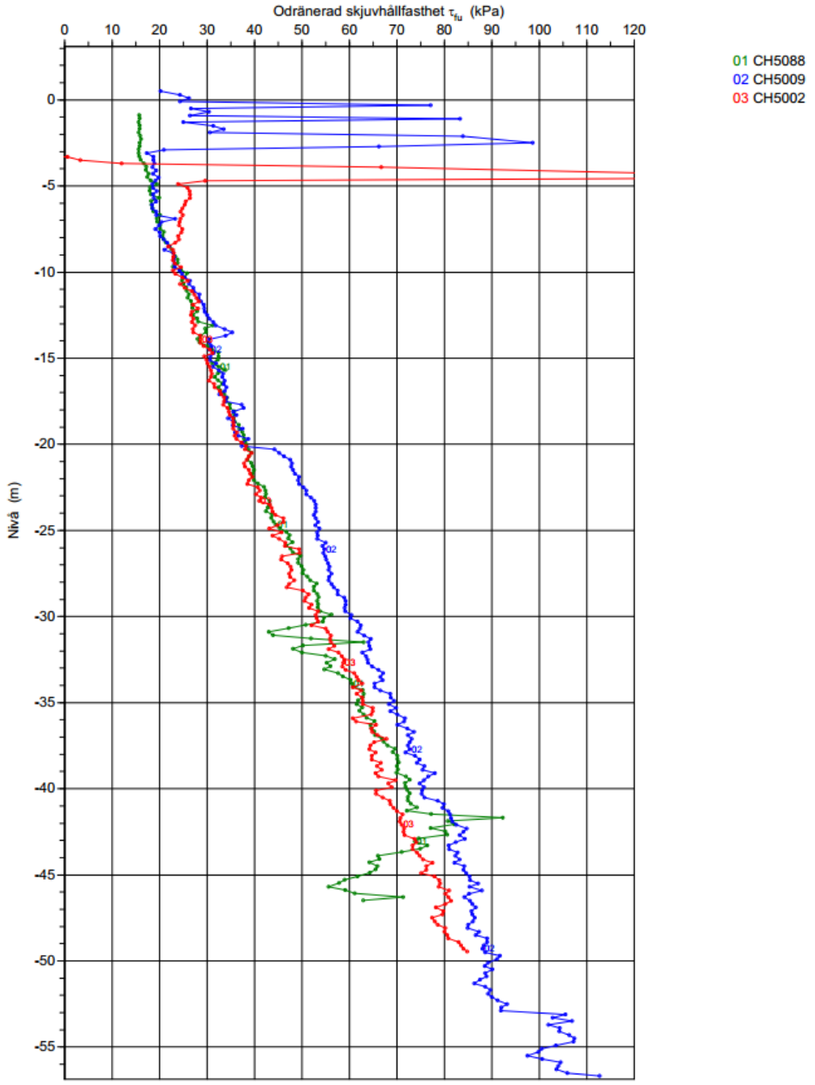
BILAGA 10.2.2.2



VÄSTLÄNKEN
ODRÄNERAD SKJUVHÅLLFASTHET
SAMMANSTÄLLNING AV UTVÄRDERADE CPT-SONDERINGAR
2014-06-19

STATION CENTRALEN
km 457+500 - 457+800 (delområde Centralen - Kvarnberget)

BILAGA 10.2.2.3



Dränerade hållfasthetsegenskaper i kohesionjord

Generellt gäller att vid dränerad analys ska för kohesionsjord antas att:
$\varphi'_k = 30°$
$c'_k = 0{,}1 \cdot c_{uk}$
där c_{uk} är karakteristisk odränerad skjuvhållfasthet

Hållfasthetsegenskaper i friktionsjord

Karakteristiska värden för friktionsvinkeln för befintlig överbyggnad, äldre fyllning samt underliggande friktionsjord framgår av nedanstående tabell.

Jordlager	***Friktionsvinkel, φ'***
Fy/Gr/Sa *(Befintlig överbyggnad, nyare fyllning)*	38°
Fy/Sa/Si *(Äldre befintlig fyllning)*	35°
Friktionsjord *(Naturligt avsatt friktionsjord som underlagrar leran)*	39°

VÄSTLÄNKEN
PORTRYCKSPROFILER

2014-06-19

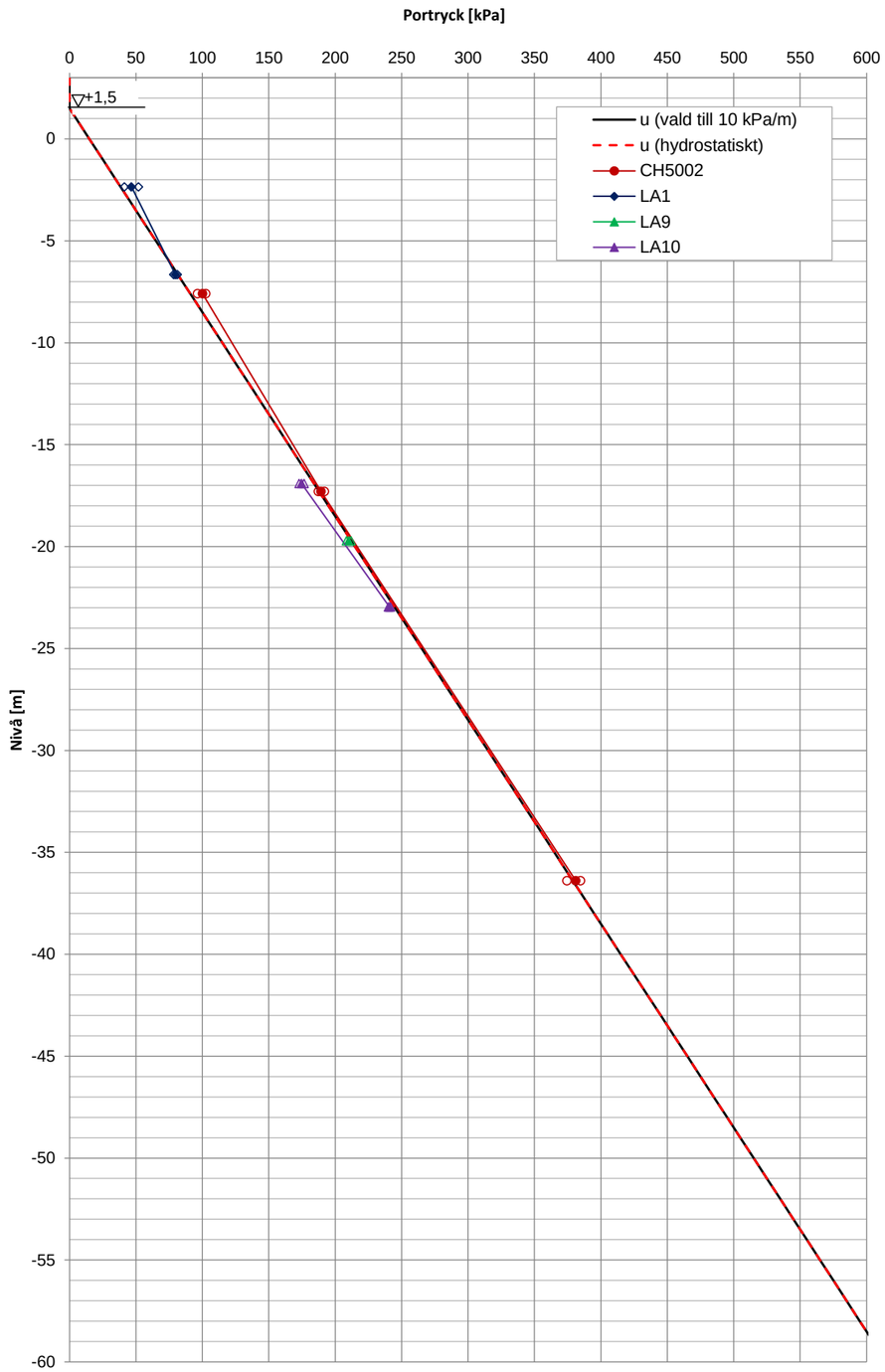
STATION CENTRALEN
km 457+500 - 457+800 (delområde Centralen - Kvarnberget)

BILAGA 10.2.3

Linjer och fyllda symboler avser medelvärde. Icke ifyllda symboler avser uppmätt min.- och max-värde.

Mätperiod för LA1, LA9 samt LA10:
1995-10-30 - 1997-09-01

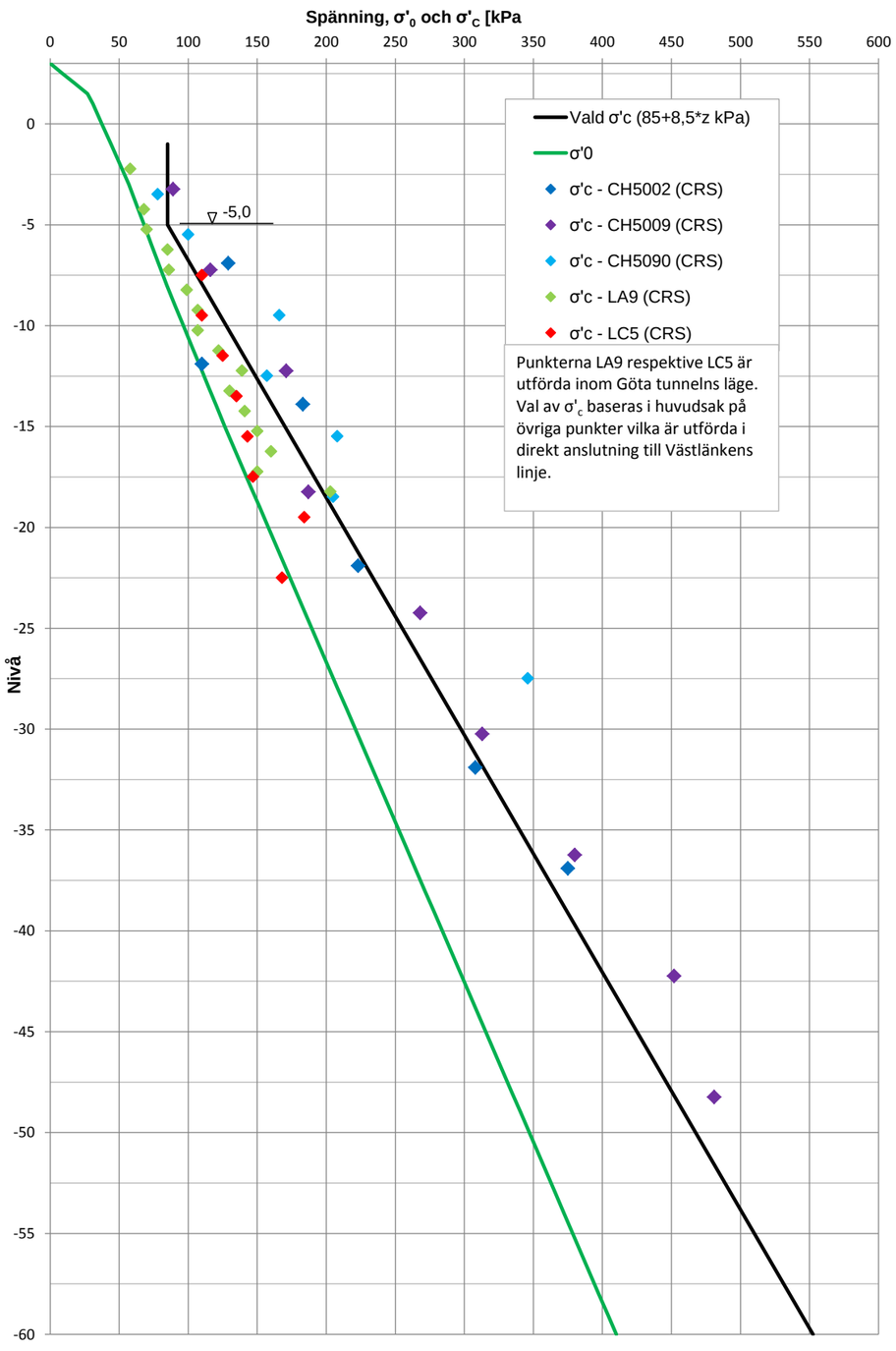
Mätperiod för CH5002:
2012-04-10 - 2014-04-29

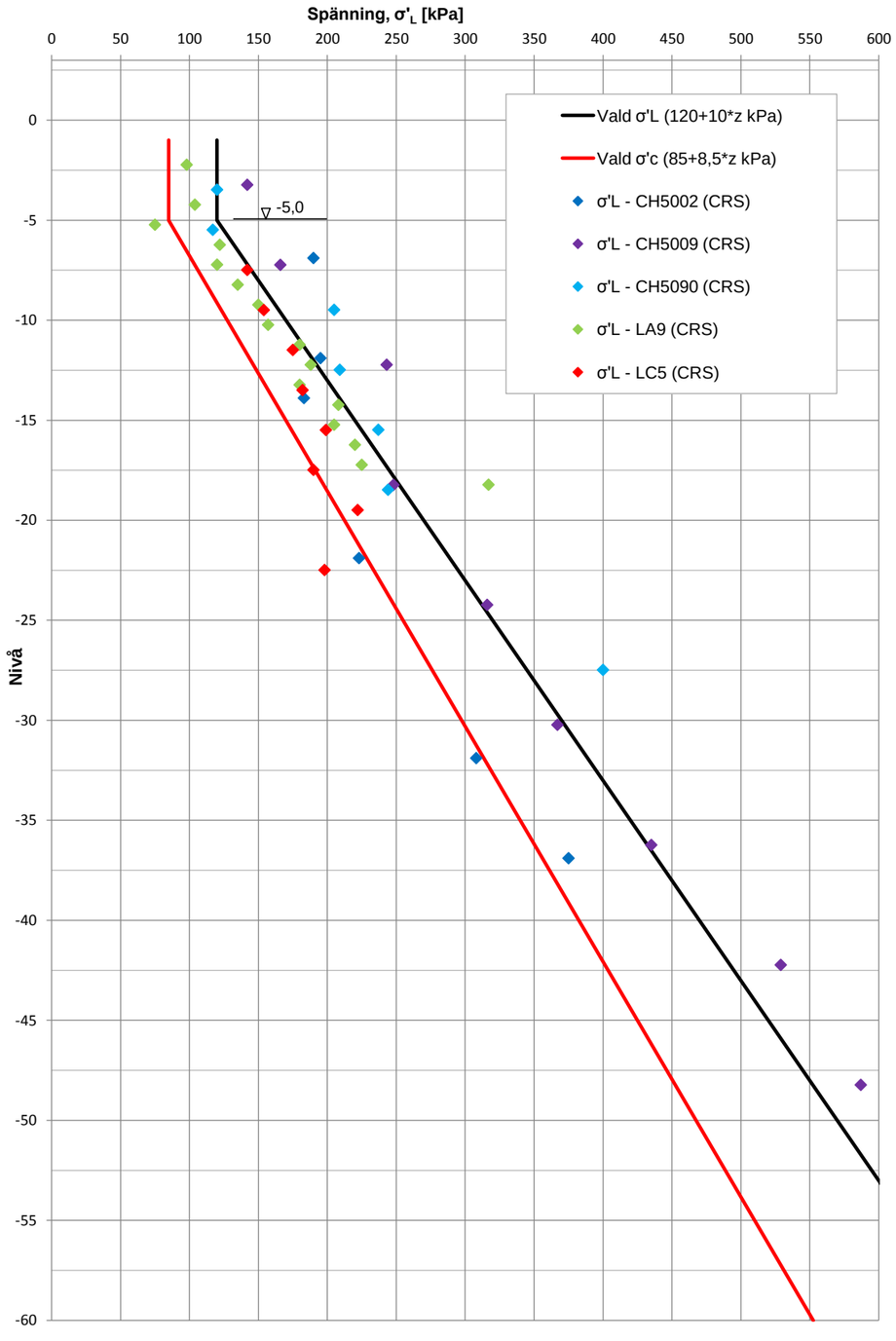


VÄSTLÄNKEN
SPÄNNINGAR
CRS-FÖRSÖK
2014-06-19

STATION CENTRALEN
km 457+500 - 457+800 (delområde Centralen - Kvarnberget)

BILAGA 10.2.4.1



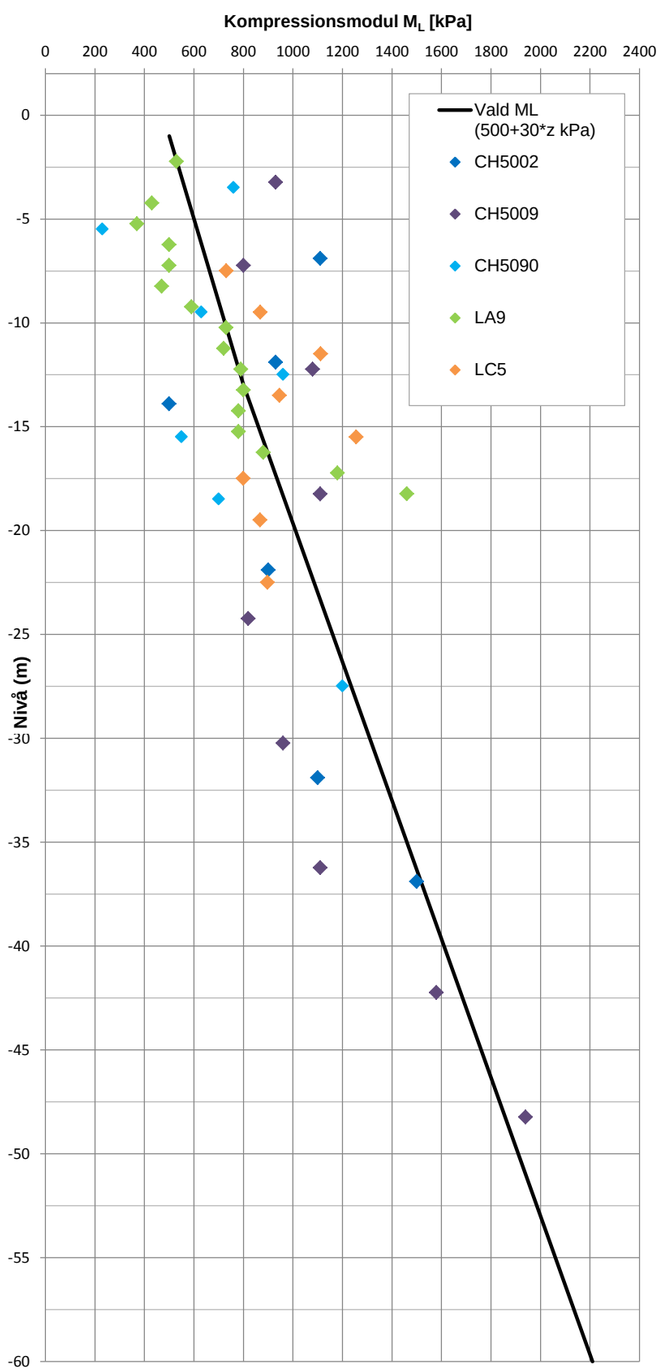


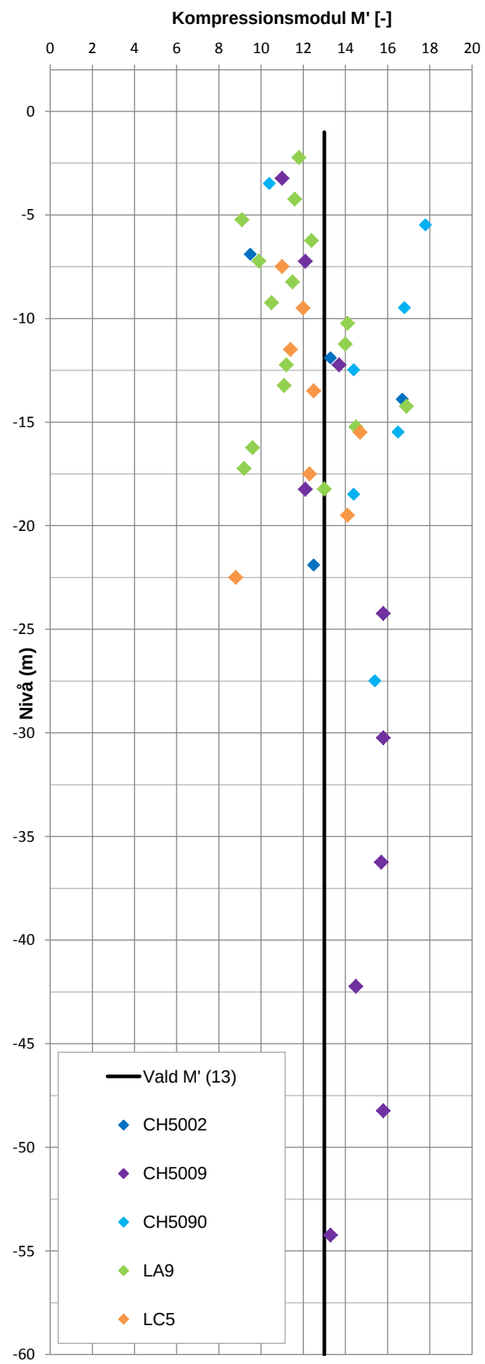
VÄSTLÄNKEN
MODULER, INITIELL PERMEABILITET
CRS-FÖRSÖK
2014-06-19

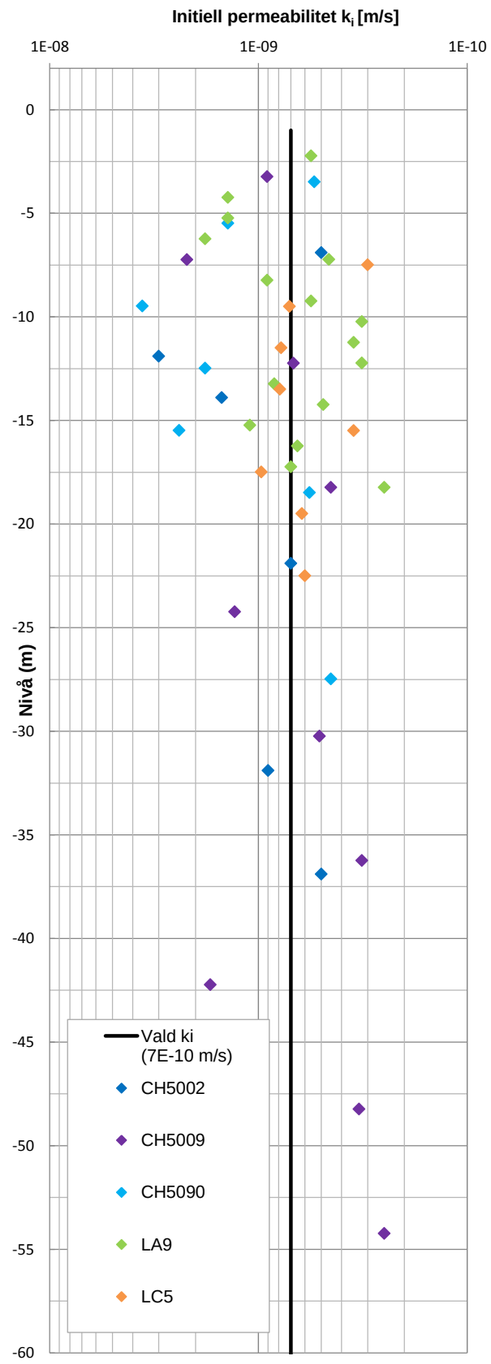
STATION CENTRALEN
km 457+500 - 457+800 (delområde Centralen - Kvarnberget)

BILAGA 10.2.4.2

Kompressionsmodul, M_0 9000 kPa ner till nivån -5,
därunder M_0 = 9000+900·z kPa



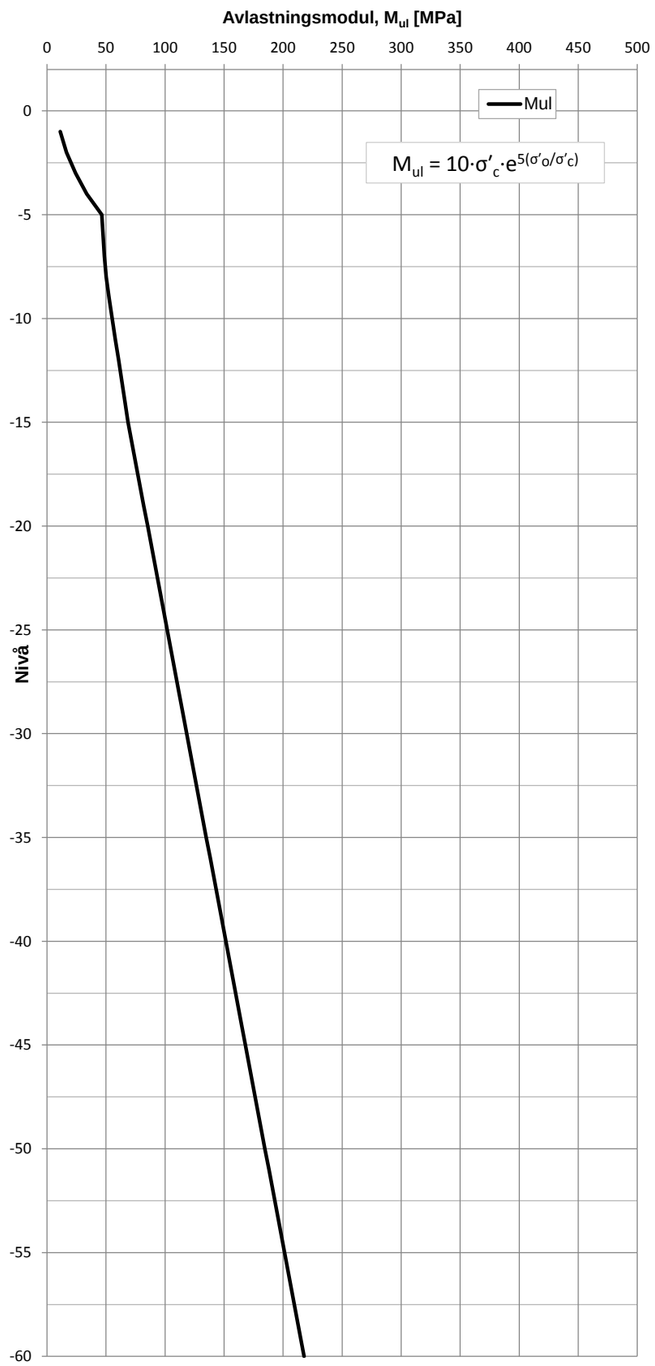




VÄSTLÄNKEN
MODULER
CRS-FÖRSÖK
2014-06-19

STATION CENTRALEN
km 457+500 - 457+800 (delområde Centralen - Kvarnberget)

BILAGA 10.2.4.3

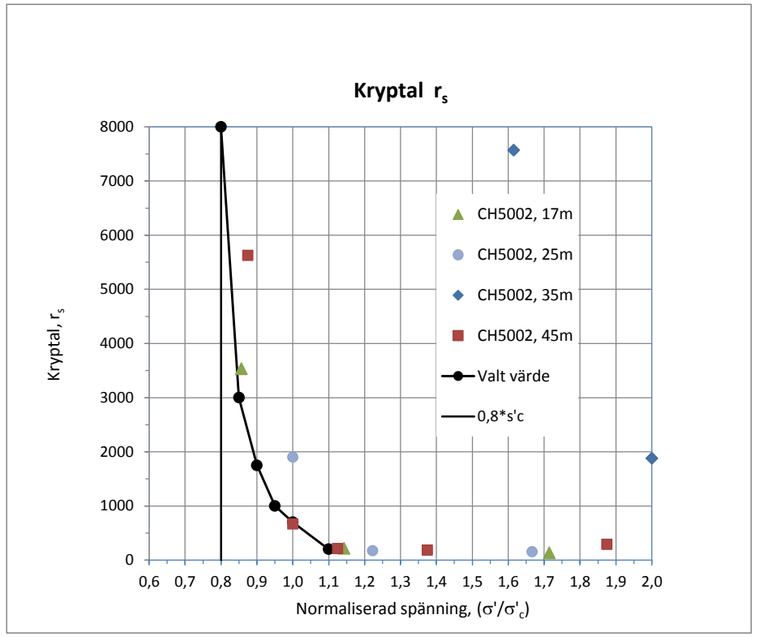


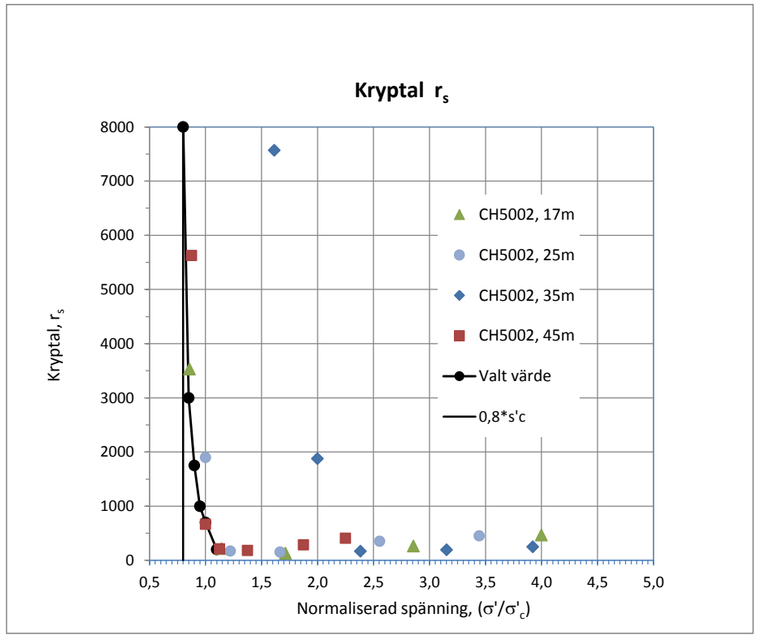
VÄSTLÄNKEN
KRYPPARAMETRAR
STEGVIS ÖDOMETER
2014-06-19

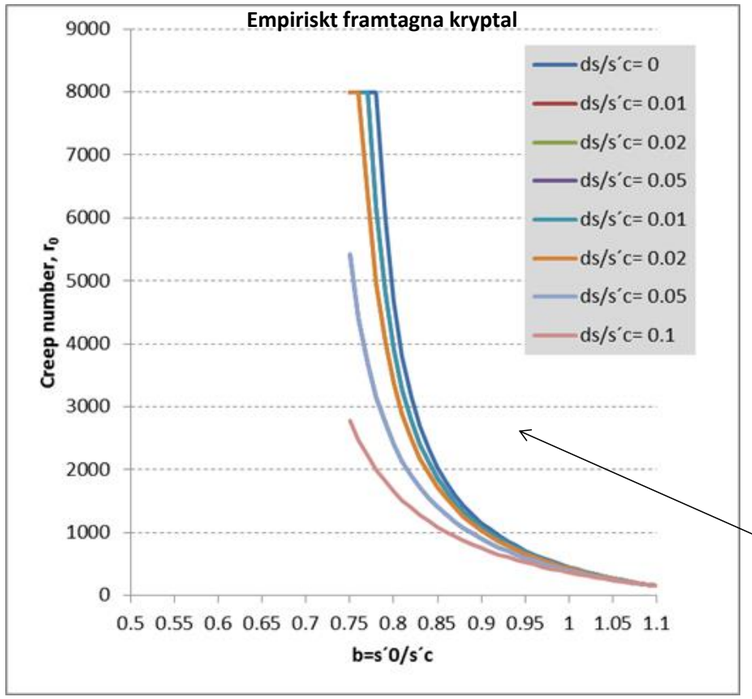
STATION CENTRALEN
km 457+500 - 457+800 (delområde Centralen - Kvarnberget)

BILAGA 10.2.4.4

Parameter	Värden som ska användas vid beräkningar (GS Settlements)
α_{Smax}	väljs enligt TK Geo 11, tabell 5.2-2
$\beta_{\alpha S}$	väljs enligt TK Geo 11, tabell 5.2-2
a_0	0,9
a_1	1,1
b_0	σ'_0/σ'_c
b_1	1,1
r_0	8000 vid b_0 = 0,8
r_0	3000 vid b_0 = 0,85
r_0	1750 vid b_0 = 0,9
r_0	1000 vid b_0 = 0,95
r_0	700 vid b_0 = 1,0
r_1	200
t_{ref}	-1 dag
β_K	4







Valda värden från diagram ovan kan jämföras med empiriskt framtagna kryptal.

Kurvorna i diagrammet baseras på empiriskt framtagna kryptal med utgångspunkt från empiriska relationer som utvecklats i samband med pågående doktorandprojekt på Chalmers (Mats Olsson). Den empiriska funktionen bygger på metod som beskrivs i "Val av kryptal för lösa plastiska leror", daterad 2009-02-13. Parametern r_0 kan genom denna empiriska relation bestämmas genom följande samband:

För $0.75<b<b_1$

$$r_0 = \frac{750\cdot(b_1 - b_0)}{b_0 - 0.75 - \frac{\Delta\sigma}{\sigma'_{c_{ref}}}} + r_1 \quad \max r_0 = 8000$$

För $b \geq b_1$ gäller r_1

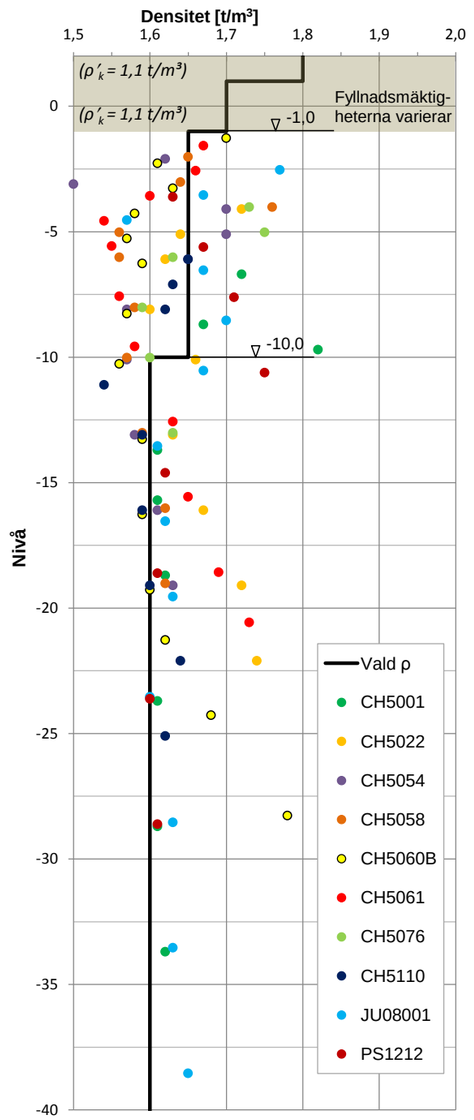
Där b_1=1,1 och b_0= σ'_0/σ'_c

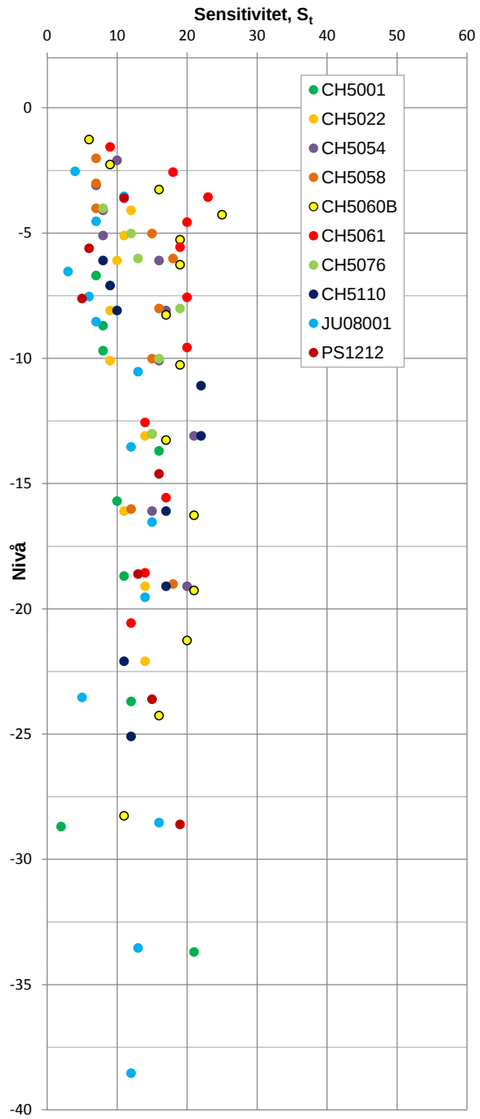
VÄSTLÄNKEN

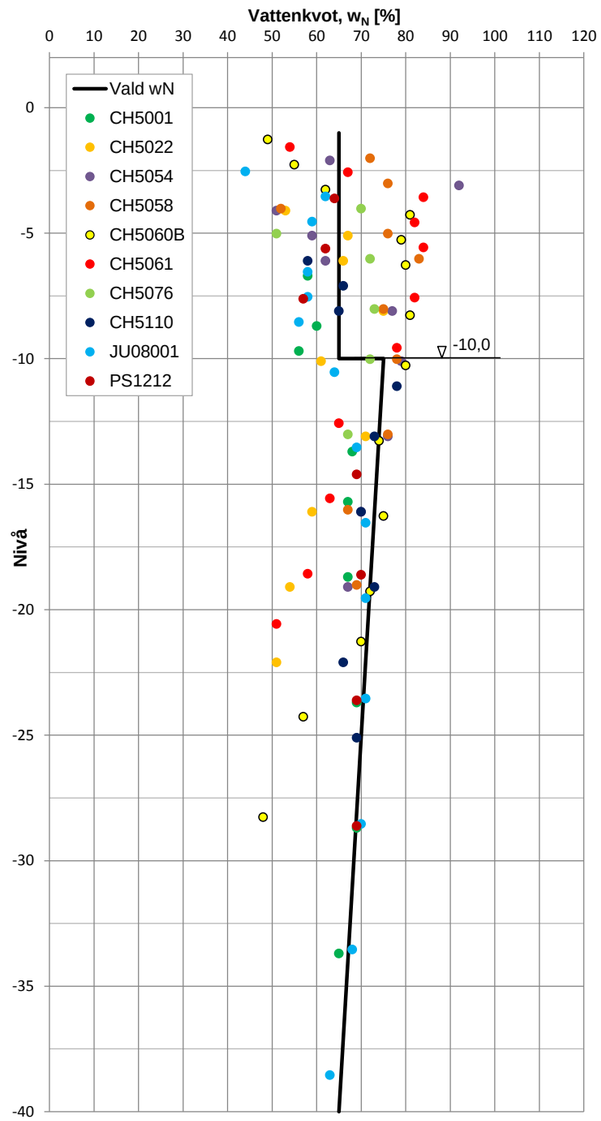
DENSITET, SENSITIVITET, VATTENKVOT, KONFLYTGRÄNS
2014-06-19

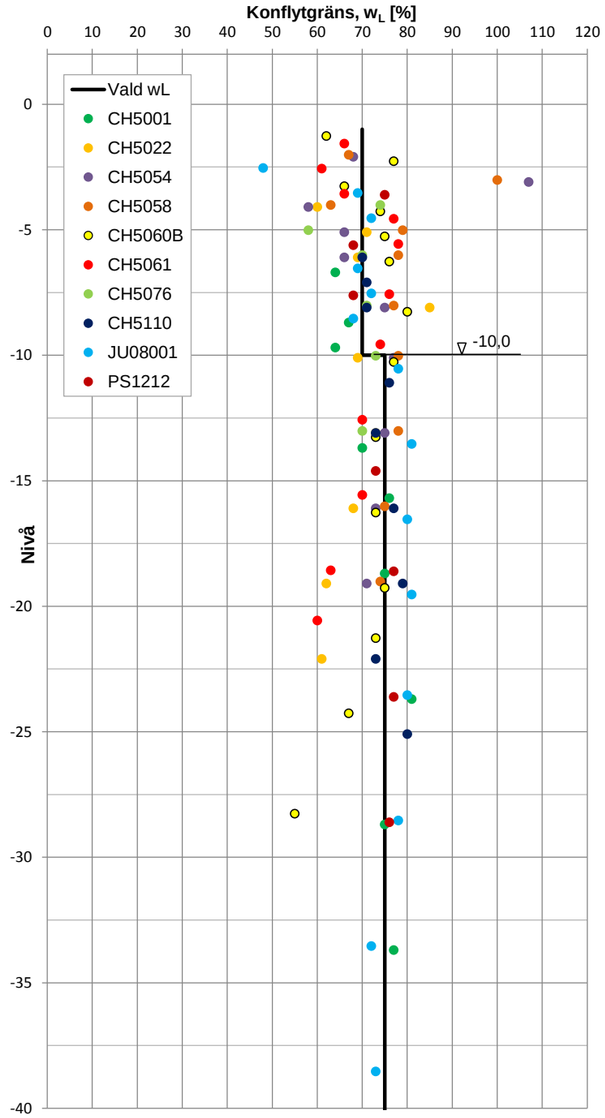
LINJE STATION CENTRALEN - STATION HAGA
km 457+800 - 458+300 (delområde Packhusplatsen)

BILAGA 11.1.1







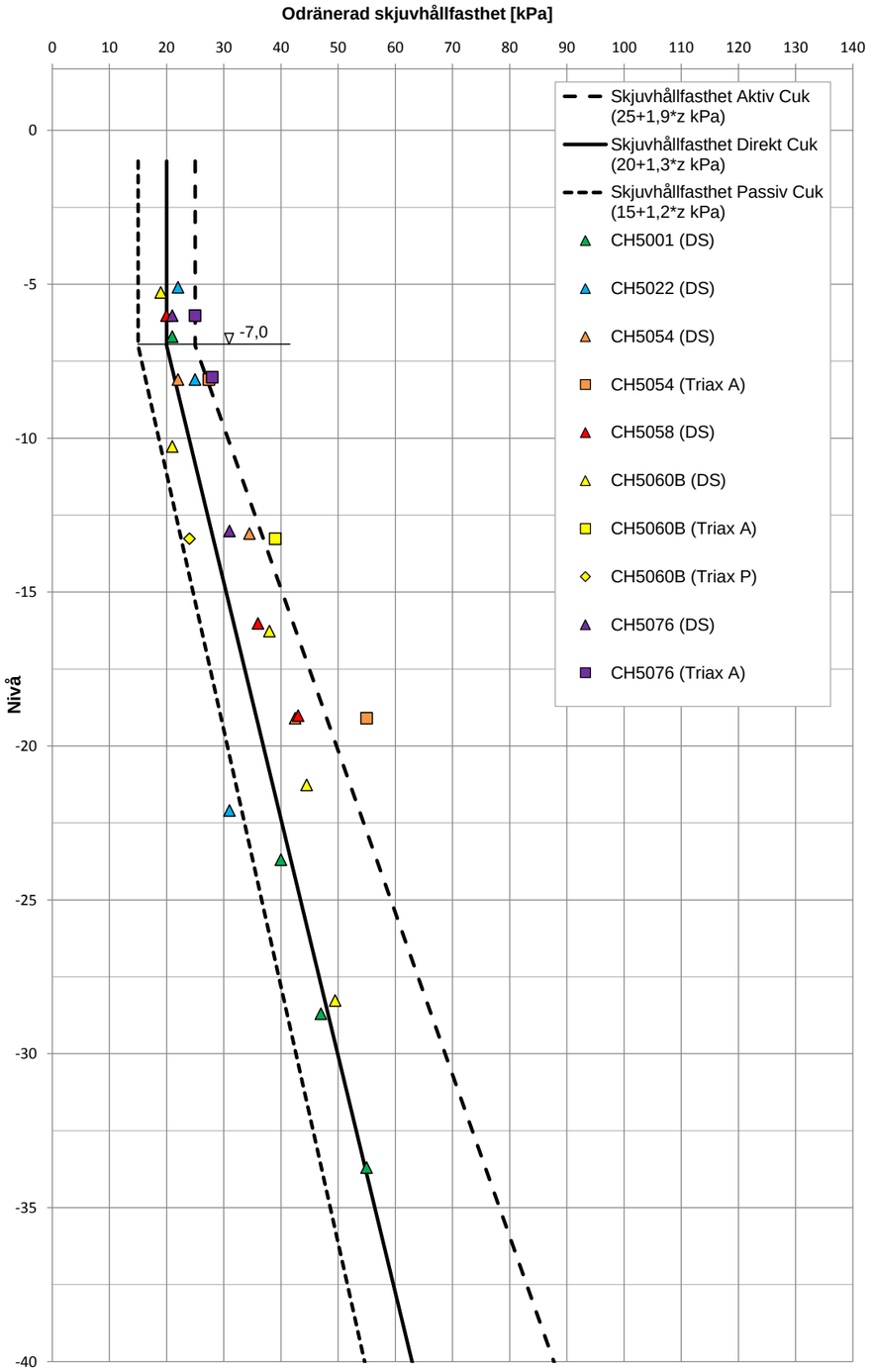


Friktionsjord som underlagrar leran
ρ_k = 1,9 t/m³
ρ'_k = 1,1 t/m³

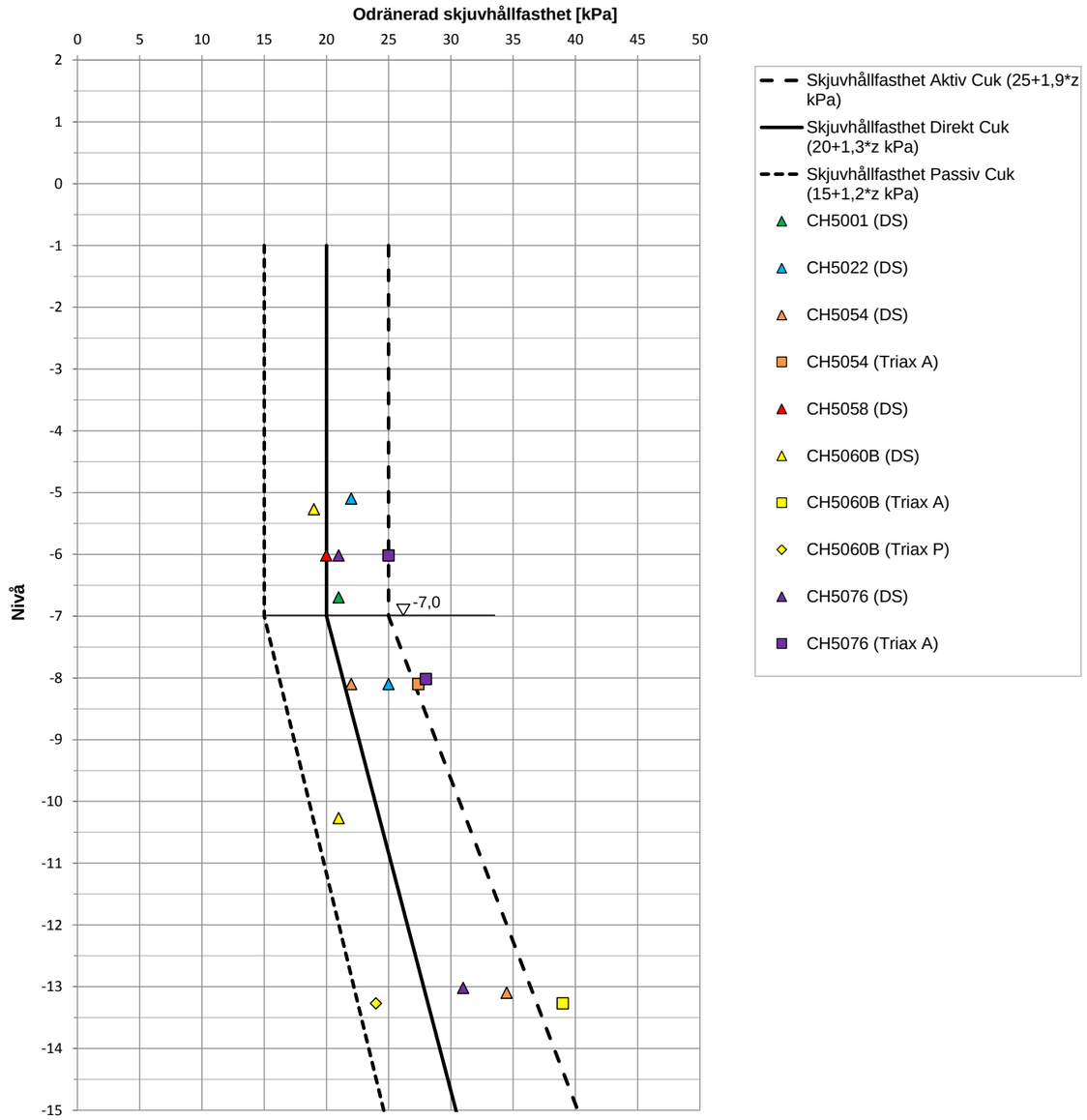
VÄSTLÄNKEN
ODRÄNERAD SKJUVHÅLLFASTHET
VALT KARAKTERISTISKT VÄRDE
2014-06-19

LINJE STATION CENTRALEN - STATION HAGA
km 457+800 - 458+300 (delområde Packhusplatsen)

BILAGA 11.1.2.1



Detalj - Övre delen av jordprofilen



VÄSTLÄNKEN

ODRÄNERAD SKJUVHÅLLFASTHET

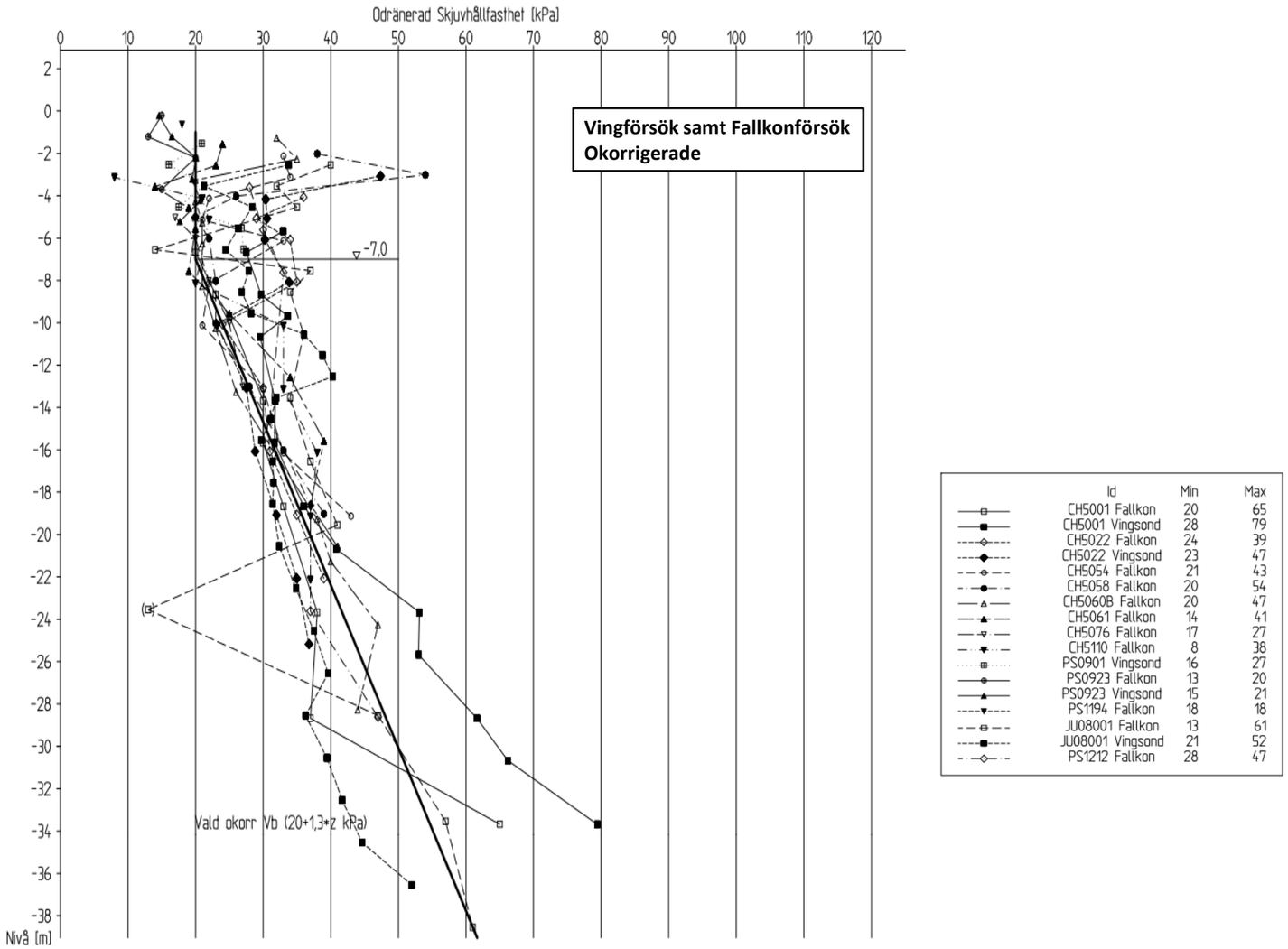
VALT KARAKTERISTISKT VÄRDE, OKORRIGERAT

2014-06-19

LINJE STATION CENTRALEN - STATION HAGA

km 457+800 - 458+300 (delområde Packhusplatsen)

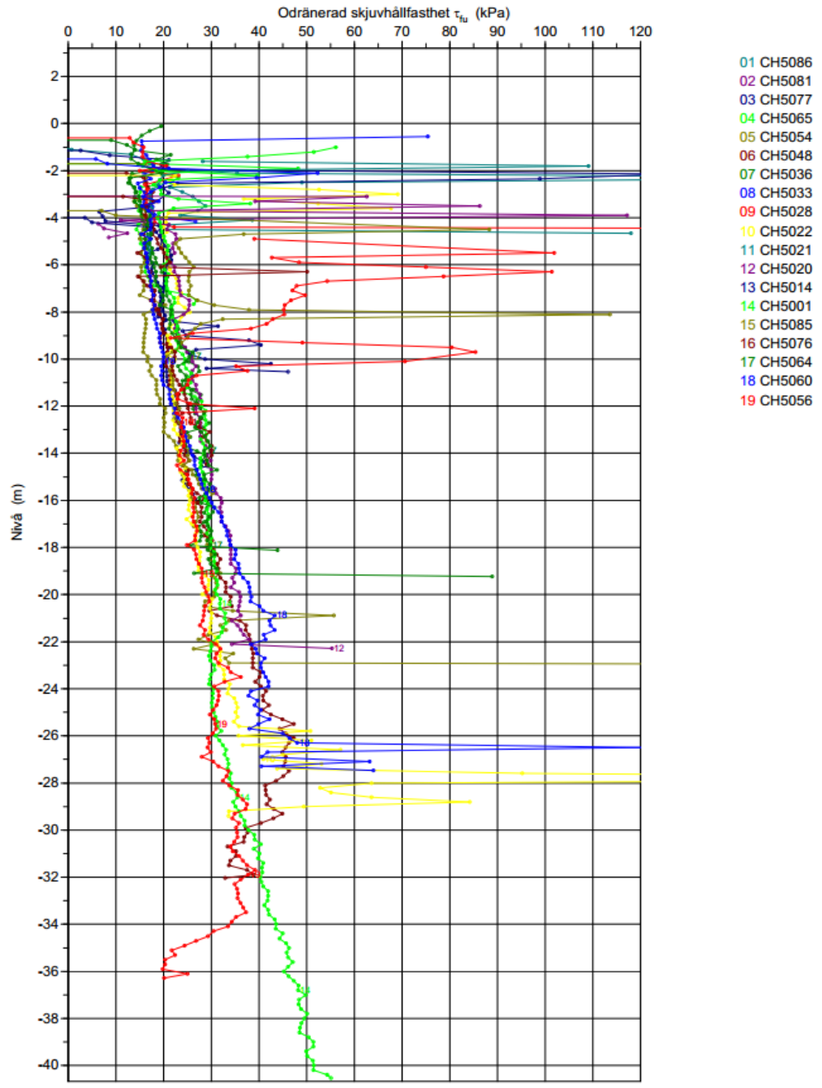
BILAGA 11.1.2.2



VÄSTLÄNKEN
ODRÄNERAD SKJUVHÅLLFASTHET
SAMMANSTÄLLNING AV UTVÄRDERADE CPT-SONDERINGAR
2014-06-19

LINJE STATION CENTRALEN - STATION HAGA
km 457+800 - 458+300 (delområde Packhusplatsen)

BILAGA 11.1.2.3



Dränerade hållfasthetsegenskaper i kohesionjord

Generellt gäller att vid dränerad analys ska för kohesionsjord antas att:
$\varphi'_k = 30°$
$c'_k = 0{,}1 \cdot c_{uk}$
där c_{uk} är karakteristisk odränerad skjuvhållfasthet

Hållfasthetsegenskaper i friktionsjord

Karakteristiska värden för friktionsvinkeln för befintlig överbyggnad, äldre fyllning samt underliggande friktionsjord framgår av nedanstående tabell.

Jordlager	***Friktionsvinkel, φ'***
Fy/Gr/Sa *(Befintlig överbyggnad, nyare fyllning)*	38°
Fy/Sa/Si *(Äldre befintlig fyllning)*	35°
Friktionsjord *(Naturligt avsatt friktionsjord som underlagrar leran)*	39°

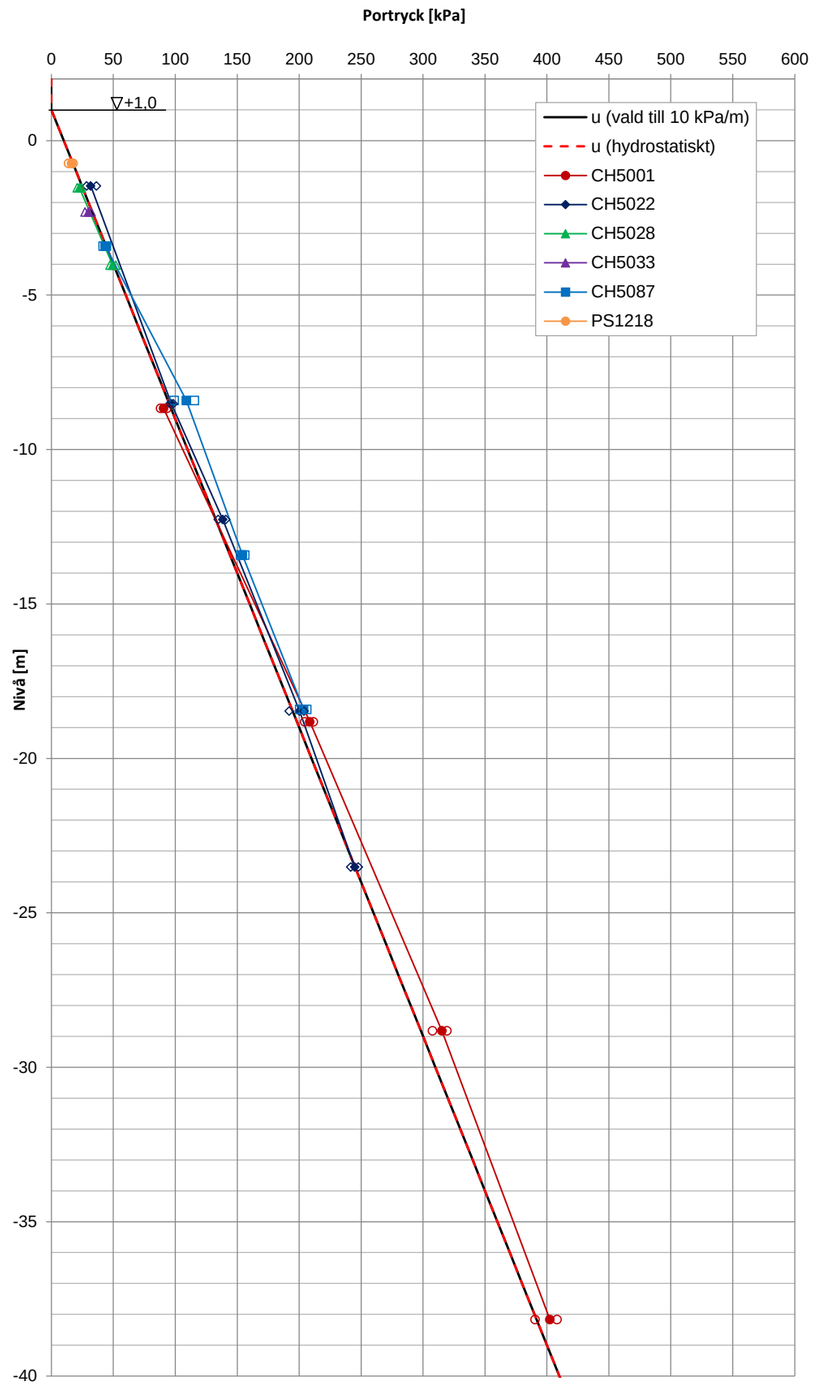
VÄSTLÄNKEN
PORTRYCKSPROFILER
2014-06-19

LINJE STATION CENTRALEN - STATION HAGA
km 457+800 - 458+300 (delområde Packhusplatsen)

BILAGA 11.1.3

Linjer och fyllda symboler avser medelvärde.
Icke ifyllda symboler avser min.- och max-värde.

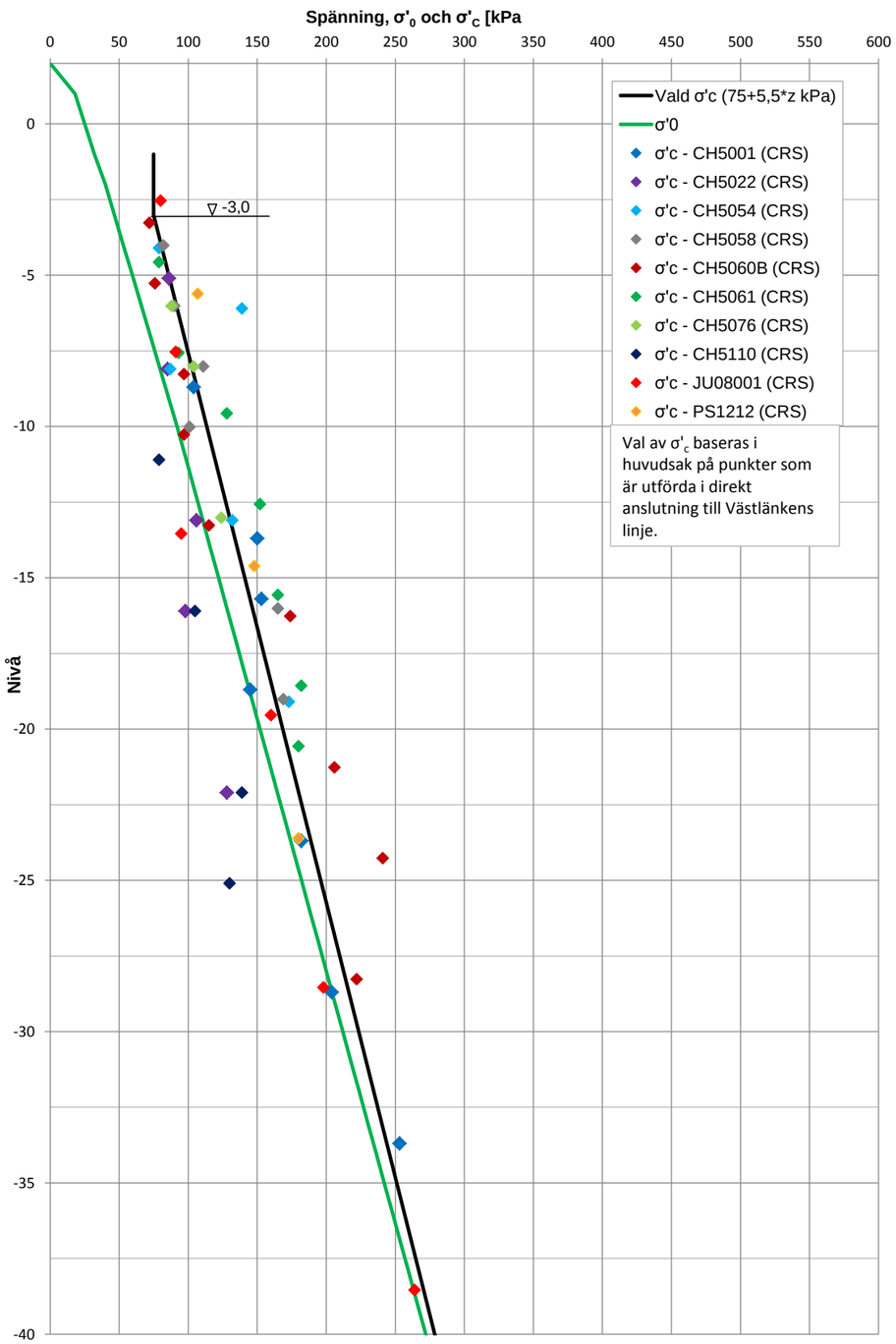
Mätperiod: 2012-04-10 - 2014-05-15

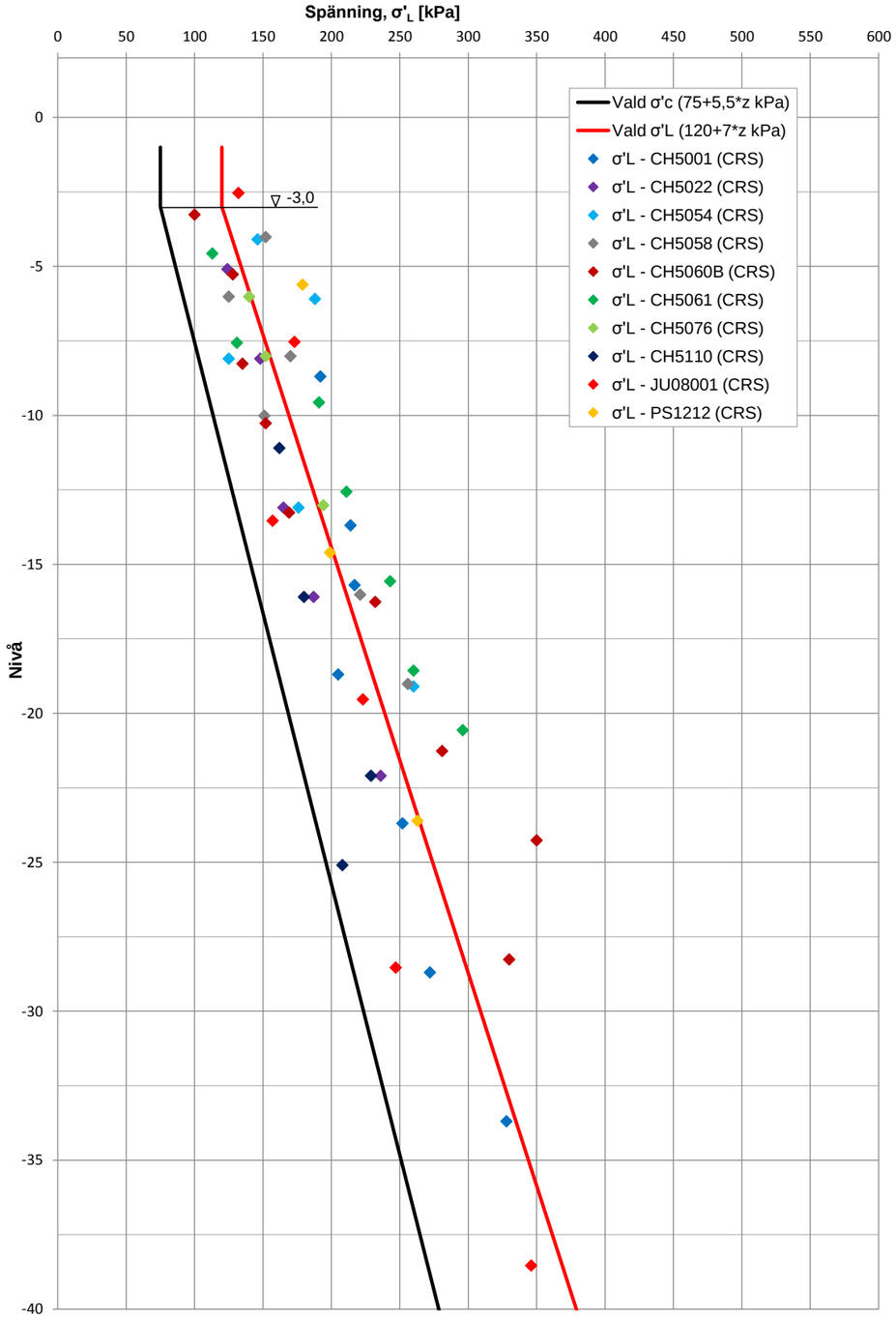


VÄSTLÄNKEN
SPÄNNINGAR
CRS-FÖRSÖK
2014-06-19

LINJE STATION CENTRALEN - STATION HAGA
km 457+800 - 458+300 (delområde Packhusplatsen)

BILAGA 11.1.4.1



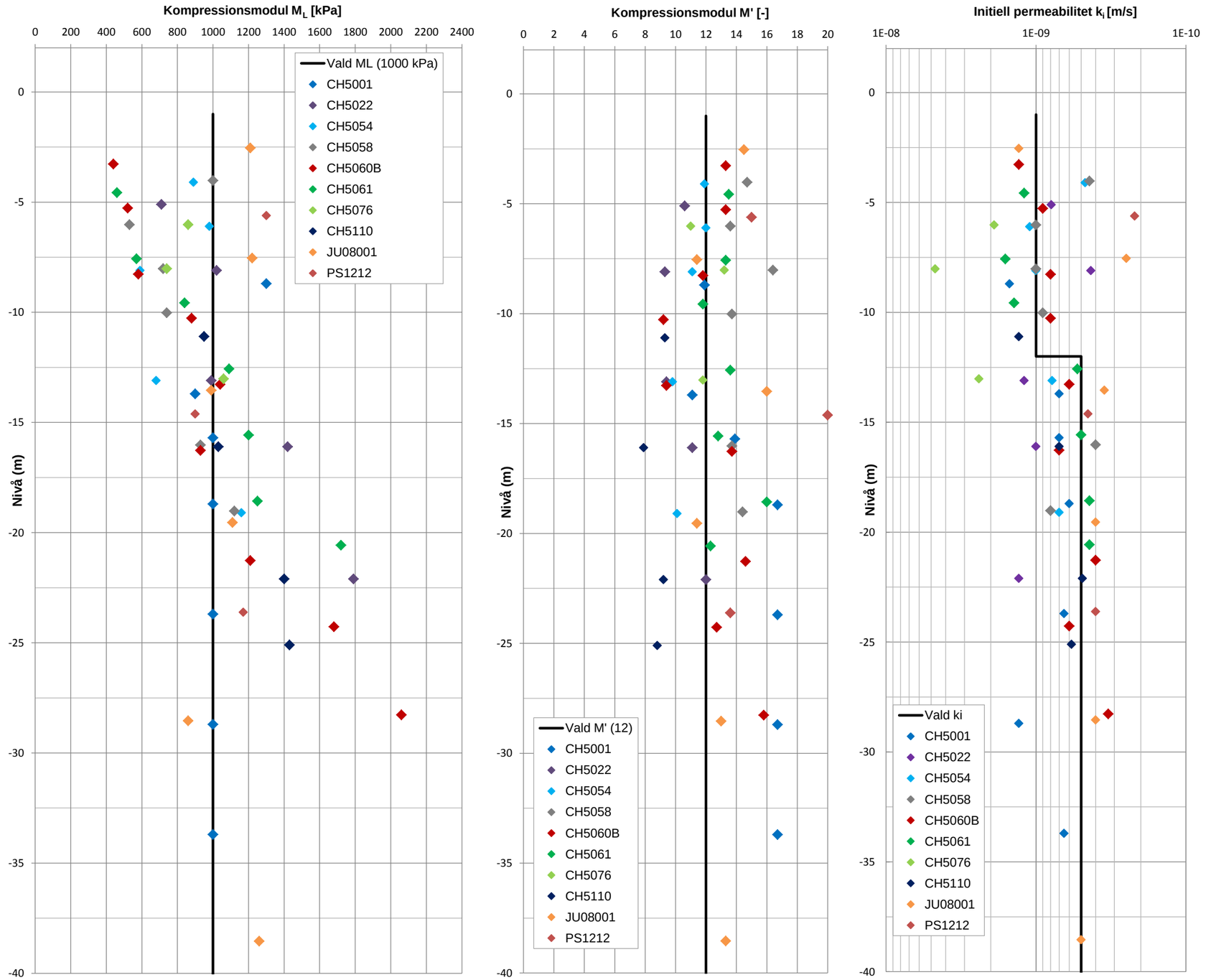


VÄSTLÄNKEN
MODULER, INITIELL PERMEABILITET
CRS-FÖRSÖK
2014-06-19

LINJE STATION CENTRALEN - STATION HAGA
km 457+800 - 458+300 (delområde Packhusplatsen)

BILAGA 11.1.4.2

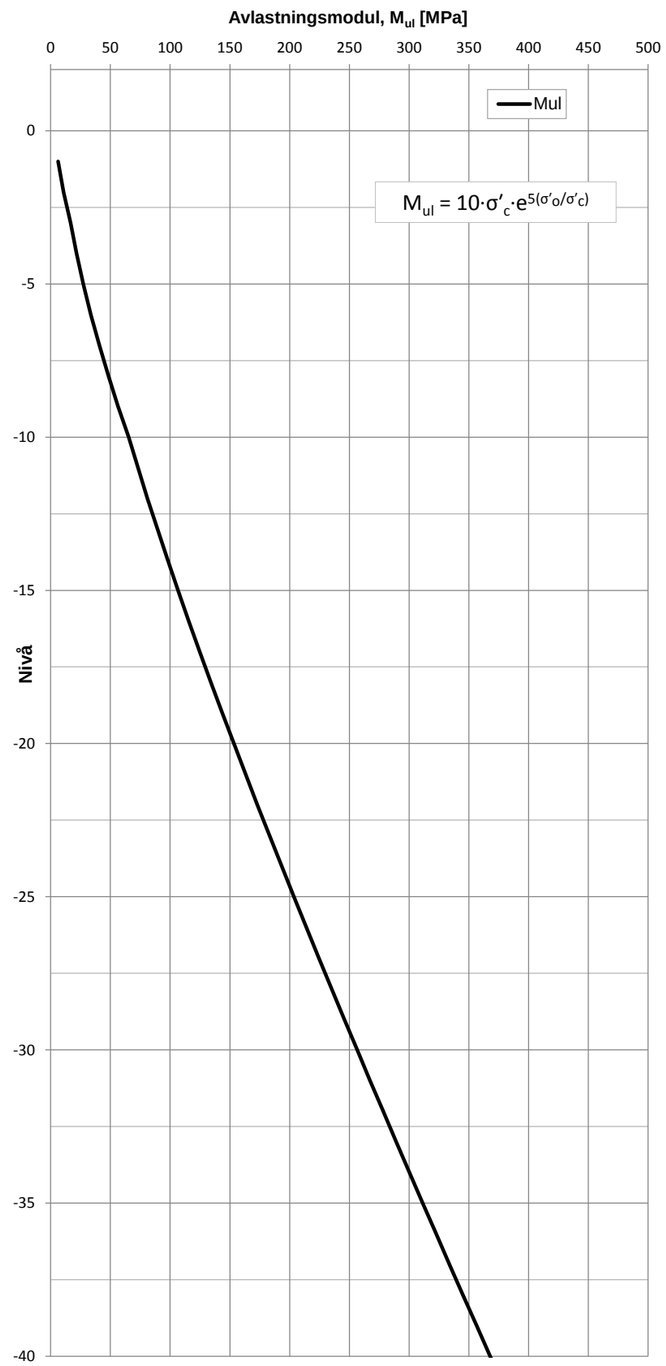
Kompressionsmodul, M_0 10000 kPa ner till nivån -5,
därunder M_0 = 10000+650·z kPa



VÄSTLÄNKEN
MODULER
CRS-FÖRSÖK
2014-06-19

LINJE STATION CENTRALEN - STATION HAGA
km 457+800 - 458+300 (delområde Packhusplatsen)

BILAGA 11.1.4.3

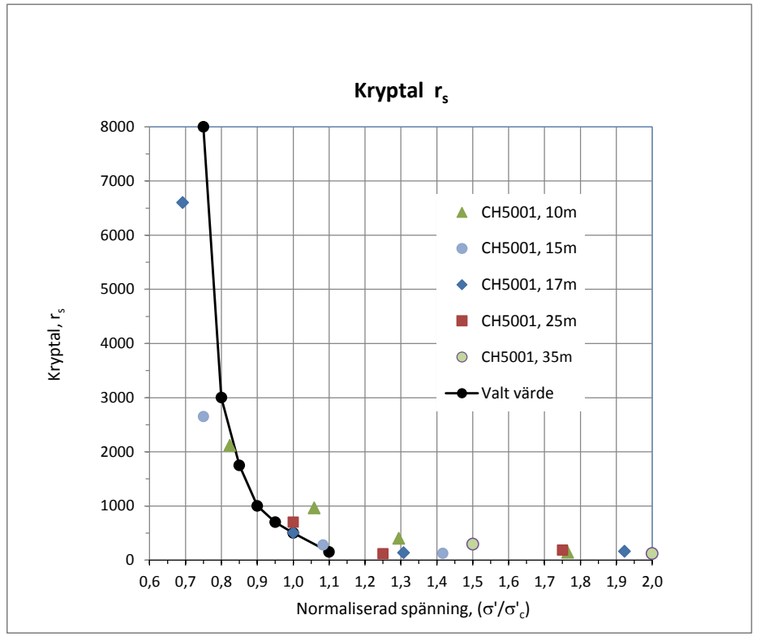


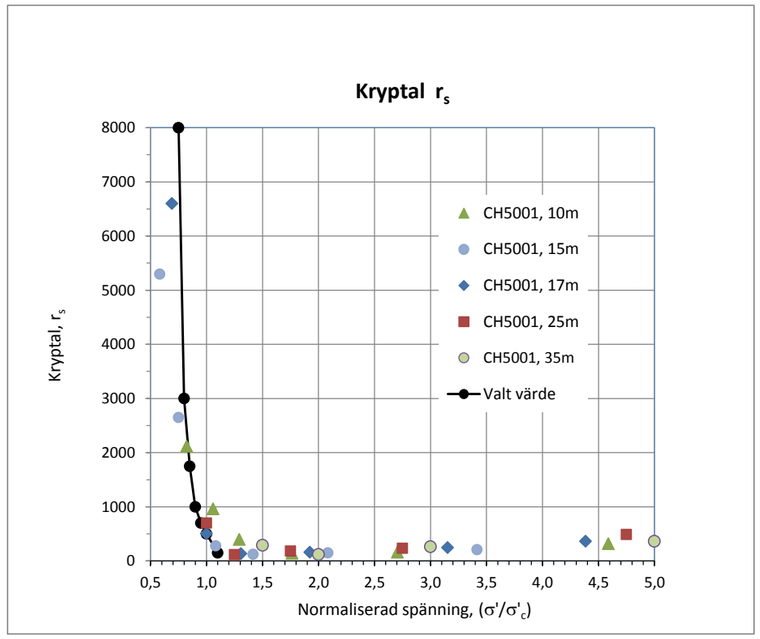
VÄSTLÄNKEN
KRYPPARAMETRAR
STEGVIS ÖDOMETER
2014-06-19

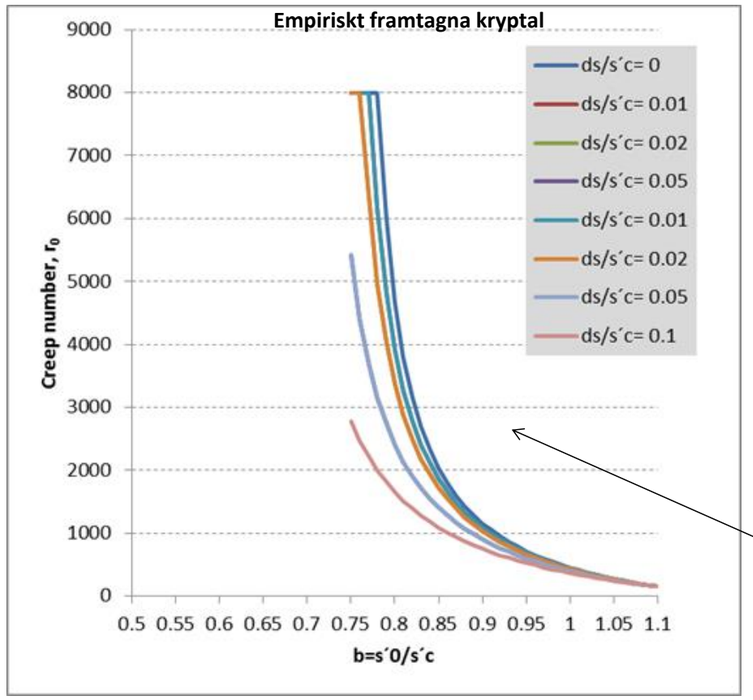
LINJE STATION CENTRALEN - STATION HAGA
km 457+800 - 458+300 (delområde Packhusplatsen)

BILAGA 11.1.4.4

Parameter	Värden som ska användas vid beräkningar (GS Settlements)
α_{Smax}	väljs enligt TK Geo 11, tabell 5.2-2
$\beta_{\alpha S}$	väljs enligt TK Geo 11, tabell 5.2-2
a_0	0,9
a_1	1,1
b_0	σ'_0/σ'_c
b_1	1,1
r_0	8000 vid b_0 = 0,75
r_0	3000 vid b_0 = 0,8
r_0	1750 vid b_0 = 0,85
r_0	1000 vid b_0 = 0,9
r_0	700 vid b_0 = 0,95
r_0	500 vid b_0 = 1,0
r_1	150
t_{ref}	-1 dag
β_K	4







Valda värden från diagram ovan kan jämföras med empiriskt framtagna kryptal.

Kurvorna i diagrammet baseras på empiriskt framtagna kryptal med utgångspunkt från empiriska relationer som utvecklats i samband med pågående doktorandprojekt på Chalmers (Mats Olsson). Den empiriska funktionen bygger på metod som beskrivs i ”Val av kryptal för lösa plastiska leror”, daterad 2009-02-13. Parametern r_0 kan genom denna empiriska relation bestämmas genom följande samband:

För $0.75<b<b_1$

$$r_0 = \frac{750\cdot(b_1-b_0)}{b_0-0.75-\frac{\Delta\sigma}{\sigma'_{c_{ref}}}}+r_1 \quad \max r_0 = 8000$$

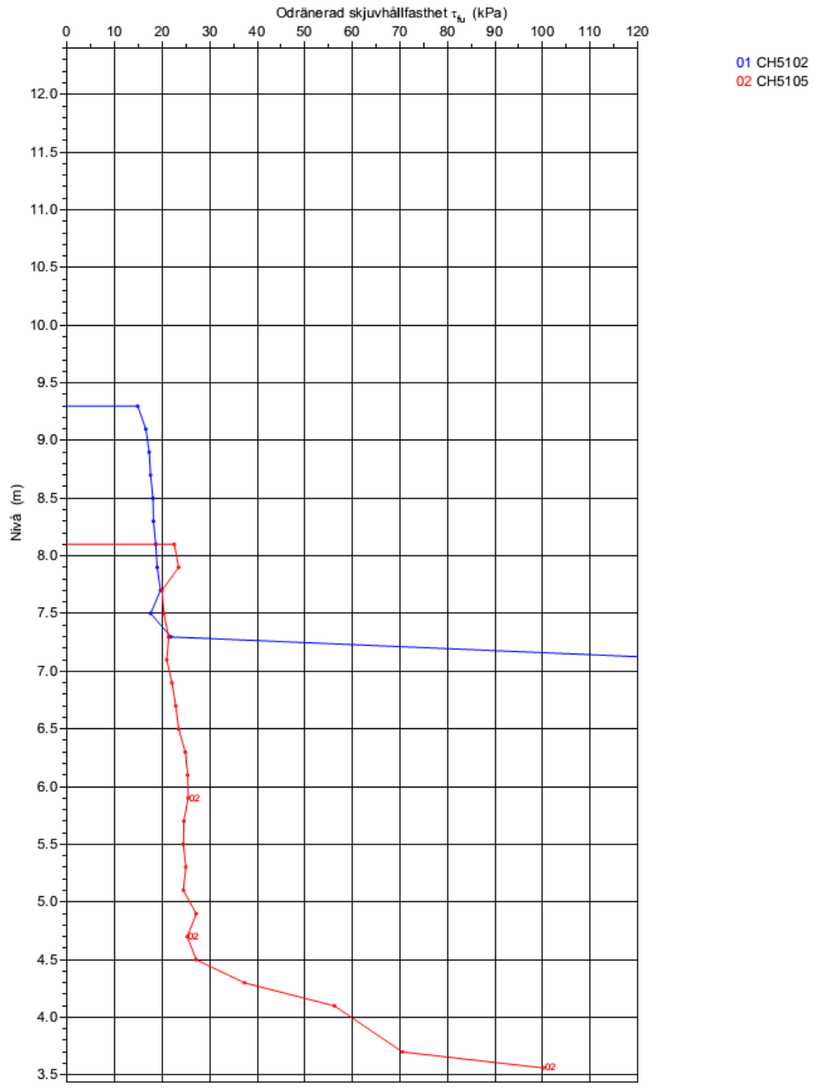
För $b \geq b_1$ gäller r_1

Där b_1=1,1 och b_0= σ'_0/σ'_c

VÄSTLÄNKEN
ODRÄNERAD SKJUVHÅLLFASTHET
SAMMANSTÄLLNING AV UTVÄRDERADE CPT-SONDERINGAR
2014-06-19

LINJE STATION CENTRALEN - STATION HAGA
km 458+600 - 458+700 (delområde Yxhugget)

BILAGA 11.2.1



VÄSTLÄNKEN
DRÄNERADE HÅLLFASTHETSEGENSKAPER
2014-06-19

LINJE STATION CENTRALEN - STATION HAGA
km 458+600 - 458+700 (delområde Yxhugget)

BILAGA 11.2.2

Dränerade hållfasthetsegenskaper i kohesionjord

Generellt gäller att vid dränerad analys ska för kohesionsjord antas att:
$\varphi'_k = 30°$
$c'_k = 0{,}1 \cdot c_{uk}$
där c_{uk} är karakteristisk odränerad skjuvhållfasthet

Hållfasthetsegenskaper i friktionsjord

Karakteristiska värden för friktionsvinkeln för befintlig överbyggnad, äldre fyllning samt underliggande friktionsjord framgår av nedanstående tabell.

Jordlager	***Friktionsvinkel, φ'***
Fy/Gr/Sa *(Befintlig överbyggnad, nyare fyllning)*	38°
Fy/Sa/Si *(Äldre befintlig fyllning)*	35°
Friktionsjord *(Naturligt avsatt friktionsjord som underlagrar leran)*	39°

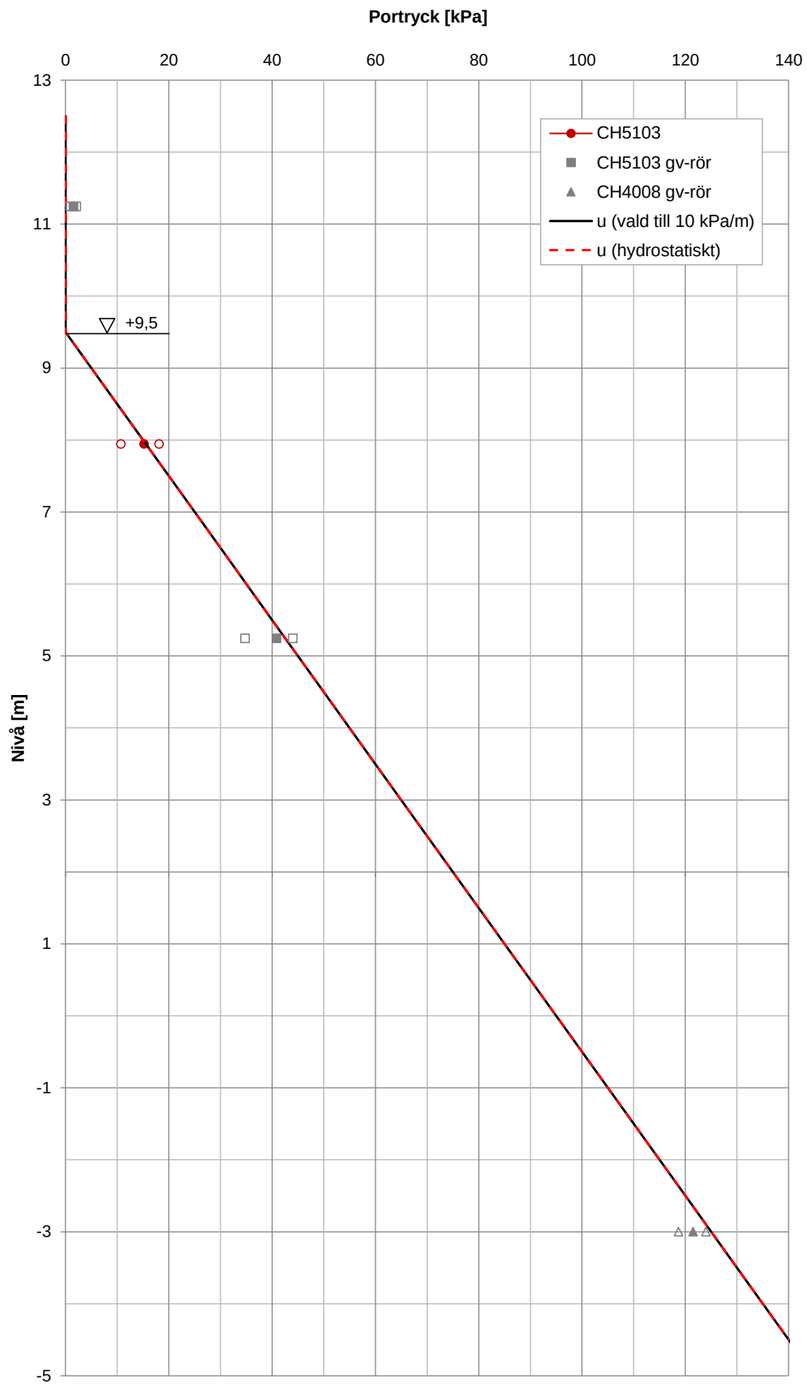
VÄSTLÄNKEN
PORTRYCKSPROFILER
2014-06-19

LINJE STATION CENTRALEN - STATION HAGA
km 458+600 - 458+700 (delområde Yxhugget)

BILAGA 11.2.3

Linjer och fyllda symboler avser medelvärde.
Icke ifyllda symboler avser uppmätt min.- och max-värde.

Mätperiod: 2013-06-07 - 2014-05-09

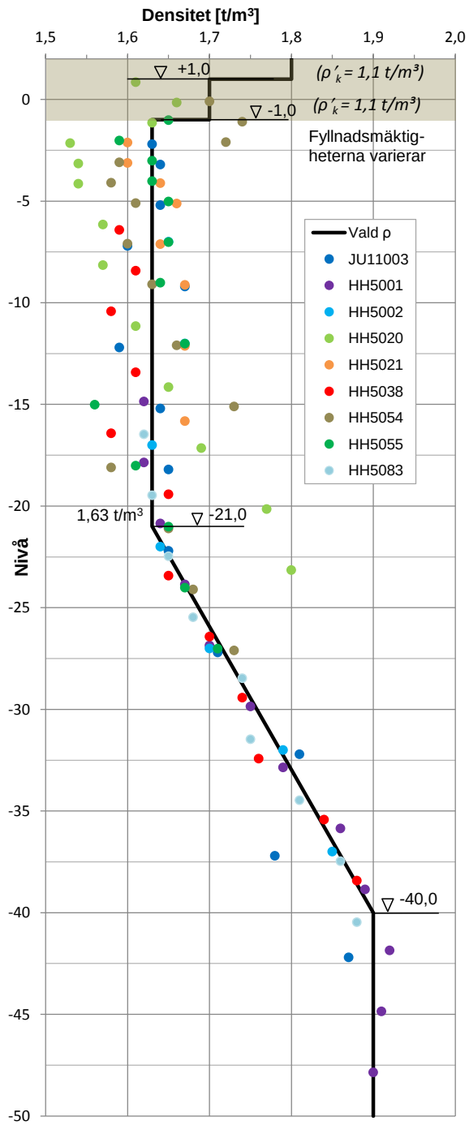


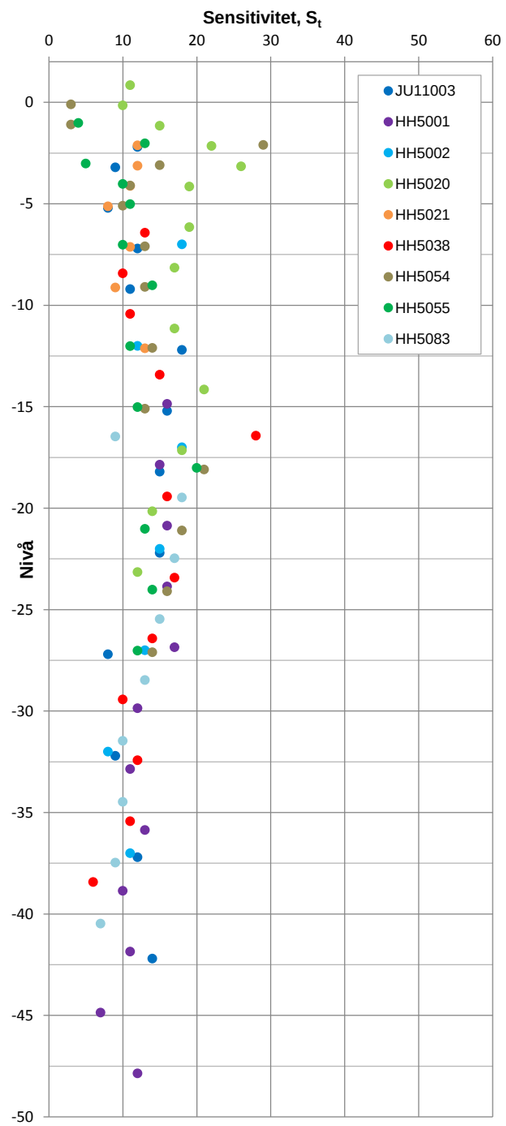
VÄSTLÄNKEN

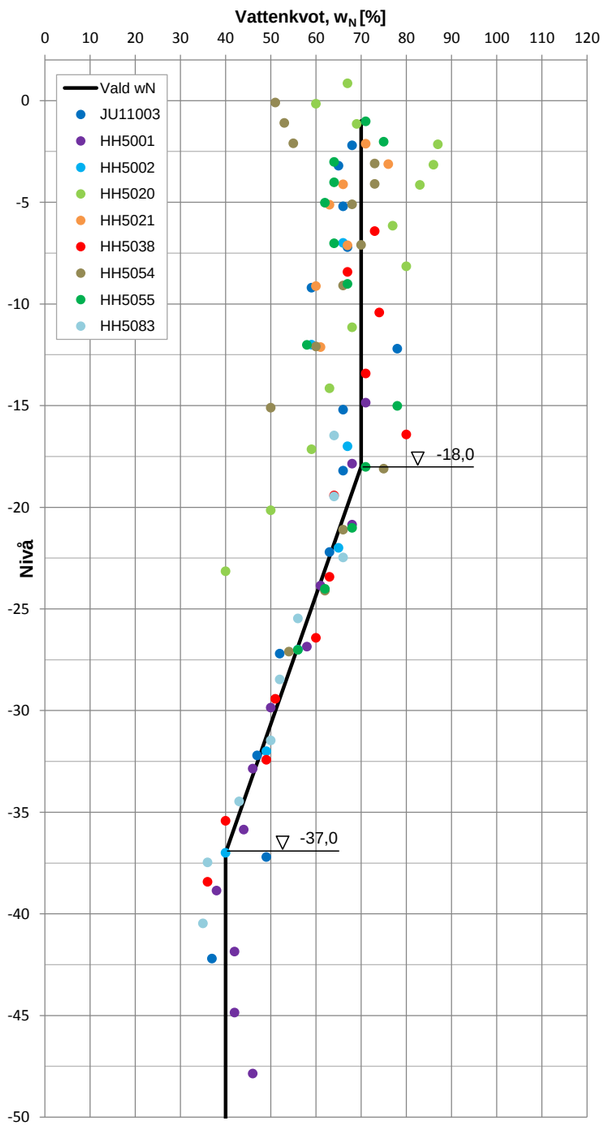
DENSITET, SENSITIVITET, VATTENKVOT, KONFLYTGRÄNS
2014-06-19

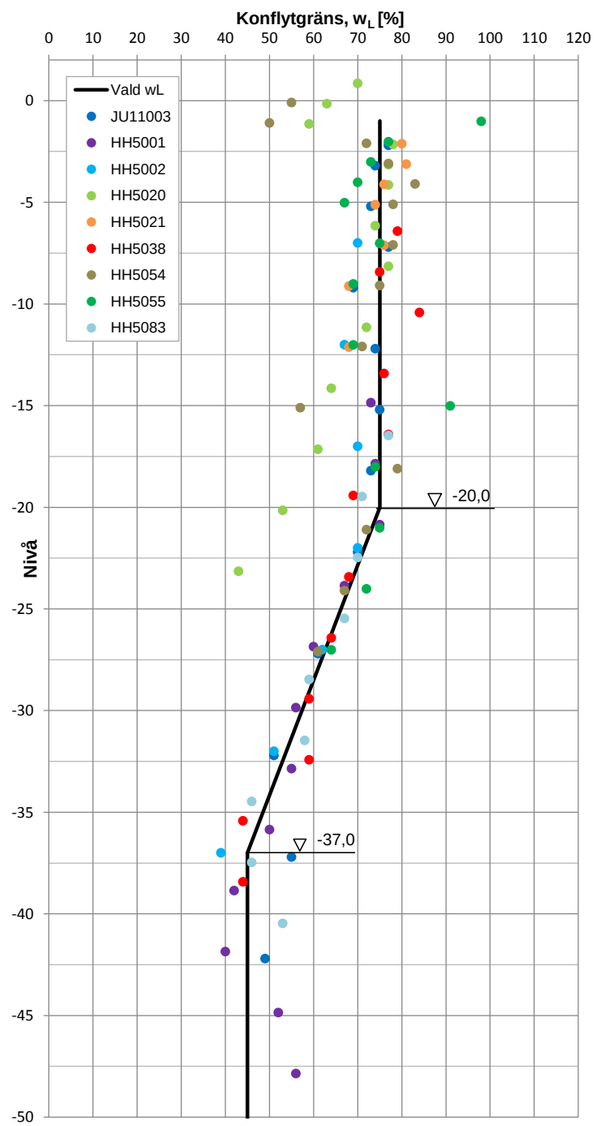
STATION HAGA
km 458+800 - 459+100

BILAGA 12.1.1







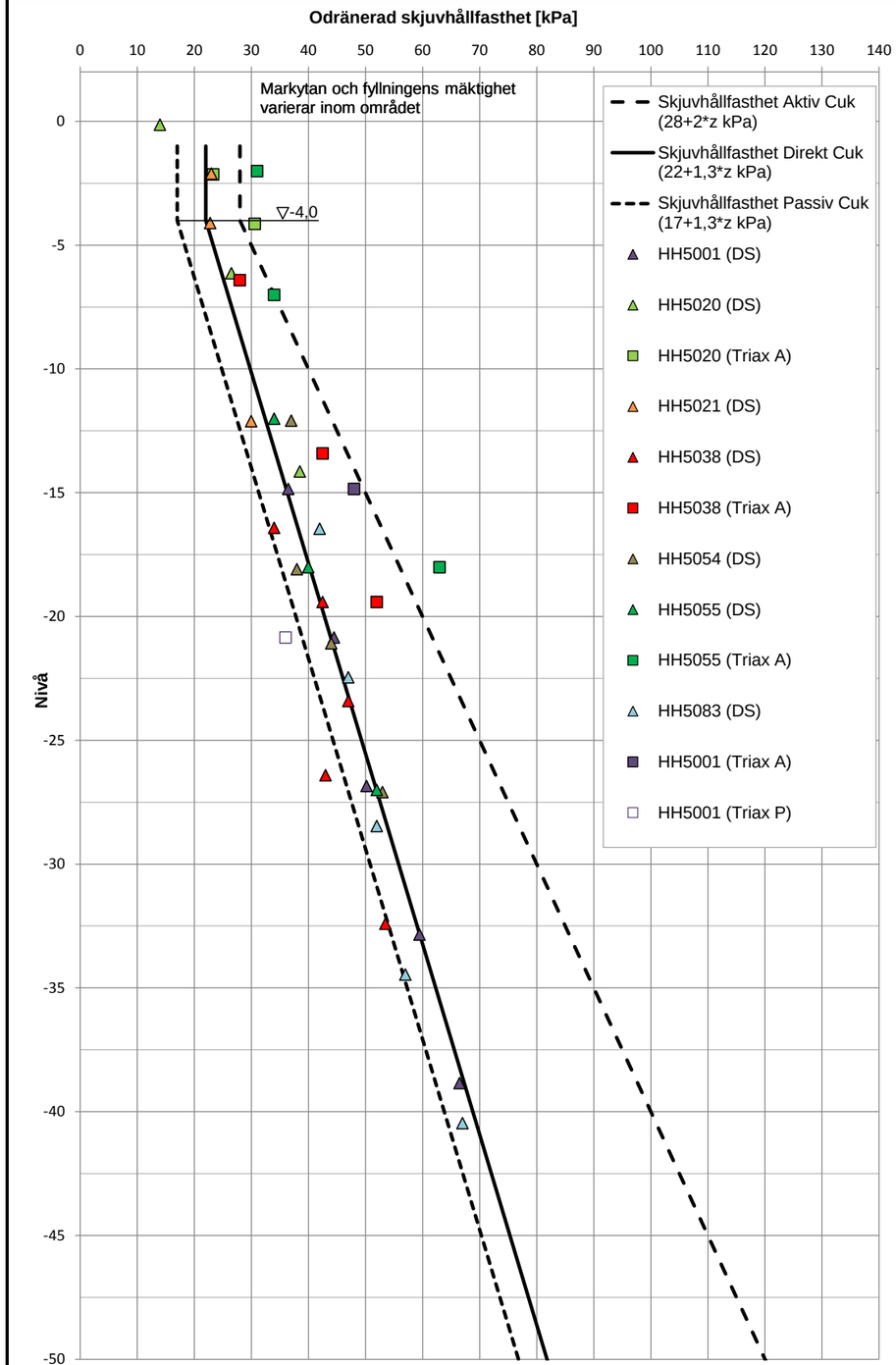


Friktionsjord som underlagrar leran
ρ_k = 1,9 t/m³
ρ'_k = 1,1 t/m³

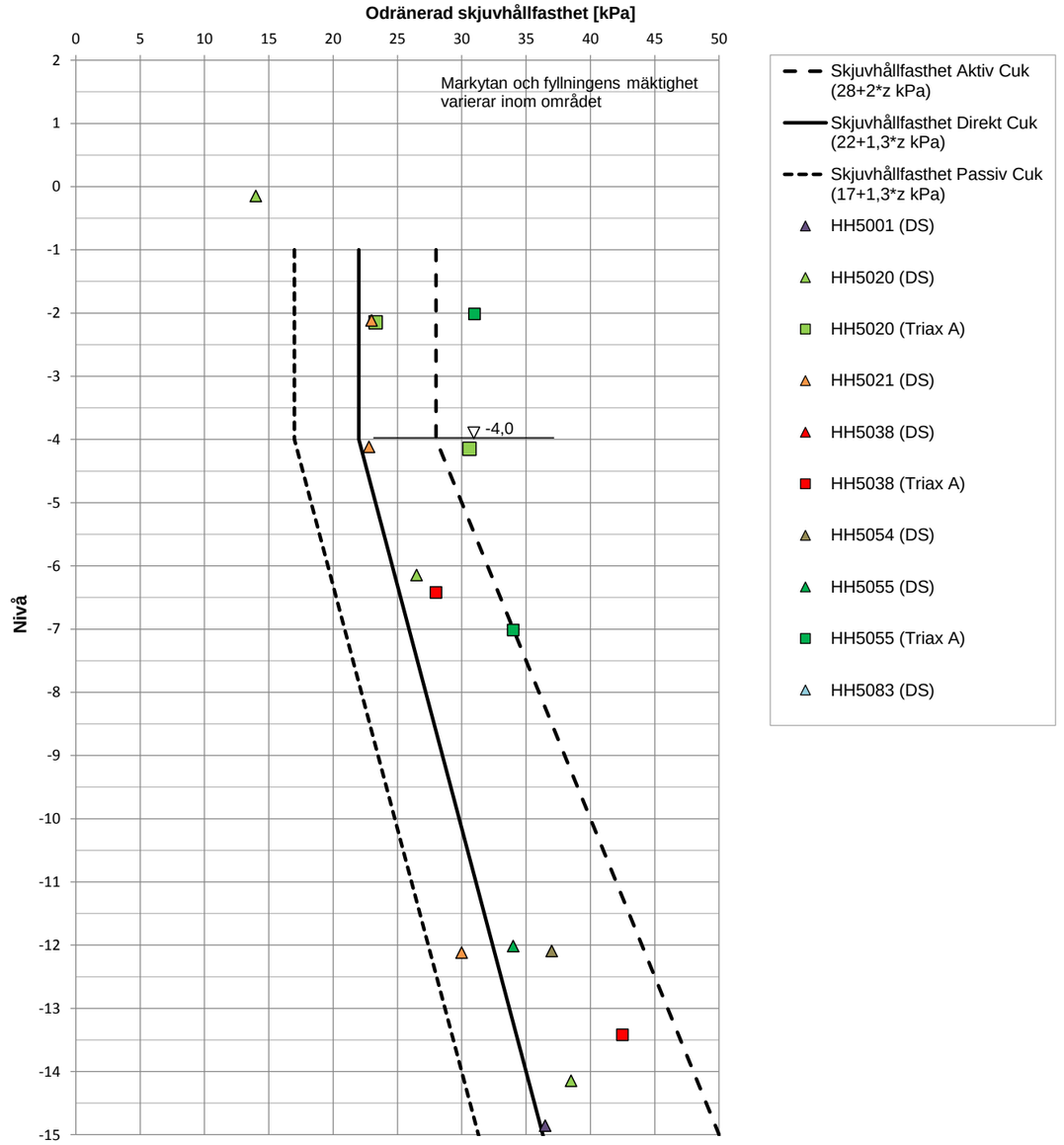
VÄSTLÄNKEN
ODRÄNERAD SKJUVHÅLLFASTHET
VALT KARAKTERISTISKT VÄRDE
2014-06-19

STATION HAGA
km 458+800 - 459+100

BILAGA 12.1.2.1



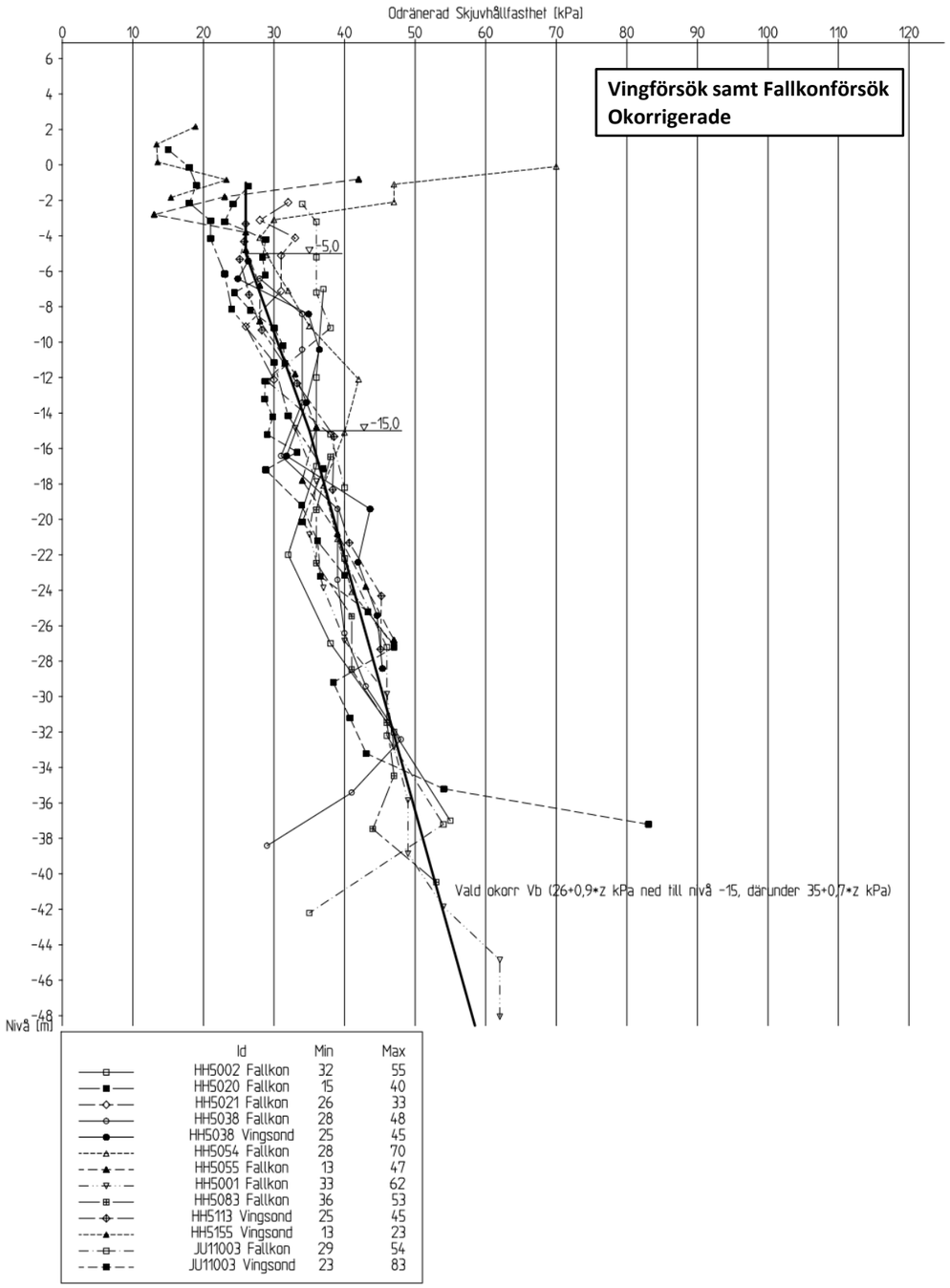
Detalj - Övre delen av jordprofilen



VÄSTLÄNKEN
ODRÄNERAD SKJUVHÅLLFASTHET
VALT KARAKTERISTISKT VÄRDE, OKORRIGERAT
2014-06-19

STATION HAGA
km 458+800 - 459+100

BILAGA 12.1.2.2



VÄSTLÄNKEN

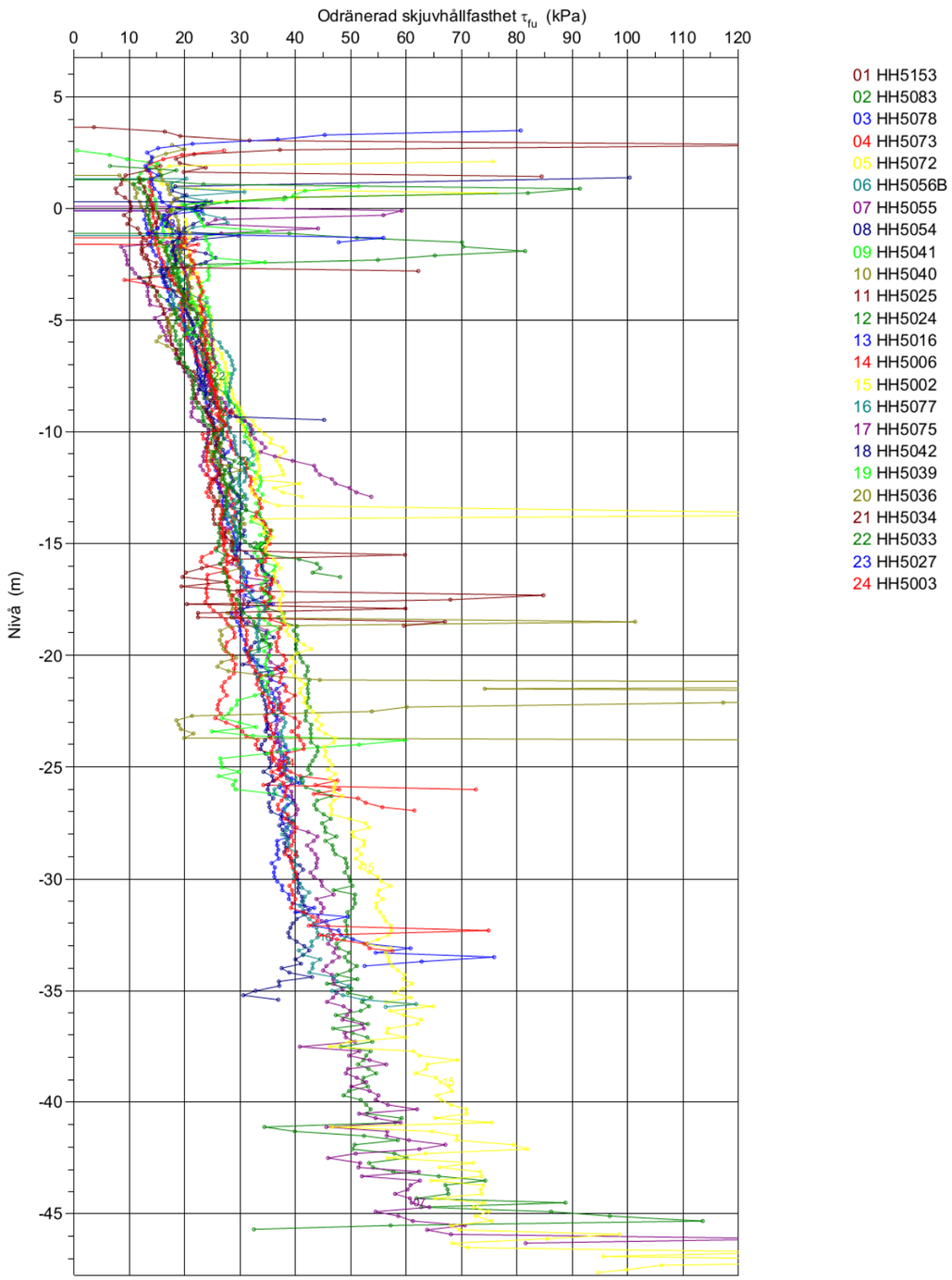
ODRÄNERAD SKJUVHÅLLFASTHET

SAMMANSTÄLLNING AV UTVÄRDERADE CPT-SONDERINGAR

2014-06-19

STATION HAGA
km 458+800 - 459+100

BILAGA 12.1.2.3



VÄSTLÄNKEN
DRÄNERADE HÅLLFASTHETSEGENSKAPER
2014-06-19

STATION HAGA
km 458+800 - 459+100

BILAGA 12.1.2.4

Dränerade hållfasthetsegenskaper i kohesionjord

Generellt gäller att vid dränerad analys ska för kohesionsjord antas att:
$\varphi'_k = 30°$
$c'_k = 0{,}1 \cdot c_{uk}$
där c_{uk} är karakteristisk odränerad skjuvhållfasthet

Hållfasthetsegenskaper i friktionsjord

Karakteristiska värden för friktionsvinkeln för befintlig överbyggnad, äldre fyllning samt underliggande friktionsjord framgår av nedanstående tabell.

Jordlager	***Friktionsvinkel, φ'***
Fy/Gr/Sa *(Befintlig överbyggnad, nyare fyllning)*	38°
Fy/Sa/Si *(Äldre befintlig fyllning)*	35°
Friktionsjord *(Naturligt avsatt friktionsjord som underlagrar leran)*	39°

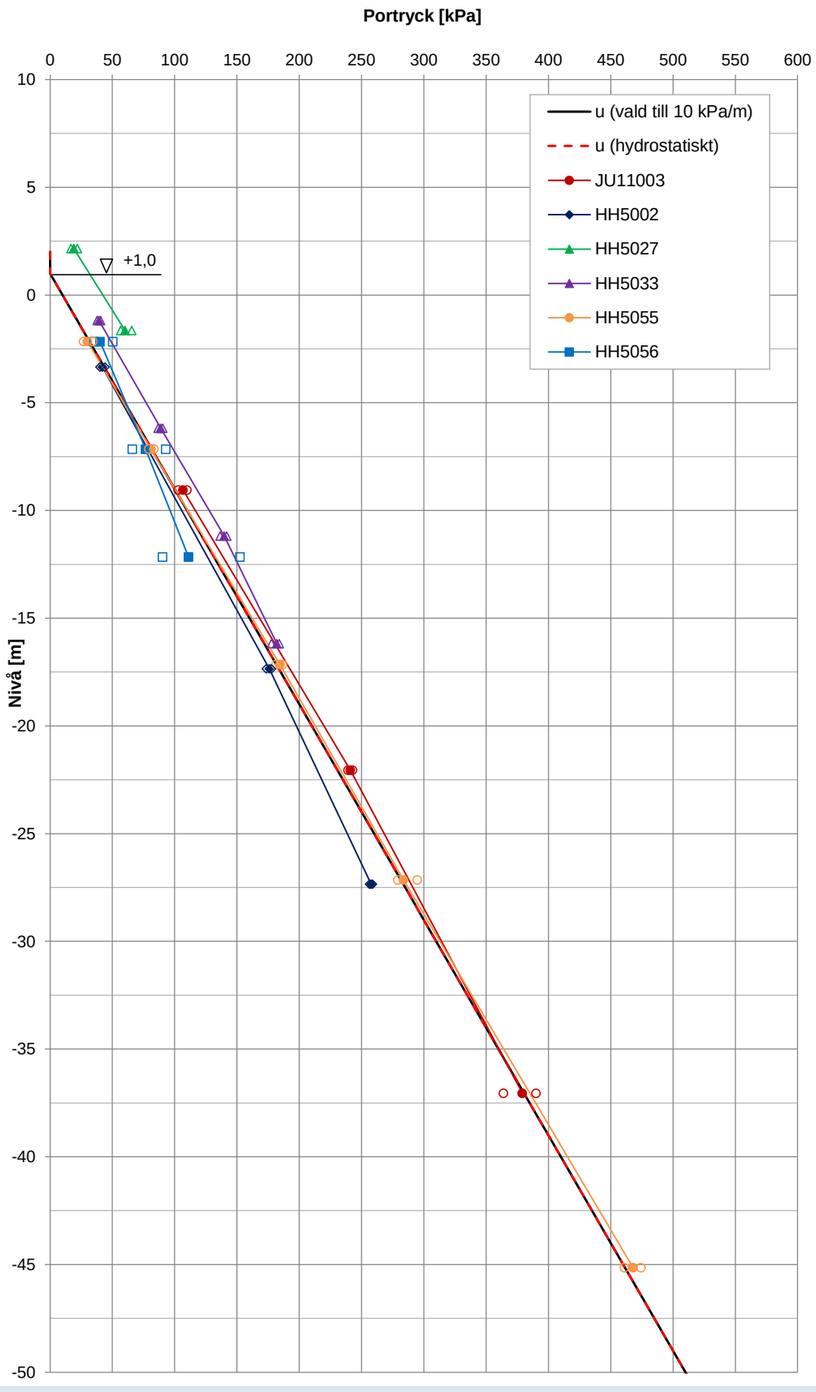
VÄSTLÄNKEN
PORTRYCKSPROFILER
2014-06-19

STATION HAGA
km 458+800 - 459+100

BILAGA 12.1.3

Linjer och fyllda symboler avser medelvärde. Icke ifyllda symboler avser uppmätt min- och max-värde.

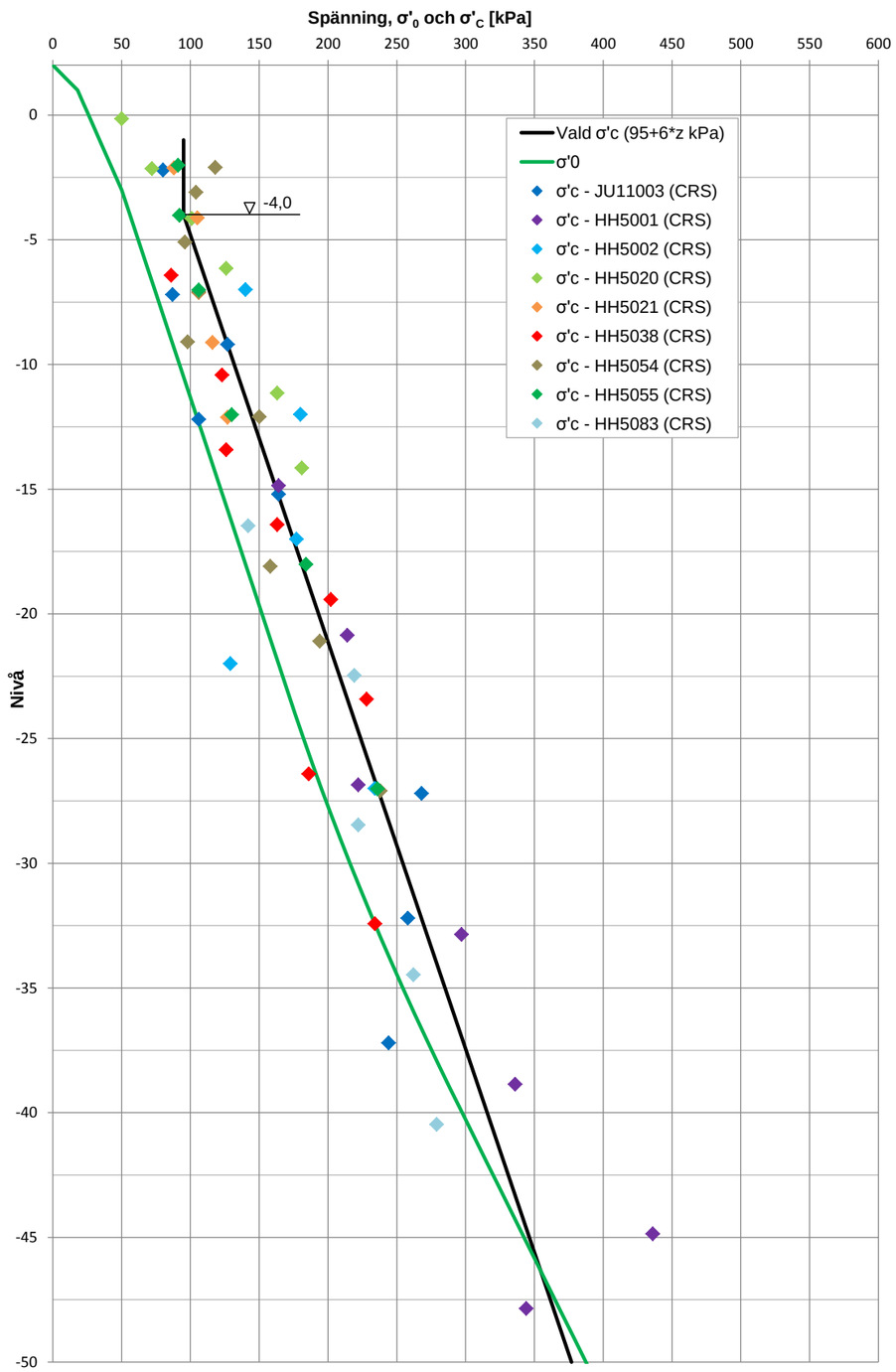
Mätperiod: 2005-03-07 - 2014-06-09

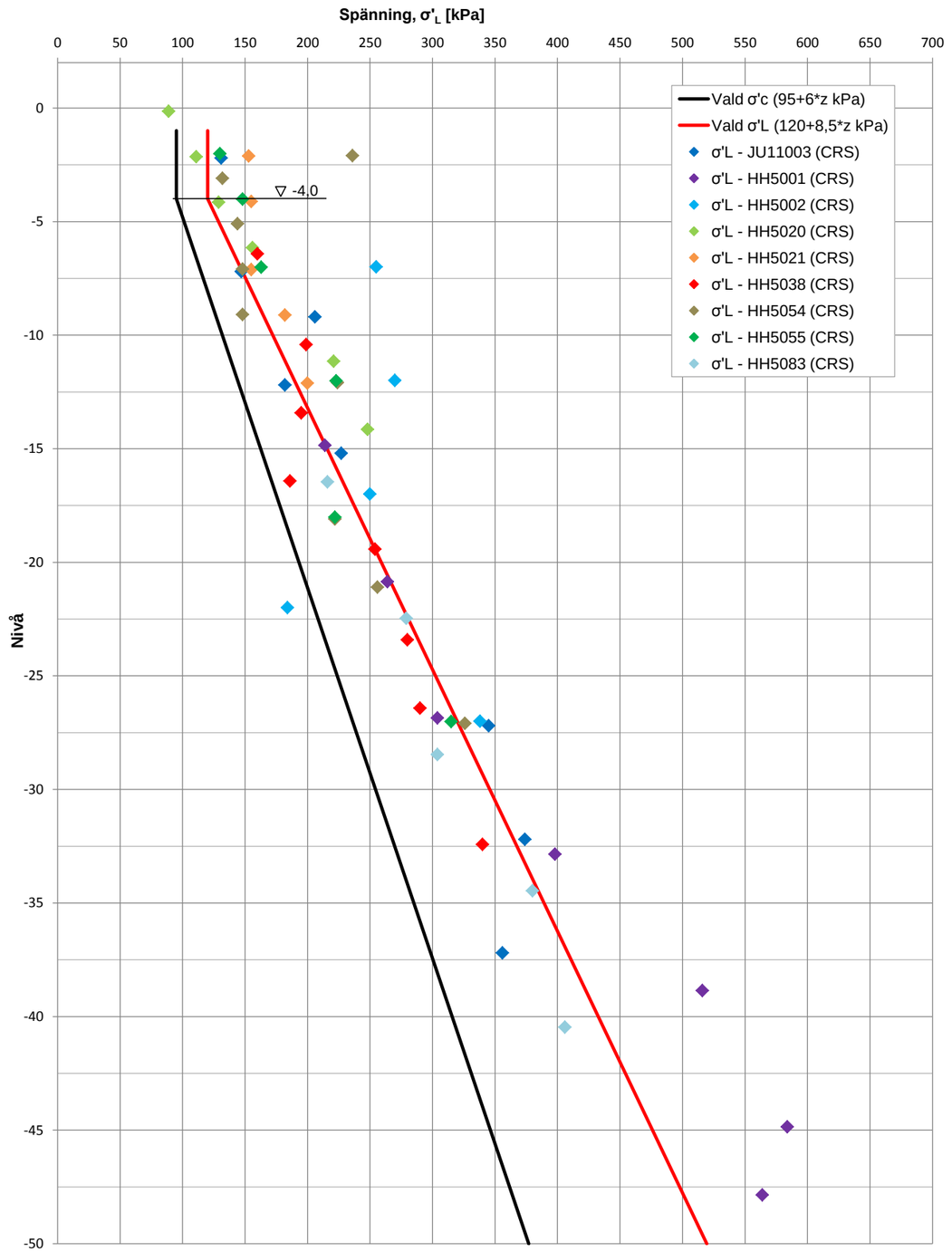


VÄSTLÄNKEN
SPÄNNINGAR
CRS-FÖRSÖK
2014-06-19

STATION HAGA
km 458+800 - 459+100

BILAGA 12.1.4.1



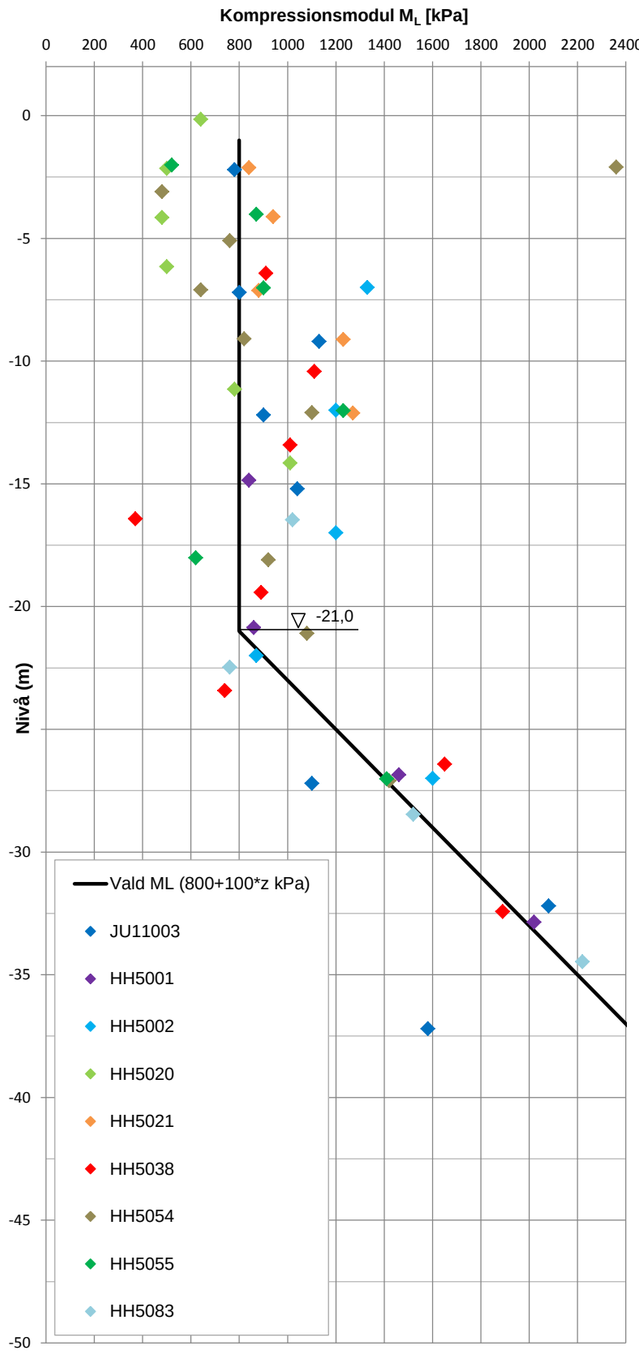


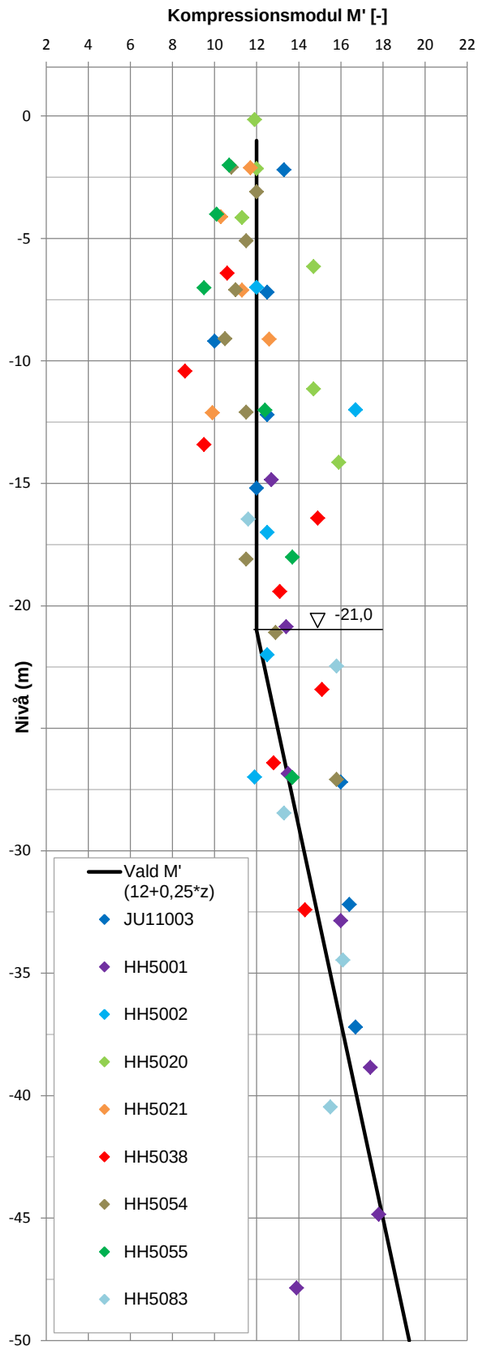
VÄSTLÄNKEN
MODULER, INITIELL PERMEABILITET
CRS-FÖRSÖK
2014-06-19

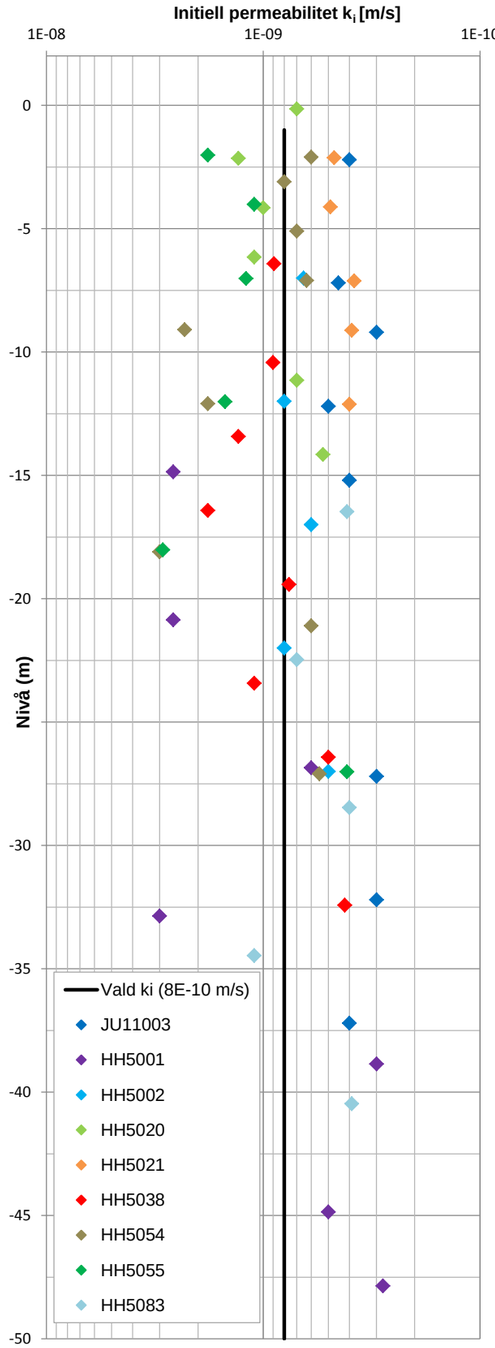
STATION HAGA
km 458+800 - 459+100

BILAGA 12.1.4.2

Kompressionsmodul, M_0 11 000 kPa ner till nivå -4,
därunder M_0 = 11 000+650·z kPa





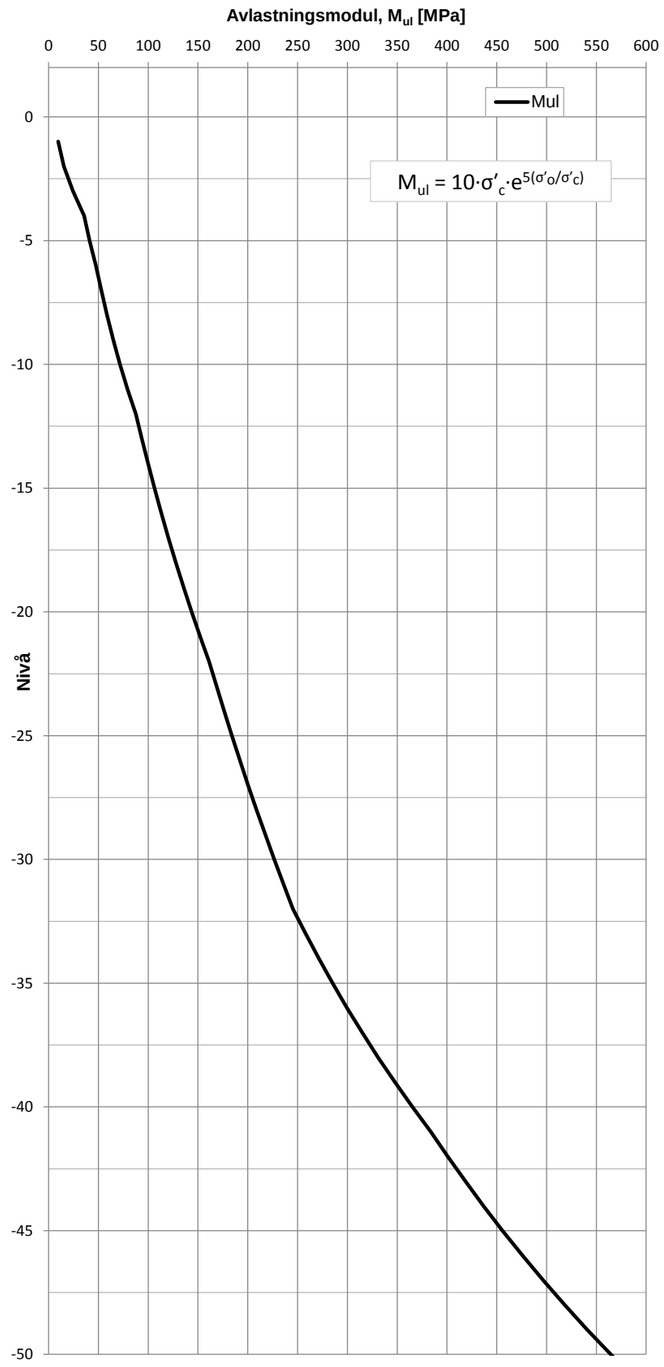


VÄSTLÄNKEN
MODULER

STATION HAGA
km 458+800 - 459+100

BILAGA 12.1.4.3

2014-06-19

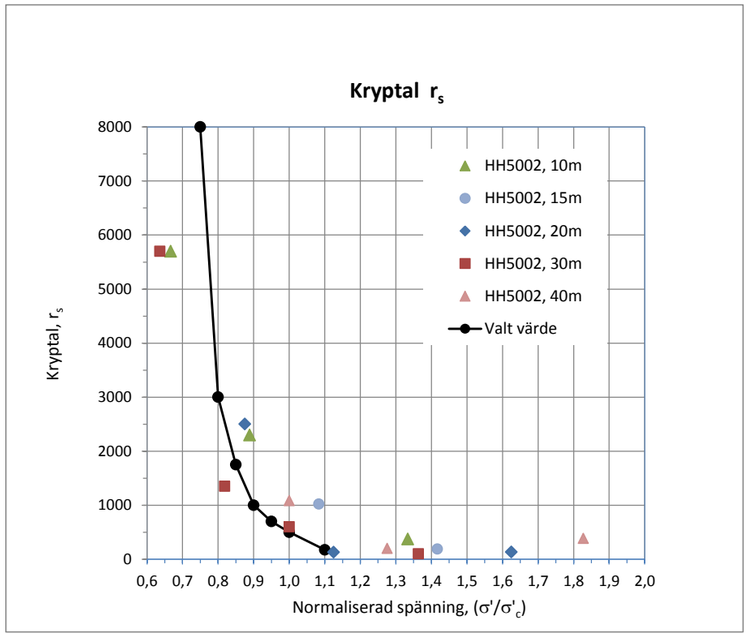


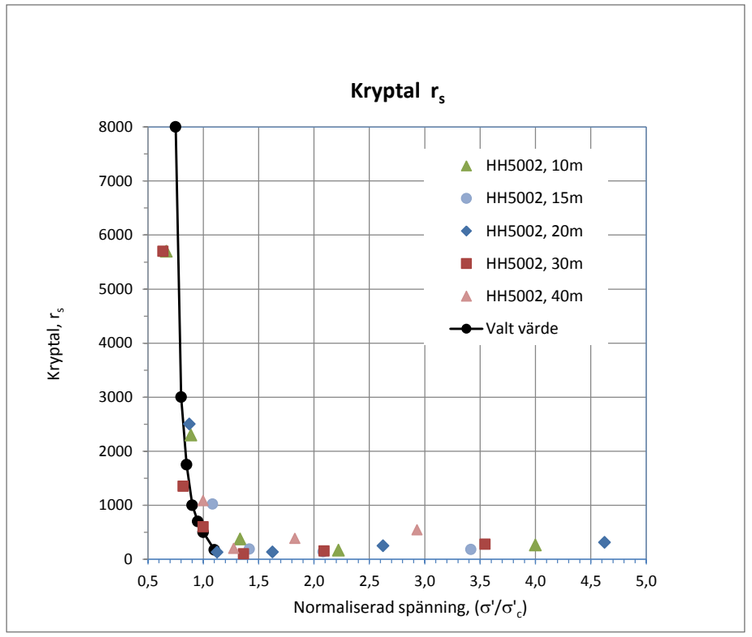
VÄSTLÄNKEN
KRYPPARAMETRAR
STEGVIS ÖDOMETER
2014-06-19

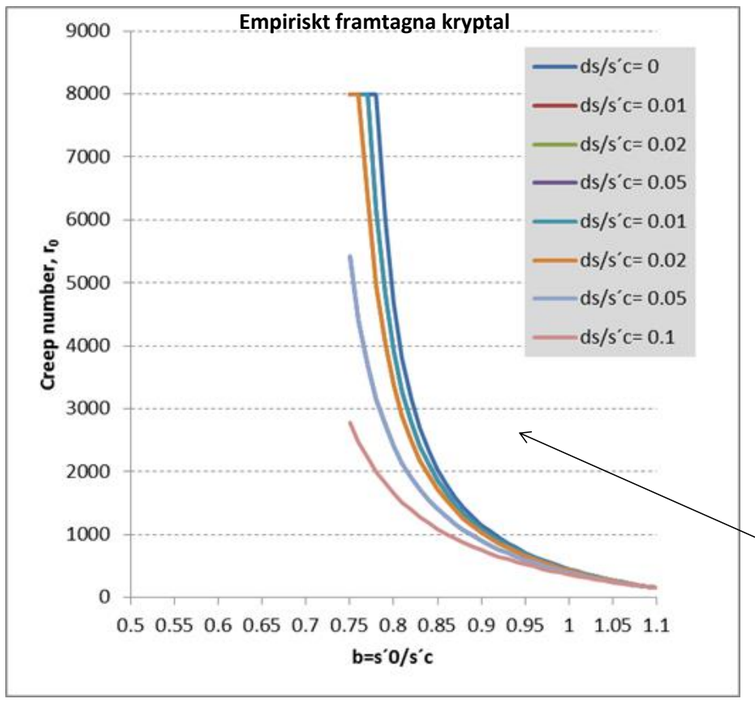
STATION HAGA
km 458+800 - 459+100

BILAGA 12.1.4.4

Parameter	Värden som ska användas vid beräkningar (GS Settlements)
α_{Smax}	väljs enligt TK Geo 11, tabell 5.2-2
$\beta_{\alpha S}$	väljs enligt TK Geo 11, tabell 5.2-2
a_0	0,9
a_1	1,1
b_0	σ'_0/σ'_c
b_1	1,1
r_0	8000 vid b_0 = 0,75
r_0	3000 vid b_0 = 0,8
r_0	1750 vid b_0 = 0,85
r_0	1000 vid b_0 = 0,9
r_0	700 vid b_0 = 0,95
r_0	500 vid b_0 = 1,0
r_1	175
t_{ref}	-1 dag
β_K	4







Valda värden från diagram ovan kan jämföras med empiriskt framtagna kryptal.

Kurvorna i diagrammet baseras på empiriskt framtagna kryptal med utgångspunkt från empiriska relationer som utvecklats i samband med pågående doktorandprojekt på Chalmers (Mats Olsson). Den empiriska funktionen bygger på metod som beskrivs i "Val av kryptal för lösa plastiska leror", daterad 2009-02-13. Parametern r_0 kan genom denna empiriska relation bestämmas genom följande samband:

För $0.75<b<b_1$

$$r_0 = \frac{750\cdot(b_1 - b_0)}{b_0 - 0.75 - \frac{\Delta\sigma}{\sigma'_{c_{ref}}}} + r_1 \quad \max r_0 = 8000$$

För $b \geq b_1$ gäller r_1

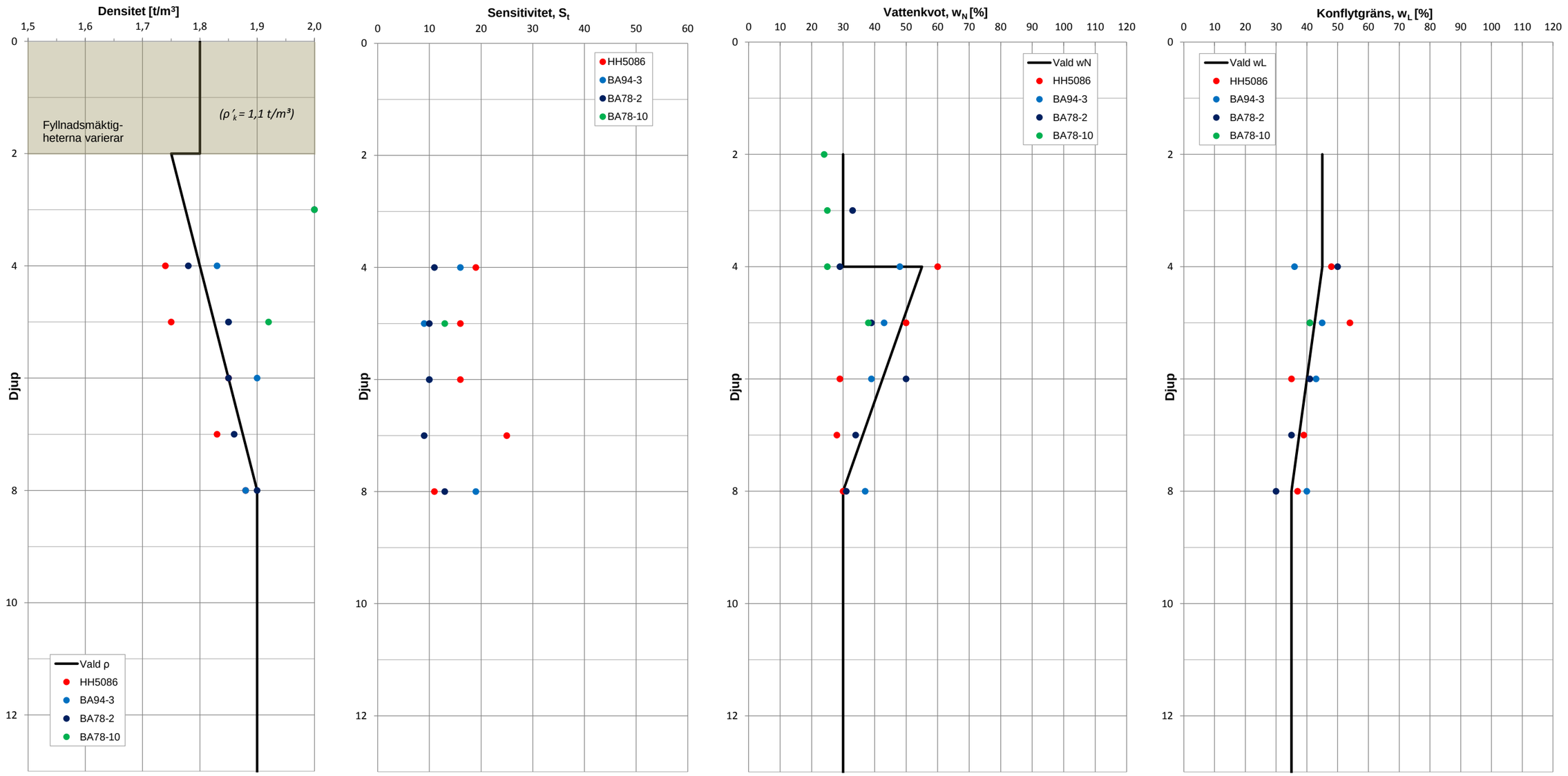
Där b_1=1,1 och b_0= σ'_0/σ'_c

VÄSTLÄNKEN

DENSITET, SENSITIVITET, VATTENKVOT, KONFLYTGRÄNS
2014-06-19

STATION HAGA
km 459+100 - 459+400

BILAGA 12.2.1



Friktionsjord som underlagrar leran
ρ_k = 1,9 t/m³
ρ'_k = 1,1 t/m³

VÄSTLÄNKEN

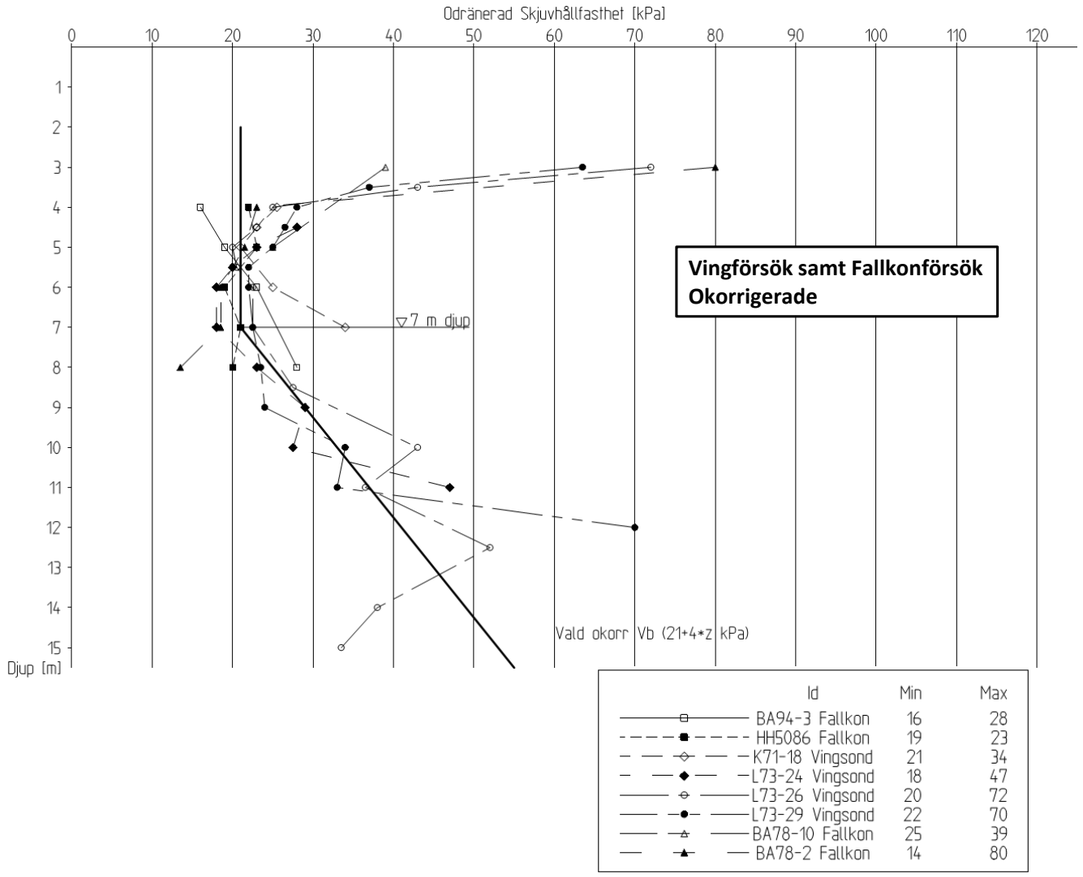
ODRÄNERAD SKJUVHÅLLFASTHET

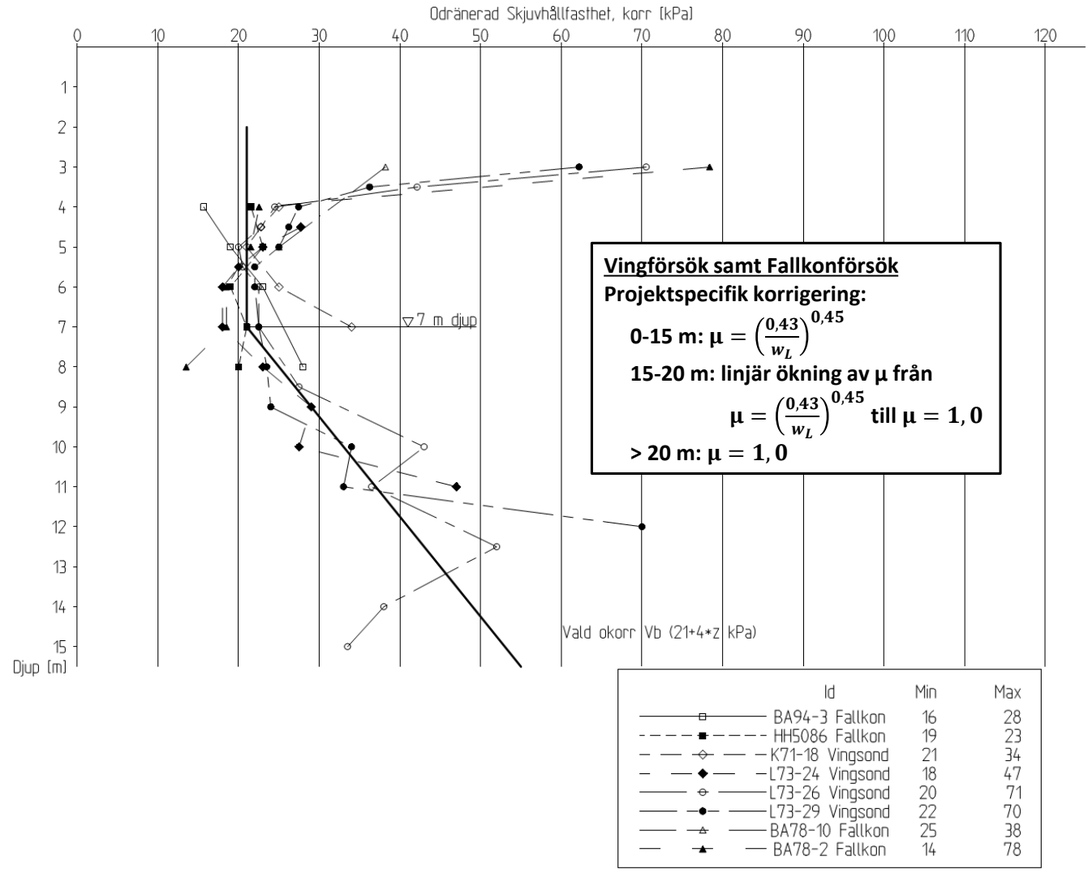
VALT KARAKTERISTISKT VÄRDE, OKORRIGERAT OCH KORRIGERAT

2014-06-19

STATION HAGA
km 459+100 - 459+400

BILAGA 12.2.2.1

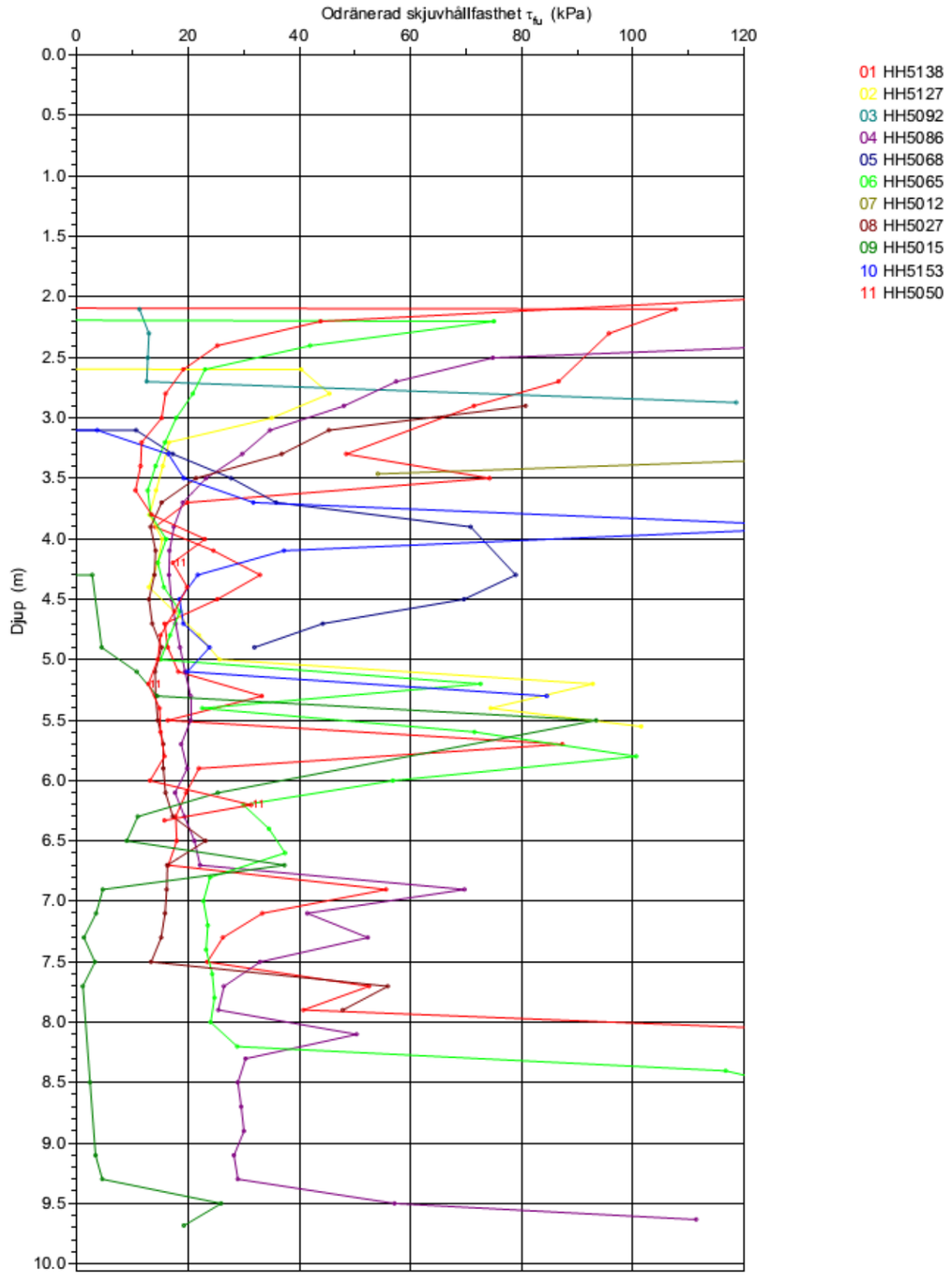




VÄSTLÄNKEN
ODRÄNERAD SKJUVHÅLLFASTHET
SAMMANSTÄLLNING AV UTVÄRDERADE CPT-SONDERINGAR
2014-06-19

STATION HAGA
km 459+100 - 459+400

BILAGA 12.2.2.2



VÄSTLÄNKEN
DRÄNERADE HÅLLFASTHETSEGENSKAPER
2014-06-19

STATION HAGA
km 459+100 - 459+400

BILAGA 12.2.2.3

Dränerade hållfasthetsegenskaper i kohesionjord

Generellt gäller att vid dränerad analys ska för kohesionsjord antas att:
$\varphi'_k = 30°$
$c'_k = 0{,}1 \cdot c_{uk}$
där c_{uk} är karakteristisk odränerad skjuvhållfasthet

Hållfasthetsegenskaper i friktionsjord

Karakteristiska värden för friktionsvinkeln för befintlig överbyggnad, äldre fyllning samt underliggande friktionsjord framgår av nedanstående tabell.

Jordlager	***Friktionsvinkel, φ'***
Fy/Gr/Sa *(Befintlig överbyggnad, nyare fyllning)*	38°
Fy/Sa/Si *(Äldre befintlig fyllning)*	35°
Friktionsjord *(Naturligt avsatt friktionsjord som underlagrar leran)*	39°

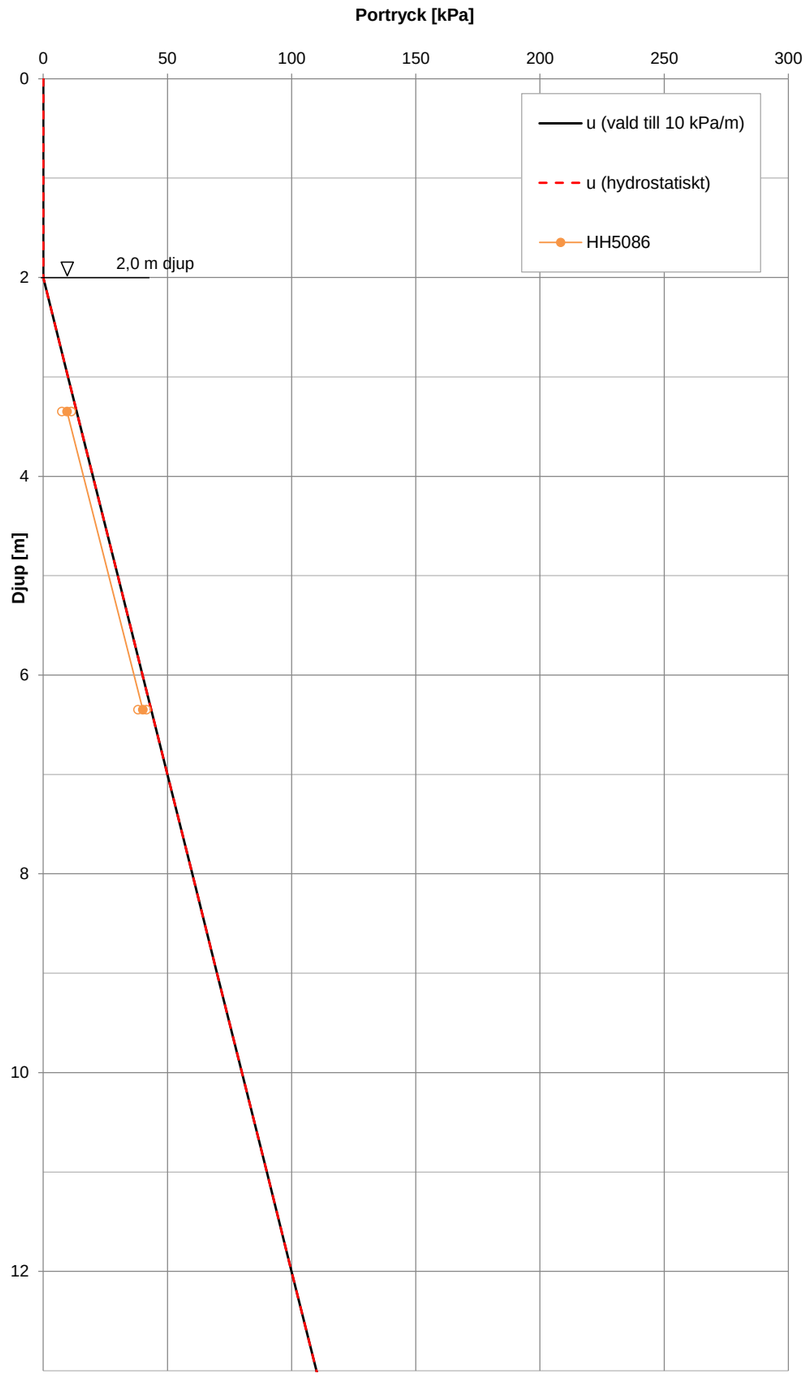
VÄSTLÄNKEN
PORTRYCKSPROFILER
2013-09-30

STATION HAGA
km 459+100 - 459+400

BILAGA 12.2.3

Linjer och fyllda symboler avser medelvärde. Icke ifyllda symboler avser uppmätt min- och max-värde.

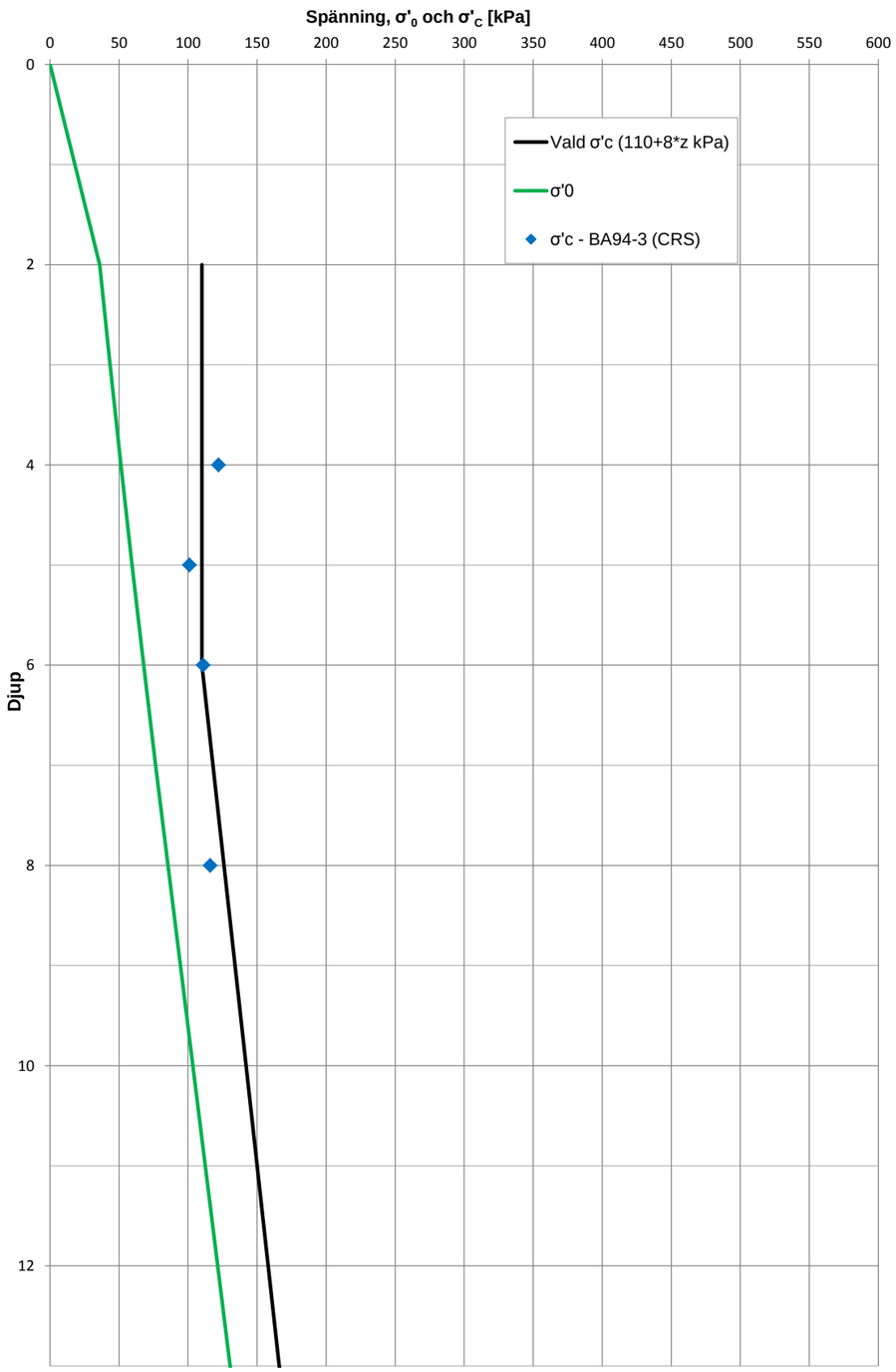
Mätperiod: 2013-03-06 - 2014-04-15

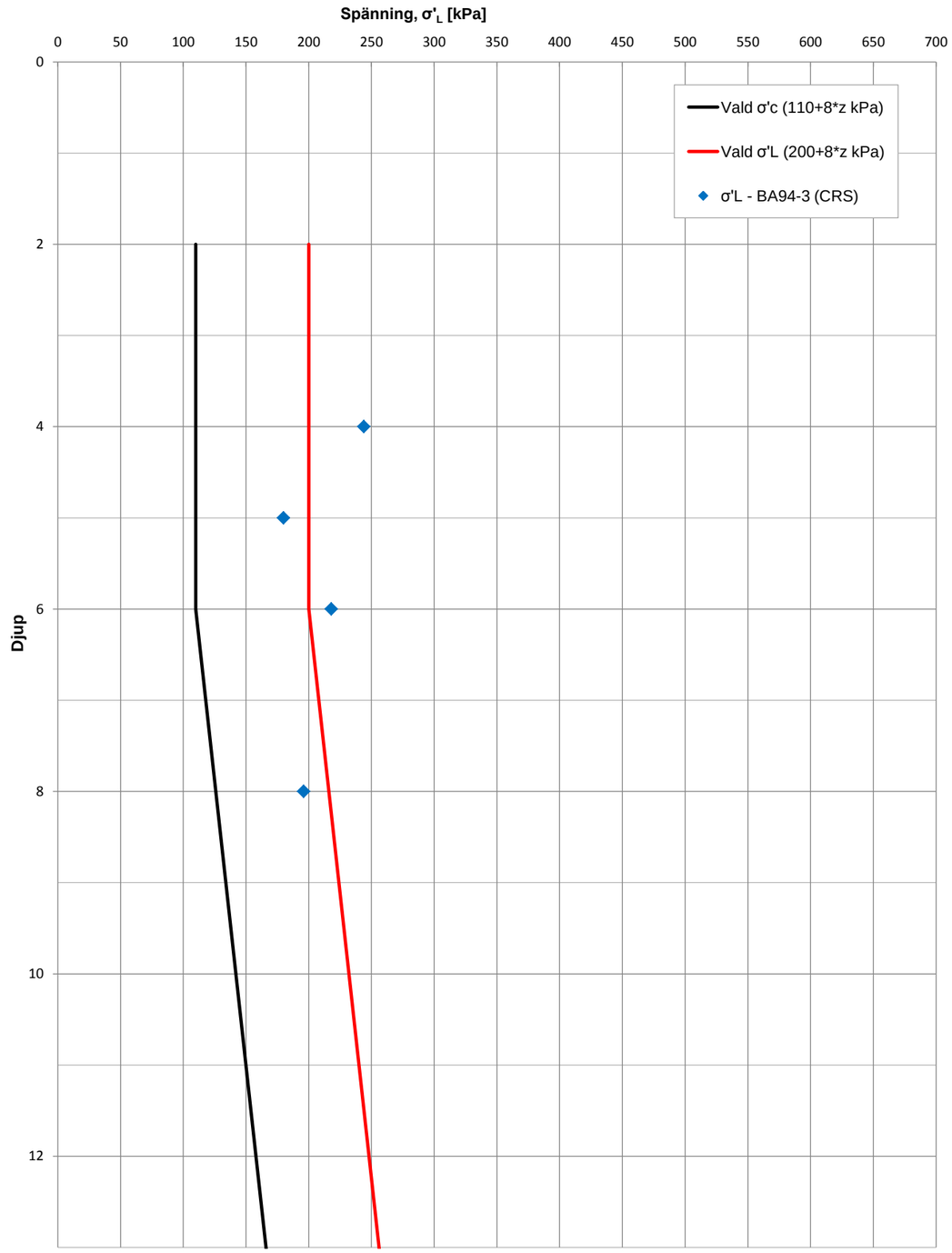


VÄSTLÄNKEN
SPÄNNINGAR
CRS-FÖRSÖK
2014-06-19

STATION HAGA
km 459+100 - 459+400

BILAGA 12.2.4.1



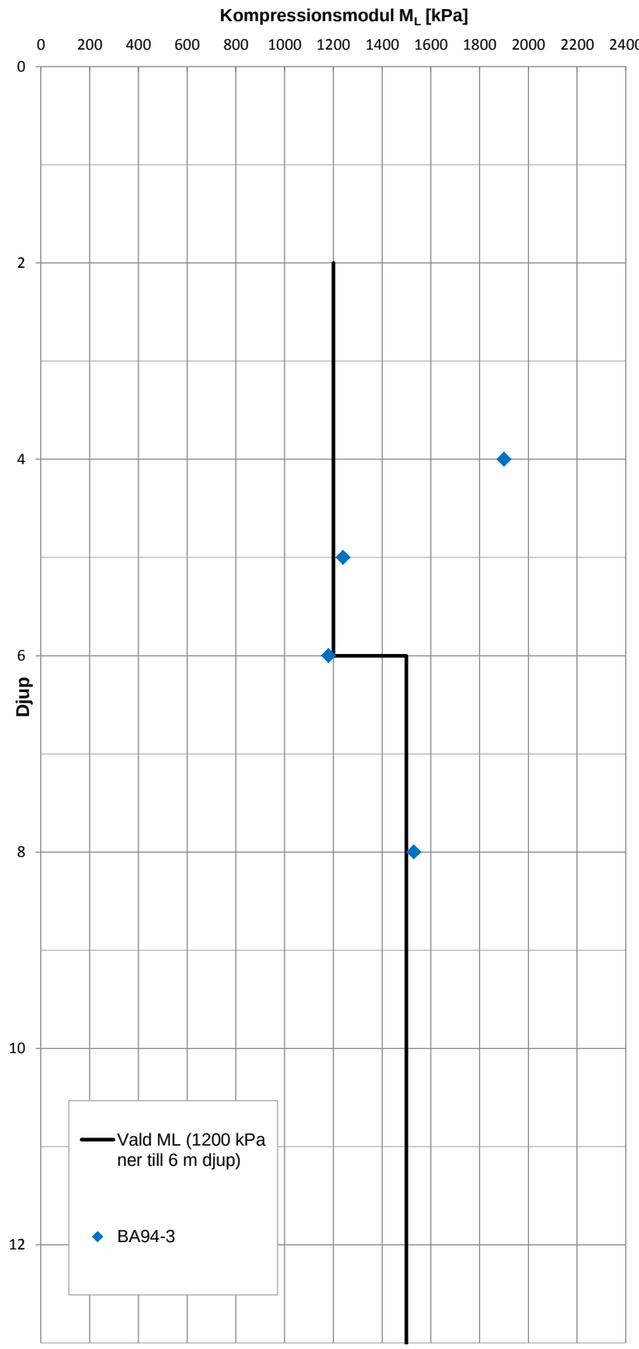


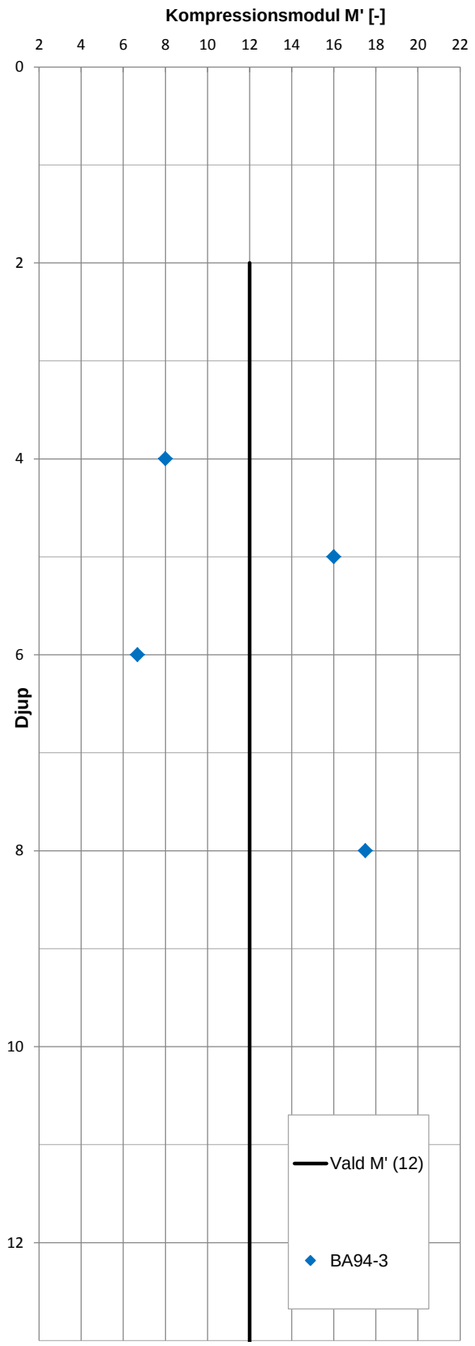
VÄSTLÄNKEN
MODULER, INITIELL PERMEABILITET
CRS-FÖRSÖK
2014-06-19

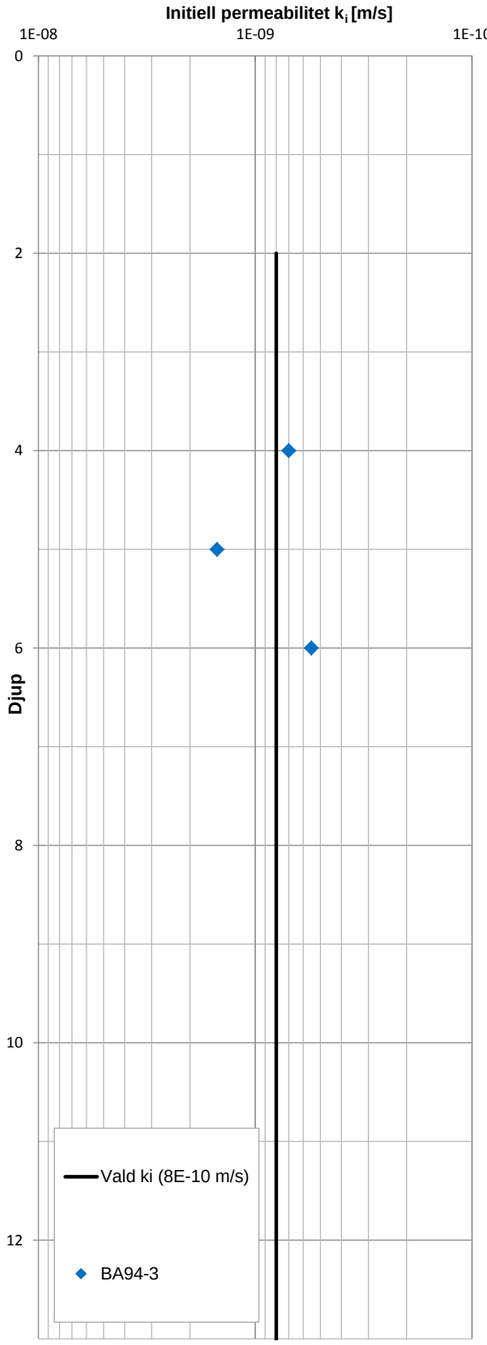
STATION HAGA
km 459+100 - 459+400

BILAGA 12.2.4.2

Kompressionsmodul, M_0 10500 kPa ner till 7 m djup,
därunder M_0 = 10500+2000*z kPa



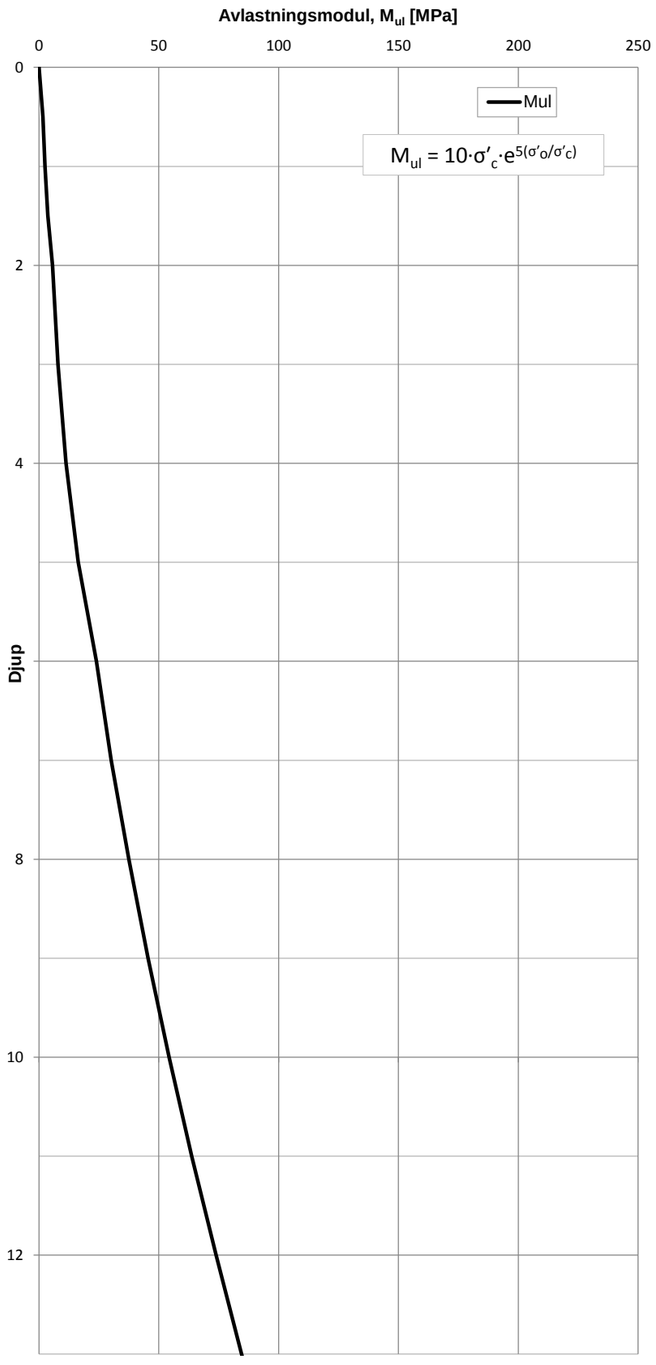




VÄSTLÄNKEN
MODULER
CRS-FÖRSÖK
2014-06-19

STATION HAGA
km 459+100 - 459+400

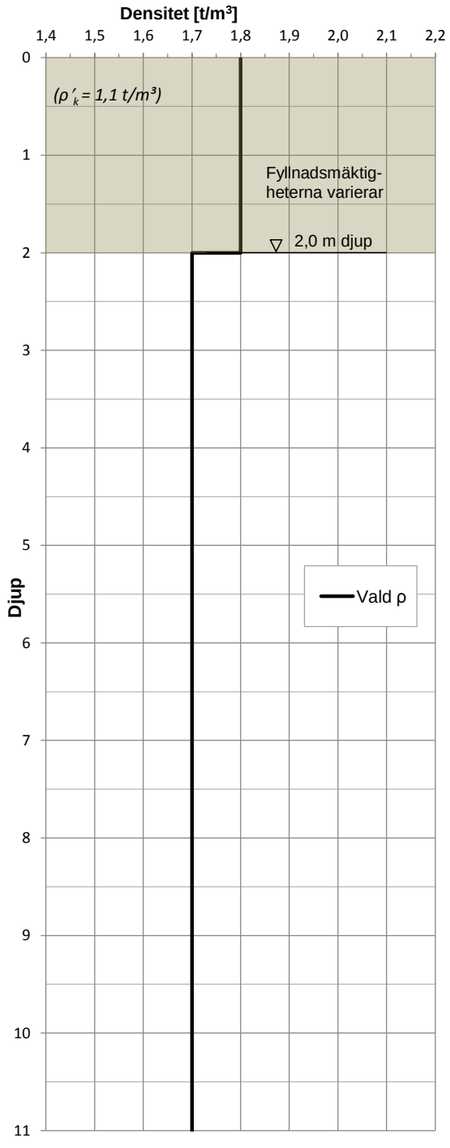
BILAGA 12.2.4.3



VÄSTLÄNKEN
DENSITET
2014-06-19

STATION KORSVÄGEN
km 460+500 - 460+900 (delområde Johanneberg)

BILAGA 14.1.1

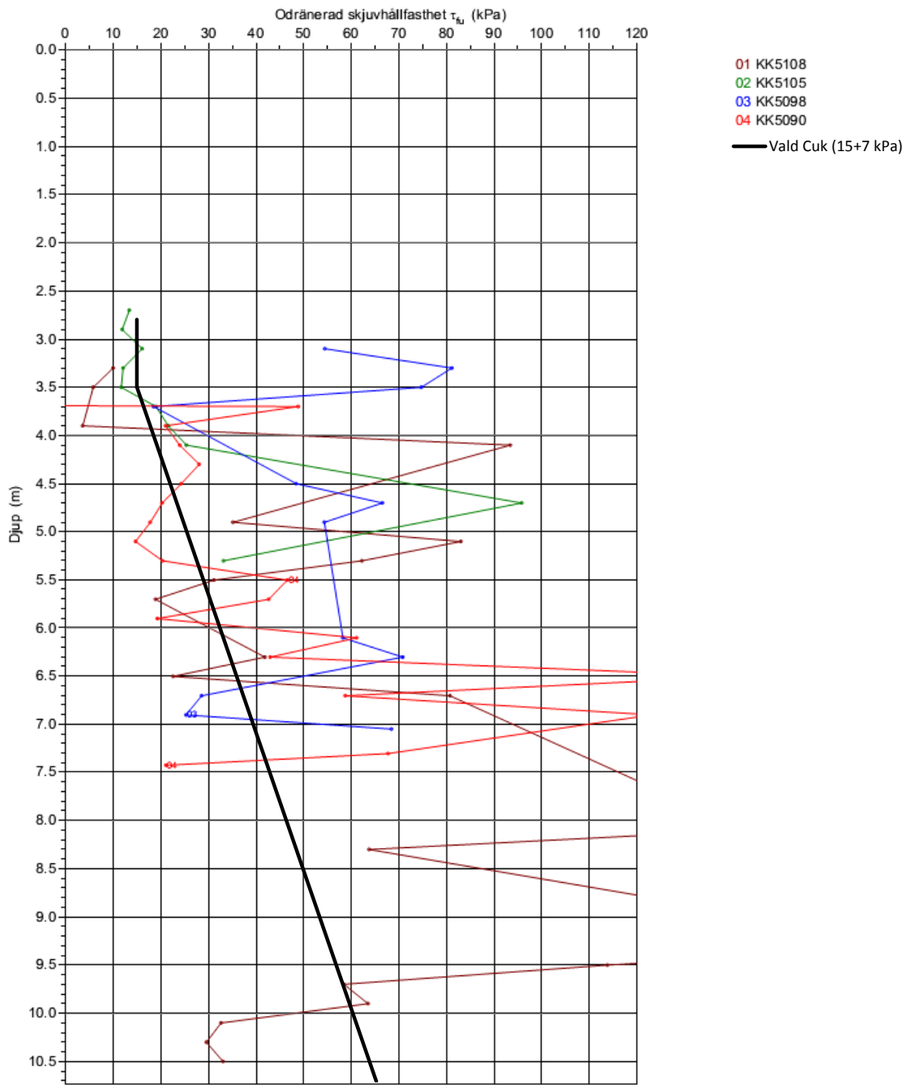


Friktionsjord som underlagrar leran
ρ_k *= 1,9 t/m³*
ρ'_k *= 1,1 t/m³*

VÄSTLÄNKEN
ODRÄNERAD SKJUVHÅLLFASTHET
SAMMANSTÄLLNING AV UTVÄRDERADE CPT-SONDERINGAR
2014-06-19

STATION KORSVÄGEN
km 460+500 - 460+900 (delområde Johanneberg)

BILAGA 14.1.2.1



VÄSTLÄNKEN
DRÄNERADE HÅLLFASTHETSEGENSKAPER
2014-06-19

STATION KORSVÄGEN
km 460+500 - 460+900 (delområde Johanneberg)

BILAGA 14.1.2.2

Dränerade hållfasthetsegenskaper i kohesionjord

Generellt gäller att vid dränerad analys ska för kohesionsjord antas att:
$\varphi'_k = 30°$
$c'_k = 0{,}1 \cdot c_{uk}$
där c_{uk} är karakteristisk odränerad skjuvhållfasthet

Hållfasthetsegenskaper i friktionsjord

Karakteristiska värden för friktionsvinkeln för befintlig överbyggnad, äldre fyllning samt underliggande friktionsjord framgår av nedanstående tabell.

Jordlager	***Friktionsvinkel, φ'***
Fy/Gr/Sa *(Befintlig överbyggnad, nyare fyllning)*	38°
Fy/Sa/Si *(Äldre befintlig fyllning)*	35°
Friktionsjord *(Naturligt avsatt friktionsjord som underlagrar leran)*	39°

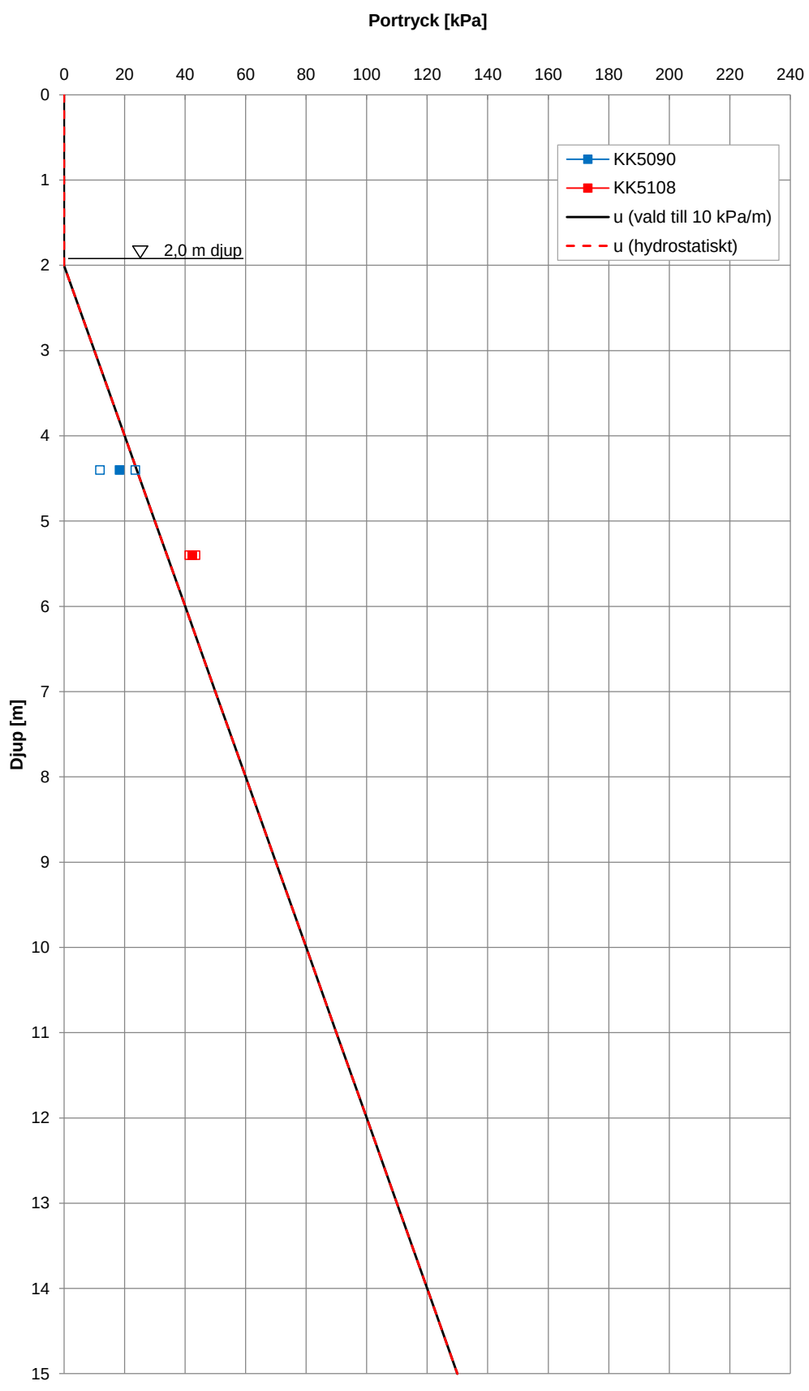
VÄSTLÄNKEN
PORTRYCKSPROFILER
2014-06-19

STATION KORSVÄGEN
km 460+500 - 460+900 (delområde Johanneberg)

BILAGA 14.1.3

Linjer och fyllda symboler avser medelvärde.
Icke ifyllda symboler avser uppmätt min.- och max-värde.

Mätperiod: 2013-02-12 - 2014-05-08

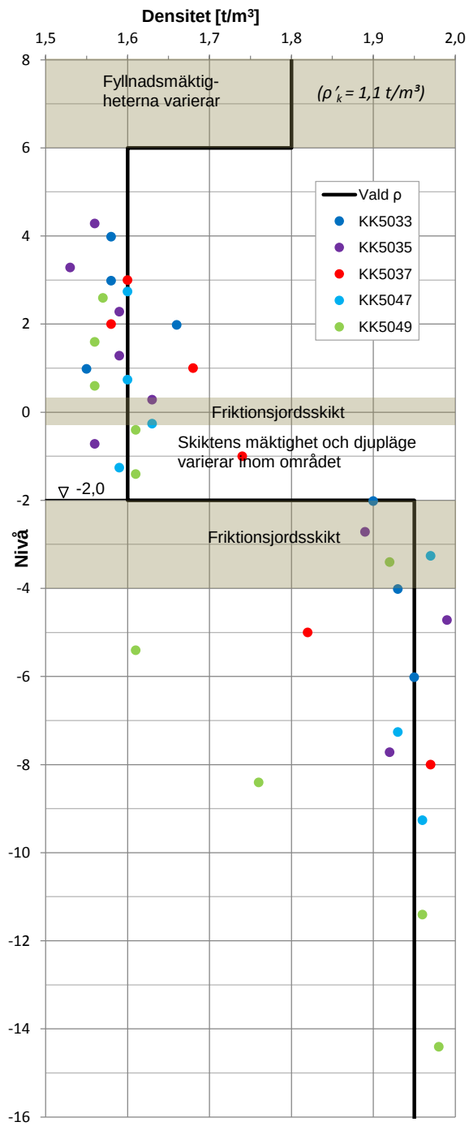


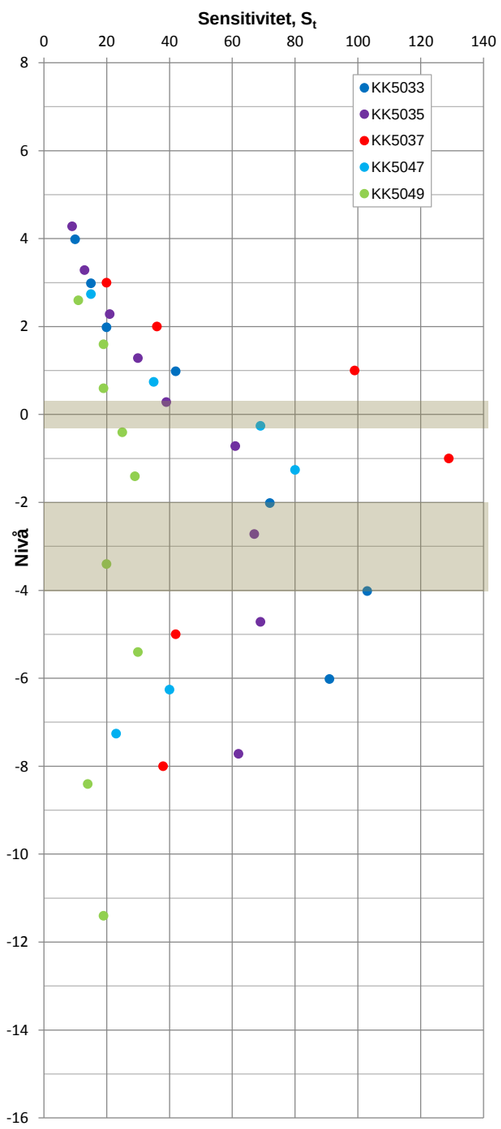
VÄSTLÄNKEN

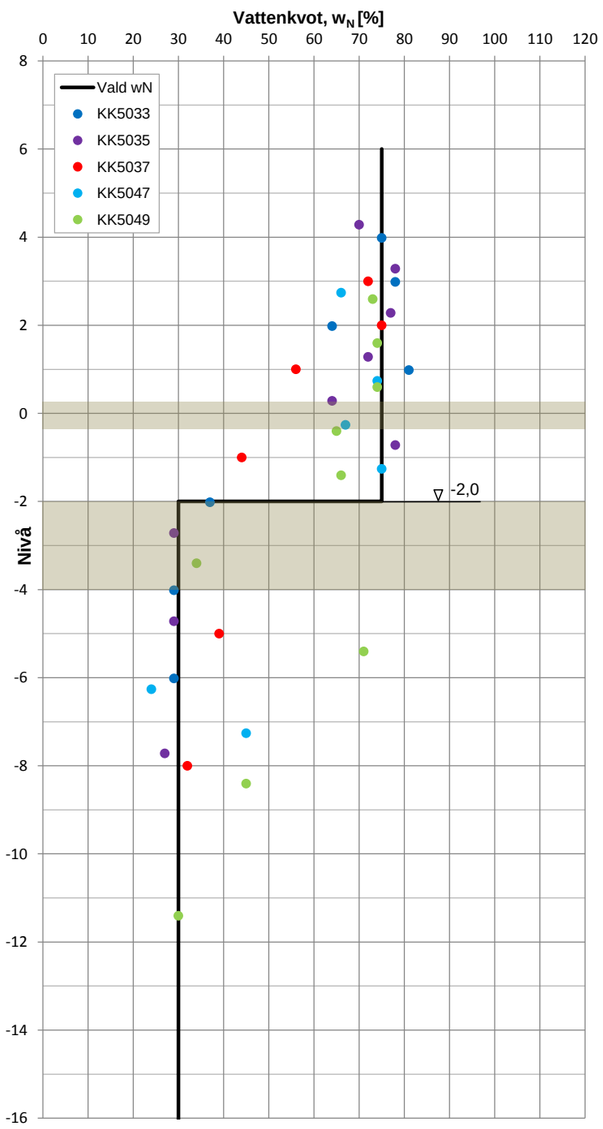
DENSITET, SENSITIVITET, VATTENKVOT, KONFLYTGRÄNS
2014-06-19

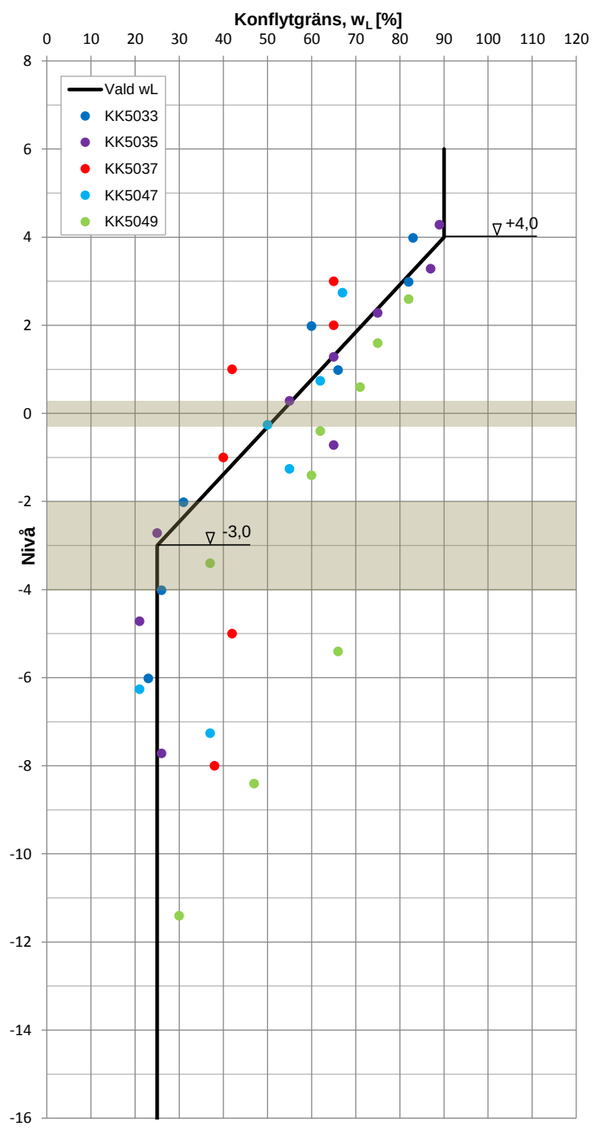
STATION KORSVÄGEN
km 460+900 - 461+050 (delområde Korsvägen)

BILAGA 14.2.1







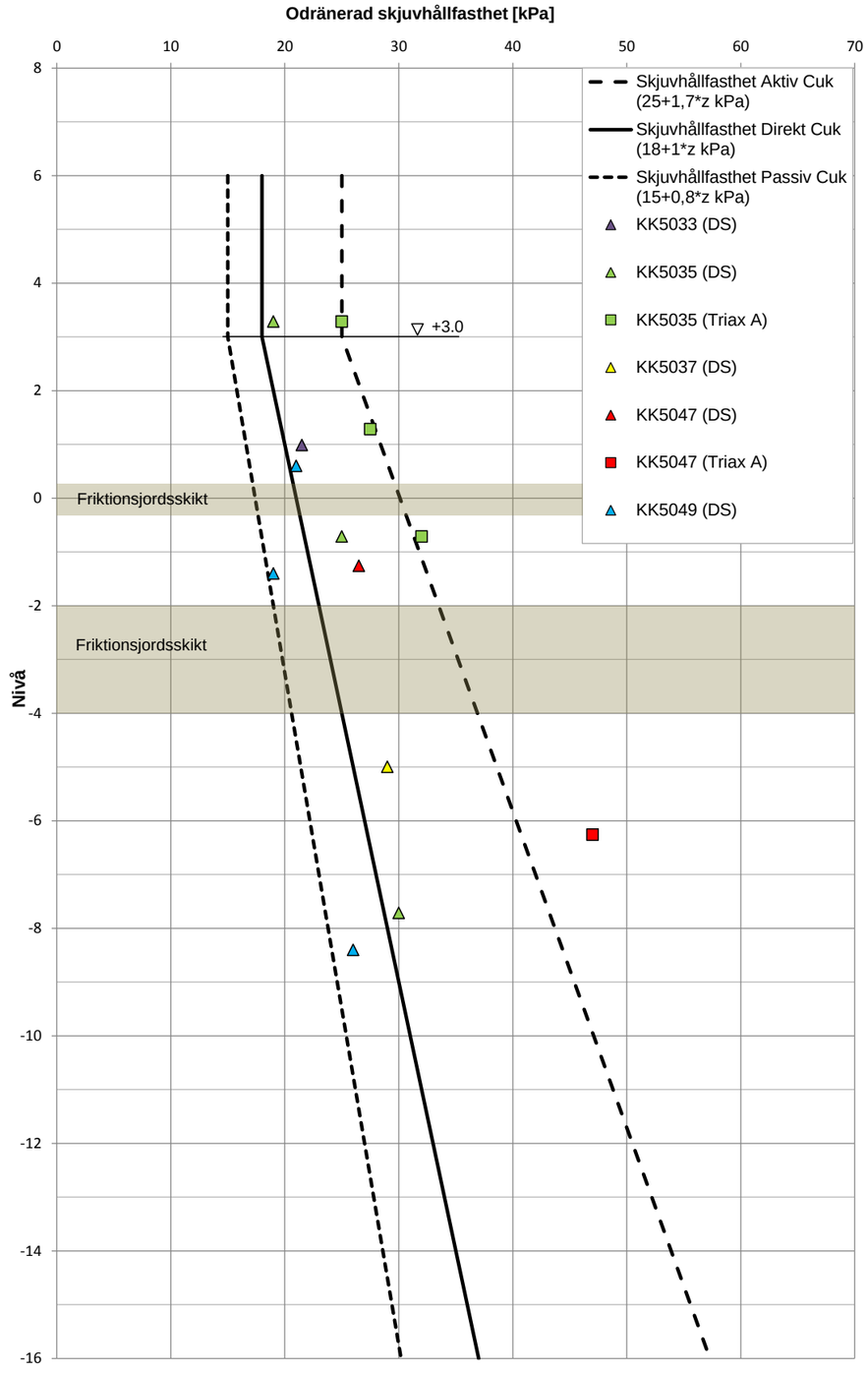


Friktionsjord som underlagrar leran
ρ_k = 1,9 t/m³
ρ'_k = 1,1 t/m³

VÄSTLÄNKEN
ODRÄNERAD SKJUVHÅLLFASTHET
VALT KARAKTERISTISKT VÄRDE
2014-06-19

STATION KORSVÄGEN
km 460+900 - 461+050 (delområde Korsvägen)

BILAGA 14.2.2.1



VÄSTLÄNKEN

ODRÄNERAD SKJUVHÅLLFASTHET

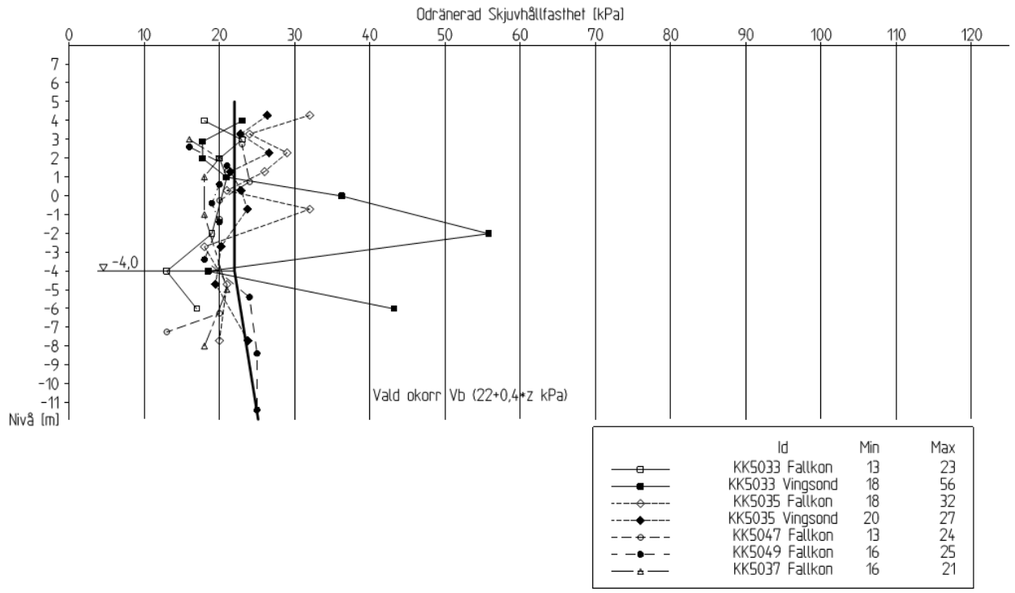
VALT KARAKTERISTISKT VÄRDE, OKORRIGERAT

2014-06-19

STATION KORSVÄGEN

km 460+900 - 461+050 (delområde Korsvägen)

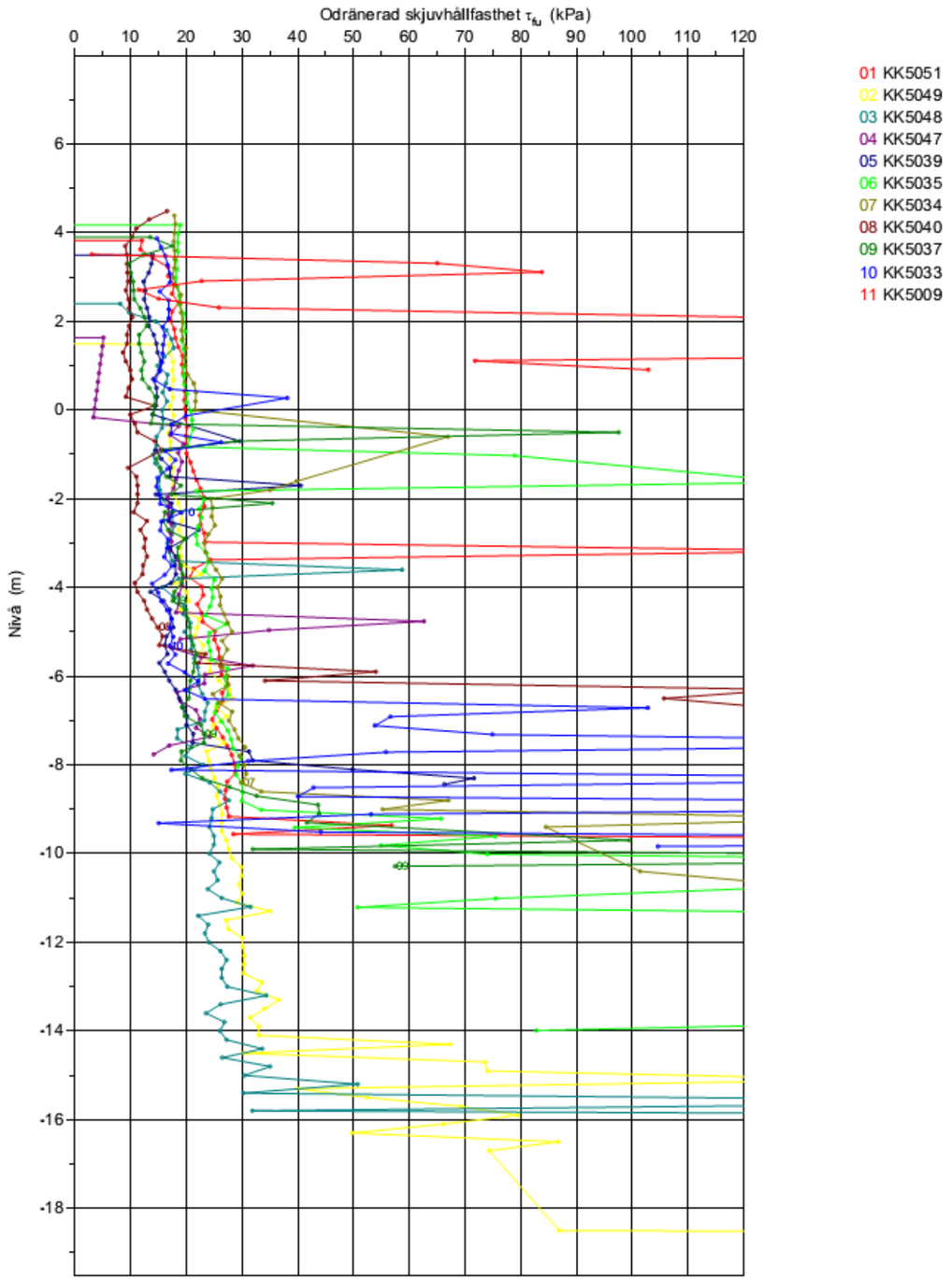
BILAGA 14.2.2.2



VÄSTLÄNKEN
ODRÄNERAD SKJUVHÅLLFASTHET
SAMMANSTÄLLNING AV UTVÄRDERADE CPT-SONDERINGAR
2014-06-19

STATION KORSVÄGEN
km 460+900 - 461+050 (delområde Korsvägen)

BILAGA 14.2.2.3



Dränerade hållfasthetsegenskaper i kohesionjord

Generellt gäller att vid dränerad analys ska för kohesionsjord antas att:
$\varphi'_k = 30°$
$c'_k = 0{,}1 \cdot c_{uk}$
där c_{uk} är karakteristisk odränerad skjuvhållfasthet

Hållfasthetsegenskaper i friktionsjord

Karakteristiska värden för friktionsvinkeln för befintlig överbyggnad, äldre fyllning samt underliggande friktionsjord framgår av nedanstående tabell.

Jordlager	***Friktionsvinkel, φ'***
Fy/Gr/Sa *(Befintlig överbyggnad, nyare fyllning)*	38°
Fy/Sa/Si *(Äldre befintlig fyllning)*	35°
Friktionsjord *(Naturligt avsatt friktionsjord som underlagrar leran)*	39°

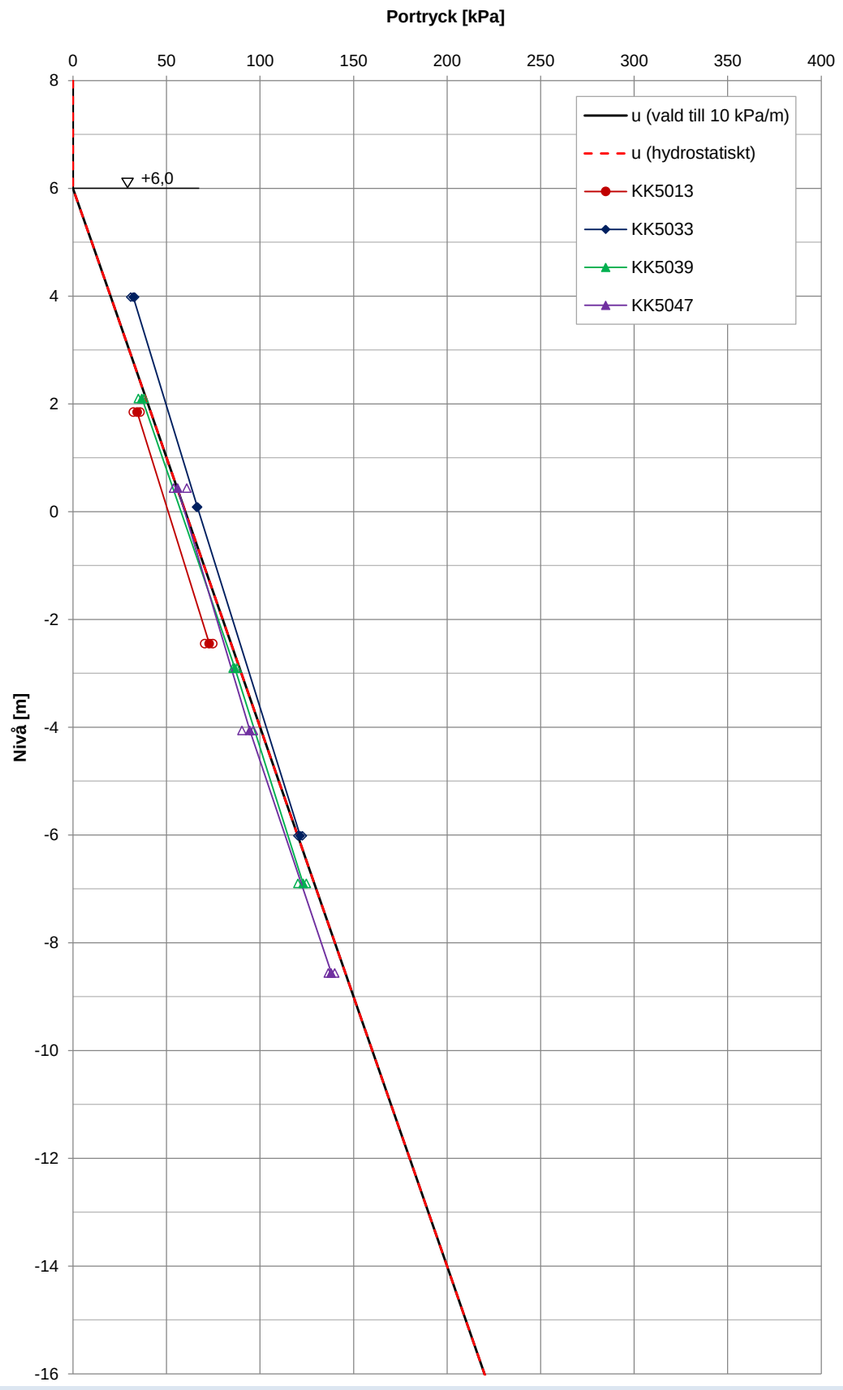
VÄSTLÄNKEN
PORTRYCKSPROFILER
2014-06-19

STATION KORSVÄGEN
km 460+900 - 461+050 (delområde Korsvägen)

BILAGA 14.2.3

Linjer och fyllda symboler avser medelvärde. Icke ifyllda symboler avser uppmätt min.- och max-värde.

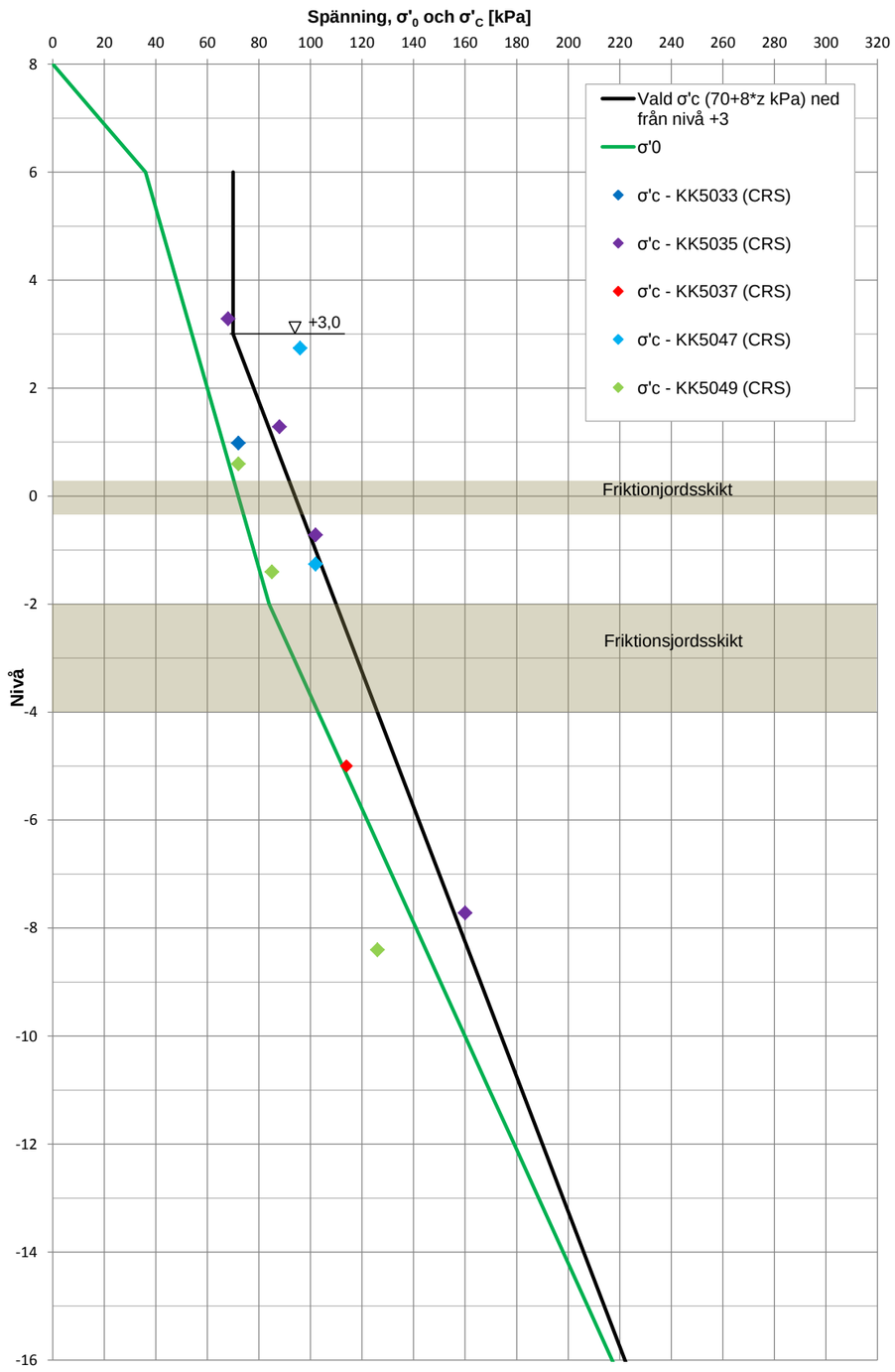
Mätperiod: 2012-08-30 - 2014-05-08

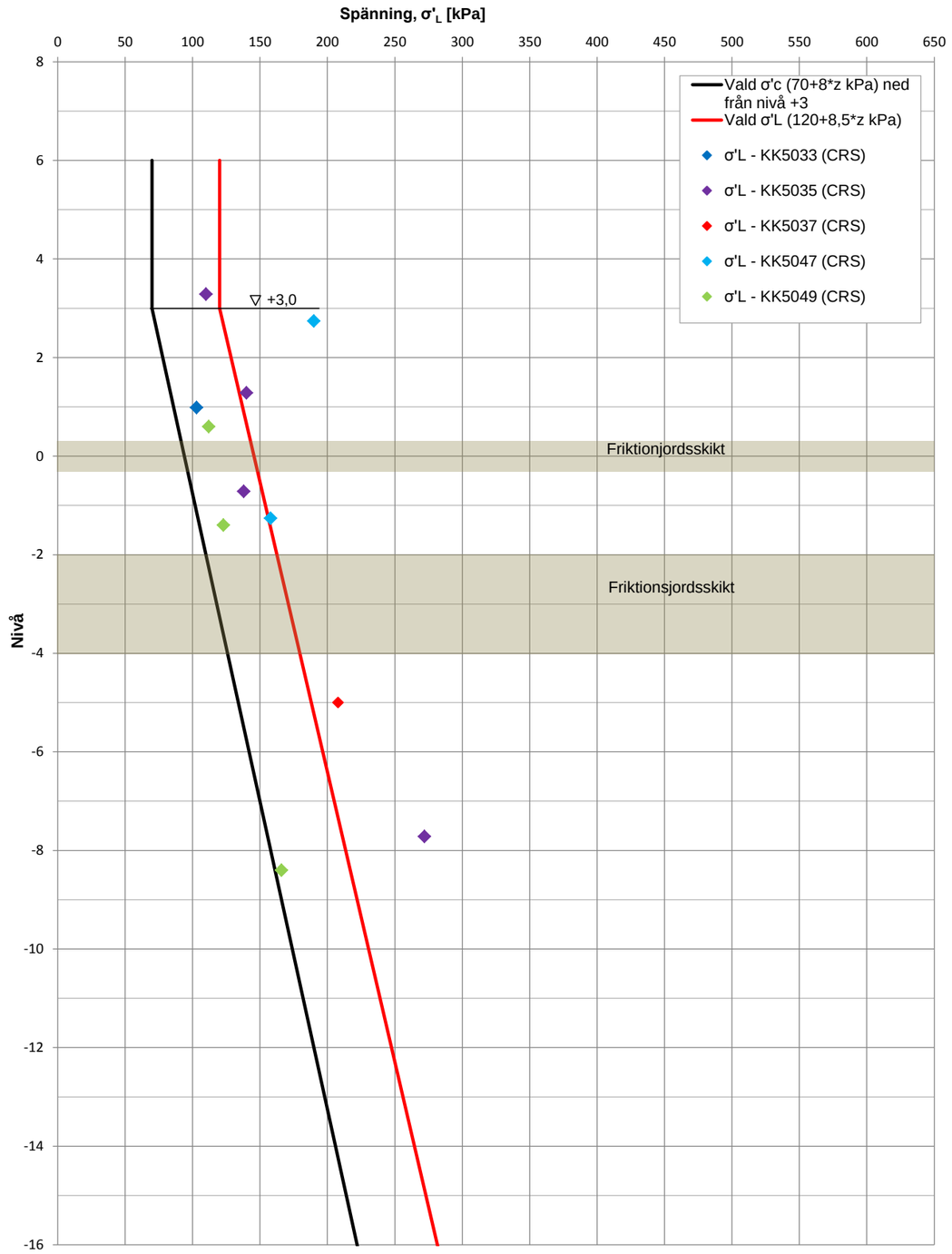


VÄSTLÄNKEN
SPÄNNINGAR
CRS-FÖRSÖK
2014-06-19

STATION KORSVÄGEN
km 460+900 - 461+050 (delområde Korsvägen)

BILAGA 14.2.4.1



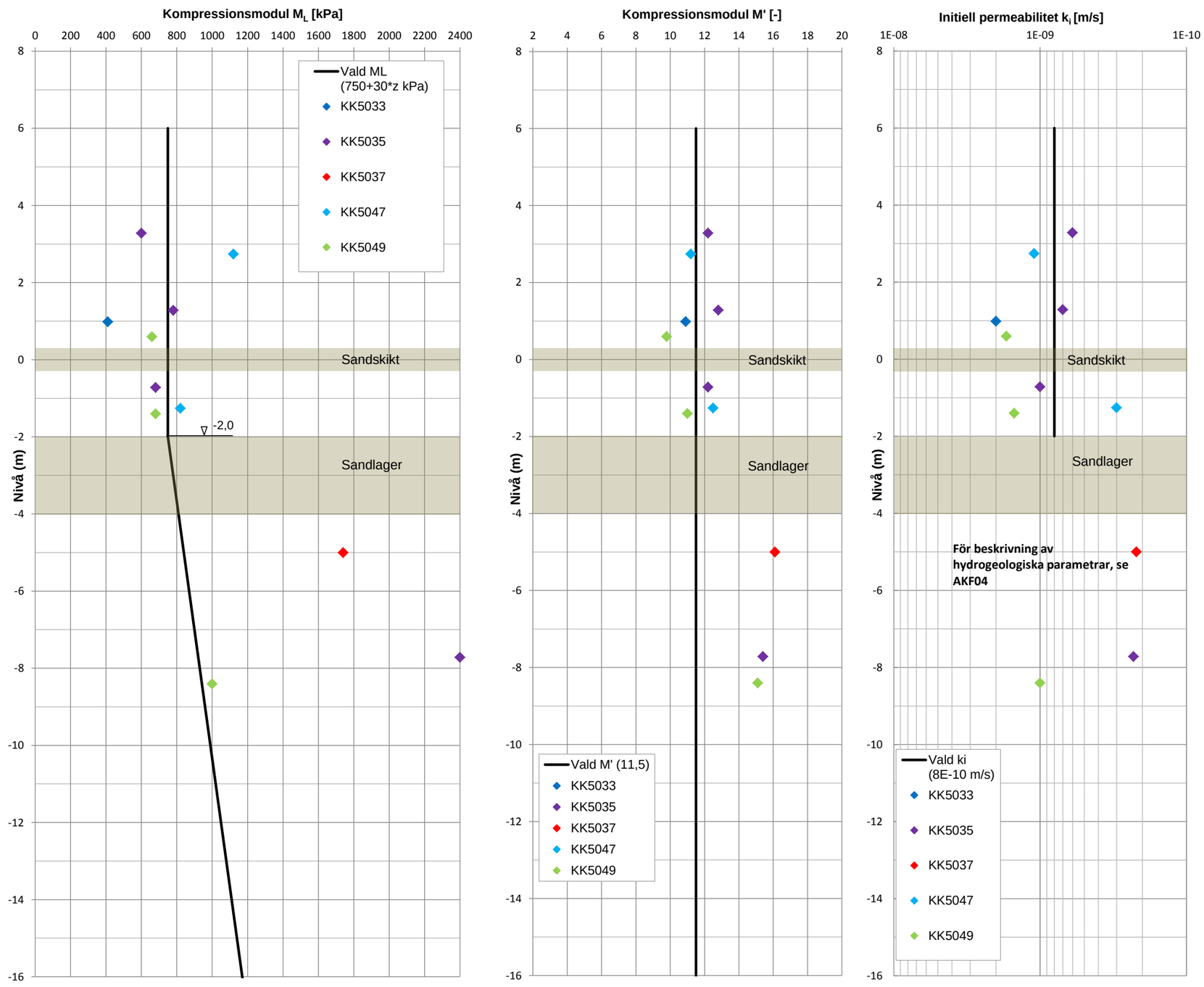


VÄSTLÄNKEN
MODULER, INITIELL PERMEABILITET
CRS-FÖRSÖK
2014-06-19

STATION KORSVÄGEN
km 460+900 - 461+050 (delområde Korsvägen)

BILAGA 14.2.4.2

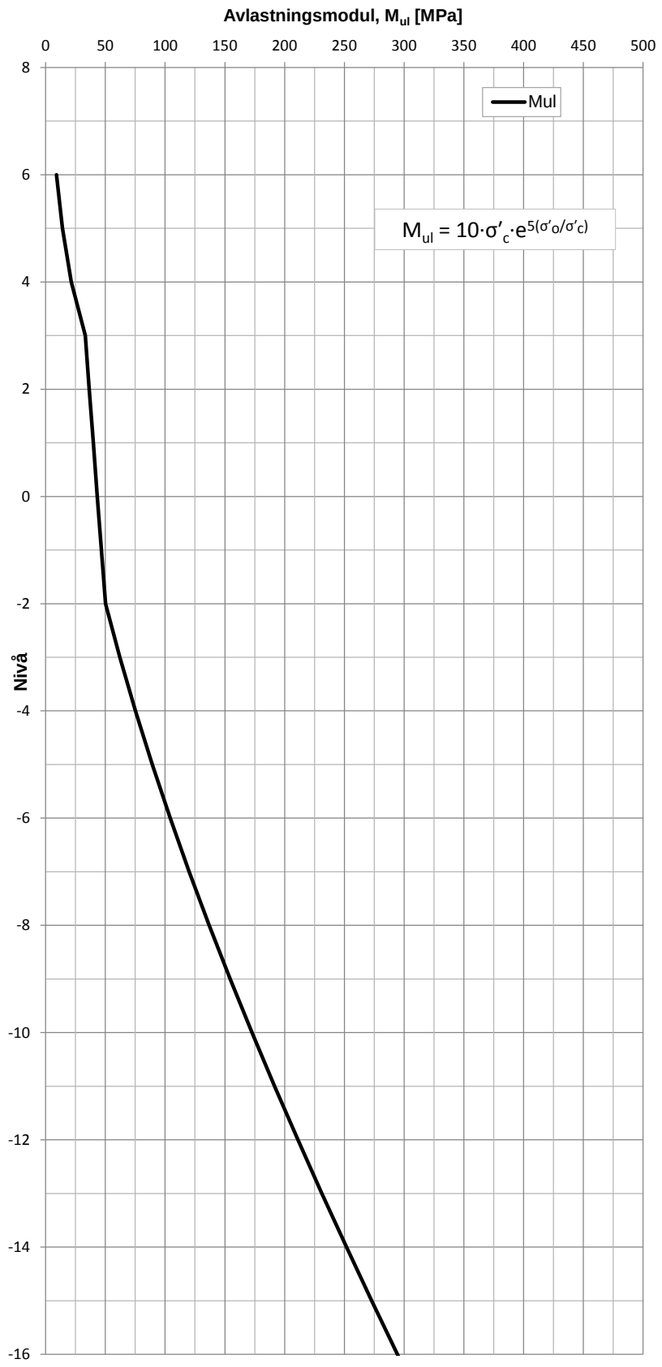
Kompressionsmodul, M_0 9000 kPa ner till nivån +3,0, därunder M_0 = 9000+500·z kPa



VÄSTLÄNKEN
MODULER
CRS-FÖRSÖK
2014-06-19

STATION KORSVÄGEN
km 460+900 - 461+050 (delområde Korsvägen)

BILAGA 14.2.4.3



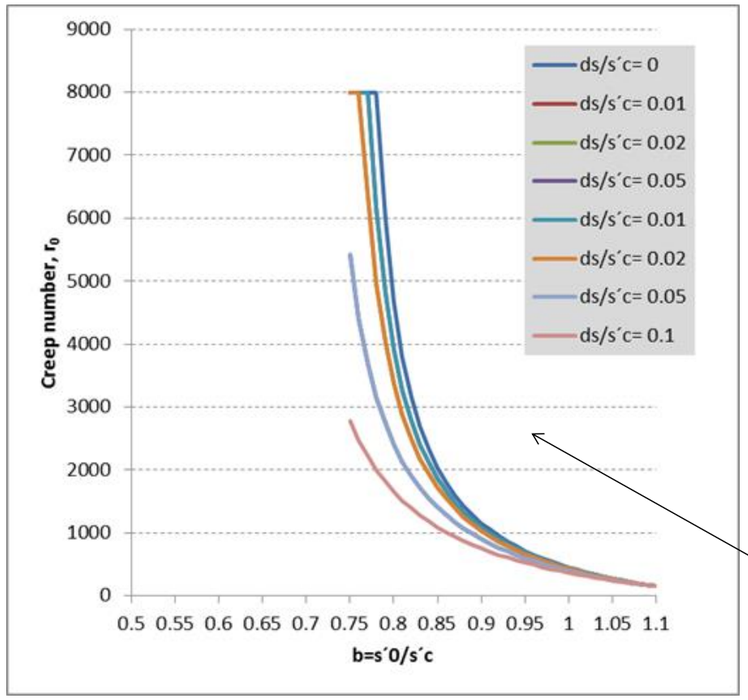
VÄSTLÄNKEN
KRYPPARAMETRAR
2014-06-19

STATION KORSVÄGEN
km 460+900 - 461+050 (delområde Korsvägen)

BILAGA 14.2.4.4

Parameter	Värden som ska användas vid beräkningar (GS Settlements)
α_{Smax}	väljs enligt TK Geo 11, tabell 5.2-2
$\beta_{\alpha S}$	väljs enligt TK Geo 11, tabell 5.2-2
a_0	0,9
a_1	1,1
b_0	σ'_0/σ'_c
b_1	1,1
r_0*	8000 vid b_0 = 0,75
r_0*	3000 vid b_0 = 0,8
r_0*	1750 vid b_0 = 0,85
r_0*	1000 vid b_0 = 0,9
r_0*	700 vid b_0 = 0,95
r_0*	500 vid b_0 = 1,0
r_1	ln 10 / α_s (kap. 5.2.2.3.6, TK Geo 11)
t_{ref}	-1 dag
β_K	4

*Kryptal, r_0 har valts utifrån empiri i diagrammet till höger.



Kurvorna i diagrammet baseras på empiriskt framtagna kryptal med utgångspunkt från empiriska relationer som utvecklats i samband med pågående doktorandprojekt på Chalmers (Mats Olsson). Den empiriska funktionen bygger på metod som beskrivs i "Val av kryptal för lösa plastiska leror", daterad 2009-02-13. Parametern r_o kan genom denna empiriska relation bestämmas genom följande samband:

För $0.75<b<b_1$

$$r_0 = \frac{750\cdot(b_1 - b_0)}{b_0 - 0.75 - \frac{\Delta\sigma}{\sigma'_{c_{ref}}}} + r_1 \quad \max r_0 = 8000$$

För $b \geq b_1$ gäller r_1

Där b_1=1,1 och b_o= σ'_o/σ'_c

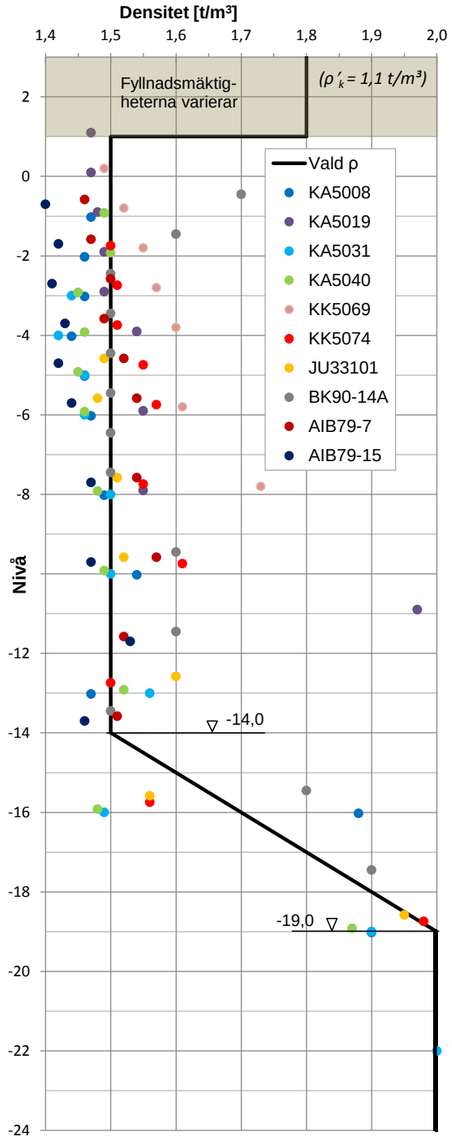
VÄSTLÄNKEN

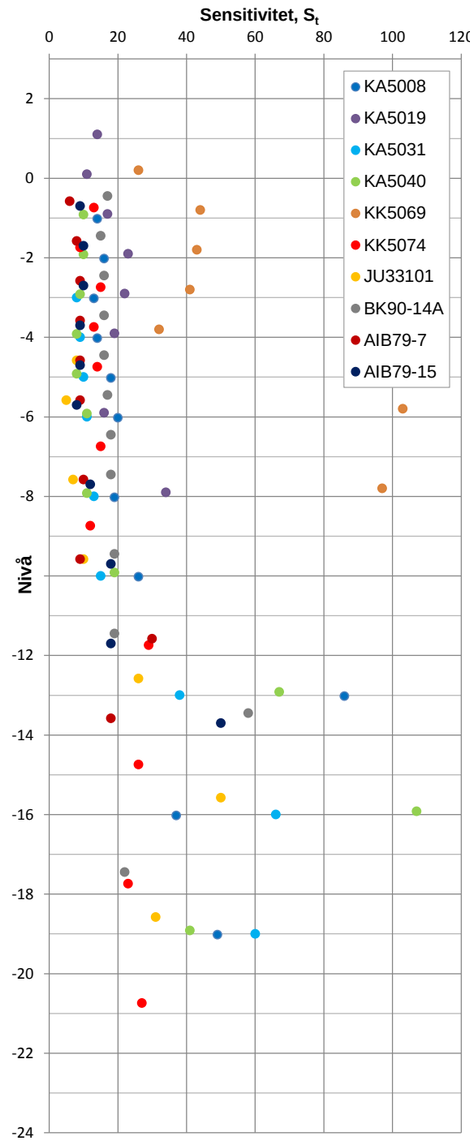
DENSITET, SENSITIVITET, VATTENKVOT, KONFLYTGRÄNS

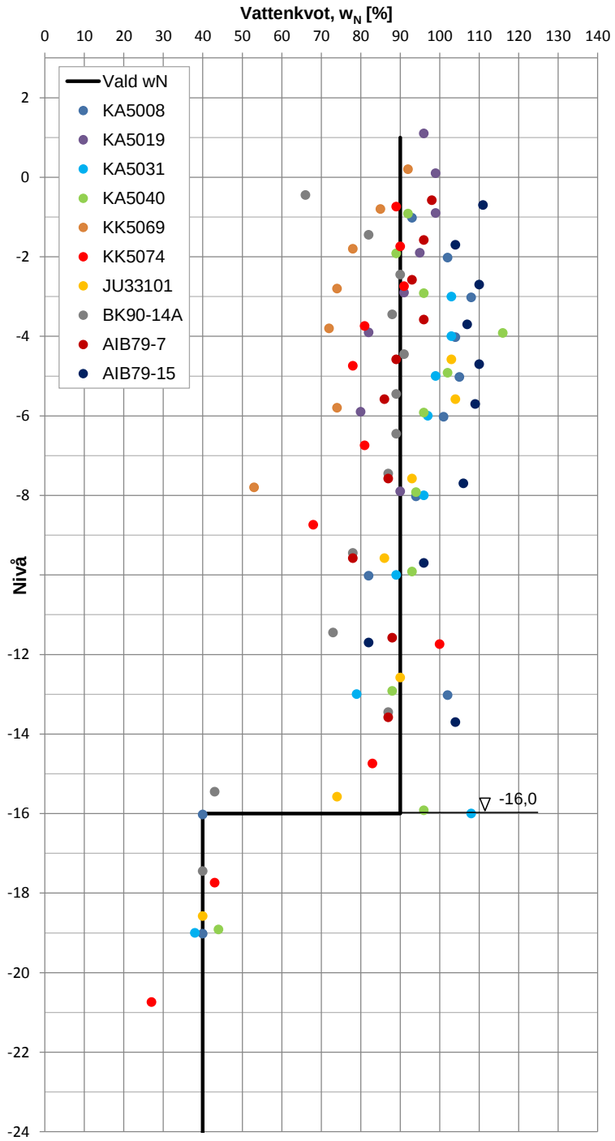
2014-06-19

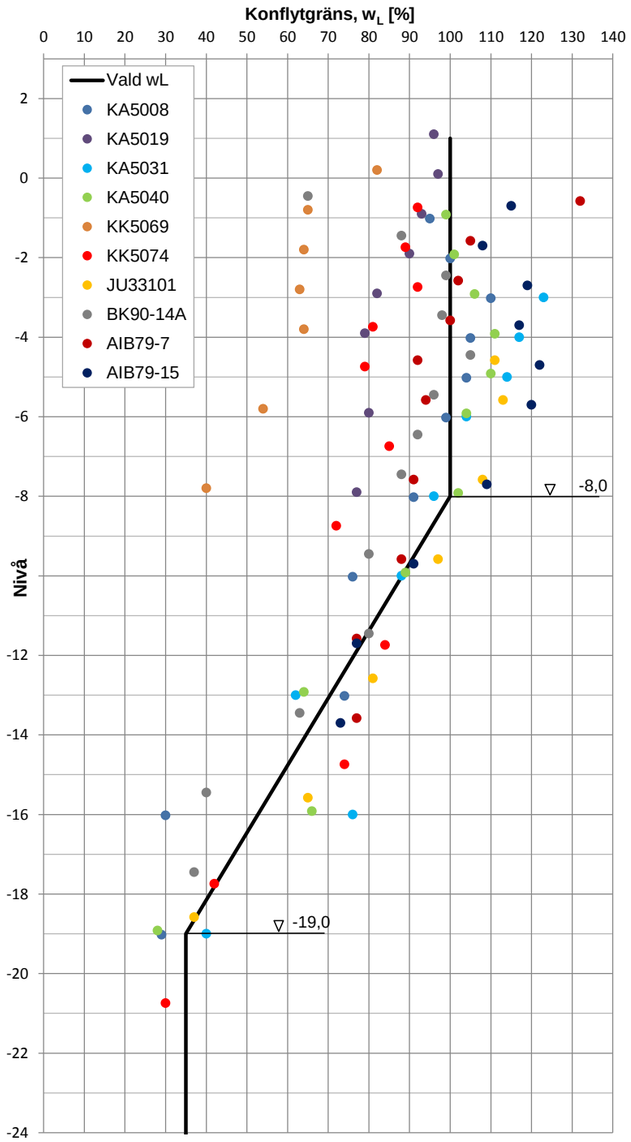
LINJE KORSVÄGEN - ALMEDAL
km 461+200 - 461+600

BILAGA 15.1







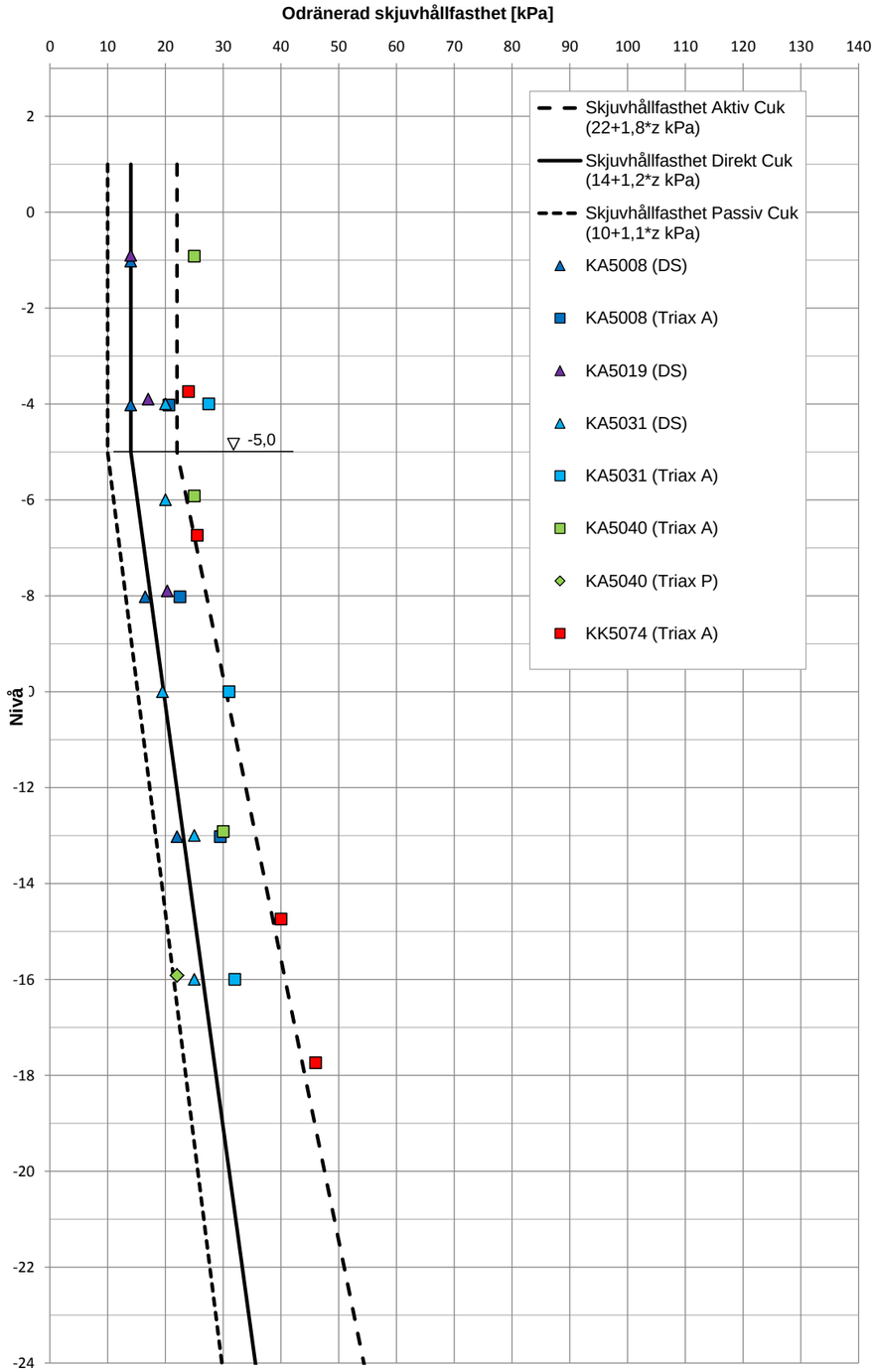


Friktionsjord som underlagrar leran
ρ_k = 1,9 t/m³
ρ'_k = 1,1 t/m³

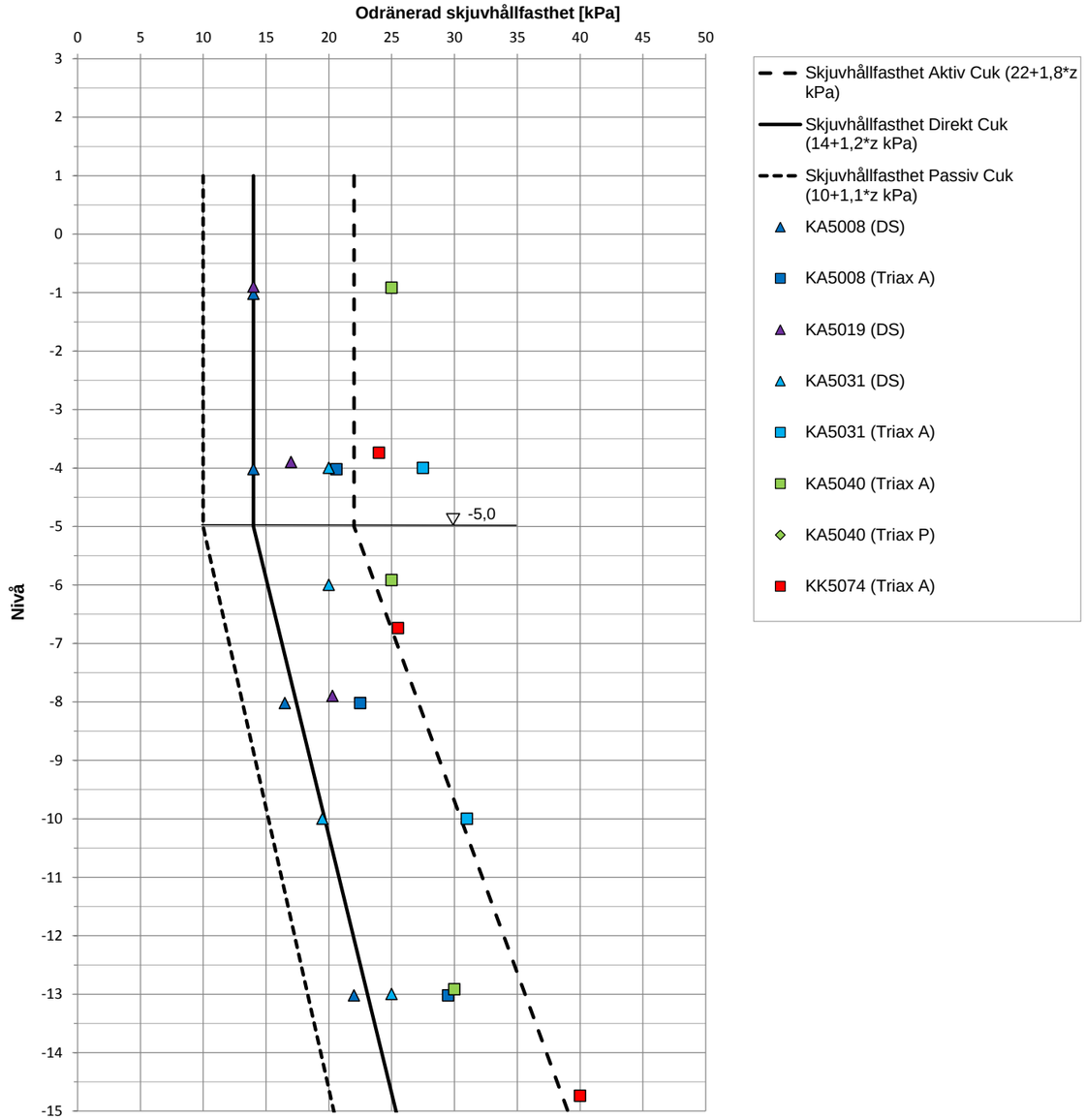
VÄSTLÄNKEN
ODRÄNERAD SKJUVHÅLLFASTHET
VALT KARAKTERISTISKT VÄRDE
2014-06-19

LINJE KORSVÄGEN - ALMEDAL
km 461+200 - 461+600

BILAGA 15.2.1



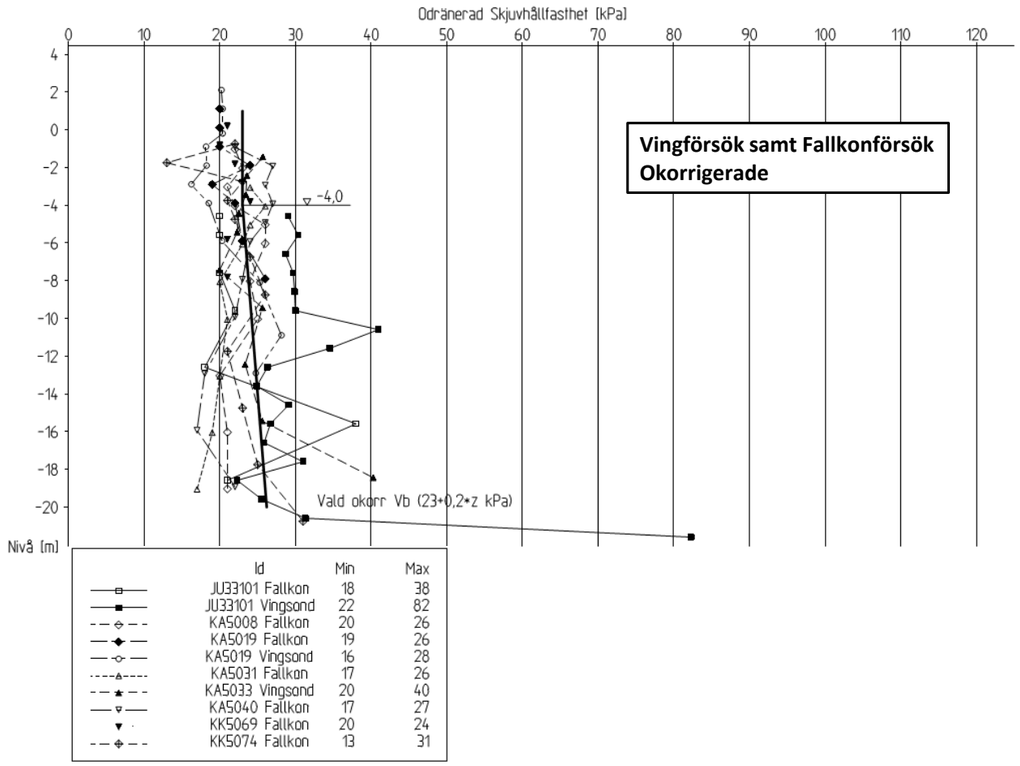
Detalj - Övre delen av jordprofilen



VÄSTLÄNKEN
ODRÄNERAD SKJUVHÅLLFASTHET
VALT KARAKTERISTISKT VÄRDE, OKORRIGERAT
2014-06-19

LINJE KORSVÄGEN - ALMEDAL
km 461+200 - 461+600

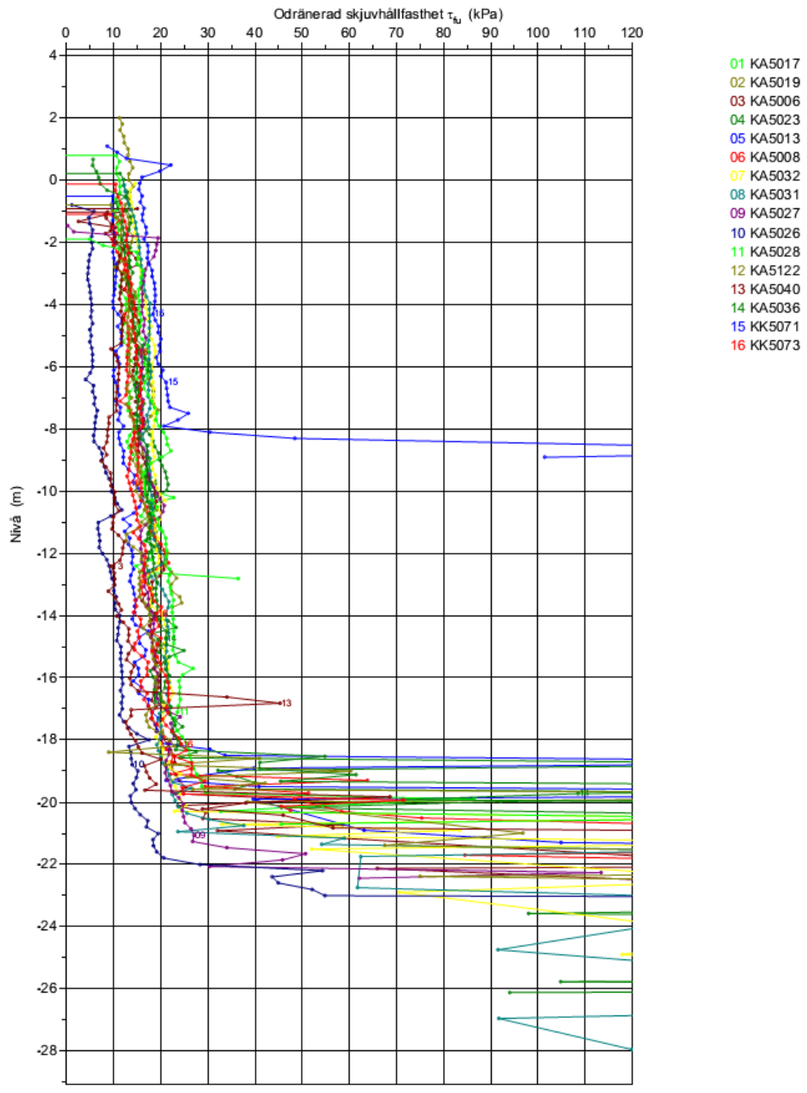
BILAGA 15.2.2



VÄSTLÄNKEN
ODRÄNERAD SKJUVHÅLLFASTHET
SAMMANSTÄLLNING AV UTVÄRDERADE CPT-SONDERINGAR
2014-06-19

LINJE KORSVÄGEN - ALMEDAL
km 461+200 - 461+600

BILAGA 15.2.3



Dränerade hållfasthetsegenskaper i kohesionjord

Generellt gäller att vid dränerad analys ska för kohesionsjord antas att:
$\varphi'_k = 30°$
$c'_k = 0{,}1 \cdot c_{uk}$
där c_{uk} är karakteristisk odränerad skjuvhållfasthet

Hållfasthetsegenskaper i friktionsjord

Karakteristiska värden för friktionsvinkeln för befintlig överbyggnad, äldre fyllning samt underliggande friktionsjord framgår av nedanstående tabell.

Jordlager	***Friktionsvinkel, φ'***
Fy/Gr/Sa *(Befintlig överbyggnad, nyare fyllning)*	38°
Fy/Sa/Si *(Äldre befintlig fyllning)*	35°
Friktionsjord *(Naturligt avsatt friktionsjord som underlagrar leran)*	39°

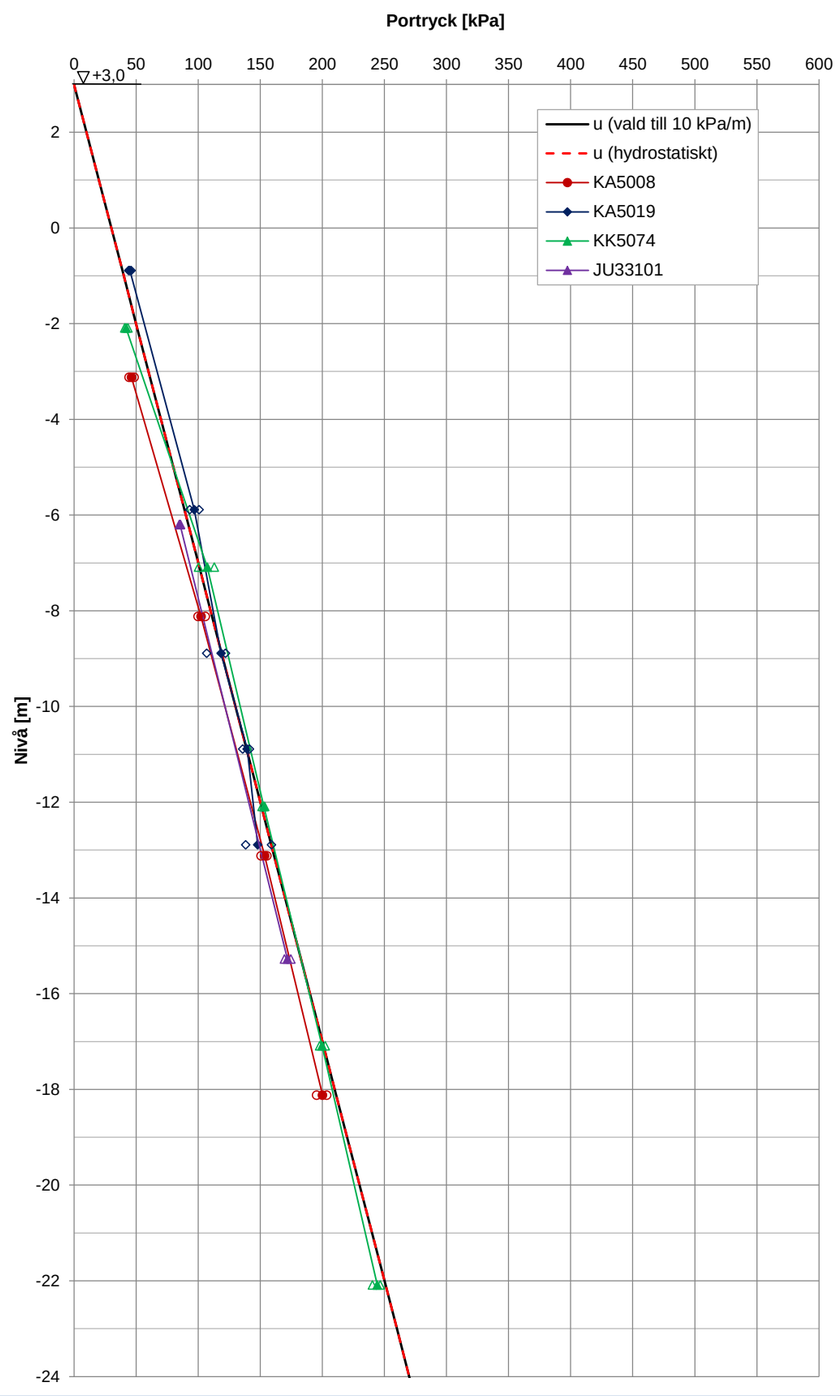
VÄSTLÄNKEN
PORTRYCKSPROFILER
2014-06-19

LINJE KORSVÄGEN - ALMEDAL
km 461+200 - 461+600

BILAGA 15.3

Linjer och fyllda symboler avser medelvärde. Icke ifyllda symboler avser uppmätt min.- och max-värde.

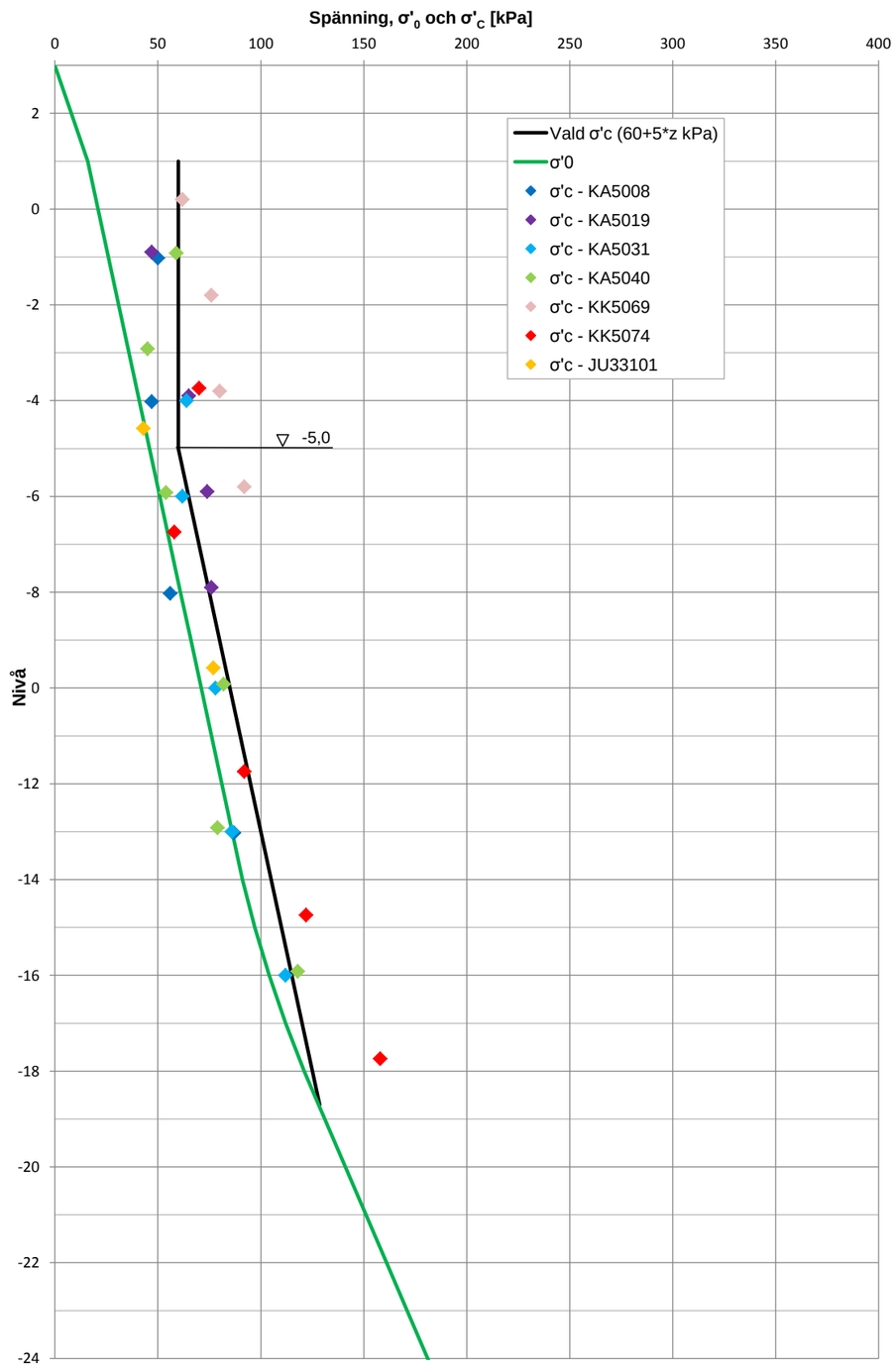
Mätperiod: 2012-10-10 - 2014-05-09

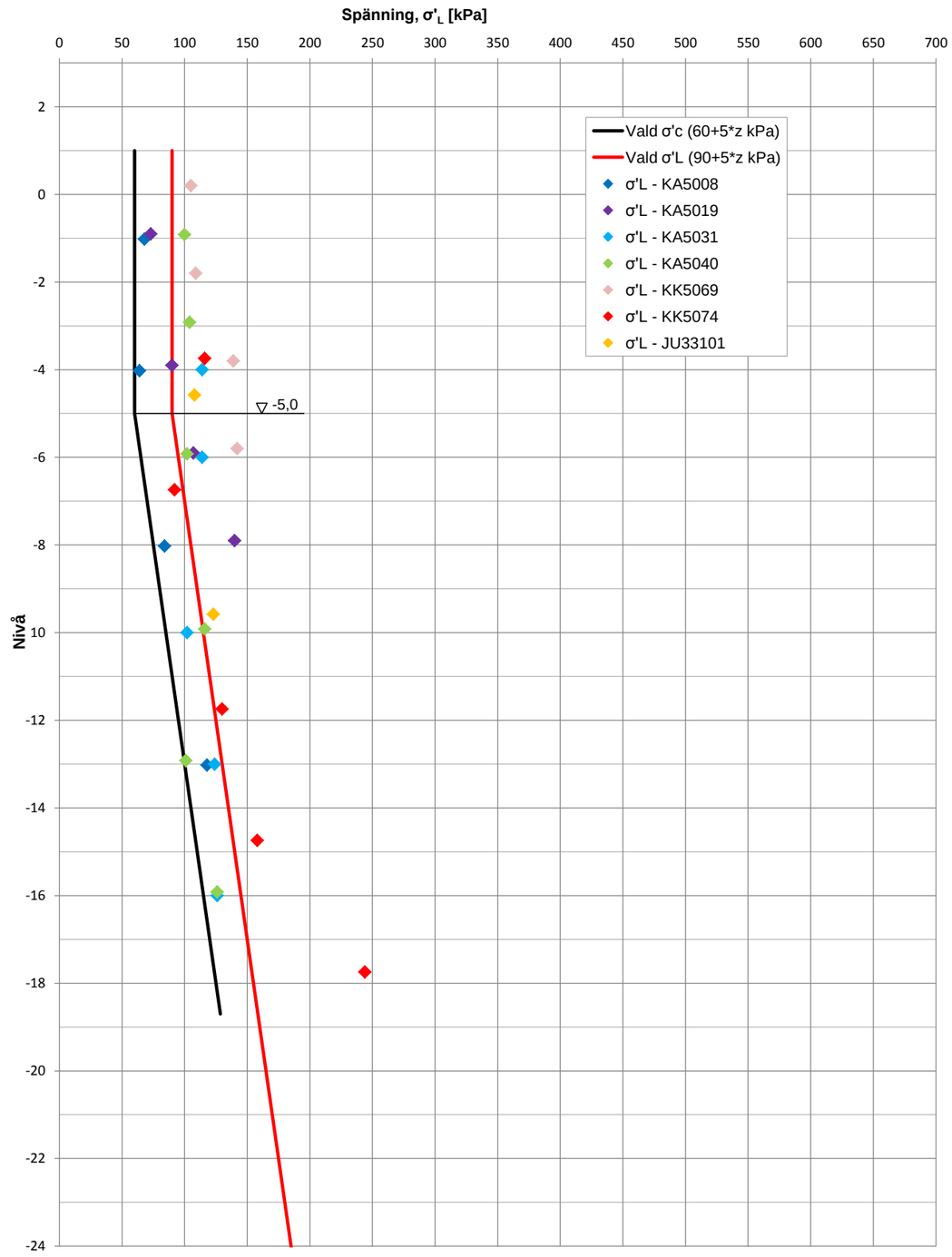


VÄSTLÄNKEN
SPÄNNINGAR
CRS-FÖRSÖK
2014-06-19

LINJE KORSVÄGEN - ALMEDAL
km 461+200 - 461+600

BILAGA 15.4.1



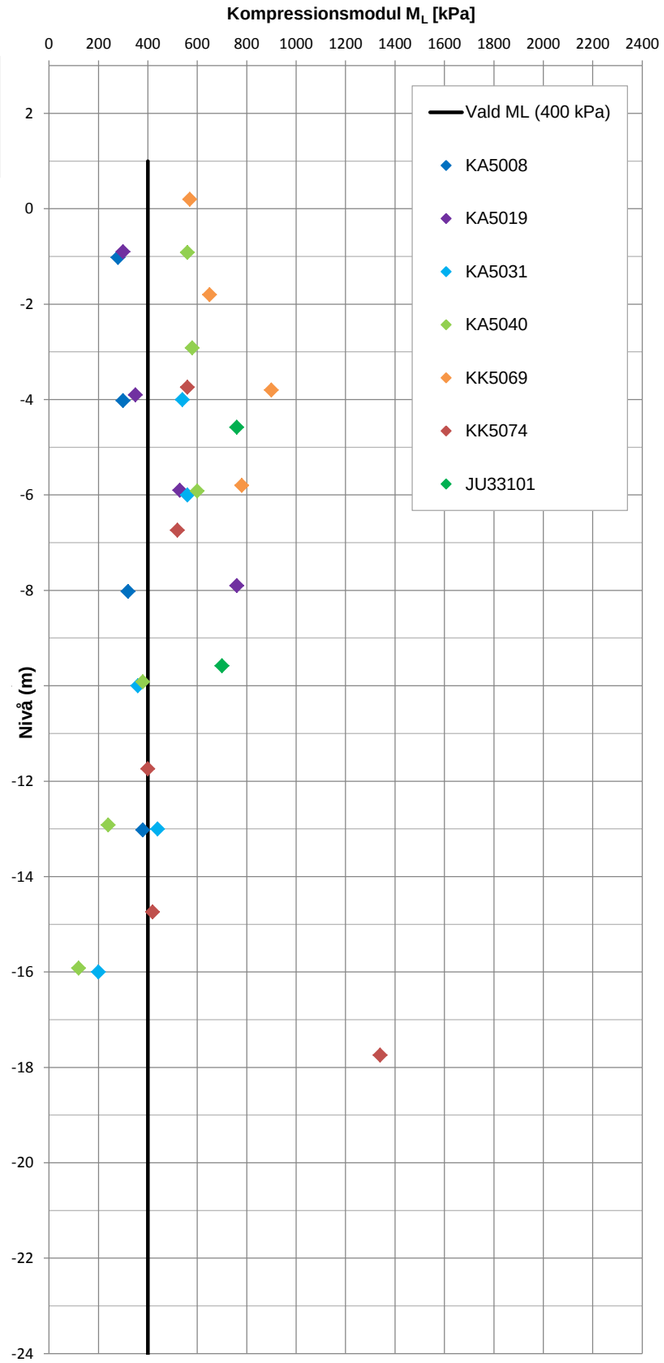


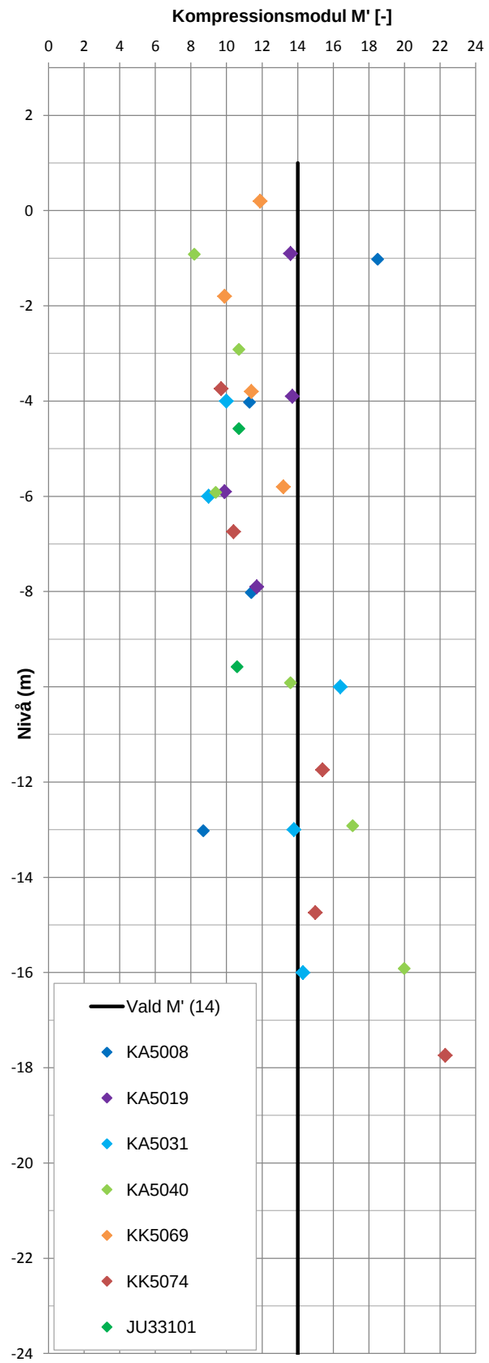
VÄSTLÄNKEN
MODULER, INITIELL PERMEABILITET
CRS-FÖRSÖK
2014-06-19

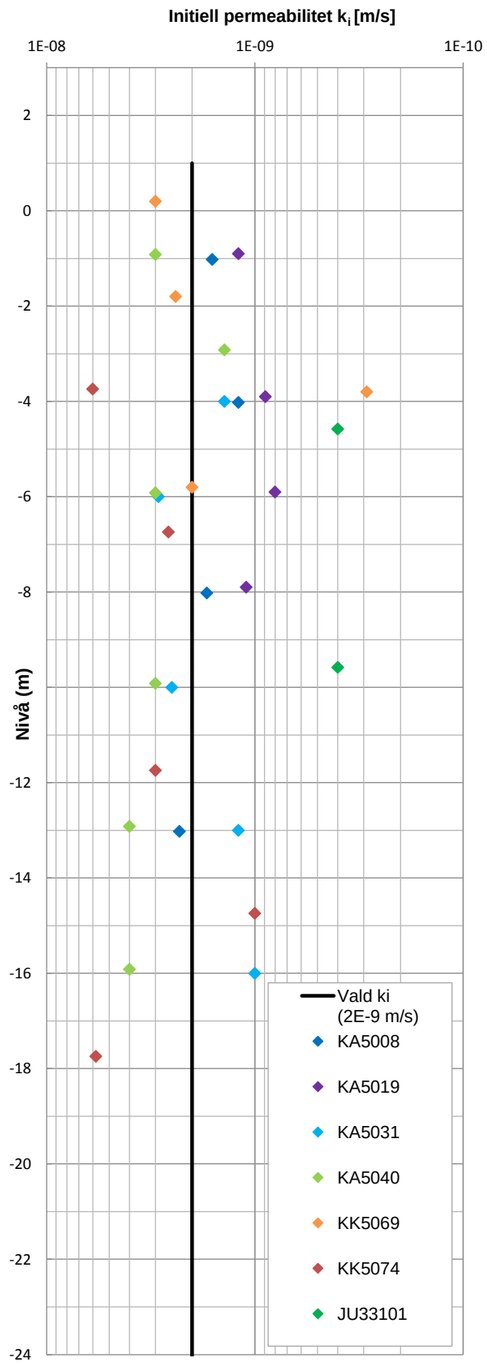
LINJE KORSVÄGEN - ALMEDAL
km 461+200 - 461+600

BILAGA 15.4.2

Kompressionsmodul, M_0 7000 kPa ner till nivå -5,
därunder M_0 = 7000+600·z kPa



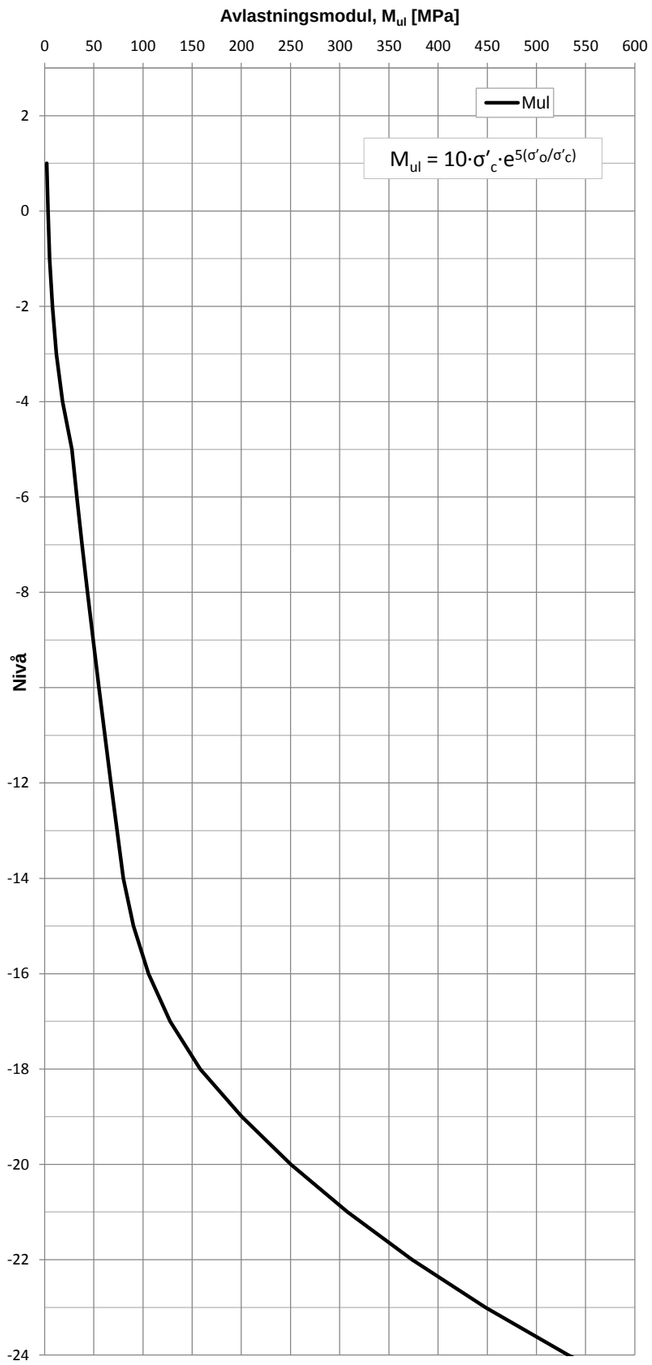




VÄSTLÄNKEN
MODULER
CRS-FÖRSÖK
2014-06-19

LINJE KORSVÄGEN - ALMEDAL
km 461+200 - 461+600

BILAGA 15.4.3



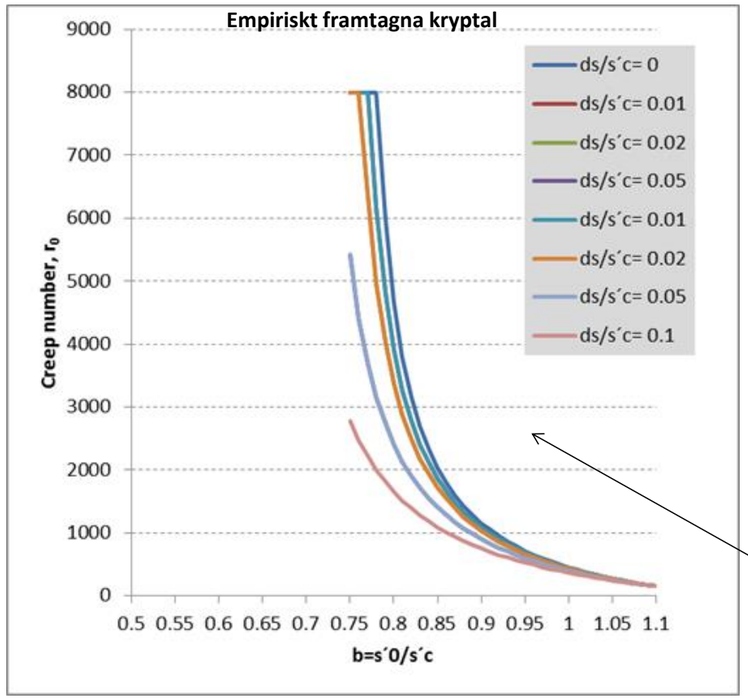
VÄSTLÄNKEN
KRYPPARAMETRAR
2014-06-19

LINJE KORSVÄGEN - ALMEDAL
km 461+200 - 461+600

BILAGA 15.4.4

Parameter	**Värden som ska användas vid beräkningar (GS Settlements)**
α_{Smax}	väljs enligt TK Geo 11, tabell 5.2-2
$\beta_{\alpha S}$	väljs enligt TK Geo 11, tabell 5.2-2
a_0	0,9
a_1	1,1
b_0	σ'_0/σ'_c
b_1	1,1
r_0*	8000 vid b_0 = 0,75
r_0*	3000 vid b_0 = 0,8
r_0*	1750 vid b_0 = 0,85
r_0*	1000 vid b_0 = 0,9
r_0*	700 vid b_0 = 0,95
r_0*	500 vid b_0 = 1,0
r_1	ln 10 / α_s (kap. 5.2.2.3.6, TK Geo 11)
t_{ref}	-1 dag
β_K	4

*Kryptal, r_0 har valts utifrån empiri i diagrammet till höger.



Kurvorna i diagrammet baseras på empiriskt framtagna kryptal med utgångspunkt från empiriska relationer som utvecklats i samband med pågående doktorandprojekt på Chalmers (Mats Olsson). Den empiriska funktionen bygger på metod som beskrivs i "Val av kryptal för lösa plastiska leror", daterad 2009-02-13. Parametern r_o kan genom denna empiriska relation bestämmas genom följande samband:

För $0.75<b<b_1$

$$r_0 = \frac{750\cdot(b_1 - b_0)}{b_0 - 0.75 - \frac{\Delta\sigma}{\sigma'_{c_{ref}}}} + r_1 \quad \max r_0 = 8000$$

För $b \geq b_1$ gäller r_1

Där b_1=1,1 och b_o= σ'_o/σ'_c

Bilaga 3

Ärendenummer
TRV2012/16353

Dokumentdatum
2014-07-02

Uppdragsnummer
Version: D

Sidor
1(12)

TRAFIKVERKET

Västlänken
PM F 05 – 018
Stabilitet befintliga förhållanden

BILAGA CC
Station Centralen

Revideringen avser:		
Avsnitt	Revideringen avser	Reviderad av

Upprättad av:	Urban Högsta	
Granskad av:	Ola Skepp	

TDOK 2010:29 Mall_PM v 2.0

Innehåll

1 Allmänt ... 3
2 Geotekniska undersökningar ... 3
2.1 Tidigare utförda undersökningar och utredningar ... 3
2.2 Utförda undersökningar och utredningar ... 3
3 Geoteknisk översikt ... 4
3.1 Topografi och områdesbeskrivning ... 4
3.2 Befintliga geotekniska förstärkningsåtgärder ... 5
3.3 Geotekniska förhållanden ... 6
4 Stabilitet ... 9
4.1 Allmänt ... 9
4.2 Erforderlig säkerhetsfaktor ... 10
4.3 Beräkningsförutsättningar ... 10
4.4 Stabilitetsanalyser för befintliga förhållanden ... 10
4.5 Sammanställning av utförda stabilitetsanalyser ... 12
5 Slutsatser och rekommendationer ... 12

Bilaga CC.1 Stabilitetsanalyser

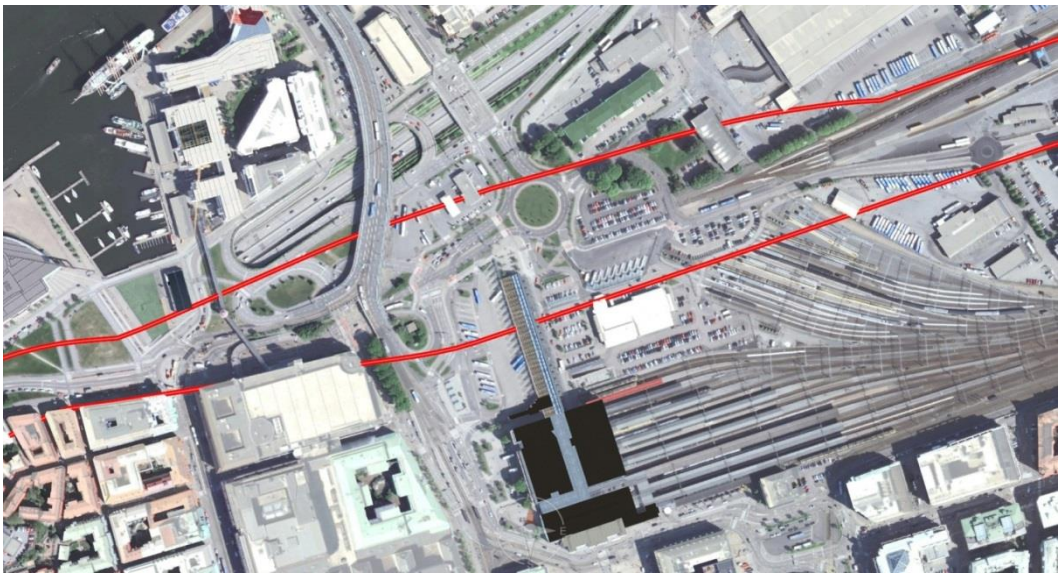
TDOK 2010:29 Mall_PM v 2.0

1 Allmänt

Inom uppdraget Västlänken AKF5 Geoteknik har den befintliga stabilitetssituationen längs med Västlänkens planerade sträckning analyserats. Utförda stabilitetutredningar/bedömningar syftar till att beskriva den befintliga stabiliteten i samband med upprättande av järnvägsplan, detaljplaner samt ansökan om tillstånd för vattenverksamhet.

Syftet med utredningen är att klarlägga stabilitetsförhållanden för befintliga förhållanden längs med Västlänkens sträckning.

Denna detaljerade stabilitetsutredning avser **delområde Station Centralen (CC)**. Området framgår av Figur 1.



Figur 1 Översiktskarta delområde Station Centralen.

Utredningen har utförts i enlighet med IEG Rapport 4:2010 ”Tillståndsbedömning/klassificering av naturliga slänter och slänter med befintlig bebyggelse och anläggningar, Vägledning för tillämpning av Skredkommissionens rapporter 3:95 och 2:96 (delar av)”.

2 Geotekniska undersökningar

2.1 Tidigare utförda undersökningar och utredningar

Inom och i anslutning till det aktuella undersökningsområdet har ett stort antal geotekniska undersökningar utförts under årens lopp. Materialet är mycket omfattande och innehåller såväl en stor mängd sonderingar som en stor mängd hållfasthetsbestämningar som underlag för nu utförda stabilitetsberäkningar. Tidigare undersökningar redovisas i *PM F 05 – 001 Inventering av tidigare utförda undersökningar* samt *PM F 05 – 004 Markteknisk undersökningsrapport Geoteknik* för Västlänken med tillhörande ritningar och digitala geoarkiv.

2.2 Utförda undersökningar och utredningar

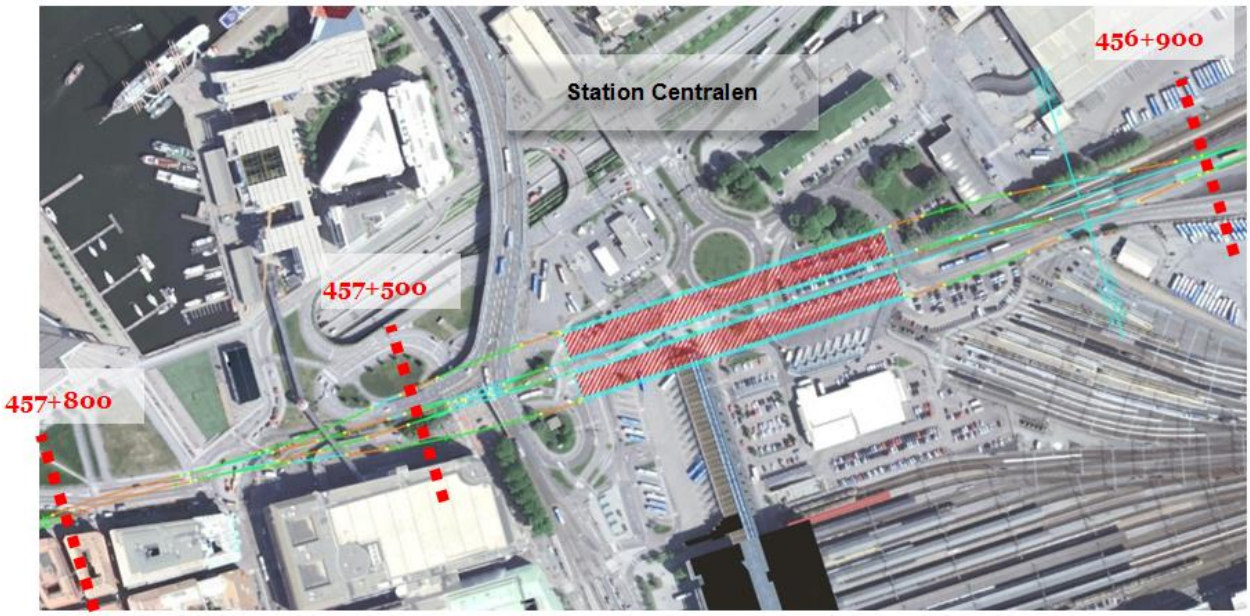
Ett stort antal geotekniska fält- och laboratorieundersökningar har utförts inom ramen för projekt Västlänken. Nu utförda undersökningar redovisas i sin helhet i *PM F 05 – 004 Markteknisk undersökningsrapport Geoteknik* med tillhörande ritningar och digitala geoarkiv.

TDOK 2010:29 Mall_PM v 2.0

3 Geoteknisk översikt

3.1 Topografi och områdesbeskrivning

Marken är relativt plan inom hela området, med undantag för tillfartsramperna till Götaälvbron. Markytan ligger som lägst på nivåerna ca +1,2 till +1,7 inom parken framför Regionens hus. Längs Kruthusgatan, omkring Nils Ericsonsterminalen och Kanaltorgsgatan ligger markytan på ca +2,0 till +2,5. Längs Sankt Eriksgatan stiger markytan uppåt, vid km 457+800 är marknivån ca +5. Tillfartsramperna till Götaälvbron ansluter till bron på nivå ca +7,2.



Figur 2 Översikt Station Centralen.

Stora delar av området för station Centralen utgörs av utfyllt vattenområde (sankmark). När stadens befästningar anlades på 1600-talet låg strandlinjen precis utanför Kvarnberget och Nordstan omgärdades av vatten både i norr och öster. Östra Hamnkanalen (nuvarande Östra Hamngatan) mynnade där gästhamnen vid Lilla Bommen ligger idag. Området vid Lilla Bommen och Centralen torrlades och fylldes ut under mitten av 1800-talet, se Figur 3. I samband med detta raserades befästningarna runt staden. Rester från de nedre delarna av befästningar, pålspärr, sänkverk finns kvar i marken under nuvarande gator och parkeringsytor. Även vallgraven mellan befästningsverken och Hultmans holme fylldes under mitten av 1800-talet.

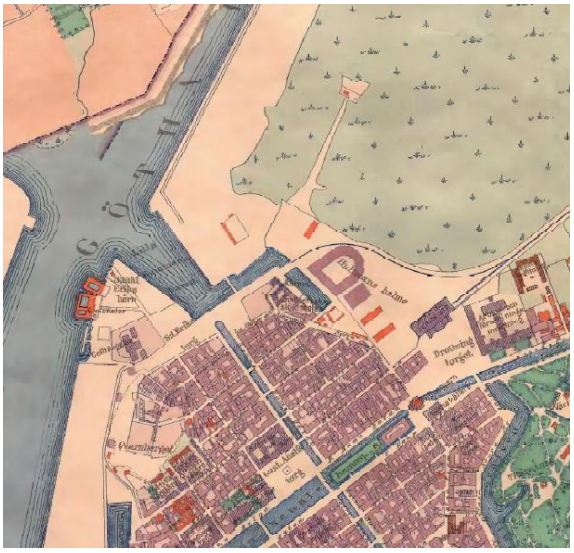
Den inre delen av hamnbassängen vid Lilla Bommen och Östra Hamnkanalen fylldes igen 1936 och grundrester från de ursprungliga kajmurarna finns kvar under nuvarande gata.

TDOK 2010:29 Mall_PM v 2.0

Källa, Jubileumsutställningen 1923



Göteborg år 1820



Göteborg år 1860



Göteborg år 1890



Göteborg år 1921 (med 1790 års karta inlagd i bakgrunden)

Figur 3 Historiska kartor som visar områdets utveckling och utfyllnader under 1800-talet (källa Göteborgs stadsmuseum).

3.2 Befintliga geotekniska förstärkningsåtgärder

Inom utredningsområdet har, genom åren, ett antal geotekniska förstärkningsåtgärder utförts. Förstärkningsåtgärderna utgörs exempelvis vid Götaälvbrons södra landfäste av bankpålningar, lättfyllnader och kvarlämnad äldre grundläggning som kohesionspålar av trä. Då området varit exploaterat under en lång period och förändrats med tiden innebär det att det i marken finns grundrester från tidigare verksamheter (exempelvis fundament, pålar och äldre grundläggning). Övriga förstärkningsåtgärder samt en mer detaljerad beskrivning återfinns i *”PM F 05 – 002 Befintliga grundförstärkningar och grundrester”*.

TDOK 2010:29 Mall_PM v 2.0

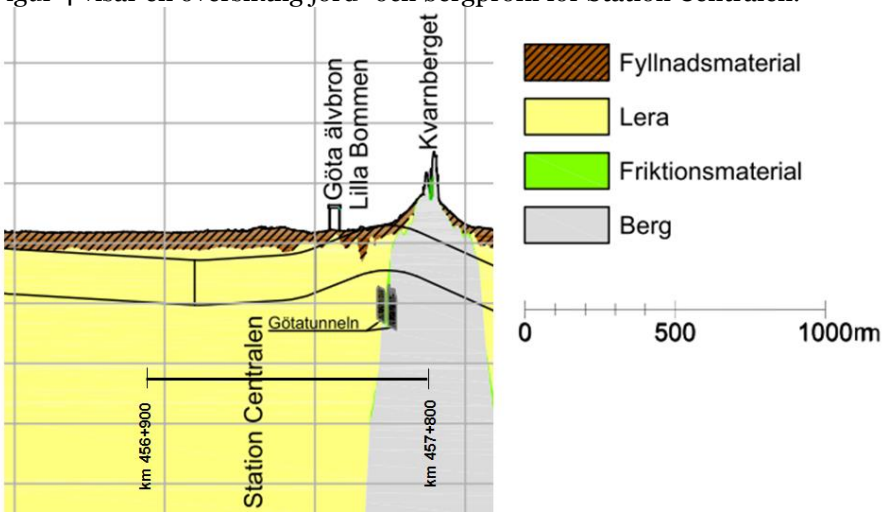
3.3 Geotekniska förhållanden

Utvärdering av de geotekniska förhållandena baseras på nu och tidigare utförda undersökningar i och i anslutning till området. De geotekniska egenskaperna för Station Centralen har delats upp i två delområden med en indelning som går från öster till väster, se Figur 2 sid. 4. Det första delområdet (km 456+900 - 457+500), benämns Centralen, sträcker sig fram till Götaälvbron och det andra delområdet (km 457+500 - 457+800), benämns Centralen - Kvarnberget, sträcker sig strax förbi korsningen med Östra Hamngatan.

De slänter som definierats som intressanta att analysera och beskriva ligger samtliga inom delområdet Centralen. I föreliggande rapport beskrivs därför endast de geotekniska förhållandena för detta delområde.

3.3.1 Jordlagerföljd

Figur 4 visar en översiktlig jord- och bergprofil för Station Centralen.



Figur 4 Översiktlig jord- och bergprofil för Station Centralen.

Jordlagren inom planområdet utgörs överst av *fyllning*. De naturligt avsatta jordlagren består av *lera* till stort djup som vilar på *friktionsjord* ovan *berg*.

Fyllning
Fyllnadsmäktigheterna är generellt ca 2,5-3 m. Fyllningsmaterialet utgörs generellt överst av ca 1-2 m mäktigt lager med sten, grus, sand, gatsten, makadam och rivningsrester som härrör från 1900-talet. Därunder följer finkornigare material såsom sand, silt och lera med tegel-, trä- och glasrester (som härrör från mudder- och schaktmassor från 1800-talet) samt grundrester från tidigare byggnadsverk. Även organisk jord förekommer i den äldre fyllningen.

Lera
Under fyllningen följer en naturligt avsatt lera till stort djup. Leran närmast under fyllningen är av torrskorpekaraktär (ca 1-2 m, dvs. ner till ca 3-5 m djup under markytan). Utförda CPT-sonderingar visar på en homogen lera utan någon förekomst av dränerande/ vattenförande skikt. Sonderingar har utförts till stopp i några punkter inom det aktuella området. Sonderingar som är utförda till stopp visar att lerans mäktighet är ca 85-100 m inom större delen av stationsläget.

Friktionsjord
Under leran följer ett lager friktionsjord (ej närmare undersökt) som vilar på berget.

Berg
Bergnivån inom området är ca -85 till -100.

TDOK 2010:29 Mall_PM v 2.0

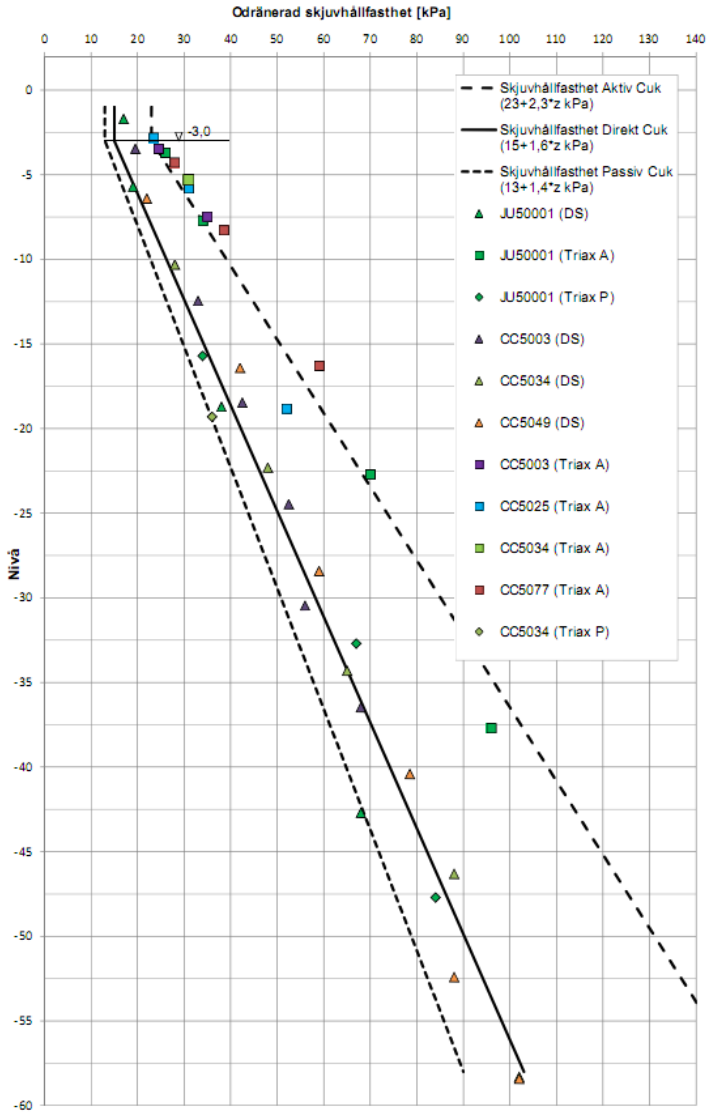
3.3.2 Densitet, vattenkvot och konflytgräns och sensitivitet

Lerans densitet är ca 1,6 t/m³ ner till nivån -18 för att därunder öka till ca 1,7 t/m³ vid nivån -60. Lerans vattenkvot är ca 60-90 %, där de högre värdena återfinns ner till ca 10 m djup. Leran är mellansensitiv med en sensitivitet som generellt varierar mellan 10-30.

3.3.3 Odränerad skjuvhållfasthet

Den odränerade skjuvhållfastheten i leran har utvärderats från utförda hållfasthetsbestämningar främst i form av en stor mängd utförda direkta skjuvförsök och triaxialförsök som kompletterats med empiriska beräkningar med utgångspunkt från en stor mängd utförda CRS-försök. Som ytterligare stöd för hållfasthetsbestämningen har även fallkonförsök, vingförsök samt CPT-sonderingar beaktats.

Den odränerade skjuvhållfastheten (c_{uk}) har utvärderats till 15 kPa ner till nivån -3 för att därunder ha en hållfasthetstillväxt mot djupet med ca 1,6 kPa/m, se Figur 5.



Figur 5 Utvärderad odränerad skjuvhållfasthet för Station Centralen.

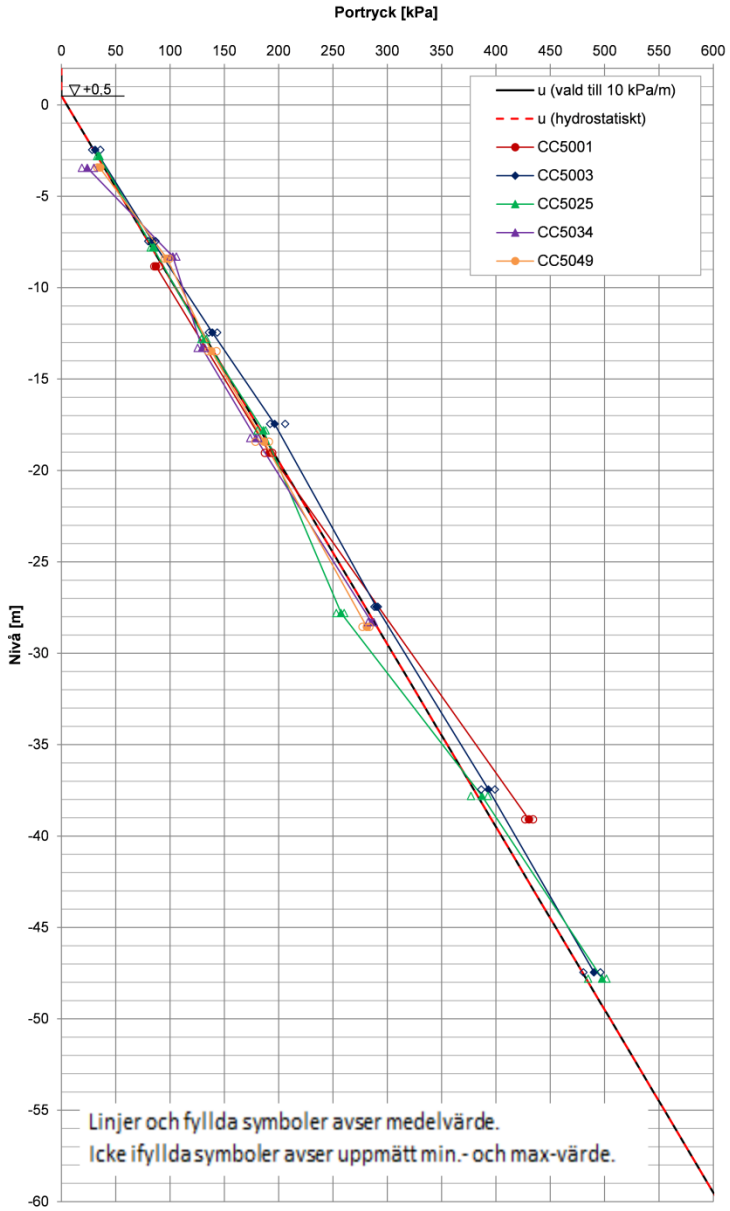
Leran är på nivån -3 överkonsoliderad med ca 20 kPa (ca OCR=1,4). Överkonsolideringen ökar mot djupet till att vara ca 100 kPa på nivå -50 (ca OCR=1,3).

3.3.4 Grundvatten och portryck

Grundvatten förekommer dels i de ytliga jordlagren, som består av fyllnadsmaterial, och dels i friktionsjordslagren under de mäktiga lerlagren. Mätningar i det övre magasinet visar på att grundvattennivån ligger på nivåerna +0,5 till + 1,5. Närheten till Göta Älv innebär att grundvattennivån i det övre magasinet beror av vattenståndet i älven.

Nu utförda och tidigare utförda portrycksmätningar visar att portrycksnivån i leran motsvarar en grundvattenyta som ligger på nivån +0,5, se Figur 6. Mätning på stora djup visar på något högre trycknivåer, vilket indikerar en tendens till övertryck (trycknivåer motsvarande en grundvattennivå på ca +1 till +4).

Uppmätta portryck i punkten CC5003, djupet 20 m, avviker och visar på en onormalt stor spridning, varför dessa värden i dagsläget bedöms som något osäkra. Detsamma gäller för punkten OC5025, djupet 30 m.



Figur 6 Uppmätta portrycksnivåer inom området.

TDOK 2010:29 Mall_PM v 2.0

4 Stabilitet

4.1 Allmänt

Stabiliteten har bedömts inom hela det aktuella området. Ny beräkning har utförts i samband med framtagande av detaljplan för Station Centralen. Stabiliteten har analyserats för befintliga förhållanden i totalt 2 st sektioner med sektionslägen enligt Figur 7 nedan.

Tidigare utförda analyser vid Detaljplan Regionens Hus

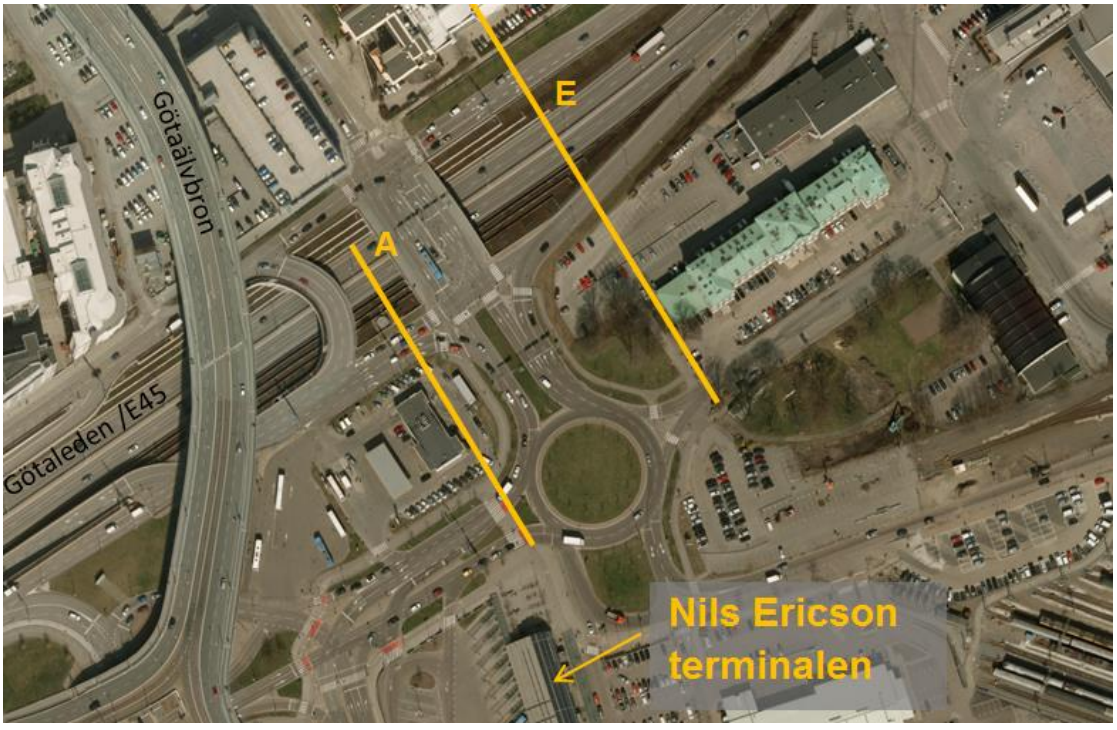
Norconsult har tidigare (år 2009) utfört stabilitetsanalys för befintliga förhållanden i en sektion inom den geotekniska utredningen för ”Detaljplan Regionens hus”. Resultatet från denna analys redovisas i detta PM. För utredningen i sin helhet hänvisas till:

- ”Detaljplan Regionens hus, Göteborg – Geoteknisk undersökning: PM beträffande geotekniska förhållanden”
  Norconsult, Revidering A 2010-06-02, uppdragsnr 101 24 18.

Sektionsläget för den beräknade sektionen (benämnd E) visas i Figur 7 nedan. Stabiliteten har i sektion E kontrollerats såväl mot Götaleden som för riktigt långa glidytor med en utbredning till Göta älv.

Nu utförd analys

Ny beräkning för planområdet har utförts i 1 st sektion (benämnd A), med ett sektionsläge enligt nedanstående figur. Använda materialparametrar för stabilitetsanalyserna redovisas i tabell på respektive stabilitetsberäkning i Bilaga CC.1.



Figur 7 Sektionslägen utförda stabilitetsanalyser.

Stabilitetsanalyserna har utförts med odränerad och kombinerad analys med programmet Slope/W version 8.0.9.6484 (Geostudio 2012). Redovisade säkerhetsfaktorer avser Morgenstern-Price metod.

TDOK 2010:29 Mall_PM v 2.0

4.2 Erforderlig säkerhetsfaktor

Stabilitetsutredningen har utförts enligt IEG:s Rapport 4:2010, där erforderlig säkerhetsfaktor gäller för Detaljerad stabilitetsutredning för markområden med markanvändningen ”Befintlig bebyggelse och anläggning”.

Enligt ovanstående gäller därmed följande rekommendation på säkerhetsfaktorn mot brott utifrån rådande förutsättningar:

Tabell 1 Rekommenderade säkerhetsfaktorer enligt IEG:s rapport 4:2010, detaljerad utredning.

	Befintlig bebyggelse och anläggning
F_c	≥ 1,7-1,5
F_{komb}	≥ 1,5-1,3

Rekommenderad säkerhetsnivå utgörs således av ett ”spann” mellan olika nivåer på erforderlig säkerhetsfaktor. Erforderlig säkerhetsnivå som ställs för ett specifikt objekt bestäms utifrån ett stort antal faktorer som betecknas som ”gynnsamma” eller ”ogynnsamma”. Exempel på en ogynnsam faktor är t.ex. förekomst av kvicklera, stora konsekvenser av ett skred, pågående erosion eller ett begränsat antal geotekniska undersökningar etc.

Med utgångspunkt från de förutsättningar (både yttre och geotekniska) som råder inom de aktuella områdena rekommenderas nedanstående säkerhetsnivå med avseende på stabilitetsförhållandena.

Tabell 2 Rekommenderad säkerhet för befintliga förhållanden.

	Befintlig bebyggelse och anläggning
F_c	≥ 1,5
F_{komb}	≥ 1,3

4.3 Beräkningsförutsättningar

4.3.1 Utformning och geometri

Som underlag till geometrin vid stabilitetsberäkningen har befintligt kartmaterial för området (digital primärkarta med 0,5 m ekvidistans) samt projekteringsritningar för Götatunneln använts.

4.3.2 Marklaster och schaktning

Markbelastningen inom gator har i stabilitetsanalyserna ansatts till 13 kPa på hela vägbredden och med obegränsad längd, enligt IEG Rapport 4:2010. Inom gång- och cykelvägar har markbelastningen ansatts till 5 kPa och inom parkerings- och uppställningsytor 10 kPa.

4.4 Stabilitetsanalyser för befintliga förhållanden

Stabiliteten för *befintliga förhållanden* har analyserats för de två sektionerna inom området. Inom området varierar såväl geometrin i form av höjd och lutning som jordlagerföljden något mellan sektionerna.

I följande kapitel beskrivs resultatet av nu utförd stabilitetsanalys (sektionsläge A). Resultat från tidigare utförd analys redovisas i avsnitt 4.5.

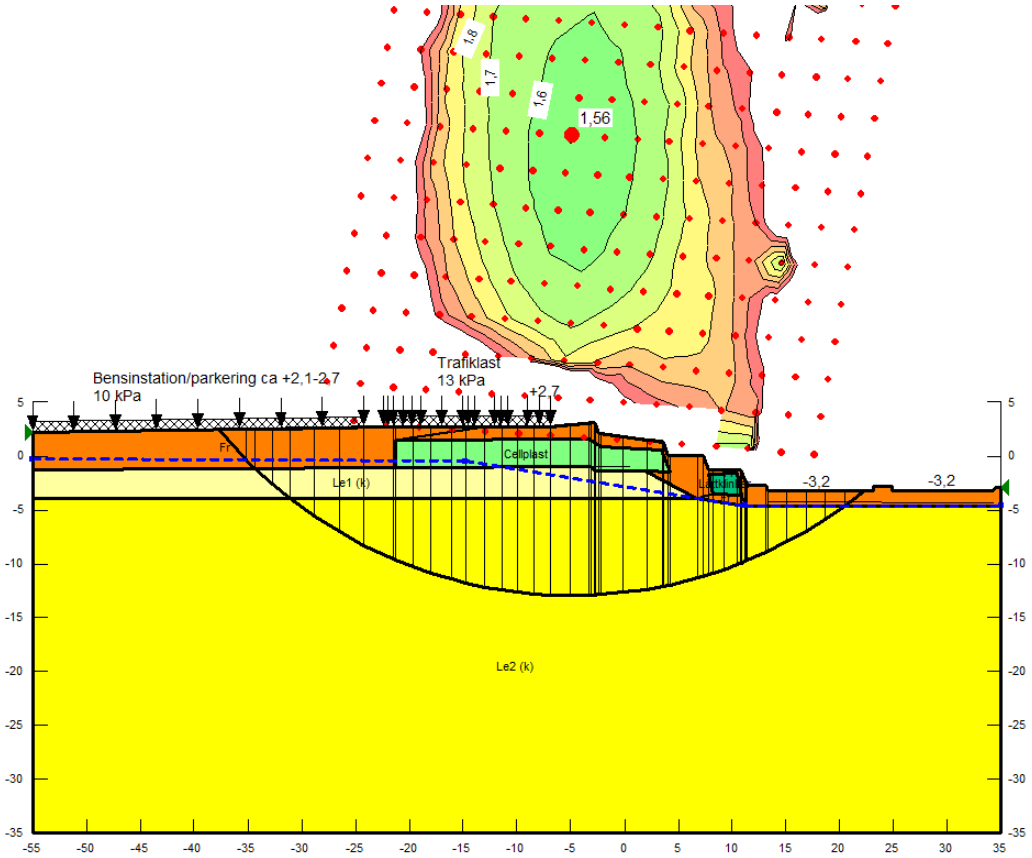
TDOK 2010:29 Mall_PM v 2.0

Sektion A

Utförda stabilitetsanalyser visar att stabilitetsförhållandena är tillfredsställande goda (dvs. rekommenderad säkerhetsnivå enl. IEG uppfylls) såväl för befintliga markområdena närmast invid Götaleden som markområdena i anslutning till blivande station Centralen.

Lägsta säkerhetsfaktor mot brott är ca F_c=1,55 såväl vid odränerad som vid kombinerad analys (dvs. den odränerade hållfastheten i leran är dimensionerande).

Glidytorna med lägsta beräknade säkerhetsfaktor mot brott har en utbredning på ca 60 m vid kombinerad analys och 65 m vid odränerad analys, enligt nedanstående figur. Säkerhetsfaktorn för glidytor med en utbredning upp till det framtida stationsområdet är ca F_c=F_{komb}=1,9.



Figur 8 Stabilitetsberäkning sektion A, befintliga förhållanden kombinerad analys.

TDOK 2010:29 Mall_PM v 2.0

4.5 Sammanställning av utförda stabilitetsanalyser

I nedanstående tabell redovisas lägsta säkerhetsfaktorer mot brott i utförda stabilitetsanalyser. Utförda stabilitetsanalyser redovisas i sin helhet i CC.1.

Tabell 3 Säkerhetsfaktorer mot brott i de analyserade beräkningssektionerna.
Fet text innebär att rekommenderad säkerhetsnivå för stabiliteten inte är uppfylld.

Sektion	*Odränerad analys,* F_c	*Kombinerad analys,* F_{komb}
Sektion A	*1,55*	*1,55*
Sektion E		
Lokalt (Götaleden)	*1,57*	*1,57*
Total (Göta älv)	*8,1*	*8,1*

Stabilitetssituationen för befintliga förhållanden för området uppfyller rekommenderad säkerhetsnivå enligt IEG rapport 4:2010.

5 Slutsatser och rekommendationer

Denna *detaljerade* stabilitetsutredning visar att stabilitet inom rubricerat område CC är tillfredställande i enlighet med uppställda krav på erforderliga säkerhetsfaktor mot brott.

Föreliggande detaljerade stabilitetsutredning baseras på de idag rådande, kända, förutsättningarna inom aktuellt delområde. I samband med all förändring av områdena såsom nybyggnation, schaktning, ändrade dräneringsförutsättningar, lastförändringar, upplag etc. skall stabilitetssituationen beaktas.

TDOK 2010:29 Mall_PM v 2.0

Ärendenummer
TRV2012/16353
Uppdragsnummer
Version: D

Dokumentdatum
2013-08-30
Sidor
1(1)

TRAFIKVERKET

Västlänken
PM F 05 – 018
Stabilitetsanalyser Station Centralen
BILAGA CC.1

Revideringen avser:		
Avsnitt	Revideringen avser	Reviderad av

Upprättad av:	David Stålsmeden	
Granskad av:	Urban Högsta	

Golder Associates

OBJEKT
DP Station Centralen

SKEDE
Befintliga förhållanden

SEKTION
Sektion A

ANALYS
Kombinerad analys

BESKRIVNING
*

UPPDRAG
DP Västlänken stationer

UPPDRAGSNUMMER
1351220588

BESTÄLLARE
Stadsbyggnadskontoret, Göteborgs stad

ANALYSDATA
Analystyp: Totalsäkerhetsanalys
Beräkningsmetod: Morgenstern-Price (optimization: Yes)
GW & portryck: Piezometric Line
Glidytor: Grid and Radius, Left to Right
Senast sparad: 2014-05-02; 12:50:35
G:\Projekt\2013\1370588 DP Västlänken Stationer\12_Beräkn\B_väg.gsz

BILAGA

SKALA
1:500

JORDLAGER OCH MATERIALPARAMETRAR

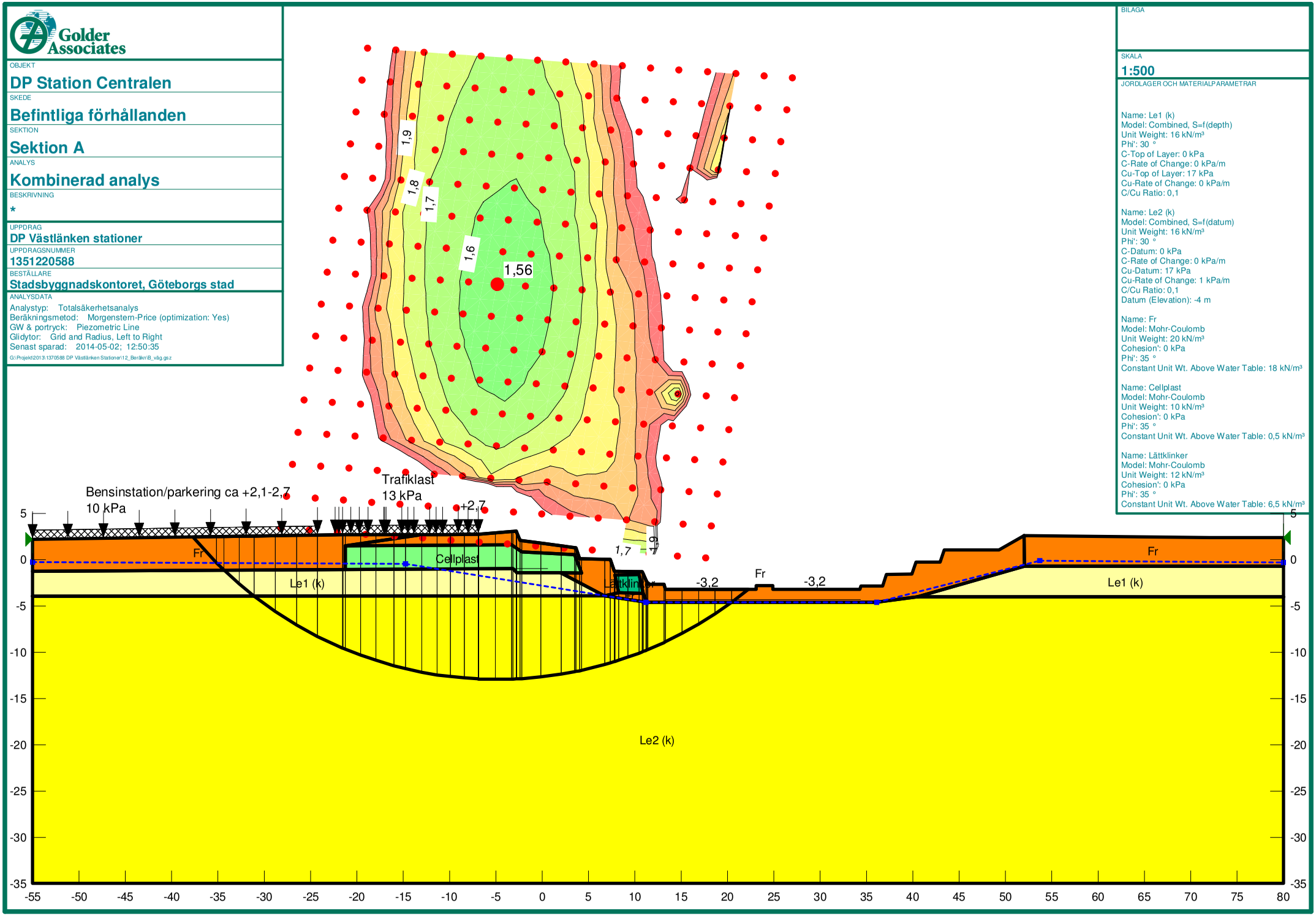
Name: Le1 (k)
Model: Combined, S=f(depth)
Unit Weight: 16 kN/m³
Phi': 30 °
C-Top of Layer: 0 kPa
C-Rate of Change: 0 kPa/m
Cu-Top of Layer: 17 kPa
Cu-Rate of Change: 0 kPa/m
C/Cu Ratio: 0,1

Name: Le2 (k)
Model: Combined, S=f(datum)
Unit Weight: 16 kN/m³
Phi': 30 °
C-Datum: 0 kPa
C-Rate of Change: 0 kPa/m
Cu-Datum: 17 kPa
Cu-Rate of Change: 1 kPa/m
C/Cu Ratio: 0,1
Datum (Elevation): -4 m

Name: Fr
Model: Mohr-Coulomb
Unit Weight: 20 kN/m³
Cohesion': 0 kPa
Phi': 35 °
Constant Unit Wt. Above Water Table: 18 kN/m³

Name: Cellplast
Model: Mohr-Coulomb
Unit Weight: 10 kN/m³
Cohesion': 0 kPa
Phi': 35 °
Constant Unit Wt. Above Water Table: 0,5 kN/m³

Name: Lättklinker
Model: Mohr-Coulomb
Unit Weight: 12 kN/m³
Cohesion': 0 kPa
Phi': 35 °
Constant Unit Wt. Above Water Table: 6,5 kN/m³



Golder Associates

OBJEKT
DP Station Centralen

SKEDE
Befintliga förhållanden

SEKTION
Sektion A

ANALYS
Odränerad analys

BESKRIVNING
*

UPPDRAG
DP Västlänken stationer

UPPDRAGSNUMMER
1351220588

BESTÄLLARE
Stadsbyggnadskontoret, Göteborgs stad

ANALYSDATA
Analystyp: Totalsäkerhetsanalys
Beräkningsmetod: Morgenstern-Price (optimization: Yes)
GW & portryck: Piezometric Line
Glidytor: Grid and Radius, Left to Right
Senast sparad: 2014-05-02; 12:50:35
G:\Projekt\2013\1370588 DP Västlänken Stationer\12_Beräkn\B_väg.gsz

BILAGA

SKALA
1:500

JORDLAGER OCH MATERIALPARAMETRAR

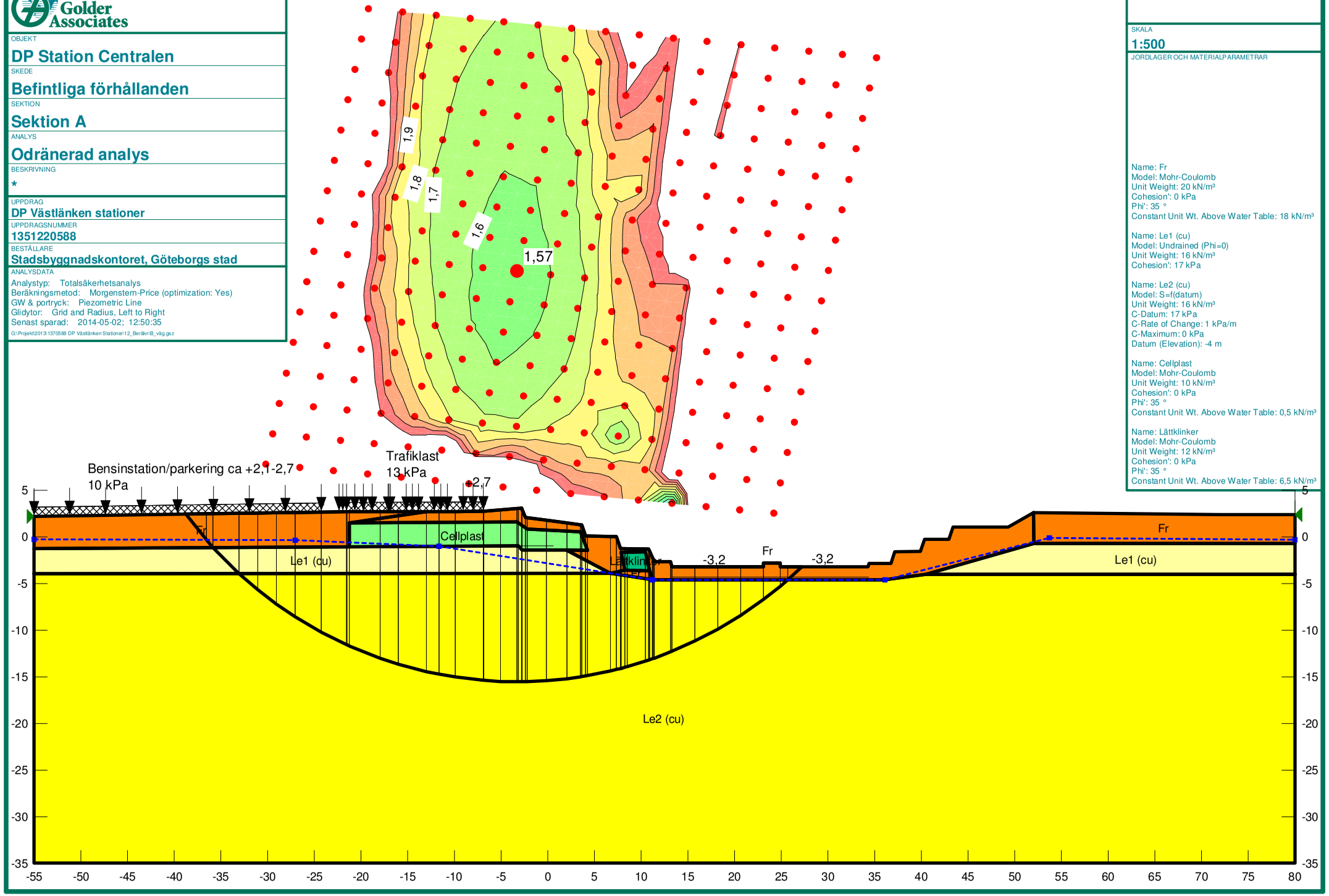
Name: Fr
Model: Mohr-Coulomb
Unit Weight: 20 kN/m³
Cohesion': 0 kPa
Phi': 35 °
Constant Unit Wt. Above Water Table: 18 kN/m³

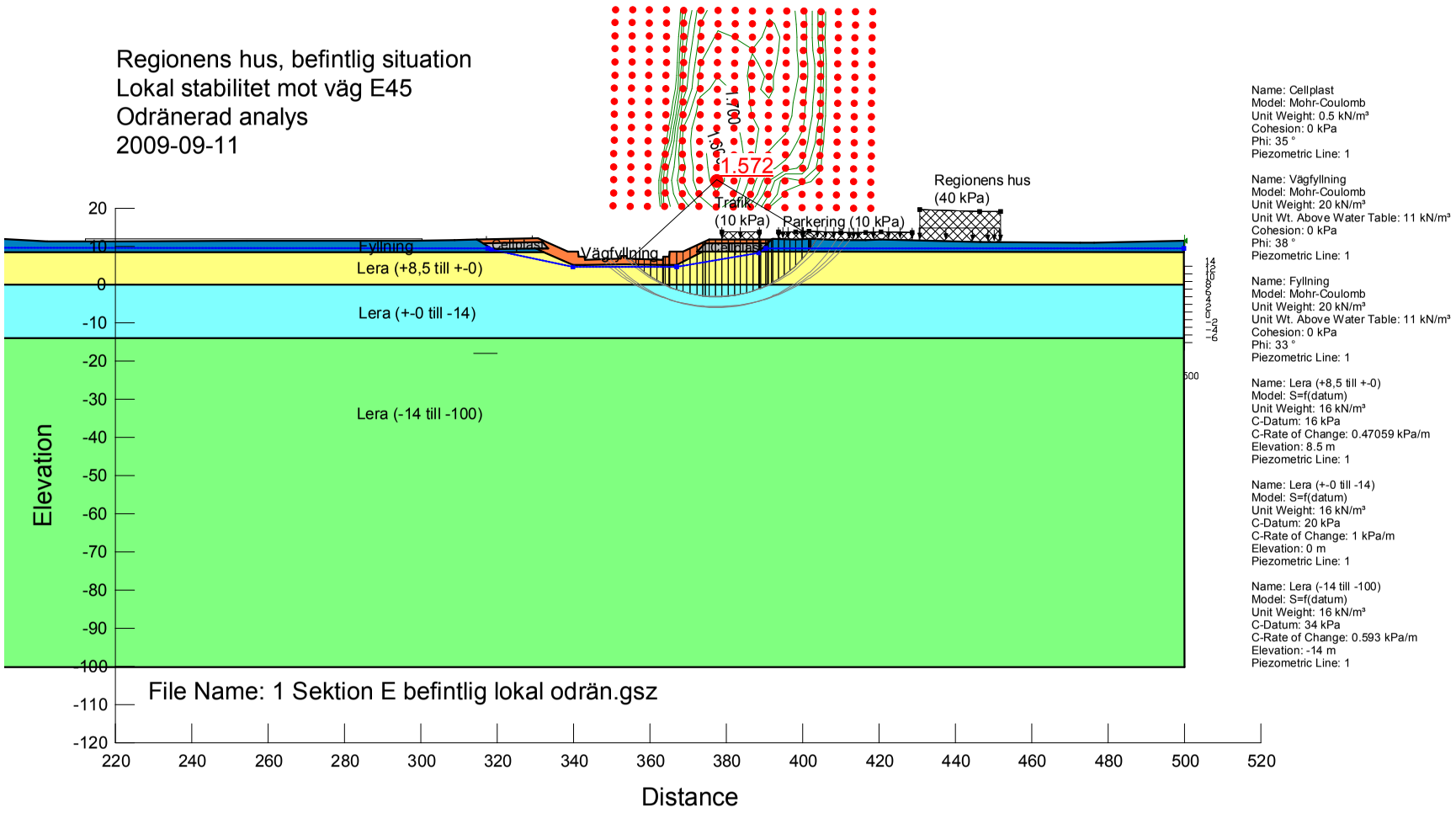
Name: Le1 (cu)
Model: Undrained (Phi=0)
Unit Weight: 16 kN/m³
Cohesion': 17 kPa

Name: Le2 (cu)
Model: S=f(datum)
Unit Weight: 16 kN/m³
C-Datum: 17 kPa
C-Rate of Change: 1 kPa/m
C-Maximum: 0 kPa
Datum (Elevation): -4 m

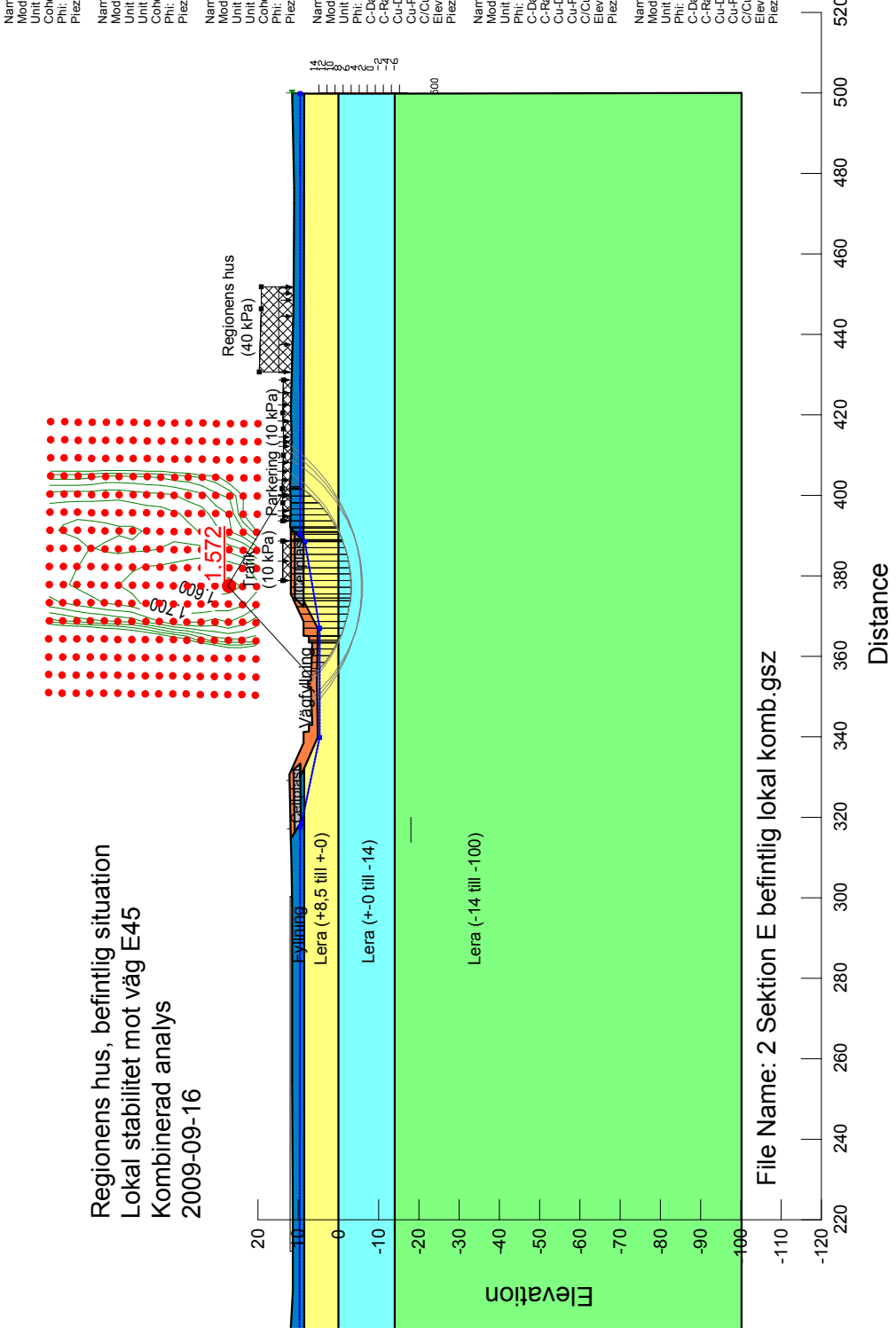
Name: Cellplast
Model: Mohr-Coulomb
Unit Weight: 10 kN/m³
Cohesion': 0 kPa
Phi': 35 °
Constant Unit Wt. Above Water Table: 0,5 kN/m³

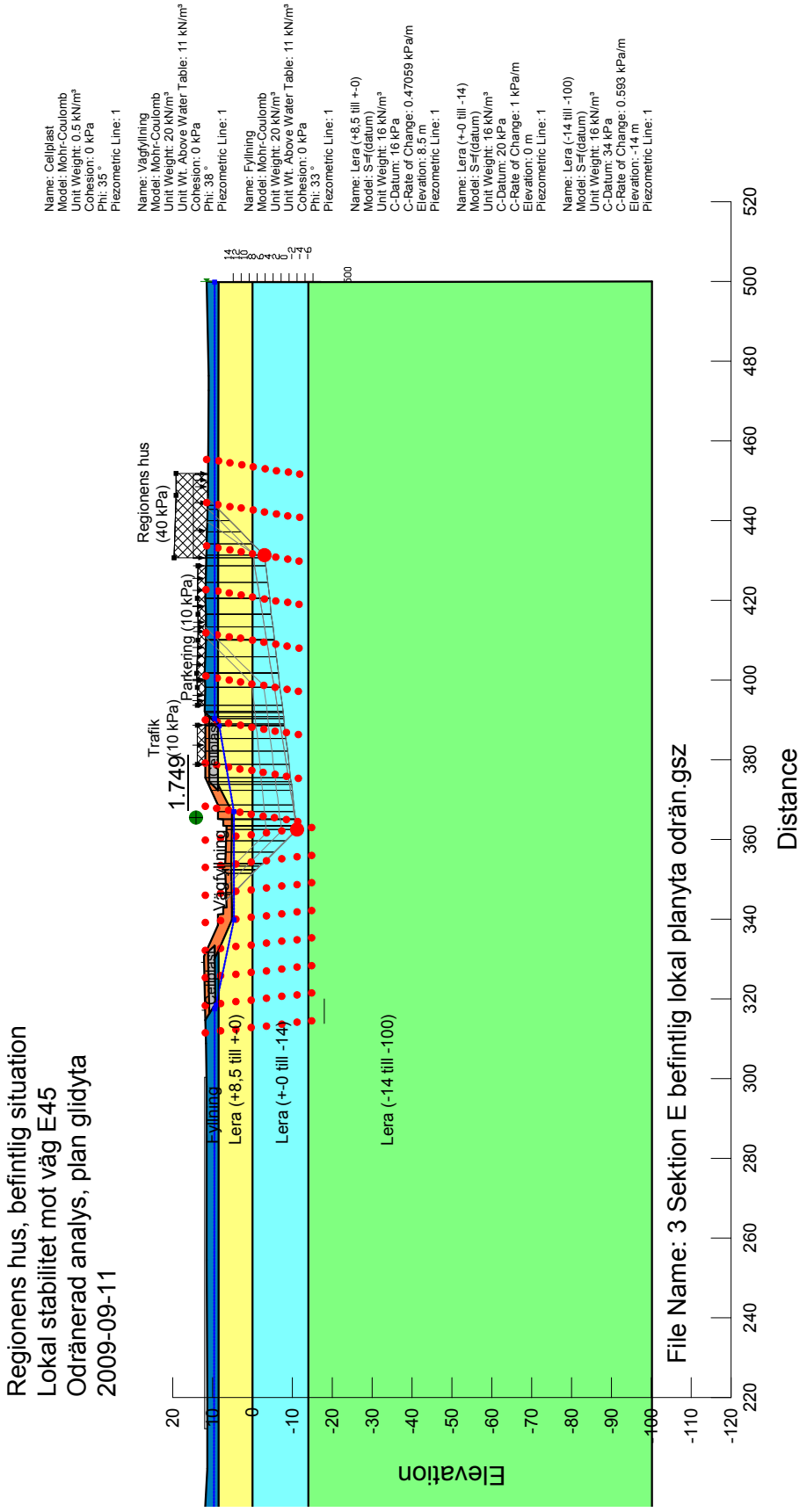
Name: Lättklinker
Model: Mohr-Coulomb
Unit Weight: 12 kN/m³
Cohesion': 0 kPa
Phi': 35 °
Constant Unit Wt. Above Water Table: 6,5 kN/m³

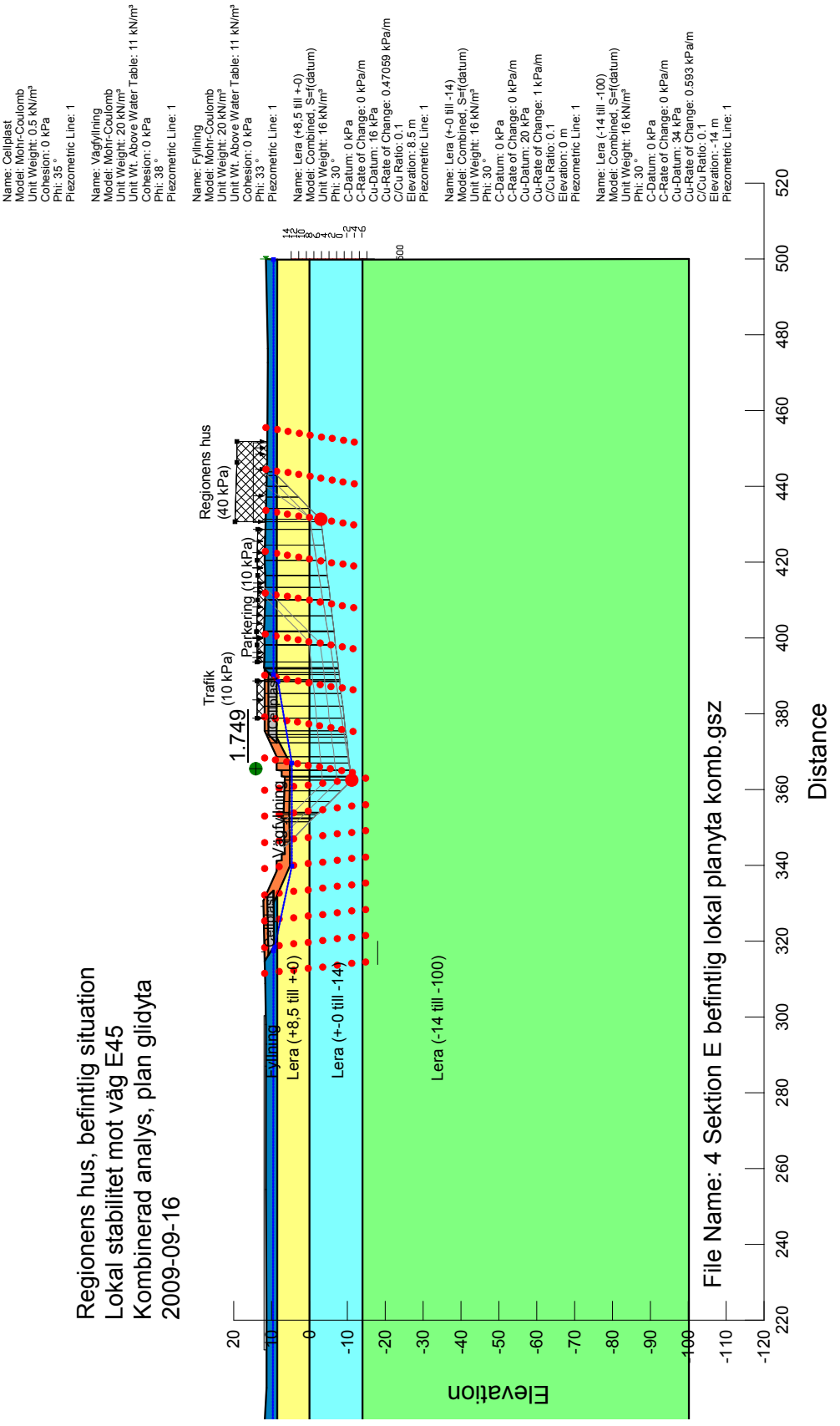


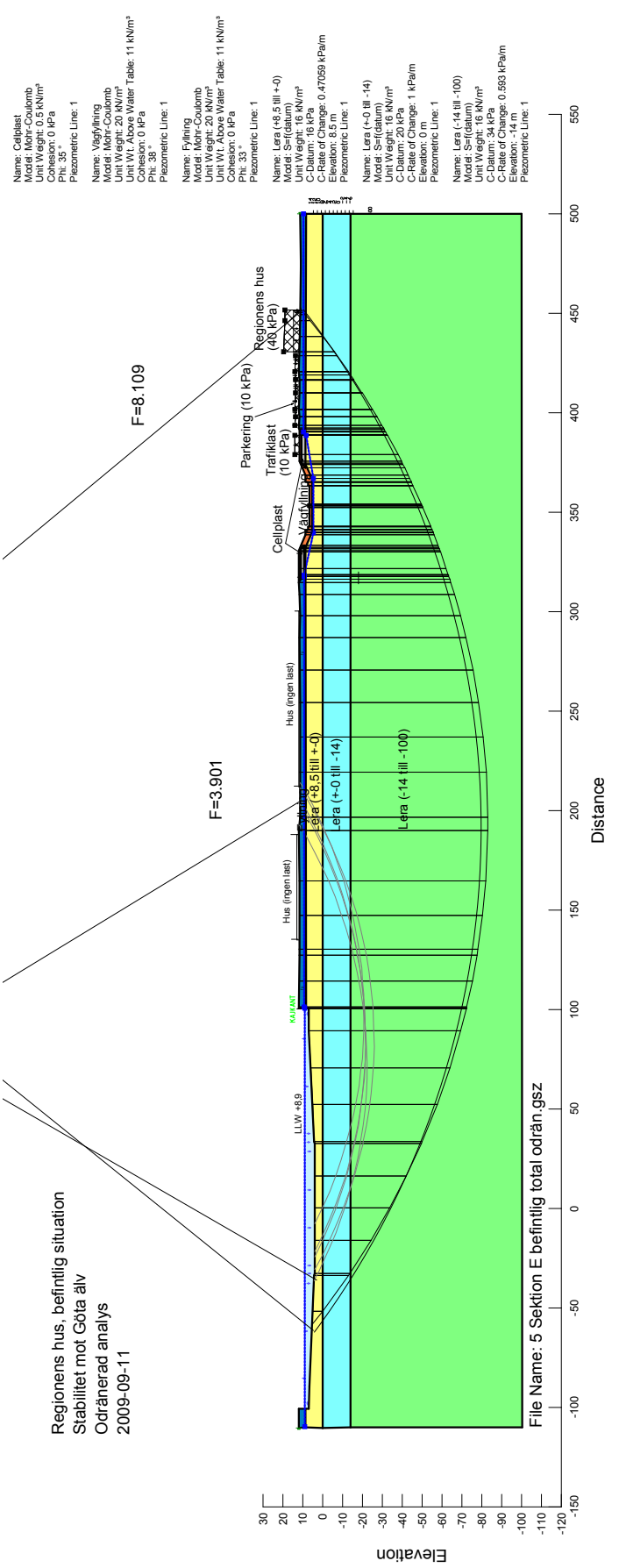

Regionens hus, befintlig situation
Lokal stabilitet mot väg E45
Odränerad analys
2009-09-11
1.572
Regionens hus
(40 kPa)
Trafik
(10 kPa)
Parkering (10 kPa)
Fyllning
Cellplast
Vägfyllning
Cellplast
Lera (+8,5 till +-0)
Lera (+-0 till -14)
Lera (-14 till -100)
Elevation
Distance
File Name: 1 Sektion E befintlig lokal odrän.gsz
Name: Cellplast
Model: Mohr-Coulomb
Unit Weight: 0.5 kN/m³
Cohesion: 0 kPa
Phi: 35 °
Piezometric Line: 1
Name: Vägfyllning
Model: Mohr-Coulomb
Unit Weight: 20 kN/m³
Unit Wt. Above Water Table: 11 kN/m³
Cohesion: 0 kPa
Phi: 38 °
Piezometric Line: 1
Name: Fyllning
Model: Mohr-Coulomb
Unit Weight: 20 kN/m³
Unit Wt. Above Water Table: 11 kN/m³
Cohesion: 0 kPa
Phi: 33 °
Piezometric Line: 1
Name: Lera (+8,5 till +-0)
Model: S=f(datum)
Unit Weight: 16 kN/m³
C-Datum: 16 kPa
C-Rate of Change: 0.47059 kPa/m
Elevation: 8.5 m
Piezometric Line: 1
Name: Lera (+-0 till -14)
Model: S=f(datum)
Unit Weight: 16 kN/m³
C-Datum: 20 kPa
C-Rate of Change: 1 kPa/m
Elevation: 0 m
Piezometric Line: 1
Name: Lera (-14 till -100)
Model: S=f(datum)
Unit Weight: 16 kN/m³
C-Datum: 34 kPa
C-Rate of Change: 0.593 kPa/m
Elevation: -14 m
Piezometric Line: 1

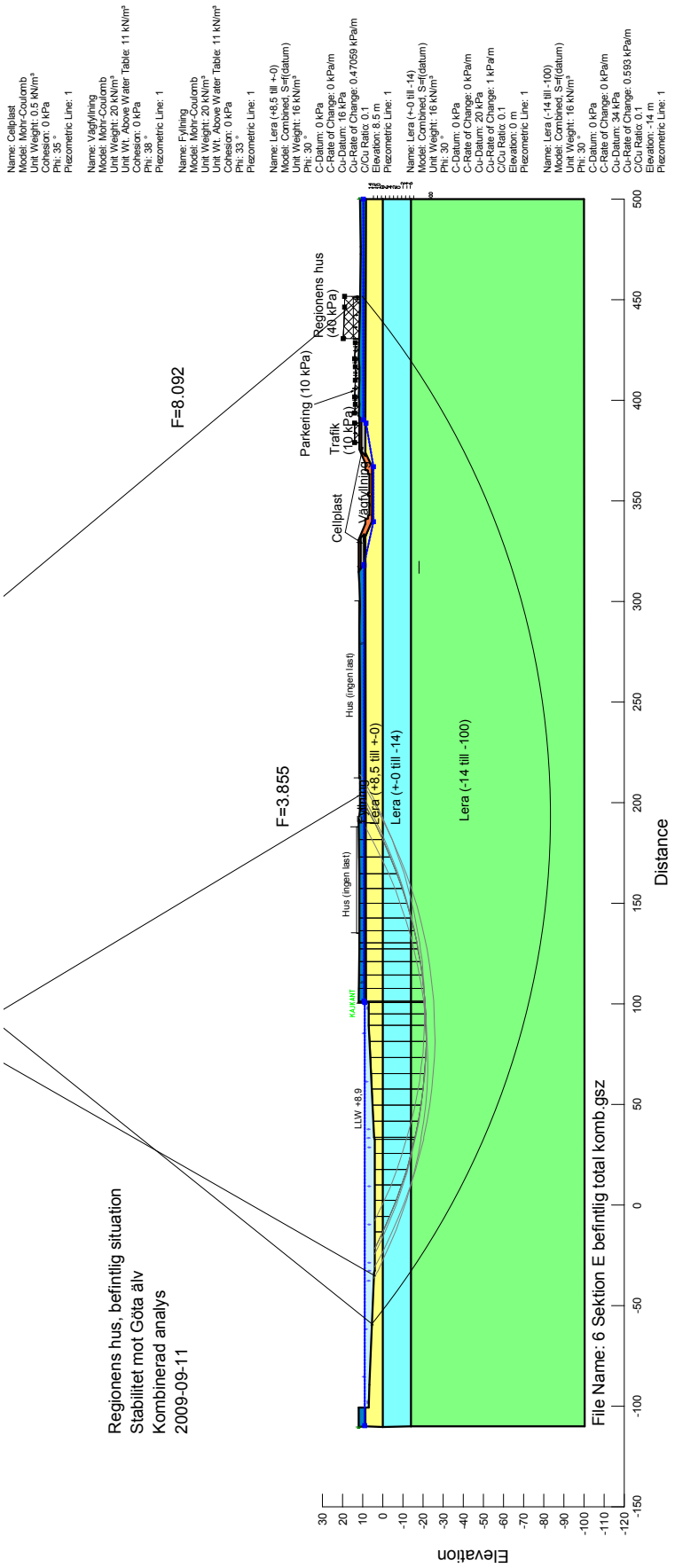
Bilaga C:1

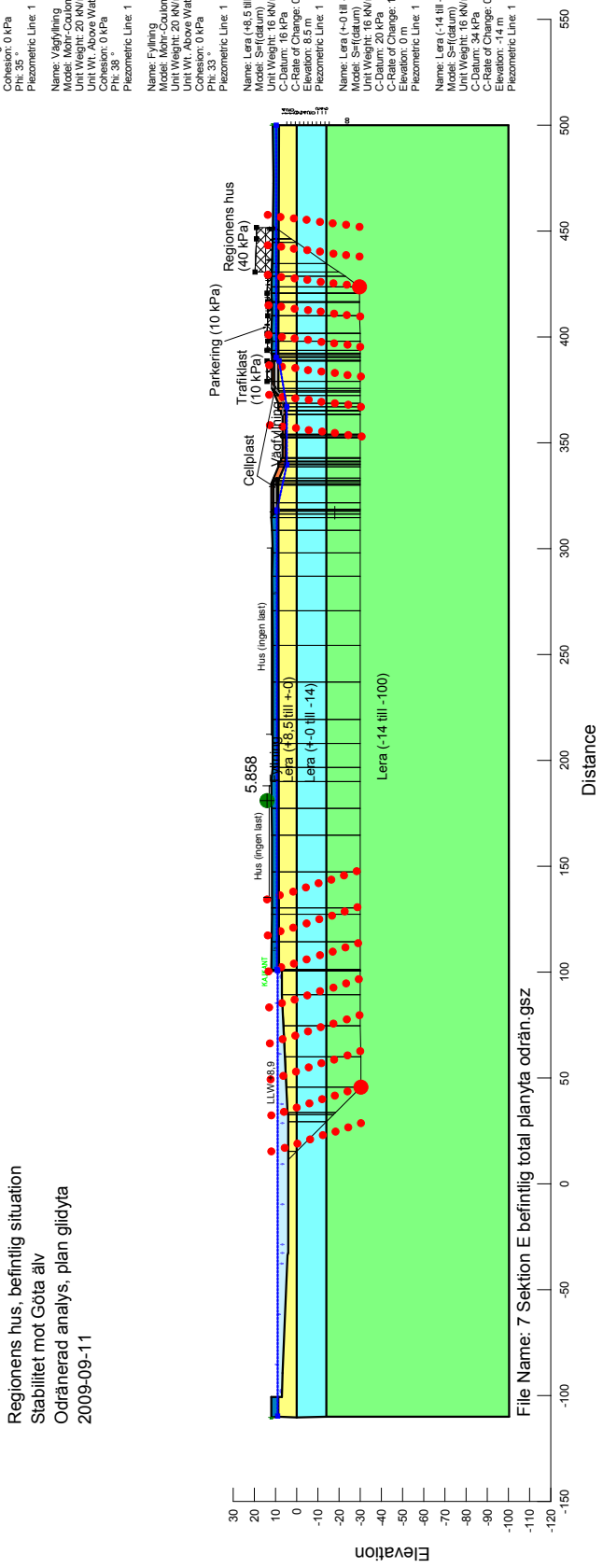

Regionens hus, befintlig situation
Lokal stabilitet mot väg E45
Kombinerad analys
2009-09-16
Name: Cellplast
Model: Mohr-Coulomb
Unit Weight: 0.5 kN/m³
Cohesion: 0 kPa
Phi: 35 °
Piezometric Line: 1
Name: Vägfyllning
Model: Mohr-Coulomb
Unit Weight: 20 kN/m³
Unit Wt. Above Water Table: 11 kN/m³
Cohesion: 0 kPa
Phi: 38 °
Piezometric Line: 1
Name: Fyllning
Model: Mohr-Coulomb
Unit Weight: 20 kN/m³
Unit Wt. Above Water Table: 11 kN/m³
Cohesion: 0 kPa
Phi: 33 °
Piezometric Line: 1
Name: Lera (+8,5 till +-0)
Model: Combined, S=f(datum)
Unit Weight: 16 kN/m³
Phi: 30 °
C-Datum: 0 kPa
C-Rate of Change: 0 kPa/m
Cu-Datum: 16 kPa
Cu-Rate of Change: 0.47059 kPa/m
C/Cu Ratio: 0.1
Elevation: 8.5 m
Piezometric Line: 1
Name: Lera (+-0 till -14)
Model: Combined, S=f(datum)
Unit Weight: 16 kN/m³
Phi: 30 °
C-Datum: 0 kPa
C-Rate of Change: 0 kPa/m
Cu-Datum: 20 kPa
Cu-Rate of Change: 1 kPa/m
C/Cu Ratio: 0.1
Elevation: 0 m
Piezometric Line: 1
Name: Lera (-14 till -100)
Model: Combined, S=f(datum)
Unit Weight: 16 kN/m³
Phi: 30 °
C-Datum: 0 kPa
C-Rate of Change: 0 kPa/m
Cu-Datum: 34 kPa
Cu-Rate of Change: 0.593 kPa/m
C/Cu Ratio: 0.1
Elevation: -14 m
Piezometric Line: 1
Regionens hus
(40 kPa)
Parkering (10 kPa)
Tank
(10 kPa)
Vägfyllning
Cellplast
Fyllning
Lera (+8.5 till +-0)
Lera (+-0 till -14)
Lera (-14 till -100)
1.572
1.60
1.70
Elevation
Distance
File Name: 2 Sektion E befintlig lokal komb.gsz


Regionens hus, befintlig situation
Lokal stabilitet mot väg E45
Odränerad analys, plan glidyta
2009-09-11
Name: Cellplast
Model: Mohr-Coulomb
Unit Weight: 0.5 kN/m³
Cohesion: 0 kPa
Phi: 35 °
Piezometric Line: 1
Name: Vägfyllning
Model: Mohr-Coulomb
Unit Weight: 20 kN/m³
Unit Wt. Above Water Table: 11 kN/m³
Cohesion: 0 kPa
Phi: 38 °
Piezometric Line: 1
Name: Fyllning
Model: Mohr-Coulomb
Unit Weight: 20 kN/m³
Unit Wt. Above Water Table: 11 kN/m³
Cohesion: 0 kPa
Phi: 33 °
Piezometric Line: 1
Name: Lera (+8.5 till +-0)
Model: S=f(datum)
Unit Weight: 16 kN/m³
C-Datum: 16 kPa
C-Rate of Change: 0.47059 kPa/m
Elevation: 8.5 m
Piezometric Line: 1
Name: Lera (+-0 till -14)
Model: S=f(datum)
Unit Weight: 16 kN/m³
C-Datum: 20 kPa
C-Rate of Change: 1 kPa/m
Elevation: 0 m
Piezometric Line: 1
Name: Lera (-14 till -100)
Model: S=f(datum)
Unit Weight: 16 kN/m³
C-Datum: 34 kPa
C-Rate of Change: 0.593 kPa/m
Elevation: -14 m
Piezometric Line: 1
Regionens hus
(40 kPa)
Parkering (10 kPa)
Trafik
(10 kPa)
1.749
Cellplast
Vägfyllning
Fyllning
Lera (+8.5 till +-0)
Lera (+-0 till -14)
Lera (-14 till -100)
Elevation
Distance
20
10
0
-10
-20
-30
-40
-50
-60
-70
-80
-90
-100
-110
-120
220
240
260
280
300
320
340
360
380
400
420
440
460
480
500
520
File Name: 3 Sektion E befintlig lokal planyta odrän.gsz

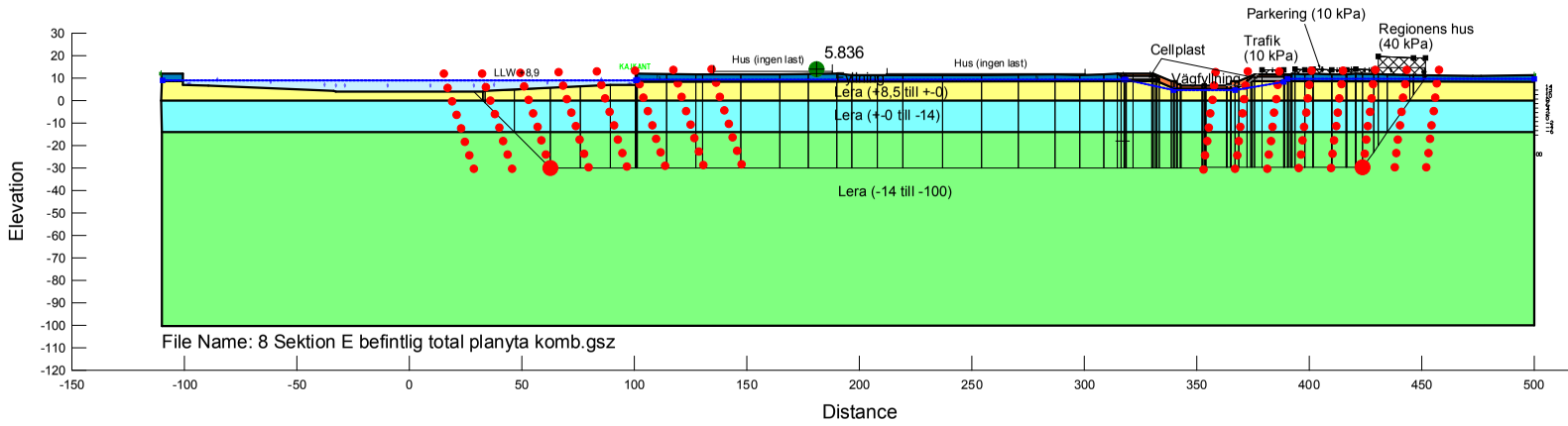

Regionens hus, befintlig situation
Lokal stabilitet mot väg E45
Kombinerad analys, plan glidyta
2009-09-16
Name: Cellplast
Model: Mohr-Coulomb
Unit Weight: 0.5 kN/m³
Cohesion: 0 kPa
Phi: 35 °
Piezometric Line: 1
Name: Vägfyllning
Model: Mohr-Coulomb
Unit Weight: 20 kN/m³
Unit Wt. Above Water Table: 11 kN/m³
Cohesion: 0 kPa
Phi: 38 °
Piezometric Line: 1
Name: Fyllning
Model: Mohr-Coulomb
Unit Weight: 20 kN/m³
Unit Wt. Above Water Table: 11 kN/m³
Cohesion: 0 kPa
Phi: 33 °
Piezometric Line: 1
Name: Lera (+8.5 till +-0)
Model: Combined, S=f(datum)
Unit Weight: 16 kN/m³
Phi: 30 °
C-Datum: 0 kPa
C-Rate of Change: 0 kPa/m
Cu-Datum: 16 kPa
Cu-Rate of Change: 0.47059 kPa/m
C/Cu Ratio: 0.1
Elevation: 8.5 m
Piezometric Line: 1
Name: Lera (+-0 till -14)
Model: Combined, S=f(datum)
Unit Weight: 16 kN/m³
Phi: 30 °
C-Datum: 0 kPa
C-Rate of Change: 0 kPa/m
Cu-Datum: 20 kPa
Cu-Rate of Change: 1 kPa/m
C/Cu Ratio: 0.1
Elevation: 0 m
Piezometric Line: 1
Name: Lera (-14 till -100)
Model: Combined, S=f(datum)
Unit Weight: 16 kN/m³
Phi: 30 °
C-Datum: 0 kPa
C-Rate of Change: 0 kPa/m
Cu-Datum: 34 kPa
Cu-Rate of Change: 0.593 kPa/m
C/Cu Ratio: 0.1
Elevation: -14 m
Piezometric Line: 1
Regionens hus
(40 kPa)
Parkering (10 kPa)
Trafik
(10 kPa)
1.749
Cellplast
Vägfyllning
Fyllning
Lera (+8.5 till +-0)
Lera (+-0 till -14)
Lera (-14 till -100)
Elevation
Distance
File Name: 4 Sektion E befintlig lokal planyta komb.gsz


Name: Cellplast
Model: Mohr-Coulomb
Unit Weight: 0.5 kN/m³
Cohesion: 0 kPa
Phi: 35 °
Piezometric Line: 1
Name: Vägfyllning
Model: Mohr-Coulomb
Unit Weight: 20 kN/m³
Unit Wt. Above Water Table: 11 kN/m³
Cohesion: 0 kPa
Phi: 38 °
Piezometric Line: 1
Name: Fyllning
Model: Mohr-Coulomb
Unit Weight: 20 kN/m³
Unit Wt. Above Water Table: 11 kN/m³
Cohesion: 0 kPa
Phi: 33 °
Piezometric Line: 1
Name: Lera (+8.5 till +-0)
Model: S=f(datum)
Unit Weight: 16 kN/m³
C-Datum: 15 kPa
C-Rate of Change: 0.47059 kPa/m
Elevation: 8.5 m
Piezometric Line: 1
Name: Lera (+-0 till -14)
Model: S=f(datum)
Unit Weight: 16 kN/m³
C-Datum: 20 kPa
C-Rate of Change: 1 kPa/m
Elevation: 0 m
Piezometric Line: 1
Name: Lera (-14 till -100)
Model: S=f(datum)
Unit Weight: 16 kN/m³
C-Datum: 34 kPa
C-Rate of Change: 0.593 kPa/m
Elevation: -14 m
Piezometric Line: 1
F=8.109
F=3.901
Regionens hus (40 kPa)
Parkering (10 kPa)
Trafiklast (10 kPa)
Cellplast
Vägfyllning
Hus (ingen last)
Hus (ingen last)
Fyllning
Lera (+8,5 till +-0)
Lera (+-0 till -14)
Lera (-14 till -100)
KAJKANT
LLW +8,9
Regionens hus, befintlig situation
Stabilitet mot Göta älv
Odränerad analys
2009-09-11
File Name: 5 Sektion E befintlig total odrän.gsz
Elevation
Distance
30
20
10
0
-10
-20
-30
-40
-50
-60
-70
-80
-90
-100
-110
-120
-150
-100
-50
0
50
100
150
200
250
300
350
400
450
500
550


Regionens hus, befintlig situation
Stabilitet mot Göta älv
Kombinerad analys
2009-09-11
File Name: 6 Sektion E befintlig total komb.gsz
F=8.092
F=3.855
Regionens hus (40 kPa)
Parkering (10 kPa)
Trafik (10 kPa)
Cellplast
Vägfyllning
Hus (ingen last)
Hus (ingen last)
KAJKANT
LLW +8.9
Lera (+8.5 till +-0)
Lera (+-0 till -14)
Lera (-14 till -100)
Name: Cellplast
Model: Mohr-Coulomb
Unit Weight: 0.5 kN/m³
Cohesion: 0 kPa
Phi: 35 °
Piezometric Line: 1
Name: Vägfyllning
Model: Mohr-Coulomb
Unit Weight: 20 kN/m³
Unit Wt. Above Water Table: 11 kN/m³
Cohesion: 0 kPa
Phi: 38 °
Piezometric Line: 1
Name: Fyllning
Model: Mohr-Coulomb
Unit Weight: 20 kN/m³
Unit Wt. Above Water Table: 11 kN/m³
Cohesion: 0 kPa
Phi: 33 °
Piezometric Line: 1
Name: Lera (+8.5 till +-0)
Model: Combined; S=f(datum)
Unit Weight: 16 kN/m³
Phi: 30 °
C-Datum: 0 kPa
C-Rate of Change: 0 kPa/m
Cu-Datum: 16 kPa
Cu-Rate of Change: 0.47059 kPa/m
C/Cu Ratio: 0.1
Elevation: 8.5 m
Piezometric Line: 1
Name: Lera (+-0 till -14)
Model: Combined; S=f(datum)
Unit Weight: 16 kN/m³
Phi: 30 °
C-Datum: 0 kPa
C-Rate of Change: 0 kPa/m
Cu-Datum: 20 kPa
Cu-Rate of Change: 1 kPa/m
C/Cu Ratio: 0.1
Elevation: 0 m
Piezometric Line: 1
Name: Lera (-14 till -100)
Model: Combined; S=f(datum)
Unit Weight: 16 kN/m³
Phi: 30 °
C-Datum: 0 kPa
C-Rate of Change: 0 kPa/m
Cu-Datum: 34 kPa
Cu-Rate of Change: 0.593 kPa/m
C/Cu Ratio: 0.1
Elevation: -14 m
Piezometric Line: 1
Elevation
Distance
30
20
10
0
-10
-20
-30
-40
-50
-60
-70
-80
-90
-100
-110
-120
-150
-100
-50
0
50
100
150
200
250
300
350
400
450
500


Name: Cellplast
Model: Mohr-Coulomb
Unit Weight: 0,5 kN/m³
Cohesion: 0 kPa
Phi: 35 °
Piezometric Line: 1
Name: Vägfyllning
Model: Mohr-Coulomb
Unit Weight: 20 kN/m³
Unit Wt. Above Water Table: 11 kN
Cohesion: 0 kPa
Phi: 38 °
Piezometric Line: 1
Name: Fyllning
Model: Mohr-Coulomb
Unit Weight: 20 kN/m³
Unit Wt. Above Water Table: 11 kN
Cohesion: 0 kPa
Phi: 33 °
Piezometric Line: 1
Name: Lera (+8,5 till +-0)
Model: Su=f(datum)
Unit Weight: 16 kN/m³
C-Datum: 16 kPa
C-Rate of Change: 0.47059 kPa/m
Elevation: 8,5 m
Piezometric Line: 1
Name: Lera (+-0 till -14)
Model: Su=f(datum)
Unit Weight: 16 kN/m³
C-Datum: 20 kPa
C-Rate of Change: 1 kPa/m
Elevation: 0 m
Piezometric Line: 1
Name: Lera (-14 till -100)
Model: Su=f(datum)
Unit Weight: 16 kN/m³
C-Datum: 34 kPa
C-Rate of Change: 0.593 kPa/m
Elevation: -14 m
Piezometric Line: 1
Regionens hus, befintlig situation
Stabilitet mot Göta älv
Odränerad analys, plan glidyta
2009-09-11
Regionens hus (40 kPa)
Parkering (10 kPa)
Trafiklast (10 kPa)
Cellplast
Vägfyllning
Hus (ingen last)
Hus (ingen last)
5.858
Lera (48.5 till +-0)
Lera (+-0 till -14)
Lera (-14 till -100)
LLW 8,9
Elevation
Distance
File Name: 7 Sektion E befintlig total planyta odrän.gsz

Regionens hus, befintlig situation
Stabilitet mot Göta älv
Kombinerad analys, plan glidyta
2009-09-16



Name: Cellplast
Model: Mohr-Coulomb
Unit Weight: 0.5 kN/m³
Cohesion: 0 kPa
Phi: 35 °
Piezometric Line: 1

Name: Vägfyllning
Model: Mohr-Coulomb
Unit Weight: 20 kN/m³
Unit Wt. Above Water Table: 11 kN/m³
Cohesion: 0 kPa
Phi: 38 °
Piezometric Line: 1

Name: Fyllning
Model: Mohr-Coulomb
Unit Weight: 20 kN/m³
Unit Wt. Above Water Table: 11 kN/m³
Cohesion: 0 kPa
Phi: 33 °
Piezometric Line: 1

Name: Lera (+8,5 till +-0)
Model: Combined, S=f(datum)
Unit Weight: 16 kN/m³
Phi: 30 °
C-Datum: 0 kPa
C-Rate of Change: 0 kPa/m
Cu-Datum: 16 kPa
Cu-Rate of Change: 0.47059 kPa/m
C/Cu Ratio: 0.1
Elevation: 8.5 m
Piezometric Line: 1

Name: Lera (+-0 till -14)
Model: Combined, S=f(datum)
Unit Weight: 16 kN/m³
Phi: 30 °
C-Datum: 0 kPa
C-Rate of Change: 0 kPa/m
Cu-Datum: 20 kPa
Cu-Rate of Change: 1 kPa/m
C/Cu Ratio: 0.1
Elevation: 0 m
Piezometric Line: 1

Name: Lera (-14 till -100)
Model: Combined, S=f(datum)
Unit Weight: 16 kN/m³
Phi: 30 °
C-Datum: 0 kPa
C-Rate of Change: 0 kPa/m
Cu-Datum: 34 kPa
Cu-Rate of Change: 0.593 kPa/m
C/Cu Ratio: 0.1
Elevation: -14 m
Piezometric Line: 1

Bilaga C:8

Bilaga 4

Ärendenummer
TRV2012/16353

Dokumentdatum
2013-08-30

Uppdragsnummer
Version: D

Sidor
1(26)

TRAFIKVERKET

Västlänken
PM F 05 – 018
Stabilitet befintliga förhållanden

BILAGA CH
Linje Station Centralen – Station Haga

Revideringen avser:		
Avsnitt	Revideringen avser	Reviderad av

Upprättad av:	Urban Högsta	
Granskad av:	Ola Skepp	

Innehåll

1 Allmänt ... 3
2 Geotekniska undersökningar ... 4
2.1 Tidigare utförda undersökningar och utredningar ... 4
2.2 Utförda undersökningar och utredningar ... 4
3 Geoteknisk översikt ... 4
3.1 Topografi och områdesbeskrivning ... 4
3.2 Befintliga kajkonstruktioner ... 6
3.3 Befintliga geotekniska förstärkningsåtgärder ... 12
3.4 Geotekniska förhållanden ... 13
4 Stabilitet ... 20
4.1 Allmänt ... 20
4.2 Erforderlig säkerhetsfaktor ... 20
4.3 Beräkningsförutsättningar ... 21
4.4 Stabilitetsanalyser för befintliga förhållanden ... 23
4.5 Sammanställning av utförda stabilitetsanalyser ... 26
5 Slutsatser och rekommendationer ... 26

Bilaga CH.1 Stabilitetsanalyser

1 Allmänt

Inom uppdraget Västlänken AKF5 Geoteknik har den befintliga stabilitetssituationen längs med Västlänkens planerade sträckning analyserats. Utförda stabilitetutredningar/bedömningar syftar till att beskriva den befintliga stabiliteten i samband med upprättande av järnvägsplan, detaljplaner samt ansökan om tillstånd för vattenverksamhet.

Syftet med utredningen är att klarlägga stabilitetsförhållanden för befintliga förhållanden längs med Västlänkens sträckning.

Denna detaljerade stabilitetsutredning avser **delområde Linje Station Centralen – Station Haga (CH)**. Området framgår av Figur 1.



Figur 1 Översiktskarta över utredningsområdet.

Utredningen har utförts i enlighet med IEG Rapport 4:2010 ”Tillståndsbedömning/klassificering av naturliga slänter och slänter med befintlig bebyggelse och anläggningar, Vägledning för tillämpning av Skredkommissionens rapporter 3:95 och 2:96 (delar av)”.

2 Geotekniska undersökningar

2.1 Tidigare utförda undersökningar och utredningar

Inom och i anslutning till det aktuella undersökningsområdet har ett stort antal geotekniska undersökningar utförts under årens lopp. Materialet är mycket omfattande och innehåller såväl en stor mängd sonderingar som en stor mängd hållfasthetsbestämningar som underlag för nu utförda stabilitetsberäkningar. Tidigare undersökningar redovisas i *PM F 05 – 001 Inventering av tidigare utförda undersökningar, PM F 05 – 004 Markteknisk undersökningsrapport Geoteknik* för Västlänken med tillhörande ritningar och digitala geoarkiv.

Under 2011 utförde Sweco detaljerade stabilitetsutredningar dels längs Göta älv mellan Gullbergsvass och Stora Hamnkanalen och dels längs Stora Hamnkanalen mellan Brunnsparken och Residensbron. Utredningarna utfördes inom ramen för en stabilitetskartering på uppdrag av Stadsbyggnadskontoret, Göteborgs stad. Vidare utfördes även en geoteknisk utredning för en järnvägsplan till den nya spårväg som planeras inom ramen för projekt Skeppsbron. Samtliga av dessa utredningen har beaktats vid bedömning av stabilitetsförhållandena längs såväl Göta älv som Stora Hamnkanalen.

- *Detaljerad stabilitetsutredning inom Göteborgs stad, Delområde S114*
  Sweco Infrastructure AB, 2011-09-15
- *Detaljerad stabilitetsutredning inom Göteborgs stad, Delområde S302*
  Sweco Infrastructure AB, 2011-09-15
- *Järnvägsplan för spårväg Skeppsbron, Järntorget – Stenpiren – Lilla torget*
  Sweco Infrastructure AB, 2011-09-14

2.2 Utförda undersökningar och utredningar

Ett stort antal geotekniska fält- och laboratorieundersökningar har utförts inom ramen för projekt Västlänken. Nu utförda undersökningar redovisas i sin helhet i *PM F 05 – 004 Markteknisk undersökningsrapport Geoteknik* med tillhörande ritningar och digitala geoarkiv.

3 Geoteknisk översikt

3.1 Topografi och områdesbeskrivning

Utredningsområdet sträcker sig mellan Götatunnelns norra nedfart till Otterhällan. Området utgörs närmast älven av kaj- och hamnkonstruktioner. Vidare utgörs markytorna i huvudsak av gator, vägar, parkeringsytor och gångstråk. Marken närmast kajerna är relativt plan och marknivån ligger idag på nivån ca +2. Marknivån når upp till ca +20 på Kvarnberget och ca +35 på Otterhällan.

Området som idag utgörs av Packhusplatsen och Packhuskajen var vattenområde fram till i början av 1800-talet, då området började fyllas ut. Före utfyllnaden låg strandlinjen precis utanför befästningarna nedanför Kvarnberget, se Figur 2. Innanför bastionen vid nuvarande Packhusplatsen låg det en rektangelformad, ca 35 m bred, hamnbassäng (Kronans Masthamn) som anlades på 1600-talet. Hamnbassängen mynnade i Stora Hamnkanalen och sträckte sig norrut till i höjd med Kronhusgatan, se Figur 2. Masthamnen fylldes igen i mitten av 1800-talet. Rester från befästningarnas nedre delar och rester från kajmurarna för Masthamnen finns kvar under nuvarande gator och parkeringsytor.

Källa, Jubileumsutställningen 1923



Göteborg år 1820



Göteborg år 1860



Göteborg år 1890

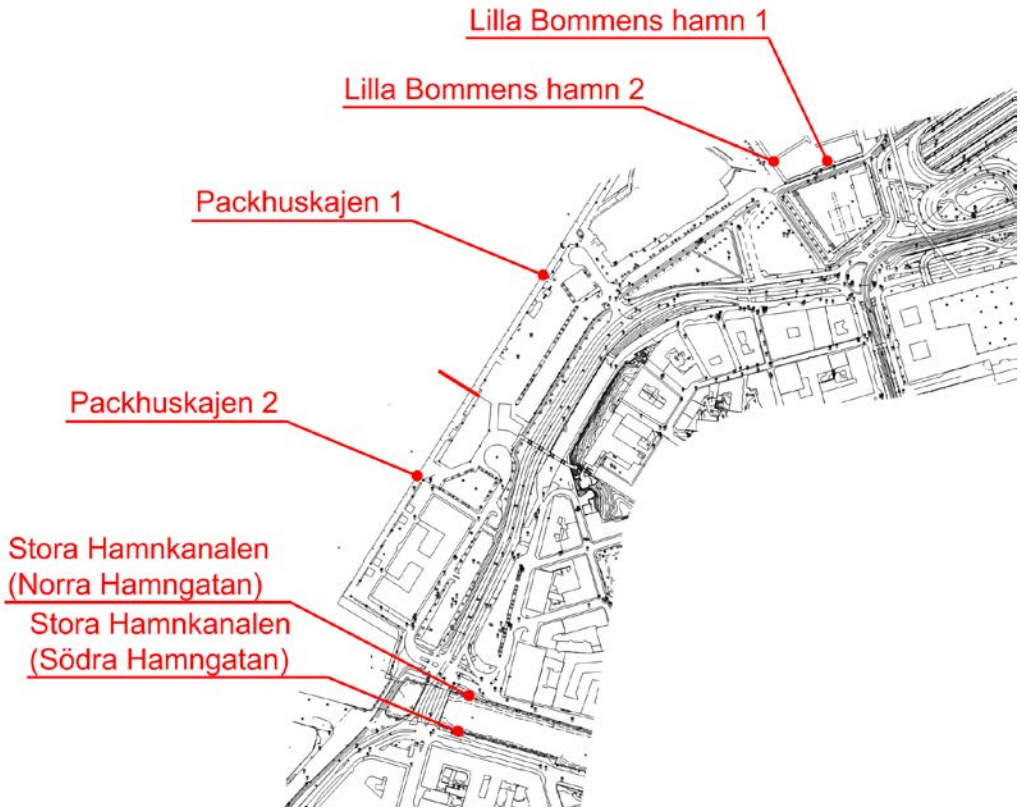


Göteborg år 1920

Figur 2 Historiska kartor som visar utreningsområdets utveckling och utfyllnader under 1800-talet.

3.2 Befintliga kajkonstruktioner

Längs Göra älv och Stora Hamnkanalen finns ett antal olika kajkonstruktioner som är byggda/renoverade under olika perioder. I detta avsnitt redovisas respektive kajkonstruktion och läget för de olika konstruktionerna illustreras geografiskt i Figur 3.



Figur 3 Indelning av kajerna längs området där varje del representerar en typ av kajkonstruktion.

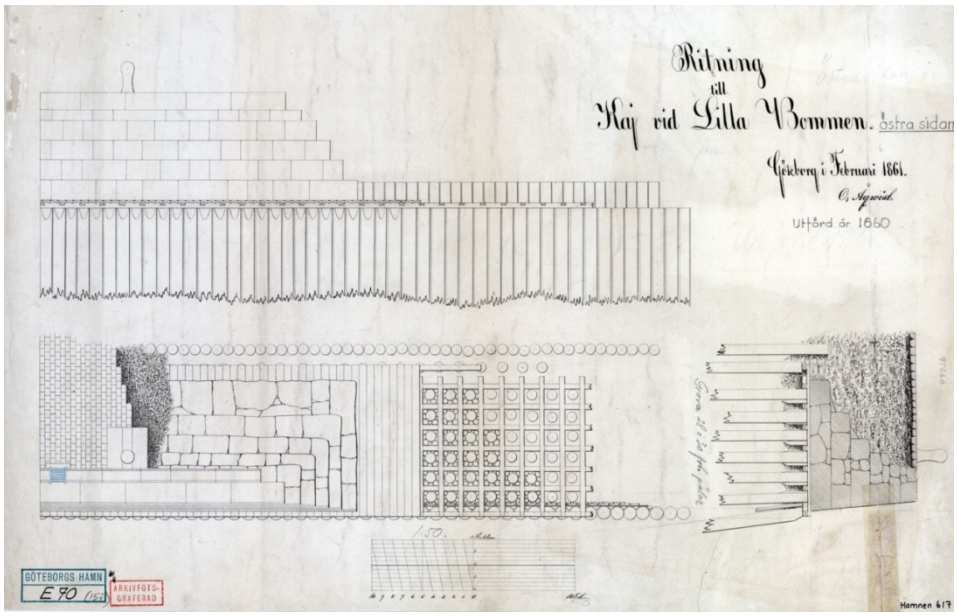
Lilla Bommens hamn

Området som benämns Lilla Bommen utgörs av kajer som ursprungligen byggdes mellan år 1855-1860. Till följd av ojämna och relativt stora sättningar utfördes en förstärkning av större delen av den västra kajen under 1920-talet (Lilla Bommens hamn 2 i Figur 3). Den ursprungliga kajens konstruktion (Lilla Bommens hamn 1 i Figur 3) består av en stenmur som pålats (träpålar) i fem pålrader. Pålningen innesluts på ömse sidor av pålsponter, se Figur 4. Figur 5 illustrerar hur sättningar medfört att den ursprungliga kajkonstruktionen börjat luta. Ombyggnaden bestod av att en ny pålrad med 12 m långa träpålar slogs utanför den ursprungliga konstruktionen där en ny frontmur av betong gjöts ovanpå. Dessutom slogs en ny träspont utanför den nya pålraden som förankrades i betongmuren.

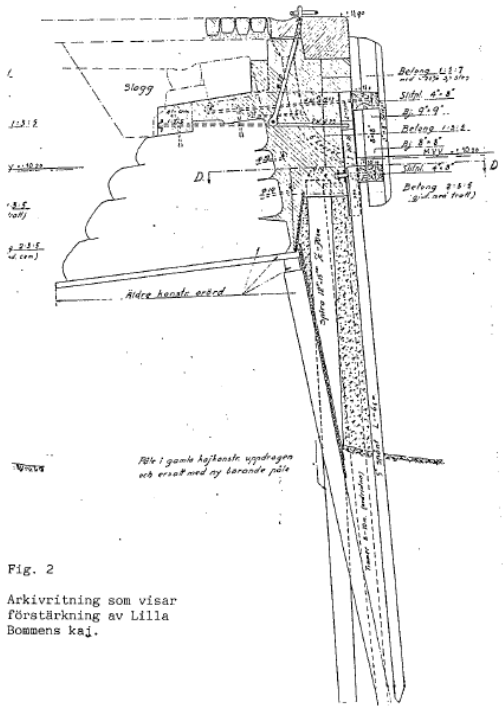
År 1991 utfördes en inspektion (Skanska Teknik AB) av den ombyggda sträckan där det konstaterades att kajens skick generellt då var av god kvalitet. Enda anmärkningen bestod av att träspontens översta del var angripen av rötsvamp och därav något förruttnad.

Lilla Bommens hamn används till kommersiell båttrafik samt är en hållplats för Älvsnabben. Den västra delen av hamnen utgörs av flytbryggor för förtöjning av fritidsbåtar.

Hamnens innersta del ansluter till lokalvägar samt Götatunneln. Östra Hamnkanalen mynnade ursprungligen i Lilla Bommens hamn men fylldes igen år 1936 för att ge plats åt spårvägens utbyggnad.



Figur 4 *Kajkonstruktion för kajerna vid Lilla Bommens hamn (Lilla Bommens hamn 1 i Figur 3).*



Figur 5 *Konstruktionsritning av den ombyggda kajen som utfördes under 1920-talet (Lilla Bommens hamn 2 i Figur 3).*

Packhuskajen

Packhuskajen byggdes i två omgångar med två olika konstruktioner. Den södra delen (Packhuskajen 2 i Figur 3) stod klar år 1867 och den norra delen (Packhuskajen 1 i Figur 3) byggdes under 1870-talet. Konstruktionen inom den södra delen består av en stensatt mur som är grundlagd på träpålar i totalt sju pålrader, se Figur 6. Bakom muren är marken förstärkt med ytterligare fyra pålrader. Till följd av stora sättningar under kajens första år började kajen påtagligt att luta varpå marken bakom kajkonstruktionen

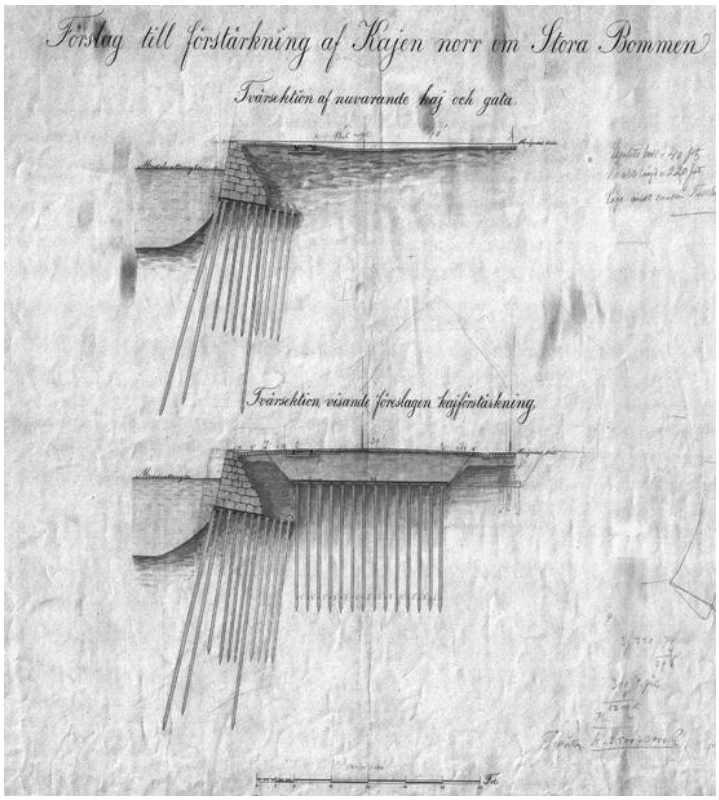
förstärktes med ett 7 m brett påldäck av träpålar. Pålarnas längd inom hela konstruktionen varierar mellan 5 och 8 meter.

Vidare utgörs konstruktionen inom den norra delen av Packhuskajen av en mur i granit vilken är grundlagd på 12 m långa träpålar i sex pålrader enligt Figur 7. Mellan pålarna och muren lades två lager virke för att fördela lasten från muren. Pålarna innesluts av korslagt virke till ett djup av 3,5 m under pålavskärningsnivån. Det korslagda virket bildar celler där varje cell innehåller 9 st pålar samt en grusfyllnad. Utanför pålarna finns en träspont och mot denna spont har en stödfyllning lagts ut. Bakom kajkonstruktionen har en bankpålning av träpålar med bredden ca 15 m utförts. Ovan denna pålning lades tre lager risfaskiner (risbäddar) i syfte att fördela lasten från ovanliggande fyllning.

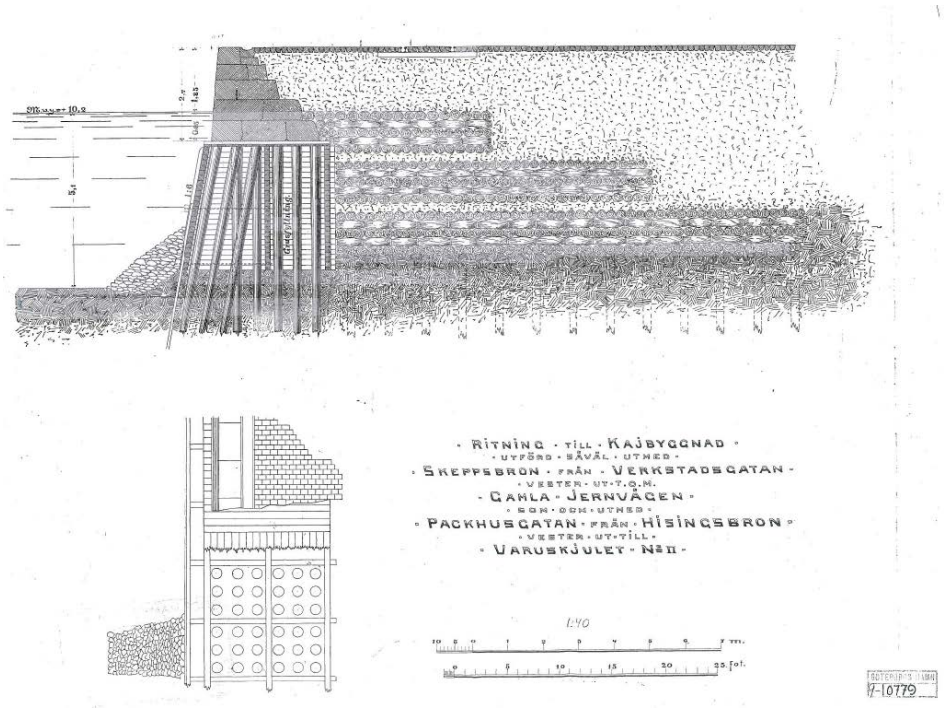
Inspektionen av den västra kajen inom Lilla Bommens kaj omfattade även hela Packhuskajen. Inspektionsrapporten visade att murens skick i stort sätt var intakt. Vidare konstaterades det att såväl pålarna som inneslutningen och virket ovan pålarna är hårt angripet av rötsvamp. Detta har medfört att anliggningen dels mellan pålarna och det ovanpåliggande virket respektive mellan det sistnämnda och muren inom stora delar av kajsträckan saknas. Sättningsmätningar som utfördes inom ramen för kajens inspektion visar på ojämna sättningar inom området samt att kajplanen troligen har satt sig mer en själva kajen. Sättningarna bedömdes vid tiden för inspektionen till 3-4 mm/år inom vissa delar av kajens sträckning.

Kajen längst i söder, mot Stor Hamnkanalen och Stenpiren, består innerst av motsvarande konstruktionstyp som gäller för den ursprungliga kajen i Lilla Bommens hamn. Utanför denna konstruktion har det byggts en 8 m bred träbrygga. Bryggan är grundlagd på träpålar som är kapade 0,5 m under medelvattenståndet och ansluts till bryggan med 2 m långa stålbalkar. En inspektion av denna del utfördes på uppdrag av Trafikkontoret under år 2006 och visar att framförallt stålbalkarna är av mycket dåligt skick. Restriktioner att inga fordon får beträda denna del av bryggan gäller sedan år 2007.

I den östra delen av området ligger Göteborgsoperan (invigd år 1994) som är grundlagd på långa kohesionspålar med mycket varierande längd. Inom den mittersta och sydvästra delen av Packhuskajen ligger Kajskjul 8 respektive kasinot. Båda dessa byggnader är pålade där kasinot är grundlagt på 18 m långa träpålar och Kajskjul 8 är grundlagd på träpålar med okänd längd.



Figur 6 Packhuskajens södra del inklusive förstärkningsåtgärd (Packhuskajen 2 i Figur 3).



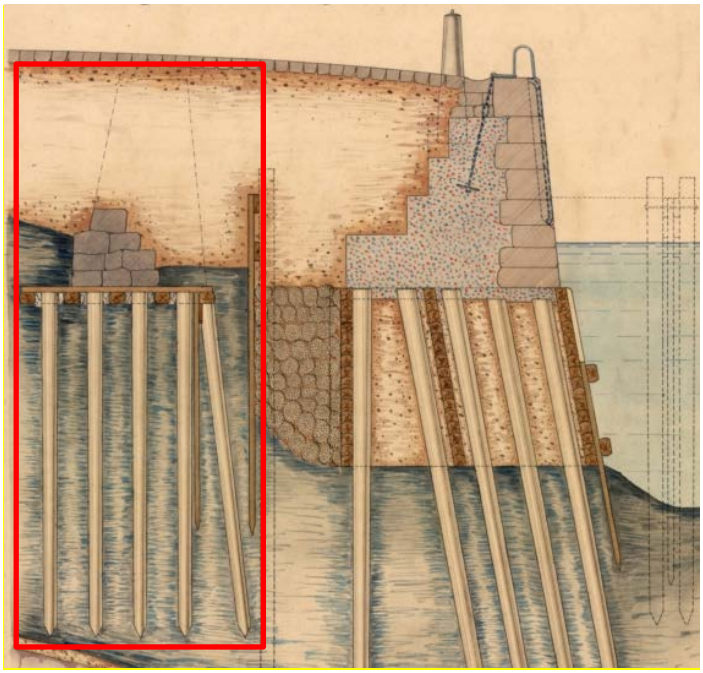
Figur 7 Packhuskajens norra del (Packhuskajen 1 i Figur 3).

Stora Hamnkanalen (Norra Hamngatan)

Ett begränsat underlag finns gällande kajkonstruktioner längs Norra Hamngatan. Kajkonstruktionen bedöms utgöras av en murad kajmur som står på en rustbädd av korslagt virke vilken i sin tur är grundlagd på träpålar i 4-5 rader likt den rödmarkerade delen av Figur 8. Detta bedömda utförande stärks av en dykinspektion som utfördes år 2011 av FROG marinservice (”*Dykinspektion Hamnkanalen, Residensbron till Kämpebron – Göteborg, 2011-06-17*”). Dykinspektionen visar att såväl pålar som rustbädd generellt är skadade och att anliggningen mellan dessa på många ställen är bristfälliga.

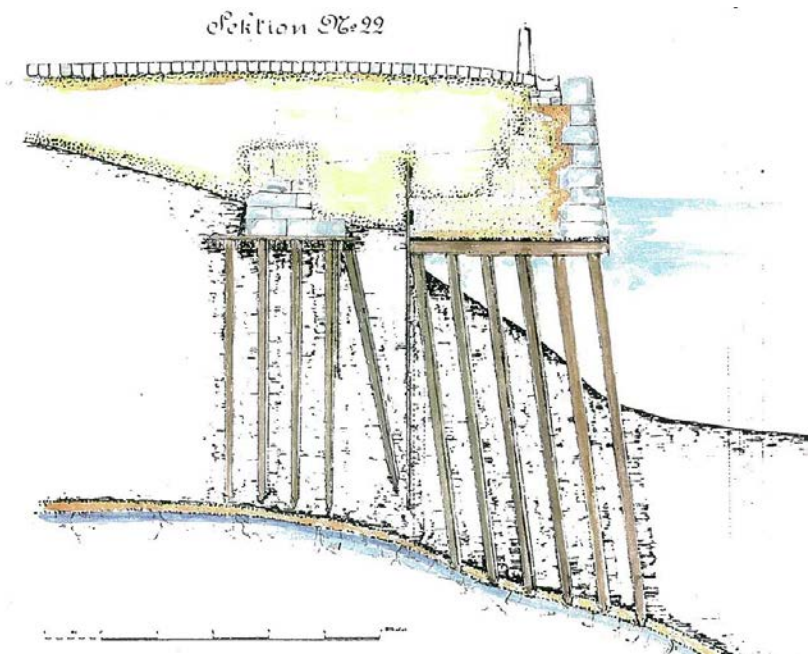
Stora Hamnkanalen (Södra Hamngatan)

Stora Hamnkanalen anlades under åren 1620-1622. Den ursprungliga kajkonstruktion illustreras inom den röda rutan i Figur 8 och består av en kajmur utav huggen granit som står på en rustbädd av trä. Rustbädden bärs upp av ca 5 m långa träpålar som är slagna i 5 rader.



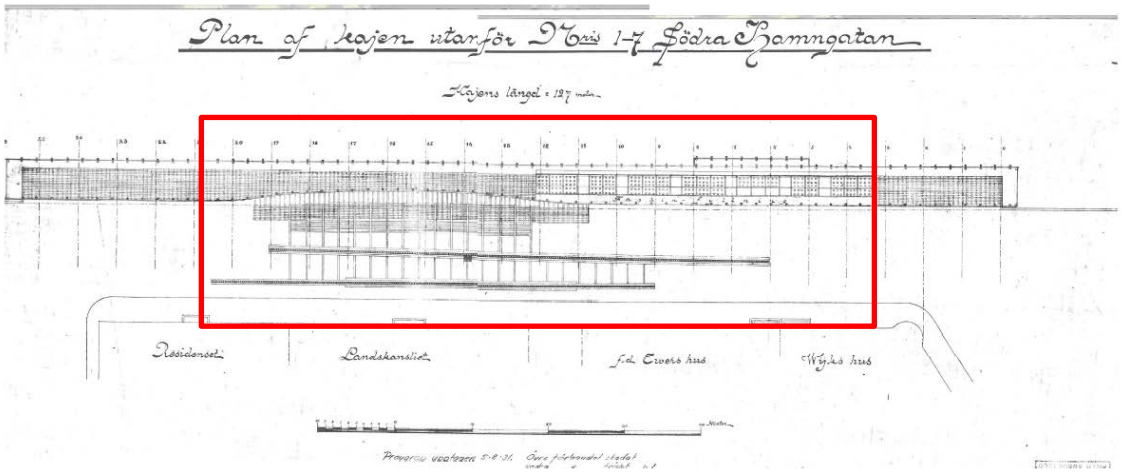
Figur 8 Röd ruta markerar ursprunglig kajkonstruktion längs Södra Hamngatan.

Vid kajsträckan mellan Residensbron och Lilla Torget utfördes det år 1893 en omfattande ombyggnation. Stadens dåvarande byggnadschef, Major Philip Åqvist tog beslutet år 1892 att bygga om kajen eftersom den ursprungliga kajen förflyttats 5 cm på 2 år ut mot kanalen. Ombyggnationen bestod av att en ny kajkonstruktion uppfördes ca 5 m utanför den ursprungliga som revs när bygget av den nya var färdigställt. Planen var från början att den nya kajkonstruktionen skulle uppföras enligt den som visas i Figur 9. Denna konstruktion består av en kajmur som till största del utgörs av betong men där fronten utgörs av huggen granit. Kajmuren är grundlagd på en rustbädd som står på träpålar som slagits i sex rader. Brädden på rustbädden är ca 3,5 m och pålarna är slagna till fast botten.



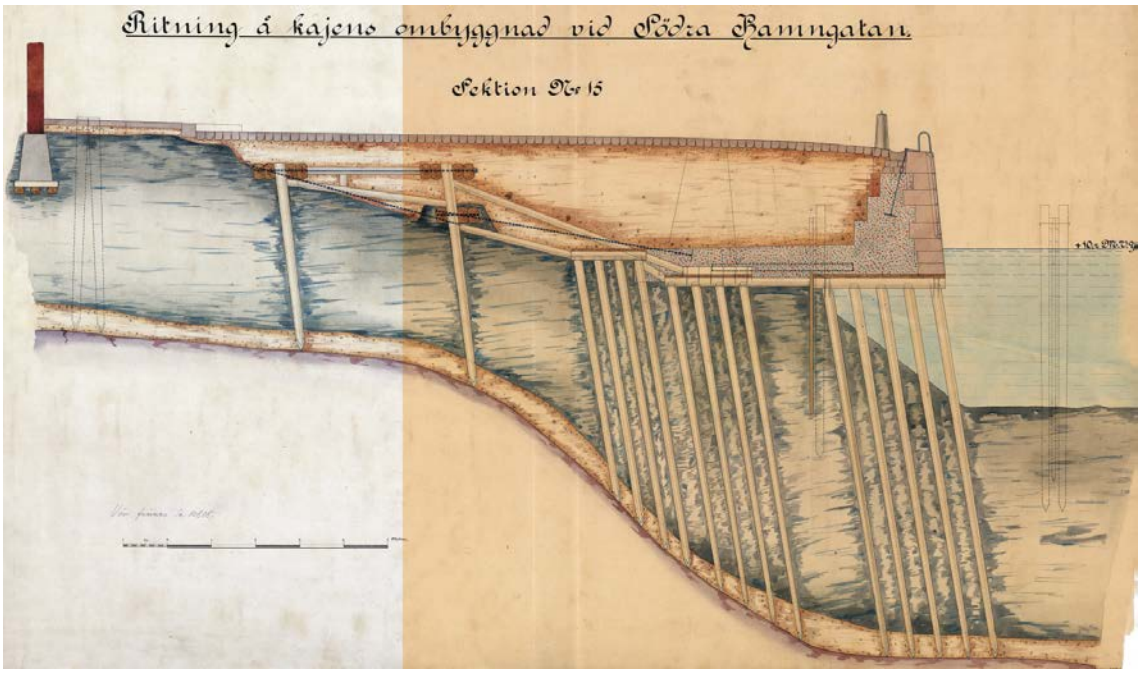
Figur 9 *Kajkonstruktion för stora delar av den nuvarande kajen vid sträckan Residenset-Lilla Torget längs Södra Hamngatan.*

Då arbetet fortskridit fram till Landskanslibyggnaden strax öster om Residenset uppstod förskjutningar när pålarna slogs. Detta medförde att ytterligare åtgärder var nödvändiga. Figur 10 illustrerar i plan de olika kajkonstruktionerna inom sträckan mellan Residenset och Lilla Torget. Den röda rutan markerar de delar av sträckan där förstärkningsåtgärderna utfördes.



Figur 10 *Planritning illustrerande den ombyggda (nuvarande) kajen längs Södra Hamngatan mellan Residenset och Lilla Torget. Röd ruta markerar den sträcka där förstärkningar fick utföras till följd av stora förskjutningar under byggandet.*

Förstärkningsåtgärderna utfördes i två olika utföranden. Den mest betydande förstärkningen utfördes enligt Figur 11 där betongdelen av kajmuren bräddades och grundlades på fler träpålar. Pålarna slogs även här till fast botten samt att ytterligare två pålrader slogs innanför och förankrades med dragstag i konstruktionen.



Figur 11 Kajkonstruktion vid den västra delen av den förstärkta kajsträckan mellan Residenset och Lilla Torget.

Andra delen av den förstärkta kajsträckan uppfördes i enlighet med den konstruktion som illustreras i Figur 8. Denna konstruktion bestod överst av en kajmur av i huvudsak betong men där fronten bestod av huggen granit. Denna mur grundlades på träpålar i fem pålrader till fast botten. Runt dessa pålars övre del byggdes stenkistor bestående av korslagt virke och där hålrummen fylldes med grus. En bit innanför stenkistan slogs en mindre spont och mellanrummet till stenkistan fylldes med virke i syfte att minska jordtrycket.

Tidigare nämnd dykinspektion visar att pålar och rustbädd även längs Södra Hamngatan bitvis är skadade samt att anliggningen mellan dessa båda konstruktionsdelar bitvis är bristfälliga.

Planerade åtgärder inom ramen för Projekt Skeppsbron

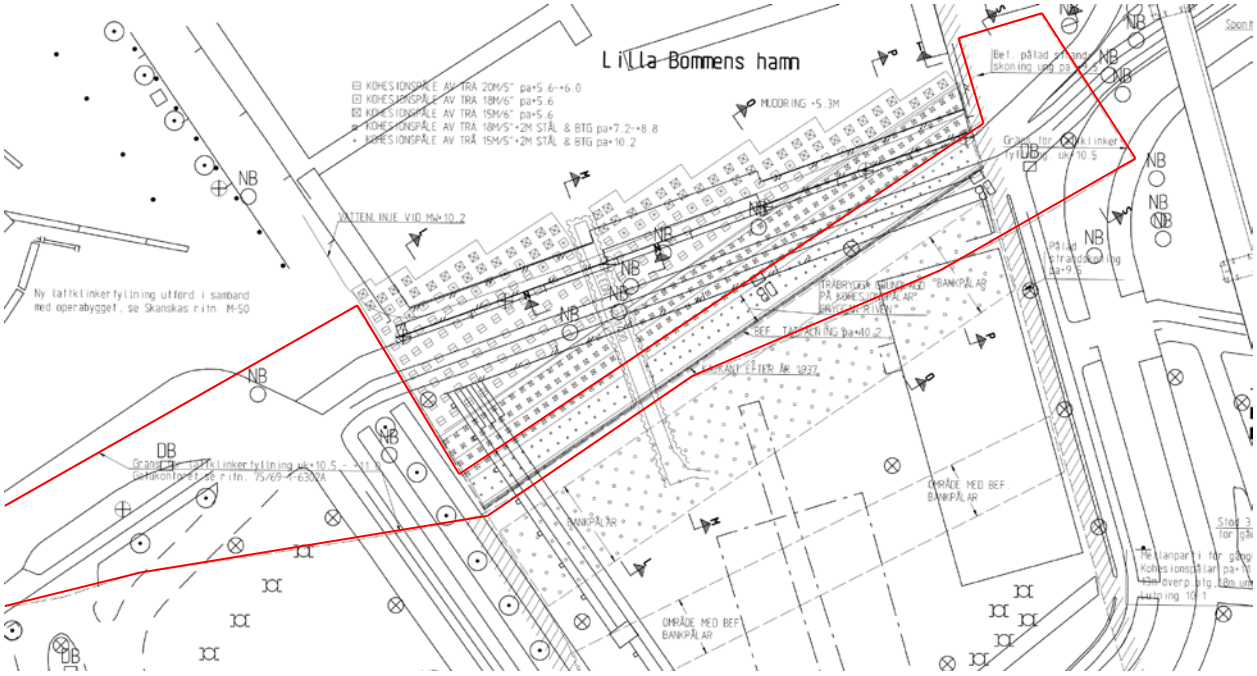
Omfattande åtgärder är planerade att utföras i Södra Hamngatan inom ramen för projekt Skeppsbron. Dessa planerade åtgärder kommer att utföras före anläggandet av Västlänken påbörjas varför de i det läget kommer att betraktas som befintliga, se vidare kapitel 3.3.

3.3 Befintliga geotekniska förstärkningsåtgärder

Inom utredningsområdet har ett flertal olika förstärkningsåtgärder utförts genom åren. Förstärkningsåtgärderna utgörs i huvudsak av bankpålningar och påldäck men även lättfyllnader återfinns inom området. Nedan beskrivs översiktligt exempel på förstärkningsåtgärder som återfinns inom delområdet där stabiliteten inom denna utredning har analyserats. Övriga förstärkningsåtgärder samt en mer detaljerad beskrivning återfinns i *”PM F 05 – 002 Befintliga grundförstärkningar och grundrester”*.

Bankpålning och lättklinkerfyllnad intill Lilla Bommens hamn

I anslutning till kajen längst in i Lilla Bommens hamn har ett flertal olika förstärkningsåtgärder utförts. Förstärkningsåtgärderna utgörs av såväl bankpålningar som lättklinkerfyllnader. Bankpålningarna utgörs av träpålar med längder som varierar mellan 15-20 m med en utbredning enligt Figur 12. Inom det rödmarkerade området i Figur 12 har en lättklinkerfyllning utförts med en underkant belägen på 1-1,5 m djup. Lättklinkerfyllnadens mäktighet är inte känd men uppskattas till 0,5-1 m.

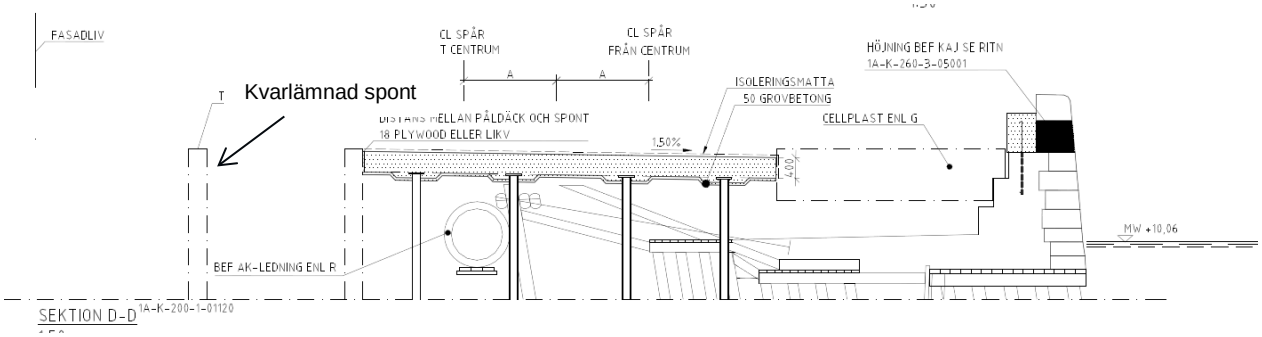


Figur 12 Bankpålning och lättklinkerfyllnad i anslutning till Lilla Bommens hamn.

Påldäck spårväg, Södra Hamngatan (byggstart mars 2013)

Arbetet med att bygga en ny spårväg i Södra Hamngatan längs Stora Hamnkanalen påbörjas i mars år 2013. Den nya spårvägen kommer att grundläggas på ett påldäck med borrade stålrörspålar ner till berg. Omfattande ledningsomläggningar kommer att krävas, bland annat kommer den befintliga AK-ledningen att ersättas av en ny AK-ledning som läggs mellan befintliga byggnader och påldäcket. Tillfälliga sponter för ledningsschakten ska kvarlämnas utmed befintliga fastigheter längs Södra Hamngatan.

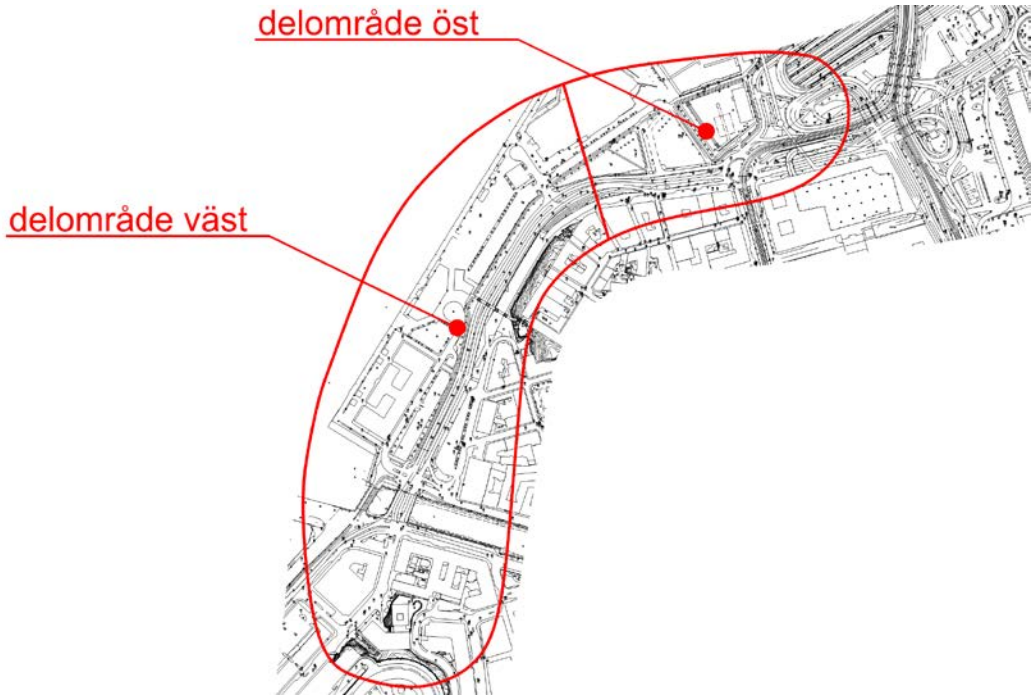
Marknivåerna ska höjas jämfört med dagens nivåer och med anledning av detta kommer kajmuren att höjas med ett par skift. Lastkompensation med 1 m cellplast utförs bakom kajmuren.



Figur 13 Påldäck för ny spårväg i Södra Hamngatan, cellplast och kvarlämnad spont.

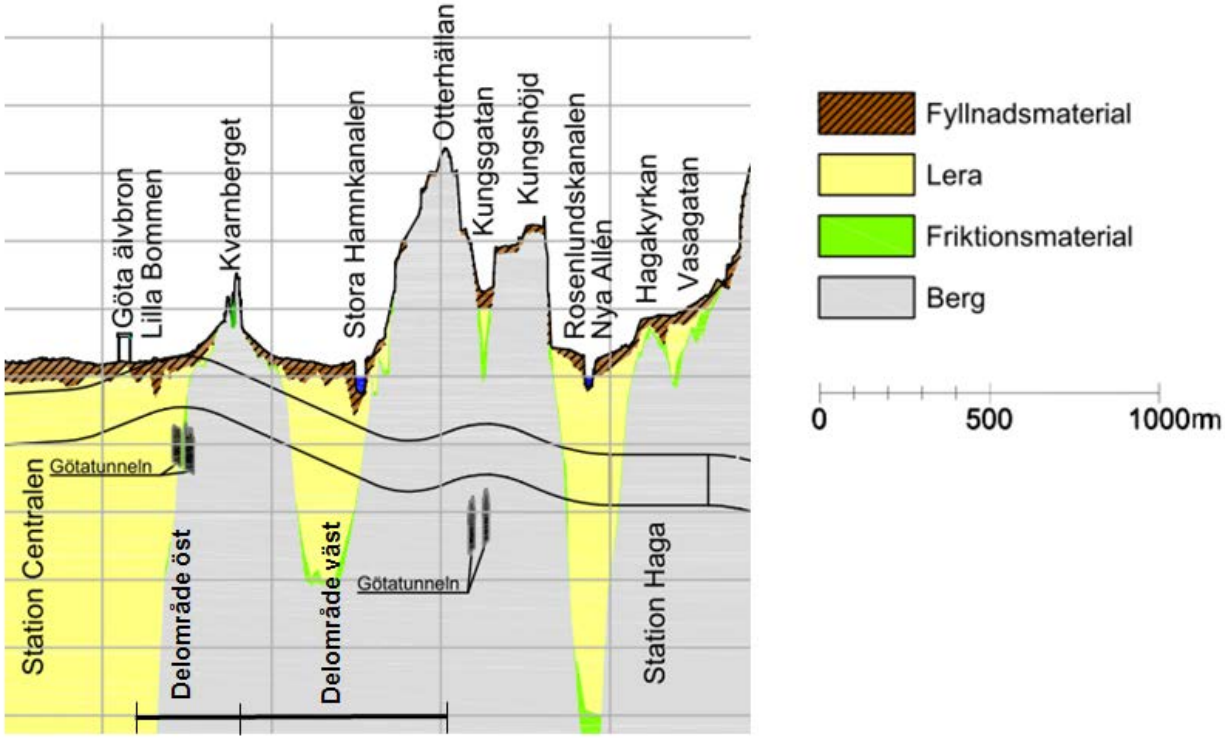
3.4 Geotekniska förhållanden

Utvärdering av de geotekniska förhållandena baseras på nu och tidigare utförda undersökningar i och i anslutning till området. Utredningsområdet har delats upp i mindre delområden till följd av variationer för de geotekniska förhållandena inom området. Figur 14 illustrerar den geografiska delområdes-indelningen.



Figur 14 Delområdesindelning av utredningsområdet, CH

3.4.1 Jordlagerföljd



Figur 15 Översiktlig jord- och bergprofil för sträckan Station Centralen – Station Haga.

Delområde öst

Jordlagerföljden inom delområde öst utgörs generellt överst av fyllnadsmaterial med mäktighetheten 1,5-3 m. Inom de delar som tidigare utgjordes av Lilla Bommens hamn samt den kanal som var belägen strax norr om dagens köpcentrum Nordstan är mäktigheten på fyllnadsmaterialet mellan 5-7 m. Den översta metern utgörs främst av överbyggnadsmaterial i form av grus/makadam från gator och andra hårdgjorda ytor men även rivningsrester som härrör från 1900-talet. Därunder följer material av mer finkornig typ såsom sand, silt och lera som härrör från mudder- och schaktmassor från 1800-talet, men även organisk jord förekommer. I de äldre fyllnadslagren påträffas ofta tegel- och trärester. Östra Hamnkanalen och Lilla Bommens hamnbassäng fylldes igen med grus, sand, silt, lera samt tegel och trä.

Fyllningen underlagras av en naturligt avsatt lera till stort djup. Utförda CPT-sonderingar indikerar på en homogen lera utan någon förekomst av vattenförande skikt. Sonderingar har utförts till stopp i ett flertal punkter inom det aktuella området. Sonderingar som är utförda till stopp visar att lerans mäktighet är ca 85-100 m strax öster om Östra Hamngatan. Vid korsningen med Östra Hamngatan grundar det snabbt upp och berget går i dagen vid Kvarnberget. Leran närmast under fyllningen är av torrskorpekaraktär (med mäktighet ca 1-2 m, till ca 3-5 m djup). Under leran följer generellt ett lager friktionsjord med några meters mäktighet som vilar på berget. Där berget grundar upp i västra delen av området är friktions-jordslagret tunt (0,5-1,5 m) eller saknas helt. Bergnivåerna ligger på ca -85 till -100 fram till strax innan korsningen med Östra Hamngatan. Där grundar berget snabbt upp till -28.

Delområde väst

Den översta delen av jordlagerföljden utgörs av fyllning. Uppe på Kvarnberget, längs Sankt Eriksgatan, utgörs fyllningen av överbyggnadsmaterial i form av grus/makadam med mäktighet ca 1 m ovan plansprängt berg.

Fyllnadsmäktigheterna inom området för Packhuskajen och Packhusplatsen ökar i riktning mot älven från ca 2 m till över 7 m närmast befintlig kajlinje, vilket innebär att överkant naturliga sediment återfinns på nivåer från ca +0 till -6 närmast kajlinjen. Inom den igenfyllda Masthamnen är fyllnadsmäktigheterna ca 3-3,5 m, vilket motsvarar en ursprunglig bottennivå på -0,5 till -1.5.

Den översta delen av fyllningen, ca 1-2 m mäktighet, utgörs generellt av vägöverbyggnadsmaterial bestående av sten, grus, sand, gatsten och rivningsrester som härrör från 1900-talet. Under överbyggnads-materialet följer en äldre fyllning som består av ett mer finkornigt material såsom sand, silt och lera med trä- och tegelrester. Den äldre fyllningen utgörs av mudder- och schaktmassor från utfyllnaderna som utfördes under 1800-talet. Det äldre fyllnadsmaterialets mäktighet varierar mellan ca 1-4 m där den största mäktigheten återfinns i anslutning till kasinot.

Under fyllningen följer en naturligt avsatt lös till halvfast lera vars mäktighet är som minst i området kring Kvarnberget i norra delen av området och vid Residenset i den södra delen av området. Lerans mäktighet ökar generellt mot Göta Älv och är som störst ca 65 m i anslutning till Packhuskajens sydvästra hörn. Vid norra delen av Packhuskajen, intill Operan, är lerans mäktighet ca 15 m. Vid Packhusplatsen mellan Kronhusgatan och Stora Hamnkanalen varierar lerans mäktighet mellan 20-30 m. Vid den norra kanten av Stora Hamnkanalen är lermäktigheten ca 15 m för att sedan avta till ca 5-7 m längs med den södra kanten.

Under leran följer ett fast lager friktionsjord innan berget tar vid. Friktionsjordens mäktighet varierar mellan ca 0,5- 1,5 m med en ökande mäktighet i riktning mot Göta Älv och Stora Hamnkanalen.

3.4.2 Densitet, vattenkvot och konflytgräns och sensitivitet

Delområde öst

Lerans densitet varierar mellan 1,55-1,65 t/m³ där de lägre värdet återfinns inom den ytligare delen av lerprofilen för att därunder öka svagt mot djupet. Vattenkvoten i leran är generellt ca 65 % ned till 40-45 m djup och minskar därunder något. Konflytgränsen är ca 70-75 % konstant genom lerprofilen. Leran är att betrakta som mellansensitiv med en sensitivitet som varierar mellan 10-30.

Delområde väst

Lerans densitet är ca 1,65 t/m³ ner till nivån -10 och därunder 1,6 t/m³. Det kan noteras att densiteten i leran i den övre delen av jordprofilen, ner till nivån -10, varierar en hel del mellan de olika borrpunkterna.

Vattenkvoten i leran är ca 60-80 % och konflytgränsen är ca 65-80 %, där de högre värdena generellt återfinns under nivån ca -10. Leran är att betrakta som mellansensitiv med en sensitivitet som varierar mellan 8-20.

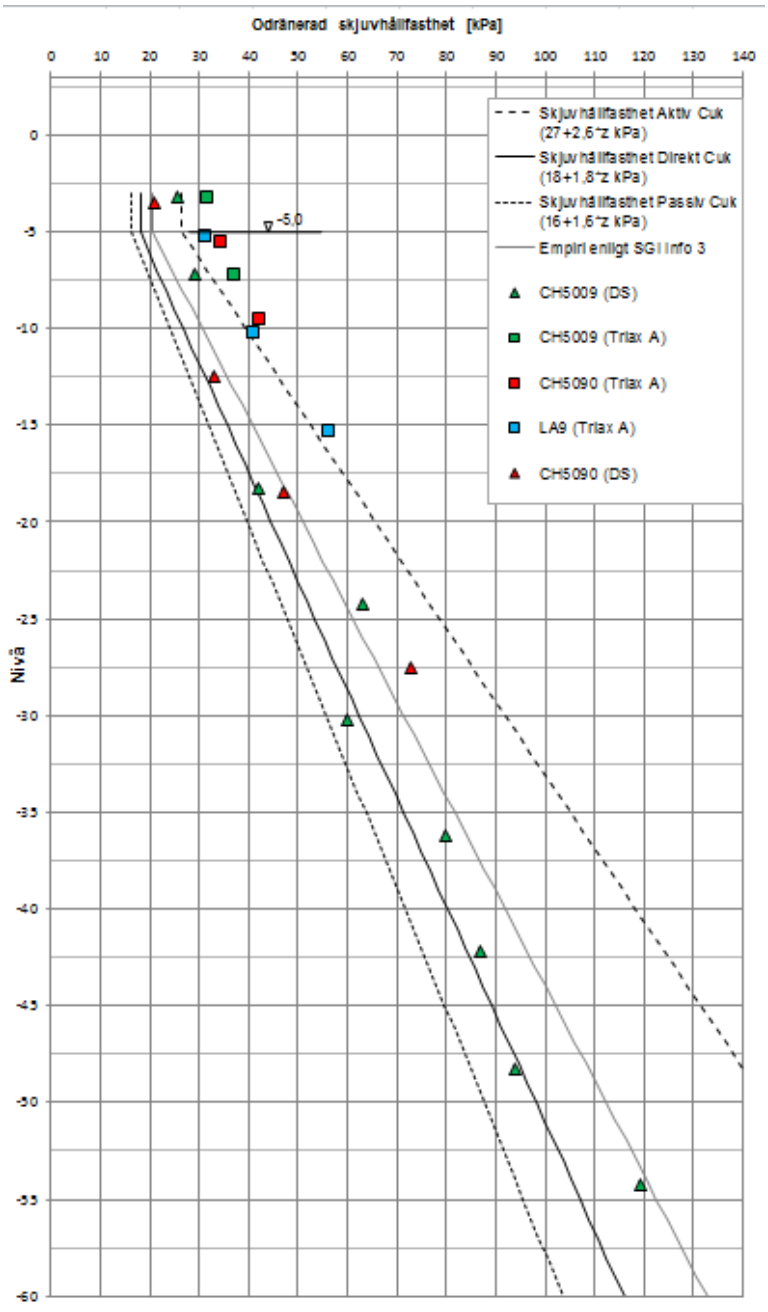
3.4.3 Odränerad skjuvhållfasthet

Den odränerade skjuvhållfastheten i leran har utvärderats från utförda hållfasthetsbestämningar främst i form av en stor mängd utförda direkta skjuvförsök och triaxialförsök som kompletterats med empiriska beräkningar med utgångspunkt från en stor mängd utförda CRS-försök. Som ytterligare stöd för hållfasthetsbestämningen har även fallkonförsök, vingförsök samt CPT-sonderingar beaktats.

Nedan redovisas utvärderade hållfastheter för respektive delområde.

Delområde öst

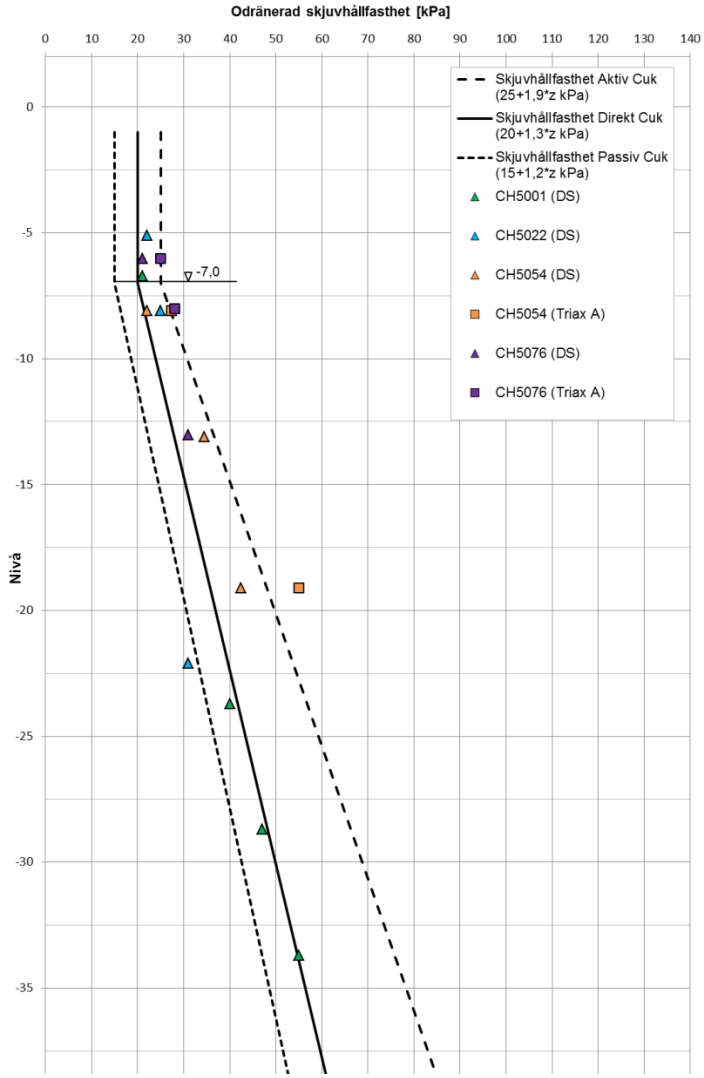
Inom delområde öst är den valda odränerade hållfastheten 18 kPa ned till nivån -5 därunder är tillväxten 1,8 kPa/m, se Figur 16. I figuren redovisas utförda odränerade skjuv- samt triaxialförsök tillsammans med empiri framtagen enligt riktlinjer i SGI Info 3. Inom området finns även en stor mängd vingförsök samt CPT-sonderingar, vilka redovisas i MUR Geoteknik (PM F 05 – 004) och PM F 05 – 010 (Geotekniska materialparametrar, Station Centralen).



Figur 16 *Diagram över uppmätt respektive utvärderad odränerad skjuvhållfasthet för delområde öst. Svart, heldragen linje markerar vald hållfasthet.*

Delområde väst

Den valda odränerade hållfastheten är för detta delområde 20 kPa ned till nivån -7 och har vidare tillväxten 1,3 kPa/m mot djupet, se Figur 17.



Figur 17 Diagram över uppmätt respektive utvärderad odränerad skjuvhållfasthet för delområde väst. Svart, heldragen linje markerar vald hållfasthet.

Under Göta älv är normalt lerans odränerade skjuvhållfasthet något lägre inom de ytligare delarna av lerprofilen under älvbotten än vad som gäller för motsvarande nivåer på land. Detta beror på den avlastning som erosionen medfört längs hela södra Göta älvdalen. Undersökningar som är utförda i älven inom utredningsområdet visar att detta fenomen även gäller inom detta område. Generellt är hållfastheten ca 7 kPa i ytan av bottensedimenten och har därunder en tillväxt på ca 3-5 kPa/m ner till som mest ca 3-4 m under älvbotten. Från denna nivå och mot djupet är skjuvhållfastheten i leran under älven densamma som inom älv- och landområdena.

Undersökningar som utförts inom Stora Hamnkanalen påvisar att motsvarande effekt även återfinns för leran inom de ytligare delarna av jordprofilen närmst kanalbotten. Lerans odränerade hållfasthet är ca 7 kPa närmast kanalbotten för att på djupet 2 m där under uppnå den hållfasthet som gäller för motsvarande nivå inom kajområdena.

3.4.4 Grundvatten och portryck

Karakteristiska vattenstånd (lägsta lågvatten samt medellågvatten) i Göta älv och i Stora Hamnkanalen redovisas i nedanstående tabell (Tabell 1).

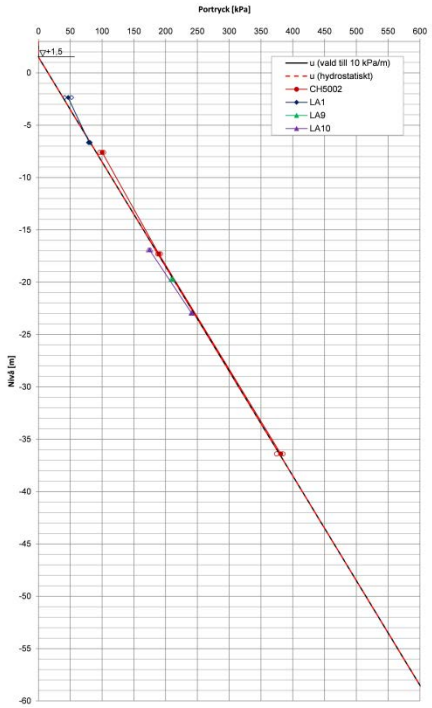
Tabell 1 *Karakteristiska vattenståndsnivåer(lägsta lågvatten samt medellågvatten) (höjdsystem, RH2000) i Göta älv och i Stora Hamnkanalen*

MLW	-0,58
LLW (100 år)	-1,00

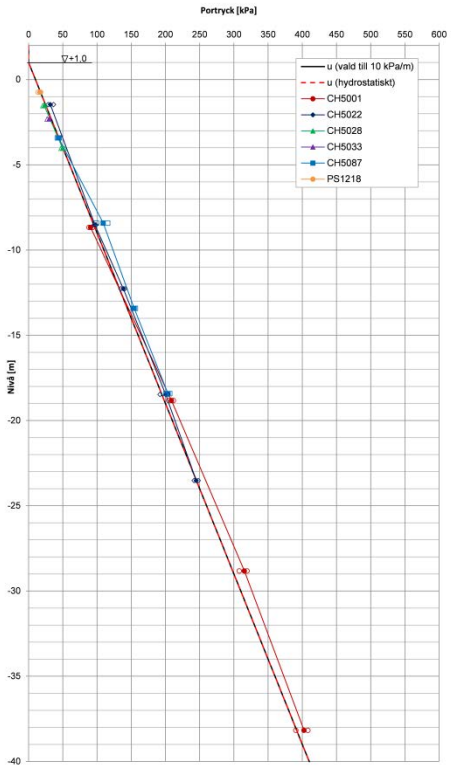
Grundvattenytan inom utredningsområdet bedöms ligga i nivå med medelvattenytan för Göta älv och fluktuerar något med vattenståndsvariationerna.

Inom området finns ett antal portrycksstationer. Utförda portrycksmätningar visar att portrycksprofilen i leran har en hydrostatisk ökning mot djupet relaterat från bedömd grundvattenyta.

Område Öst



Område Väst



Figur 18 *Portrycksfördelning för respektive delområde. Röd, streckad linje visar hydrostatisk fördelning och svart, heldragen linje visar vald portrycksfördelning.*

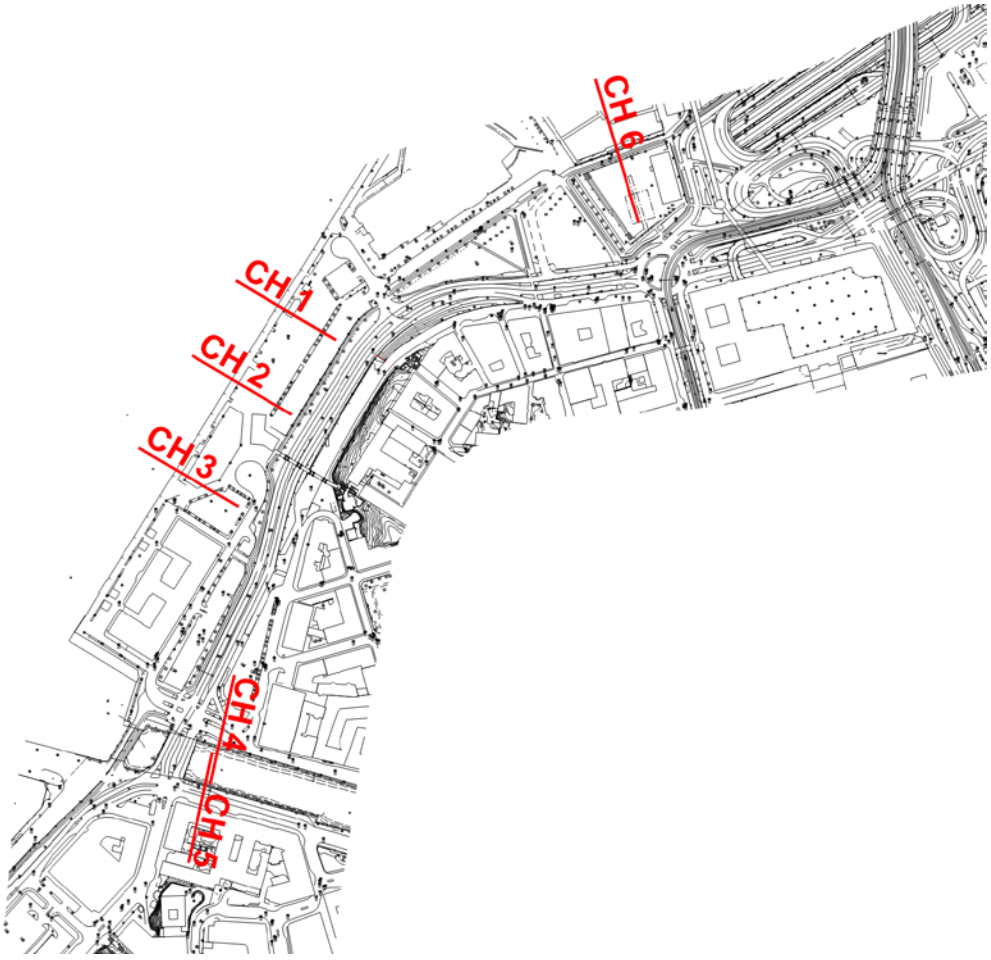
3.4.5 Erosion

Generellt pågår ingen erosion inom utredningsområdet då samtliga delar i anslutning till vatten inom området utgörs av kajkonstruktioner. Dykinspektionen som utförts inom Stora Hamnkanalen visar att mindre urspolningar förkommer under rustbädden. Dessa urspolningar bedöms dock inte påverka stabiliteten eftersom rustbädden och den ovanpåliggande kajmuren vilar på pålar.

4 Stabilitet

4.1 Allmänt

Stabiliteten har bedömts inom hela det aktuella området. Nya Beräkningar har utförts längs Packhuskajen och Stora Hamnkanalen som ligger i direkt anslutning till planerad linje för Västlänken. Stabiliteten har för befintliga förhållanden analyserats i totalt sex stycken representativa sektioner med sektionslägen enligt Figur 19.



Figur 19 Sektionslägen för stabilitetsberäkningar.

Stabilitetsförhållandena har analyserats för befintliga förhållanden. Stabilitetsanalyserna har utförts med odränerad och kombinerad analys med programmet Slope/W version 8.0.9.6484 (Geostudio 2012). Redovisade säkerhetsfaktorer avser Morgenstern-Price metod.

4.2 Erforderlig säkerhetsfaktor

Stabilitetsutredningen har utförts enligt IEG:s, Rapport 4:2010, där erforderlig säkerhetsfaktor gäller för *Detaljerad stabilitetsutredning* för markområden med markanvändningen ”*Befintlig bebyggelse och anläggning*”. Det skall dock här noteras att det geotekniska underlaget i form av utförda undersökningar är mycket stort och mer en väl uppfyller kraven för en fördjupad utrednings nivå.

Enligt ovanstående gäller därmed följande rekommendation på säkerhetsfaktorn mot brott utifrån rådande förutsättningar:

Tabell 2 Säkerhetsrekommendation enligt IEG:s rapport 4:2010 för detaljerad utredning.

F_c	≥ 1,7–1,5
F_{komb}	≥ 1,5–1,3

Säkerhetsrekommendationen utgörs således av ett ”spann” mellan olika nivåer på erforderlig säkerhetsfaktor. Vilken rekommenderad erforderlig säkerhetsfaktor som råder inom ett projekt bestäms av ett stort antal faktorer som betecknas som ”gynnsamma” eller ”ogynnsamma”. Exempel på en ogynnsam faktor är t.ex. förekomst av kvicklera, stora konsekvenser av ett skred, pågående erosion eller ett begränsat antal geotekniska undersökningar etc.

Omfattningen på utförda undersökningar är inom det aktuella området mycket omfattande och är helt i linjen med de krav som ställs på en fördjupad utredningsnivå. Marken utgörs till stor del av en halvfast till fast lera som inom det aktuella delområdet är mellansensitiv. Konsekvenserna av ett skred bedöms som relativt stora men förutsättningarna för att skred skall uppstå är liten med tanke på att alla slänter utgörs av uppbyggda konstruktioner.

Med utgångspunkt från de förutsättningar (både yttre och geotekniska) som råder inom det aktuella området rekommenderas följande säkerhetsnivå för denna detaljerade stabilitetsutredning.

Tabell 3 Gällande säkerhetsrekommendation för denna detaljerade stabilitetsutredning.

F_c	≥ 1,5
F_{komb}	≥ 1,3

4.3 Beräkningsförutsättningar

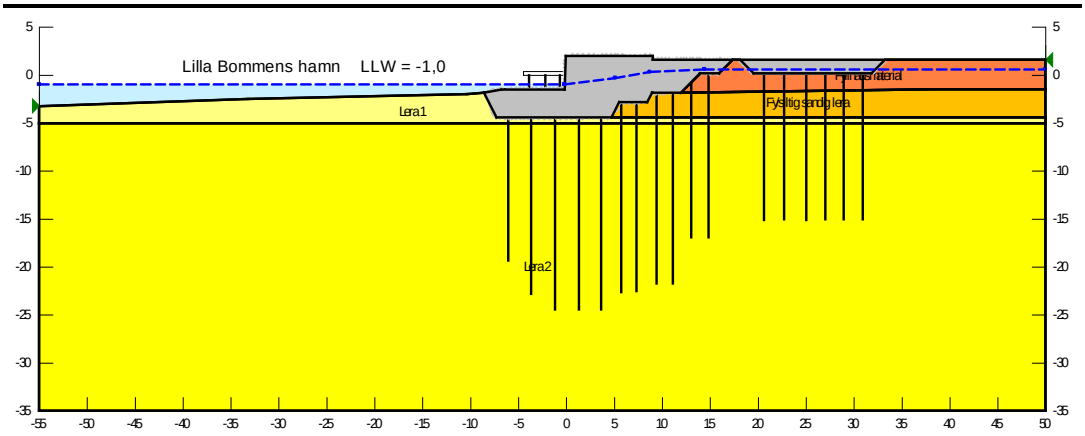
4.3.1 Utformning och geometri

Underlag till utförda stabilitetsberäkningar för utredningsområdet har hämtats från den digitala primärkartan (0,5 m ekvidistans). Bottennivåerna inom Göta älv baseras på en ekolodning utförd av Göteborgs Hamn AB under år 2009.

4.3.2 Materialparametrar

Materialegenskaper samt jordlagrens mäktighet har utvärderats från nu och tidigare utförda geotekniska undersökningar. I nedanstående tabell redovisas de materialparametrar som använts vid stabilitetsberäkningarna. Valda materialparametrar för respektive beräkningssektion finns redovisade i sin helhet på respektive stabilitetsberäkning i Bilaga CH.1.

Tabell 4 Exempel på valda materialegenskaper, in detta fall inom område Öst.



Jordlager	Bedömda materialegenskaper	
Fyllnadsmaterial	*Tunghet, γ* *Friktionsvinkel, ϕ'*	*18 kN/m^3* *35º*
Fy/siltig sandig Lera	*Tunghet, γ* *Odränerad skjuvhållfasthet, τ_{fu}*	*17 kN/m^3* *18 kPa*
Lera 1	*Tunghet, γ* *Odränerad skjuvhållfasthet, τ_{fu}*	*15,5 kN/m^3* *18 kPa*
Lera 2	*Tunghet, γ* *Odränerad skjuvhållfasthet, τ_{fu}*	*16,3 kN/m^3* *18+1,8·z kPa* [1)]

[1)] *Tillväxt från nivån -5.*

Lerans dränerade hållfasthetsegenskaper har vid stabilitetsberäkningarna antagits till $\phi'=30°$ och $c'=0{,}1\cdot\tau_{fu}$, vilket normalt gäller för leror i Västsverige.

4.3.3 Grundvatten, porttryck och vattennivå

I denna utredning har vattenståndet i Göta älv och i Stora Hamnkanalen ansatts som lägsta lågvatten på nivån -1,0. enligt Tabell 1. Vid lägsta lågvatten är vattnets mothållande effekt som lägst vilket därmed utgör det farligaste fallet för stabiliteten (odränerad analys).

Det skall dock noteras att denna vattennivå inträffar mycket sällan och utgör ett extremfall för i fallet när befintliga förhållanden studeras. Mer rimligt är att för befintliga förhållanden i denna typ av stadsmiljö använda MLW vilket t.ex. är den nivå som Göteborgs Hamn använder i deras utredningar.

Grundvattenytan har i utförda stabilitetsberäkningar generellt bedömts ligga ca 1-2 m under markytan. Portrycket i leran har en hydrostatisk ökning mot djupet från bedömd grundvattenyta.

4.3.4 Marklaster

Marklaster ansätts generellt i de fall där de befinner sig i aktivzonen, d v s i den pådrivande delen, av glidytorna. Marklasterna har, inom de beräkningar som berörs, ansatts till 13 kPa för trafikerade gator och 10 kPa inom parkeringsytor.

4.4 Stabilitetsanalyser för befintliga förhållanden

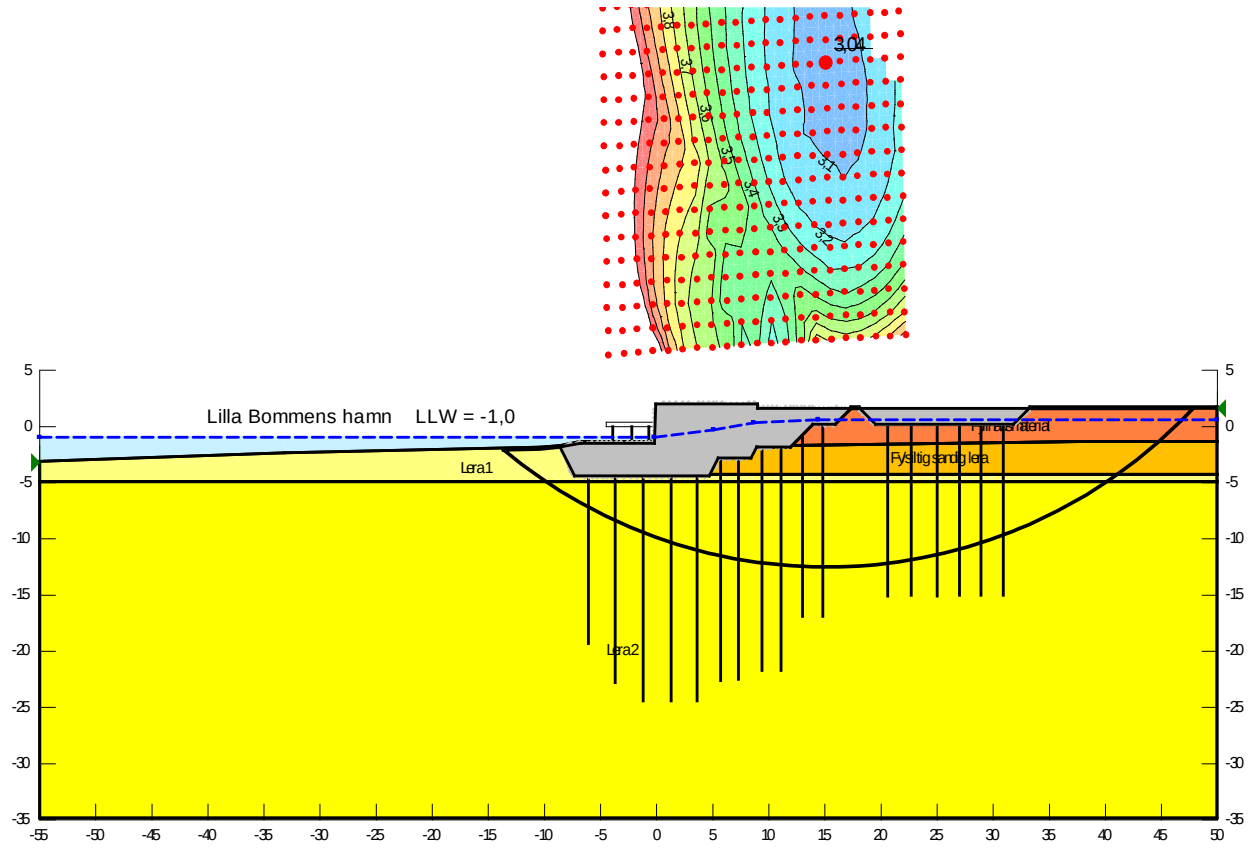
Stabiliteten för *befintliga förhållanden* har analyserats för de sex sektionerna inom området. Inom området varierar såväl geometrin i form av höjd och lutning som jordlagerföljden något mellan sektionerna.

I följande kapitel beskrivs resultaten av samtliga stabilitetsanalyser inom det aktuella utredningsområdet. Samtliga beräkningar redovisas i sin helhet i Bilaga CH.1.

Delområde öst

Stabiliteten har i en sektion (sektion CH 6) kontrollerats från Västlänkens planerade linjedragning mot Lilla Bommens hamn. Noteras skall att avståndet till hamnen är stort och 3-D effekterna för aktuellt sektionslägesväl är mycket stora. Analysen visar dock att stabiliteten är tillfredställande och lägsta säkerhetsfaktorn mot brott är ca F_c=3,1 respektive ca F_{komb}=3,0, se Figur 20, vilket med marginal uppfyller rekommenderad säkerhetsnivå för befintliga förhållanden enligt IEG rapport 4:2010. Den tillfredsställande stabiliteten beror främst på de omfattande förstärkningsåtgärder som utförts i anslutning till Lilla Bommens hamn.

Vidare har stabiliteten för östra respektive västra kajen mot Lilla Bommens hamn kontrollerats inom ramen för den tidigare detaljerade stabilitetsutredning, *”Detaljerad stabilitetsutredning inom Göteborgs stad, Delområde S114*”. Analyserna visar att lägsta säkerhetsfaktorn mot brott för sektionerna benämnda S114-K8 respektive S114-K9 är ca F_c=1,2-1,3 respektive ca F_{komb}=1,2-1,3. Den beräkningsmässigt något låga säkerheten längs den östra eller västra kajen bedöms dock ej påverka den totala stabiliteten för området som berör Västlänken.



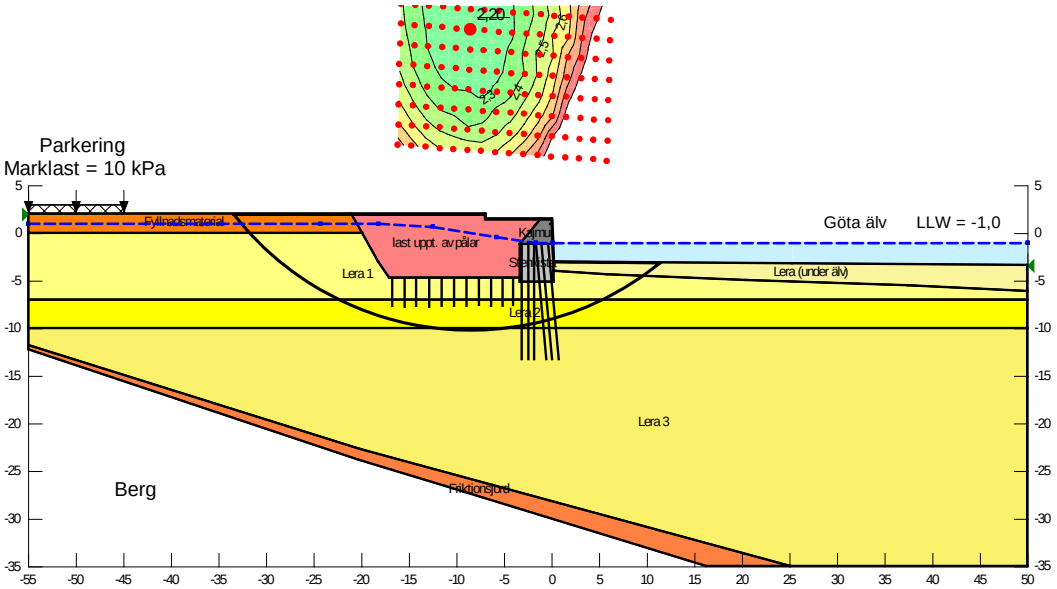
Figur 20 Stabilitetsberäkning sektion CH 6, kombinerad analys.

Delområde väst

Packhuskajen

Stabiliteten längs Packhuskajen har kontrollerats i tre stycken sektioner (CH 1, CH 2 och CH 3). Analyserna visar att lägsta säkerhetsfaktorn mot brott är ca F_c=1,9-2,3 respektive ca F_{komb}=1,9-2,2 vilket för befintliga förhållanden uppfyller rekommenderad säkerhetsnivå enligt IEG:s rapport 4:2010. Exempel på glidytornas utseende illustreras i Figur 21. Glidytorna har generellt en utbredning på 50-60 m och når ett största djup mellan ca 10-20 m under markytan.

Stabiliteten längs såväl norra delen (vid Göteborgsoperan) som södra delen (vid Kasinot) av Packhuskajen bedöms representeras av sektionerna CH 1 till CH 3. Såväl Operan som Kasinot är grundlagda på pålar och tillför därmed ingen belastning på marken inom gliytorna. Därav är ingen av beräkningssektionerna placerade inom läget för dessa byggnader.

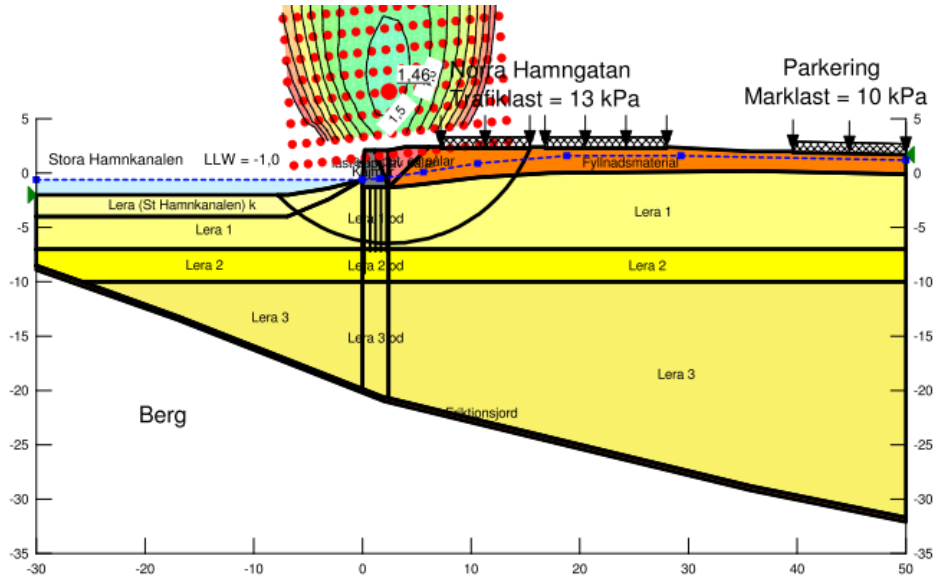


Figur 21 Stabilitetsberäkning sektion CH 1, kombinerad analys.

Stora Hamnkanalen

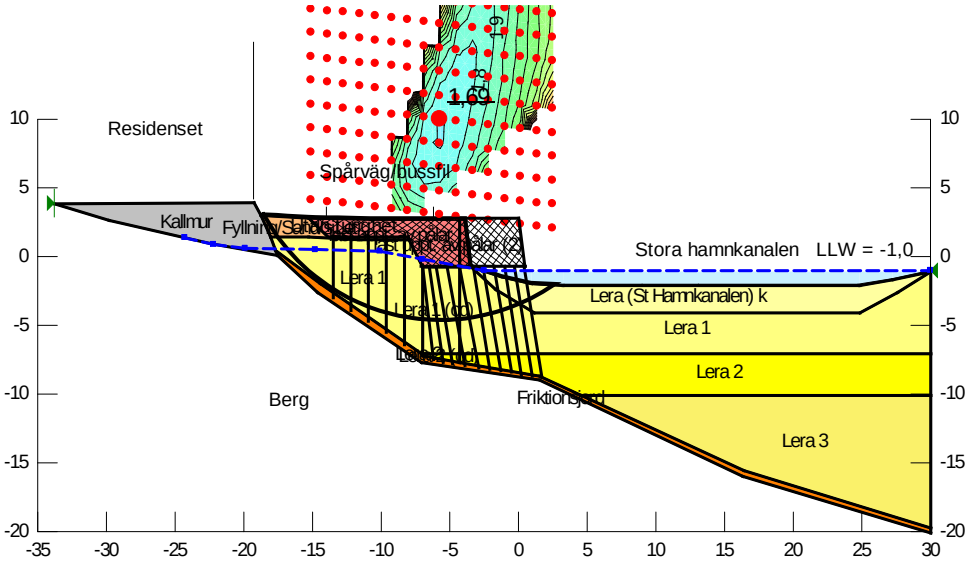
Stabiliteten mot Stora Hamnkanalen har kontrollerats i två stycken sektioner, sektion CH 4 längs Norra Hamngatan och sektion CH 5 längs Södra Hamngatan. Dessa båda sektioner bedöms representera stabilitetsförhållandet på ömse sidor Stora Hamnkanalen inom det område där Västlänkens planerade linjeföring kommer placeras.

Stabilitetsanlysen i sektion CH 4 längs Norra Hamngatan visar att lägsta säkerhetsfaktorn mot brott är ca F_c=1,55 respektive ca F_{komb}=1,45 vilket innebär att rekommenderad nivå på erforderlig säkerhetsfaktor för befintliga förhållanden är uppfylld, se Figur 22.



Figur 22 Stabilitetsberäkning sektion CH 4, kombinerad analys.

Stabiliteten längs Södra Hamngatan har analyserats utifrån det befintliga förhållande som kommer att råda vid byggandet av Västlänken. Detta innebär att de förstärkningar i form av nytt påldäck och cellplastfyllnad som idag är under utförande för den nya spårvägen mellan Järntorget och Lilla Torget beaktas. Stabilitetsanalysen för sektion CH 5 längs Södra Hamngatan visar att lägsta säkerhetsfaktorn mot brott är F_c=2,0 respektive F_{komb}=1,7 och således uppfyller rekommenderad säkerhetsnivå för befintliga förhållanden.



Figur 23 Stabilitetsberäkning sektion CH 5, kombinerad analys.

Längs Södra Hamngatan förekommer uppmätta hållfasthetsvärden som är något lägre (mest på grund av att underlaget är mer begränsat) än den generella hållfasthet som gäller inom delområdet. Med anledning av detta har en stabilitetskontroll utförts utifrån hållfastheten 18 kPa ned till nivån -5 med tillväxt på 0,7 kPa därunder. Denna hållfasthet motsvarar den valda hållfasthet som användes vid projekteringen av de förstärkningsåtgärder som nu anläggs inom *"Projekt Skeppsbron"*. Stabilitetskontrollen visar att lägsta säkerhetsfaktor mot brott är F_c=1,9 respektive F_{komb}=1,6, vilket innebär att slänten är stabil även med en lägre vald hållfasthet.

4.5 Sammanställning av utförda stabilitetsanalyser

Utförda beräkningssektioner är placerade med syfte att täcka in och representera de *befintliga* stabilitetsförhållandena inom det aktuella delområdet.

I nedanstående tabell redovisas lägsta säkerhetsfaktorer mot brott i utförda stabilitetsanalyser. Stabilitetsanalyserna redovisas i sin helhet i bilaga. Utförda stabilitetsberäkningar för det rubricerade utredningsområdet, visar på att säkerhetsfaktorn mot brott i samtliga sektioner uppfyller stabilitetsrekommendationerna för en detaljerad stabilitetsutredning enligt IEG:s Rapport 4:2010.

Tabell 5 Säkerhetsfaktorer mot brott i de analyserade beräkningssektionerna. Fet text innebär att rekommenderad säkerhetsnivå för stabiliteten inte är uppfylld.

Sektion	Odränerad analys, F_c	Kombinerad analys, F_{komb}
CH 1	*2,3*	*2,2*
CH 2	*2,0*	*1,9*
CH 3	*2,0*	*2,0*
CH 4	*1,55*	*1,45*
CH 5	*2,0*	*1,7*
CH 6	*3,1*	*3,0*

5 Slutsatser och rekommendationer

Denna *detaljerade* stabilitetsutredning visar att stabilitet inom rubricerat område CH är tillfredställande i enlighet med uppställda krav på erforderliga säkerhetsfaktor mot brott.

Denna utredning avser endast beskrivning av stabilitetssituationen för befintliga förhållanden. Anläggandet av Västlänken kommer medföra stora konsekvenser på området som helhet. Stabiliteten måste beaktas i samband med planeringen i kommande såväl projekterings- som utförandeskeden.

Denna stabilitetsutredning har utförts i syfte att beskriva stabiliteten i området. Kajmurarnas kondition och konstruktiva kondition har inte bedömts i samband med denna utredning.

Föreliggande detaljerade stabilitetsutredning baseras på de idag rådande, kända, förutsättningarna inom aktuellt delområde. I samband med all förändring av områdena såsom nybyggnation, schaktning, ändrade dräneringsförutsättningar, lastförändringar, upplag etc. skall stabilitetssituationen beaktas.

Ärendenummer
TRV2012/16353
Uppdragsnummer
Version: D

Dokumentdatum
2013-08-30
Sidor
1(1)

TRAFIKVERKET

Västlänken
PM F 05 – 018
Stabilitetsanalyser Linje Station Centralen – Station Haga

BILAGA CH.1

Revideringen avser:		
Avsnitt	Revideringen avser	Reviderad av

Upprättad av:	Magnus af Petersens	
Granskad av:	Urban Högsta	

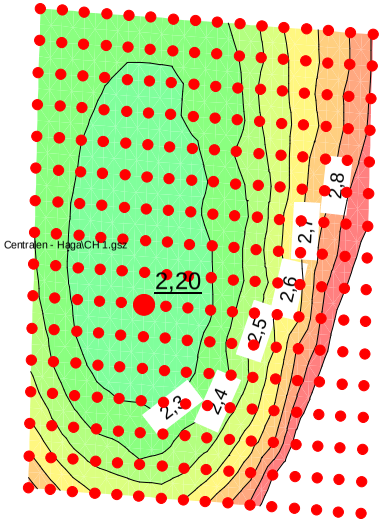
SWECO

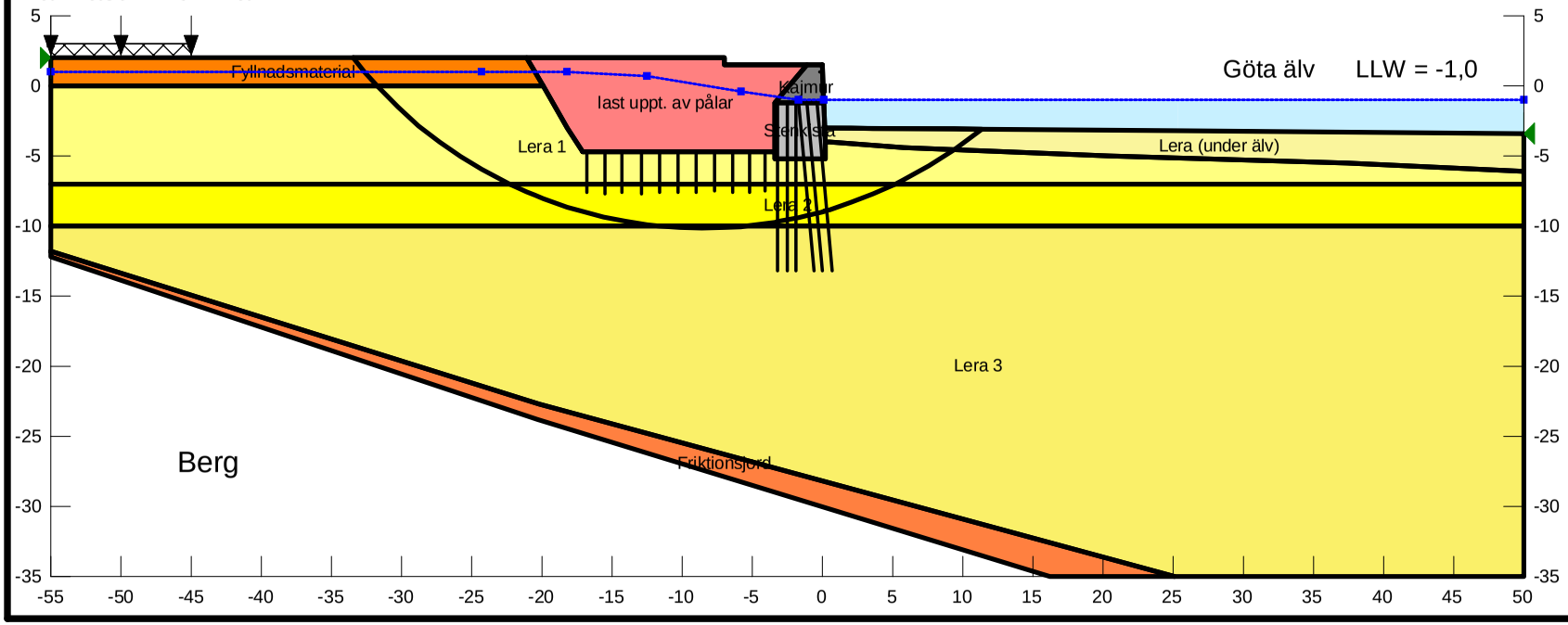
Västlänken
AKF 05 Geoteknik
Göteborg C - Haga station
CH 1
Kombinerad analys

Uppdrag: Västlänken, AKF05 Geoteknik
Beställare: Trafikverket
Skala (A4): 1:500

Analysmetod: Morgenstern-Price
Glidytor: Grid and Radius (optimization: No)
GW & portryck: Piezometric Line
Filnamn: CH 1.gsz
Senast sparad: 2013-08-27; 15:14:40

P:\2321\2305478_AKF5 Västlänken\000_AKF5 Västlänken\13BERÄKNINGAR\AKF 05 - 005 Stabilitet_befintliga förhållanden\CH Centralen - Haga\CH 1.gsz





Name: Lera 1
Model: Combined, S=f(depth)
Unit Weight: 16,5 kN/m³
Phi': 30 °
Cu-Top of Layer: 20 kPa
Cu-Rate of Change: 0 kPa/m
C/Cu Ratio: 0,1
Anisotropic Strength Fn: K0=0,7 (Left to right)
Piezometric Line: 1

Name: Friktionsjord
Model: Mohr-Coulomb
Unit Weight: 21 kN/m³
Cohesion': 0 kPa
Phi': 35 °
Unit Wt. Above Water Table: 19 kN/m³
Piezometric Line: 1

Name: Lera (under älv)
Model: Spatial Mohr-Coulomb
Unit Weight: 16 kN/m³
Cohesion': 1,6 kPa
Phi': 30 °
Piezometric Line: 1

Name: Lera 2
Model: Combined, S=f(datum)
Unit Weight: 16,5 kN/m³
Phi': 30 °
Cu-Datum: 20 kPa
Cu-Rate of Change: 1,3 kPa/m
C/Cu Ratio: 0,1
Datum (Elevation): -7 m
Anisotropic Strength Fn: K0=0,7 (Left to right)
Piezometric Line: 1

Name: Kajmur
Model: Mohr-Coulomb
Unit Weight: 21 kN/m³
Cohesion': 2 000 kPa
Phi': 40 °
Piezometric Line: 1

Name: last uppt. av pålar
Model: Mohr-Coulomb
Unit Weight: 15 kN/m³
Cohesion': 1 000 kPa
Phi': 37 °
Unit Wt. Above Water Table: 0,1 kN/m³
Piezometric Line: 1

Name: Stenkista
Model: Mohr-Coulomb
Unit Weight: 20 kN/m³
Cohesion': 1 000 kPa
Phi': 35 °
Unit Wt. Above Water Table: 18 kN/m³
Piezometric Line: 1

Name: Fyllnadsmaterial
Model: Mohr-Coulomb
Unit Weight: 20 kN/m³
Cohesion': 0 kPa
Phi': 35 °
Unit Wt. Above Water Table: 18 kN/m³
Piezometric Line: 1

Name: Lera 3
Model: Combined, S=f(datum)
Unit Weight: 16 kN/m³
Phi': 30 °
Cu-Datum: 23,9 kPa
Cu-Rate of Change: 1,3 kPa/m
C/Cu Ratio: 0,1
Datum (Elevation): -10 m
Anisotropic Strength Fn: K0=0,7 (Left to right)
Piezometric Line: 1

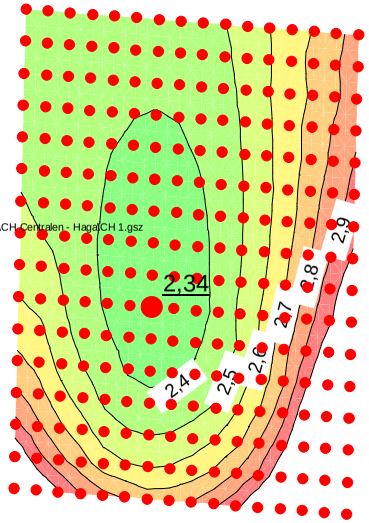
SWECO

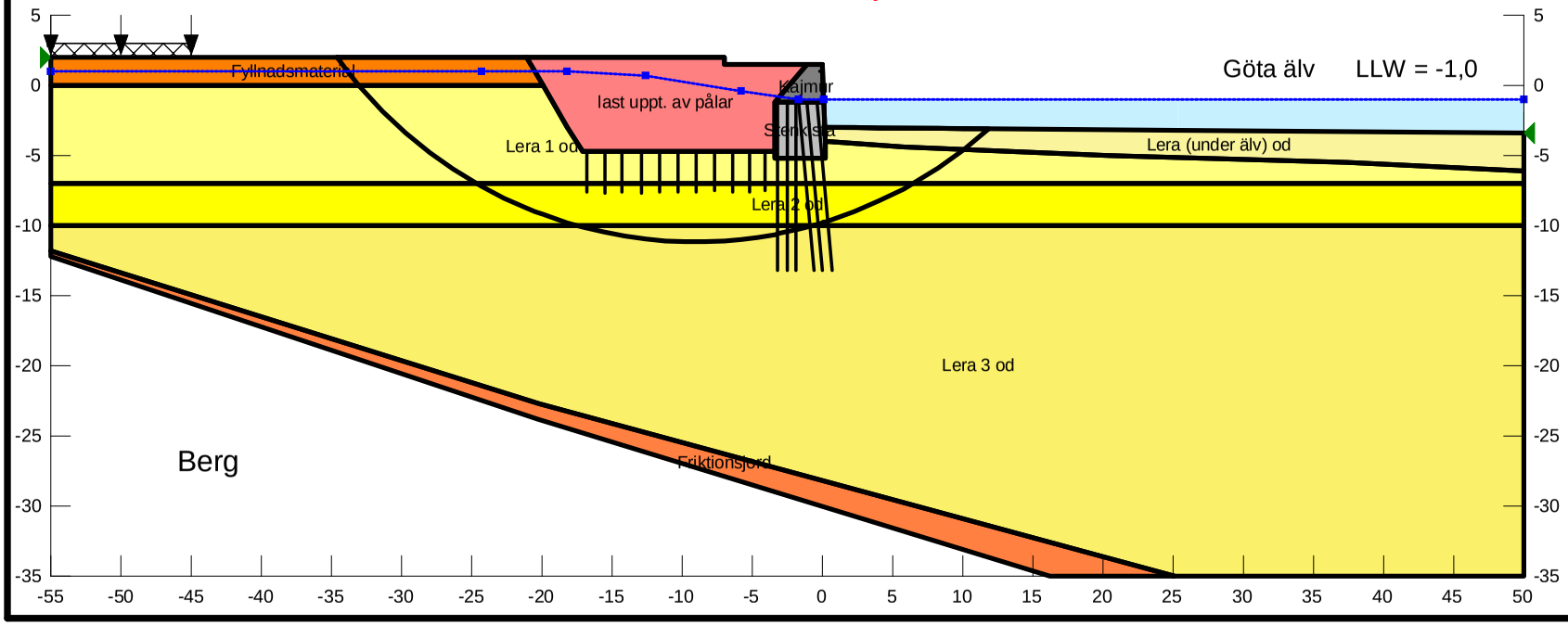
Västlänken
AKF 05 Geoteknik
Göteborg C - Haga station
CH 1
Odränerad analys

Uppdrag: Västlänken, AKF05 Geoteknik
Beställare: Trafikverket
Skala (A4): 1:500

Analysmetod: Morgenstern-Price
Glidytor: Grid and Radius (optimization: No)
GW & portryck: Piezometric Line
Filnamn: CH 1.gsz
Senast sparad: 2013-08-27; 15:14:40

P:\2321\2305478_AKF5 Västlänken\000_AKF5 Västlänken\13BERÄKNINGAR\AKF 05 - 005 Stabilitet_berintliga förhållanden\CH_Centralen - Haga\CH 1.gsz





Name: Friktionsjord
Model: Mohr-Coulomb
Unit Weight: 21 kN/m³
Cohesion': 0 kPa
Phi': 35 °
Unit Wt. Above Water Table: 19 kN/m³
Piezometric Line: 1

Name: Lera 1 od
Model: Undrained (Phi=0)
Unit Weight: 16,5 kN/m³
Cohesion': 20 kPa
Anisotropic Strength Fn: K0=0,7 (Left to right)
Piezometric Line: 1

Name: Lera 2 od
Model: S=f(datum)
Unit Weight: 16,5 kN/m³
C-Datum: 20 kPa
C-Rate of Change: 1,3 kPa/m
Datum (Elevation): -7 m
Anisotropic Strength Fn: K0=0,7 (Left to right)
Piezometric Line: 1

Name: Kajmur
Model: Mohr-Coulomb
Unit Weight: 21 kN/m³
Cohesion': 2 000 kPa
Phi': 40 °
Piezometric Line: 1

Name: last uppt. av pålar
Model: Mohr-Coulomb
Unit Weight: 15 kN/m³
Cohesion': 1 000 kPa
Phi': 37 °
Unit Wt. Above Water Table: 0,1 kN/m³
Piezometric Line: 1

Name: Lera (under älv) od
Model: Spatial Mohr-Coulomb
Unit Weight: 16 kN/m³
Cohesion Spatial Fn: Påverkade sediment
Phi': 0 °
Piezometric Line: 1

Name: Stenkista
Model: Mohr-Coulomb
Unit Weight: 20 kN/m³
Cohesion': 1 000 kPa
Phi': 35 °
Unit Wt. Above Water Table: 18 kN/m³
Piezometric Line: 1

Name: Fyllnadsmaterial
Model: Mohr-Coulomb
Unit Weight: 20 kN/m³
Cohesion': 0 kPa
Phi': 35 °
Unit Wt. Above Water Table: 18 kN/m³
Piezometric Line: 1

Name: Lera 3 od
Model: S=f(datum)
Unit Weight: 16 kN/m³
C-Datum: 23,9 kPa
C-Rate of Change: 1,3 kPa/m
Datum (Elevation): -10 m
Anisotropic Strength Fn: K0=0,7 (Left to right)
Piezometric Line: 1

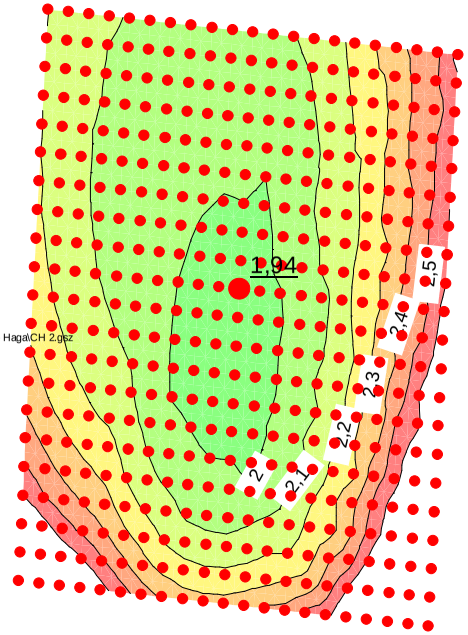
SWECO

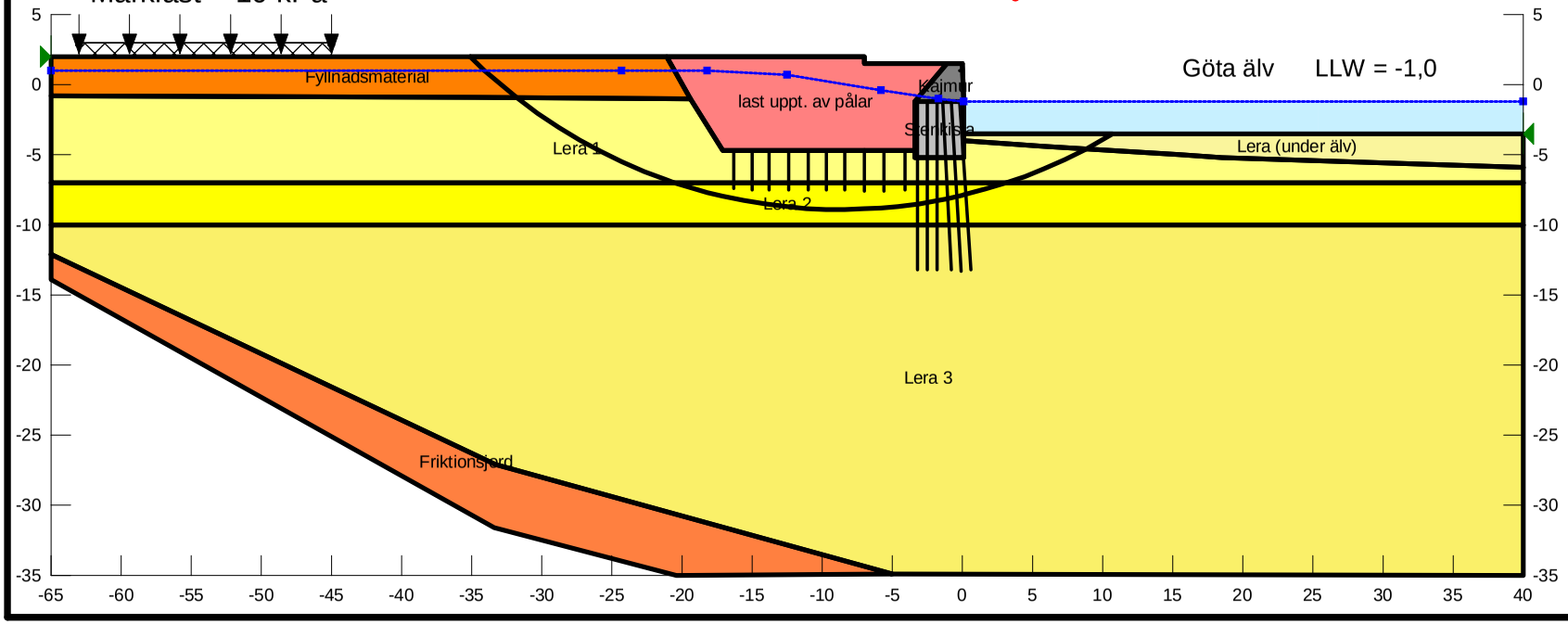
Västlänken
AKF 05 Geoteknik
Göteborg C - Haga station
CH 2
Kombinerad analys

Uppdrag: Västlänken, AKF05 Geoteknik
Beställare: Trafikverket
Skala (A4): 1:500

Analysmetod: Morgenstern-Price
Glidytor: Grid and Radius (optimization: No)
GW & portryck: Piezometric Line
Filnamn: CH 2.gsz
Senast sparad: 2013-08-27; 15:25:43

P:\2321\2305478_AKF5 Västlänken\000_AKF5 Västlänken\13BERÄKNINGAR\AKF 05 - 005 Stabilitet_befintliga förhållanden\CH Centralen - Haga\CH 2.gsz





Name: Lera 1
Model: Combined, S=f(depth)
Unit Weight: 16,5 kN/m³
Phi': 30 °
Cu-Top of Layer: 20 kPa
Cu-Rate of Change: 0 kPa/m
C/Cu Ratio: 0,1
Anisotropic Strength Fn: K0=0,7 (Left to right)
Piezometric Line: 1

Name: Friktionsjord
Model: Mohr-Coulomb
Unit Weight: 21 kN/m³
Cohesion': 0 kPa
Phi': 35 °
Unit Wt. Above Water Table: 19 kN/m³
Piezometric Line: 1

Name: Lera (under älv)
Model: Spatial Mohr-Coulomb
Unit Weight: 16 kN/m³
Cohesion': 1,6 kPa
Phi': 30 °
Anisotropic Strength Fn: K0=0,7 (Left to right)
Piezometric Line: 1

Name: Lera 2
Model: Combined, S=f(datum)
Unit Weight: 16,5 kN/m³
Phi': 30 °
Cu-Datum: 20 kPa
Cu-Rate of Change: 1,3 kPa/m
C/Cu Ratio: 0,1
Datum (Elevation): -7 m
Anisotropic Strength Fn: K0=0,7 (Left to right)
Piezometric Line: 1

Name: Kajmur
Model: Mohr-Coulomb
Unit Weight: 21 kN/m³
Cohesion': 2 000 kPa
Phi': 40 °
Piezometric Line: 1

Name: last uppt. av pålar
Model: Mohr-Coulomb
Unit Weight: 15 kN/m³
Cohesion': 1 000 kPa
Phi': 37 °
Unit Wt. Above Water Table: 0,1 kN/m³
Piezometric Line: 1

Name: Stenkista
Model: Mohr-Coulomb
Unit Weight: 20 kN/m³
Cohesion': 1 000 kPa
Phi': 35 °
Unit Wt. Above Water Table: 18 kN/m³
Piezometric Line: 1

Name: Fyllnadsmaterial
Model: Mohr-Coulomb
Unit Weight: 20 kN/m³
Cohesion': 0 kPa
Phi': 35 °
Unit Wt. Above Water Table: 18 kN/m³
Piezometric Line: 1

Name: Lera 3
Model: Combined, S=f(datum)
Unit Weight: 16 kN/m³
Phi': 30 °
Cu-Datum: 23,9 kPa
Cu-Rate of Change: 1,3 kPa/m
C/Cu Ratio: 0,1
Datum (Elevation): -10 m
Anisotropic Strength Fn: K0=0,7 (Left to right)
Piezometric Line: 1

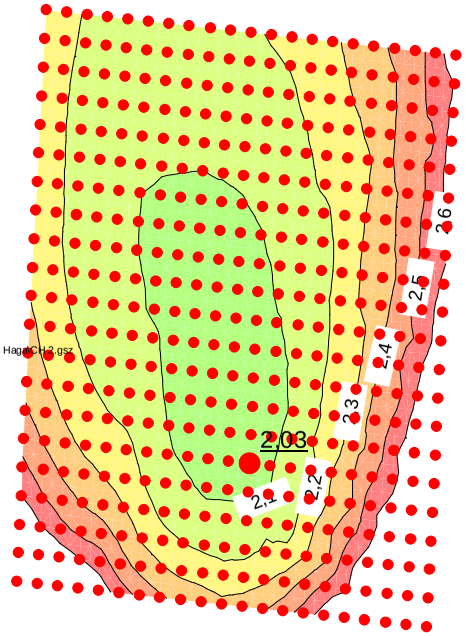
SWECO

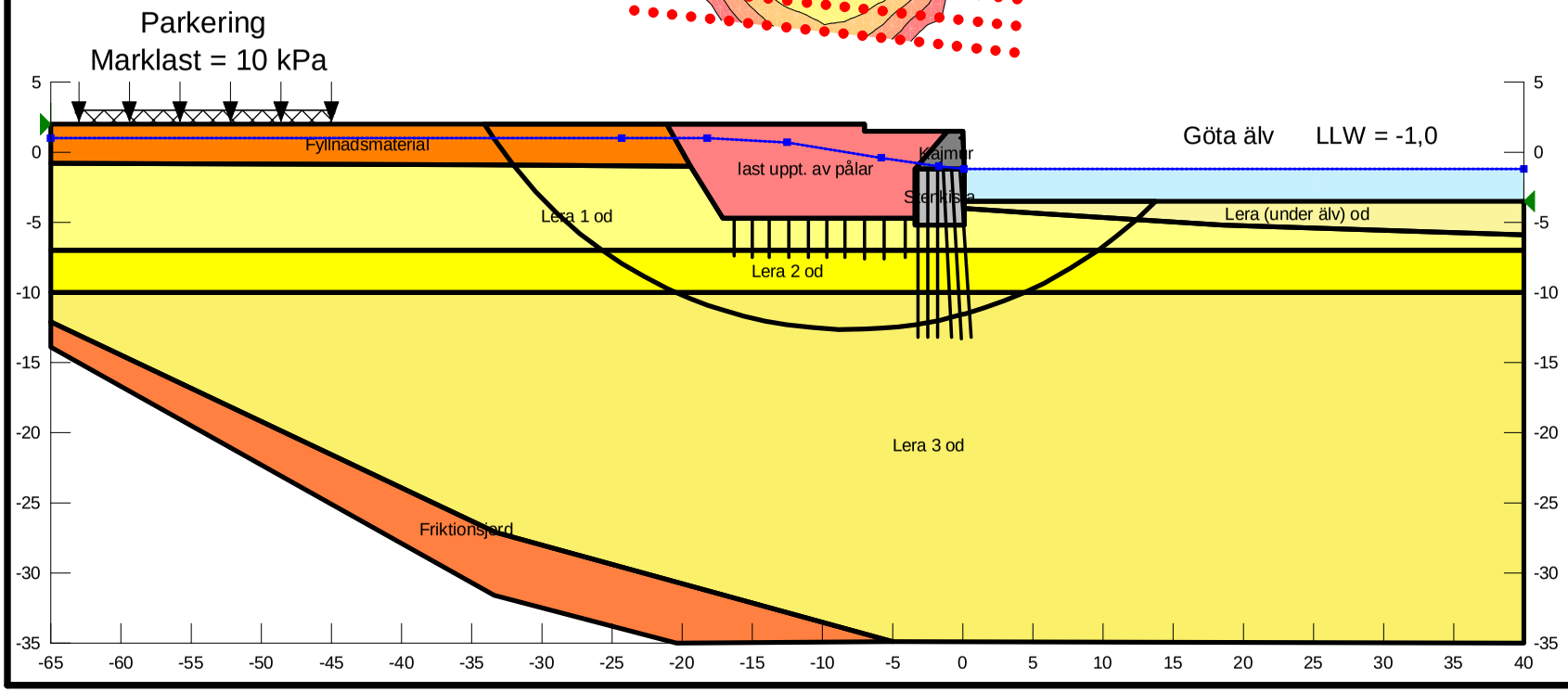
Västlänken
AKF 05 Geoteknik
Göteborg C - Haga station
CH 2
Odränerad analys

Uppdrag: Västlänken, AKF05 Geoteknik
Beställare: Trafikverket
Skala (A4): 1:500

Analysmetod: Morgenstern-Price
Glidytor: Grid and Radius (optimization: No)
GW & portryck: Piezometric Line
Filnamn: CH 2.gsz
Senast sparad: 2013-08-27; 15:25:43

P:\2321\2305478_AKF5 Västlänken\000_AKF5 Västlänken\13BERÄKNINGAR\AKF 05 - 005 Stabilitet_berintliga förhållanden\CH Centralen - Haga\CH 2.gsz





Name: Friktionsjord
Model: Mohr-Coulomb
Unit Weight: 21 kN/m³
Cohesion': 0 kPa
Phi': 35 °
Unit Wt. Above Water Table: 19 kN/m³
Piezometric Line: 1

Name: Lera 1 od
Model: Undrained (Phi=0)
Unit Weight: 16,5 kN/m³
Cohesion': 20 kPa
Anisotropic Strength Fn: K0=0,7 (Left to right)
Piezometric Line: 1

Name: Lera 2 od
Model: S=f(datum)
Unit Weight: 16,5 kN/m³
C-Datum: 20 kPa
C-Rate of Change: 1,3 kPa/m
Datum (Elevation): -7 m
Anisotropic Strength Fn: K0=0,7 (Left to right)
Piezometric Line: 1

Name: Kajmur
Model: Mohr-Coulomb
Unit Weight: 21 kN/m³
Cohesion': 2 000 kPa
Phi': 40 °
Piezometric Line: 1

Name: last uppt. av pålar
Model: Mohr-Coulomb
Unit Weight: 15 kN/m³
Cohesion': 1 000 kPa
Phi': 37 °
Unit Wt. Above Water Table: 0,1 kN/m³
Piezometric Line: 1

Name: Lera (under älv) od
Model: Spatial Mohr-Coulomb
Unit Weight: 16 kN/m³
Cohesion Spatial Fn: Påverkade sediment
Phi': 0 °
Piezometric Line: 1

Name: Stenkista
Model: Mohr-Coulomb
Unit Weight: 20 kN/m³
Cohesion': 1 000 kPa
Phi': 35 °
Unit Wt. Above Water Table: 18 kN/m³
Piezometric Line: 1

Name: Fyllnadsmaterial
Model: Mohr-Coulomb
Unit Weight: 20 kN/m³
Cohesion': 0 kPa
Phi': 35 °
Unit Wt. Above Water Table: 18 kN/m³
Piezometric Line: 1

Name: Lera 3 od
Model: S=f(datum)
Unit Weight: 16 kN/m³
C-Datum: 23,9 kPa
C-Rate of Change: 1,3 kPa/m
Datum (Elevation): -10 m
Anisotropic Strength Fn: K0=0,7 (Left to right)
Piezometric Line: 1

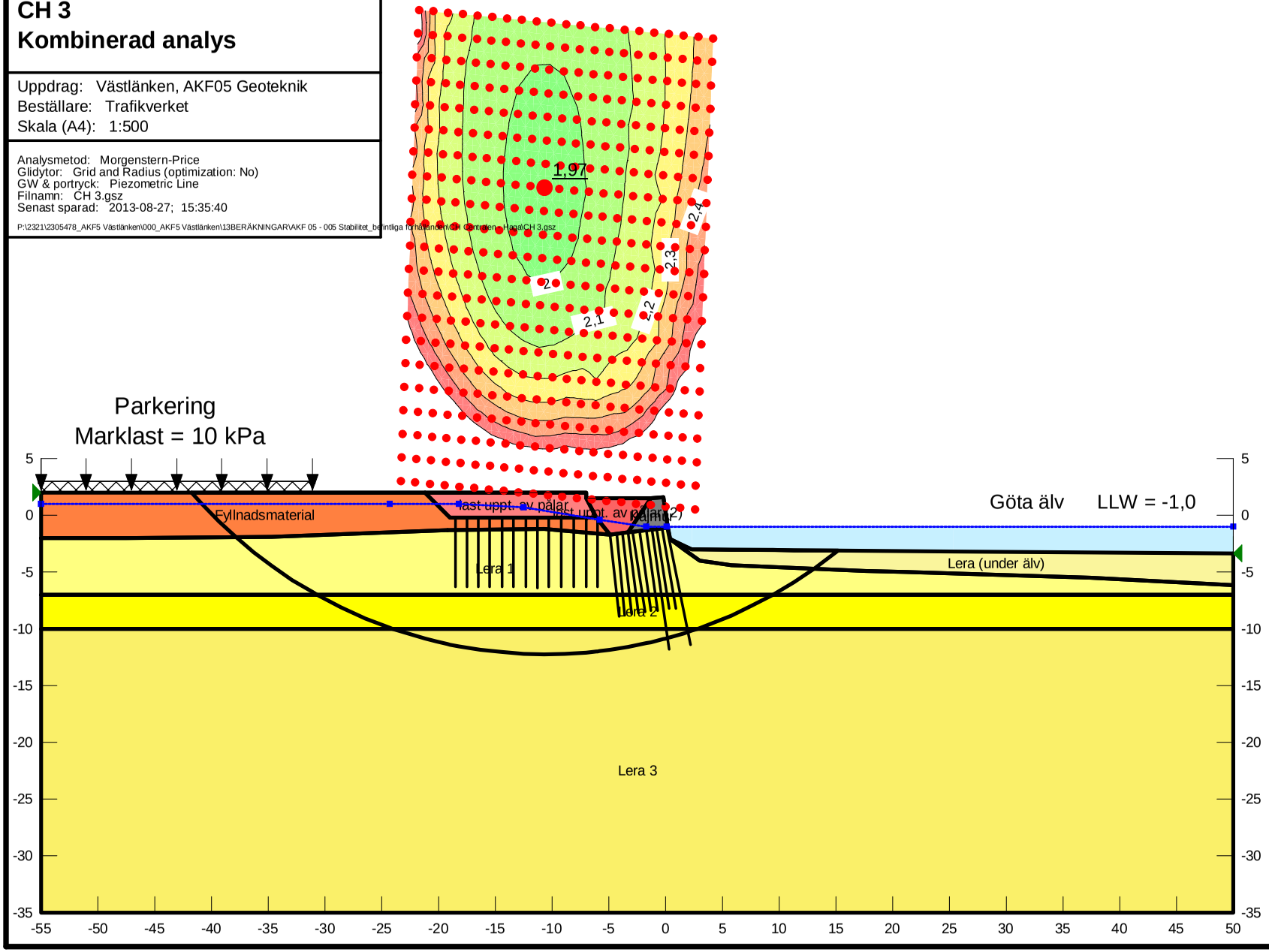
SWECO

Västlänken
AKF 05 Geoteknik
Göteborg C - Haga station
CH 3
Kombinerad analys

Uppdrag: Västlänken, AKF05 Geoteknik
Beställare: Trafikverket
Skala (A4): 1:500

Analysmetod: Morgenstern-Price
Glidytor: Grid and Radius (optimization: No)
GW & portryck: Piezometric Line
Filnamn: CH 3.gsz
Senast sparad: 2013-08-27; 15:35:40

P:\2321\2305478_AKF5 Västlänken\000_AKF5 Västlänken\13BERÄKNINGAR\AKF 05 - 005 Stabilitet_berintliga förhållanden\CH Centralen - Haga\CH 3.gsz



Name: Lera 1
Model: Combined, S=f(depth)
Unit Weight: 16,5 kN/m³
Phi': 30 °
Cu-Top of Layer: 20 kPa
Cu-Rate of Change: 0 kPa/m
C/Cu Ratio: 0,1
Anisotropic Strength Fn: K0=0,7 (Left to right)
Piezometric Line: 1

Name: Fyllnadsmaterial
Model: Mohr-Coulomb
Unit Weight: 20 kN/m³
Cohesion': 0 kPa
Phi': 35 °
Unit Wt. Above Water Table: 18 kN/m³
Piezometric Line: 1

Name: Lera (under älv)
Model: Spatial Mohr-Coulomb
Unit Weight: 16 kN/m³
Cohesion': 1,6 kPa
Phi': 30 °
Anisotropic Strength Fn: K0=0,7 (Left to right)
Piezometric Line: 1

Name: Lera 2
Model: Combined, S=f(datum)
Unit Weight: 16,5 kN/m³
Phi': 30 °
Cu-Datum: 20 kPa
Cu-Rate of Change: 1,3 kPa/m
C/Cu Ratio: 0,1
Datum (Elevation): -7 m
Anisotropic Strength Fn: K0=0,7 (Left to right)
Piezometric Line: 1

Name: Kajmur
Model: Mohr-Coulomb
Unit Weight: 21 kN/m³
Cohesion': 2 000 kPa
Phi': 40 °
Piezometric Line: 1

Name: last uppt. av pålar
Model: Mohr-Coulomb
Unit Weight: 15 kN/m³
Cohesion': 1 000 kPa
Phi': 33 °
Unit Wt. Above Water Table: 0,001 kN/m³
Piezometric Line: 1

Name: last uppt. av pålar (2)
Model: Mohr-Coulomb
Unit Weight: 15 kN/m³
Cohesion': 1 000 kPa
Phi': 33 °
Piezometric Line: 1

Name: Lera 3
Model: Combined, S=f(datum)
Unit Weight: 16,5 kN/m³
Phi': 30 °
Cu-Datum: 23,9 kPa
Cu-Rate of Change: 1,3 kPa/m
C/Cu Ratio: 0,1
Datum (Elevation): -10 m
Anisotropic Strength Fn: K0=0,7 (Left to right)
Piezometric Line: 1

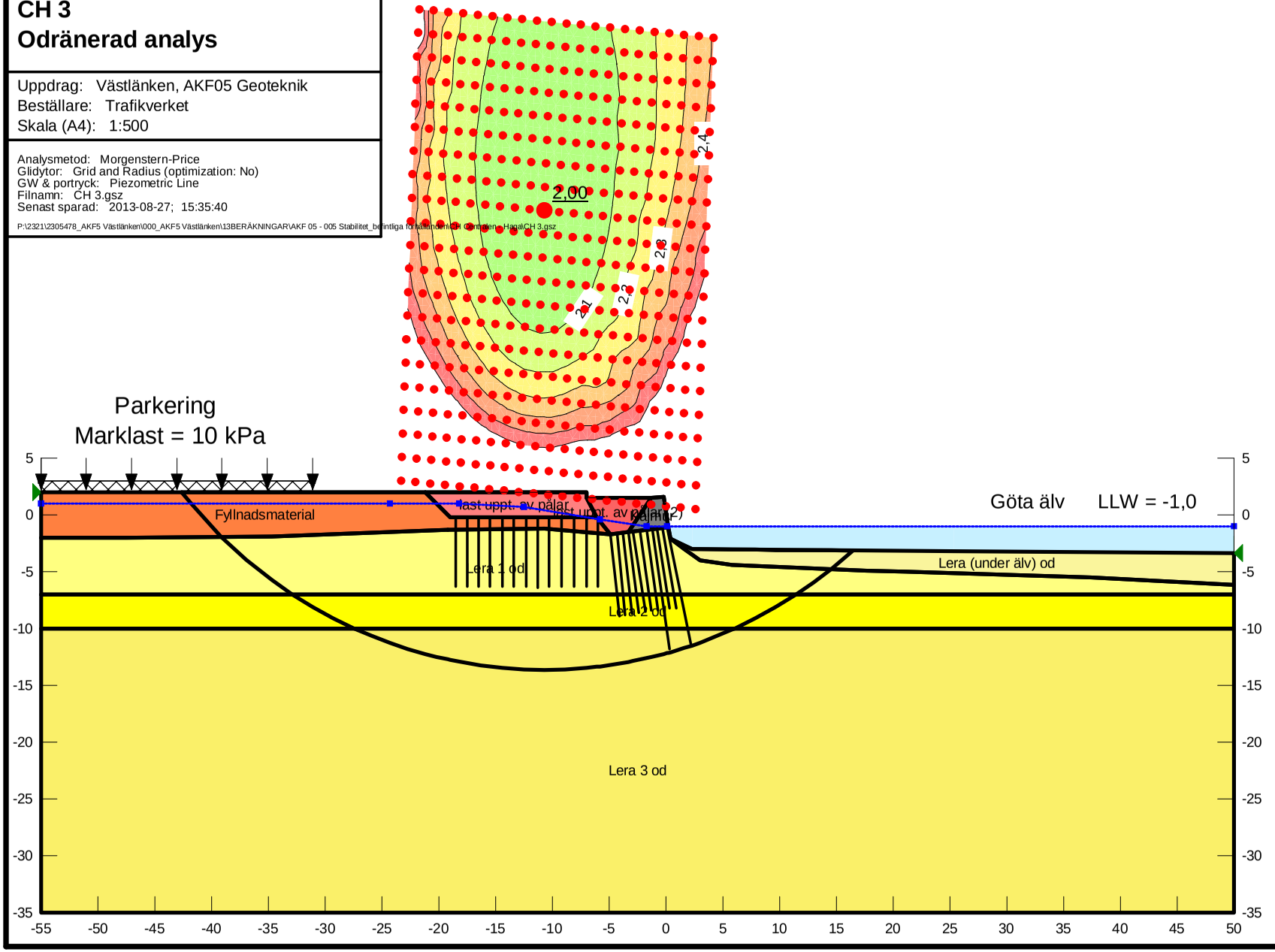
SWECO

Västlänken
AKF 05 Geoteknik
Göteborg C - Haga station
CH 3
Odränerad analys

Uppdrag: Västlänken, AKF05 Geoteknik
Beställare: Trafikverket
Skala (A4): 1:500

Analysmetod: Morgenstern-Price
Glidytor: Grid and Radius (optimization: No)
GW & portryck: Piezometric Line
Filnamn: CH 3.gsz
Senast sparad: 2013-08-27; 15:35:40

P:\2321\2305478_AKF5 Västlänken\000_AKF5 Västlänken\13BERÄKNINGAR\AKF 05 - 005 Stabilitet_berintliga förhållanden\CH 3\Västlänken - Haga\CH 3.gsz



Name: Fyllnadsmaterial
Model: Mohr-Coulomb
Unit Weight: 20 kN/m³
Cohesion': 0 kPa
Phi': 35 °
Unit Wt. Above Water Table: 18 kN/m³
Piezometric Line: 1

Name: Lera 1 od
Model: Undrained (Phi=0)
Unit Weight: 16,5 kN/m³
Cohesion': 20 kPa
Anisotropic Strength Fn: K0=0,7 (Left to right)
Piezometric Line: 1

Name: Lera 2 od
Model: S=f(datum)
Unit Weight: 16,5 kN/m³
C-Datum: 20 kPa
C-Rate of Change: 1,3 kPa/m
Datum (Elevation): -7 m
Anisotropic Strength Fn: K0=0,7 (Left to right)
Piezometric Line: 1

Name: Kajmur
Model: Mohr-Coulomb
Unit Weight: 21 kN/m³
Cohesion': 2 000 kPa
Phi': 40 °
Piezometric Line: 1

Name: last uppt. av pålar
Model: Mohr-Coulomb
Unit Weight: 15 kN/m³
Cohesion': 1 000 kPa
Phi': 33 °
Unit Wt. Above Water Table: 0,001 kN/m³
Piezometric Line: 1

Name: Lera (under älv) od
Model: Spatial Mohr-Coulomb
Unit Weight: 16 kN/m³
Cohesion Spatial Fn: Påverkade sediment
Phi': 0 °
Anisotropic Strength Fn: K0=0,7 (Left to right)
Piezometric Line: 1

Name: last uppt. av pålar (2)
Model: Mohr-Coulomb
Unit Weight: 15 kN/m³
Cohesion': 1 000 kPa
Phi': 33 °
Piezometric Line: 1

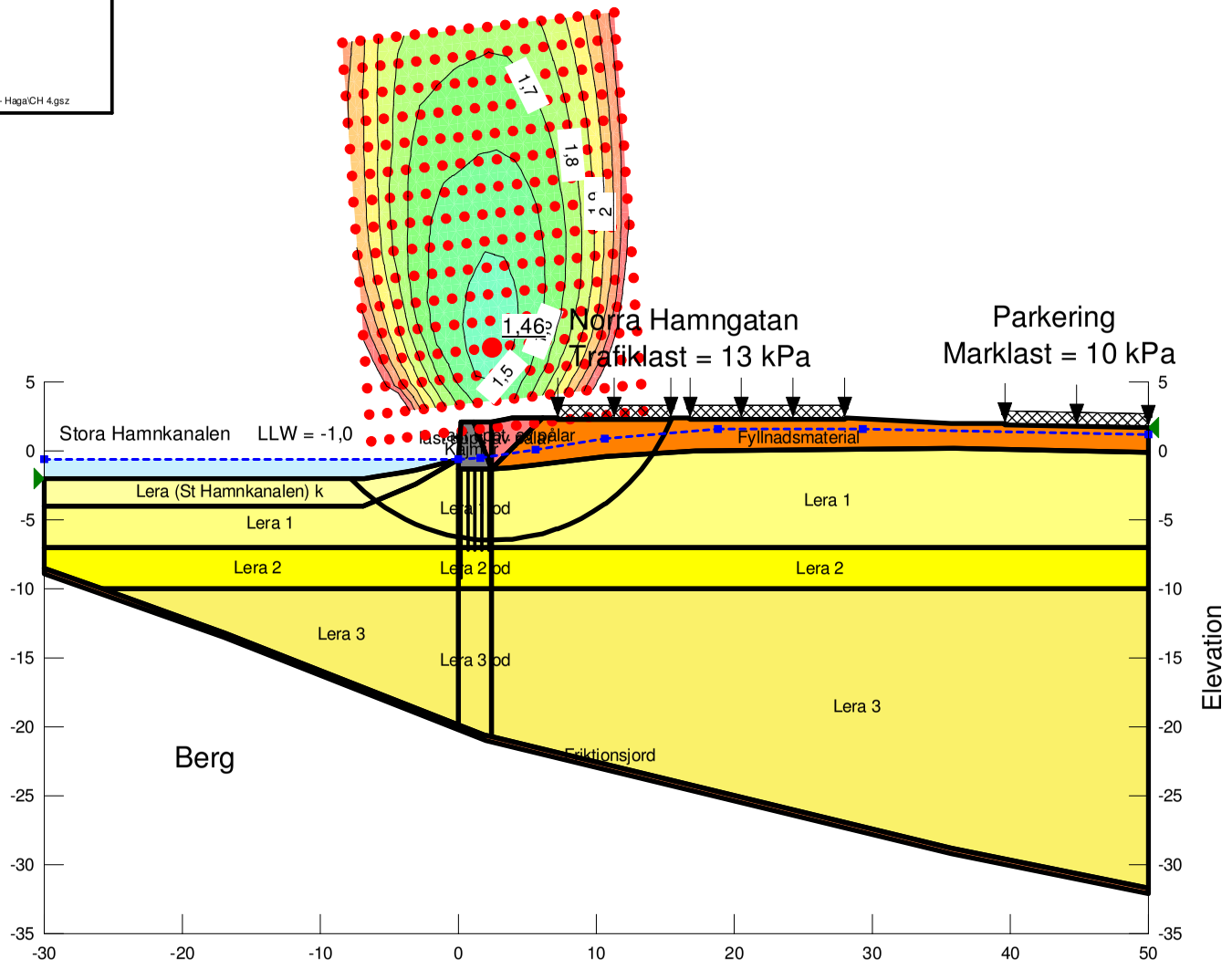
Name: Lera 3 od
Model: S=f(datum)
Unit Weight: 16,5 kN/m³
C-Datum: 23,9 kPa
C-Rate of Change: 1,3 kPa/m
Datum (Elevation): -10 m
Anisotropic Strength Fn: K0=0,7 (Left to right)
Piezometric Line: 1

Västlänken
AKF 05 Geoteknik
Göteborg C - Haga station
CH 4
Kombinerad analys

Uppdrag: Västlänken, AKF05 Geoteknik
Beställare: Trafikverket
Skala (A4): 1:500

Analysmetod: Morgenstern-Price
Glidytor: Grid and Radius (optimization: No)
GW & portryck: Piezometric Line
Filnamn: CH 4.gsz
Senast sparad: 2014-07-02; 17:15:48

G:\Projekt\2013\1370425 Västlänken, AKF5\12BERÄKNINGAR\CH Centralen - Haga\CH 4.gsz



Name: Lera (St Hamnkanalen) k
Model: Spatial Mohr-Coulomb
Unit Weight: 16 kN/m³
Cohesion': 1,2 kPa
Phi': 30 °
Phi-B: 0 °
Anisotropic Strength Fn: K0=0,7 (Right to left)
Piezometric Line: 1

Name: Lera 1
Model: Combined, S=f(depth)
Unit Weight: 16,5 kN/m³
Phi': 30 °
C-Rate of Change: 0 (kN/m²)/m
Cu-Top of Layer: 20 kPa
Cu-Rate of Change: 0 (kN/m²)/m
C/Cu Ratio: 0,1
Anisotropic Strength Fn: K0=0,7 (Right to left)
Piezometric Line: 1

Name: Friktionsjord
Model: Mohr-Coulomb
Unit Weight: 21 kN/m³
Cohesion': 0 kPa
Phi': 35 °
Constant Unit Wt. Above Water Table: 19 kN/m³
Piezometric Line: 1

Name: Lera 1 od
Model: Undrained (Phi=0)
Unit Weight: 16,5 kN/m³
Cohesion': 20 kPa
Anisotropic Strength Fn: K0=0,7 (Right to left)
Piezometric Line: 1

Name: Lera 2
Model: Combined, S=f(datum)
Unit Weight: 16,5 kN/m³
Phi': 30 °
C-Datum: 0 kPa
C-Rate of Change: 0 (kN/m²)/m
Cu-Datum: 20 kPa
Cu-Rate of Change: 1,3 (kN/m²)/m
C/Cu Ratio: 0,1
Datum (Elevation): -7 m
Anisotropic Strength Fn: K0=0,7 (Right to left)
Piezometric Line: 1

Name: Lera 2 od
Model: S=f(datum)
Unit Weight: 16,5 kN/m³
C-Datum: 20 kPa
C-Rate of Change: 1,3 (kN/m²)/m
Datum (Elevation): -7 m
Anisotropic Strength Fn: K0=0,7 (Right to left)
Piezometric Line: 1

Name: Kajmur
Model: Mohr-Coulomb
Unit Weight: 21 kN/m³
Cohesion': 2 000 kPa
Phi': 40 °
Piezometric Line: 1

Name: last uppt. av pålar
Model: Mohr-Coulomb
Unit Weight: 15 kN/m³
Cohesion': 1 000 kPa
Phi': 33 °
Constant Unit Wt. Above Water Table: 0,001 kN/
Piezometric Line: 1

Name: Fyllnadsmaterial
Model: Mohr-Coulomb
Unit Weight: 20 kN/m³
Cohesion': 0 kPa
Phi': 35 °
Constant Unit Wt. Above Water Table: 18 kN/m³
Piezometric Line: 1

Name: Lera 3
Model: Combined, S=f(datum)
Unit Weight: 16 kN/m³
Phi': 30 °
C-Datum: 0 kPa
C-Rate of Change: 0 (kN/m²)/m
Cu-Datum: 23,9 kPa
Cu-Rate of Change: 1,3 (kN/m²)/m
C/Cu Ratio: 0,1
Datum (Elevation): -10 m
Anisotropic Strength Fn: K0=0,7 (Right to left)
Piezometric Line: 1

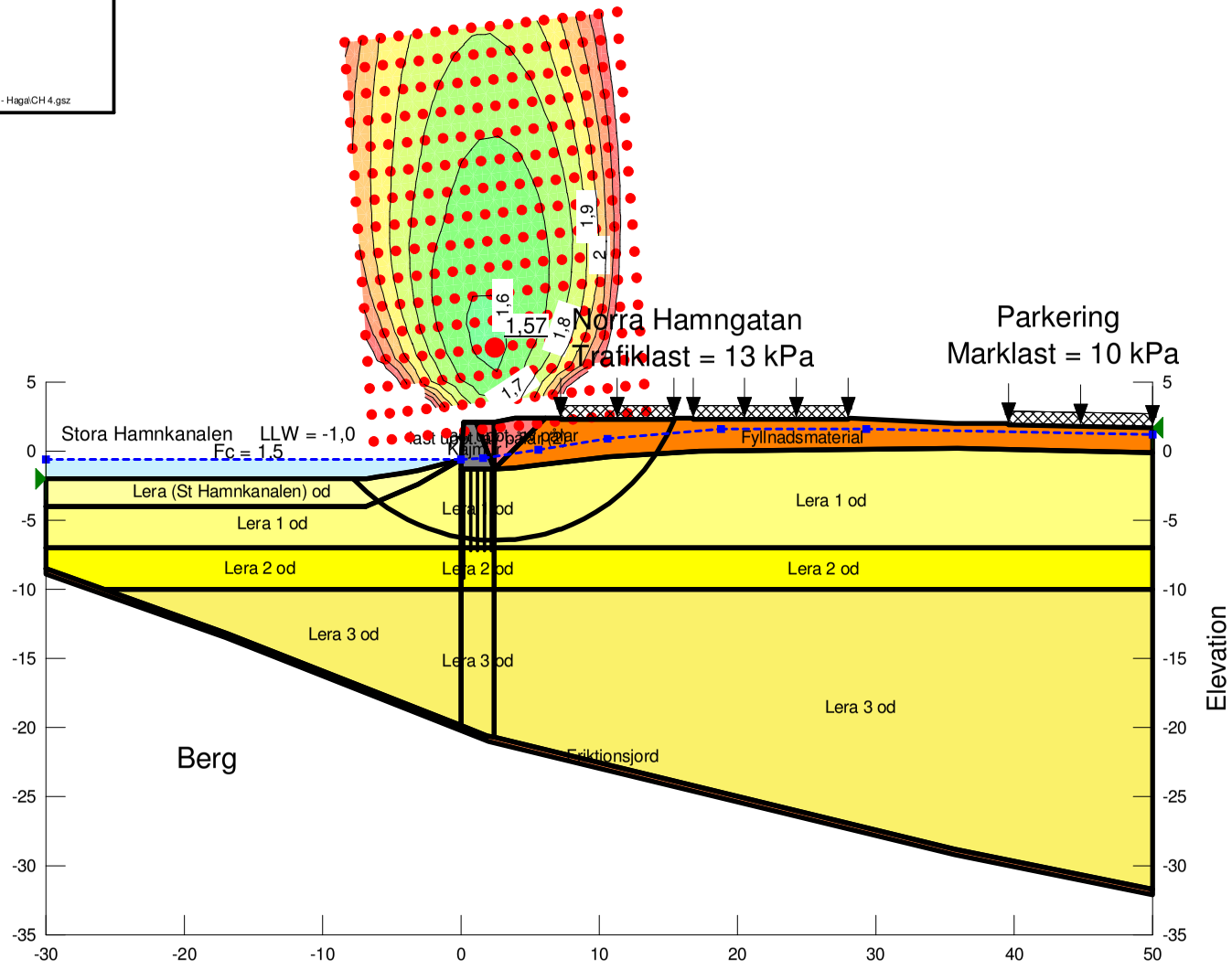
Name: Lera 3 od
Model: S=f(datum)
Unit Weight: 16 kN/m³
C-Datum: 23,9 kPa
C-Rate of Change: 1,3 (kN/m²)/m
Datum (Elevation): -10 m
Anisotropic Strength Fn: K0=0,7 (Right to left)
Piezometric Line: 1

Västlänken
AKF 05 Geoteknik
Göteborg C - Haga station
CH 4
Odränerad analys

Uppdrag: Västlänken, AKF05 Geoteknik
Beställare: Trafikverket
Skala (A4): 1:500

Analysmetod: Morgenstern-Price
Glidytor: Grid and Radius (optimization: No)
GW & portryck: Piezometric Line
Filnamn: CH 4.gsz
Senast sparad: 2014-07-02; 17:15:48

G:\Projekt\2013\1370425 Västlänken, AKF5\12BERÄKNINGAR\CH Centralen - Haga\CH 4.gsz



Name: Friktionsjord
Model: Mohr-Coulomb
Unit Weight: 21 kN/m³
Cohesion': 0 kPa
Phi': 35 °
Constant Unit Wt. Above Water Table: 19 kN/m³
Piezometric Line: 1

Name: Lera 1 od
Model: Undrained (Phi=0)
Unit Weight: 16,5 kN/m³
Cohesion': 20 kPa
Anisotropic Strength Fn: K0=0,7 (Right to left)
Piezometric Line: 1

Name: Lera 2 od
Model: S=f(datum)
Unit Weight: 16,5 kN/m³
C-Datum: 20 kPa
C-Rate of Change: 1,3 (kN/m²)/m
Datum (Elevation): -7 m
Anisotropic Strength Fn: K0=0,7 (Right to left)
Piezometric Line: 1

Name: Kajmur
Model: Mohr-Coulomb
Unit Weight: 21 kN/m³
Cohesion': 2 000 kPa
Phi': 40 °
Piezometric Line: 1

Name: last uppt. av pålar
Model: Mohr-Coulomb
Unit Weight: 15 kN/m³
Cohesion': 1 000 kPa
Phi': 33 °
Constant Unit Wt. Above Water Table: 0,001 kN/m³
Piezometric Line: 1

Name: last uppt. av pålar (2)
Model: Mohr-Coulomb
Unit Weight: 15 kN/m³
Cohesion': 1 000 kPa
Phi': 33 °
Piezometric Line: 1

Name: Fyllnadsmaterial
Model: Mohr-Coulomb
Unit Weight: 20 kN/m³
Cohesion': 0 kPa
Phi': 35 °
Constant Unit Wt. Above Water Table: 18 kN/m³
Piezometric Line: 1

Name: Lera 3 od
Model: S=f(datum)
Unit Weight: 16 kN/m³
C-Datum: 23,9 kPa
C-Rate of Change: 1,3 (kN/m²)/m
Datum (Elevation): -10 m
Anisotropic Strength Fn: K0=0,7 (Right to left)
Piezometric Line: 1

Name: Lera (St Hamnkanalen) od
Model: Spatial Mohr-Coulomb
Unit Weight: 16 kN/m³
Cohesion Spatial Fn: New Cohesion Function
Phi': 30 °
Anisotropic Strength Fn: K0=0,7 (Right to left)
Piezometric Line: 1

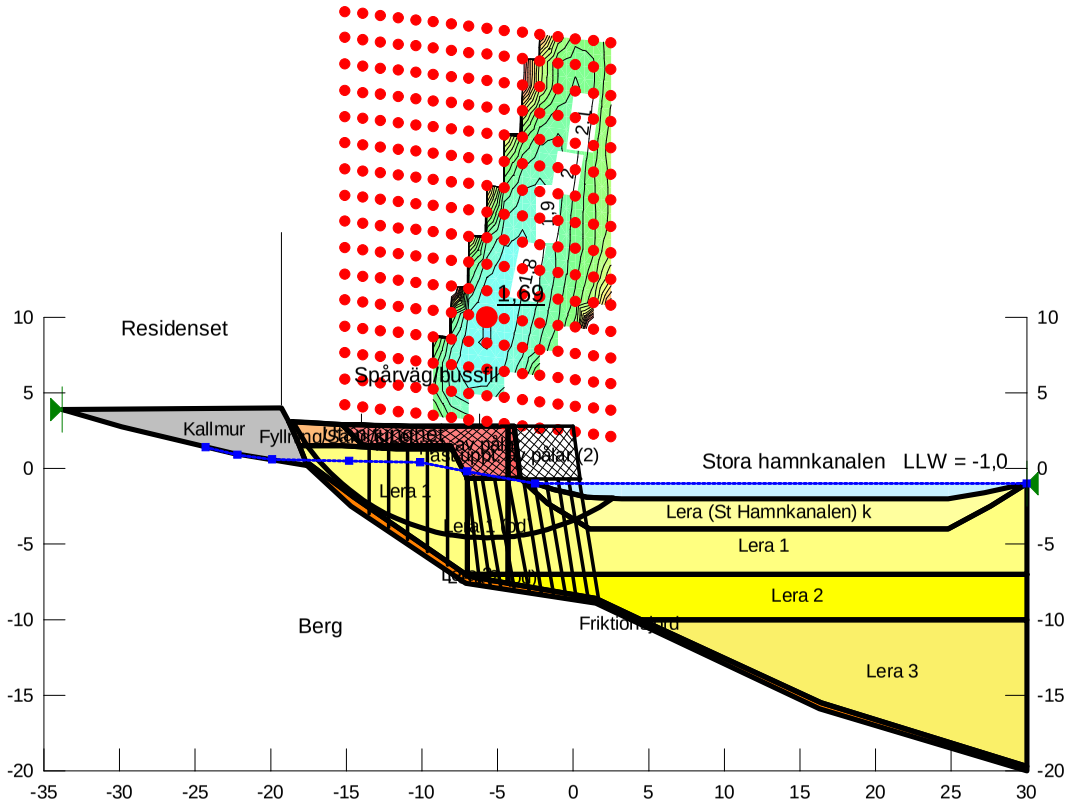
SWECO

Västlänken
AKF 05 Geoteknik
Göteborg C - Haga station
CH 5
Kombinerad analys

Uppdrag: Västlänken, AKF05 Geoteknik
Beställare: Trafikverket
Skala (A4): 1:500

Analysmetod: Morgenstern-Price
Glidytor: Grid and Radius (optimization: No)
GW & portryck: Piezometric Line
Filnamn: CH 5.gsz
Senast sparad: 2013-08-26; 17:02:13
P:\2321\2305478_AKF5 Västlänken\000_AKF5 Västlänken\13BERÄKNINGAR\AKF 05 - 005 Stabilitet_befintliga förhållanden\CH Centralen - Haga\CH 5.gsz

Område med raster representerar pålad konstruktion.



Name: Fyllning/Sand/siLet
Model: Mohr-Coulomb
Unit Weight: 20 kN/m³
Cohesion': 0 kPa
Phi': 35 °
Unit Wt. Above Water Table: 18 kN/m³
Piezometric Line: 1

Name: Lera 1
Model: Combined, S=f(depth)
Unit Weight: 16,5 kN/m³
Phi': 30 °
Cu-Top of Layer: 20 kPa
Cu-Rate of Change: 0 kPa/m
C/Cu Ratio: 0,1
Anisotropic Strength Fn: K0=0,7 (Left to right)
Piezometric Line: 1

Name: Lera 2
Model: Combined, S=f(datum)
Unit Weight: 16,5 kN/m³
Phi': 30 °
Cu-Datum: 20 kPa
Cu-Rate of Change: 1,3 kPa/m
C/Cu Ratio: 0,1
Datum (Elevation): -7 m
Anisotropic Strength Fn: K0=0,7 (Left to right)
Piezometric Line: 1

Name: Friktionsjord
Model: Mohr-Coulomb
Unit Weight: 21 kN/m³
Cohesion': 0 kPa
Phi': 35 °
Unit Wt. Above Water Table: 19 kN/m³
Piezometric Line: 1

Name: Lera 1 (od)
Model: S=f(depth)
Unit Weight: 16,5 kN/m³
Anisotropic Strength Fn: K0=0,7 (Left to right)
Piezometric Line: 1

Name: Kallmur
Model: Mohr-Coulomb
Unit Weight: 20 kN/m³
Cohesion': 1 000 kPa
Phi': 0 °
Piezometric Line: 1

Name: Lera 2 (od)
Model: S=f(datum)
Unit Weight: 16,5 kN/m³
Datum (Elevation): -7 m
Anisotropic Strength Fn: K0=0,7 (Left to right)
Piezometric Line: 1

Name: last uppt. av pålar
Model: Mohr-Coulomb
Unit Weight: 15 kN/m³
Cohesion': 1 000 kPa
Phi': 35 °
Unit Wt. Above Water Table: 0,001 kN/m³
Piezometric Line: 1

Name: last uppt. av pålar (2)
Model: Mohr-Coulomb
Unit Weight: 15 kN/m³
Cohesion': 1 000 kPa
Phi': 35 °
Piezometric Line: 1

Name: Lera 3
Model: Combined, S=f(datum)
Unit Weight: 16 kN/m³
Phi': 30 °
Cu-Datum: 23,9 kPa
Cu-Rate of Change: 1,3 kPa/m
C/Cu Ratio: 0,1
Datum (Elevation): -10 m
Anisotropic Strength Fn: K0=0,7 (Left to right)
Piezometric Line: 1

Name: Lera (St Hamnkanalen) k
Model: Spatial Mohr-Coulomb
Unit Weight: 16 kN/m³
Cohesion': 1,2 kPa
Phi': 30 °
Anisotropic Strength Fn: K0=0,7 (Left to right)
Piezometric Line: 1

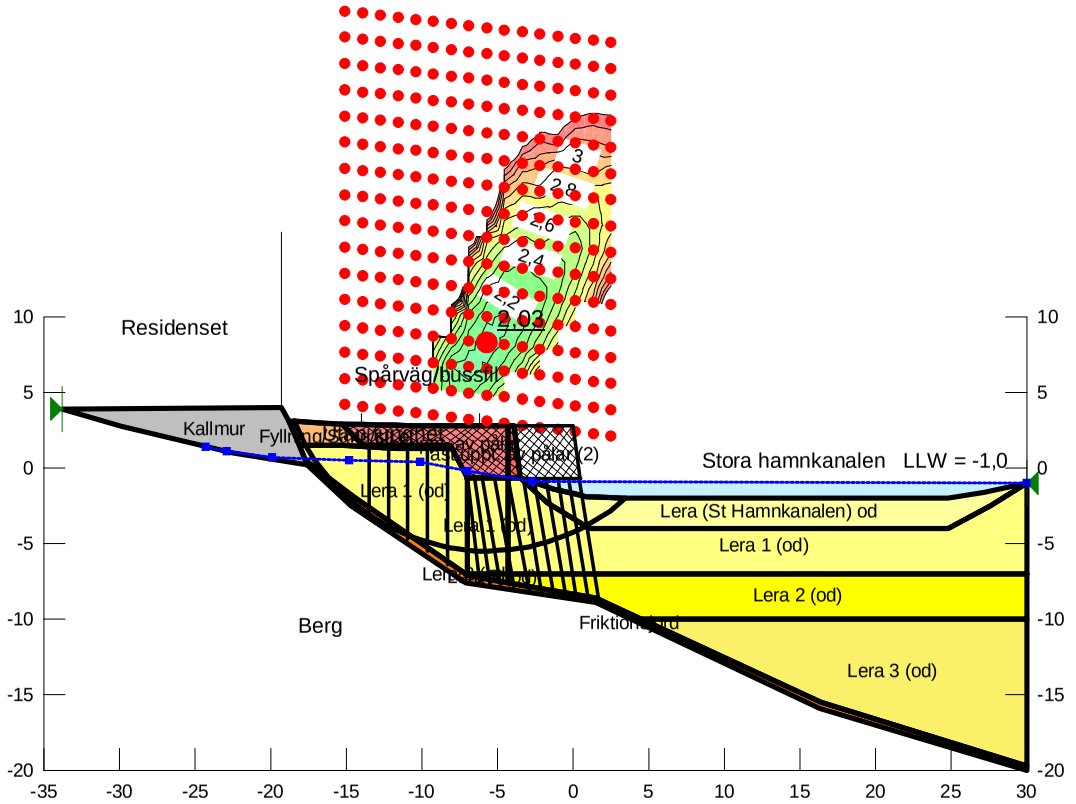
SWECO

Västlänken
AKF 05 Geoteknik
Göteborg C - Haga station
CH 5
Odränerad analys

Uppdrag: Västlänken, AKF05 Geoteknik
Beställare: Trafikverket
Skala (A4): 1:500

Analysmetod: Morgenstern-Price
Glidytor: Grid and Radius (optimization: No)
GW & portryck: Piezometric Line
Filnamn: CH 5.gsz
Senast sparad: 2013-08-26; 17:02:13
P:\232\230547\8_AKF 5 Västlänken\000_AKF5 Västlänken\13BERÄKNINGAR\AKF 05 - 005 Stabilitet_befintliga förhållanden\CH Centralen - Haga\CH 5.gsz

Område med raster representerar pålad konstruktion.



Name: Fyllning/Sand/siLet
Model: Mohr-Coulomb
Unit Weight: 20 kN/m³
Cohesion': 0 kPa
Phi': 35 °
Unit Wt. Above Water Table: 18 kN/m³
Piezometric Line: 1

Name: Friktionsjord
Model: Mohr-Coulomb
Unit Weight: 21 kN/m³
Cohesion': 0 kPa
Phi': 35 °
Unit Wt. Above Water Table: 19 kN/m³
Piezometric Line: 1

Name: Lera 1 (od)
Model: S=f(depth)
Unit Weight: 16,5 kN/m³
C-Top of Layer: 20 kPa
C-Rate of Change: 0 kPa/m
Anisotropic Strength Fn: K0=0,7 (Left to right)
Piezometric Line: 1

Name: Kallmur
Model: Mohr-Coulomb
Unit Weight: 20 kN/m³
Cohesion': 1 000 kPa
Phi': 0 °
Piezometric Line: 1

Name: Lera 2 (od)
Model: S=f(datum)
Unit Weight: 16,5 kN/m³
C-Datum: 20 kPa
C-Rate of Change: 1,3 kPa/m
Datum (Elevation): -7 m
Anisotropic Strength Fn: K0=0,7 (Left to right)
Piezometric Line: 1

Name: last uppt. av pålar
Model: Mohr-Coulomb
Unit Weight: 15 kN/m³
Cohesion': 1 000 kPa
Phi': 35 °
Unit Wt. Above Water Table: 0,001 kN/m³
Piezometric Line: 1

Name: last uppt. av pålar (2)
Model: Mohr-Coulomb
Unit Weight: 15 kN/m³
Cohesion': 1 000 kPa
Phi': 35 °
Piezometric Line: 1

Name: Lera 3 (od)
Model: S=f(datum)
Unit Weight: 16 kN/m³
C-Datum: 23,9 kPa
C-Rate of Change: 1,3 kPa/m
Datum (Elevation): -10 m
Anisotropic Strength Fn: K0=0,7 (Left to right)
Piezometric Line: 1

Name: Lera (St Hamnkanalen) od
Model: Spatial Mohr-Coulomb
Unit Weight: 16 kN/m³
Cohesion Spatial Fn: New Cohesion Function
Phi': 30 °
Anisotropic Strength Fn: K0=0,7 (Left to right)
Piezometric Line: 1

SWECO

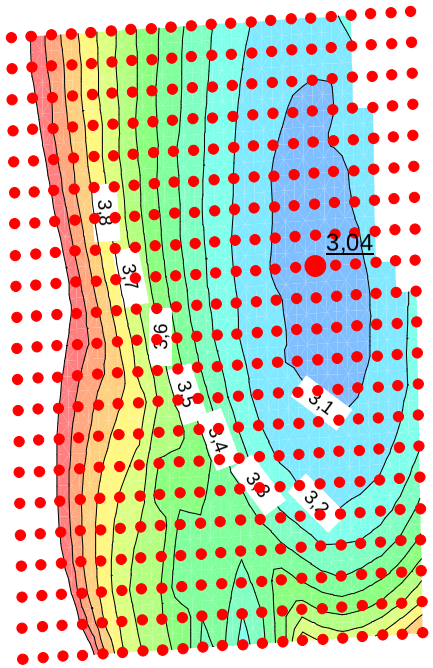
Västlänken
AKF 05 Geoteknik
Göteborg C - Haga station
CH 6
Kombinerad analys

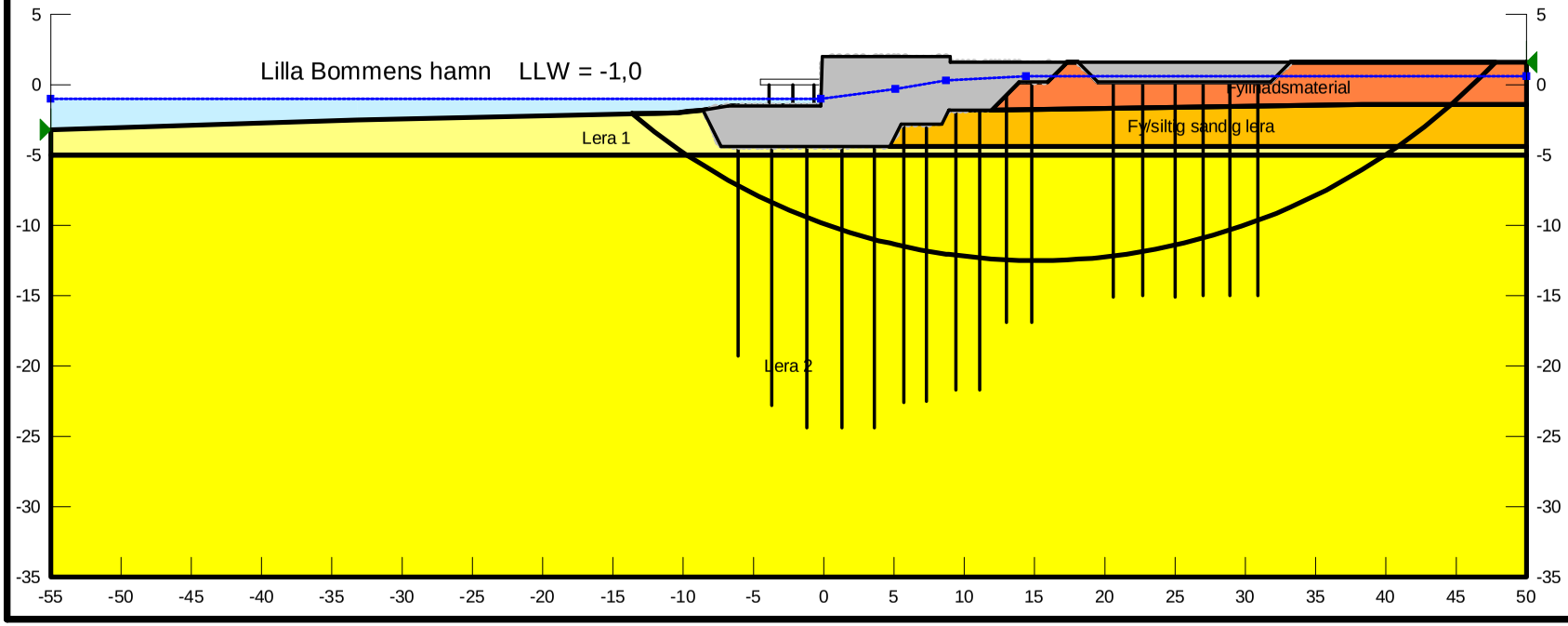
Uppdrag: Västlänken, AKF05 Geoteknik
Beställare: Trafikverket
Skala (A4): 1:500

Analysmetod: Morgenstern-Price
Glidytor: Grid and Radius (optimization: No)
GW & portryck: Piezometric Line
Filnamn: CH 6.gsz
Senast sparad: 2013-06-12; 08:45:06

P:\2321\2305478_AKF5 Västlänken\000_AKF5 Västlänken\13BERÄKNINGAR\AKF 05 - 005 Stabilitet_befintliga förhållanden\CH Centralen - Haga\CH 6.gsz

Last upptagen av bankpålning





Name: Fy/siltig sandig lera
Model: Combined, S=f(depth)
Unit Weight: 17 kN/m³
Phi': 32 °
Cu-Top of Layer: 18 kPa
Cu-Rate of Change: 0 kPa/m
C/Cu Ratio: 0,1
Piezometric Line: 1

Name: Lera 1
Model: Combined, S=f(depth)
Unit Weight: 15,5 kN/m³
Phi': 30 °
Cu-Top of Layer: 18 kPa
Cu-Rate of Change: 0 kPa/m
C/Cu Ratio: 0,1
Anisotropic Strength Fn: K0=0,7 (Right to left)
Piezometric Line: 1

Name: Fyllnadsmaterial
Model: Mohr-Coulomb
Unit Weight: 20 kN/m³
Cohesion': 0 kPa
Phi': 35 °
Unit Wt. Above Water Table: 18 kN/m³
Piezometric Line: 1

Name: Lera 2
Model: Combined, S=f(datum)
Unit Weight: 16,3 kN/m³
Phi': 30 °
Cu-Datum: 18 kPa
Cu-Rate of Change: 1,8 kPa/m
C/Cu Ratio: 0,1
Datum (Elevation): -5 m
Anisotropic Strength Fn: K0=0,7 (Right to left)
Piezometric Line: 1

SWECO

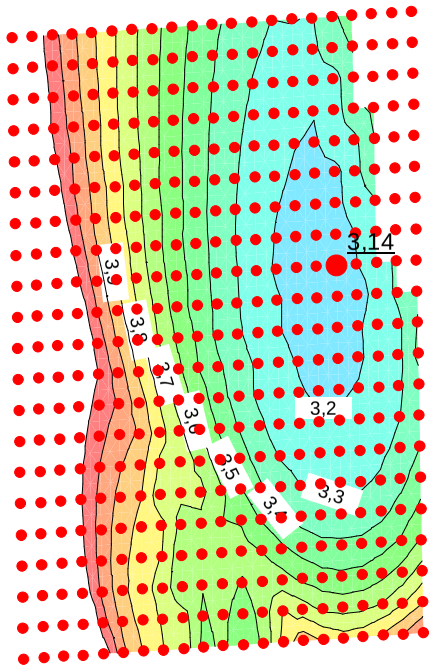
Västlänken
AKF 05 Geoteknik
Göteborg C - Haga station
CH 6
Odränerad analys

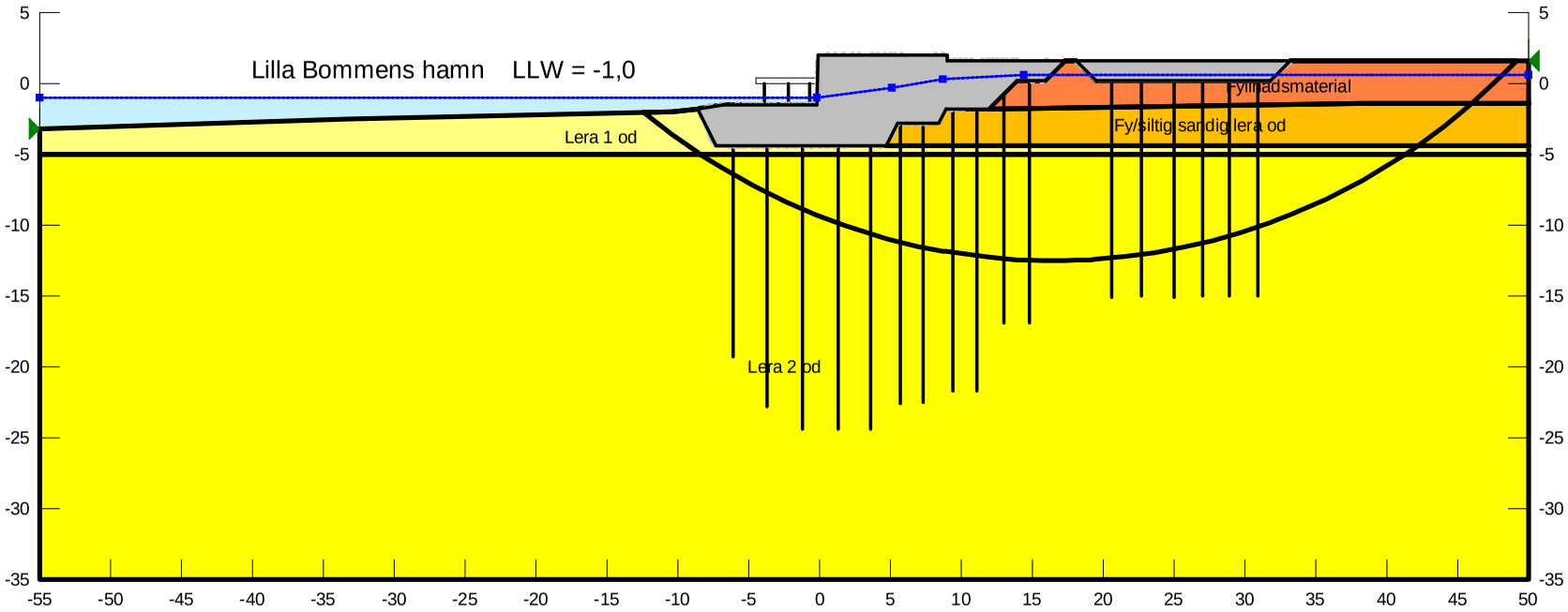
Uppdrag: Västlänken, AKF05 Geoteknik
Beställare: Trafikverket
Skala (A4): 1:500

Analysmetod: Morgenstern-Price
Glidytor: Grid and Radius (optimization: No)
GW & portryck: Piezometric Line
Filnamn: CH 6.gsz
Senast sparad: 2013-06-12; 08:45:06

P:\2321\2305478_AKF5 Västlänken\000_AKF5 Västlänken\13BERÄKNINGAR\AKF 05 - 005 Stabilitet_befintliga förhållanden\CH Centralen - Haga\CH 6.gsz

Last upptagen av bankpålning





Name: Fyllnadsmaterial
Model: Mohr-Coulomb
Unit Weight: 20 kN/m³
Cohesion': 0 kPa
Phi': 35 °
Unit Wt. Above Water Table: 18 kN/m³
Piezometric Line: 1

Name: Lera 1 od
Model: Undrained (Phi=0)
Unit Weight: 15,5 kN/m³
Cohesion': 18 kPa
Anisotropic Strength Fn: K0=0,7 (Right to left)
Piezometric Line: 1

Name: Lera 2 od
Model: S=f(datum)
Unit Weight: 16,3 kN/m³
C-Datum: 18 kPa
C-Rate of Change: 1,8 kPa/m
Datum (Elevation): -5 m
Anisotropic Strength Fn: K0=0,7 (Right to left)
Piezometric Line: 1

Name: Fy/siltig sandig lera od
Model: Undrained (Phi=0)
Unit Weight: 17 kN/m³
Cohesion': 20 kPa
Piezometric Line: 1

Bilaga 5

Ärendenummer
TRV2012/16353
Uppdragsnummer
Version: D

Dokumentdatum
2013-08-30
Sidor
1(18)

TRAFIKVERKET

Västlänken

PM F 05 – 018
Stabilitet befintliga förhållanden

BILAGA HH
Linje Station Haga

Revideringen avser:		
Avsnitt	Revideringen avser	Reviderad av

Upprättad av:	Urban Högsta	
Granskad av:	Ola Skepp	

Innehåll

1 Allmänt ... 3
2 Geotekniska undersökningar ... 4
2.1 Tidigare utförda undersökningar och utredningar ... 4
2.2 Utförda undersökningar och utredningar ... 4
3 Geoteknisk översikt ... 4
3.1 Topografi och områdesbeskrivning ... 4
3.2 Befintliga kajkonstruktioner ... 5
3.3 Befintliga geotekniska förstärkningsåtgärder ... 8
3.4 Geotekniska förhållanden ... 9
4 Stabilitet ... 14
4.1 Allmänt ... 14
4.2 Erforderlig säkerhetsfaktor ... 14
4.3 Beräkningsförutsättningar ... 15
4.4 Stabilitetsanalyser för befintliga förhållanden ... 16
4.5 Sammanställning av utförda stabilitetsanalyser ... 18
5 Slutsatser och rekommendationer ... 18

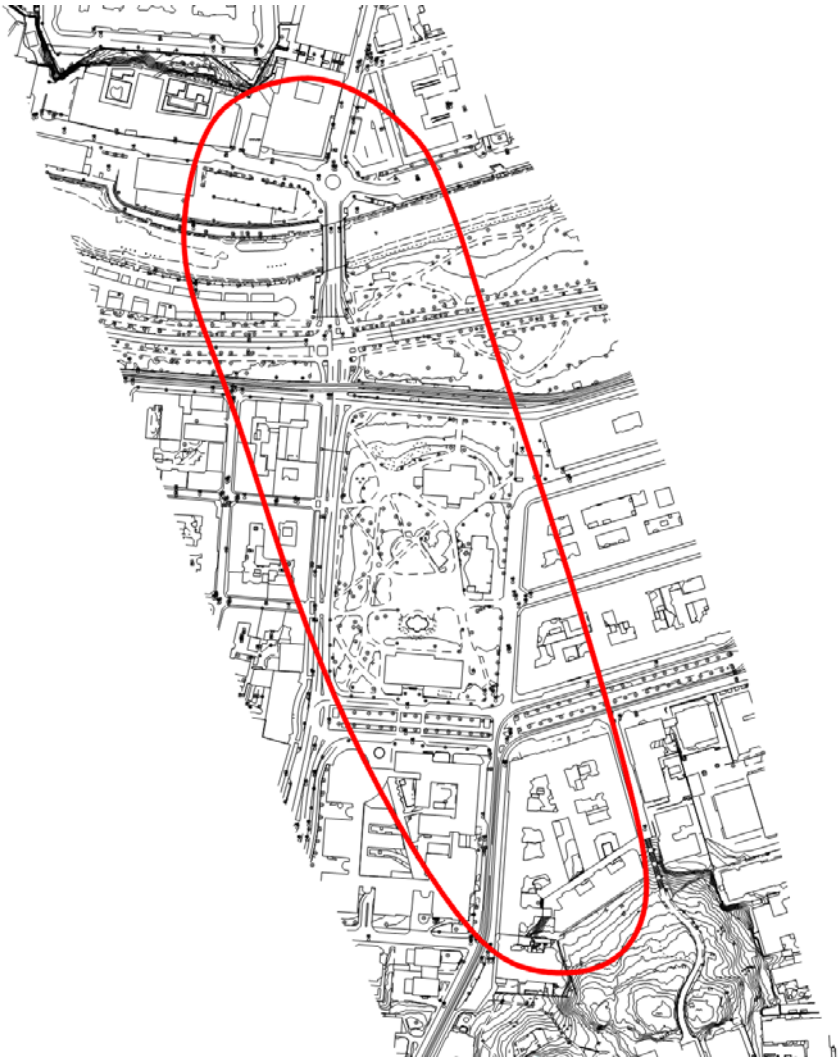
Bilaga HH.1 Stabilitetsanalyser

1 Allmänt

Inom uppdraget Västlänken AKF5 Geoteknik har den befintliga stabilitetssituationen längs med Västlänkens planerade sträckning analyserats. Utförda stabilitetutredningar/bedömningar syftar till att beskriva den befintliga stabiliteten i samband med upprättande av järnvägsplan, detaljplaner samt ansökan om tillstånd för vattenverksamhet.

Syftet med utredningen är att klarlägga stabilitetsförhållanden för befintliga förhållanden längs med Västlänkens sträckning.

Denna detaljerade stabilitetsutredning avser **delområde Station Haga (HH)**. Området framgår av Figur 1.



Figur 1 Översiktskarta över utredningsområdet.

Denna PM utgör underlag för att beskriva den befintliga stabiliteten inom hela det område som benämns HH. Det skall dock noteras att stora delar området utgörs av berg vilket innebär att stabilitetsproblematiken i praktik handlar om stabiliteten längs Rosenlundskanalen/Vallgraven.

Utredningen har utförts i enlighet med IEG Rapport 4:2010 ”Tillståndsbedömning/klassificering av naturliga slänter och slänter med befintlig bebyggelse och anläggningar, Vägledning för tillämpning av Skredkommissionens rapporter 3:95 och 2:96 (delar av)”.

2 Geotekniska undersökningar

2.1 Tidigare utförda undersökningar och utredningar

Inom och i anslutning till det aktuella undersökningsområdet har ett stort antal geotekniska undersökningar utförts under årens lopp. Materialet är mycket omfattande och innehåller såväl en stor mängd sonderingar som en stor mängd hållfasthetsbestämningar som underlag för nu utförda stabilitetsberäkningar. Tidigare undersökningar redovisas i *PM F 05 – 001 Inventering av tidigare utförda undersökningar*, *PM F 05 – 004 Markteknisk undersökningsrapport Geoteknik* för Västlänken med tillhörande ritningar och digitala geoarkiv.

Under 2011 utförde Sweco en detaljerad stabilitetsutredning längs Vallgraven och Rosenlundskanalen. Utredningen utfördes inom ramen för en stabilitetskartering på uppdrag av Stadsbyggnadskontoret, Göteborgs stad. Utredningen har beaktats vid bedömning av stabilitetsförhållandena inom området

- *Detaljerad stabilitetsutredning inom Göteborgs stad, Delområde S109*
  Sweco Infrastructure AB, 2011-09-15

2.2 Utförda undersökningar och utredningar

Ett stort antal geotekniska fält- och laboratorieundersökningar har utförts inom ramen för projekt Västlänken. Nu utförda undersökningar redovisas i sin helhet i *PM F 05 – 004 Markteknisk undersökningsrapport Geoteknik* med tillhörande ritningar och digitala geoarkiv.

3 Geoteknisk översikt

3.1 Topografi och områdesbeskrivning

Det aktuella området sträcker sig från Kungshöjd i norr till bergsområdet (Utsiktsplatsen) som är beläget strax söder om Vasagatan. Området utgörs idag dels av hårdgjorda ytor som gator, torg och parkeringsytor och dels av parkområdena kring Allén, Hagakyrkan och Utsiktsplatsen.

Utredningsområdet korsas av Rosenlundkanalen/Vallgraven (väster om Rosenlundsbron heter kanalen Rosenlundskanalen). Ursprungligen kallades vattendraget Vallgraven längs hela dess sträcka från Drottningtorget i öster till Göta älv i väster. Vallgraven grävdes i samband med att staden Göteborg bildades i början av 1600-talet. Vallgraven sicksackade sig fram längs 8 av de 10 bastioner som utgjorde fundamentet till det omfattande befästningsverk som omringade staden. Mellan majoriteten av bastionerna fanns även ytterligare befästningsdelar som kallades raveliner. Vallgraven omgärdade ursprungligen ravelinerna från alla håll, se mitten av den övre, vänstra bilden i Figur 2.

I samband med att befästningarna runt staden började rivas under första hälften av 1800-talet grävdes även Vallgraven om i syfte att anpassa vattendraget för transporter in och ut från stadskärnan. Omgrävningen utfördes i omgångar under 1800-talet och i huvudsak rätades Vallgraven ut väster om dagens Rosenlundsbro och döptes om till Rosenlundskanalen. Inom utredningsområdet, i anslutning till Vallgraven/Rosenlundsbron, finns således såväl rester från det gamla befästningsverket som utfyllda områden där den ursprungliga Vallgraven var belägen.

Källa, Jubileumsutställningen 1923



Göteborg år 1790



Göteborg år 1860



Göteborg år 1890



Göteborg år 1920

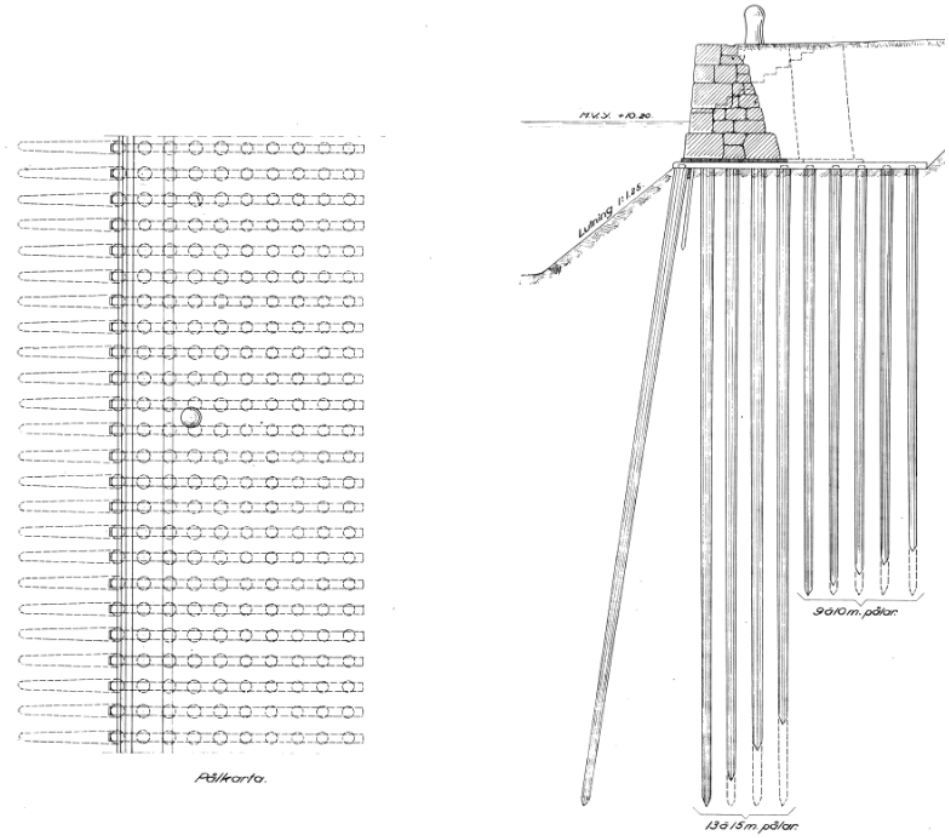
Figur 2 Historiska kartor som visar utreningsområdets utveckling och Vallgravens/Rosenlundskanalens omgrävningar under mellan slutet av 1700-talet till början av 1900-talet.

Berget stupar brant från nivån ca +12 uppe på Kungshöjd ner till nivån ca +4 vid Skattehuset (Inom Vallgraven 37:21). Därifrån sluttar markytan sluttar svagt i riktning mot Rosenlundskanalen/Vallgraven till nivån ca +2,5 vid kajlinjen. Vallgraven är ca 30 m bred och ca 3,5-4 m djup i förhållande till omgivande markyta. Södra kajkanten av Vallgraven ligger på nivån ca +1,5. Markytan stiger i riktning söderut upp mot Hagakyrkan där marknivån är ca +8.

3.2 Befintliga kajkonstruktioner

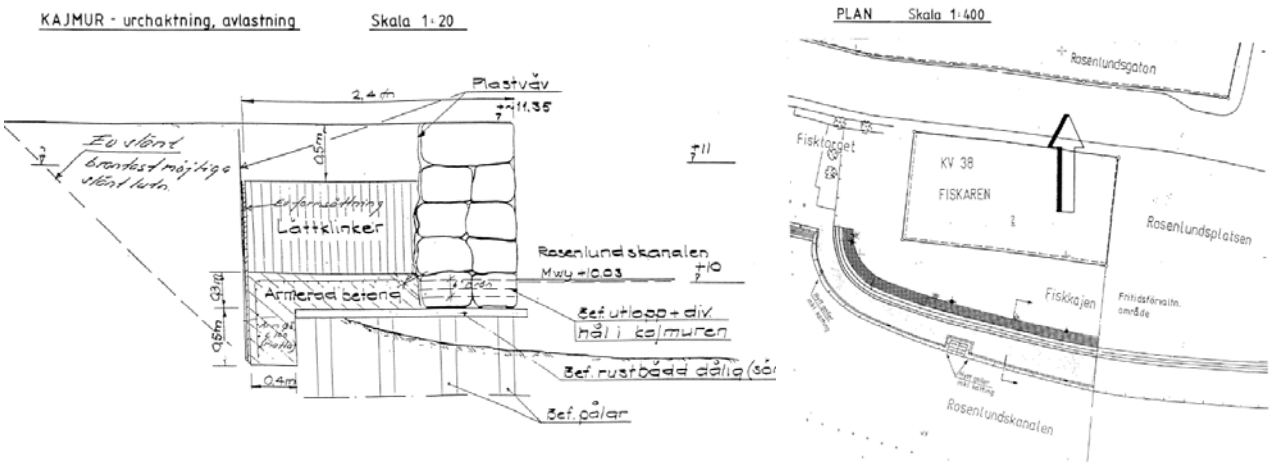
På norra sidan av Vallgraven och på ömse sidor av Rosenlundskanalen återfinns kajkonstruktioner. En omfattande arkivstudie har inom denna utredning utförts för att bestämma konstruktionernas typ och vilka konstruktioner som förekommer på vilka sträckor. I samband med arkivstudien har dock endast ett fåtal ritningar hittats.

För kajen på västra sidan av Rosenlundsbron och södra sidan av Rosenlundskanalen gäller sannolikt kajkonstruktionen som illustreras i Figur 3. Konstruktionen utgörs av en murstenskaj som vilar på en ca 6 m bred rustbädd. Rustbädden är grundlagd på träpålar i 10 rader där den yttersta pålraden lutar 1:8. De fem raderna närmast kanalen har en pållängd som varierar mellan 13-15 m medan pålarna inom de inre fem raderna är 9-10 m långa.



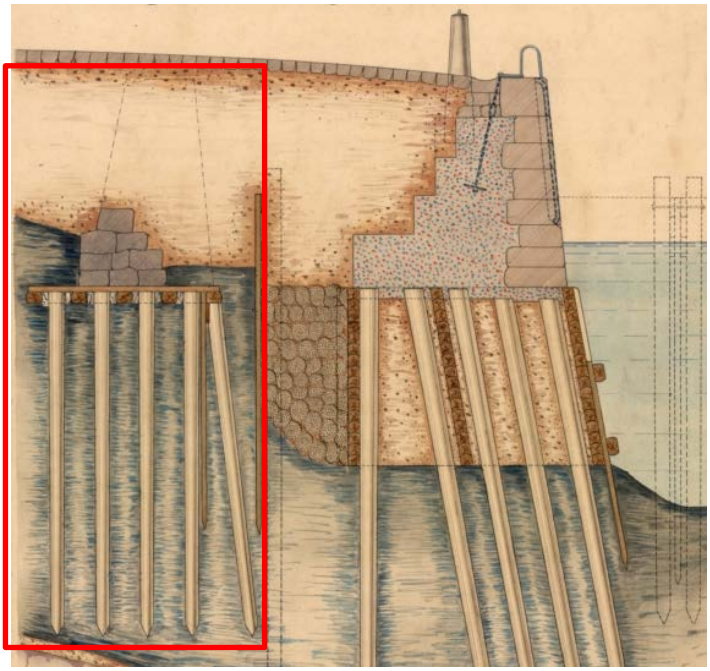
Figur 3 Kajkonstruktion längs södra sidan av Rosenlundskanalen väster om Rosenlundsbron

På norra sidan av Rosenlundskanalen mellan Rosenlundsbron och Fêskekyrkan illustreras kajkonstruktionen på en ritning (daterad 1994-06-14) som upprättades av Gatubolaget i samband med en förstärkning av kajen mellan Rosenlundsplatsen och Fêskekyrkan, se Figur 4. Kajkonstruktionen utgörs av en kajmur vilken vilar på en rustbädd. Rustbädden är grundlagd på träpålar i 4 rader. Förstärkningen som illustreras i figuren består av att en armerad betongplatta har gjutits ovan rustbädden innanför kajmuren samt att en ca 1 m tjock lättklinkerfyllning anlagts ovan betongplattan. Sannolikt har dock inte denna förstärkning utförts mellan Rosenlundsplatsens västra ände och Rosenlundsbron.



Figur 4 *Kajkonstruktion på norra sidan av Rosenlundskanalen, väster om Rosenlundsbron. Den vänstra delen av figuren visar den förstärkning som utfördes 1994 och den högra figuren visar inom vilken sträcka förstärkningen utfördes.*

Gällande kajkonstruktionen på norra sidan av Vallgraven, öster om Rosenlundsbron har inga ritningar påträffats. Erfarenhetsmässigt bedöms sannolikt en liknande konstruktionsprincip som illustreras inom den röda rutan i Figur 5 gälla. Figuren visar den ursprungliga kajkonstruktionen längs Södra Hamngatan vilken troligtvis är uppförd under samma tid som kajen längs norra sidan Vallgraven. Konstruktionsprincipen styrks av en undersökning av kajkonstruktionerna längs Vallgraven som utfördes av Gatubolaget under 2010. Det är dock svårt att avgöra hur bred rustbädden är, hur många pålrader som återfinns och hur långa pålarna är. Sannolikt är att det rör sig om 4-5 pålrader och att pålarna är 5 m långa eller längre.

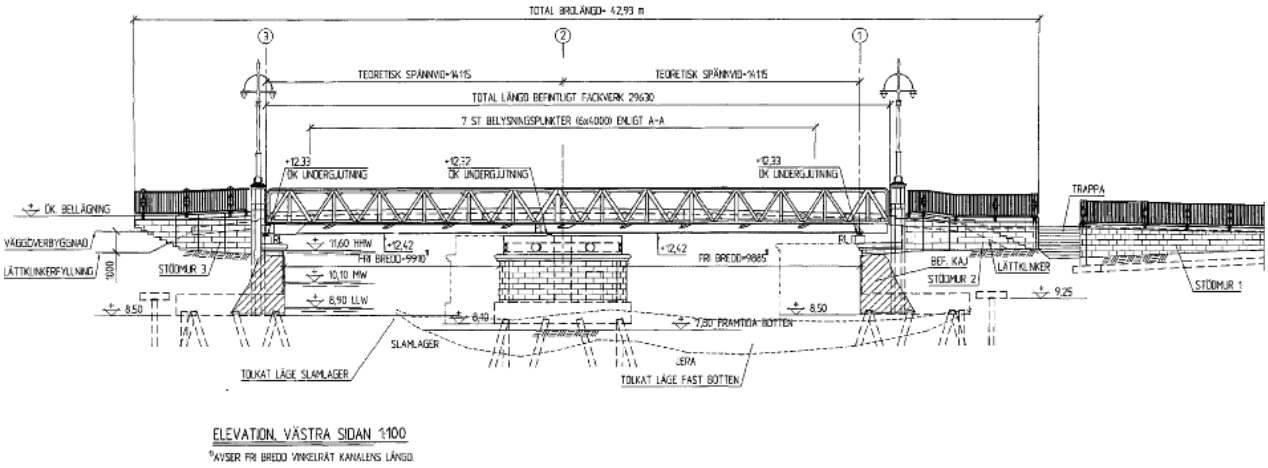


Figur 5 *Röd ruta markerar sannolik konstruktionstyp för kajmuren längs norra sidan Vallgraven, öster om Rosenlundsbron. Bilden visar en ursprunglig riven kajmur respektive befintlig kajmur vid Södra Hamngatan.*

3.3 Befintliga geotekniska förstärkningsåtgärder

Inom utredningsområdet vid Rosenlundsbron har geotekniska förstärkningsåtgärder tidigare utförts. Bakom landfästena finns en rad med vertikala bankpålar. Bankpålningen utgörs av 34 m långa kohesionspålar av betong (235x235) med pålplatta (1400x1400x330). Underkant pålplatta ligger på nivån +9,25 (-0,7 i RH2000).

Lastkompensation med 1 m lättklinkerfyllning har utförts på båda sidor om bron. Utbredningen av lättklinkern i plan framgår inte av tillgängliga ritningar.



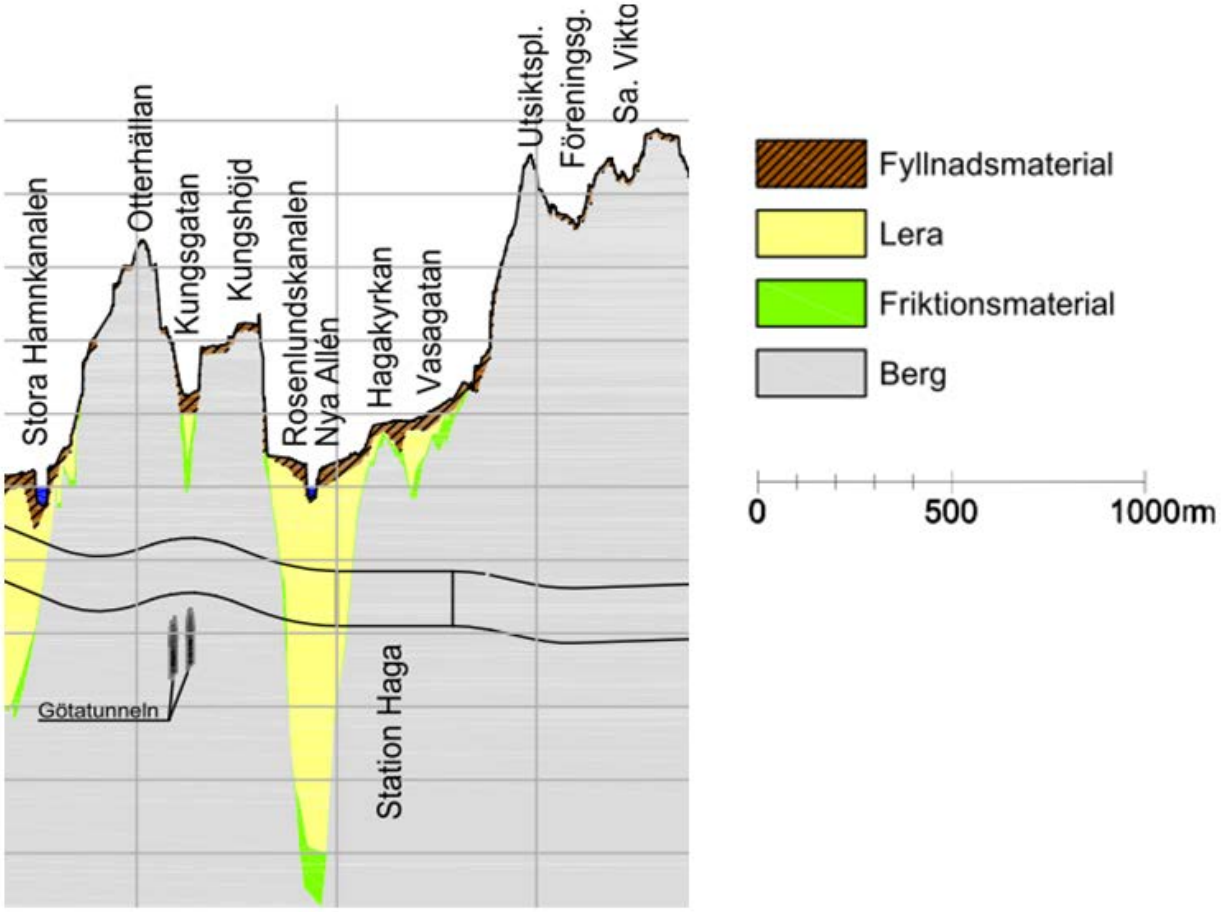
Figur 6 Rosenlundsbron över Rosenlundskanalen byggd 1999, ritning 1480-1029-1@03. Bankpålning och lättklinkerfyllning bakom landfästen.

3.4 Geotekniska förhållanden

Utvärdering av de geotekniska förhållandena inom utredningsområdet baseras på nu och tidigare utförda undersökningar.

3.4.1 Jordlagerföljd

I Figur 7 redovisas en profil som översiktligt visar jordlagerföljden inom området.



Figur 7 Översiktlig jord- och bergprofil för sträckan Station Haga.

Norra Sidan av Vallgraven

På norra sidan av Vallgraven utgörs jordlagren generell överst av 1-2 m fyllning. Fyllnadsmaterialet utgörs främst av överbyggnadsmaterial i form av grus och makadam för gator och andra hårdgjorda ytor. Med anledning av att Vallgraven grävts om några gånger under årens lopp finns mäktigare fyllnadslager lokalt längs Vallgraven. Strax öster om Rosenlundsbron har fyllnadsmäktigheter på ca 5-6 m påträffats vilket bedöms sammanfalla med tidigare igenfyllnad av Vallgraven.

Under fyllningen följer en naturligt avsatt, lös till halvfast och svagt överkonsoliderad, lera med varierande mäktighet. Utförda CPT-sonderingar indikerar på en relativt homogen lera utan någon förekomst av vattenförande skikt. Lermäktigheten ökar generellt mot sydöst. Vid Rosenlundsplatsen vilar fyllningen direkt på berg och vid Hvitfeldtsplatsen är lerans mäktighet ca 30 m. Närmast Vallgraven är lermäktigheterna ca 30 m i väster och ökar till ca 50 m strax öster om Rosenlundsbron.

Under leran följer generellt ett lager friktionsjord bestående av framförallt fast lagrad sand och grus men även block har påträffats i friktionsjorden. Mäktigheten ökar från ca 0,5 m i väster till ca 5 m öster om Rosenlundsbron närmast Vallgraven.

Berget är plansprängt i området kring Skattehuset vid Rosenlundsplatsen. Bergnivån ligger på ca +2 till +4 m vid Rosenlundsplatsen och sluttar därefter i sydvästligriktning ner mot Vallgraven. Bergnivån vid Vallgraven ligger på ca -40 i väster för att ligga som lägst strax öster om Rosenlundsbron på nivån ca -60.

Södra sidan av Vallgraven

På södra sidan av Vallgraven varierar utfyllnadens mäktighet en hel del inom området med anledning av att Vallgraven grävts om några gånger under årens lopp. Fyllnadsmäktigheterna varierar från nästan ingen alls inom vissa grönytor till närmare 6-7 m i Vallgravens tidigare läge.

Under fyllningen följer en naturligt avsatt, lös till halvfast och svagt överkonsoliderad, lera. Utförda CPT-sonderingar indikerar på en relativt homogen lera utan någon förekomst av vattenförande skikt. Närmast Vallgraven är lerans mäktighet ca 40-50 m med de största mäktigheterna öster om Rosenlundsbrons landfäste. Lermäktigheterna avtar generellt mot söder för att strax nedanför Haga kyrka ha en mäktighet på ca 2-4 m.

Under leran följer ett lager friktionsjord där mäktigheten generellt är mellan ca 0,5-2,0 m. Närmast Vallgraven ökar dock den underliggande friktionsjordens mäktighet från ca 0,5-1,0 m i väster till uppemot ca 8-14 m öster om Rosenlundsbronslandfäste. Friktionsjorden utgörs i huvudsak av hårt packad sand och grus.

Bergnivån närmast Vallgraven ligger på nivån ca -45 till -60 där bergnivåerna avtar mot öster. Vidare grundar berget upp mot söder där berget i slänten strax nedanför Haga kyrka ligger på nivån ca -2 till +4.

3.4.2 Densitet, vattenkvot, konflytgräns och sensitivitet

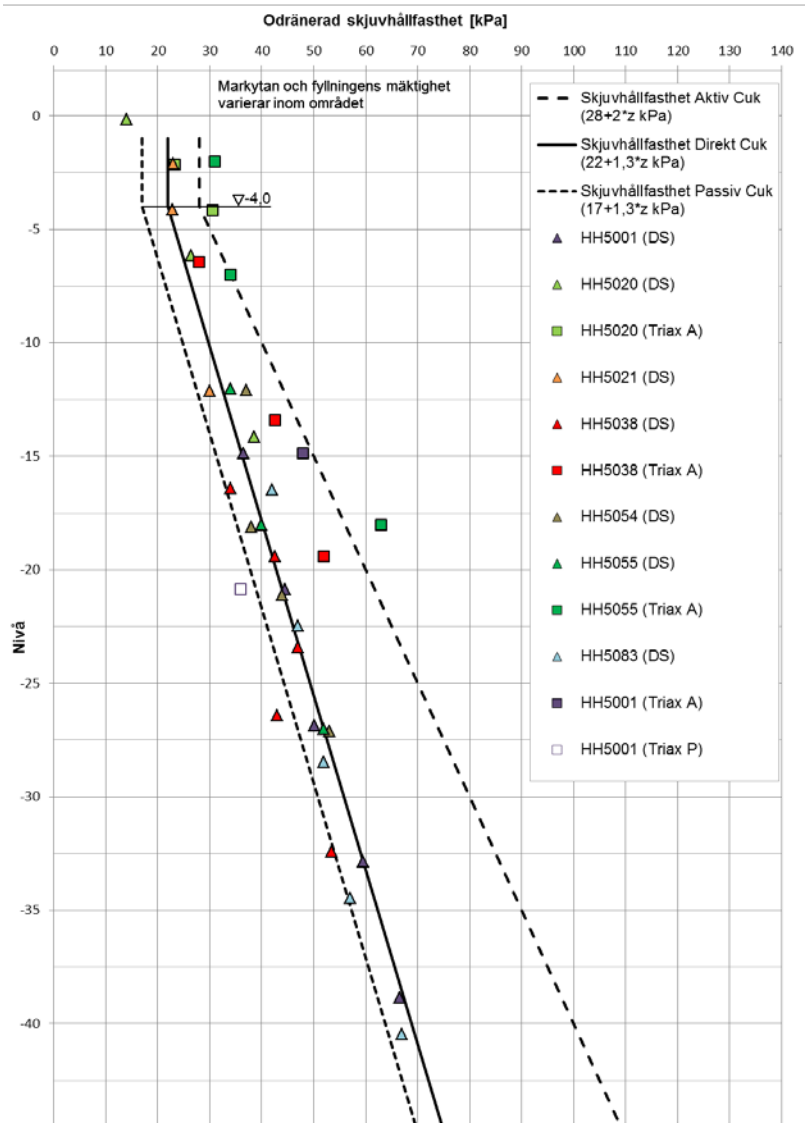
Lerans densitet varierar mellan 1,6-1,65 t/m^3 ned till ca 20 m djup för att därunder öka till 1,9 t/m^3 vid 40 m djup. Lerans vattenkvot är ca 70 % ned till 20 m djup. Därunder minskar vattenkvoten till 40 % vid 35 m djup vilket även gäller vidare mot djupet. Konflytgränsen är ca 75 % ned till djupet 20 m för därunder minska till 50 % vid 35 m djup. Vidare är sedan konflytgränsen 50 % mot djupet. Leran är mellansensitiv (s_t=10-20) genom hela lerprofilen.

3.4.3 Odränerad skjuvhållfasthet

Lerans odränerade skjuvhållfasthet har utvärderats från utförda hållfasthetsbestämningar i form av främst en stor mängd utförda direkta skjuvförsök och triaxialförsök som kompletterats med empiriska beräkningar med utgångspunkt från en stor mängd utförda CRS-försök. Som ytterligare stöd för hållfasthetsbestämningen har även fallkonförsök, vingförsök samt CPT-sonderingar beaktats.

Nedan redovisas utvärderade hållfasthet. I figuren redovisas utförda odränerade skjuv- samt triaxialförsök tillsammans med empiri framtagen enligt riktlinjer i SGI Info 3. Inom området finns även en stor mängd vingförsök samt CPT-sonderingar, vilka redovisas i MUR Geoteknik (PM F 05 – 004) och PM F 05 – 012 (Geotekniska materialparametrar, Station Haga).

Inom området är den valda odränerade hållfastheten 22 kPa ned till nivån -4 därunder är tillväxten 1,3 kPa/m, se Figur 8.



Figur 8 *Diagram över uppmätt respektive utvärderad odränerad skjuvhållfasthet för området. Svart, heldragen linje markerar vald hållfasthet.*

Under Rosenlundskanalen bedöms lerans odränerade skjuvhållfasthet vara något lägre inom de ytligare delarna av lerprofilen under kanalbotten än vad som gäller för motsvarande nivåer längs kanalens sidor. Detta beror på den avlastning som grävningen av kanalen medfört. Tidigare utförda undersökningar som

är utförda i kanalen inom utredningsområdet visar att hållfastheten generellt är ca 7 kPa i ytan av bottensedimenten och för att vid som mest 1,5 m under kanalbotten nå motsvarande hållfasthetsvärde som gäller för samma nivå inom kajområdena längs kanalens sidor.

3.4.4 Grundvatten och portryck

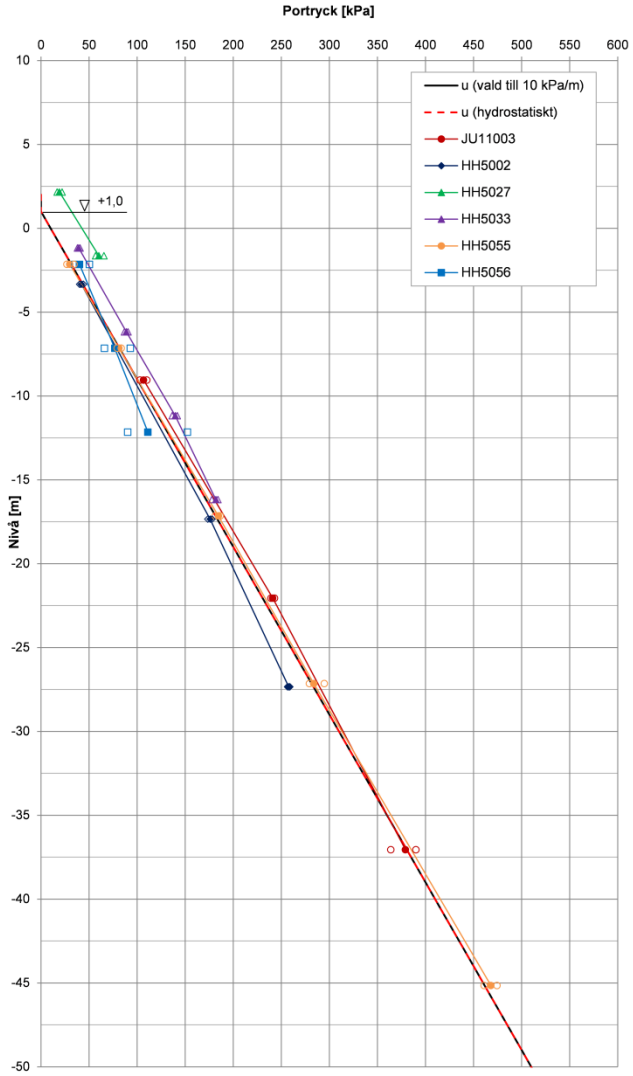
Karakteristiska vattenstånd (lägsta lågvatten samt medellågvatten) i Vallgraven/Rosenlundskanalen redovisas i nedanstående tabell (Tabell 1).

Tabell 1 Karakteristiska vattenståndsnivåer(lägsta lågvatten samt medellågvatten) (höjdsystem, RH2000) i Vallgraven/Rosenlundskanalen.

MLW	-0,58
LLW (100 år)	-1,00

Grundvatten förekommer dels i de ytliga jordlagren, som till stor del består av fyllnadsmaterial, och dels i friktionsjordslagren under lerlagren. Mätningar i det övre magasinet visar på att grundvattennivån ligger på nivåerna +7 till + 8, strax söder om Haga Kyrkan. Grundvattennivån i det övre magasinet, i området närmast Rosenlundskanalen, styrs av nivåerna i kanalen som i sin tur styrs av Göta Älv.

Nu utförda och tidigare utförda portrycksmätningar visar att trycknivån i leran motsvarar en grundvattenyta på nivån ca +1,0 i området kring Rosenlundskanalen, ca +4 strax söder om Haga-Kyrkan och ca +9 vid Vasagatan. Portrycksmätningar visar på en i princip hydrostatisk portrycksprofil.



Figur 9 *Portrycksfördelning för utredningsområdet. Röd, streckad linje visar hydrostatisk fördelning och svart, heldragen linje visar vald portrycksfördelning.*

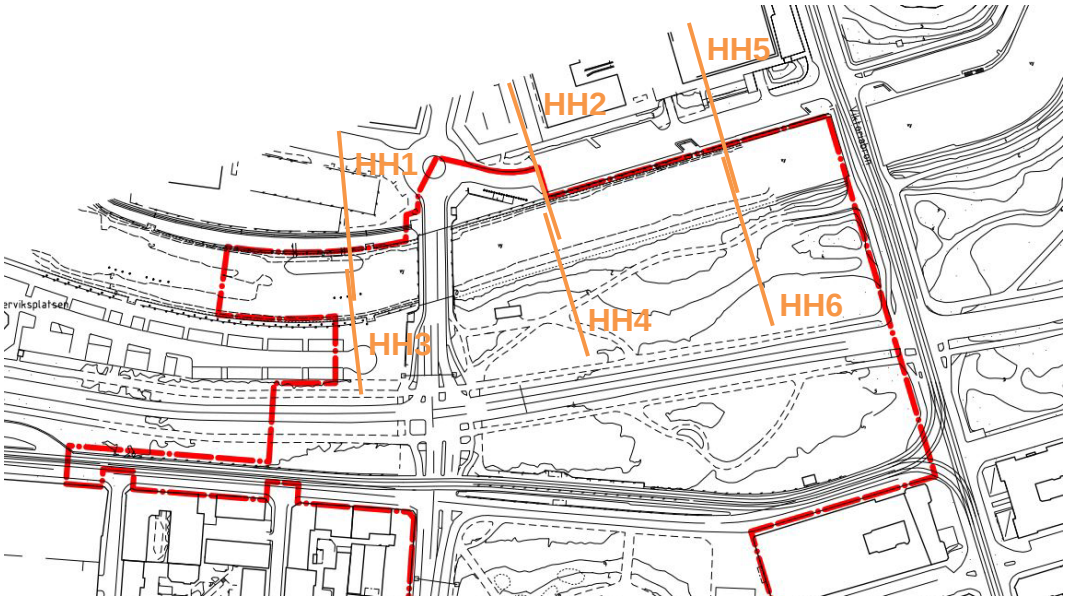
3.4.5 Erosion

Generellt pågår ingen erosion inom utredningsområdet då de delar som angränsar till vatten inom området utgörs av kajkonstruktioner. Slänten på södra sidan av Vallgraven öster om Rosenlundsbron är längs vattenlinjen skyddad med erosionsskydd i form av utlagd sten. Erfarenhetsmässigt förekommer viss underspolning av kajkonstruktionerna längs kanalerna inom centrala Göteborg. Dessa urspolningar är vanligtvis inte omfattande och bedöms inte påverka stabiliteten eftersom rustbädden och den ovanpåliggande kajmuren vilar på pålar.

4 Stabilitet

4.1 Allmänt

Stabiliteten har bedömts inom hela det aktuella området. Nya Beräkningar har utförts längs Vallgraven/ Rosenlundskanalen i anslutning till planerad linje för Västlänken. Stabiliteten har för befintliga förhållanden analyserats i totalt 6 stycken representativa sektioner med sektionslägen enligt Figur 10.



Figur 10 Sektionslägen för stabilitetsberäkningar.

Stabilitetsförhållandena har analyserats för befintliga förhållanden. Stabilitetsanalyserna har utförts med odränerad och kombinerad analys med programmet Slope/W version 8.12.3.7901 (Geostudio 2012). Redovisade säkerhetsfaktorer avser Morgenstern-Price metod.

4.2 Erforderlig säkerhetsfaktor

Stabilitetsutredningen har utförts enligt IEG projekt, Rapport 4:2010, där erforderlig säkerhetsfaktor gäller för *Detaljerad stabilitetsutredning* för mark-områden med markanvändningen *"Befintlig bebyggelse och anläggning*". Det skall dock här noteras att det geotekniska underlaget i form av utförda undersökningar är mycket stort och mer än väl uppfyller kraven för en fördjupad utredning.

Enligt ovanstående gäller därmed följande rekommendation på säkerhetsfaktorn mot brott utifrån rådande förutsättningar:

Tabell 2 Säkerhetsrekommendation enligt Skredkommissionens anvisningar, Rapport 3:95 (Tabell 8:1).

F_c	≥ 1,7–1,5
F_{komb}	≥ 1,5–1,3

Säkerhetsrekommendationen utgörs således av ett "spann" mellan olika nivåer på erforderlig säkerhets-faktor. Vilket krav på erforderlig säkerhetsfaktor som råder inom ett projekt bestäms av ett stort antal faktorer som betecknas som "gynnsamma" eller "ogynnsamma". Exempel på en ogynnsam faktor är t.ex. förekomst av kvicklera, stora konsekvenser av ett skred, pågående erosion eller ett begränsat antal geotekniska undersökningar etc.

Omfattningen på utförda undersökningar är inom det aktuella området omfattande. Omfattningen är helt i linjen med de krav som ställs på en fördjupad utredning. Marken utgörs till stor del av en halvfast till fast lera som inom det aktuella delområdet är mellansensitiv. Konsekvenserna av ett skred bedöms som relativt stora men förutsättningarna för att skred skall uppstå är liten med tanke på att alla slänter utgörs av uppbyggda konstruktioner.

Med utgångspunkt från de förutsättningar (både yttre och geotekniska) som råder inom det aktuella området rekommenderas följande säkerhetsnivå för denna detaljerade stabilitetsutredning.

Tabell 3 Gällande säkerhetsrekommendation för denna detaljerade stabilitetsutredning.

F_c	≥ 1,5
F_{komb}	≥ 1,3

4.3 Beräkningsförutsättningar

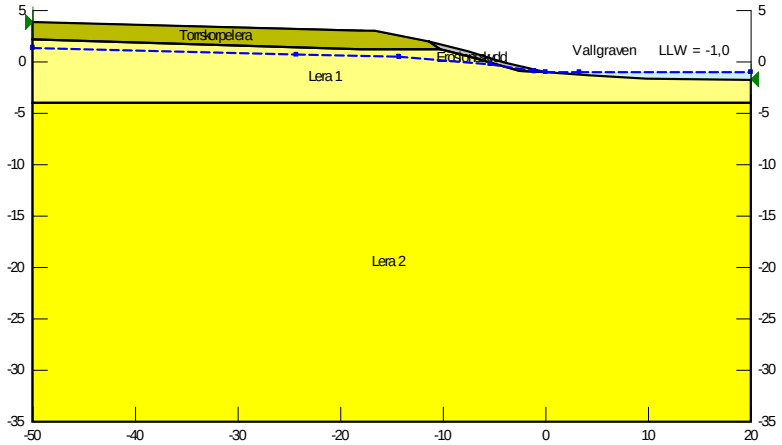
4.3.1 Utformning och geometri

Underlag till utförda stabilitetsberäkningar för utredningsområdet har hämtats från den digitala primärkartan (0,5 m ekvidistans).

4.3.2 Materialparametrar

Materialegenskaper samt jordlagrens mäktighet har utvärderats från nu och tidigare utförda geotekniska undersökningar. I nedanstående tabell redovisas de materialparametrar som använts vid stabilitetsberäkningarna. Valda materialparametrar för respektive beräkningssektion finns redovisade i sin helhet på respektive stabilitetsberäkning i Bilaga HH.1.

Tabell 4 Exempel på valda materialegenskaper.



Jordlager	*Bedömda materialegenskaper*	
Torrskorpelera	*Tunghet, γ* *Odränerad skjuvhållfasthet, τ_{fu}*	*17 kN/m^3* *22 kPa*
Lera 1	*Tunghet, γ* *Odränerad skjuvhållfasthet, τ_{fu}*	*16 kN/m^3* *22 kPa*
Lera 2	*Tunghet, γ* *Odränerad skjuvhållfasthet, τ_{fu}*	*16 kN/m^3* *22+1,3·z kPa* [1)]

[1)] *Tillväxt från nivån -4.*

Lerans dränerade hållfasthetsegenskaper har vid stabilitetsberäkningarna antagits till $\phi'=30°$ och $c'=0{,}1\cdot\tau_{fu}$, vilket normalt gäller för leror i Västsverige.

4.3.3 Grundvatten, porttryck och vattennivå

I denna utredning har vattenståndet i Vallgraven/Rosenlundskanalen ansatts som lägsta lågvatten på nivån -1,0. enligt Tabell 1. Vid lägsta lågvatten är vattnets mothållande effekt som lägst vilket därmed utgör det farligaste fallet för stabiliteten (odränerad analys).

Det skall dock noteras att denna vattennivå inträffar mycket sällan och utgör ett extremfall för i fallet när befintliga förhållanden studeras. Mer rimligt är att för befintliga förhållanden i denna typ av stadsmiljö använda MLW vilket t.ex. är den nivå som Göteborgs Hamn använder i deras utredningar.

Grundvattenytan har i utförda stabilitetsberäkningar generellt bedömts ligga ca 2,5-4 m under markytan. Portrycket i leran har en hydrostatisk tryckprofil mot grundvattenytan.

4.3.4 Marklaster

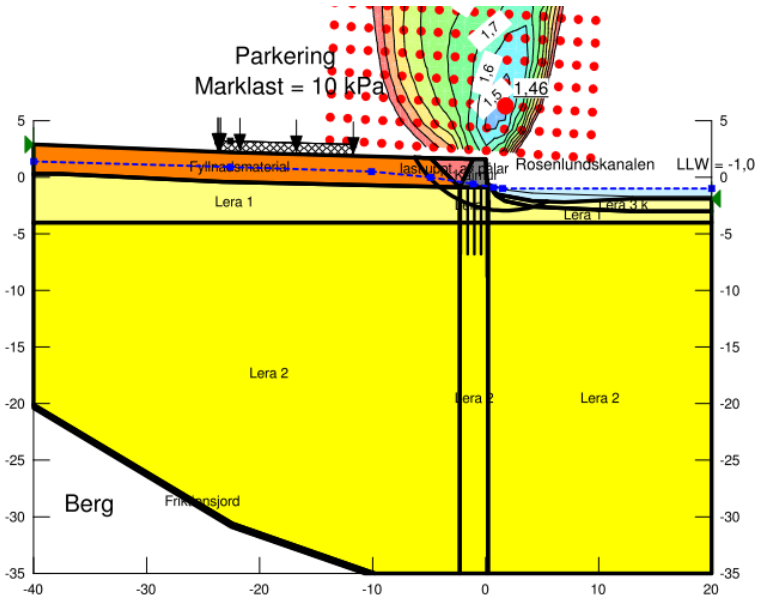
Marklaster ansätts generellt i de fall där de befinner sig i aktivzonen, d v s i den pådrivande delen, av glidytorna. Marklasterna har, inom de beräkningar som berörs, ansatts till 13 kPa för trafikerade gator och 10 kPa för parkeringsytor.

4.4 Stabilitetsanalyser för befintliga förhållanden

Stabiliteten för *befintliga förhållanden* har analyserats för de sex sektionerna inom området. Inom området varierar såväl geometrin i form av höjd och lutning som jordlagerföljden något mellan sektionerna.

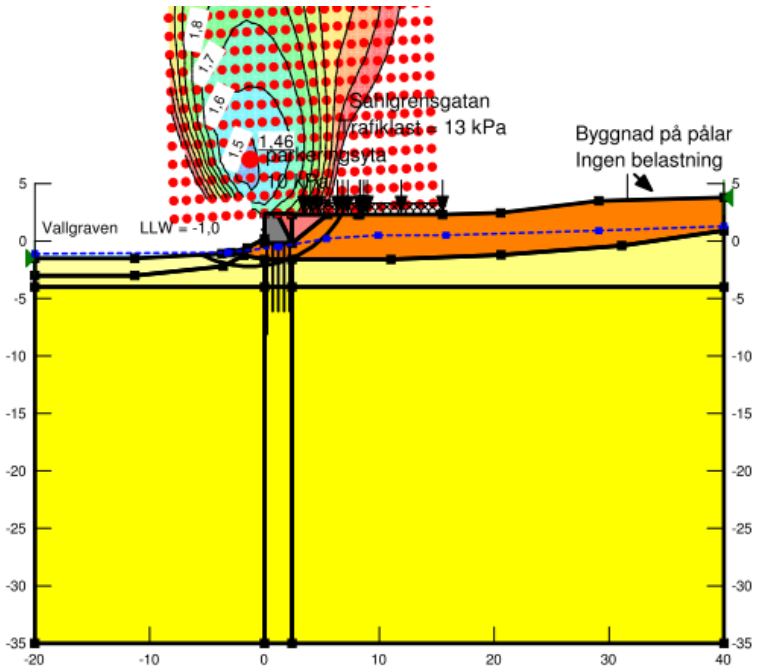
I följande kapitel beskrivs resultaten av samtliga stabilitetsanalyser inom det aktuella utredningsområdet. Samtliga beräkningar redovisas i sin helhet i Bilaga HH.1.

Stabiliteten har kontrollerats i två sektioner mot Rosenlundskanalen på västra sidan av Rosenlundsbron (sektionerna HH 1 och HH 3). Analyserna visar att stabiliteten är tillfredsställande och uppfyller rekommenderad säkerhetsnivå för befintliga förhållanden i enlighet med IEG rapport 4:2010. Lägsta säkerhetsfaktorn mot brott är ca $F_c=2{,}0$ respektive ca $F_{komb}=1{,}5\text{-}1{,}7$ se Figur 11.



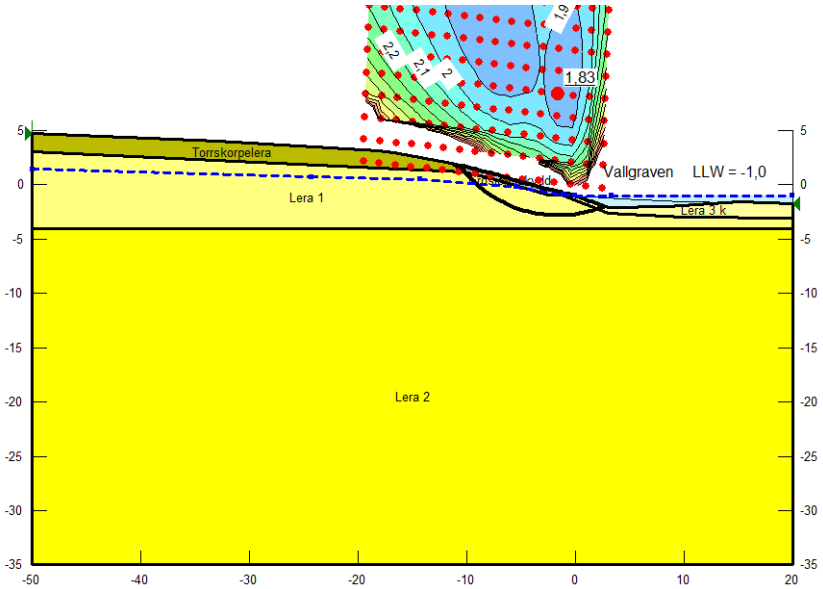
Figur 11 Stabilitetsberäkning sektion HH 3, kombinerad analys.

Utförda stabilitetsanalyser öster om Rosenlundsbron, för marken på norra sidan av Vallgraven (sektion HH 2 och HH 5), visar på en tillfredsställande stabilitet som uppfyller rekommenderad säkerhetsnivå enligt IEG för befintliga förhållanden. Lägsta säkerhetsfaktorn mot brott är ca F_c=1,6-1,7 respektive ca F_{komb}=1,45, se Figur 12. De lägsta säkerhetsfaktorerna är i det kombinerade fallet, där brotten är i princip helt dränerade, relativt grunda och korta medan glidytan för det odränerade fallet är såväl längre som djupare.



Figur 12 Stabilitetsberäkning sektion HH 5, kombinerad analys.

Vidare visar stabilitetsanalyserna på södra sidan av Vallgraven, öster om Rosenlundsbron (sektion HH 4 samt HH 6), att lägsta säkerhetsfaktorn mot brott för detta släntavsnitt är ca F_c=2,0 respektive ca F_{komb}=1,8. Rekommenderad säkerhetsnivå, enligt IEG, för befintliga förhållanden är uppfylld.



Figur 13 Stabilitetsberäkning sektion HH 6, kombinerad analys.

4.5 Sammanställning av utförda stabilitetsanalyser

Utförda beräkningssektioner är placerade med syfte att täcka in och representera de *befintliga* stabilitetsförhållandena på ömse sidor Vallgraven/Rosenlundskanalen.

I nedanstående tabell redovisas lägsta säkerhetsfaktorer mot brott i utförda stabilitetsanalyser. Stabilitetsanalyserna redovisas i sin helhet i Bilaga HH.1.

Utförda stabilitetsberäkningar för det rubricerade utredningsområdet, visar på att säkerhetsfaktorn mot brott inom utredningsområdet uppfyller stabilitetsrekommendationerna för en detaljerad stabilitets-utredning enligt IEG:s Rapport 4:2010.

Tabell 5 Säkerhetsfaktorer mot brott i de analyserade beräkningssektionerna.

Sektion	Odränerad analys, F_c	Kombinerad analys, F_{komb}
HH 1	*2,0*	*1,7*
HH 2	*1,6*	*1,5*
HH 3	*2,0*	*1,5*
HH 4	*2,0*	*1,8*
HH 5	*1,7*	*1,5*
HH 6	*2,0*	*1,8*

5 Slutsatser och rekommendationer

Denna *detaljerade* stabilitetsutredning visar att stabilitet inom rubricerat område HH är tillfredställande i enlighet med uppställda krav på erforderlig säkerhetsfaktor mot brott.

Denna stabilitetsutredning har utförts i syfte att beskriva stabiliteten i området. Kajmurarnas kondition och konstruktiva kondition har inte bedömts i samband med denna utredning.

Föreliggande detaljerade stabilitetsutredning baseras på de idag rådande, kända, förutsättningarna inom aktuellt delområde. I samband med all förändring av områdena såsom nybyggnation, schaktning, ändrade dräneringsförutsättningar, lastförändringar, upplag etc. skall stabilitetssituationen beaktas.

Ärendenummer
TRV2012/16353
Uppdragsnummer
Version: D

Dokumentdatum
2013-08-30
Sidor
1(1)

TRAFIKVERKET

Västlänken
PM F 05 – 018
Stabilitetsanalyser Linje Station Haga

BILAGA HH.1

Revideringen avser:		
Avsnitt	Revideringen avser	Reviderad av

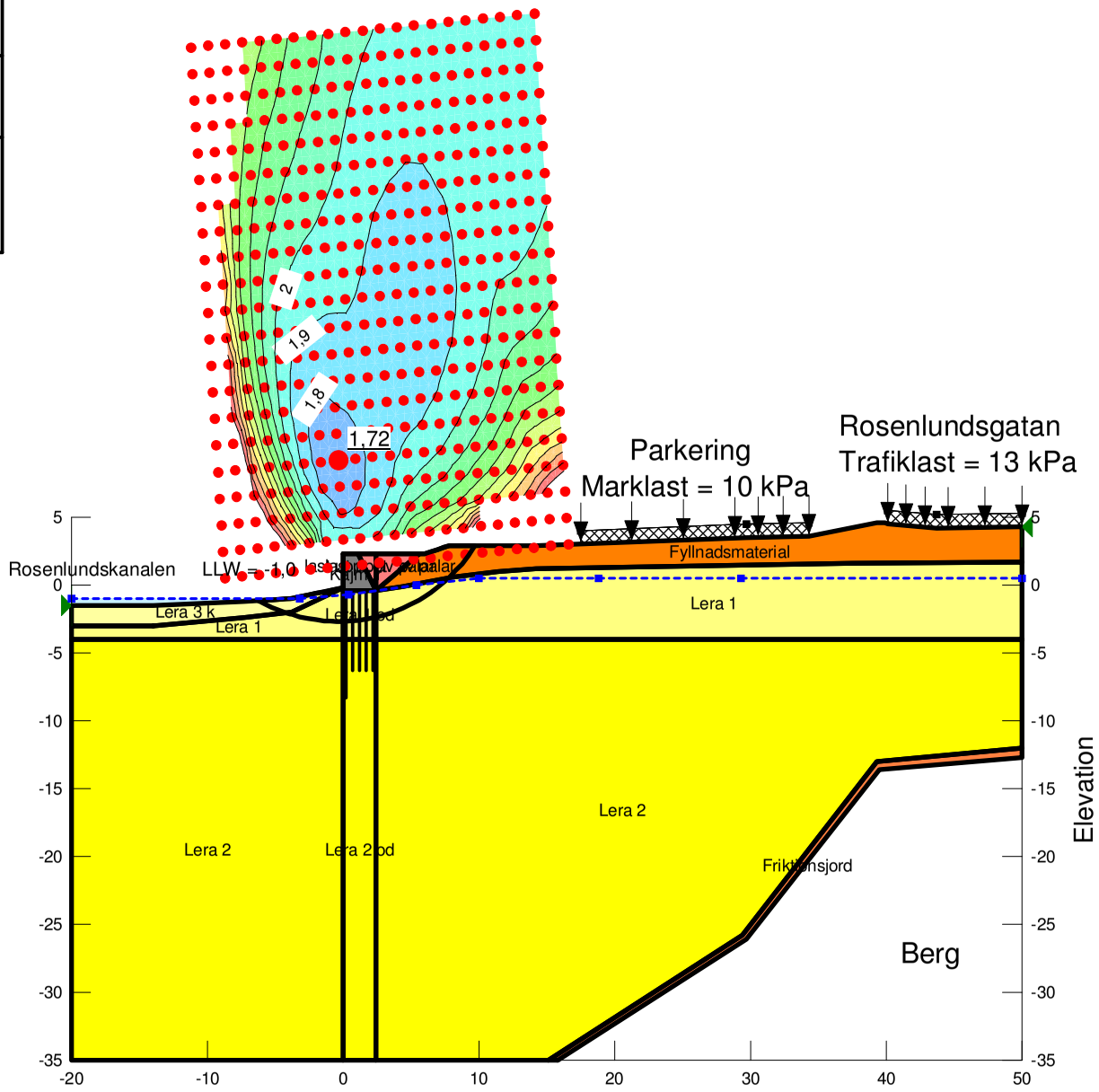
Upprättad av:	Magnus af Petersens	
Granskad av:	Urban Högsta	

Västlänken
AKF 05 Geoteknik
Haga station
HH 1
Kombinerad analys

Uppdrag: Västlänken, AKF05 Geoteknik
Beställare: Trafikverket
Skala (A4): 1:500

Analysmetod: Morgenstern-Price
Glidytor: Grid and Radius (optimization: No)
GW & portryck: Piezometric Line
Filnamn: HH 1.gsz
Senast sparad: 2014-06-04; 09:38:47

G:\Projekt\2013\1370425 Västlänken, AKF5\12BERÄKNINGAR\HH Haga Station\HH 1.gsz



Name: Lera 1
Model: Combined, S=f(depth)
Unit Weight: 16,3 kN/m³
Phi': 30 °
C-Rate of Change: 0 kPa/m
Cu-Top of Layer: 22 kPa
Cu-Rate of Change: 0 kPa/m
C/Cu Ratio: 0,1
Anisotropic Strength Fn: K0=0,7 (Right to left)
Piezometric Line: 1

Name: Friktionsjord
Model: Mohr-Coulomb
Unit Weight: 21 kN/m³
Cohesion': 0 kPa
Phi': 35 °
Constant Unit Wt. Above Water Table: 19 kN/m³
Piezometric Line: 1

Name: Lera 1 od
Model: Undrained (Phi=0)
Unit Weight: 16,3 kN/m³
Cohesion': 22 kPa
Anisotropic Strength Fn: K0=0,7 (Right to left)
Piezometric Line: 1

Name: Lera 2
Model: Combined, S=f(datum)
Unit Weight: 16,3 kN/m³
Phi': 30 °
C-Datum: 0 kPa
C-Rate of Change: 0 kPa/m
Cu-Datum: 22 kPa
Cu-Rate of Change: 1,3 kPa/m
C/Cu Ratio: 0,1
Datum (Elevation): -4 m
Anisotropic Strength Fn: K0=0,7 (Right to left)
Piezometric Line: 1

Name: Lera 2 od
Model: S=f(datum)
Unit Weight: 16,3 kN/m³
C-Datum: 22 kPa
C-Rate of Change: 1,3 kPa/m
Datum (Elevation): -4 m
Anisotropic Strength Fn: K0=0,7 (Right to left)
Piezometric Line: 1

Name: Kajmur
Model: Mohr-Coulomb
Unit Weight: 21 kN/m³
Cohesion': 2 000 kPa
Phi': 40 °
Piezometric Line: 1

Name: last uppt. av pålar
Model: Mohr-Coulomb
Unit Weight: 15 kN/m³
Cohesion': 1 000 kPa
Phi': 33 °
Constant Unit Wt. Above Water Table: 0,001 kN/m³
Piezometric Line: 1

Name: Fyllnadsmaterial
Model: Mohr-Coulomb
Unit Weight: 20 kN/m³
Cohesion': 0 kPa
Phi': 35 °
Constant Unit Wt. Above Water Table: 18 kN/m³
Piezometric Line: 1

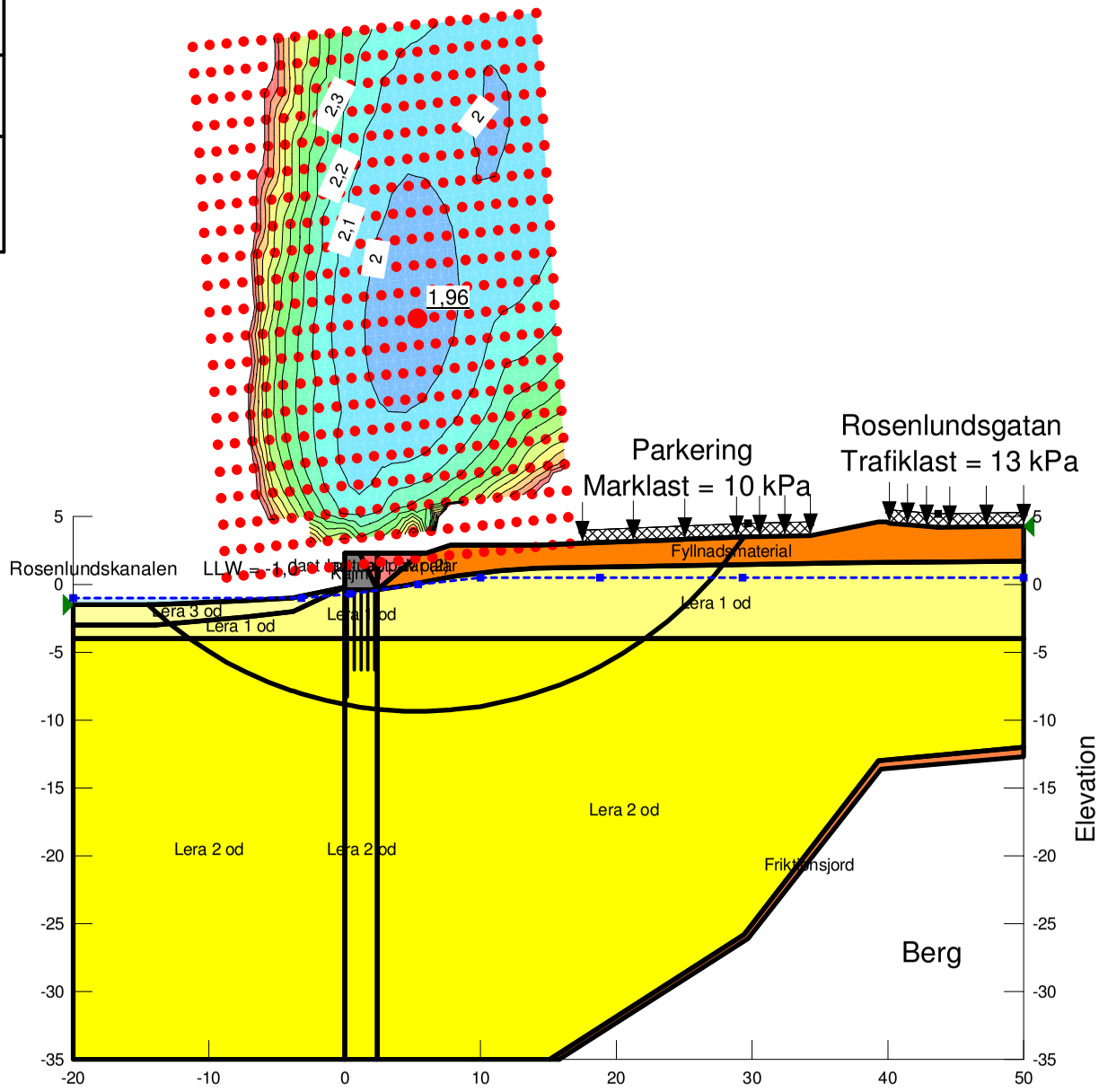
Name: Lera 3 k
Model: Spatial Mohr-Coulomb
Unit Weight: 16 kN/m³
Cohesion': 1,4 kPa
Phi': 30 °
Anisotropic Strength Fn: K0=0,7 (Right to left)
Piezometric Line: 1

Västlänken
AKF 05 Geoteknik
Haga station
HH 1
Odränerad analys

Uppdrag: Västlänken, AKF05 Geoteknik
Beställare: Trafikverket
Skala (A4): 1:500

Analysmetod: Morgenstern-Price
Glidytor: Grid and Radius (optimization: No)
GW & portryck: Piezometric Line
Filnamn: HH 1.gsz
Senast sparad: 2014-06-04; 09:38:47

G:\Projekt\2013\1370425 Västlänken, AKF5\12BERÄKNINGAR\HH Haga Station\HH 1.gsz



Name: Friktionsjord
Model: Mohr-Coulomb
Unit Weight: 21 kN/m³
Cohesion': 0 kPa
Phi': 35 °
Constant Unit Wt. Above Water Table: 19 kN/m
Piezometric Line: 1

Name: Lera 1 od
Model: Undrained (Phi=0)
Unit Weight: 16,3 kN/m³
Cohesion': 22 kPa
Anisotropic Strength Fn: K0=0,7 (Right to left)
Piezometric Line: 1

Name: Lera 2 od
Model: S=f(datum)
Unit Weight: 16,3 kN/m³
C-Datum: 22 kPa
C-Rate of Change: 1,3 kPa/m
Datum (Elevation): -4 m
Anisotropic Strength Fn: K0=0,7 (Right to left)
Piezometric Line: 1

Name: Kajmur
Model: Mohr-Coulomb
Unit Weight: 21 kN/m³
Cohesion': 2 000 kPa
Phi': 40 °
Piezometric Line: 1

Name: last uppt. av pålar
Model: Mohr-Coulomb
Unit Weight: 15 kN/m³
Cohesion': 1 000 kPa
Phi': 33 °
Constant Unit Wt. Above Water Table: 0,001 kN/
Piezometric Line: 1

Name: last uppt. av pålar (2)
Model: Mohr-Coulomb
Unit Weight: 15 kN/m³
Cohesion': 1 000 kPa
Phi': 33 °
Piezometric Line: 1

Name: Fyllnadsmaterial
Model: Mohr-Coulomb
Unit Weight: 20 kN/m³
Cohesion': 0 kPa
Phi': 35 °
Constant Unit Wt. Above Water Table: 18 kN/m
Piezometric Line: 1

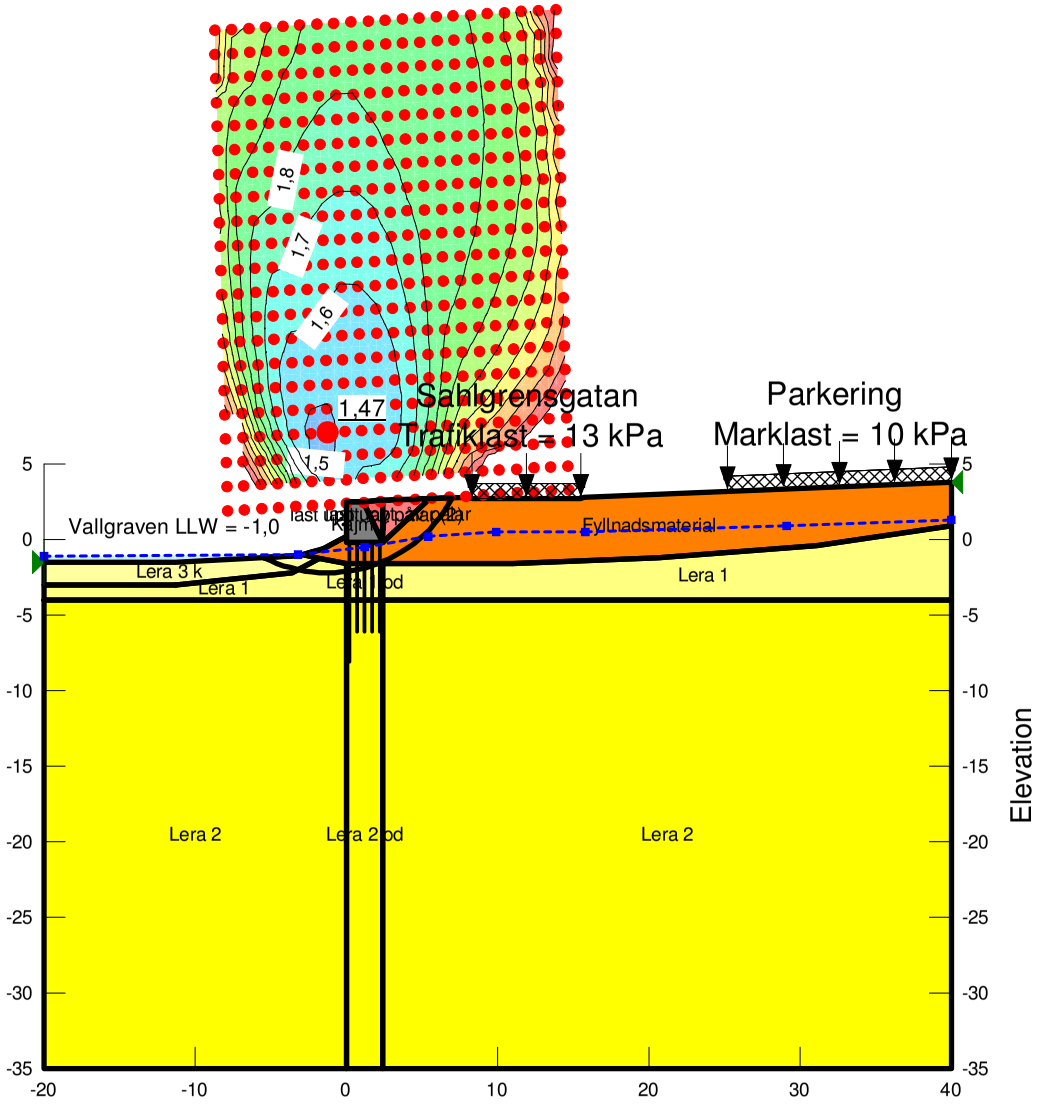
Name: Lera 3 od
Model: Spatial Mohr-Coulomb
Unit Weight: 16 kN/m³
Cohesion Spatial Fn: New Cohesion Function
Phi': 30 °
Anisotropic Strength Fn: K0=0,7 (Right to left)
Piezometric Line: 1

Västlänken
AKF 05 Geoteknik
Haga station
HH 2
Kombinerad analys

Uppdrag: Västlänken, AKF05 Geoteknik
Beställare: Trafikverket
Skala (A4): 1:500

Analysmetod: Morgenstern-Price
Glidytor: Grid and Radius (optimization: No)
GW & portryck: Piezometric Line
Filnamn: HH 2.gsz
Senast sparad: 2014-06-04; 09:59:12

G:\Projekt\2013\1370425 Västlänken, AKF5\12BERÄKNINGAR\HH Haga Station\HH 2.gsz



Name: Lera 1
Model: Combined, S=f(depth)
Unit Weight: 16,3 kN/m³
Phi': 30 °
C-Rate of Change: 0 kPa/m
Cu-Top of Layer: 22 kPa
Cu-Rate of Change: 0 kPa/m
C/Cu Ratio: 0,1
Anisotropic Strength Fn: K0=0,7 (Right to left)
Piezometric Line: 1

Name: Lera 1 od
Model: Undrained (Phi=0)
Unit Weight: 16,3 kN/m³
Cohesion': 22 kPa
Anisotropic Strength Fn: K0=0,7 (Right to left)
Piezometric Line: 1

Name: Lera 2
Model: Combined, S=f(datum)
Unit Weight: 16,3 kN/m³
Phi': 30 °
C-Datum: 0 kPa
C-Rate of Change: 0 kPa/m
Cu-Datum: 22 kPa
Cu-Rate of Change: 1,3 kPa/m
C/Cu Ratio: 0,1
Datum (Elevation): -4 m
Anisotropic Strength Fn: K0=0,7 (Right to left)
Piezometric Line: 1

Name: Lera 2 od
Model: S=f(datum)
Unit Weight: 16,3 kN/m³
C-Datum: 22 kPa
C-Rate of Change: 1,3 kPa/m
Datum (Elevation): -4 m
Anisotropic Strength Fn: K0=0,7 (Right to left)
Piezometric Line: 1

Name: Kajmur
Model: Mohr-Coulomb
Unit Weight: 21 kN/m³
Cohesion': 2 000 kPa
Phi': 40 °
Piezometric Line: 1

Name: last uppt. av pålar
Model: Mohr-Coulomb
Unit Weight: 15 kN/m³
Cohesion': 1 000 kPa
Phi': 33 °
Constant Unit Wt. Above Water Table: 0,001 kN/m³
Piezometric Line: 1

Name: last uppt. av pålar (2)
Model: Mohr-Coulomb
Unit Weight: 15 kN/m³
Cohesion': 1 000 kPa
Phi': 33 °
Piezometric Line: 1

Name: Fyllnadsmaterial
Model: Mohr-Coulomb
Unit Weight: 20 kN/m³
Cohesion': 0 kPa
Phi': 35 °
Constant Unit Wt. Above Water Table: 18 kN/m³
Piezometric Line: 1

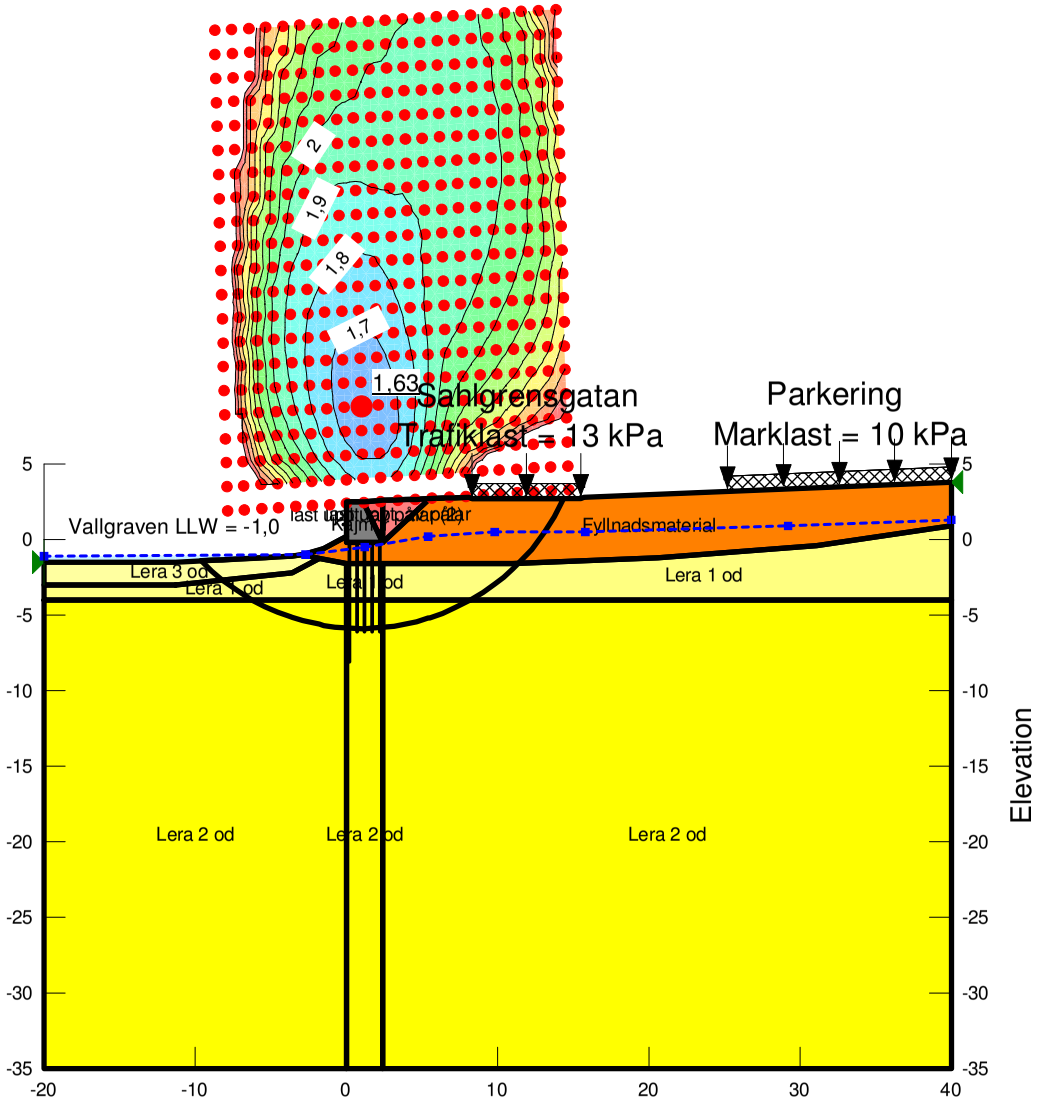
Name: Lera 3 k
Model: Spatial Mohr-Coulomb
Unit Weight: 16 kN/m³
Cohesion': 1,4 kPa
Phi': 30 °
Anisotropic Strength Fn: K0=0,7 (Right to left)
Piezometric Line: 1

Västlänken
AKF 05 Geoteknik
Haga station
HH 2
Odränerad analys

Uppdrag: Västlänken, AKF05 Geoteknik
Beställare: Trafikverket
Skala (A4): 1:500

Analysmetod: Morgenstern-Price
Glidytor: Grid and Radius (optimization: No)
GW & portryck: Piezometric Line
Filnamn: HH 2.gsz
Senast sparad: 2014-06-04; 09:59:12

G:\Projekt\2013\1370425 Västlänken, AKF5\12BERÄKNINGAR\HH Haga Station\HH 2.gsz



Name: Lera 1 od
Model: Undrained (Phi=0)
Unit Weight: 16,3 kN/m³
Cohesion': 22 kPa
Anisotropic Strength Fn: K0=0,7 (Right to left)
Piezometric Line: 1

Name: Lera 2 od
Model: S=f(datum)
Unit Weight: 16,3 kN/m³
C-Datum: 22 kPa
C-Rate of Change: 1,3 kPa/m
Datum (Elevation): -4 m
Anisotropic Strength Fn: K0=0,7 (Right to left)
Piezometric Line: 1

Name: Kajmur
Model: Mohr-Coulomb
Unit Weight: 21 kN/m³
Cohesion': 2 000 kPa
Phi': 40 °
Piezometric Line: 1

Name: last uppt. av pålar
Model: Mohr-Coulomb
Unit Weight: 15 kN/m³
Cohesion': 1 000 kPa
Phi': 33 °
Constant Unit Wt. Above Water Table: 0,001 kN/m³
Piezometric Line: 1

Name: last uppt. av pålar (2)
Model: Mohr-Coulomb
Unit Weight: 15 kN/m³
Cohesion': 1 000 kPa
Phi': 33 °
Piezometric Line: 1

Name: Fyllnadsmaterial
Model: Mohr-Coulomb
Unit Weight: 20 kN/m³
Cohesion': 0 kPa
Phi': 35 °
Constant Unit Wt. Above Water Table: 18 kN/m³
Piezometric Line: 1

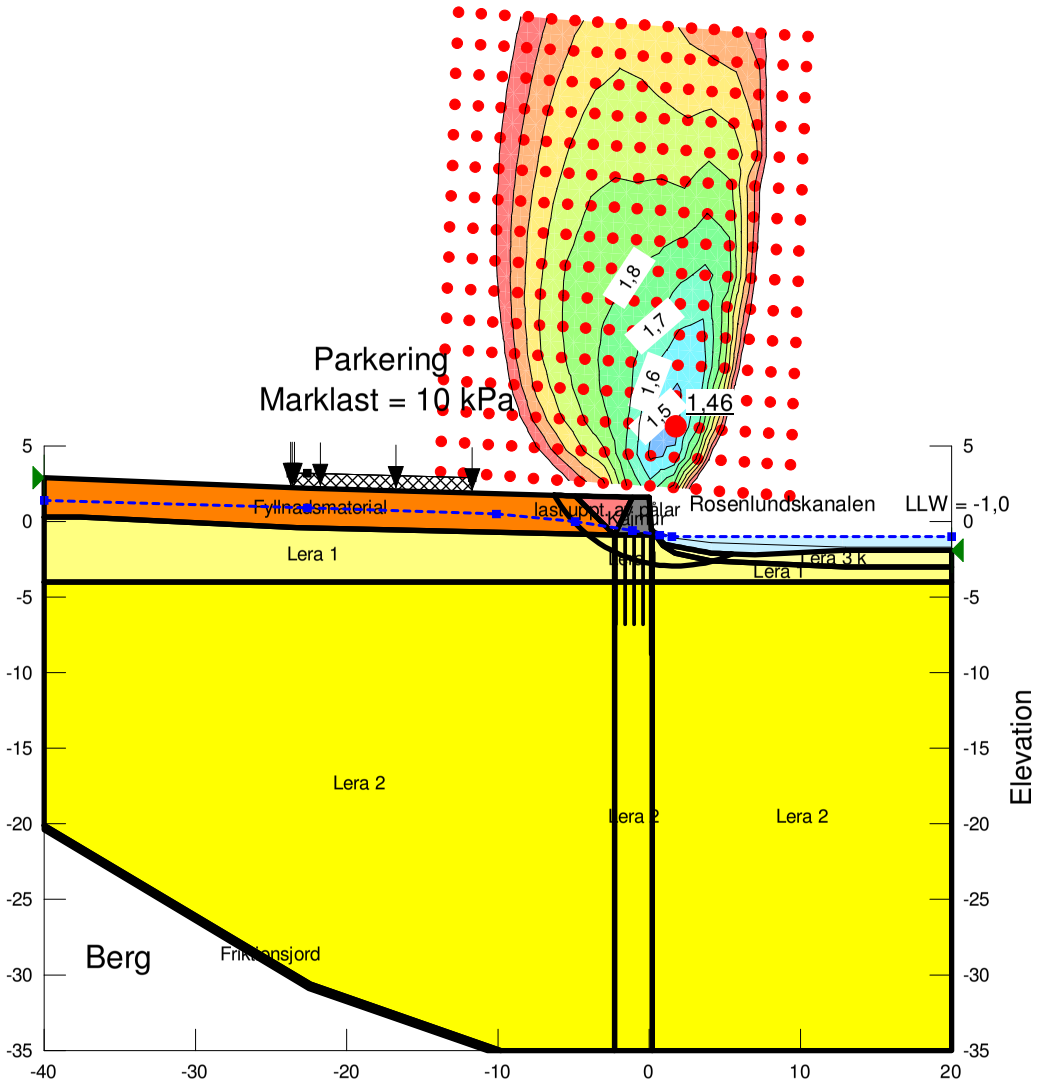
Name: Lera 3 od
Model: Spatial Mohr-Coulomb
Unit Weight: 16 kN/m³
Cohesion Spatial Fn: New Cohesion Function
Phi': 30 °
Anisotropic Strength Fn: K0=0,7 (Right to left)
Piezometric Line: 1

DP Haga
Haga Station
Befintliga förhållanden
HH 3
Kombinerad analys

Uppdrag: Västlänken, AKF05 Geoteknik
Beställare: Trafikverket
Skala (A4): 1:500

Analysmetod: Morgenstern-Price
Glidytor: Grid and Radius (optimization: No)
GW & portryck: Piezometric Line
Filnamn: HH 3_bef.gsz
Senast sparad: 2014-06-03; 13:25:21

G:\Projekt\2013\1370425 Västlänken, AKF5\12BERÄKNINGAR\HH Haga Station\HH 3_bef.gsz



Name: Lera 1
Model: Combined, S=f(depth)
Unit Weight: 16,3 kN/m³
Phi': 30 °
C-Rate of Change: 0 kPa/m
Cu-Top of Layer: 22 kPa
Cu-Rate of Change: 0 kPa/m
C/Cu Ratio: 0,1
Anisotropic Strength Fn: K0=0,7 (Left to right)
Piezometric Line: 1

Name: Friktionsjord
Model: Mohr-Coulomb
Unit Weight: 21 kN/m³
Cohesion': 0 kPa
Phi': 35 °
Constant Unit Wt. Above Water Table: 19 kN/m
Piezometric Line: 1

Name: Lera 2
Model: Combined, S=f(datum)
Unit Weight: 16,3 kN/m³
Phi': 30 °
C-Datum: 0 kPa
C-Rate of Change: 0 kPa/m
Cu-Datum: 22 kPa
Cu-Rate of Change: 1,3 kPa/m
C/Cu Ratio: 0,1
Datum (Elevation): -4 m
Anisotropic Strength Fn: K0=0,7 (Left to right)
Piezometric Line: 1

Name: Kajmur
Model: Mohr-Coulomb
Unit Weight: 21 kN/m³
Cohesion': 2 000 kPa
Phi': 40 °
Piezometric Line: 1

Name: last uppt. av pålar
Model: Mohr-Coulomb
Unit Weight: 15 kN/m³
Cohesion': 1 000 kPa
Phi': 33 °
Constant Unit Wt. Above Water Table: 0,01 kN/m³
Piezometric Line: 1

Name: Fyllnadsmaterial
Model: Mohr-Coulomb
Unit Weight: 20 kN/m³
Cohesion': 0 kPa
Phi': 35 °
Constant Unit Wt. Above Water Table: 18 kN/m
Piezometric Line: 1

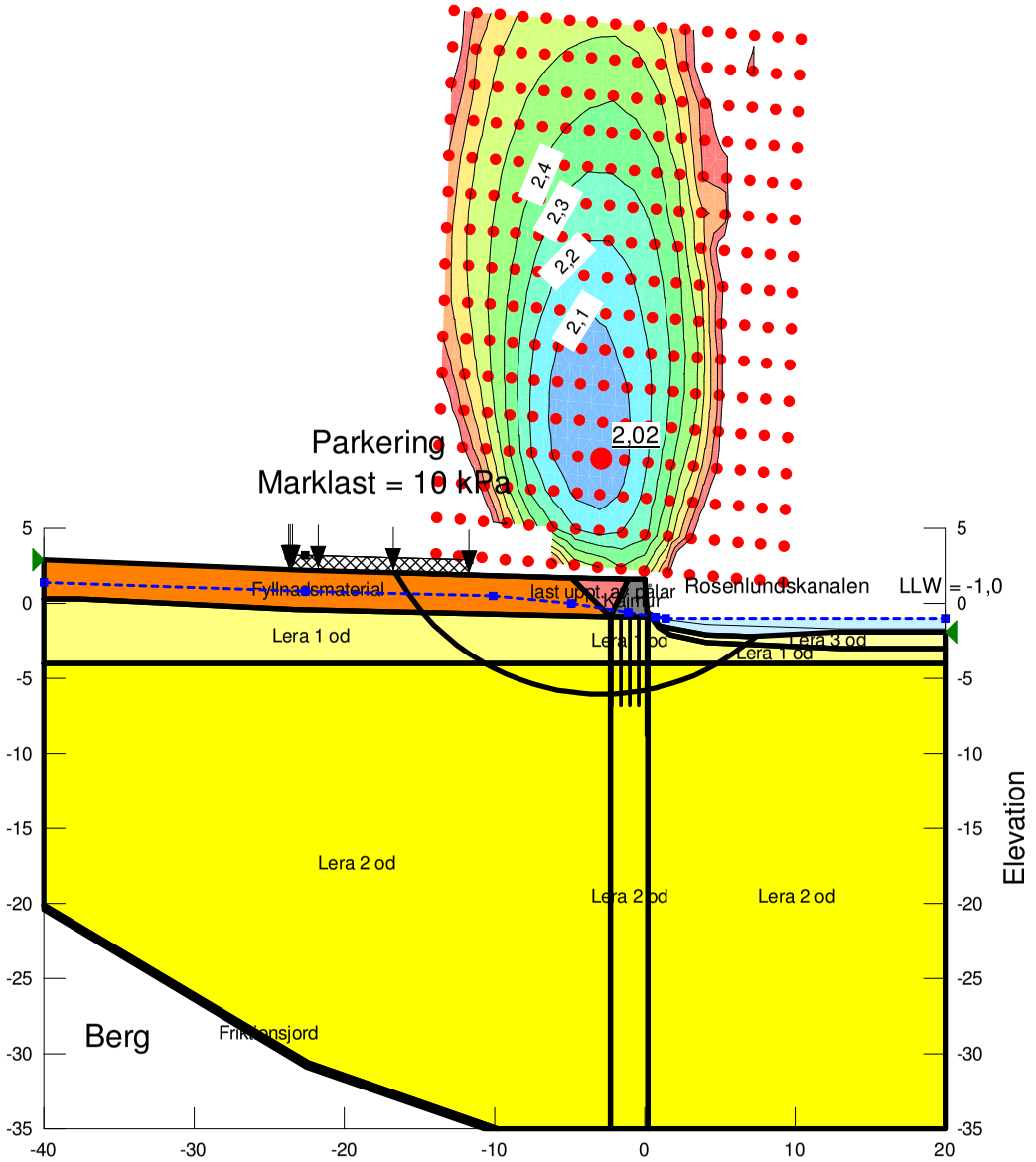
Name: Lera 3 k
Model: Spatial Mohr-Coulomb
Unit Weight: 16 kN/m³
Cohesion': 1,4 kPa
Phi': 30 °
Anisotropic Strength Fn: K0=0,7 (Left to right)
Piezometric Line: 1

DP Haga
Haga Station
Befintliga förhållanden
HH 3
Odränerad analys

Uppdrag: Västlänken, AKF05 Geoteknik
Beställare: Trafikverket
Skala (A4): 1:500

Analysmetod: Morgenstern-Price
Glidytor: Grid and Radius (optimization: No)
GW & portryck: Piezometric Line
Filnamn: HH 3_bef.gsz
Senast sparad: 2014-06-03; 13:25:21

G:\Projekt\2013\1370425 Västlänken, AKF5\12BERÄKNINGAR\HH Haga Station\HH 3_bef.gsz



Name: Friktionsjord
Model: Mohr-Coulomb
Unit Weight: 21 kN/m³
Cohesion': 0 kPa
Phi': 35 °
Constant Unit Wt. Above Water Table: 19 kN/m
Piezometric Line: 1

Name: Lera 1 od
Model: Undrained (Phi=0)
Unit Weight: 16,3 kN/m³
Cohesion': 22 kPa
Anisotropic Strength Fn: K0=0,7 (Left to right)
Piezometric Line: 1

Name: Lera 2 od
Model: S=f(datum)
Unit Weight: 16,3 kN/m³
C-Datum: 22 kPa
C-Rate of Change: 1,3 kPa/m
Datum (Elevation): -4 m
Anisotropic Strength Fn: K0=0,7 (Left to right)
Piezometric Line: 1

Name: Kajmur
Model: Mohr-Coulomb
Unit Weight: 21 kN/m³
Cohesion': 2 000 kPa
Phi': 40 °
Piezometric Line: 1

Name: last uppt. av pålar
Model: Mohr-Coulomb
Unit Weight: 15 kN/m³
Cohesion': 1 000 kPa
Phi': 33 °
Constant Unit Wt. Above Water Table: 0,01 kN/m³
Piezometric Line: 1

Name: Fyllnadsmaterial
Model: Mohr-Coulomb
Unit Weight: 20 kN/m³
Cohesion': 0 kPa
Phi': 35 °
Constant Unit Wt. Above Water Table: 18 kN/m
Piezometric Line: 1

Name: Lera 3 od
Model: Spatial Mohr-Coulomb
Unit Weight: 16 kN/m³
Cohesion Spatial Fn: New Cohesion Function
Phi': 30 °
Anisotropic Strength Fn: K0=0,7 (Left to right)
Piezometric Line: 1

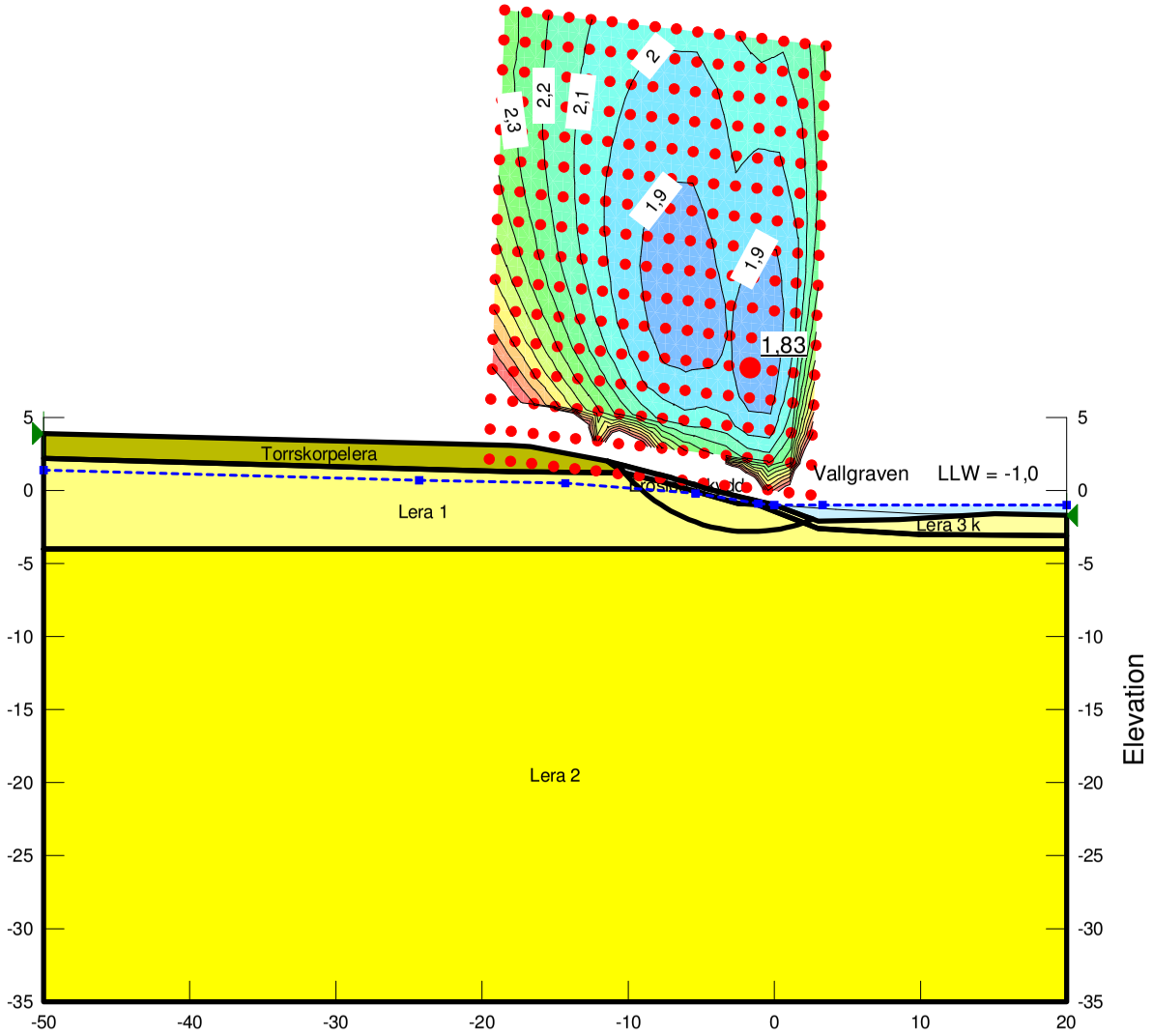
DP Haga

Haga station
HH 4
Kombinerad analys

Uppdrag: DP Haga, Västlänken
Beställare: Göteborg Stad (SBK)
Skala (A4): 1:500

Analysmetod: Morgenstern-Price
Glidytor: Grid and Radius (optimization: No)
GW & portryck: Piezometric Line
Filnamn: HH 4_bef.gsz
Senast sparad: 2014-06-03; 13:30:03

G:\Projekt\2013\1370425 Västlänken, AKF5\12BERÄKNINGAR\HH Haga Station\HH 4_bef.gsz



Name: Torrskorpelera
Model: Combined, S=f(depth)
Unit Weight: 17 kN/m³
Phi': 30 °
C-Top of Layer: 0 kPa
C-Rate of Change: 0 kPa/m
Cu-Top of Layer: 22 kPa
Cu-Rate of Change: 0 kPa/m
C/Cu Ratio: 0,1
Piezometric Line: 1

Name: Lera 1
Model: Combined, S=f(depth)
Unit Weight: 16,3 kN/m³
Phi': 30 °
C-Top of Layer: 0 kPa
C-Rate of Change: 0 kPa/m
Cu-Top of Layer: 22 kPa
Cu-Rate of Change: 0 kPa/m
C/Cu Ratio: 0,1
Anisotropic Strength Fn: K0=0,7 (Left to right)
Piezometric Line: 1

Name: Lera 2
Model: Combined, S=f(datum)
Unit Weight: 16,3 kN/m³
Phi': 30 °
C-Datum: 0 kPa
C-Rate of Change: 0 kPa/m
Cu-Datum: 22 kPa
Cu-Rate of Change: 1,3 kPa/m
C/Cu Ratio: 0,1
Datum (Elevation): -4 m
Anisotropic Strength Fn: K0=0,7 (Left to right)
Piezometric Line: 1

Name: Erosionsskydd
Model: Mohr-Coulomb
Unit Weight: 23 kN/m³
Cohesion': 0 kPa
Phi': 45 °
Piezometric Line: 1

Name: Lera 3 k
Model: Spatial Mohr-Coulomb
Unit Weight: 16 kN/m³
Cohesion': 1,4 kPa
Phi': 30 °
Anisotropic Strength Fn: K0=0,7 (Left to right)
Piezometric Line: 1

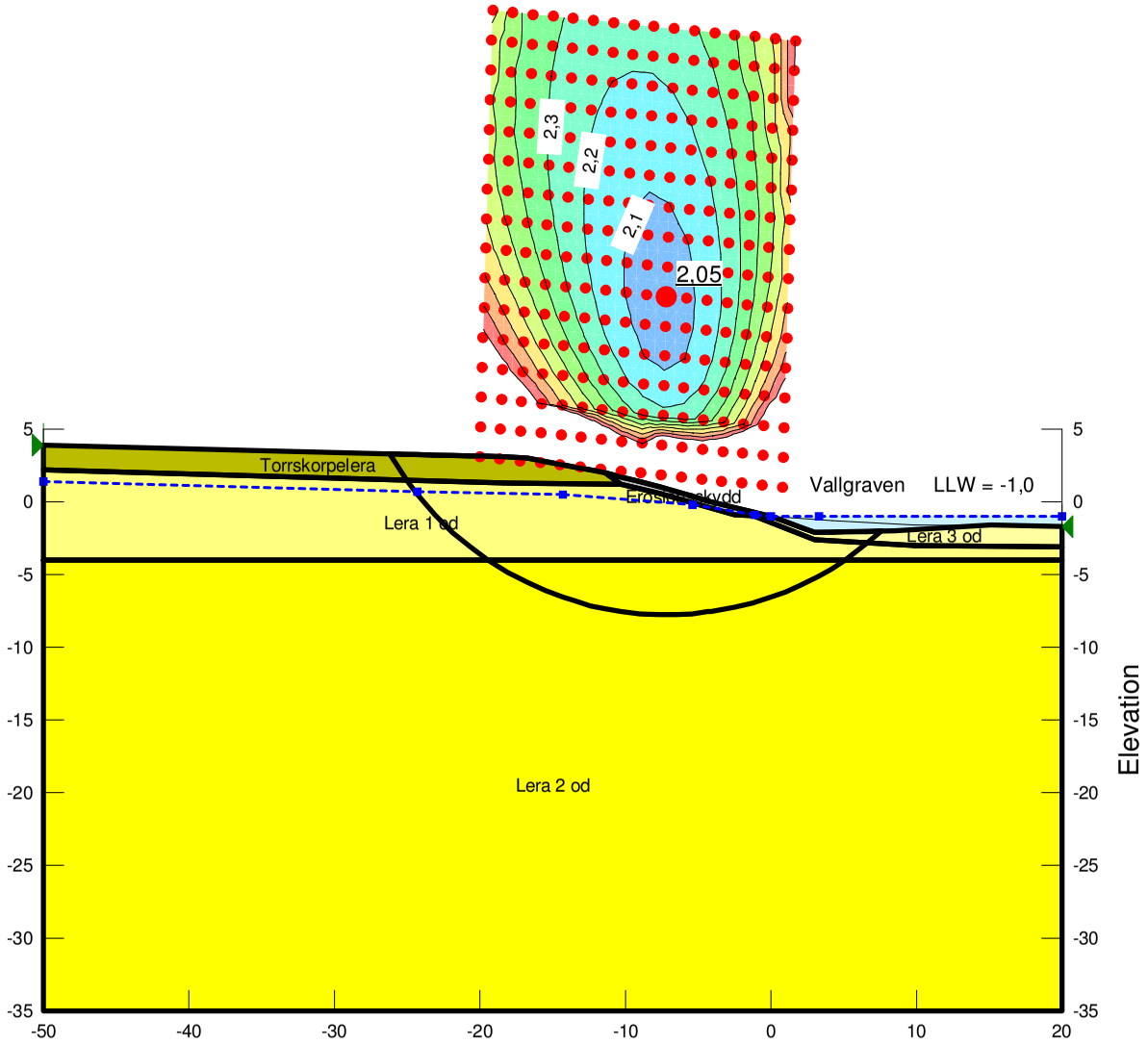
DP Haga

Haga station
HH 4
Odränerad analys

Uppdrag: DP Haga, Västlänken
Beställare: Göteborg Stad (SBK)
Skala (A4): 1:500

Analysmetod: Morgenstern-Price
Glidytor: Grid and Radius (optimization: No)
GW & portryck: Piezometric Line
Filnamn: HH 4_bef.gsz
Senast sparad: 2014-06-03; 13:30:03

G:\Projekt\2013\1370425 Västlänken, AKF5\12BERÄKNINGAR\HH Haga Station\HH 4_bef.gsz



Name: Torrskorpelera
Model: Combined, S=f(depth)
Unit Weight: 17 kN/m³
Phi': 30 °
C-Top of Layer: 0 kPa
C-Rate of Change: 0 kPa/m
Cu-Top of Layer: 22 kPa
Cu-Rate of Change: 0 kPa/m
C/Cu Ratio: 0,1
Piezometric Line: 1

Name: Lera 1 od
Model: Undrained (Phi=0)
Unit Weight: 16,3 kN/m³
Cohesion': 22 kPa
Anisotropic Strength Fn: K0=0,7 (Left to right)
Piezometric Line: 1

Name: Lera 2 od
Model: S=f(datum)
Unit Weight: 16,3 kN/m³
C-Datum: 22 kPa
C-Rate of Change: 1,3 kPa/m
Datum (Elevation): -4 m
Anisotropic Strength Fn: K0=0,7 (Left to right)
Piezometric Line: 1

Name: Erosionsskydd
Model: Mohr-Coulomb
Unit Weight: 23 kN/m³
Cohesion': 0 kPa
Phi': 45 °
Piezometric Line: 1

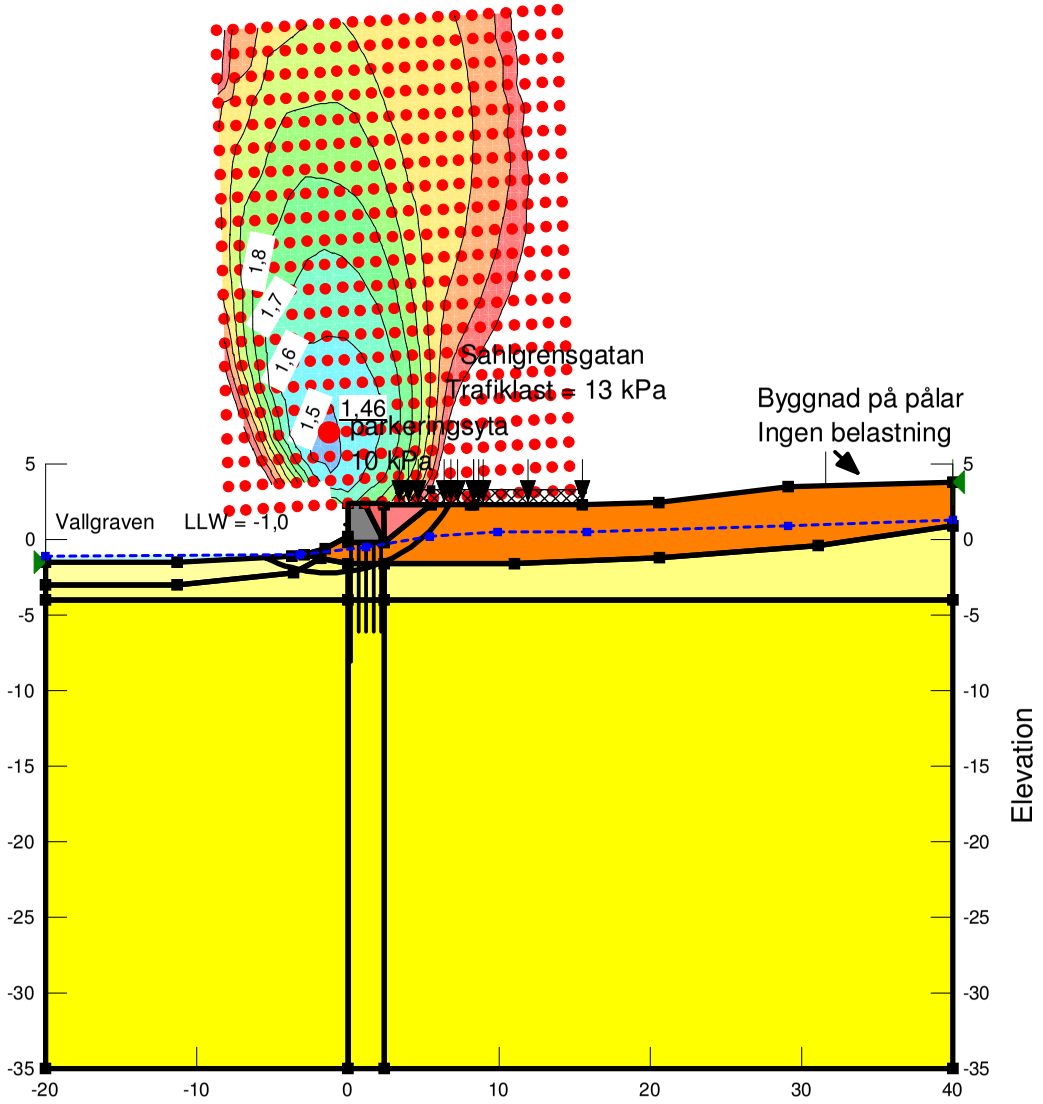
Name: Lera 3 od
Model: Spatial Mohr-Coulomb
Unit Weight: 16,3 kN/m³
Cohesion Spatial Fn: New Cohesion Function
Phi': 30 °
Anisotropic Strength Fn: K0=0,7 (Left to right)
Piezometric Line: 1

Västlänken
AKF 05 Geoteknik
Haga station
HH 5
Kombinerad analys

Uppdrag: Västlänken, AKF05 Geoteknik
Beställare: Trafikverket
Skala (A4): 1:500

Analysmetod: Morgenstern-Price
Glidytor: Grid and Radius (optimization: No)
GW & portryck: Piezometric Line
Filnamn: HH 5.gsz
Senast sparad: 2014-06-04; 08:43:57

G:\Projekt\2013\1370425 Västlänken, AKF5\12BERÄKNINGAR\HH Haga Station\HH 5.gsz



Name: Lera 1
Model: Combined, S=f(depth)
Unit Weight: 16,3 kN/m³
Phi': 30 °
C-Rate of Change: 0 kPa/m
Cu-Top of Layer: 22 kPa
Cu-Rate of Change: 0 kPa/m
C/Cu Ratio: 0,1
Anisotropic Strength Fn: K0=0,7 (Right to left)
Piezometric Line: 1

Name: Lera 1 od
Model: Undrained (Phi=0)
Unit Weight: 16,3 kN/m³
Cohesion': 22 kPa
Anisotropic Strength Fn: K0=0,7 (Right to left)
Piezometric Line: 1

Name: Lera 2
Model: Combined, S=f(datum)
Unit Weight: 16,3 kN/m³
Phi': 30 °
C-Datum: 0 kPa
C-Rate of Change: 0 kPa/m
Cu-Datum: 22 kPa
Cu-Rate of Change: 1,3 kPa/m
C/Cu Ratio: 0,1
Datum (Elevation): -4 m
Anisotropic Strength Fn: K0=0,7 (Right to left)
Piezometric Line: 1

Name: Lera 2 od
Model: S=f(datum)
Unit Weight: 16,3 kN/m³
C-Datum: 22 kPa
C-Rate of Change: 1,3 kPa/m
Datum (Elevation): -4 m
Anisotropic Strength Fn: K0=0,7 (Right to left)
Piezometric Line: 1

Name: Kajmur
Model: Mohr-Coulomb
Unit Weight: 21 kN/m³
Cohesion': 2 000 kPa
Phi': 40 °
Piezometric Line: 1

Name: last uppt. av pålar
Model: Mohr-Coulomb
Unit Weight: 15 kN/m³
Cohesion': 1 000 kPa
Phi': 33 °
Constant Unit Wt. Above Water Table: 0,001 kN/m³
Piezometric Line: 1

Name: last uppt. av pålar (2)
Model: Mohr-Coulomb
Unit Weight: 15 kN/m³
Cohesion': 1 000 kPa
Phi': 33 °
Piezometric Line: 1

Name: Fyllnadsmaterial
Model: Mohr-Coulomb
Unit Weight: 20 kN/m³
Cohesion': 0 kPa
Phi': 35 °
Constant Unit Wt. Above Water Table: 18 kN/m³
Piezometric Line: 1

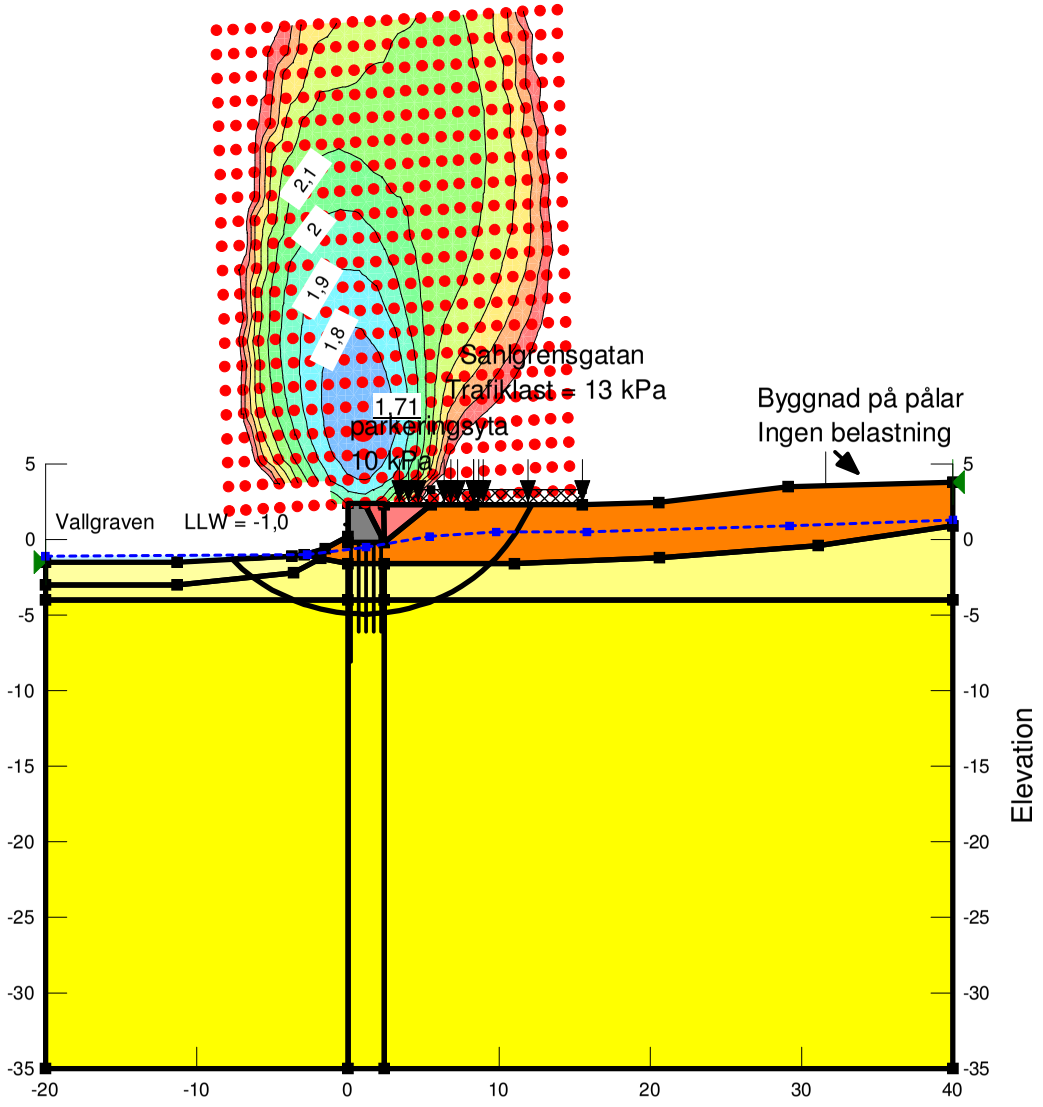
Name: Lera 3 k
Model: Spatial Mohr-Coulomb
Unit Weight: 16 kN/m³
Cohesion': 1,4 kPa
Phi': 30 °
Anisotropic Strength Fn: K0=0,7 (Right to left)
Piezometric Line: 1

Västlänken
AKF 05 Geoteknik
Haga station
HH 5
Odränerad analys

Uppdrag: Västlänken, AKF05 Geoteknik
Beställare: Trafikverket
Skala (A4): 1:500

Analysmetod: Morgenstern-Price
Glidytor: Grid and Radius (optimization: No)
GW & portryck: Piezometric Line
Filnamn: HH 5.gsz
Senast sparad: 2014-06-04; 08:43:57

G:\Projekt\2013\1370425 Västlänken, AKF5\12BERÄKNINGAR\HH Haga Station\HH 5.gsz



Name: Lera 1 od
Model: Undrained (Phi=0)
Unit Weight: 16,3 kN/m³
Cohesion': 22 kPa
Anisotropic Strength Fn: K0=0,7 (Right to left)
Piezometric Line: 1

Name: Lera 2 od
Model: S=f(datum)
Unit Weight: 16,3 kN/m³
C-Datum: 22 kPa
C-Rate of Change: 1,3 kPa/m
Datum (Elevation): -4 m
Anisotropic Strength Fn: K0=0,7 (Right to left)
Piezometric Line: 1

Name: Kajmur
Model: Mohr-Coulomb
Unit Weight: 21 kN/m³
Cohesion': 2 000 kPa
Phi': 40 °
Piezometric Line: 1

Name: last uppt. av pålar
Model: Mohr-Coulomb
Unit Weight: 15 kN/m³
Cohesion': 1 000 kPa
Phi': 33 °
Constant Unit Wt. Above Water Table: 0,001 kN/m³
Piezometric Line: 1

Name: last uppt. av pålar (2)
Model: Mohr-Coulomb
Unit Weight: 15 kN/m³
Cohesion': 1 000 kPa
Phi': 33 °
Piezometric Line: 1

Name: Fyllnadsmaterial
Model: Mohr-Coulomb
Unit Weight: 20 kN/m³
Cohesion': 0 kPa
Phi': 35 °
Constant Unit Wt. Above Water Table: 18 kN/m³
Piezometric Line: 1

Name: Lera 3 od
Model: Spatial Mohr-Coulomb
Unit Weight: 16 kN/m³
Cohesion Spatial Fn: New Cohesion Function
Phi': 30 °
Anisotropic Strength Fn: K0=0,7 (Right to left)
Piezometric Line: 1

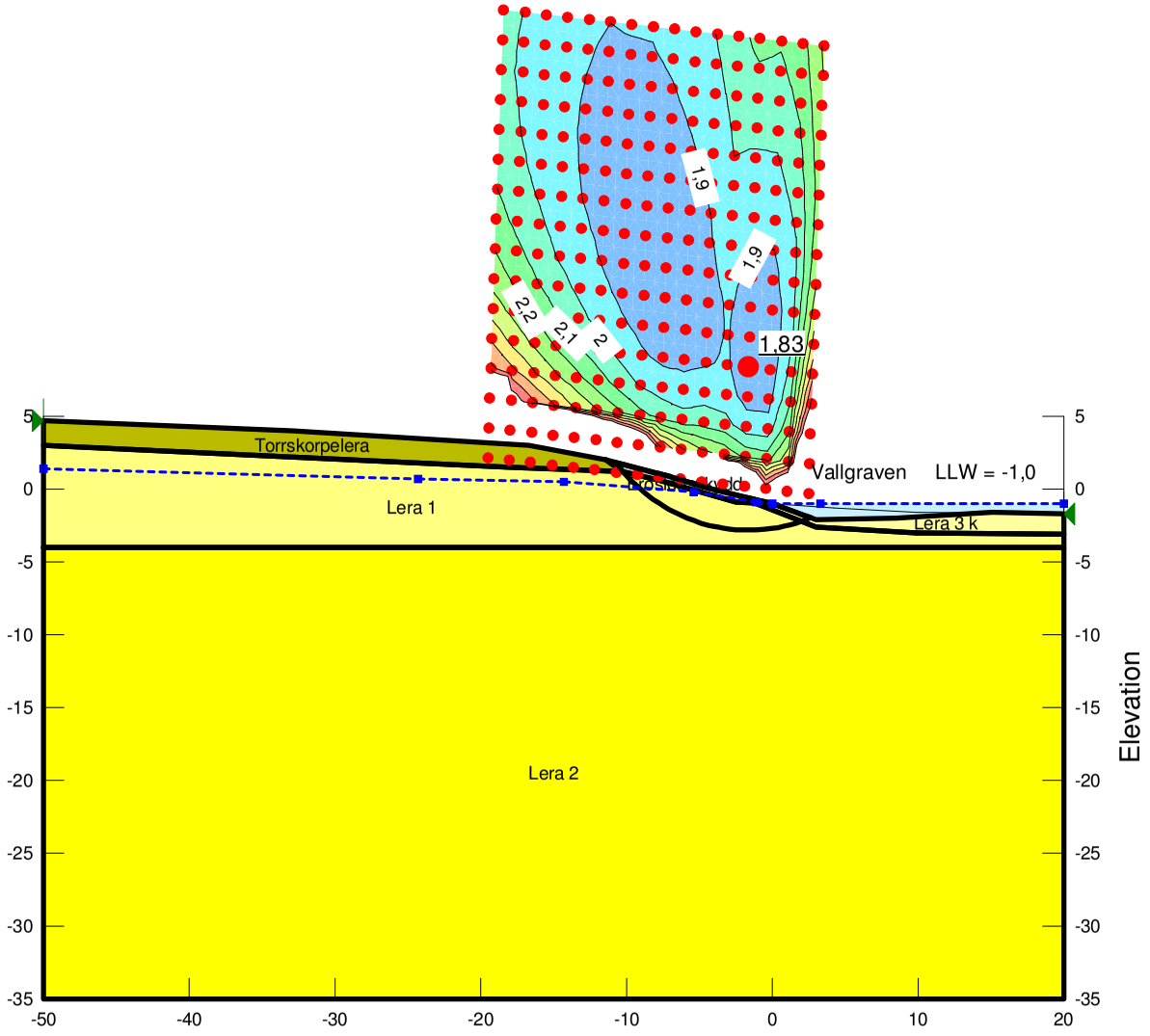
DP Haga

Haga station
HH 6
Kombinerad analys

Uppdrag: DP Haga, Västlänken
Beställare: Göteborg Stad (SBK)
Skala (A4): 1:500

Analysmetod: Morgenstern-Price
Glidytor: Grid and Radius (optimization: No)
GW & portryck: Piezometric Line
Filnamn: HH 6_bef.gsz
Senast sparad: 2014-06-02; 17:43:34

G:\Projekt\2013\1370425 Västlänken, AKF5\12BERÄKNINGAR\HH Haga Station\HH 6_bef.gsz



Name: Torrskorpelera
Model: Combined, S=f(depth)
Unit Weight: 17 kN/m³
Phi': 30 °
C-Top of Layer: 0 kPa
C-Rate of Change: 0 kPa/m
Cu-Top of Layer: 22 kPa
Cu-Rate of Change: 0 kPa/m
C/Cu Ratio: 0,1
Piezometric Line: 1

Name: Lera 1
Model: Combined, S=f(depth)
Unit Weight: 16,3 kN/m³
Phi': 30 °
C-Top of Layer: 0 kPa
C-Rate of Change: 0 kPa/m
Cu-Top of Layer: 22 kPa
Cu-Rate of Change: 0 kPa/m
C/Cu Ratio: 0,1
Anisotropic Strength Fn: K0=0,7 (Left to right)
Piezometric Line: 1

Name: Lera 2
Model: Combined, S=f(datum)
Unit Weight: 16,3 kN/m³
Phi': 30 °
C-Datum: 0 kPa
C-Rate of Change: 0 kPa/m
Cu-Datum: 22 kPa
Cu-Rate of Change: 1,3 kPa/m
C/Cu Ratio: 0,1
Datum (Elevation): -4 m
Anisotropic Strength Fn: K0=0,7 (Left to right)
Piezometric Line: 1

Name: Erosionsskydd
Model: Mohr-Coulomb
Unit Weight: 23 kN/m³
Cohesion': 0 kPa
Phi': 45 °
Piezometric Line: 1

Name: Lera 3 k
Model: Spatial Mohr-Coulomb
Unit Weight: 16 kN/m³
Cohesion': 1,4 kPa
Phi': 30 °
Anisotropic Strength Fn: K0=0,7 (Left to right)
Piezometric Line: 1

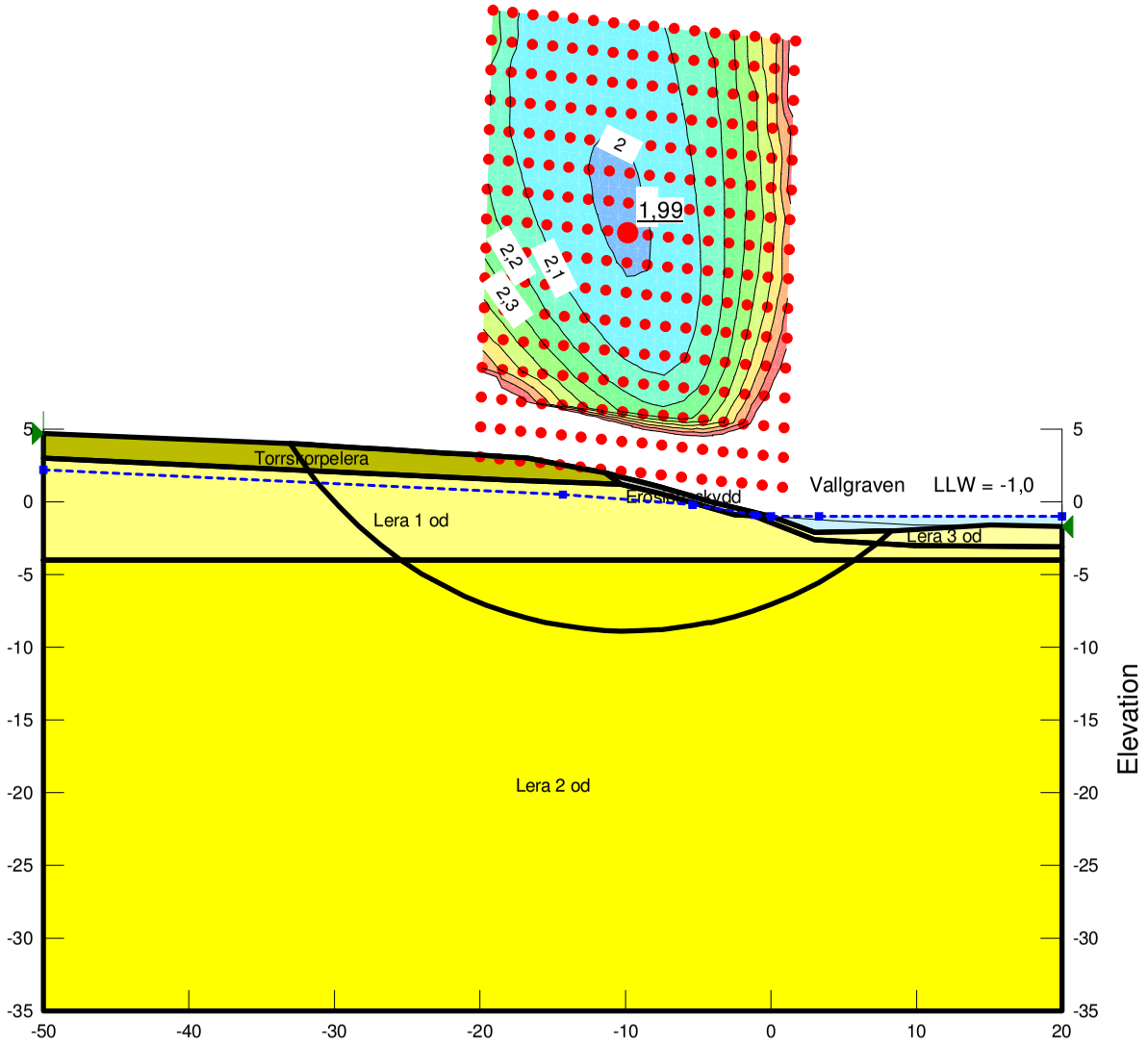
DP Haga

Haga station
HH 6
Odränerad analys

Uppdrag: DP Haga, Västlänken
Beställare: Göteborg Stad (SBK)
Skala (A4): 1:500

Analysmetod: Morgenstern-Price
Glidytor: Grid and Radius (optimization: No)
GW & portryck: Piezometric Line
Filnamn: HH 6_bef.gsz
Senast sparad: 2014-06-02; 17:43:34

G:\Projekt\2013\1370425 Västlänken, AKF5\12BERÄKNINGAR\HH Haga Station\HH 6_bef.gsz



Name: Torrskorpelera
Model: Combined, S=f(depth)
Unit Weight: 17 kN/m³
Phi': 30 °
C-Top of Layer: 0 kPa
C-Rate of Change: 0 kPa/m
Cu-Top of Layer: 22 kPa
Cu-Rate of Change: 0 kPa/m
C/Cu Ratio: 0,1
Piezometric Line: 1

Name: Lera 1 od
Model: Undrained (Phi=0)
Unit Weight: 16,3 kN/m³
Cohesion': 22 kPa
Anisotropic Strength Fn: K0=0,7 (Left to right)
Piezometric Line: 1

Name: Lera 2 od
Model: S=f(datum)
Unit Weight: 16,3 kN/m³
C-Datum: 22 kPa
C-Rate of Change: 1,3 kPa/m
Datum (Elevation): -4 m
Anisotropic Strength Fn: K0=0,7 (Left to right)
Piezometric Line: 1

Name: Erosionsskydd
Model: Mohr-Coulomb
Unit Weight: 23 kN/m³
Cohesion': 0 kPa
Phi': 45 °
Piezometric Line: 1

Name: Lera 3 od
Model: Spatial Mohr-Coulomb
Unit Weight: 16,3 kN/m³
Cohesion Spatial Fn: New Cohesion Function
Phi': 30 °
Anisotropic Strength Fn: K0=0,7 (Left to right)
Piezometric Line: 1

Bilaga 6

Ärendenummer
TRV2012/16353
Uppdragsnummer
Version: D

Dokumentdatum
2013-08-30
Sidor
1(17)

TRAFIKVERKET

Västlänken

PM F 05 – 018
Stabilitet befintliga förhållanden

BILAGA KA
Linje Station Korsvägen – Almedal

Revideringen avser:		
Avsnitt	Revideringen avser	Reviderad av

Upprättad av:	Urban Högsta	
Granskad av:	Ola Skepp	

Innehåll

1 Allmänt ... 3
2 Geotekniska undersökningar ... 4
2.1 Tidigare utförda undersökningar och utredningar ... 4
2.2 Utförda undersökningar och utredningar ... 4
3 Geoteknisk översikt ... 4
3.1 Topografi och områdesbeskrivning ... 4
3.2 Befintliga kajkonstruktioner ... 5
3.3 Befintliga geotekniska förstärkningsåtgärder ... 5
3.4 Geotekniska förhållanden ... 6
4 Stabilitet ... 12
4.1 Allmänt ... 12
4.2 Erforderlig säkerhetsfaktor ... 12
4.3 Beräkningsförutsättningar ... 13
4.4 Stabilitetsanalyser för befintliga förhållanden ... 14
4.5 Sammanställning av utförda stabilitetsanalyser ... 16
5 Slutsatser och rekommendationer ... 17

Bilaga KA.1 Stabilitetsanalyser

1 Allmänt

Inom uppdraget Västlänken AKF5 Geoteknik har den befintliga stabilitetssituationen längs med Västlänkens planerade sträckning analyserats. Utförda stabilitetutredningar/bedömningar syftar till att beskriva den befintliga stabiliteten i samband med upprättande av järnvägsplan, detaljplaner samt ansökan om tillstånd för vattenverksamhet.

Syftet med utredningen är att klarlägga stabilitetssituationen för befintliga förhållanden längs med Västlänkens sträckning.

Denna detaljerade stabilitetsutredning avser **delområde Station Korsvägen – Almedal (KA)**. Området framgår av Figur 1.



Figur 1 Översiktskarta över utredningsområdet.

Utredningen har utförts i enlighet med IEG Rapport 4:2010 ”Tillståndsbedömning/klassificering av naturliga slänter och slänter med befintlig bebyggelse och anläggningar, Vägledning för tillämpning av Skredkommissionens rapporter 3:95 och 2:96 (delar av)”.

2 Geotekniska undersökningar

2.1 Tidigare utförda undersökningar och utredningar

Inom och i anslutning till det aktuella undersökningsområdet har ett stort antal geotekniska undersökningar utförts under årens lopp. Materialet är mycket omfattande och innehåller såväl en stor mängd sonderingar som en stor mängd hållfasthetsbestämningar vilket utgör underlag för nu utförda stabilitetsberäkningar. Tidigare undersökningar redovisas i *PM F 05 – 001 Inventering av tidigare utförda undersökningar*, *PM F 05 – 004 Markteknisk undersökningsrapport Geoteknik* för Västlänken med tillhörande ritningar och digitala geoarkiv.

Under 2011 utförde Sweco en detaljerad stabilitetsutredning längs Mölndalsån. Utredningen utfördes inom ramen för en stabilitetskartering på uppdrag av Stadsbyggnadskontoret, Göteborgs stad. Utredningen har beaktats vid bedömning av stabilitetsförhållandena inom området

- *Detaljerad stabilitetsutredning inom Göteborgs stad, Delområde S123*
  Sweco Infrastructure AB, 2011-09-15

2.2 Utförda undersökningar och utredningar

Ett stort antal geotekniska fält- och laboratorieundersökningar har utförts inom ramen för projekt Västlänken. Nu utförda undersökningar redovisas i sin helhet i *PM F 05 – 004 Markteknisk undersökningsrapport Geoteknik* med tillhörande ritningar och digitala geoarkiv.

3 Geoteknisk översikt

3.1 Topografi och områdesbeskrivning

Utredningsområdet sträcker sig från Lisebergs spårvagnshållplats i väster längs Örgrytevägen och norra delen av Lisebergs nöjespark österut för att vidare korsa Mölndalsån och sedan vika av söderut längs E6:an och Örgryte strax söder om Kallebäcksmotet. Stora delar av området utgörs av bebyggelse i form av nöjeslokaler och kontorsfastigheter i västra delen av området och bostäder inom östra delen av området. Vidare består även stora delar av området av gator och vägar.

Längs Örgrytevägen är markytan generellt belägen på nivån +3-(+4). Inom västra delen av Lisebergsområdet återfinns ett berg (Geteberget) vars topp är belägen på nivån ca +30. Berget sluttar i östlig riktning ned mot gångvägen direkt väster om Lisebergshallen. Längs denna gångväg är marknivån ca +4 och vidare lutar marken svagt österut för att längs Mölndalsån ligga på nivån ca +2. På östra sidan av Mölndalsån lutar markytan från nivån ca +2 närmast ån till ca +4 strax väster om E6:an. Vägbanan för E6:an är inom norra delen av området belägen på nivån ca +9 och i södra delen på nivån +11 och där av- och påfart för Riksväg 40 ligger något högre. Inom området öster om E6:an varierar marknivån stort. Inom de bebyggda delarna varierar markytan mellan +10 i den nordöstra delen till +35 i den sydvästra delen. Berget söder om bebyggelsen har sin topp belägen på nivån ca +40 och sluttar ned mot E6:an samt avfarten för Riskväg 40.

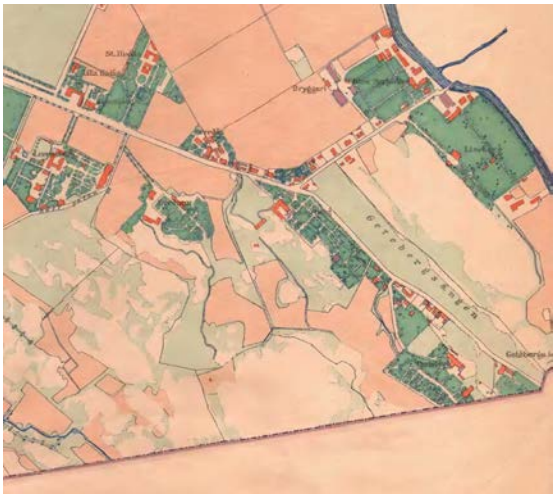
Mölndalsån har, inom området, en bredd av ca 8-12 m och ett djup på 2 m i relation till omgivande markyta.

Området var länge en del av landsbygden utanför staden Göteborg och det var inte förrän på slutet av 1800-talet och tidigt 1900-tal som bebyggelsen påbörjades. Stora delar av det, som idag är nöjesparken Liseberg, utgjordes ursprungligen av ängs- och åkermark. Figur 2 visar utvecklingen inom området mellan sent 1700-tal till tidigt 1900-tal.

Källa, Jubileumsutställningen 1923



Göteborg år 1790



Göteborg år 1860



Göteborg år 1890



Göteborg år 1920

Figur 2 Historiska kartor som visar utredningsområdets utveckling mellan slutet av 1700-talet till början av 1900-talet.

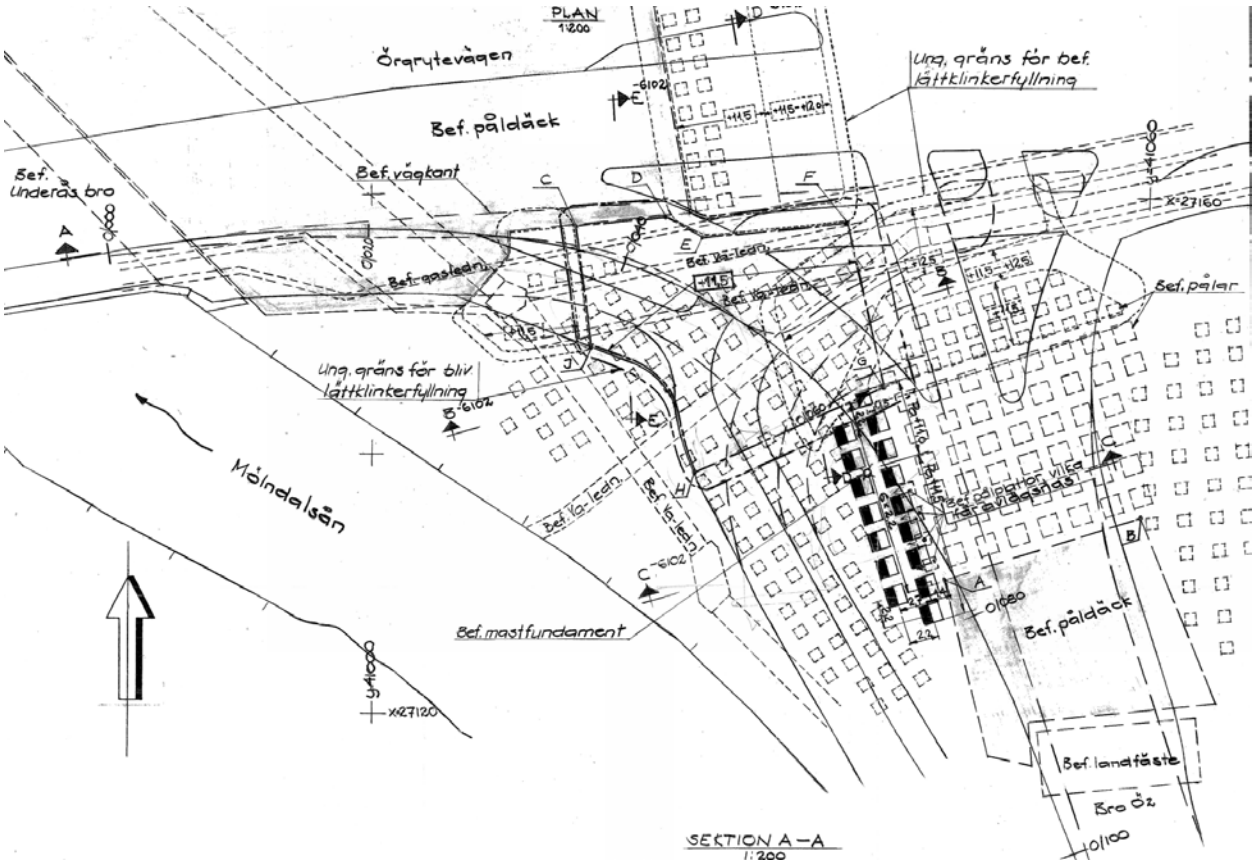
3.2 Befintliga kajkonstruktioner

Längs Mölndalsån, på ömse sidor, återfinns inom området en strandskoning i form av tätpålning. Tätpålningen är av varierande kvalitet och utanför Rondo utfördes en ny tätpålning i samband med en lokal bräddning av ån år 2007-2008.

3.3 Befintliga geotekniska förstärkningsåtgärder

Inom utredningsområdet har under åren ett stort antal geotekniska åtgärder utförts. Förstärkningsåtgärderna utgörs i huvudsak av bankpålningar och påldäck men även lättfyllnader återfinns inom området. Nedan ges en översiktlig beskrivning av exempel på förstärkningsåtgärder inom de delar av området där stabiliteten analyserats. Övriga geotekniska åtgärder samt en mer detaljerad beskrivning återfinns i *”PM F 05 – 002 Befintliga grundförstärkningar och grundrester”*.

Där av- och påfartsrampen för E6:an möter Örgrytevägen har geotekniska åtgärder i form av bankpålning och påldäck utförts, se Figur 3. Bankpålningen utgörs av ett stort antal pålar som i huvudsak är slagna till fast botten men även kohesionspålar förekommer. Banpålningen är utförd i såväl rampens anslutning mot Örgrytevägen som slänten mot Mölndalsån samt på östra sidan av rampen. Pålavskärningsplanet varierar för pålarna mellan nivån +1 till +1,5. Närmast Rampens landfäste återfinns ett påldäck vars pålar är slagna till fast botten. Pålavskärningsplanet är beläget på nivån ca +2.



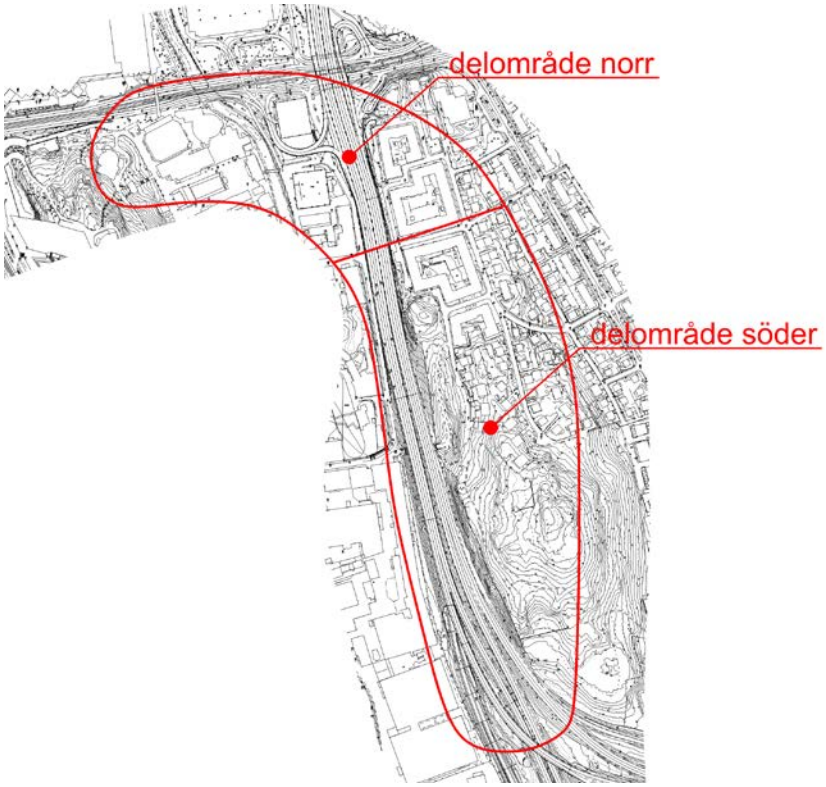
Figur 3 Bankpålning i anslutning till av- och påfartsramp från E6:an

3.4 Geotekniska förhållanden

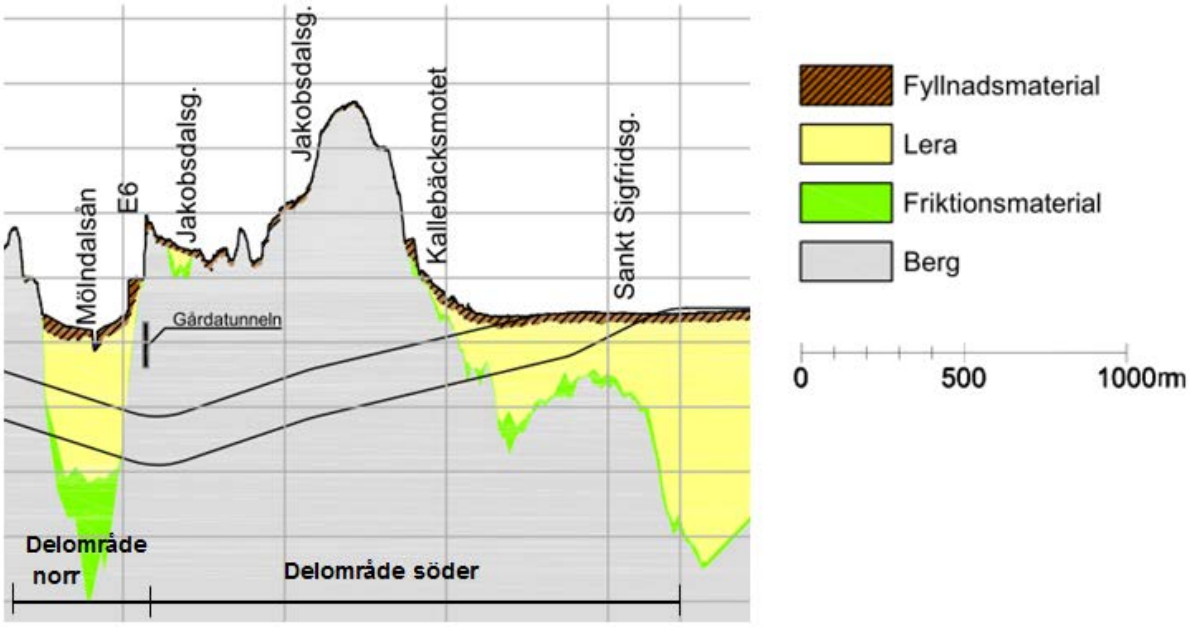
Utvärdering av de geotekniska förhållandena inom utredningsområdet baseras på nya och tidigare utförda undersökningar.

3.4.1 Jordlagerföljd

Jordlagerföljden varierar stort inom området. För att tydligt redovisa jordlagerföljden har därför området delats upp i mindre delområden enligt Figur 4. I Figur 5 redovisas en översiktlig jordlagerprofil för hela området.



Figur 4 Delområdesindelning av utredningsområdet, KA



Figur 5 Översiktlig jord- och bergprofil för sträckan Station Korsvägen – Almedal.

Delområde norr

Jordlagerföljden inom det norra delområdet utgörs generellt överst av ca 2 m fyllning. Lokala avvikelser förekommer exempelvis vid anslutningen mellan av- och påfartsrampen från E6:an och Örgrytevägen där fyllnadsmäktigheten uppgår till ca 3-4 m. Vid Geteberget och på östra sidan av E6:an vilar fyllnads-materialet direkt på berg alternativt på ett tunt lager friktionsjord som i sin tur vilar på berg.

Mellan Getberget och E6:an vilar fyllningen på lös till halvfast lera vars mäktighet varierar mellan 0-25 m. På sträckan mellan västra sidan av Lisebergshallen och korsningen E6:an-Örgrytevägen är lerans mäktighet ca 20-25 m. På östra respektive västra sidan om denna sträcka minskar lerans mäktighet där berget närmar sig markytan. Vidare minskar lerans mäktighet från ca 15 m i anslutning till E6:ans bro över Örgrytevägen söderut i höjd med Sofierogatan där fyllnadsmaterialet istället vilar på berg.

Utförda CPT-sonderingar indikerar på en homogen lera utan någon förekomst av vattenförande skikt. Leran är mycket högplastisk ner till nivån ca -11 och därunder avtar den för att vid nivån ca -17 vara mellanplastisk. Leran kan generellt betecknas som mellansensitiv. Högsensitiv lera förekommer dock under nivån -8.

Berg i dagen förekommer i den västra delen av Lisebergsområdet (Geteberget) vars topp är belägen på nivån ca +30. Vid gångvägen, direkt väster om Lisebergshallen, sluttar berget brant (ca 1,5:1) i östlig riktning från nivån ca +4 till -10. Vidare sluttar berget svagt österut för att vid Mölndalsån finnas på nivåerna ca -32 till -40. Vid E6:an är bergnivån på ca -6 till +8 för att sedan stiga österut. Berg i dagen förekommer öster om E6:an.

Delområde söder

Längs E6:an mellan Örgrytemotet och Kallebäcksmotet utgörs den övre delen av jordprofilen av fyllning vars mäktighet generellt varierar mellan ca 2-4 m. Större mäktigheter förekommer i anslutning till avfartsramperna vid Kallebäcksmotet. Fyllnadsmaterialet vilar på berg längs den östra sidan av motor-vägen samt under hela motorvägen mellan Sofierogatan och där Nelickevägen viker av väster ut.

Norr om Sofierogatan samt söder om Nelickevägens kurva mot väster vilar fyllnadsmaterialet på lera. Lerans mäktighet är ca 10 m längs Kallebäcksmotets västra del för att vidare minska i östlig riktning mot berget. Inom de bebyggda delarna av delområdet har de största lermäktigheterna, ca 9 m, påträffats vid Laboratoriegatan där mäktigheten sedan minskar västerut och ökar österut.

Under leran följer generellt en fast lagrad friktionsjord som i sin tur vilar på berg.

Berg i dagen återfinns öster om E6:an och stupar i västlig riktning längs motorvägen. Bergnivåerna vid Laboratoriegatan är ca 0 till +8 och söder om bebyggelsen finns den högsta bergnivån på ca +42. Längst i söder vid Kallebäcksmotet är bergnivåerna kring ca +0 till +4.

3.4.2 Densitet, vattenkvot och konflytgräns och sensitivitet

Delområde norr

Lerans densitet varierar mellan 1,45-1,55 t/m^3 ner till nivån -14 för att därunder öka något i anslutning till den underliggande friktionsjorden. Lerans vattenkvot är ca 80-110 %. Konflytgränsen är ca 80-110 % ner till nivån ca -8 för att sedan minska till ca 30-40 % vid nivån -20. De högsta värdena på lerans vattenkvot och konflytgräns påträffas i området kring Mölndalsån. Leran är generellt mellan- till högsensitiv med en sensitivitet som normalt varierar mellan ca 8-40.

Delområde Söder

Lerans densitet varierar mellan ca 1,5-1,6 t/m^3 ner till nivån ca -9 för att därunder öka svagt mot djupet. Lerans vattenkvot varierar mellan ca 60-100 %, där de högre värdena (80-100 %) generellt påträffas

mellan nivåerna -2 till -7. Konflytgränsen är ca 60-70 % ner till nivån -6, därunder avtar konflytgränsen till ca 45-55 %. Leran är generellt mellansensitiv inom de översta 4-5 m men övergår till att vara högsensitiv (s_t = 30-200) därunder. Utförda undersökningar visar att leran där är att benämna som kvicklera.

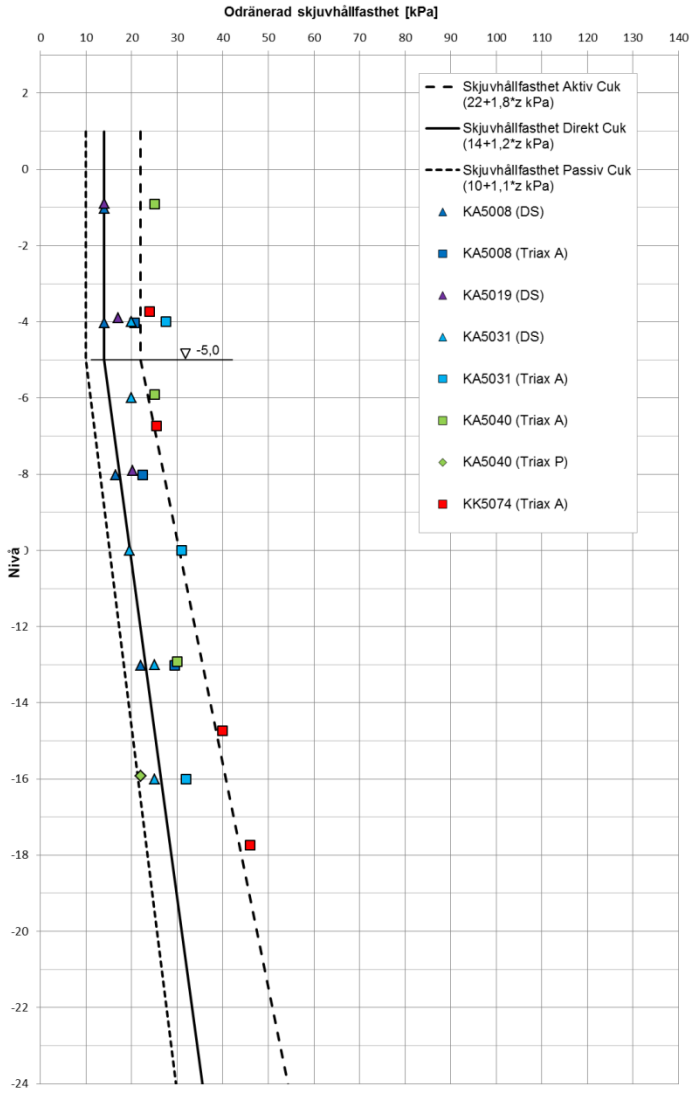
3.4.3 Odränerad skjuvhållfasthet

Den odränerade skjuvhållfastheten i leran har utvärderats från utförda hållfasthetsbestämningar främst i form av en stor mängd direkta skjuvförsök och triaxialförsök som kompletterats med empiriska beräkningar med utgångspunkt från en stor mängd utförda CRS försök. Som ytterligare stöd för hållfasthetsbestämningen har även fallkonförsök, vingförsök samt CPT-sonderingar beaktats.

Nedan redovisas utvärderade hållfastheter för respektive delområde.

Delområde Norr

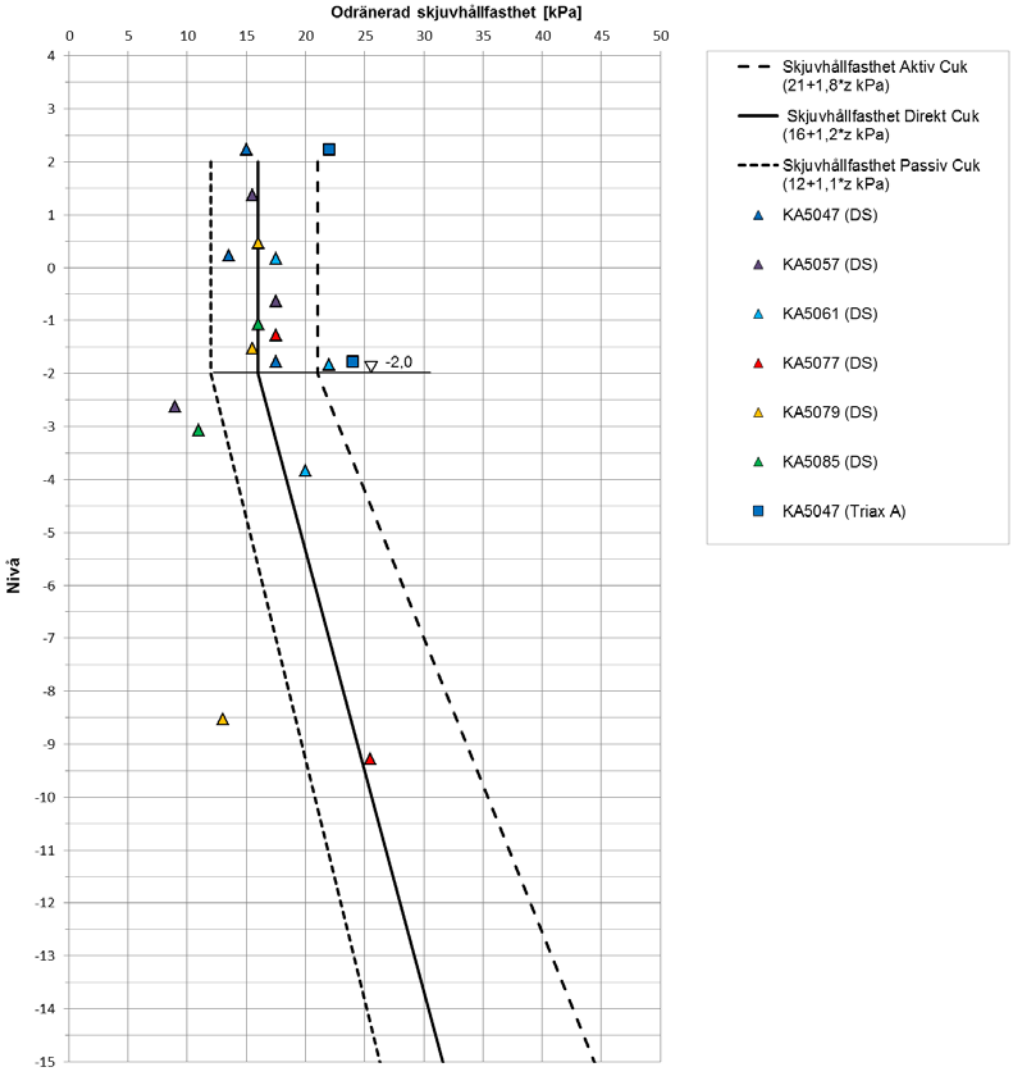
Inom området är den valda odränerade skjuvhållfastheten 14 kPa ned till nivån -5 för att därunder har en hållfasthetstillväxt mot djupet med ca 1,2 kPa/m, se Figur 6.



Figur 6 *Diagram över uppmätt respektive utvärderad odränerad skjuvhållfasthet för område norr. Svart, heldragen linje markerar vald hållfasthet.*

Delområde Söder

Inom området är den valda odränerade skjuvhållfastheten 16 kPa ned till nivån -2 för att därunder ha en hållfasthetstillväxt mot djupet med ca 1,2 kPa/m, se Figur 7.



Figur 7 *Diagram över uppmätt respektive utvärderad odränerad skjuvhållfasthet för område södert. Svart, heldragen linje markerar vald hållfasthet.*

3.4.4 Grundvatten och portryck

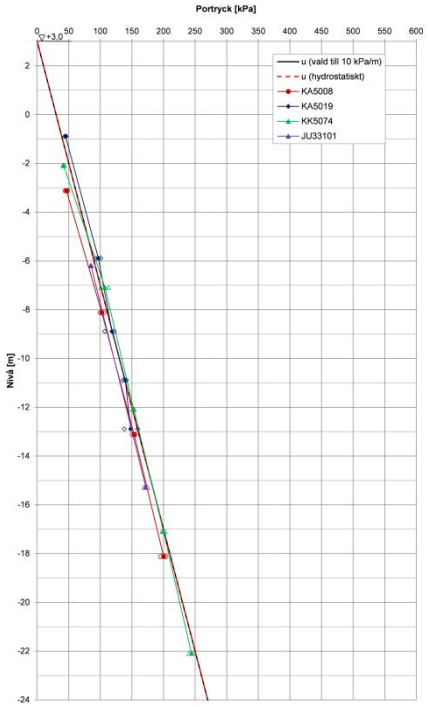
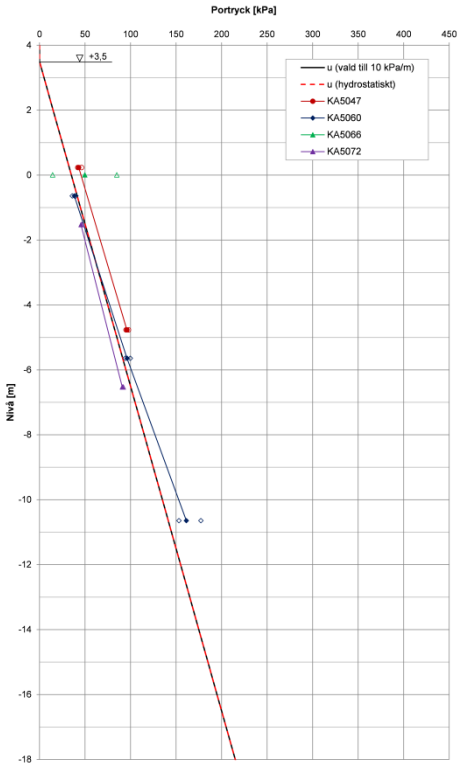
Karakteristiska vattenstånd (lägsta lågvatten samt medellågvatten) i Mölndalsån redovisas i nedanstående tabell (Tabell 1).

Tabell 1 *Karakteristiska vattenståndsnivåer (lägsta lågvatten samt medellågvatten) i Mölndalsån (höjdsystem, RH2000).*

MLW	+1,25
LLW (100 år)	+1,05

Grundvattenytan inom utredningsområdet bedöms ligga i nivå med medelvattenytan för Mölndalsån och fluktuerar något med vattenståndsvariationerna.

Inom området finns ett antal portrycksstationer. Utförda portrycksmätningar visar att portrycks-fördelningen i leran i princip är hydrostatisk från en grundvattenyta som ligger på ca 0,5 -2 m djup.

Delområde Norr	Delområde Söder
	

3.4.5 Erosion

Längs Mölndalsån pågår ingen erosion inom utredningsområdet. Mölndalsåns Slänter/kanter är på sträckan skyddade med en tätpålning.

4 Stabilitet

4.1 Allmänt

Stabiliteten har bedömts inom hela det aktuella området. Nya Beräkningar har utförts längs Mölndalsån i fem sektioner samt en sektion mellan E6:an och Almedalsvägen, samtliga i anslutning till planerad linje för Västlänken. Stabiliteten har för befintliga förhållanden analyserats i totalt sex representativa sektioner med sektionslägen enligt Figur 8.



Figur 8 Sektionslägen för stabilitetsberäkningar.

Stabilitetssituationen har analyserats för befintliga förhållanden. Stabilitetsanalyserna har utförts med odränerad och kombinerad analys med programmet Slope/W version 8.0.9.6484 (Geostudio 2012). Redovisade säkerhetsfaktorer avser Morgenstern-Price metod.

4.2 Erforderlig säkerhetsfaktor

Stabilitetsutredningen har utförts enligt IEG, Rapport 4:2010, där erforderlig rekommenderad säkerhetsfaktor gäller för *Detaljerad stabilitetsutredning* för markområden med markanvändningen ”*Befintlig bebyggelse och anläggning*”.

Enligt ovanstående gäller därmed följande rekommendation på säkerhetsfaktorn mot brott utifrån rådande förutsättningar:

Tabell 2 Säkerhetsrekommendation enligt Skredkommissionens anvisningar, Rapport 3:95 (Tabell 8:1).

F_c	≥ 1,7–1,5
F_{komb}	≥ 1,5–1,3

Säkerhetsrekommendationen utgörs således av ett ”spann” mellan olika nivåer på erforderlig säkerhetsfaktor. Erforderlig rekommenderad säkerhetsnivå inom ett projekt bestäms av ett stort antal faktorer som betecknas som ”gynnsamma” eller ”ogynnsamma”. Exempel på en ogynnsam faktor är t.ex. förekomst av kvicklera, stora konsekvenser av ett skred, pågående erosion eller ett begränsat antal geotekniska undersökningar etc.

Omfattningen på utförda undersökningar är inom det aktuella området mycket stor. Speciellt kan nämnas att det inom området utförts en stor mängd konsoliderade odränerade skjuvförsök. Marken utgörs till stor del av en halvfast till fast lera som inom stora delar av det aktuella delområdet är mellansensitiv. På större djup finns förekomst av högsensitiv lera. Leran är dock att betrakta som mellansensitiv inom de delar av jordprofilen som huvudsakligen berörs av glidytor med lägst säkerhetsfaktor mot brott.

Med utgångspunkt från de förutsättningar (både yttre och geotekniska) som råder inom det aktuella området rekommenderas följande säkerhetsnivå för denna detaljerade stabilitetsutredning.

Tabell 3 Gällande säkerhetsrekommendation för denna detaljerade stabilitetsutredning.

F_c	$\geq 1,5$
F_{komb}	$\geq 1,3$

4.3 Beräkningsförutsättningar

4.3.1 Utformning och geometri

Underlag till utförda stabilitetsberäkningar för utredningsområdet har hämtats från den digitala primärkartan (0,5 m ekvidistans).

4.3.2 Materialparametrar

Materialegenskaper samt jordlagrens mäktighet har utvärderats från nu och tidigare utförda geotekniska undersökningar. Valda materialparametrar för respektive beräkningssektion finns redovisade i sin helhet på respektive stabilitetsberäkning i Bilaga KA.1.

4.3.3 Grundvatten, porttryck och vattennivå

Grundvattenytan har i utförda stabilitetsberäkningar generellt bedömts ligga ca 1,5 m under markytan för de inre delarna av beräkningssektionerna. Närmare strandkant längs Mölndalsån har grundvattenytan antagits variera med vattenståndet.

Portrycket i leran har i stabilitetsanalyserna ansatts ha en hydrostatisk ökning mot djupet enligt portrycksfördelningarna som redovisas i avsnitt 3.4.4.

I denna utredning har vattenståndet i Mölndalsån ansatts som lägsta lågvatten på nivån +1,05. enligt Tabell 1. Vid lägsta lågvatten är vattnets mothållande effekt som lägst vilket därmed utgör det farligaste fallet för stabiliteten (odränerad analys).

4.3.4 Marklaster

Marklaster ansätts generellt i de fall där de befinner sig i aktivzonen, d v s i den pådrivande delen, av glidytorna. Marklasterna har, inom de beräkningar som berörs, ansatts till 13 kPa för trafikerade gator och 10 kPa inom parkeringsytor. Vidare har marklasten för järnväg ansatts till 44 kPa fördelad på bredden 2,5 m över spårmitt.

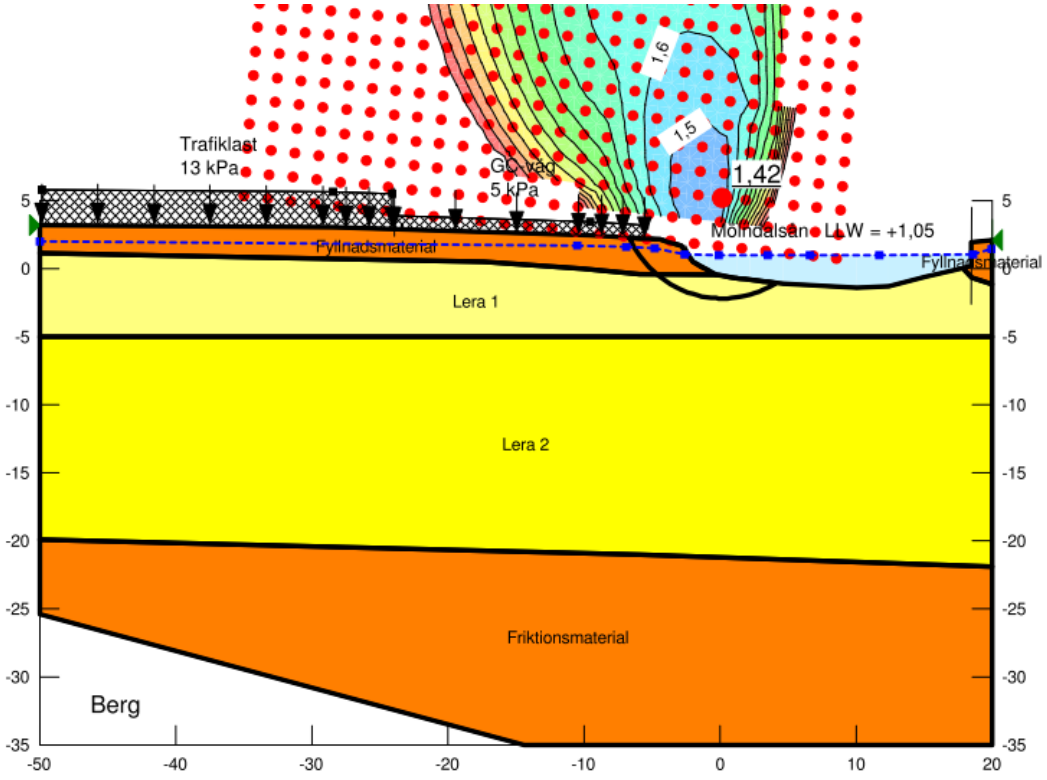
4.4 Stabilitetsanalyser för befintliga förhållanden

Stabiliteten för *befintliga förhållanden* har analyserats i de sex sektionerna inom området. Inom området varierar såväl markgeometri i form av höjd och lutning som jordlagerföljden mellan sektionerna.

I följande kapitel beskrivs resultaten av samtliga stabilitetsanalyser inom det aktuella utredningsområdet. Samtliga beräkningar redovisas i sin helhet i Bilaga KA.1.

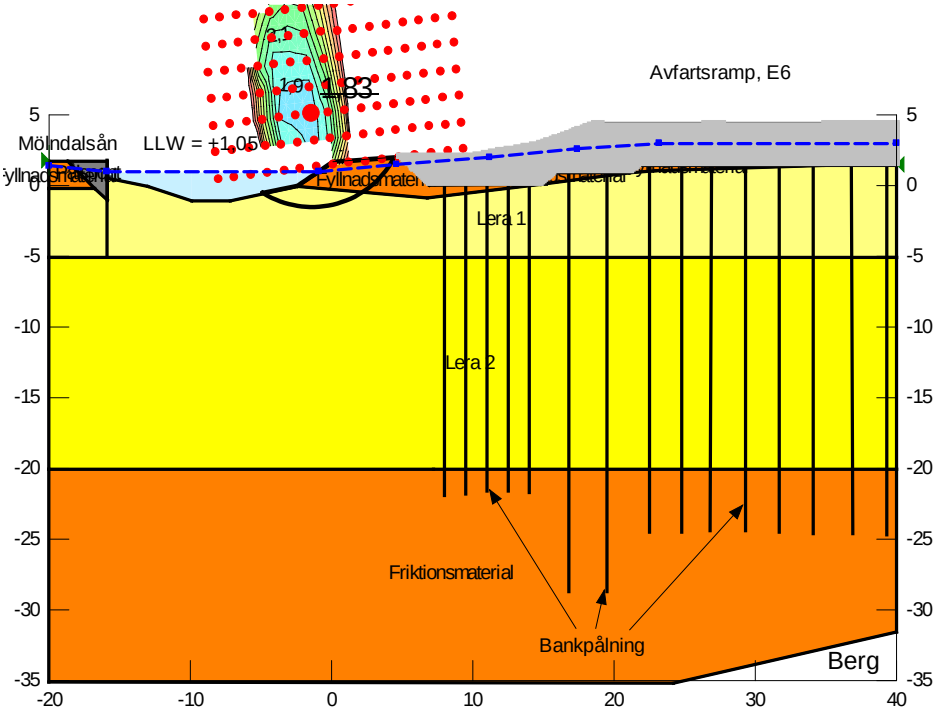
Delområde Norr

Längs västra sidan av Mölndalsån har stabilitetsförhållandet kontrollerats i tre sektioner (sektion KA 1, K 2 och KA 3). Geometriskt och jordlagerföljdsmässigt påminner sektionerna om varandra. Stabilitets-analyserna visar att lägsta säkerhetsfaktorn mot odränerat brott är ca F_c=1,6-2,9 respektive mot kombinerat brott ca F_{komb}=1,4-1,8. Detta innebär att erforderlig rekommenderad säkerhetsnivå för befintliga förhållanden uppfylls. Glidytorna med lägsta beräknade säkerhetsfaktor mot brott har en begränsad utbredning (ca 10 m vid kombinerad analys och 15-25 m vid odränerad analys).



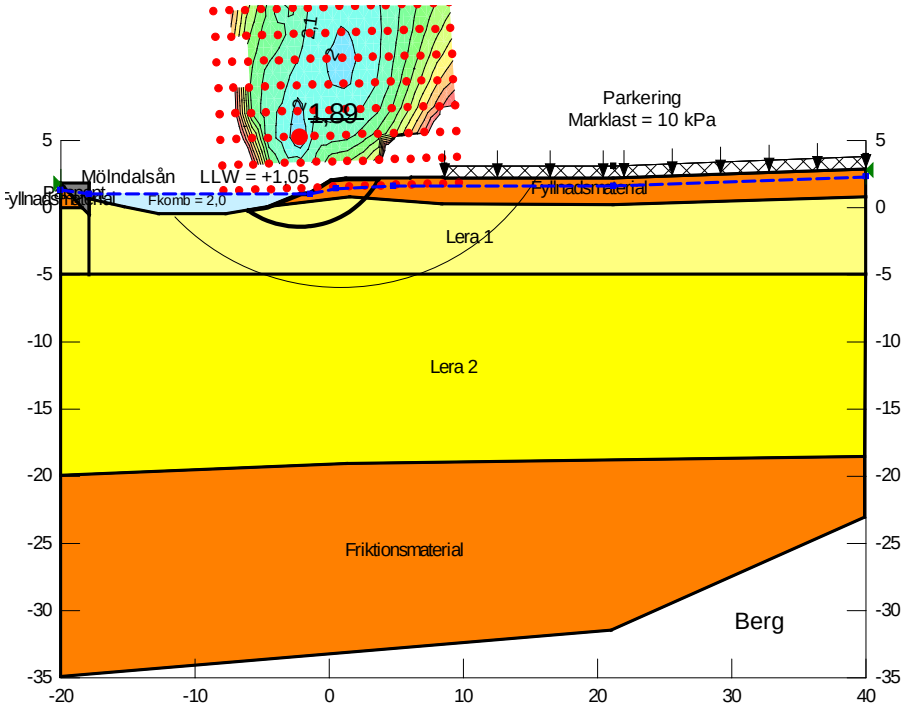
Figur 9 Stabilitetsberäkning sektion K 2, kombinerad analys.

På östra sidan av Mölndalsån stabilitetsförhållandet kontrollerats för såväl slänten i anslutning till av- och påfartsrampen för E6:an (sektion KA 2) som en flackare slänt strax söder därom (sektion KA 4). Den utförda stabilitetsanalysen i sektion KA 2 visar att lägsta säkerhetsfaktorn mot brott är ca F_c=2,3 resp ca F_{komb}=1,8 vilket påvisar en tillfredsställande stabilitet, se Figur 10. Glidytorna med lägsta säkerhets-faktor mot brott har en utbredning av ca 10 m och når ner till djupet ca 7 m.



Figur 10 Stabilitetsberäkning sektion KA 2, kombinerad analys.

Vidare visar stabilitetsanalysen som är utförd i sektion KA 4 att lägsta säkerhetsfaktorn mot brott är ca F_c=2,0 respektive ca F_{komb}=1,9 vilket innebär att erforderlig rekommenderad säkerhetsnivå är uppfylld för befintliga förhållanden inom denna del av området, se Figur 11.

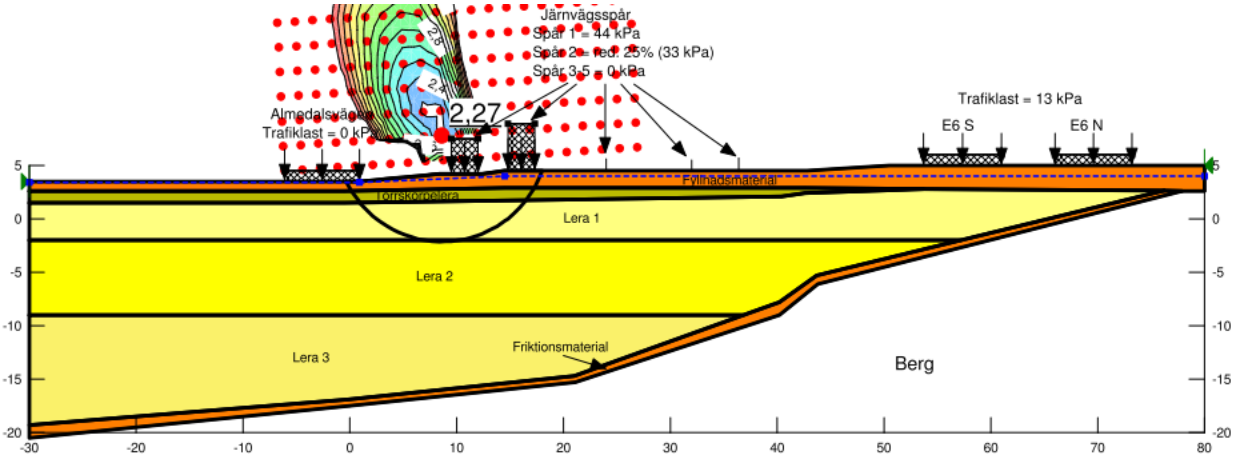


Figur 11 Stabilitetsberäkning sektion KA 4, kombinerad analys.

Delområde Söder

Utförda stabilitetsanalyser i sektion KA 5 visar att stabiliteten för slänten mellan E6 och Almedalsvägen är tillfredsställande. Lägsta säkerhetsfaktorn mot brott är ca F_c=2,3 respektive ca F_{komb}=2,25. Glidytorna med lägst säkerhetsfaktor har en utbredning av ca 20 m och innefattar två av de västra järnvägsspåren samt den lilla slänt som avgränsas av järnvägen i öster och Almedalsvägen i väster, se Figur 12.

Inom området i anslutning till sektion KA 5 återfinns en viss variation för den odränerade skjuvhållfastheten. Lokalt förekommer ingen tillväxt under nivån -2 men eftersom glidytorna med lägsta säkerhetsfaktor mot brott ej når djupare än nivån -1 påverkas inte stabiliteten av detta faktum.



Figur 12 Stabilitetsberäkning sektion KA 5, kombinerad analys.

4.5 Sammanställning av utförda stabilitetsanalyser

Utförda beräkningssektioner är placerade med syfte att täcka in och representera de *befintliga* stabilitetsförhållandena på ömse sidor av Mölndalsån vid Västlänkens passage med ån samt för förhållandena vid Almedal.

I nedanstående tabell redovisas lägsta säkerhetsfaktorer mot brott i utförda stabilitetsanalyser. Stabilitetsanalyserna redovisas i sin helhet i Bilaga KA.1.

Utförda stabilitetsberäkningar för det rubricerade utredningsområdet visar att stabiliteten inom området är tillfredställande bra.

Tabell 4 Säkerhetsfaktorer mot brott i de analyserade beräkningssektionerna.

Sektion	Odränerad analys, F_c	Kombinerad analys, F_{komb}
KA 1	*2,4*	*1,7*
K 2	*1,6*	*1,4*
KA 2	*2,3*	*1,8*
KA 3	*2,9*	*1,8*
KA 4	*2,0*	*1,9*
KA 5	*2,3*	*2,25*

5 Slutsatser och rekommendationer

Denna *detaljerade* stabilitetsutredning visar att stabilitet inom rubricerat område KA (sträckan Korsvägen till Almedal) är tillfredställande för befintliga förhållanden i enlighet med IEG rapport 4:2010.

Föreliggande detaljerade stabilitetsutredning baseras på de idag rådande, kända, förutsättningarna inom aktuellt delområde. I samband med all förändring av områdena såsom nybyggnation, schaktning, ändrade dräneringsförutsättningar, lastförändringar, upplag etc. skall stabilitetssituationen beaktas.

Ärendenummer
TRV2012/16353
Uppdragsnummer
Version: D

Dokumentdatum
2013-08-30
Sidor
1(1)

TRAFIKVERKET

Västlänken
PM F 05 – 018
Stabilitetsanalyser Linje Station Korsvägen – Almedal

BILAGA KA.1

Revideringen avser:		
Avsnitt	Revideringen avser	Reviderad av

Upprättad av:	Magnus af Petersens	
Granskad av:	Urban Högsta	

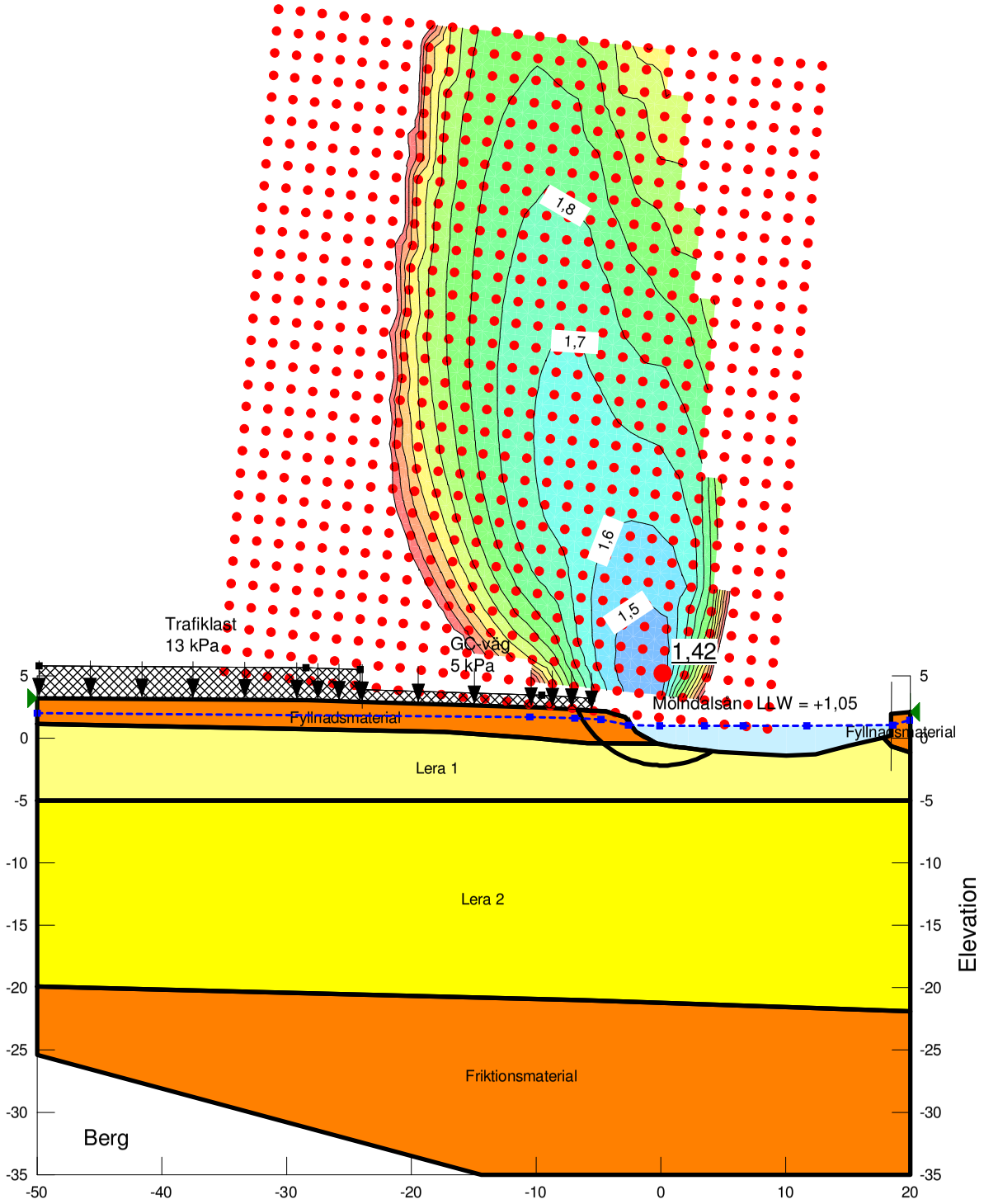
Golder Associates

Västlänken
AKF 05 Geoteknik
Korsvägen station - Almedal
K2
Kombinerad analys

Uppdrag: Västlänken, AKF05 Geoteknik
Beställare: Trafikverket
Skala (A4): 1:500

Analysmetod: Morgenstern-Price
Glidytor: Grid and Radius (optimization: No)
GW & portryck: Piezometric Line
Filnamn: K2_lod.gsz
Senast sparad: 2014-05-05; 11:31:17

G:\Projekt\2013\1370588 DP Västlänken Stationer\12_Beräkn\Korsvägen\K2_lod.gsz



Name: Lera 1
Model: Combined, S=f(depth)
Unit Weight: 15 kN/m³
Phi': 30 °
C-Rate of Change: 0 kPa/m
Cu-Top of Layer: 14 kPa
Cu-Rate of Change: 0 kPa/m
C/Cu Ratio: 0,1
Anisotropic Strength Fn: K0=0,7 (Left to right)
Piezometric Line: 1

Name: Lera 2
Model: Combined, S=f(datum)
Unit Weight: 15 kN/m³
Phi': 30 °
C-Datum: 0 kPa
C-Rate of Change: 0 kPa/m
Cu-Datum: 14 kPa
Cu-Rate of Change: 1,2 kPa/m
C/Cu Ratio: 0,1
Datum (Elevation): -5 m
Anisotropic Strength Fn: K0=0,7 (Left to right)
Piezometric Line: 1

Name: Fyllnadsmaterial
Model: Mohr-Coulomb
Unit Weight: 20 kN/m³
Cohesion': 0 kPa
Phi': 35 °
Constant Unit Wt. Above Water Table: 18 kN/m
Piezometric Line: 1

Name: Friktionsmaterial
Model: Mohr-Coulomb
Unit Weight: 21 kN/m³
Cohesion': 0 kPa
Phi': 35 °
Constant Unit Wt. Above Water Table: 19 kN/m
Piezometric Line: 1

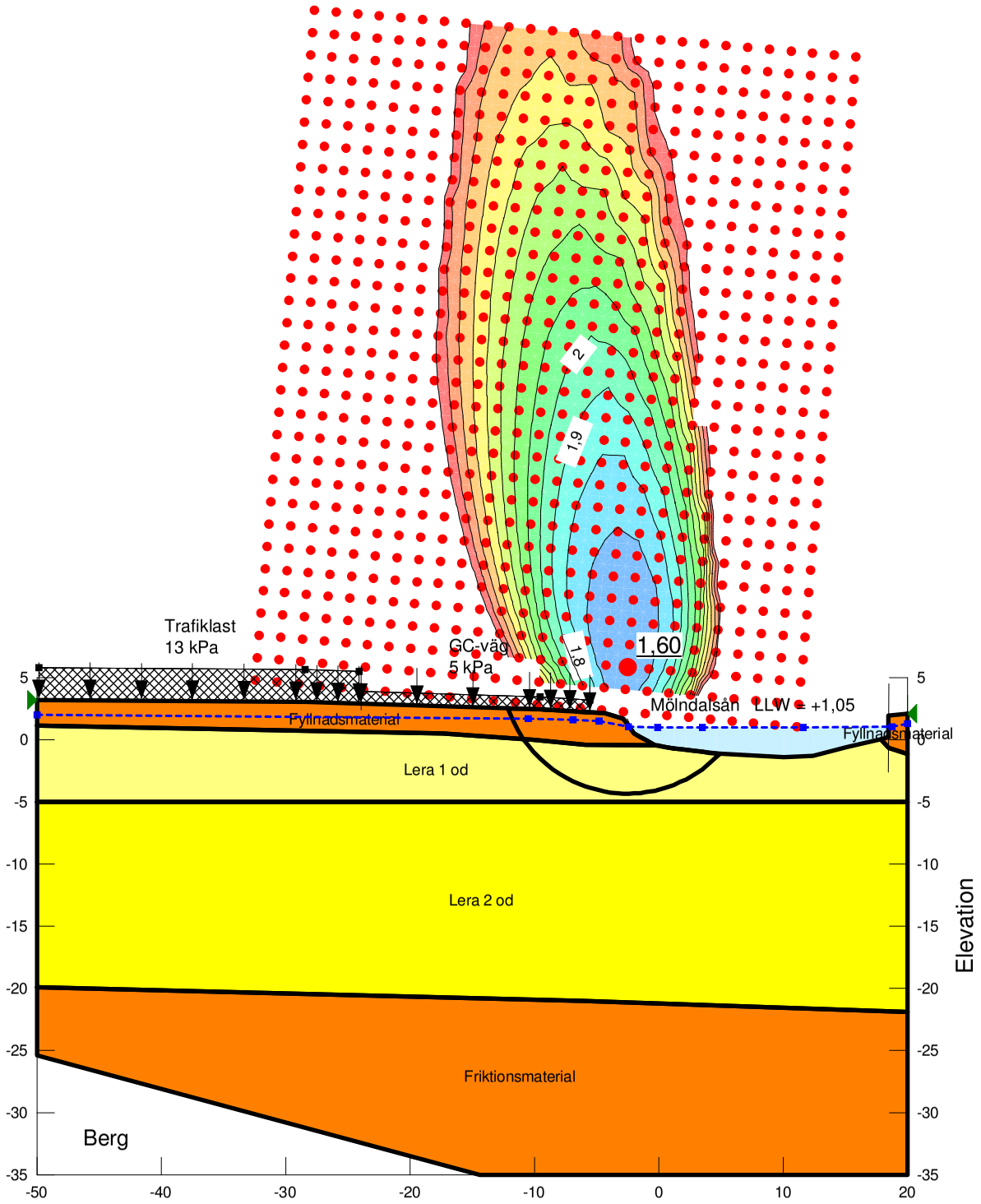
Golder Associates

Västlänken
AKF 05 Geoteknik
Korsvägen station - Almedal
K2
Odränerad analys

Uppdrag: Västlänken, AKF05 Geoteknik
Beställare: Trafikverket
Skala (A4): 1:500

Analysmetod: Morgenstern-Price
Glidytor: Grid and Radius (optimization: No)
GW & portryck: Piezometric Line
Filnamn: K2_lod.gsz
Senast sparad: 2014-05-05; 11:31:17

G:\Projekt\2013\1370588 DP Västlänken Stationer\12_Beräkn\Korsvägen\K2_lod.gsz



Name: Lera 1 od
Model: Undrained (Phi=0)
Unit Weight: 15 kN/m³
Cohesion': 14 kPa
Anisotropic Strength Fn: K0=0,7 (Left to right)
Piezometric Line: 1

Name: Lera 2 od
Model: S=f(datum)
Unit Weight: 15 kN/m³
C-Datum: 14 kPa
C-Rate of Change: 1,2 kPa/m
Datum (Elevation): -5 m
Anisotropic Strength Fn: K0=0,7 (Left to right)
Piezometric Line: 1

Name: Fyllnadsmaterial
Model: Mohr-Coulomb
Unit Weight: 20 kN/m³
Cohesion': 0 kPa
Phi': 35 °
Constant Unit Wt. Above Water Table: 18 kN/m
Piezometric Line: 1

Name: Friktionsmaterial
Model: Mohr-Coulomb
Unit Weight: 21 kN/m³
Cohesion': 0 kPa
Phi': 35 °
Constant Unit Wt. Above Water Table: 19 kN/m
Piezometric Line: 1

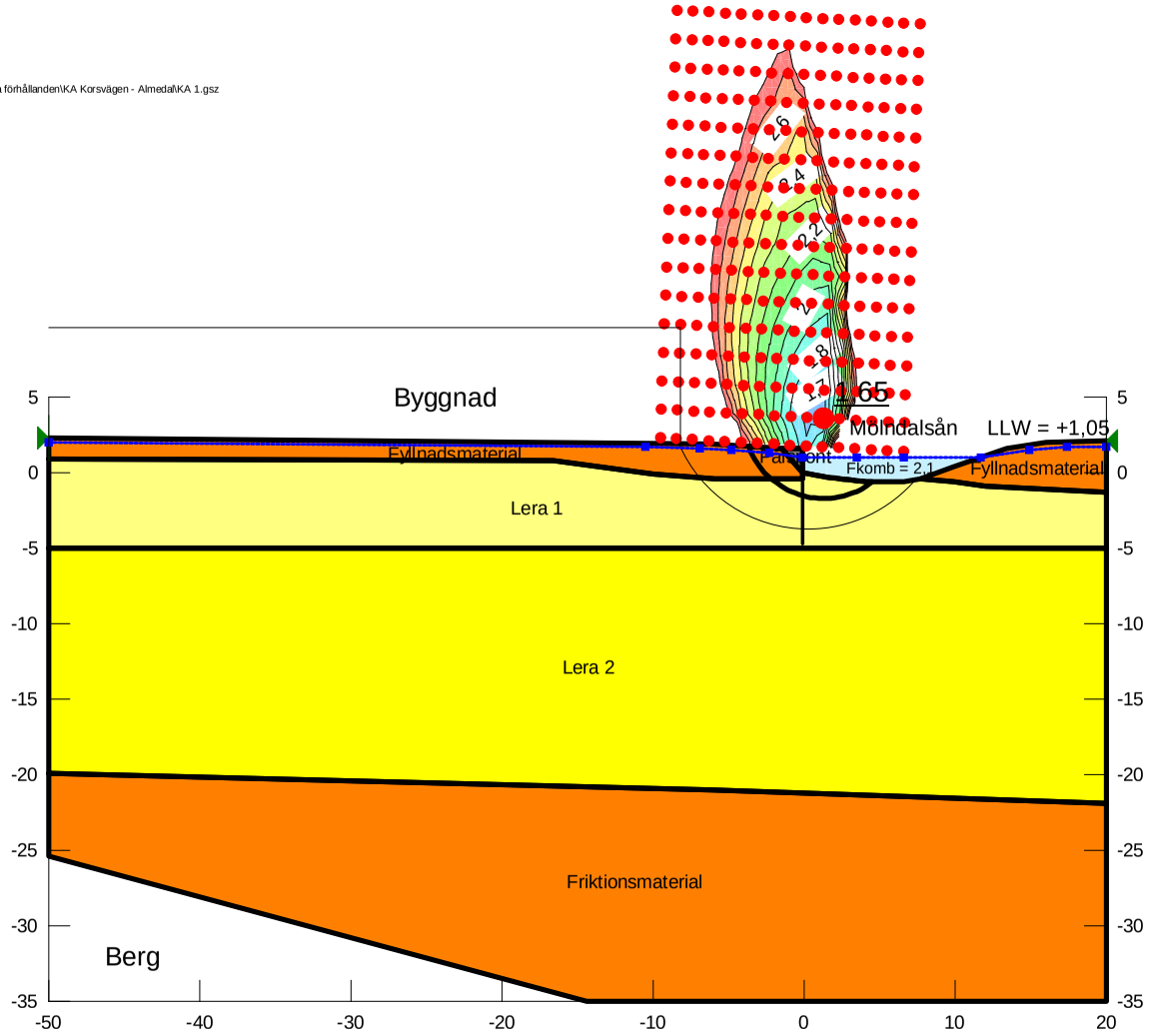
SWECO

Västlänken
AKF 05 Geoteknik
Korsvägen station - Almedal
KA 1
Kombinerad analys

Uppdrag: Västlänken, AKF05 Geoteknik
Beställare: Trafikverket
Skala (A4): 1:500

Analysmetod: Morgenstern-Price
Glidytor: Grid and Radius (optimization: No)
GW & portryck: Piezometric Line
Filnamn: KA 1.gsz
Senast sparad: 2013-08-27; 16:38:08

P:\2321\2305478_AKF5 Västlänken\000_AKF5 Västlänken\13BERÄKNINGAR\AKF 05 - 005 Stabilitet_befintliga förhållanden\KA Korsvägen - Almedal\KA 1.gsz



Name: Lera 1
Model: Combined, S=f(depth)
Unit Weight: 15 kN/m³
Phi': 30 °
Cu-Top of Layer: 14 kPa
Cu-Rate of Change: 0 kPa/m
C/Cu Ratio: 0,1
Anisotropic Strength Fn: K0=0,7 (Left to right)
Piezometric Line: 1

Name: Lera 2
Model: Combined, S=f(datum)
Unit Weight: 15 kN/m³
Phi': 30 °
Cu-Datum: 14 kPa
Cu-Rate of Change: 1,2 kPa/m
C/Cu Ratio: 0,1
Datum (Elevation): -5 m
Anisotropic Strength Fn: K0=0,7 (Left to right)
Piezometric Line: 1

Name: Pålspont
Model: Mohr-Coulomb
Unit Weight: 10 kN/m³
Cohesion': 2 000 kPa
Phi': 40 °
Unit Wt. Above Water Table: 0,01 kN/m³
Piezometric Line: 1

Name: Fyllnadsmaterial
Model: Mohr-Coulomb
Unit Weight: 20 kN/m³
Cohesion': 0 kPa
Phi': 35 °
Unit Wt. Above Water Table: 18 kN/m³
Piezometric Line: 1

Name: Friktionsmaterial
Model: Mohr-Coulomb
Unit Weight: 21 kN/m³
Cohesion': 0 kPa
Phi': 35 °
Unit Wt. Above Water Table: 19 kN/m³
Piezometric Line: 1

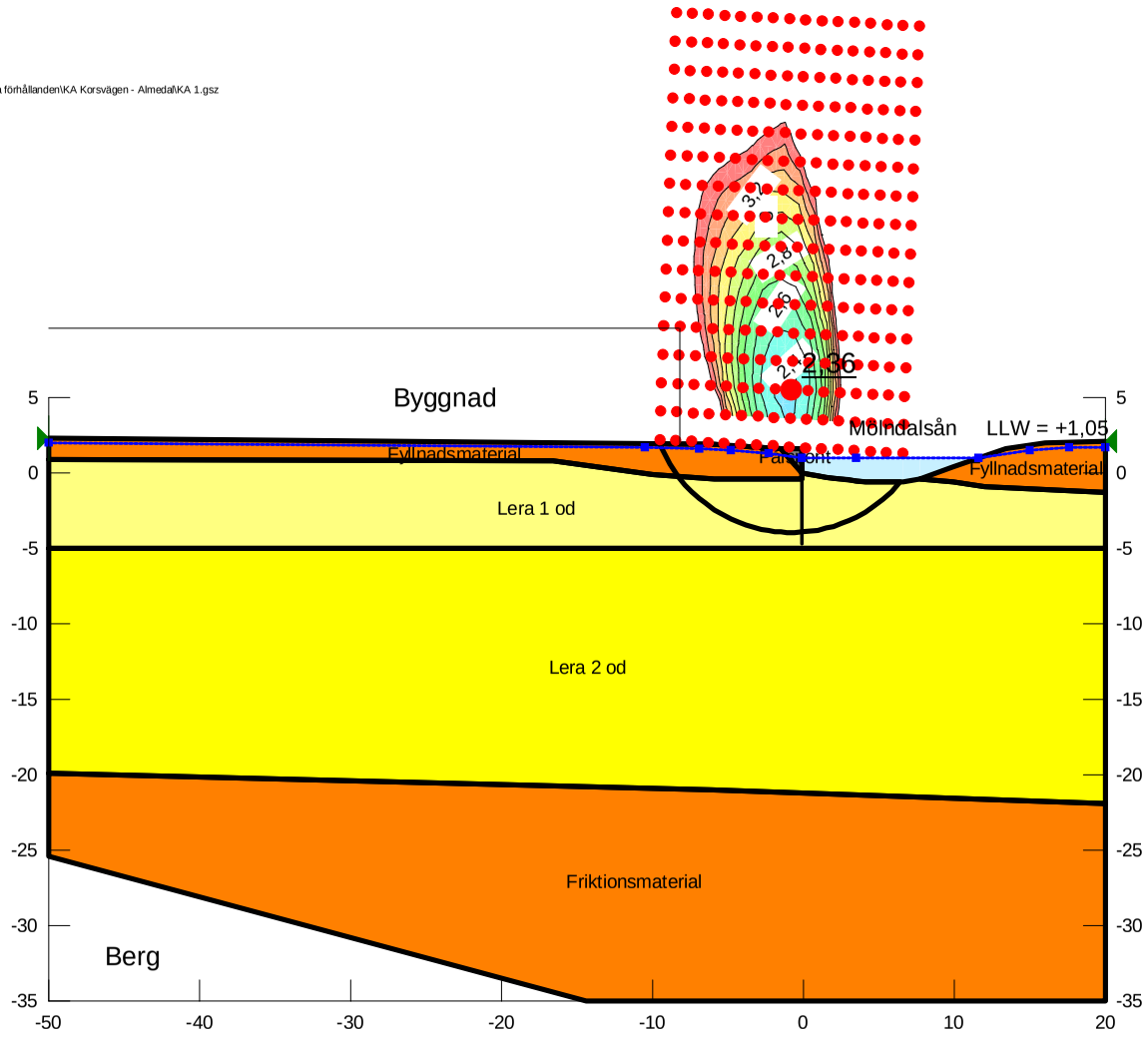
SWECO

Västlänken
AKF 05 Geoteknik
Korsvägen station - Almedal
KA 1
Odränerad analys

Uppdrag: Västlänken, AKF05 Geoteknik
Beställare: Trafikverket
Skala (A4): 1:500

Analysmetod: Morgenstern-Price
Glidytor: Grid and Radius (optimization: No)
GW & portryck: Piezometric Line
Filnamn: KA 1.gsz
Senast sparad: 2013-08-27; 16:38:08

P:\2321\2305478_AKF5 Västlänken\000_AKF5 Västlänken\13BERÄKNINGAR\AKF 05 - 005 Stabilitet_befintliga förhållanden\KA Korsvägen - Almedal\KA 1.gsz



Name: Lera 1 od
Model: Undrained (Phi=0)
Unit Weight: 15 kN/m³
Cohesion': 14 kPa
Anisotropic Strength Fn: K0=0,7 (Left to right)
Piezometric Line: 1

Name: Lera 2 od
Model: S=f(datum)
Unit Weight: 15 kN/m³
C-Datum: 14 kPa
C-Rate of Change: 1,2 kPa/m
Datum (Elevation): -5 m
Anisotropic Strength Fn: K0=0,7 (Left to right)
Piezometric Line: 1

Name: Pålspont
Model: Mohr-Coulomb
Unit Weight: 10 kN/m³
Cohesion': 2 000 kPa
Phi': 40 °
Unit Wt. Above Water Table: 0,01 kN/m³
Piezometric Line: 1

Name: Fyllnadsmaterial
Model: Mohr-Coulomb
Unit Weight: 20 kN/m³
Cohesion': 0 kPa
Phi': 35 °
Unit Wt. Above Water Table: 18 kN/m³
Piezometric Line: 1

Name: Friktionsmaterial
Model: Mohr-Coulomb
Unit Weight: 21 kN/m³
Cohesion': 0 kPa
Phi': 35 °
Unit Wt. Above Water Table: 19 kN/m³
Piezometric Line: 1

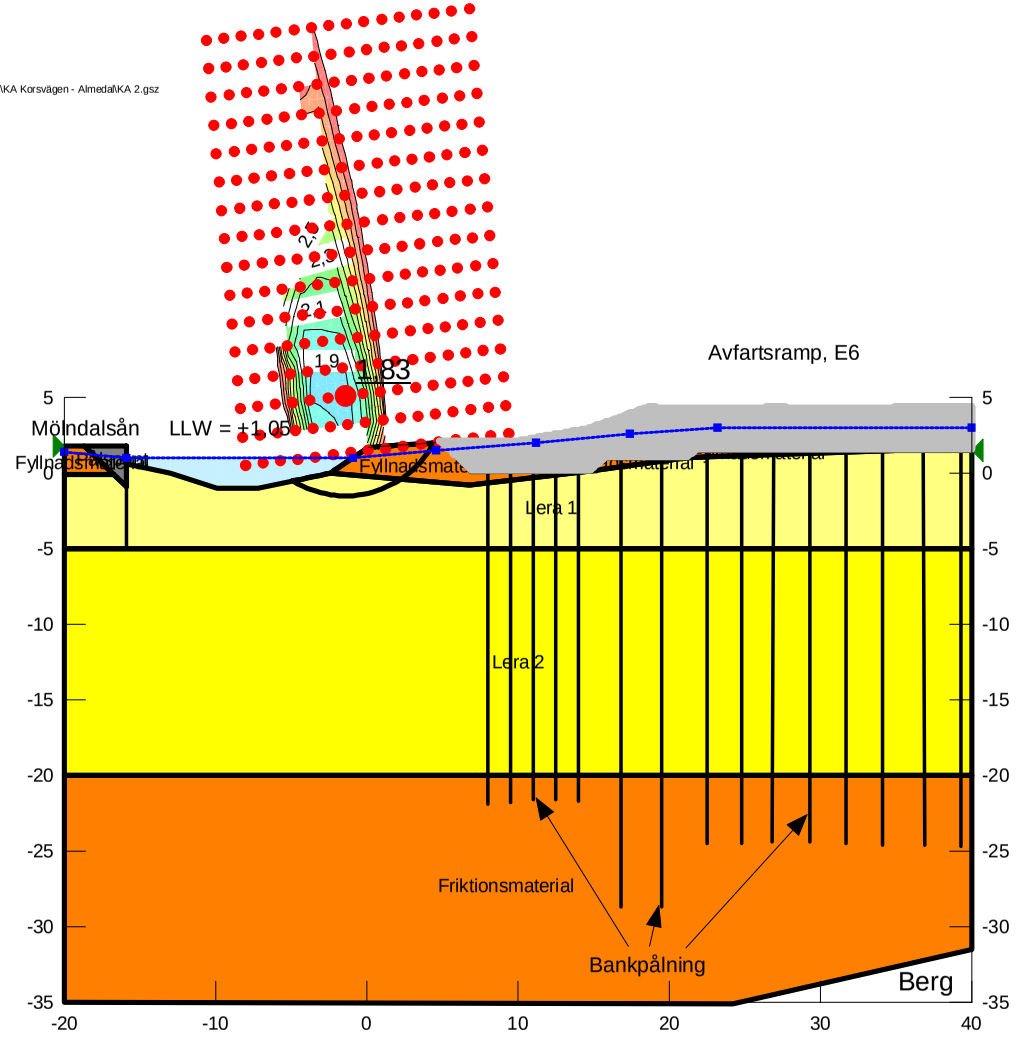
SWECO

Västlänken
AKF 05 Geoteknik
Korsvägen station - Almedal
KA 2
Kombinerad analys

Uppdrag: Västlänken, AKF05 Geoteknik
Beställare: Trafikverket
Skala (A4): 1:500

Analysmetod: Morgenstern-Price
Glidytor: Grid and Radius (optimization: No)
GW & portryck: Piezometric Line
Filnamn: KA 2.gsz
Senast sparad: 2013-08-28; 11:19:40

P:\2321\2305478_AKF5 Västlänken\000_AKF5 Västlänken\13BERÄKNINGAR\AKF 05 - 005 Stabilitet_befintliga förhållanden\KA Korsvägen - Almedal\KA 2.gsz



Name: Lera 1
Model: Combined, S=f(depth)
Unit Weight: 15 kN/m³
Phi': 30 °
Cu-Top of Layer: 14 kPa
Cu-Rate of Change: 0 kPa/m
C/Cu Ratio: 0,1
Anisotropic Strength Fn: K0=0,7 (Right to left)
Piezometric Line: 1

Name: Lera 2
Model: Combined, S=f(datum)
Unit Weight: 15 kN/m³
Phi': 30 °
Cu-Datum: 14 kPa
Cu-Rate of Change: 1,2 kPa/m
C/Cu Ratio: 0,1
Datum (Elevation): -5 m
Anisotropic Strength Fn: K0=0,7 (Right to left)
Piezometric Line: 1

Name: Pålspont
Model: Mohr-Coulomb
Unit Weight: 10 kN/m³
Cohesion': 2 000 kPa
Phi': 40 °
Unit Wt. Above Water Table: 0,01 kN/m³
Piezometric Line: 1

Name: Fyllnadsmaterial
Model: Mohr-Coulomb
Unit Weight: 20 kN/m³
Cohesion': 0 kPa
Phi': 35 °
Unit Wt. Above Water Table: 18 kN/m³
Piezometric Line: 1

Name: Friktionsmaterial
Model: Mohr-Coulomb
Unit Weight: 21 kN/m³
Cohesion': 0 kPa
Phi': 35 °
Unit Wt. Above Water Table: 19 kN/m³
Piezometric Line: 1

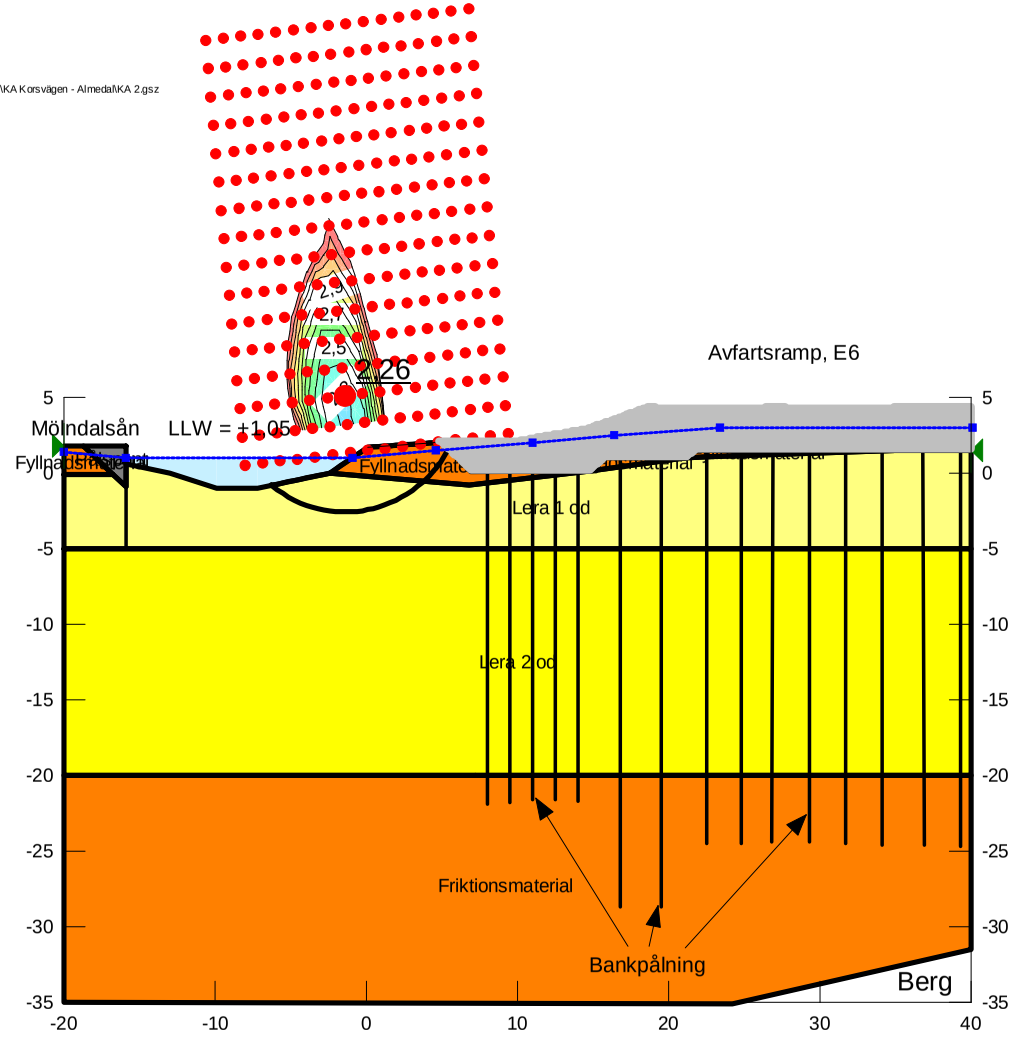
SWECO

Västlänken
AKF 05 Geoteknik
Korsvägen station - Almedal
KA 2
Odränerad analys

Uppdrag: Västlänken, AKF05 Geoteknik
Beställare: Trafikverket
Skala (A4): 1:500

Analysmetod: Morgenstern-Price
Glidytor: Grid and Radius (optimization: No)
GW & portryck: Piezometric Line
Filnamn: KA 2.gsz
Senast sparad: 2013-08-28; 11:19:40

P:\2321\2305478_AKF5 Västlänken\000_AKF5 Västlänken\13BERÄKNINGAR\AKF 05 - 005 Stabilitet_befintliga förhållanden\KA Korsvägen - Almedal\KA 2.gsz



Name: Lera 1 od
Model: Undrained (Phi=0)
Unit Weight: 15 kN/m³
Cohesion': 14 kPa
Anisotropic Strength Fn: K0=0,7 (Right to left)
Piezometric Line: 1

Name: Lera 2 od
Model: S=f(datum)
Unit Weight: 15 kN/m³
Datum (Elevation): -5 m
Anisotropic Strength Fn: K0=0,7 (Right to left)
Piezometric Line: 1

Name: Pålspont
Model: Mohr-Coulomb
Unit Weight: 10 kN/m³
Cohesion': 2 000 kPa
Phi': 40 °
Unit Wt. Above Water Table: 0,01 kN/m³
Piezometric Line: 1

Name: Fyllnadsmaterial
Model: Mohr-Coulomb
Unit Weight: 20 kN/m³
Cohesion': 0 kPa
Phi': 35 °
Unit Wt. Above Water Table: 18 kN/m³
Piezometric Line: 1

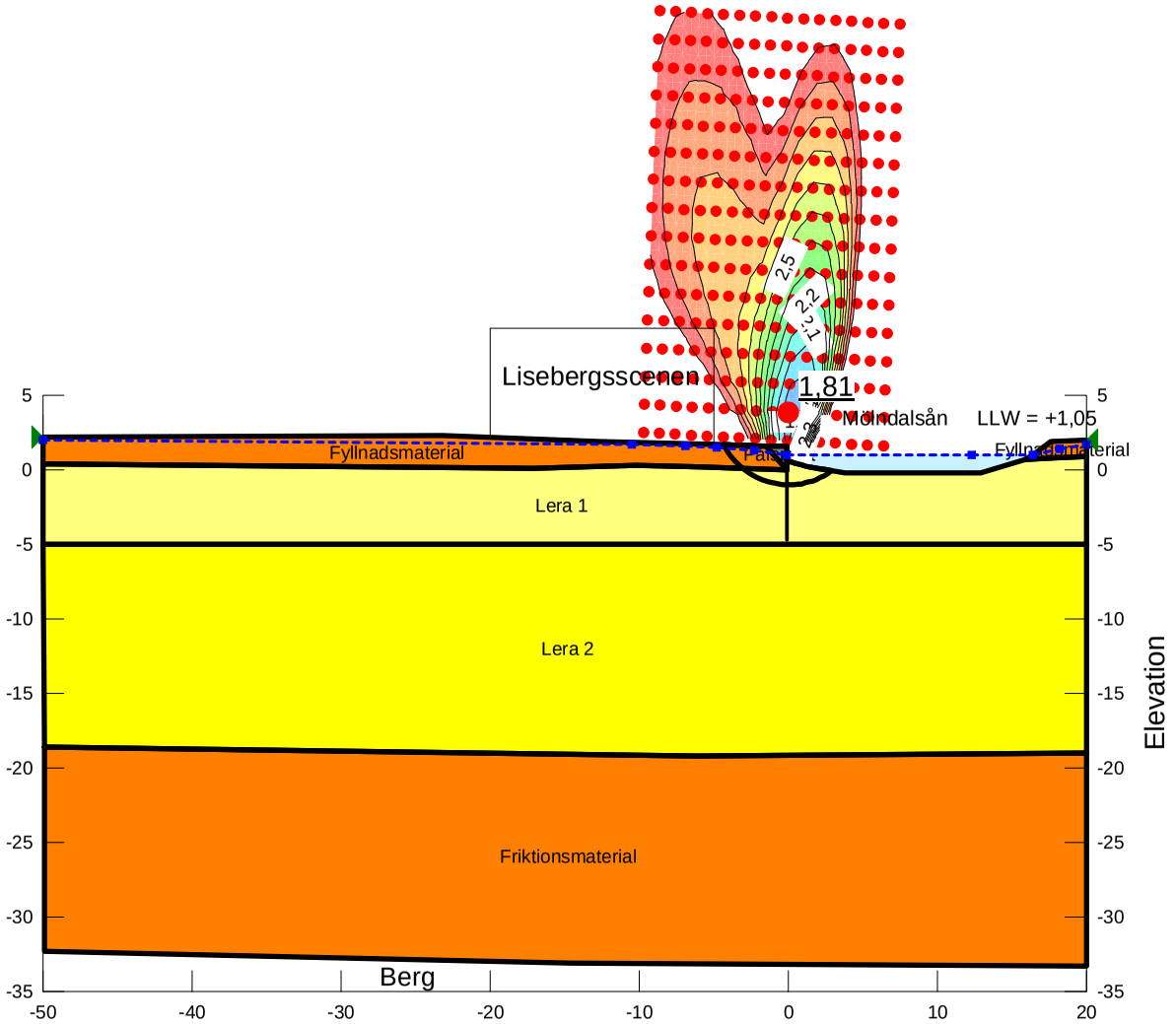
Name: Friktionsmaterial
Model: Mohr-Coulomb
Unit Weight: 21 kN/m³
Cohesion': 0 kPa
Phi': 35 °
Unit Wt. Above Water Table: 19 kN/m³
Piezometric Line: 1

Västlänken
AKF 05 Geoteknik
Korsvägen station - Almedal
KA 3
Kombinerad analys

Uppdrag: Västlänken, AKF05 Geoteknik
Beställare: Trafikverket
Skala (A4): 1:500

Analysmetod: Morgenstern-Price
Glidytor: Grid and Radius (optimization: No)
GW & portryck: Piezometric Line
Filnamn: KA 3.gsz
Senast sparad: 2014-07-02; 14:13:39

G:\Projekt\2013\1370425 Västlänken, AKF5\12BERÄKNINGAR\KA Korsvägen - Almedal\KA 3.gsz



Name: Lera 1
Model: Combined, S=f(depth)
Unit Weight: 15 kN/m³
Phi': 30 °
C-Rate of Change: 0 (kN/m²)/m
Cu-Top of Layer: 14 kPa
Cu-Rate of Change: 0 (kN/m²)/m
C/Cu Ratio: 0,1
Anisotropic Strength Fn: K0=0,7 (Left to right)
Piezometric Line: 1

Name: Lera 2
Model: Combined, S=f(datum)
Unit Weight: 15 kN/m³
Phi': 30 °
C-Datum: 0 kPa
C-Rate of Change: 0 (kN/m²)/m
Cu-Datum: 14 kPa
Cu-Rate of Change: 1,2 (kN/m²)/m
C/Cu Ratio: 0,1
Datum (Elevation): -5 m
Anisotropic Strength Fn: K0=0,7 (Left to right)
Piezometric Line: 1

Name: Pålspont
Model: Mohr-Coulomb
Unit Weight: 10 kN/m³
Cohesion': 2 000 kPa
Phi': 40 °
Constant Unit Wt. Above Water Table: 0,01 kN/m³
Piezometric Line: 1

Name: Fyllnadsmaterial
Model: Mohr-Coulomb
Unit Weight: 20 kN/m³
Cohesion': 0 kPa
Phi': 35 °
Constant Unit Wt. Above Water Table: 18 kN/m³
Piezometric Line: 1

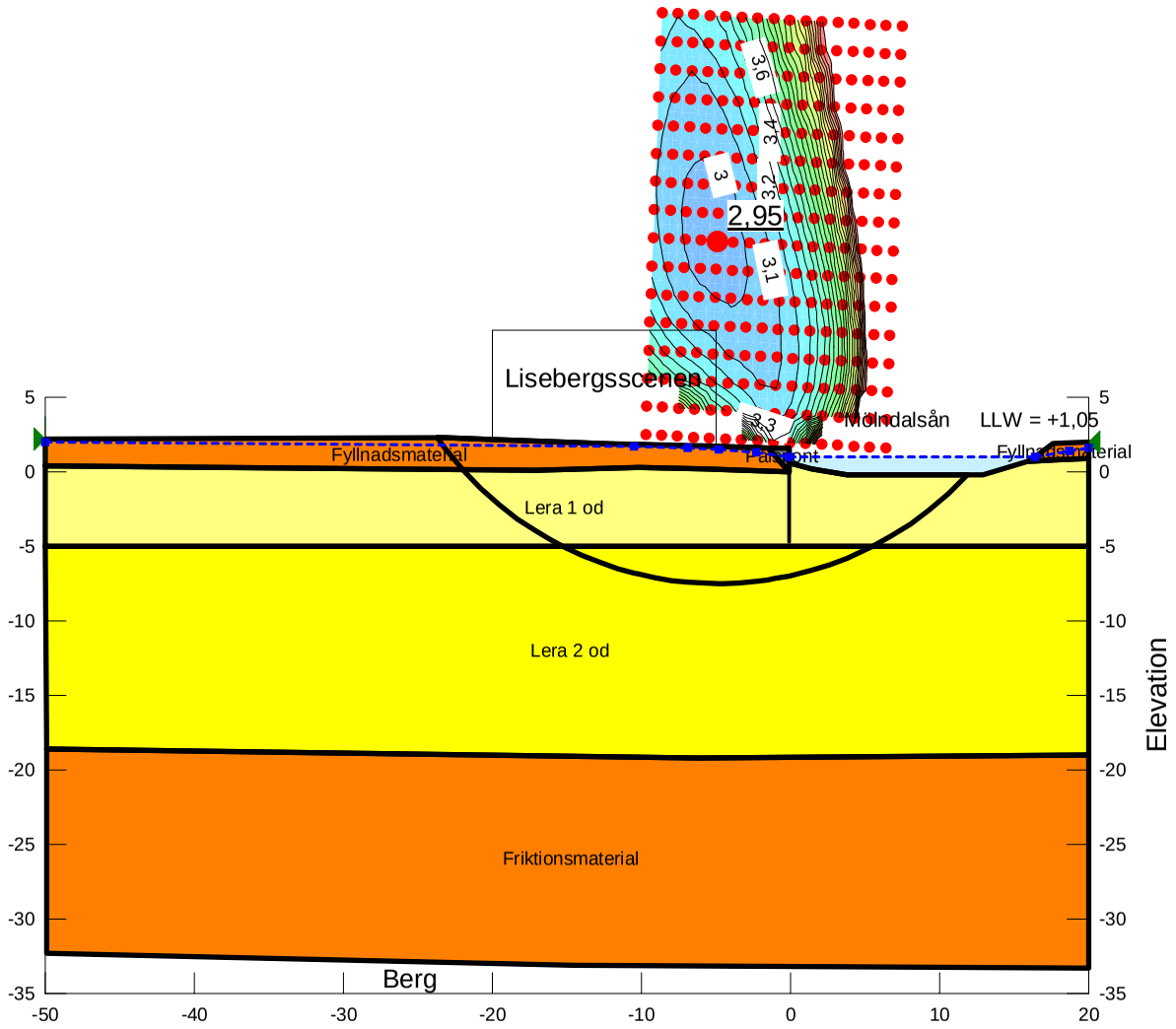
Name: Friktionsmaterial
Model: Mohr-Coulomb
Unit Weight: 21 kN/m³
Cohesion': 0 kPa
Phi': 35 °
Constant Unit Wt. Above Water Table: 19 kN/m³
Piezometric Line: 1

Västlänken
AKF 05 Geoteknik
Korsvägen station - Almedal
KA 3
Odränerad analys

Uppdrag: Västlänken, AKF05 Geoteknik
Beställare: Trafikverket
Skala (A4): 1:500

Analysmetod: Morgenstern-Price
Glidytor: Grid and Radius (optimization: No)
GW & portryck: Piezometric Line
Filnamn: KA 3.gsz
Senast sparad: 2014-07-02; 14:13:39

G:\Projekt\2013\1370425 Västlänken, AKF5\12BERÄKNINGAR\KA Korsvägen - Almedal\KA 3.gsz



Name: Lera 1 od
Model: Undrained (Phi=0)
Unit Weight: 15 kN/m³
Cohesion': 14 kPa
Anisotropic Strength Fn: K0=0,7 (Left to right)
Piezometric Line: 1

Name: Lera 2 od
Model: S=f(datum)
Unit Weight: 15 kN/m³
C-Datum: 14 kPa
C-Rate of Change: 1,2 (kN/m²)/m
Datum (Elevation): -5 m
Anisotropic Strength Fn: K0=0,7 (Left to right)
Piezometric Line: 1

Name: Pålspont
Model: Mohr-Coulomb
Unit Weight: 10 kN/m³
Cohesion': 2 000 kPa
Phi': 40 °
Constant Unit Wt. Above Water Table: 0,01 kN/m³
Piezometric Line: 1

Name: Fyllnadsmaterial
Model: Mohr-Coulomb
Unit Weight: 20 kN/m³
Cohesion': 0 kPa
Phi': 35 °
Constant Unit Wt. Above Water Table: 18 kN/m³
Piezometric Line: 1

Name: Friktionsmaterial
Model: Mohr-Coulomb
Unit Weight: 21 kN/m³
Cohesion': 0 kPa
Phi': 35 °
Constant Unit Wt. Above Water Table: 19 kN/m³
Piezometric Line: 1

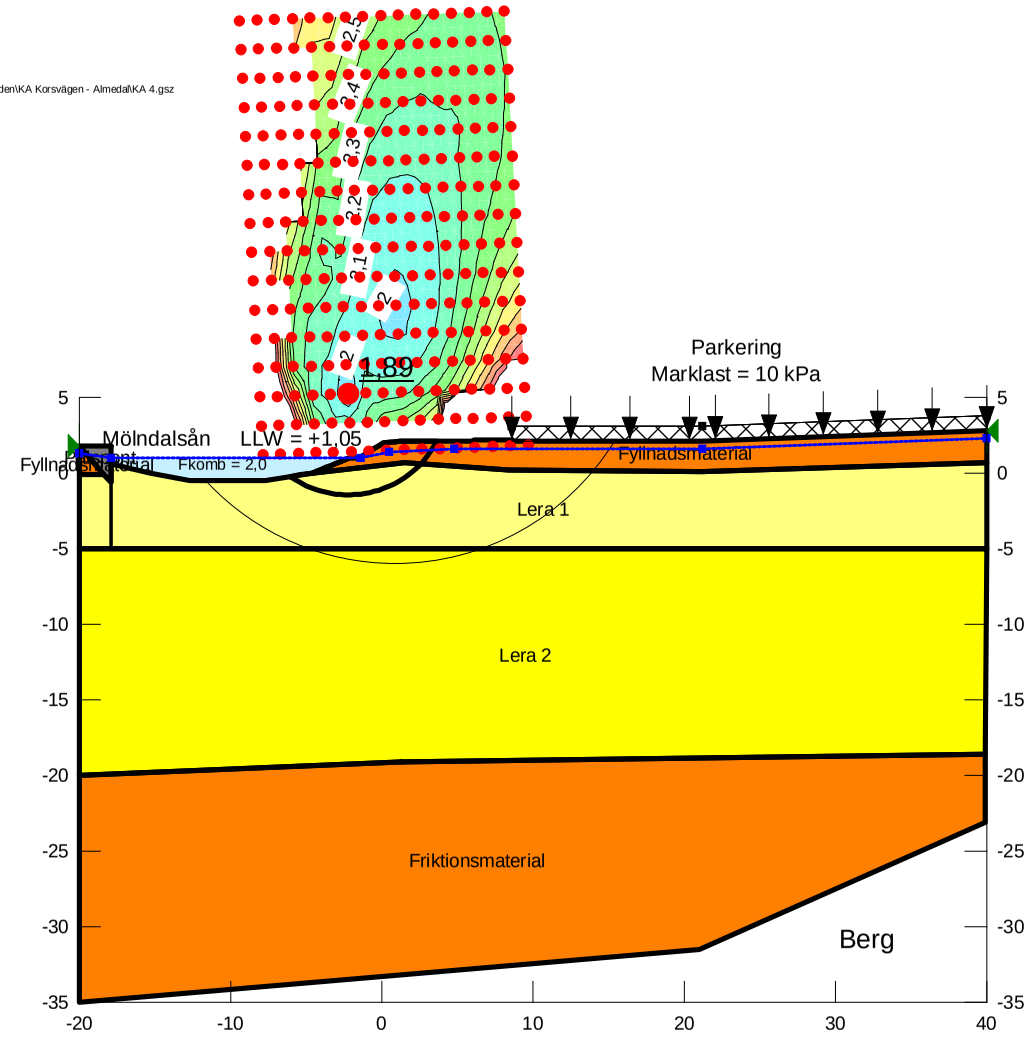
SWECO

Västlänken
AKF 05 Geoteknik
Korsvägen station - Almedal
KA 4
Kombinerad analys

Uppdrag: Västlänken, AKF05 Geoteknik
Beställare: Trafikverket
Skala (A4): 1:500

Analysmetod: Morgenstern-Price
Glidytor: Grid and Radius (optimization: No)
GW & portryck: Piezometric Line
Filnamn: KA 4.gsz
Senast sparad: 2013-08-29; 08:27:49

P:\2321\2305478_AKF5 Västlänken\000_AKF5 Västlänken\13BERÄKNINGAR\AKF 05 - 005 Stabilitet_befintliga förhållanden\KA Korsvägen - Almedal\KA 4.gsz



Name: Lera 1
Model: Combined, S=f(depth)
Unit Weight: 15 kN/m³
Phi': 30 °
Cu-Top of Layer: 14 kPa
Cu-Rate of Change: 0 kPa/m
C/Cu Ratio: 0,1
Anisotropic Strength Fn: K0=0,7 (Right to left)
Piezometric Line: 1

Name: Lera 2
Model: Combined, S=f(datum)
Unit Weight: 15 kN/m³
Phi': 30 °
Cu-Datum: 14 kPa
Cu-Rate of Change: 1,2 kPa/m
C/Cu Ratio: 0,1
Datum (Elevation): -5 m
Anisotropic Strength Fn: K0=0,7 (Right to left)
Piezometric Line: 1

Name: Pålspont
Model: Mohr-Coulomb
Unit Weight: 10 kN/m³
Cohesion': 2 000 kPa
Phi': 40 °
Unit Wt. Above Water Table: 0,01 kN/m³
Piezometric Line: 1

Name: Fyllnadsmaterial
Model: Mohr-Coulomb
Unit Weight: 20 kN/m³
Cohesion': 0 kPa
Phi': 35 °
Unit Wt. Above Water Table: 18 kN/m³
Piezometric Line: 1

Name: Friktionsmaterial
Model: Mohr-Coulomb
Unit Weight: 21 kN/m³
Cohesion': 0 kPa
Phi': 35 °
Unit Wt. Above Water Table: 19 kN/m³
Piezometric Line: 1

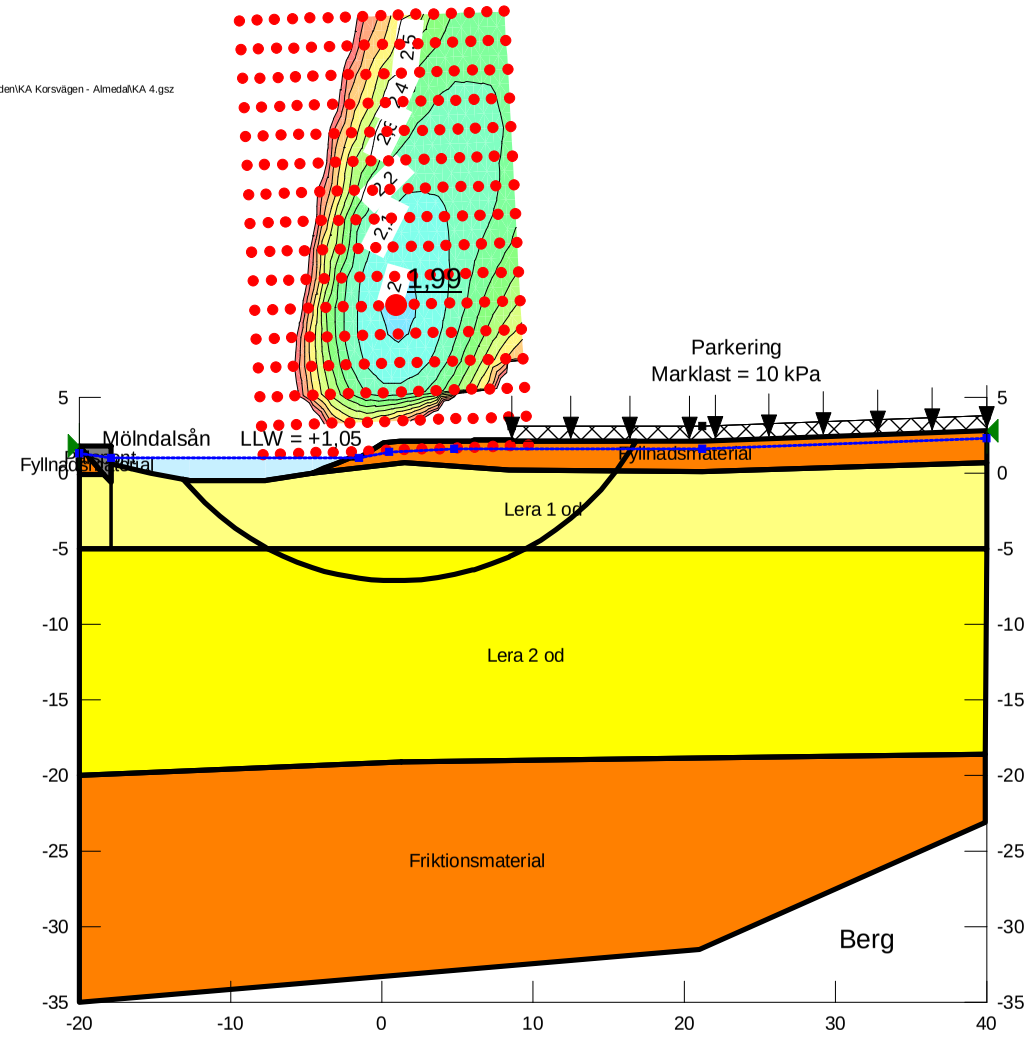
SWECO

Västlänken
AKF 05 Geoteknik
Korsvägen station - Almedal
KA 4
Odränerad analys

Uppdrag: Västlänken, AKF05 Geoteknik
Beställare: Trafikverket
Skala (A4): 1:500

Analysmetod: Morgenstern-Price
Glidytor: Grid and Radius (optimization: No)
GW & portryck: Piezometric Line
Filnamn: KA 4.gsz
Senast sparad: 2013-08-29; 08:27:49

P:\2321\2305478_AKF5 Västlänken\000_AKF5 Västlänken\13BERÄKNINGAR\AKF 05 - 005 Stabilitet_befintliga förhållanden\KA Korsvägen - Almedal\KA 4.gsz



Name: Lera 1 od
Model: Undrained (Phi=0)
Unit Weight: 15 kN/m³
Cohesion': 14 kPa
Anisotropic Strength Fn: K0=0,7 (Right to left)
Piezometric Line: 1

Name: Lera 2 od
Model: S=f(datum)
Unit Weight: 15 kN/m³
C-Datum: 12 kPa
C-Rate of Change: 1,2 kPa/m
Datum (Elevation): -5 m
Anisotropic Strength Fn: K0=0,7 (Right to left)
Piezometric Line: 1

Name: Pålspont
Model: Mohr-Coulomb
Unit Weight: 10 kN/m³
Cohesion': 2 000 kPa
Phi': 40 °
Unit Wt. Above Water Table: 0,01 kN/m³
Piezometric Line: 1

Name: Fyllnadsmaterial
Model: Mohr-Coulomb
Unit Weight: 20 kN/m³
Cohesion': 0 kPa
Phi': 35 °
Unit Wt. Above Water Table: 18 kN/m³
Piezometric Line: 1

Name: Friktionsmaterial
Model: Mohr-Coulomb
Unit Weight: 21 kN/m³
Cohesion': 0 kPa
Phi': 35 °
Unit Wt. Above Water Table: 19 kN/m³
Piezometric Line: 1

Västlänken
AKF 05 Geoteknik
Korsvägen station - Almedal
KA 5
Kombinerad analys

Uppdrag: Västlänken, AKF05 Geoteknik
Beställare: Trafikverket
Skala (A4): 1:500

Analysmetod: Morgenstern-Price
Glidytor: Grid and Radius (optimization: No)
GW & portryck: Piezometric Line
Filnamn: KA 5.gsz
Senast sparad: 2014-07-02; 17:41:02

G:\Projekt\2013\1370425 Västlänken, AKF5\12BERÄKNINGAR\KA Korsvägen - Almedal\KA 5.gsz

Name: Torrskorpelera
Model: Combined, S=f(depth)
Unit Weight: 17 kN/m³
Phi': 30 °
C-Top of Layer: 0 kPa
C-Rate of Change: 0 (kN/m²)/m
Cu-Top of Layer: 16 kPa
Cu-Rate of Change: 0 (kN/m²)/m
C/Cu Ratio: 0,1
Piezometric Line: 1

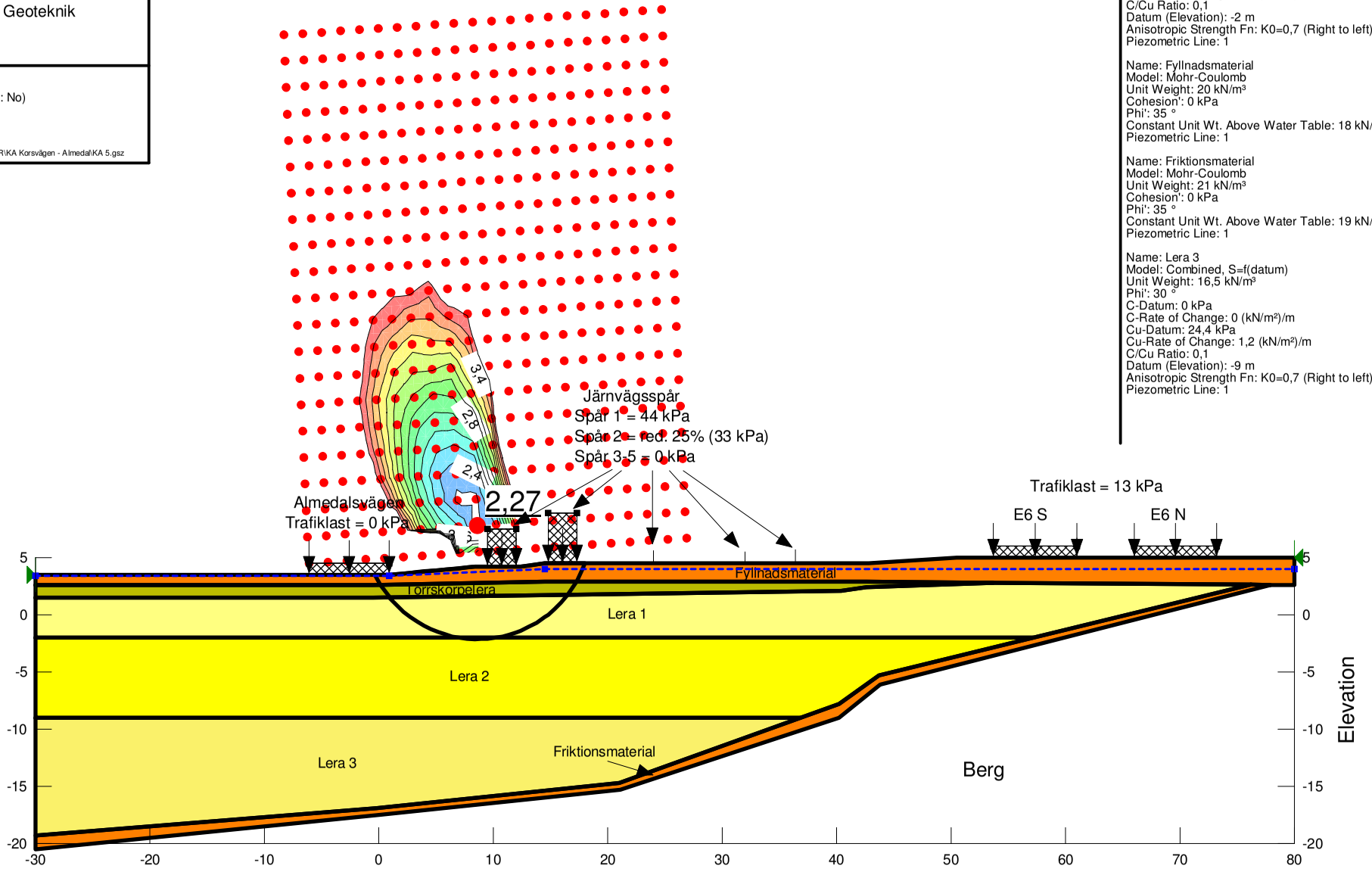
Name: Lera 1
Model: Combined, S=f(depth)
Unit Weight: 15,5 kN/m³
Phi': 30 °
C-Top of Layer: 0 kPa
C-Rate of Change: 0 (kN/m²)/m
Cu-Top of Layer: 16 kPa
Cu-Rate of Change: 0 (kN/m²)/m
C/Cu Ratio: 0,1
Anisotropic Strength Fn: K0=0,7 (Right to left)
Piezometric Line: 1

Name: Lera 2
Model: Combined, S=f(datum)
Unit Weight: 15,5 kN/m³
Phi': 30 °
C-Datum: 0 kPa
C-Rate of Change: 0 (kN/m²)/m
Cu-Datum: 16 kPa
Cu-Rate of Change: 1,2 (kN/m²)/m
C/Cu Ratio: 0,1
Datum (Elevation): -2 m
Anisotropic Strength Fn: K0=0,7 (Right to left)
Piezometric Line: 1

Name: Fyllnadsmaterial
Model: Mohr-Coulomb
Unit Weight: 20 kN/m³
Cohesion': 0 kPa
Phi': 35 °
Constant Unit Wt. Above Water Table: 18 kN/m
Piezometric Line: 1

Name: Friktionsmaterial
Model: Mohr-Coulomb
Unit Weight: 21 kN/m³
Cohesion': 0 kPa
Phi': 35 °
Constant Unit Wt. Above Water Table: 19 kN/m
Piezometric Line: 1

Name: Lera 3
Model: Combined, S=f(datum)
Unit Weight: 16,5 kN/m³
Phi': 30 °
C-Datum: 0 kPa
C-Rate of Change: 0 (kN/m²)/m
Cu-Datum: 24,4 kPa
Cu-Rate of Change: 1,2 (kN/m²)/m
C/Cu Ratio: 0,1
Datum (Elevation): -9 m
Anisotropic Strength Fn: K0=0,7 (Right to left)
Piezometric Line: 1



Västlänken
AKF 05 Geoteknik
Korsvägen station - Almedal
KA 5
Odränerad analys

Uppdrag: Västlänken, AKF05 Geoteknik
Beställare: Trafikverket
Skala (A4): 1:500

Analysmetod: Morgenstern-Price
Glidytor: Grid and Radius (optimization: No)
GW & portryck: Piezometric Line
Filnamn: KA 5.gsz
Senast sparad: 2014-07-02; 17:41:02

G:\Projekt\2013\1370425 Västlänken, AKF5\12BERÄKNINGAR\KA Korsvägen - Almedal\KA 5.gsz

Name: Torrskorpelera
Model: Combined, S=f(depth)
Unit Weight: 17 kN/m³
Phi': 30 °
C-Top of Layer: 0 kPa
C-Rate of Change: 0 (kN/m²)/m
Cu-Top of Layer: 16 kPa
Cu-Rate of Change: 0 (kN/m²)/m
C/Cu Ratio: 0,1
Piezometric Line: 1

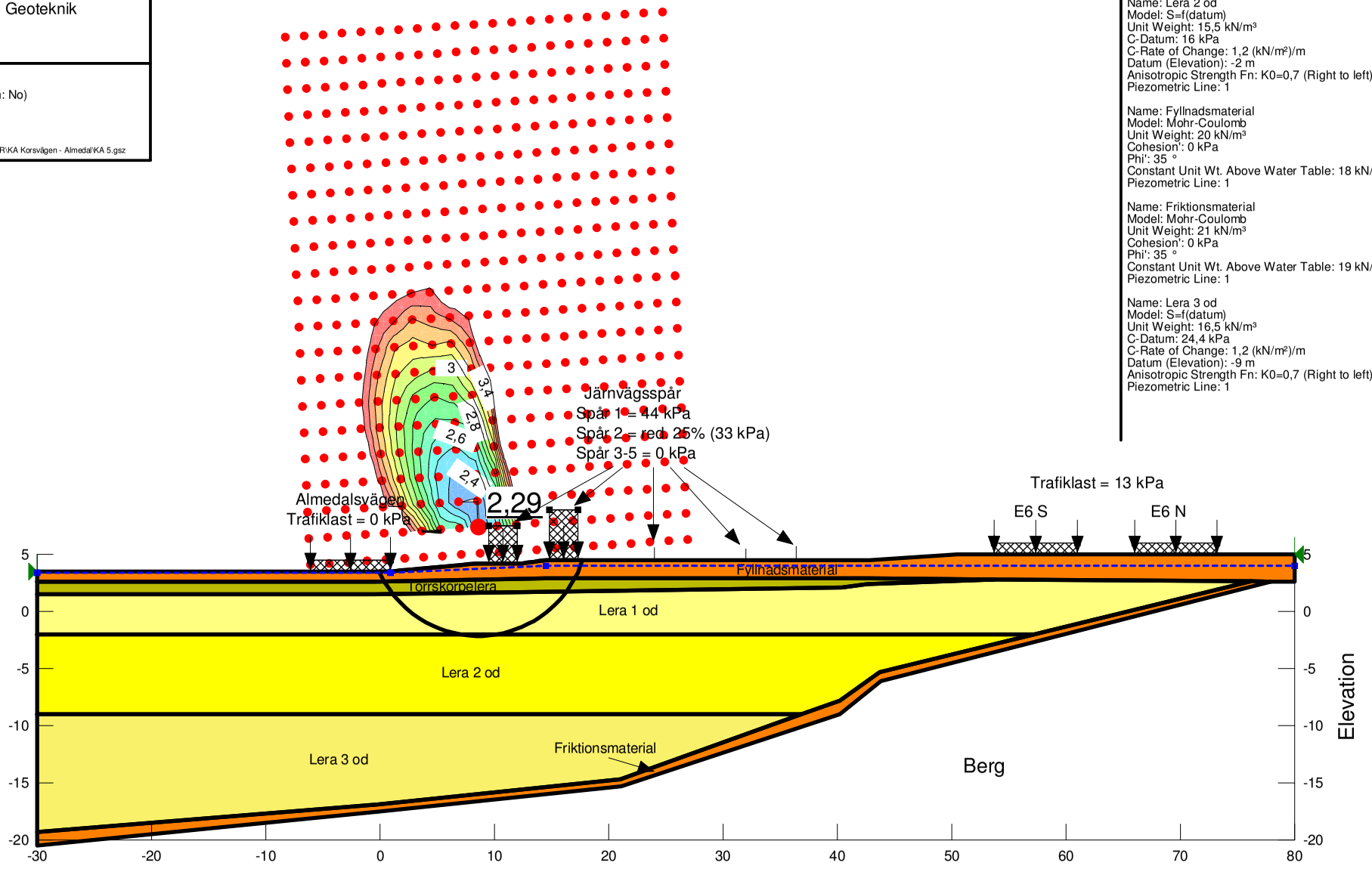
Name: Lera 1 od
Model: Undrained (Phi=0)
Unit Weight: 15,5 kN/m³
Cohesion': 16 kPa
Anisotropic Strength Fn: K0=0,7 (Right to left)
Piezometric Line: 1

Name: Lera 2 od
Model: S=f(datum)
Unit Weight: 15,5 kN/m³
C-Datum: 16 kPa
C-Rate of Change: 1,2 (kN/m²)/m
Datum (Elevation): -2 m
Anisotropic Strength Fn: K0=0,7 (Right to left)
Piezometric Line: 1

Name: Fyllnadsmaterial
Model: Mohr-Coulomb
Unit Weight: 20 kN/m³
Cohesion': 0 kPa
Phi': 35 °
Constant Unit Wt. Above Water Table: 18 kN/m
Piezometric Line: 1

Name: Friktionsmaterial
Model: Mohr-Coulomb
Unit Weight: 21 kN/m³
Cohesion': 0 kPa
Phi': 35 °
Constant Unit Wt. Above Water Table: 19 kN/m
Piezometric Line: 1

Name: Lera 3 od
Model: S=f(datum)
Unit Weight: 16,5 kN/m³
C-Datum: 24,4 kPa
C-Rate of Change: 1,2 (kN/m²)/m
Datum (Elevation): -9 m
Anisotropic Strength Fn: K0=0,7 (Right to left)
Piezometric Line: 1



Bilaga 7

Beställare:
Göteborgs Stad via Sweco Civil AB

- **Detaljplan för järnvägstunneln Västlänken; tunnelmynningar, schakt mm**
- **Ändring av detaljplaner för järnvägstunneln Västlänken mellan Gullbergsvass och Almedal**

Risk för bergras och blocknedfall

Bergab – Berggeologiska Undersökningar AB

Göteborg 2015-06-01

Uppdragsledare:
Joakim Karlsson

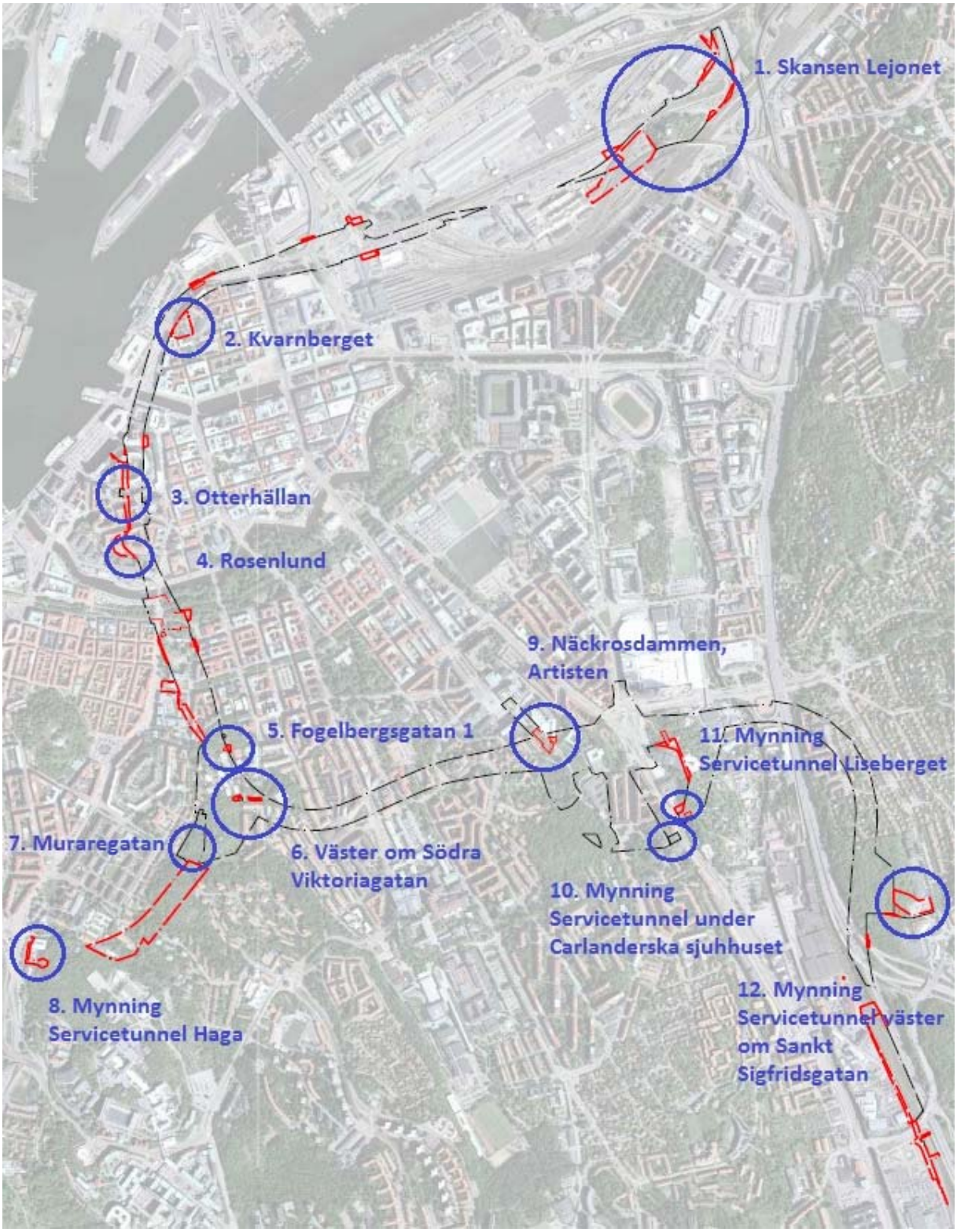
Handläggare:
Maria Göthfors

1 Inledning 1
2 Skansen Lejonet 3
3 Kvarnberget 12
4 Otterhällan 14
5 Rosenlund 15
6 Fogelbergsgatan 16
7 Väster om Södra Viktoriagatan 19
8 Muraregatan 20
9 Servicetunnel Haga 21
10 Näckrosdammen – Artisten 23
11 Servicetunnel Korsvägen 24
12 Servicetunnel Liseberget Liseberget 25
13 Servicetunnel väster om Sankt Sigfridsgatan 27

1 Inledning

På uppdrag av Göteborgs Stad genom Sweco Civil AB har Bergab – Berggeologiska Undersökningar AB utfört en bergteknisk utredning med avseende på ras och blocknedfall.
Utredningen är utförd för:
- Detaljplan för järnvägstunneln Västlänken; tunnelmynningar schakt mm
- Ändring av detaljplaner för järnvägstunneln Västlänken mellan Gullbergsvass och Almedal.

Den bergtekniska utredningen omfattar bedömning av stabilitet i befintliga och planerade bergslänter samt förslag till stabilitetshöjande åtgärder. Resultaten redovisas i föreliggande rapport.
Fältkarteringen utfördes 2014-01-07. Då behandlade besiktningen enbart om nya detaljplaner. Därefter kompletterades karteringen med ett fältbesök vid Servicetunnel Hagas planerade mynning 2014-08-15. Observerade befintliga bergslänter har fotograferats och redovisas i föreliggande rapport.
2014-09-02 kompletterades uppdraget med ändrade detaljplaner på de platser där Västlänken bryter markytan och det förekommer berg.
En översiktskarta över de besiktigade områdena, numrerade mellan 1 och 12 kan ses nedan i Figur 1.



Figur 1, översikt

2 Skansen Lejonet

2.1 Befintliga förhållanden

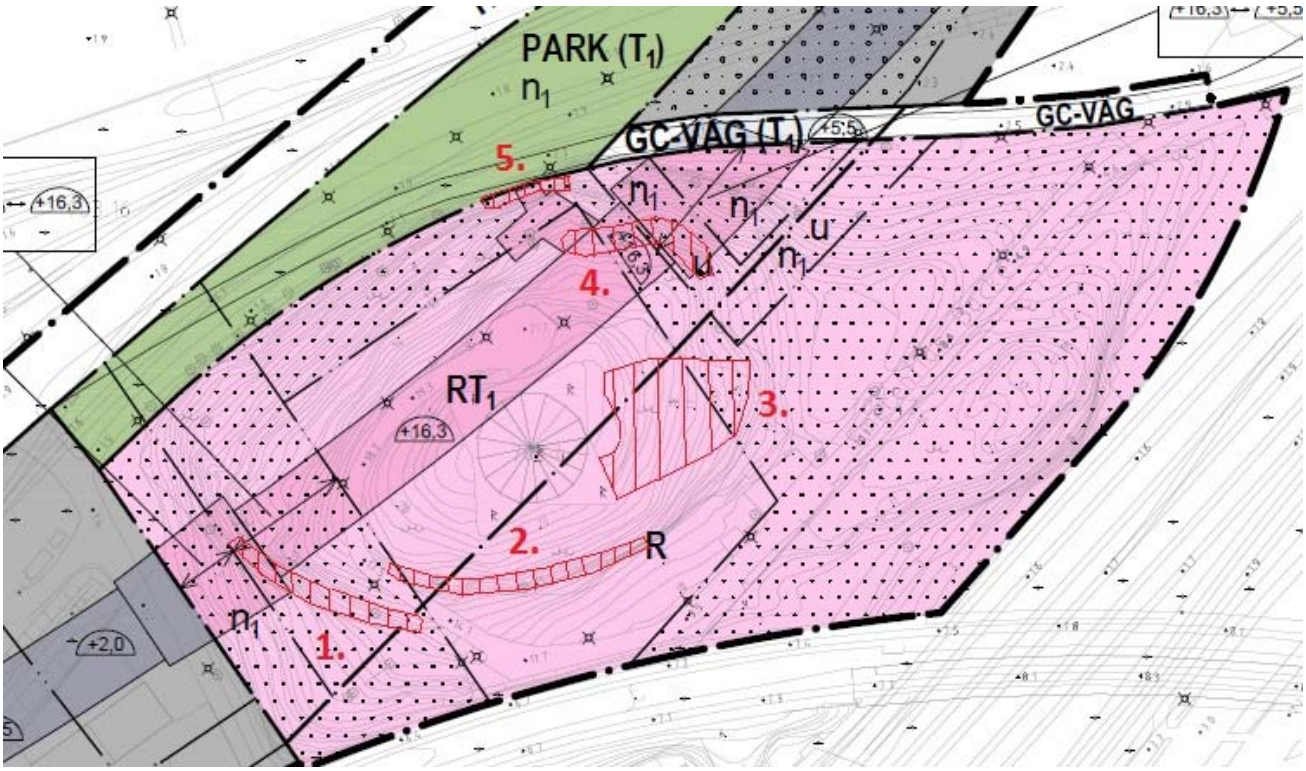
Det aktuella detaljplanområdet sträcker sig i sydvästlig – nordostlig riktning och innefattar Gullberget där Skansen Lejonet ligger. Gullberget består till stor del av berg i dagen.

Block/lös sten förekommer, som i vissa delar bör åtgärdas.

Områden som kan behöva gås över för rensning alternativt förstärkning av block och löst bergmaterial är markerade från 1 till 5 i Figur 2 och fotograferade i Figur 3 till 14.

Löst sittande block inom område 5 som ses i Figur 12, 13 och 14 riskerar att falla/glida ut inom en snar framtid. Dock sitter de på en låg höjd och kommer med största sannolikhet inte att nå cykelbanan som ligger strax nedanför, de kommer istället att falla ned i gräset mellan berg och cykelbana. Om man vill undvika eventuellt blockutfall bör dessa rensas ned före 2015-06-30.

Vid eventuell byggnation av Västlänken bör resterande markerade områden åtgärdas strax före eller i samband med byggnation i området. I det fall byggnation uteblir behöver område 1 samt 3 - 4 ej åtgärdas då lösa block ej utgör fara för människor eller bebyggelse. Område 2 bör i detta fall åtgärdas senast 2020-10-30, då det finns viss risk för löst material att nå ytor där människor och fordon vistas.



Figur 2, ritning över områden som eventuellt kan behöva förstärkas/rensas på löst bergmaterial (Koncept 2014-11-10).



Figur 3, område 1



Figur 4, område 1



Figur 5, område 2



Figur 6, område 2



Figur 7, område 2



Figur 8, område 2



Figur 9, område 3



Figur 10, område 4



Figur 11, område 4



Figur 12, område 5



Figur 13, område 5



Figur 14, område 5

2.2 Förutsättningar enligt ny detaljplan

Det bergtekniska utlåtandet är gjort utifrån dagsläget, men om rekommenderade åtgärder utförs är värderingen att bedömningen gäller under tiden för den planerade anläggningens livslängd, d.v.s. 120 år.

3 Kvarnberget

3.1 Befintliga förhållanden

En ny Servicetunnel planeras under Kvarnberget. Inom planområdets gränser förekommer berg i dagen. Berget är till viss del förstärkt med sprutbetong. I dagsläget förekommer ingen rasrisk inom området. I samband med att arbetet med servicetunneln påbörjas skall de delar av berget som ligger direkt norr och direkt söder om gångbron, Figur 15 och 16, rensas från växtlighet och eventuellt löst berg. Sprutbetongtäckta delar inom planområdet bör också ses över för att fastställa att det inte förekommer något löst material där.
I det fall att byggnation uteblir är det tillräckligt att vegetationsrensning utförs, dock senast 2020-10-30.



Figur 15, norr om gångbron



Figur 16, söder om gångbron

3.2 Förutsättningar enligt ny detaljplan

Det bergtekniska utlåtandet är gjort utifrån dagsläget, men om rekommenderade åtgärder utförs är värderingen att bedömningen gäller under tiden för den planerade anläggningens livslängd, d.v.s. 120 år.

4 Otterhällan

4.1 Befintliga förhållanden

Söder om Otterhällegatan, öster om Drottning Kristinas jaktslott planeras ett schakt. I nära anslutning till schaktet förekommer berg i dagen i form av en bergknalle. I dagsläget råder ingen rasrisk i området, Figur 17.

4.2 Förutsättningar enligt ny detaljplan

Det bergtekniska utlåtandet är gjort utifrån dagsläget, men värderingen är att bedömningen gäller under tiden för den planerade anläggningens livslängd, d.v.s. 120 år.



Figur 17, bergknalle söder om Otterhällegatan

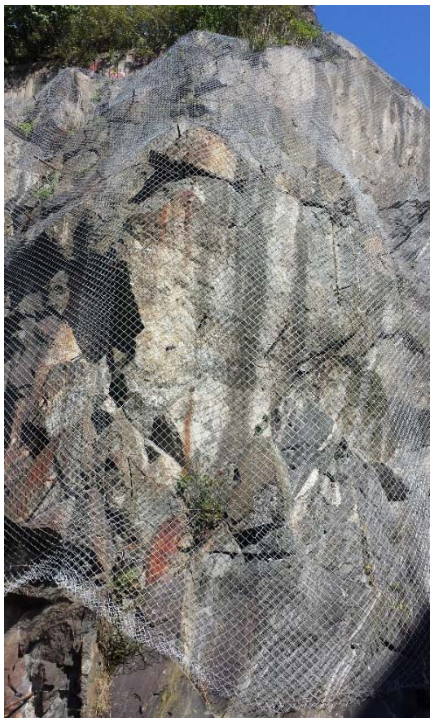
5 Rosenlund

5.1 Befintliga förhållanden

I berget norr om Rosenlundsgatan ska en servicetunnel ha sin mynning. Berget är till stor del förstärkt med bultar och nät, Figur 18. I samband med att arbetet med servicetunneln startar behöver berget skrotas och eventuellt förstärkas ytterligare. I dagsläget krävs dock inga åtgärder. I det fall att byggnation uteblir måste inga extra åtgärder utföras, annat än normal besiktning av nät och bultar.

5.2 Förutsättningar enligt ny detaljplan

Det bergtekniska utlåtandet är gjort utifrån dagsläget, men om rekommenderade åtgärder utförs är värderingen att bedömningen gäller under tiden för den planerade anläggningens livslängd, d.v.s. 120 år.

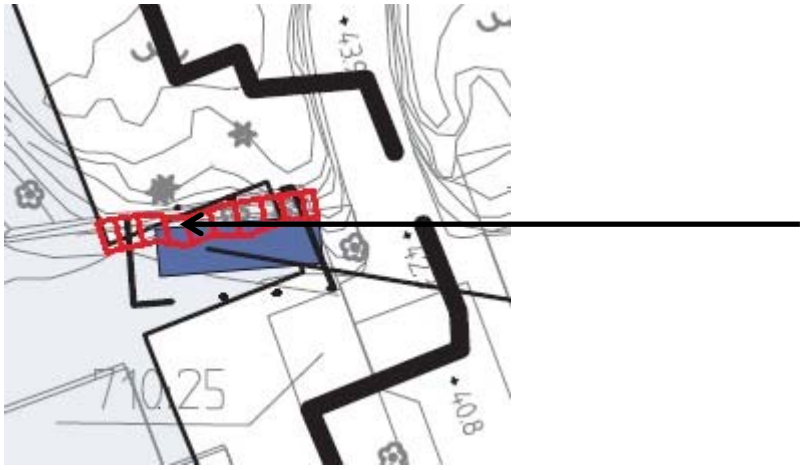


Figur 18, berget är förstärkt med bultar och nät.

6 Fogelbergsgatan

6.1 Befintliga förhållanden

Ett schakt är planerat vid Fogelbergsgatan 1, Figur 19. Där är idag en asfaltsyta där människor och fordon passerar dagligen. I norra kanten på asfaltsytan finns en bergskant. Den är cirka två meter hög och i den sitter två block, figur 20.
Block 1 är cirka 1 x 1 x 1,5 m stort. Lutningsvinkeln blocket vilar på är cirka 40°. Block 2 är cirka 1,5 x 1,5 x 2 m stort och delvis uppsprucket i mindre delar.
De två blocken skall rensas ner i samband med, eller strax före eventuell sprängning inför planerat schakt.
I det fall att byggnation uteblir bör blocken åtgärdas senast 2020-10-30.



Figur 19, översikt för aktuellt schakt och bergskant där åtgärder ska utföras (röd randig markering), (Koncept 2014-11-10).



Figur 20, översikt nedre slänten med block 1 och 2.

Fogelbergsgatan 1, övre delen

Ovanför den nedre slänten finns en gräsyta och ytterligare en bergskant som är cirka 2 meter hög, se figur 21. Ovanpå bergskanten finns stenblock upplagda som en mindre mur. Flera block har fallit/välts ned. Berget utgör i dagsläget ingen rasrisk men muren bör ses över och lösa block som riskerar att falla ut rensas bort. Detta bör utföras före eller i samband med eventuell sprängning inför planerat schakt påbörjas. I det fall att byggnation uteblir bedöms denna åtgärd inte vara nödvändig.



Figur 21, den övre slänten.

Inom planområdets gräns strax öster om planerat schakt förekommer berg längs Fogelbergsgatan i början av Fogelbergsparken, Figur 22. I dagsläget är berget stabilt, men i samband med att ovanstående mur ses över bör även en översyn av detta berg göras för att plocka bort eventuella lösa mindre block.



Figur 22, berg längs Fogelbergsgatan i Fogelbergsparken

6.2 Förutsättningar enligt ny detaljplan

Det bergtekniska utlåtandet är gjort utifrån dagsläget, men om rekommenderade åtgärder utförs är värderingen att bedömningen gäller under tiden för anläggningens livslängd, d.v.s. 120 år.

7 Väster om Södra Viktoriagatan

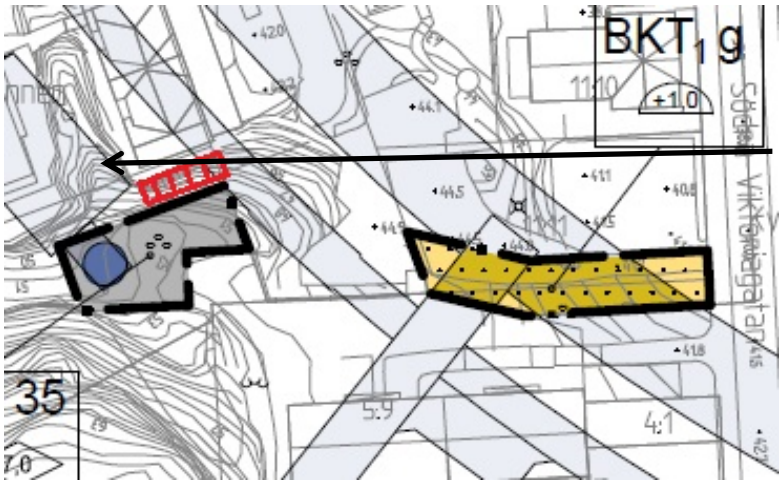
7.1 Befintliga förhållanden

Två nya detaljplanområden planeras i området mellan Södra Viktoriagatan och Föreningsgatan.

Det västra av de två områdena utgörs idag delvis av berg. Inom detaljplanområdets gränser råder ingen rasrisk. Alldeles norr om aktuellt planområde förekommer en bergslänt som sluttar brant mot norr, (röd randig markering, Figur 23). Nedanför (norr om) berget finns en smal gångväg som leder in till en skola/förskola, mot vilken berget sluttar.

Bergslänten är cirka 6-8 meter hög och där förekommer befintlig förstärkning i form av bultar. I det övre partiet av slänten förekommer berg som nedifrån eventuellt är oförstärkt, se figur 24. Slänten bör ses över av bergarbetare med skrotspett för att undersöka huruvida blocken är lösa eller ej. Denna syn bör utföras strax före eller i samband med att arbetet med schaktet påbörjas. I det fall att byggnation uteblir bör en syn ändå utföras, senast 2020-10-30.

Inom det östra planområdet förekommer inget synligt berg.



Figur 23, bergskant (röd randig markering), (Koncept 2014-11-10).



Figur 24, bergsparti som bör ses över.

7.2 Förutsättningar enligt ny detaljplan

Det bergtekniska utlåtandet är gjort utifrån dagsläget, men om rekommenderade åtgärder utförs är värderingen att bedömningen gäller under tiden för den planerade anläggningens livslängd, d.v.s. 120 år.

8 Muraregatan

8.1 Befintliga förhållanden

Servicetunnel Haga planerades tidigare att ha sin mynning i området som ligger öster om Muraregatan, figur 25. Idag utgörs marken av ett sluttande parkområde. En gångväg löper genom området. Väster om denna är sluttningen till stora delar jordtäckt medan det öster om gångvägen är en brantare slänt mestadels bestående av berg i dagen.

I dagsläget föreligger ingen risk för ras eller blocknedfall i området. Där påslagsläge är planerat förekommer lösa block som idag ligger stabilt utan någon som helst risk för ras. Vid eventuellt schakt/sprängningsarbete i området bör dock dessa rensas bort.

I det fall att byggnation uteblir bedöms någon åtgärd ej vara nödvändig då blocken ligger helt stabilt och omges av naturmark.



Figur 25, läge för tunnelmynning vid Muraregatan.

8.2 Förutsättningar enligt ny detaljplan

Det bergtekniska utlåtandet är gjort utifrån dagsläget, men om rekommenderade åtgärder utförs är värderingen att bedömningen gäller under tiden för den planerade anläggningens livslängd, d.v.s. 120 år.

9 Servicetunnel Haga

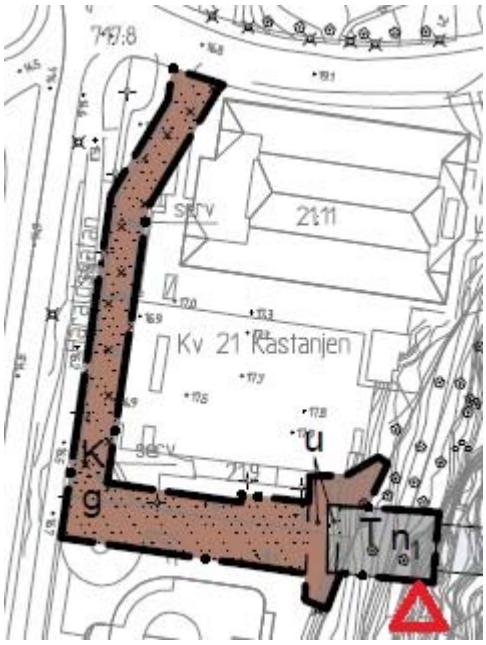
9.1 Befintliga förhållanden

För Servicetunnel Haga planeras tunnelmynningen till ett område sydväst om Göteborgs Universitet, Psykologen. Marken utgörs av en brant bergssida nedanför vilken det går en gångbana, en mindre jordslänt samt en parkeringsplats, Figur 26.

I bergbranten finns flera stora lösa block. Cirka 10 meter upp i branten, i kanten av eller precis söder om planområdet ligger fyra stycken lösa block varav det största är cirka 10 m^3. Blocken ligger där slänten lutar brant, se Figur 27.

I samband med röjning och avtäckning inför byggnation av påslaget för Servicetunnel Haga skall de lösa blocken tas ner. Tills dess skall dock det främre blocket säkras temporärt, eftersom det är risk att blocket rasar ner på gångvägen nedanför. Säkringen utförs lämpligast med två vajrar som fästs i fast berg på bägge sidor om blocket. Föreslagen åtgärd utförs av Fastighetskontoret innan planen antas.

Det förekommer fler lösa block i området. I dagsläget ligger dessa stabilt men i samband med röjning och avtäckning i området, skall de tas ned. I det fall att byggnation uteblir bör aktuellt område ses över och eventuellt rensas på lösa block, senast 2020-10-30.



Figur 26, Servicetunnel Hagas tunnelmynning med ungefärlig plats för aktuellt lösblock markerat med röd triangel (Koncept 2014-11-10).



Figur 27, det främre blocket som skall säkras temporärt.

9.2 Förutsättningar enligt ny detaljplan

Det bergtekniska utlåtandet är gjort utifrån dagsläget, men om rekommenderade åtgärder utförs är värderingen att bedömningen gäller under tiden för den planerade anläggningens livslängd, d.v.s. 120 år.

10 Näckrosdammen – Artisten

10.1 Befintliga förhållanden

Strax norr om Näckrosdammen finns ett avgränsat område som innebär ändring av detaljplan. Väster om Artist- och Musikhögskolan ”Artisten” förekommer en bergslänt som lutar mot nordost (Figur 28 – 29). I den föreligger i dagsläget ingen rasrisk.





Figur 28 och 29, Berg väster om Artisten.

10.2 Förutsättningar enligt ny detaljplan

Det bergtekniska utlåtandet är gjort utifrån dagsläget, men värderingen är att bedömningen gäller under tiden för anläggningens livslängd, d.v.s. 120 år.

11 Servicetunnel Korsvägen

11.1 Befintliga förhållanden

En arbetstunnel är planerad att ha sin mynning i området som ligger väster om Södra Vägen.

Det aktuella området utgörs idag av en jordtäckt slänt upp mot Carlanderska sjukhuset i väster, Figur 30. Någon risk för bergras och/eller blocknedfall föreligger inte här.



Figur 30, områdesöversikt

11.2 Förutsättningar enligt ny detaljplan

Det bergtekniska utlåtandet är gjort utifrån dagsläget, men värderingen är att bedömningen gäller under tiden för anläggningens livslängd, d.v.s. 120 år.

12 Servicetunnel Liseberget Liseberget

12.1 Befintliga förhållanden

Vid Södra Vägen, söder om Världskulturmuséet, ska en servicetunnel ha sin mynning. Berget består av en brant bergssida som övergår i en delvis jordtäckt sluttning, Figur 31 och Figur 32. I dagsläget råder ingen rasrisk här.

12.2 Förutsättningar enligt ny detaljplan

Det bergtekniska utlåtandet är gjort utifrån dagsläget, men värderingen är att bedömningen gäller under tiden för anläggningens livslängd, d.v.s. 120 år.



Figur 31, brant bergssida



Figur 32, delvis jordtäckt sluttning

13 Servicetunnel väster om Sankt Sigfridsgatan

13.1 Befintliga förhållanden

En servicetunnel är planerad att ha sin tunnelmynning i området som ligger väster om Sankt Sigfridsgatan 85. Det aktuella området utgörs idag av en jordtäckt slänt, figur 33. På enstaka ställen sticker lite berghäll fram under jordtäcket, men någon risk för bergras och/eller blocknedfall föreligger inte här.

13.2 Förutsättningar enligt ny detaljplan

Det bergtekniska utlåtandet är gjort utifrån dagsläget, men värderingen är att bedömningen gäller under tiden för anläggningens livslängd, d.v.s. 120 år.



Figur 33, områdesöversikt.

Maria Göthfors
Göteborg 2015-06-01

Bergab – Berggeologiska Undersökningar AB

Ritningar

KOORDINATSYSTEM PLAN: SWEREF 99 1200
KOORDINATSYSTEM I HÖJD: RH 2000

0 10 20 30 40 50 60 70 80 90 100
SKALA 1:1000

RITNINGSBETECKNINGAR

BETECKNINGAR ENLIGT SGF/BGS BETECKNINGSSYSTEM

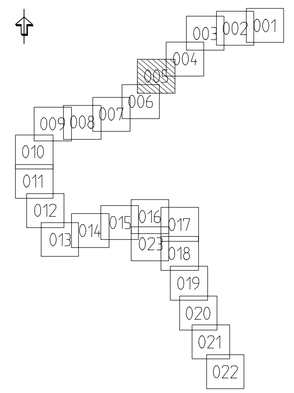
FÖRKLARINGAR

UNDERSÖKNINGAR MED BETECKNING: OCXXXX, CCXXXX, CHXXXX, HHXXXX, KAXXXX OCH KKXXXX ÄR UTFÖRDA 2012-2013 AV AKF05.

ÖVRIGA UNDERSÖKNINGAR ÄR HÄMTADE UR ARKIV, SE PM F 05 - 001, TIDIGARE UTFÖRDA GEOTEKNISKA UNDERSÖKNINGAR.

ANM.

LINJESTRÄCKNING VERSION 7.00



KONNEKTION RITNING AKF05-08-110-00_004

KONNEKTION RITNING AKF05-08-110-00_006

Gullbergsmotet

Parlamentsgatan

Martin Anderssons Gata

Ullevigatan

Ullis Olskrokagatan

Kv 34 Bisonoxen

Kv 29 Kalven

Gullbergsvass 703:15

REV	ÄNDRINGEN AV	DATUM	KONSTRUERAD AV	GRANSKAD AV
A	ALLMÄN	2014-06-19		PEDG
		KONSTR./RITAD AV SWECO/AA	GRANSKAD O SKEPP	UPPDRAGSNUMMER 2305478
		GODKÄND K SANELL	DATUM 2013-09-30	KONSULTUPPDRAG AKF05

TRAFIKVERKET

VÄSTLÄNKEN
KM 455+500 - 456+000
GEOTEKNISK UNDERSÖKNING
PLAN

PRODUKT FÖRUTSÄTTNINGAR
TEKNIKOMRÅDE GEOTEKNIK
KM
SKALA 1:1000
RITNINGSNR PROJEKT AKF05-08-110-00_005
BANDEL

KONSTRUERAD AV	GRANSKAD AV	FASTSTÄLLD AV	DATUM	FORMAT	RITNINGSNR FÖRVALTNING	BLAD	NÄSTA BL	REV
SWECO	A HANSSON			A1		05	06	A

ida_ifernname plottime ida_username

XREF: MODELLVÄG_00_P_AKF05_BLANKETTLING 2019-09-17 14:07
MODELLVÄG_00_P_AKF05_KONSTRUKTIONSYTA 2019-10-29 12:21
MODELLVÄG_00_P_AKF05_KORSNINGSPUNKTSYSS 2019-05-29 15:41
MODELLVÄG_00_P_AKF05_LINJEKOMPENSATION 2019-05-31 15:18
MODELLVÄG_00_P_AKF05_LIN 2014-06-04 14:33
MODELLVÄG_00_P_AKF05_P_ARKIV 2019-10-23 15:55
GRUNDKARTOR\GSD_TI_V_TRV_GRUNDKARTA 2019-10-23 15:55
GRUNDKARTOR\GSD_TI_V_TRV_HÖJDKURVOR 2014-06-11 09:45
SPÅRGEOMETRI\V2_455-06_P_0022

Denna ritning är Trafikverkets egendom. Allt obehörigt begagnande av ritningen beivras enligt lag
TRAFIKVERKET

View: P1.01, Drawing: P:\2221\2305478_AKF5 Västlänken\000_AKF5 Västlänken\VSARBETSMATRL_RITN\Ritdef\AKF05-08-110-00_005, Drawn by: SEAAND, 2014-06-11 10:59

KONNEKTION RITNING AKF05-08-110-00_005

KONNEKTION RITNING AKF05-08-110-00_007

KOORDINATSYSTEM PLAN: SWEREF 99 1200
KOORDINATSYSTEM I HÖJD: RH 2000

0 10 20 30 40 50 60 70 80 90 100
SKALA 1:1000

RITNINGSBETECKNINGAR

BETECKNINGAR ENLIGT SGF/BGS BETECKNINGSSYSTEM

FÖRKLARINGAR

UNDERSÖKNINGAR MED BETECKNING: OCXXXX, CCXXXX, CHXXXX, HHXXXX, KAXXXX OCH KKXXXX ÄR UTFÖRDA 2012-2013 AV AKF05.

ÖVRIGA UNDERSÖKNINGAR ÄR HÄMTADE UR ARKIV, SE PM F 05 - 001, TIDIGARE UTFÖRDA GEOTEKNISKA UNDERSÖKNINGAR.

ANM.

LINJESTRÄCKNING VERSION 7.00

REV	ÄNDRINGEN AV	DATUM	KONSTRUERAD AV	GRANSKAD AV
A	ALLMÄN	2014-06-19		PEOG

KONSTR./RITAD AV	GRANSKAD	UPPDRAGSNUMMER
SWECO/AA	O SKEPP	2305478
GODKÄND	DATUM	KONSTRUPPDRAG
K SANELL	2013-09-30	AKF05

TRAFIKVERKET

VÄSTLÄNKEN
KM 456+000 - 456+500
GEOTEKNISK UNDERSÖKNING
PLAN

PROJEKT	
FÖRUTSÄTTNINGAR	
TEKNOMRÅDE	
GEOTEKNIK	
HP	SKALA 1:1000
RITNINGSNR PROJEKT	BANDEL
AKF05-08-110-00_006	

KONSTRUERAD AV	GRANSKAD AV	FASTSTÄLLD AV	DATUM	FORMAT	RITNINGSNR FÖRVALTNING	BLAD	NÄSTA BL	REV
SWECO	A HANSSON			A1		06	07	A

ida_filename | plottime | ida_username

REV	ÄNDRINGEN AV	DATUM
14:07	MODELLVÄRD_00_P_AKF05_BLANKETTNING	2013-09-17
15:45	MODELLVÄRD_00_P_AKF05_KODERINGSTACKFISS	2013-10-29
15:21	MODELLVÄRD_00_P_AKF05_KODERINGSTACKFISS	2013-10-29
15:41	MODELLVÄRD_00_P_AKF05_HELHETSMODELLERING	2013-11-11
15:48	MODELLVÄRD_00_P_AKF05_GW	2013-09-30
14:33	MODELLVÄRD_00_P_AKF05_ARKIV	2014-06-04
15:54	GRÄNSKARTOR/GSD_02_V_TRV_GRÄNSKARTA	2013-10-23
09:46	GRÄNSKARTOR/GSD_02_V_TRV_GRÄNSKARTA	2013-09-11

XREF

Denna ritning är Trafikverkets egendom. All obehörig begagnande av ritningen bevakas enligt lag.
TRAFIKVERKET

View: PLOT1, Drawing: P:\2321\2305478_AKF5 Västlänken\000_AKF5 Västlänken\5ARBETSMATRL_RITN\Ritdef\AKF05-08-110-00_006, Drawn by: SEAAND, 2014-06-11 11:08

KOORDINATSYSTEM PLAN: SWEREF 99 1200
KOORDINATSYSTEM I HÖJD: RH 2000

0 10 20 30 40 50 60 70 80 90 100
SKALA 1:1000

RITNINGSBETECKNINGAR

BETECKNINGAR ENLIGT SGF/BGS BETECKNINGSSYSTEM

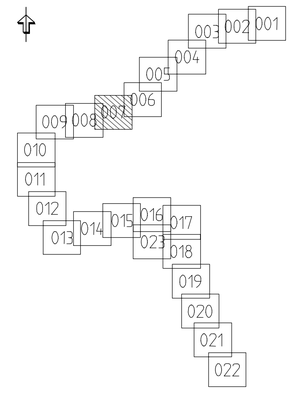
FÖRKLARINGAR

UNDERSÖKNINGAR MED BETECKNING: OCXXXX, CCXXXX, CHXXXX, HHXXXX, KAXXXX OCH KKXXXX ÄR UTFÖRDA 2012-2013 AV AKF05.

ÖVRIGA UNDERSÖKNINGAR ÄR HÄMTADE UR ARKIV, SE PM F 05 - 001, TIDIGARE UTFÖRDA GEOTEKNISKA UNDERSÖKNINGAR.

ANM.

LINJESTRÄCKNING VERSION 7.00



REV	ÄNDRINGEN AV	DATUM	KONSTRUERAD AV	GRANSKAD AV
A	ALLMÄN	2014-06-19		PEDG

KONSTR./RITAD AV	GRANSKAD	UPPDRAGSNUMMER
SWECO/AA	O SKEPP	2305478
GODKÄND	DATUM	KONSTRUKTIONSRITNING
K SANELL	2013-09-30	AKF05

TRAFIKVERKET

VÄSTLÄNKEN
KM 456+500 - 457+000
GEOTEKNISK UNDERSÖKNING
PLAN

PRODUKT: FÖRUTSÄTTNINGAR
TEKNOMRÅDE: GEOTEKNIK
KM
SKALA: 1:1000
RITNINGSNR PROJEKT: AKF05-08-110-00_007
BANDEL

KONSTRUERAD AV	GRANSKAD AV	FASTSTÄLLD AV	DATUM	FORMAT	RITNINGSNR FÖRVALTNING	BLAD	NÄSTA BL	REV
SWECO	A HANSSON			A1		07	08	A

ida_itemname | plottime | ida_username

Denna ritning är Trafikverkets egendom. All obehörig/ obegärande av ritningen beivras enligt lag
TRAFIKVERKET

XREF: MODELL\AKF05_00_P_AKF05_BLADNEDTEKNING 14:07
MODELL\AKF05_00_P_AKF05_KONSTRUKTIONSRITNING 12:21
MODELL\AKF05_00_P_AKF05_KORSNINGSPUNKTSYSS 12:41
MODELL\AKF05_00_P_AKF05_PLANKOMPONERING 13:18
MODELL\AKF05_00_P_AKF05_SJH 2015-05-29
MODELL\AKF05_00_P_AKF05_ARKIV 2014-06-04 14:33
GRUNDKARTA\GSD_2_Y_TRY_GRUNDKARTA 2015-05-29 15:55
SPÅRGEOMETRI\T2_459-06a_P_0022 2015-05-29 15:55
SPÅRGEOMETRI\T2_459-06a_P_0022 2014-06-11 09:45

View: P1.01, Drawing: P:\2221\2305478_AKF5 Västlänken\000_AKF5 Västlänken\5ARBETSMATRL_RITN\Ritder\AKF05-08-110-00_007, Drawn by: SEAAND, 2014-06-11 11:15

KOORDINATSYSTEM PLAN: SWEREF 99 1200
KOORDINATSYSTEM I HÖJD: RH 2000

0 10 20 30 40 50 60 70 80 90 100
SKALA 1:1000

RITNINGSBETECKNINGAR

BETECKNINGAR ENLIGT SGF/BGS BETECKNINGSSYSTEM

FÖRKLARINGAR

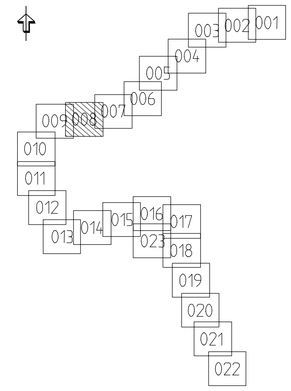
UNDERSÖKNINGAR MED BETECKNING: OCXXXX, CCXXXX, CHXXXX, HHXXXX, KAXXXX OCH KKXXXX ÄR UTFÖRDA 2012-2013 AV AKF05.

ÖVRIGA UNDERSÖKNINGAR ÄR HÄMTADE UR ARKIV, SE PM F 05 - 001, TIDIGARE UTFÖRDA GEOTEKNISKA UNDERSÖKNINGAR.

ANM.

LINJESTRÄCKNING VERSION 7.00

KONNEKTION RITNING AKF05-08-110-00_007



REV	ÄNDRINGEN AV	DATUM	KONSTRUERAD AV	GRANSKAD AV
A	ALLMÄN	2014-06-19		PEDG

KONSTR.RITAD AV	DATUM	GRANSKAD	UPPDRAGSNUMMER
SWECO/AA	0 SKEPP		2305478
GODKÄND	DATUM	KONSULTUPPDRAG	
K SANELL	2013-09-30	AKF05	

TRAFIKVERKET

VÄSTLÄNKEN
KM 457+000 - 457+500
GEOTEKNISK UNDERSÖKNING
PLAN

PRODUKT: FÖRUTSÄTTNINGAR
TEKNIKOMRÅDE: GEOTEKNIK
KM | SKALA 1:1000
RITNINGSNR PROJEKT: AKF05-08-110-00_008 | BANDEL

KONSTRUERAD AV	GRANSKAD AV	FASTSTÄLLD AV	DATUM	FORMAT	RITNINGSNR FÖRVALTNING	BLAD	NÄSTA BL	REV
SWECO	A HANSSON			A1		08	09	A

ida_ifilename | plottime | ida_username

View: P.\01\Drawing: P:\2321\2305478_AKF5 Västlänken\000_AKF5 Västlänken\5ARBETSMATRL_RITN\Ritter\AKF05-08-110-00_008, Drawn by: SEAAND, 2014-06-11 11:37

XREF: M05E11_MF05_00_P_AKF05_BLANKNING, M05E11_MF05_00_P_AKF05_KONSTRUKTIONSYSS, M05E11_MF05_00_P_AKF05_KONSTRUKTIONSYSS, M05E11_VGE1_00_P_AKF05_GW_FÖRKLARNING, M05E11_VGE1_00_P_AKF05_, M05E11_VGE1_00_P_AKF05_ARKIV, GRUNDKARTOR\VGSD1_01_V_TRV_GRUNDKARTA, GRUNDKARTOR\VGSD1_02_V_TRV_GRUNDKARTA, GRUNDKARTOR\VGSD2_02_V_TRV_GRUNDKARTA

2019-09-11	ILG7	
2019-10-23	PEDG	
2019-10-29	ILG7	
2019-11-01	PEDG	
2019-11-19	B'&'B	
2014-06-11	113k	
2013-10-23	5552	
2013-10-23	5552	
2013-10-23	5554	

SPRÅKGEOMETRI_72_457+000_P_0022 2014-06-11 09:45

Denna ritning är Trafikverkets egendom. All obehörigt begagnande av ritningen bevakas enligt lag
TRAFIKVERKET

KOORDINATSYSTEM PLAN: SWEREF 99 1200
KOORDINATSYSTEM I HÖJD: RH 2000

0 10 20 30 40 50 60 70 80 90 100
SKALA 1:1000

RITNINGSBETECKNINGAR

BETECKNINGAR ENLIGT SGF/BGS BETECKNINGSSYSTEM

FÖRKLARINGAR

UNDERSÖKNINGAR MED BETECKNING: OCXXXX, CCXXXX, CHXXXX, HHXXXX, KAXXXX OCH KKXXXX ÄR UTFÖRDA 2012-2013 AV AKF05.

ÖVRIGA UNDERSÖKNINGAR ÄR HÄMTADE UR ARKIV, SE PM F 05 - 001, TIDIGARE UTFÖRDA GEOTEKNISKA UNDERSÖKNINGAR.

ANM.

LINJESTRÄCKNING VERSION 7.00

KONNEKTION RITNING AKF05-08-110-00_008

KONNEKTION RITNING AKF05-08-110-00_010

003 002 001
004
005
006
007 008 009
010
011
012
013 014 015 016 017
023
018
019
020
021
022

Denna ritning är Trafikverkets egendom. Allt obehörigt begagnande av ritningen bevakas enligt lag
TRAFIKVERKET

XREF: M0E01_M05_00_P_AK05_BLANDNING, M0E01_M05_00_P_AK05_GEOTEKNISK, M0E01_M05_00_P_AK05_KOORDINATSYSS, M0E01_M05_00_P_AK05_TEXTREFERAT, M0E01_M05_00_P_AK05_GW_TEXTREFERAT, M0E01_M05_00_P_AK05_ARKIV, GRUNDKARTAN/OSQLD_V_TRV_TRAFIKANTATA, GRUNDKARTAN/OSQLD_V_TRV_TRAFIKANTATA, SPÅRGEOMETRI/V2_433-006_P_0022

REV	ÄNDRINGEN AV	DATUM
2019-09-17	LUDT	
2019-09-20	RAZT	
2019-09-20	RAZT	
2019-09-30	R-B	
2014-06-11	113k	
2013-09-25	LEAS	
2013-09-30	LEAS	
2014-06-11	0945	

REV	ÄNDRINGEN AV	DATUM	KONSTRUERAD AV	GRANSKAD AV
A	ALLMÄN	2014-06-19		PEDG
		KONSTR-RITAD AV: SWECO/AA	GRANSKAD: 0 SKEPP	UPPDRAGSNUMMER: 2305478
		GODKÄND: K SANELL	DATUM: 2013-09-30	KONSULTUPPDRAG: AKF05

TRAFIKVERKET

VÄSTLÄNKEN
KM 457+500 - 458+000
GEOTEKNISK UNDERSÖKNING
PLAN

PRODUKT: FÖRUTSÄTTNINGAR
TEKNIKOMRÅDE: GEOTEKNIK
KM | SKALA: 1:1000
RITNINGSNR PROJEKT: AKF05-08-110-00_009 | BANDEL

KONSTRUERAD AV	GRANSKAD AV	FASTSTÄLLD AV	DATUM	FORMAT	RITNINGSNR FÖRVALTNING	BLAD	NÄSTA BL	REV
SWECO	A HANSSON			A1		09	10	A

ida_ilenname | plottime | ida_usernname

View: P\01\ Drawing: P:\2327\2305478_AKF5 Västlänken\000_AKF5 Västlänken\SPÅRBETSMATRL_RITN\Rider\AKF05-08-110-00_009. Drawn by: SEAAND, 2014-06-11 12:33

KOORDINATSYSTEM PLAN: SWEREF 99 1200
KOORDINATSYSTEM I HÖJD: RH 2000

0 10 20 30 40 50 60 70 80 90 100
SKALA 1:1000

RITNINGSBETECKNINGAR

BETECKNINGAR ENLIGT SGF/BGS BETECKNINGSSYSTEM

FÖRKLARINGAR

UNDERSÖKNINGAR MED BETECKNING: OCXXXX, CCXXXX, CHXXXX, HHXXXX, KAXXXX OCH KKXXXX ÄR UTFÖRDA 2012-2013 AV AKF05.

ÖVRIGA UNDERSÖKNINGAR ÄR HÄMTADE UR ARKIV, SE PM F 05 - 001, TIDIGARE UTFÖRDA GEOTEKNISKA UNDERSÖKNINGAR.

ANM.

LINJESTRÄCKNING VERSION 7.00

KONNEKTION RITNING AKF05-08-110-00_009

KONNEKTION RITNING AKF05-08-110-00_011

003 002 001 004 005 006 009 008 007 010 011 012 013 014 015 016 017 023 018 019 020 021 022

REV	ÄNDRINGEN AV	DATUM	KONSTRUERAD AV	GRANSKAD AV
A	ALLMÄN	2014-06-19		PEDG

KONSTR/RITAD AV	GRANSKAD	UPPDRAGSNUMMER
SWECO/AA	O SKEPP	2305478
GODKÄND	DATUM	KONSTRUKTIONSRITNING
K SANELL	2013-09-30	AKF05

TRAFIKVERKET

VÄSTLÄNKEN
KM 458+000 - 458+500
GEOTEKNISK UNDERSÖKNING
PLAN

PROJEKT: FÖRUTSÄTTNINGAR
TEKNIKOMRÅDE: GEOTEKNIK
KM | SKALA 1:1000
RITNINGSNR PROJEKT: AKF05-08-110-00_010 | BANDEL
RITNINGSNR FÖRVALTNING | BLAD 10 | NÄSTA BL 11 | REV A

KONSTRUERAD AV	GRANSKAD AV	FASTSTÄLLD AV	DATUM	FORMAT
SWECO	A HANSSON			A1

ida_filename plottime ida_username

View: PLOT1, Drawing: P:\2321\2305478\AKF5 Västlänken\000_AKF5 Västlänken\5ARBETSMATRL_RITN\Ritdef\AKF05-08-110-00_010, Drawn by: SEAAND, 2014-06-11 12:37

Denna ritning är Trafikverkets egendom. Allt obehörigt begagnande av ritningen bevakas enligt lag. TRAFIKVERKET

XREF MODELLVÄG_00_AKF05_BLANDNING
MODELLVÄG_00_AKF05_BYGGNADSVERK
MODELLVÄG_00_AKF05_KODERINGSTEXTS
MODELLVÄG_00_AKF05_PLANFÖRKLARING
MODELLVÄG_00_AKF05_SW
MODELLVÄG_00_AKF05_TEXT
MODELLVÄG_00_AKF05_ÄRVY
GRUNDKARTA WGC_SKYDD_04_VY_TRV_3mmHÄRKARTA
GRUNDKARTA WGC_SKYDD_04_VY_TRV_3mmSKUGGA

2013-09-17	14:07
2013-10-29	15:21
2013-10-29	15:41
2013-06-27	15:18
	07:25
	09:45
2014-06-11	11:36
2013-10-29	09:25
2014-06-11	09:45

KONNEKTION RITNING AKF05-08-110-00_010

KONNEKTION RITNING AKF05-08-110-00_012

KOORDINATSYSTEM PLAN: SWEREF 99 1200
KOORDINATSYSTEM I HÖJD: RH 2000

0 10 20 30 40 50 60 70 80 90 100
SKALA 1:1000

RITNINGSBETECKNINGAR

BETECKNINGAR ENLIGT SGF/BGS BETECKNINGSSYSTEM

FÖRKLARINGAR

UNDERSÖKNINGAR MED BETECKNING: OCXXXX, CCXXXX, CHXXXX, HHXXXX, KAXXXX OCH KKXXXX ÄR UTFÖRDA 2012-2013 AV AKF05.

ÖVRIGA UNDERSÖKNINGAR ÄR HÄMTADE UR ARKIV, SE PM F 05 - 001, TIDIGARE UTFÖRDA GEOTEKNISKA UNDERSÖKNINGAR.

ANM.

LINJESTRÄCKNING VERSION 7.00

REV	ÄNDRINGEN AV	DATUM	KONSTRUERAD AV	GRANSKAD AV
A	ALLMÄN	2014-06-19		PEDG

KONSTR./RITAD AV	GRANSKAD	UPPDRAGSNUMMER
SWECO/AA	O SKEPP	2305478
GODKÄND	DATUM	KONSTRUKTIONSGRUPP
K SANELL	2013-09-30	AKF05

TRAFIKVERKET

VÄSTLÄNKEN
KM 458+500 - 459+000
GEOTEKNISK UNDERSÖKNING
PLAN

PRODUKT: FÖRUTSÄTTNINGAR
TEKNIKOMRÅDE: GEOTEKNIK
SKALA: 1:1000
RITNINGSNR PROJEKT: AKF05-08-110-00_011
RITNINGSNR FÖRVALTNING:
BANDEL:

KONSTRUERAD AV	GRANSKAD AV	FASTSTÄLLD AV	DATUM	FORMAT	BLAD	NÄSTA BL	REV
SWECO	A HANSSON			A1	11	12	A

ida_filenname | plottime | ida_username

REV	DATUM	ÄNDRINGEN AV
A	2014-06-11	ALLMÄN
0945	2014-06-11	SPÅRGEOMETRI TZ-453-006_P-0022
0944	2014-06-11	GRÄNSKATSTRÖSSEL 04_V_TRV_PM+RAPPORT A
0943	2014-06-11	MODELL GE01_00_P_AKF05_ARKIV
0942	2013-10-29	MODELL GE01_00_P_AKF05_GEOSEKTIONSYTOR
0941	2013-10-29	MODELL GE01_00_P_AKF05_GEOMODELLERING
0940	2013-09-30	MODELL GE01_00_P_AKF05_GW
0939	2013-09-30	MODELL GE01_00_P_AKF05_BERG
0938	2013-09-17	MODELL WEG_00_P_AKF05_BLADNING
0937	2013-09-17	MODELL WEG_00_P_AKF05_GEOMODELL

XREF

Denna ritning är Trafikverkets egendom. Allt obehörigt bearbetande av ritningen beivras enligt lag.
TRAFIKVERKET

View: PLOT1; Drawing: P:\232\c2305478..AKF5 Västlänken\5ARBETSMATRL_RITN\Rit\det\AKF05-08-110-00_011; Drawn by: SEAAND, 2014-06-11 12:47

KONNEKTION RITNING AKF05-08-110-00_011

KONNEKTION RITNING AKF05-08-110-00_013

KOORDINATSYSTEM PLAN: SWEREF 99 1200
KOORDINATSYSTEM I HÖJD: RH 2000

0 10 20 30 40 50 60 70 80 90 100
SKALA 1:1000

RITNINGSBETECKNINGAR

BETECKNINGAR ENLIGT SGF/BGS BETECKNINGSSYSTEM

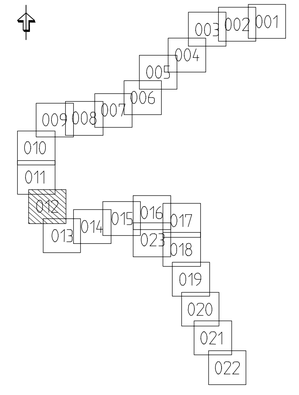
FÖRKLARINGAR

UNDERSÖKNINGAR MED BETECKNING: OCXXXX, CCXXXX, CHXXXX, HHXXXX, KAXXXX OCH KKXXXX ÄR UTFÖRDA 2012-2013 AV AKF05.

ÖVRIGA UNDERSÖKNINGAR ÄR HÄMTADE UR ARKIV, SE PM F 05 - 001, TIDIGARE UTFÖRDA GEOTEKNISKA UNDERSÖKNINGAR.

ANM.

LINJESTRÄCKNING VERSION 7.00



REV	ÄNDRINGEN AV	DATUM	KONSTRUERAD AV	GRANSKAD AV
A	ALLMÄN	2014-06-19		PEDG

KONSTR./RITAD AV	GRANSKAD	UPPDRAGSNUMMER
SWECO/AA	O SKEPP	2305478
GODKÄND	DATUM	KONSULTUPPDRAG
K SANELL	2013-09-30	AKF05

TRAFIKVERKET

VÄSTLÄNKEN
KM 459+000 - 459+500
GEOTEKNISK UNDERSÖKNING
PLAN

PROJEKT	
FÖRUTSÄTTNINGAR	
TEKNIKOMRÅDE	
GEOTEKNIK	
KM	SKALA 1:1000

RITNINGSNR PROJEKT		BANDEL
AKF05-08-110-00_012		
RITNINGSNR FÖRVALTNING	BLAD 12	NÄSTA BL 13

KONSTRUERAD AV	GRANSKAD AV	FASTSTÄLLD AV	DATUM	FORMAT	REV
SWECO	A HANSSON			A1	A

ida_filenname | plottime | ida_usernname

View: PL011, Drawing: P:\2321\2305478_AKF5 Västlänken\000_AKF5 Västlänken\5ARBETSMATRL_RITN\Rider\AKF05-08-110-00_012, Drawn by: SEAAND, 2014-06-11 12:52

Denna ritning är Trafikverkets egendom. Allt obehörigt begagnande av ritningen beivras enligt lag.
TRAFIKVERKET

REV	ÄNDRINGEN AV	DATUM
A	ALLMÄN	2014-06-19
B	MODELLNR0.00_P_AKF05_BLANDNING	2019-09-17
C	MODELLNR0.00_P_AKF05_KORSNINGSPUNKTER	2019-10-29
D	MODELLNR0.00_P_AKF05_KONSTRUKTIONSLAGER	2019-10-31
E	MODELLNR0.00_P_AKF05_GW	2019-11-07
F	MODELLNR0.00_P_AKF05_ARKIV	2019-11-11
G	GRUNDKARTA_GSD_TL_TRV_PRIMÄRKARTA	2019-12-23
H	GRUNDKARTA_GSD_TL_TRV_SEKUNDÄRKARTA	2019-12-23
I	SPÅRGEOMETRI_Y2_455-506_P_0022	2020-06-11

XREF

KONNEKTION RITNING AKF05-08-110-00_012

KOORDINATSYSTEM PLAN: SWEREF 99 1200
KOORDINATSYSTEM I HÖJD: RH 2000

0 10 20 30 40 50 60 70 80 90 100
SKALA 1:1000

RITNINGSBETECKNINGAR

BETECKNINGAR ENLIGT SGF/BGS BETECKNINGSSYSTEM

FÖRKLARINGAR

UNDERSÖKNINGAR MED BETECKNING: OCXXXX, CCXXXX, CHXXXX, HHXXXX, KAXXXX OCH KKXXXX ÄR UTFÖRDA 2012-2013 AV AKF05.

ÖVRIGA UNDERSÖKNINGAR ÄR HÄMTADE UR ARKIV, SE PM F 05 - 001, TIDIGARE UTFÖRDA GEOTEKNISKA UNDERSÖKNINGAR.

ANM.

LINJESTRÄCKNING VERSION 7.00

003 002 001
004
005
006
007
008 009
010
011
012
013 014 015 016 017
023
018
019
020
021
022

REV	ÄNDRINGEN AV	DATUM	KONSTRUERAD AV	GRANSKAD AV
A	ALLMÄN	2014-06-19		PEDG

GRANSKAD	O SKEPP	UPPDRAGSNUMMER 2305478
GODKÄND	K SANELL	KONSULTUPPDRAG AKF05
DATUM	2013-09-30	

TRAFIKVERKET

VÄSTLÄNKEN
KM 459+500 - 460+000
GEOTEKNISK UNDERSÖKNING
PLAN

PROJEKT: FÖRUTSÄTTNINGAR
TEKNIKOMRÅDE: GEOTEKNIK
KS: SKALA 1:1000
RITNINGSNR PROJEKT: AKF05-08-110-00_013
RITNINGSNR FÖRVALTNING: BLAD 13 NÄSTA BL 14 REV A
BANDEL

KONSTRUERAD AV	GRANSKAD AV	FASTSTÄLLD AV	DATUM	FORMAT
SWECO	A HANSSON			A1

ida_filenname plotttime ida_username

XREF
MODELL\MOD_00_AKF05_BLANKNING
MODELL\MOD_00_AKF05_KONSTRUKTION
MODELL\MOD_00_AKF05_KODERNA/SKYDDSRUM
MODELL\MOD_01_AKF05_GW
MODELL\MOD_02_AKF05_GW
MODELL\MOD_03_AKF05_ARKIV
GRUNDKARTOR\K2G_05_V_TRV_PRIMÄRKARTA
GRUNDKARTOR\K2G_05_V_TRV_SEKUNDÄRKARTA
SPÅRGEOMETRI\TZ_457-006_P_0222

2012-09-17	14:07
2013-10-23	15:21
2013-10-29	15:45
2013-10-30	15:48
2014-06-11	17:34
2013-10-23	15:50
2013-10-23	15:50
2014-06-11	09:45

Denna ritning är Trafikverkets egendom. All obehörig begagnande av ritningen bevaras enligt lag.
TRAFIKVERKET

View: PLOT1, Drawing: P:\2321\2305478_AKF5 Västlänken\000_AKF5 Västlänken\15ARBETSMATRL_RITN\Ritdef\AKF05-08-110-00-013, Drawn by: SEAAND, 2014-06-11 13:03

KOORDINATSYSTEM PLAN: SWEREF 99 1200
KOORDINATSYSTEM I HÖJD: RH 2000

0 10 20 30 40 50 60 70 80 90 100
SKALA 1:1000

RITNINGSBETECKNINGAR

BETECKNINGAR ENLIGT SGF/BGS BETECKNINGSSYSTEM

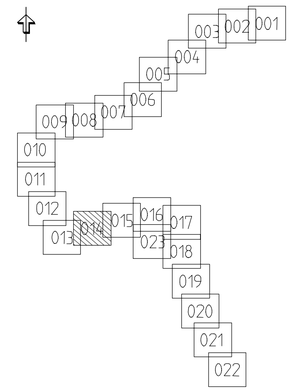
FÖRKLARINGAR

UNDERSÖKNINGAR MED BETECKNING: OCXXXX, CCXXXX, CHXXXX, HHXXXX, KAXXXX OCH KKXXXX ÄR UTFÖRDA 2012-2013 AV AKF05.

ÖVRIGA UNDERSÖKNINGAR ÄR HÄMTADE UR ARKIV, SE PM F 05 - 001, TIDIGARE UTFÖRDA GEOTEKNISKA UNDERSÖKNINGAR.

ANM.

LINJESTRÄCKNING VERSION 7.00



REV	ÄNDRINGEN AV	DATUM	KONSTRUERAD AV	GRANSKAD AV
A	ALLMÄN	2014-06-19		PEDG
		KONSTR./RITAD AV: SWECO/AA	GRANSKAD: O SKEPP	UPPDRAGSNUMMER: 2305478
		GODKÄND: K SANELL	DATUM: 2013-09-30	KONSULTUPPDRAG: AKF05

TRAFIKVERKET

VÄSTLÄNKEN
KM 460+000 - 460+500
GEOTEKNISK UNDERSÖKNING
PLAN

PROJEKT: FÖRUTSÄTTNINGAR
TEKNIKOMRÅDE: GEOTEKNIK
KM
SKALA: 1:1000
RITNINGSNR PROJEKT: AKF05-08-110-00_014
BANDEL

KONSTRUERAD AV	GRANSKAD AV	FASTSTÄLLD AV	DATUM	FORMAT	RITNINGSNR FÖRVALTNING	BLAD	NÄSTA BL	REV
SWECO	A HANSSON			A1		14	15	A

ida_itemname | plottime | ida_username

View: PLOT1, Drawing: P:\2321\2305478_AKF5 Västlänken\000_AKF5 Västlänken\SARBETSMATRL_RITN\Ritdel\AKF05-08-110-00_014, Drawn by: SEAAND, 2014-06-11 13:09

Denna ritning är Trafikverkets egendom. All obehörig begagnande av ritningen bevakas enligt lag.
TRAFIKVERKET

REV	ÄNDRINGEN AV	DATUM
A	ALLMÄN	2014-06-19
01	ÖVERSÄNDES FÖR GRANSKNING	2013-09-27
02	ÖVERSÄNDES FÖR GRANSKNING	2013-10-29
03	ÖVERSÄNDES FÖR GRANSKNING	2013-12-20
04	ÖVERSÄNDES FÖR GRANSKNING	2014-03-31
05	ÖVERSÄNDES FÖR GRANSKNING	2014-05-30
06	ÖVERSÄNDES FÖR GRANSKNING	2014-06-11
07	ÖVERSÄNDES FÖR GRANSKNING	2014-10-23
08	ÖVERSÄNDES FÖR GRANSKNING	2015-01-21

XREF: MODELL\AKF5_00_P_AKF05_BLANKNING, MODELL\AKF5_00_P_AKF05_KONSTRUKTION, MODELL\AKF5_00_P_AKF05_KONSTRUKTIONSYSS, MODELL\AKF5_00_P_AKF05_GW_GEOMFÖRKLARING, MODELL\GEO_00_P_AKF05_GW, MODELL\GEO_00_P_AKF05_ARKIV, GRUNDKARTOR\0502_06_UTM_TRIMMKARTA, GRUNDKARTOR\0502_06_UTM_KRÅKA_JUDIZ

KOORDINATSYSTEM PLAN: SWEREF 99 1200
KOORDINATSYSTEM I HÖJD: RH 2000

0 10 20 30 40 50 60 70 80 90 100
SKALA 1:1000

RITNINGSBETECKNINGAR

BETECKNINGAR ENLIGT SGF/BGS BETECKNINGSSYSTEM

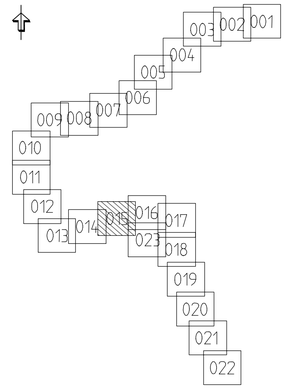
FÖRKLARINGAR

UNDERSÖKNINGAR MED BETECKNING: OCXXXX, CCXXXX, CHXXXX, HHXXXX, KAXXXX OCH KKXXXX ÄR UTFÖRDA 2012-2013 AV AKF05.

ÖVRIGA UNDERSÖKNINGAR ÄR HÄMTADE UR ARKIV, SE PM F 05 - 001, TIDIGARE UTFÖRDA GEOTEKNISKA UNDERSÖKNINGAR.

ANM.

LINJESTRÄCKNING VERSION 7.00



KONNEKTION RITNING AKF05-08-110-00_016

Denna ritning är Trafikverkets egendom. All obehörig begagnande av ritningen bevakas enligt lag.
TRAFIKVERKET

XREF
MODELLVÄG_00_P_AKF05_BLANDNING
MODELLVÄG_00_P_AKF05_KOORDINATKYSS
MODELLVÄG_00_P_AKF05_KONNEKTIONSLÄNKAR
MODELLVÄG_00_P_AKF05_SKYDDSRÄCKE
MODELLVÄG_00_P_AKF05_GW
MODELLVÄG_00_P_AKF05_ARKIV
GRUNDKARTOR\GSD_V_TRV_HÖJDKURVA
GRUNDKARTOR\GSD_V_TRV_HÖJDPUNKTER
SPÅRGEOMETRI\72_453-006_P_0022

REV	ÄNDRINGEN AVSER	DATUM	KONSTRUERAD AV	GRANSKAD AV
14.07				
14.22				
15.21				
15.30				
15.39				
15.48				
15.49				
09:45				
2019-09-17	BLANDNING			
2019-10-23	KOORDINATKYSS			
2019-10-23	KONNEKTIONSLÄNKAR			
2019-05-29	SKYDDSRÄCKE/KÖRFÄLTSMARKERING			
2019-06-11	GW			
2019-06-11	ARKIV			
2014-06-11	GRUNDKARTA			
2014-06-11	SPÅRGEOMETRI			
2014-06-11	P_0022			
A	ALLMÄN	2014-06-19		PEDG

KONSTR/RITAD AV	GRANSKAD	UPPDRAGSNUMMER
SWECO/AA	0 SKEPP	2305478
GENOMFÖRD	DATUM	KONSULTUPPDRAG
K SANELL	2013-09-30	AKF05

TRAFIKVERKET

VÄSTLÄNKEN
KM 460+500 - 461+000
GEOTEKNISK UNDERSÖKNING
PLAN

PROJEKT: FÖRUTSÄTTNINGAR
DOKUMENTSLAG: GEOTEKNIK
KM | SKALA 1:1000
RITNINGSNR PROJEKT: AKF05-08-110-00_015 | BANDEL
RITNINGSNR FÖRVALTNING | BLAD: 15 | NÄSTA BL: 16 | REV: A

KONSTRUERAD AV	GRANSKAD AV	FASTSTÄLLD AV	DATUM	FORMAT
SWECO	A HANSSON			A1

ida_filename | plottime | ida_username

View: PLOT1, Drawing: P:\2321\2305478_AKF5 Västlänken\000_AKF5 Västlänken\5ARBETSMATRL_RITN\Ritdef\AKF05-08-110-00_015, Drawn by: SEAAND, 2014-06-11 13:13

KOORDINATSYSTEM PLAN: SWEREF 99 1200
KOORDINATSYSTEM I HÖJD: RH 2000

0 10 20 30 40 50 60 70 80 90 100
SKALA 1:1000

RITNINGSBETECKNINGAR

BETECKNINGAR ENLIGT SGF/BGS BETECKNINGSSYSTEM

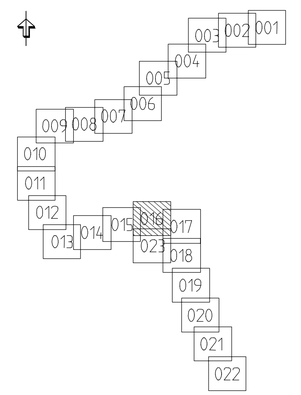
FÖRKLARINGAR

UNDERSÖKNINGAR MED BETECKNING: OCXXXX, CCXXXX, CHXXXX, HHXXXX, KAXXXX OCH KKXXXX ÄR UTFÖRDA 2012-2013 AV AKF05.

ÖVRIGA UNDERSÖKNINGAR ÄR HÄMTADE UR ARKIV, SE PM F 05 - 001, TIDIGARE UTFÖRDA GEOTEKNISKA UNDERSÖKNINGAR.

ANM.

LINJESTRÄCKNING VERSION 7.00



REV	ÄNDRINGEN AV	DATUM	KONSTRUERAD AV	GRANSKAD AV
A	ALLMÄN	2014-06-19		PEDG
		KONSTR./RITAD AV	GRANSKAD	UPPDRAGSNUMMER
		SWECO/AA	O. SKEPP	2305478
		GODKÄND	DATUM	KONSULTUPPDRAG
		K. SANELL	2013-09-30	AKF05

TRAFIKVERKET

VÄSTLÄNKEN
KM 461+000 - 461+500
GEOTEKNISK UNDERSÖKNING
PLAN

PRODUKT	
FÖRUTSÄTTNINGAR	
TEKNIKOMRÅDE	
GEOTEKNIK	
KM	SKALA
	1:1000
RITNINGSNR PROJEKT	BANDEL
AKF05-08-110-00_016	

KONSTRUERAD AV	GRANSKAD AV	FASTSTÄLLD AV	DATUM	FORMAT	RITNINGSNR FÖRVALTNING	BLAD	NÄSTA BL	REV
SWECO	A HANSSON			A1		16	17	A

ida_itemname | plottime | ida_username

KONNEKTION RITNING AKF05-08-110-00_015

KONNEKTION RITNING AKF05-08-110-00_017

KONNEKTION RITNING AKF05-08-110-00_023

Denna ritning är Trafikverkets egendom. Allt obehörigt begagnande av ritningen bevakas enligt lag
TRAFIKVERKET

XREF MODELLNR0_00_P_AKF05_BLANDNING
MODELLNR0_00_P_AKF05_KONSTRUKTION
MODELLNR0_00_P_AKF05_KONSTRUKTIONSYS
MODELLNR0_00_P_AKF05_PLANFÖRDJUPNING
MODELLNR0_00_P_AKF05_SW
MODELLNR0_00_P_AKF05_VÄG
MODELLNR0_00_P_AKF05_ARKIV
GRUNDKARTA\GRUNDKARTA_V_TRV_PRIMÄRKARTA
GRUNDKARTA\GRUNDKARTA_V_TRV_SEKUNDÄRKARTA
SPÅRGEOMETRI\TZ-453-006_P_2022

2019-09-17 14:07
2019-09-27 15:21
2019-09-29 11:41
2019-09-30 9:19
2019-10-23 15:48
2014-06-11 11:34
2014-06-11 15:45
2014-06-11 09:45

View: PL011, Drawing: P:\2321\2305478_AKF5 Västlänken\000_AKF5 Västlänken\15ARBETSMATRL_RITN\Ritdef\AKF05-08-110-00_016, Drawn by: SEAAND, 2014-06-11 13:18

KOORDINATSYSTEM PLAN: SWEREF 99 1200
KOORDINATSYSTEM I HÖJD: RH 2000

0 10 20 30 40 50 60 70 80 90 100
SKALA 1:1000

RITNINGSBETECKNINGAR

BETECKNINGAR ENLIGT SGF/BGS BETECKNINGSSYSTEM

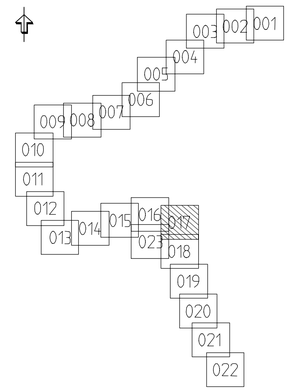
FÖRKLARINGAR

UNDERSÖKNINGAR MED BETECKNING: OCXXXX, CCXXXX, CHXXXX, HHXXXX, KAXXXX OCH KKXXXX ÄR UTFÖRDA 2012-2013 AV AKF05.

ÖVRIGA UNDERSÖKNINGAR ÄR HÄMTADE UR ARKIV, SE PM F 05 - 001, TIDIGARE UTFÖRDA GEOTEKNISKA UNDERSÖKNINGAR.

ANM.

LINJESTRÄCKNING VERSION 7.00



Denna ritning är Trafikverkets egendom. All obehörigt begagnande av ritningen bevakas enligt lag
TRAFIKVERKET

REV	ÄNDRINGEN AV	DATUM	KONSTRUERAD AV	GRANSKAD AV
A	ALLMÄN	2014-06-19		PEDG
		KONSTR./RITAD AV: SWECO/AA	GRANSKAD: O SKEPP	UPPDRAGSNUMMER: 2305478
		GODKÄND: K SANELL	DATUM: 2013-09-30	KONSULTUPPDRAG: AKF05

TRAFIKVERKET

VÄSTLÄNKEN
KM 461+500 - 462+000
GEOTEKNISK UNDERSÖKNING
PLAN

PROJEKT: FÖRUTSÄTTNINGAR
TEKNIKOMRÅDE: GEOTEKNIK
KM
SKALA: 1:1000
RITNINGSNR PROJEKT: AKF05-08-110-00_017
RITNINGSNR FÖRVALTNING
BLAD: 17
NÄSTA BL: 18
BANDEL
REV: A

KONSTRUERAD AV	GRANSKAD AV	FASTSTÄLLD AV	DATUM	FORMAT
SWECO	A HANSSON			A1

ida_itemname | plottime | ida_username

XREF: M3D_ELVÄG_00_P_AKF05_BEARBETNING, M3D_ELVÄG_00_P_AKF05_GEOTEKNIK, M3D_ELVÄG_00_P_AKF05_KOORDINATKRYSS, M3D_ELVÄG_00_P_AKF05_LÄGESANGIVELSER, M3D_ELVÄG_00_P_AKF05_SJÖ, M3D_ELVÄG_00_P_AKF05_TEXT, M3D_ELVÄG_00_P_AKF05_ÄRKIV, GRUNDKARTOR_0502_08_L_TM_1MMARKKARTA, GRUNDKARTOR_0502_08_L_TM_2MMKARTA

2013-09-17	ÄV27
2013-09-20	ÄV27
2013-10-29	ÄV27
2013-11-01	ÄV27
2014-06-11	ÄV4
2014-06-19	ÄV5
2014-06-20	ÄV10

View: PLOT1, Drawing: P:\232\2305478_AKF5 Västlänken\000_AKF5 Västlänken\SARBETSMATRL_RITN\Ritdel\AKF05-08-110-00_017, Drawn by: SEAAND, 2014-06-11 13:22

KONNEKTION RITNING AKF05-08-110-00_017

KONNEKTION RITNING AKF05-08-110-00_019

KONNEKTION RITNING AKF05-08-110-00_023

Nelluckevägen

Vorvägatan

Sankt Sigfridsgatan

Arbogalan

Laboratorievägen

Kv 44 Termiten

Kv 40 Spindeln

Kv 150 Imagen

Kv 43 Sjöhagen

Kv 44 Sjöjungfrun

Kv 35 Pilgrimsslanan

Kv 35 Tågsvansen

Kv 35 Kapsnäcken

Kv 51 Ha

KM462+100

KM462+200

KM462+300

KM462+400

KM004+200

KM004+300

KM004+400

X6397100

X6396800

Y1400

KOORDINATSYSTEM PLAN: SWEREF 99 1200
KOORDINATSYSTEM I HÖJD: RH 2000

0 10 20 30 40 50 60 70 80 90 100
SKALA 1:1000

RITNINGSBETECKNINGAR

BETECKNINGAR ENLIGT SGF/BGS BETECKNINGSSYSTEM

FÖRKLARINGAR

UNDERSÖKNINGAR MED BETECKNING: OCXXXX, CCXXXX, CHXXXX, HHXXXX, KAXXXX OCH KKXXXX ÄR UTFÖRDA 2012-2013 AV AKF05.

ÖVRIGA UNDERSÖKNINGAR ÄR HÄMTADE UR ARKIV, SE PM F 05 - 001, TIDIGARE UTFÖRDA GEOTEKNISKA UNDERSÖKNINGAR.

ANM.

LINJESTRÄCKNING VERSION 7.00

003 002 001
004
005
006
009 008 007
010
011
012
013 014 015 016 017
023 018
019
020
021
022

REV	ÄNDRINGEN AV	DATUM	KONSTRUERAD AV	GRANSKAD AV
A	ALLMÄN	2014-06-19		PEDG

KONSTR/RITAD AV	GRANSKAD	UPPDRAGSNUMMER	
SWECO/AA	O SKEPP	2305478	
GODKÄND	DATUM	KONSULTUPPDRAG	
K SANELL	2013-09-30	AKF05	

TRAFIKVERKET

VÄSTLÄNKEN
KM 462+000 - 462+500
GEOTEKNISK UNDERSÖKNING
PLAN

PROJEKT: FÖRUTSÄTTNINGAR
TEKNOMRÅDE: GEOTEKNIK
KM
SKALA: 1:1000

KONSTRUERAD AV	GRANSKAD AV	FASTSTÄLLD AV	DATUM	FORMAT	RITNINGSNR PROJEKT	BLAD	NÄSTA BL	REV
SWECO	A HANSSON			A1	AKF05-08-110-00_018	18	19	A

BANDEL

ida_ifilename | plottime | ida_username

View: PL01, Drawing: P:\2321\2305478_AKF5 Västlänken\000_AKF5 Västlänken\5ARBETSMATRL_RITN\Ritter\AKF05-08-110-00_018, Drawn by: SEANO, 2014-06-11 13:28

Denna ritning är Trafikverkets egendom. All obehörigt begagnande av ritningen tillvarages enligt lag.
TRAFIKVERKET

REV	ÄNDRINGEN AV	DATUM
A	ALLMÄN	2014-06-19
B	KOORDINATSYSTEM	2014-06-11
C	KONSTRUKTIONSFÖRUTSÄTTNINGAR	2014-06-11
D	KONSTRUKTIONSFÖRUTSÄTTNINGAR	2014-05-23
E	KONSTRUKTIONSFÖRUTSÄTTNINGAR	2014-05-07
F	KONSTRUKTIONSFÖRUTSÄTTNINGAR	2013-11-29
G	KONSTRUKTIONSFÖRUTSÄTTNINGAR	2013-09-17

XREF: MODELL\AF00_00_P_AKF05_BLADINDELNING, MODELL\AF00_00_P_AKF05_KONSTRUKTIONSFÖRUTSÄTTNINGAR, MODELL\AF00_00_P_AKF05_SCHEMATISKA_KONTAKTLEDNINGSLÄGE, MODELL\AF00_00_P_AKF05_TUNNELPROFILERING, MODELL\AF00_00_P_AKF05_UTRYMNINGSVÄGAR, MODELL\GE00_00_P_AKF05_GRUNDVATTENNIVÅER, GRUNDKARTOR\GS00_08_1_DIV_PRIMÄRKARTA, GRUNDKARTOR\GS00_08_1_DIV_SEKUNDÄRKARTA, SPÅRGEOMETRI\TZ_453-006_P_0022

KONNEKTION RITNING AKF05-08-110-00_018

KONNEKTION RITNING AKF05-08-110-00_020

KOORDINATSYSTEM PLAN: SWEREF 99 1200
KOORDINATSYSTEM I HÖJD: RH 2000

0 10 20 30 40 50 60 70 80 90 100
SKALA 1:1000

RITNINGSBETECKNINGAR

BETECKNINGAR ENLIGT SGF/BGS BETECKNINGSSYSTEM

FÖRKLARINGAR

UNDERSÖKNINGAR MED BETECKNING: OCXXXX, CCXXXX, CHXXXX, HHXXXX, KAXXXX OCH KKXXXX ÄR UTFÖRDA 2012-2013 AV AKF05.

ÖVRIGA UNDERSÖKNINGAR ÄR HÄMTADE UR ARKIV, SE PM F 05 - 001, TIDIGARE UTFÖRDA GEOTEKNISKA UNDERSÖKNINGAR.

ANM.

LINJESTRÄCKNING VERSION 7.00

REV	ÄNDRINGEN AV	DATUM	KONSTRUERAD AV	GRANSKAD AV	GRANSKAD AV
A	ALLMÄN	2014-06-19			PEDG
			KONSTR./RITAD AV	GRANSKAD	UPPDRAGSNUMMER
			SWECO/AA	0 SKEPP	2305478
			GODKÄND	DATUM	KONSTRUKTIONSRITNING
			K SANELL	2013-09-30	AKF05

TRAFIKVERKET

VÄSTLÄNKEN
KM 462+500 - 463+050
GEOTEKNISK UNDERSÖKNING
PLAN

PROJEKT: FÖRUTSÄTTNINGAR
TEKNIKOMRÅDE: GEOTEKNIK
KM | SKALA 1:1000
RITNINGSNR PROJEKT: AKF05-08-110-00_019 | BANDEL
RITNINGSNR FÖRVALTNING | BLAD: 19 | NÄSTA BL: 20 | REV: A

KONSTRUERAD AV	GRANSKAD AV	FASTSTÄLLD AV	DATUM	FORMAT
SWECO	A HANSSON			A1

ida_filenname | plottime | ida_username

Denna ritning är Trafikverkets egendom. All obehörig begagnande av ritningen bevakas enligt lag
TRAFIKVERKET

XREF MODELLVÄG_00_P_AKF05_BLANDNING
MODELLVÄG_00_P_AKF05_KONSTRUKTION
MODELLVÄG_00_P_AKF05_KOTERMARKYTA
MODELLVÄG_00_P_AKF05_KOTERMARKYTA_NYTT
MODELLVÄG_00_P_AKF05_SKÄRNING
MODELLVÄG_00_P_AKF05_UTFYLNAD
GRUNDKARTOR\XGD_08_V_TRV_PRIMÄRKARTA
SPÅRGEOMETRI\72_453-006_P_0022

2013-09-17	14:07
2013-10-21	15:21
2013-10-29	15:21
2013-05-30	9:18
2013-06-11	12:34
2013-10-23	15:45
2013-10-23	15:45
2014-06-11	09:45

View: PLOT1, Drawing: P:\2321\2305478_AKF5 Västlänken\1 000_AKF5 Västlänken\15ARBETSMATRL_RITN\Ritdef\AKF05-08-110-00_019, Drawn by: SEAAND, 2014-06-11 13:52

KONNEKTION RITNING AKF05-08-110-00_019

KONNEKTION RITNING AKF05-08-110-00_021

Kv 8 Offsetpressen

Kv 7 Snättpressen

Kv 2 Typen

Kv 3 Sätthaken

Kv 20 Hallungen

Kv 23 Sarnajan

Kv 33 Odensjön

Kallebäcksvägen

Östgatan

Meijerigatan

Kungsbackaleden

Mörtdalsvägen

Lidéer-ahlstatan

Gräddgatan

Ängen

Ösgatan

Kallebäcksv

KA5085

KA5070

KA5086

AA5004

AA5005

AA5006

AA5007

AA5008

AA5009

AA5003

BA80-1

GS68-17

GS68-19

GS68-20

GS68-21

GS68-22

GS68-23

GS68-25

GS68-26

GS68-27

GS68-94

GS68-95

GS68-32

GS68-34

GS68-40

GS68-41

GS68-46

GS68-48

GS68-201

GS68-202

GS68-203

GS68-204

GS68-205

GS68-206

GS68-207

GS68-208

GS68VB30

GS68VB28

GF86-4

GF86-3

B209

B210

B211

B208

V89-1

V89-2

5238SM

5240SM

5118SM

5120SM

5183SM

5180SM

5300SM

5302VM

5360SM

SJ5180V1

SJ5180V2

SJ5180V3

SJ5180V4

SJ5180V5

SJ5180V6

SJ5180V7

SJ5180V8

SJ5180H1

SJ5180H2

SJ5180H3

SJ5200V1

SJ5329V1

SJ5330H1

SJ5300H1

AFHJ89-1

AFHJ89-2

AFHJ89-3

AFHJ89-4

AFHJ89-5

AFHJ89-6

AFHJ89-7

AFH1

AFH2

AFH3

AFH4

AFH5

AFH6

AFH7

AFH8

AFH9

AFH10

AFH11

AFH12

AFH13

AFH14

AFH15

AFHTE-1

AFHTE-2

AFHTE-3

AFHTE-4

AFHTE-5

AFHTE-6

AFHTE-8

AFHTE-9

AFHTE-10

AFHTE-11

AFHTE-12

AFHTE-13

AFHTE-14

AFHTE-15

AFHTE-16

GB04A-1

GB04A-2

GB04A-3

GB04A-4

GB04A-5

GB04A-6

GB04A-7

GB04A-8

GB04A-9

GB04A-10

GK74-134

GK74-135

GK74-136

GK74-137

GK74-138

GK74-139

GK74-140

GK74-141

GK74-142

GK74-143

GK74-144

GK74-145

GK74-146

GK74-147

GK74-148

GK74-149

GK74-150

GK74-151

GK74-152

GK74-153

GK74-154

GK74-155

GK74-156

GK74-157

GK74-158

GK74-159

GK74-160

GK74-161

GK74-162

GK74-163

GK74-164

GK74-165

GK74-166

GK74-167

GK74-168

GK74-169

GK74-170

GK74-171

GK74-172

GK74-173

GK74-174

GK74-175

GK74-176

GK74-177

GK74-178

GK74-179

GK74-180

GK74-181

GK74-182

GK74-183

GK74-184

GK74-185

GK74-186

GK74-187

GK74-188

GK74-189

GK74-190

GK74-191

GK74-192

GK74-193

GK74-194

GK74-195

GK74-196

GK74-197

GK74-198

GK74-199

GK74-200

GK74-201

GK74-202

GK74-203

GK74-204

GK74-205

GK74-206

GK74-207

GK74-208

GK74-209

GK74-210

GK74-211

GK74-212

GK74-213

GK74-214

GK74-215

GK74-216

GK74-217

GK74-218

GK74-219

GK74-220

GK74-221

GK74-222

GK74-223

GK74-224

GK74-225

GK74-226

GK74-227

GK74-228

GK74-229

GK74-230

GK74-231

GK74-232

GK74-233

GK74-234

GK74-235

GK74-236

GK74-237

GK74-238

GK74-239

GK74-240

GK74-241

GK74-242

GK74-243

GK74-244

GK74-245

GK74-246

GK74-247

GK74-248

GK74-249

GK74-250

GK74-251

GK74-252

GK74-253

GK74-254

GK74-255

GK74-256

GK74-257

GK74-258

GK74-259

GK74-260

GK74-261

GK74-262

GK74-263

GK74-264

GK74-265

GK74-266

GK74-267

GK74-268

GK74-269

GK74-270

GK74-271

GK74-272

GK74-273

GK74-274

GK74-275

GK74-276

GK74-277

GK74-278

GK74-279

GK74-280

GK74-281

GK74-282

GK74-283

GK74-284

GK74-285

GK74-286

GK74-287

GK74-288

GK74-289

GK74-290

GK74-291

GK74-292

GK74-293

GK74-294

GK74-295

GK74-296

GK74-297

GK74-298

GK74-299

GK74-300

GK74-301

GK74-302

GK74-303

GK74-304

GK74-305

GK74-306

GK74-307

GK74-308

GK74-309

GK74-310

GK74-311

GK74-312

GK74-313

GK74-314

GK74-315

GK74-316

GK74-317

GK74-318

GK74-319

GK74-320

GK74-321

GK74-322

GK74-323

GK74-324

GK74-325

GK74-326

GK74-327

GK74-328

GK74-329

GK74-330

GK74-331

GK74-332

GK74-333

GK74-334

GK74-335

GK74-336

GK74-337

GK74-338

GK74-339

GK74-340

GK74-341

GK74-342

GK74-343

GK74-344

GK74-345

GK74-346

GK74-347

GK74-348

GK74-349

GK74-350

GK74-351

GK74-352

GK74-353

GK74-354

GK74-355

GK74-356

GK74-357

GK74-358

GK74-359

GK74-360

GK74-361

GK74-362

GK74-363

GK74-364

GK74-365

GK74-366

GK74-367

GK74-368

GK74-369

GK74-370

GK74-371

GK74-372

GK74-373

GK74-374

GK74-375

GK74-376

GK74-377

GK74-378

GK74-379

GK74-380

GK74-381

GK74-382

GK74-383

GK74-384

GK74-385

GK74-386

GK74-387

GK74-388

GK74-389

GK74-390

GK74-391

GK74-392

GK74-393

GK74-394

GK74-395

GK74-396

GK74-397

GK74-398

GK74-399

GK74-400

GK74-401

GK74-402

GK74-403

GK74-404

GK74-405

GK74-406

GK74-407

GK74-408

GK74-409

GK74-410

GK74-411

GK74-412

GK74-413

GK74-414

GK74-415

GK74-416

GK74-417

GK74-418

GK74-419

GK74-420

GK74-421

GK74-422

GK74-423

GK74-424

GK74-425

GK74-426

GK74-427

GK74-428

GK74-429

GK74-430

GK74-431

GK74-432

GK74-433

GK74-434

GK74-435

GK74-436

GK74-437

GK74-438

GK74-439

GK74-440

GK74-441

GK74-442

GK74-443

GK74-444

GK74-445

GK74-446

GK74-447

GK74-448

GK74-449

GK74-450

GK74-451

GK74-452

GK74-453

GK74-454

GK74-455

GK74-456

GK74-457

GK74-458

GK74-459

GK74-460

GK74-461

GK74-462

GK74-463

GK74-464

GK74-465

GK74-466

GK74-467

GK74-468

GK74-469

GK74-470

GK74-471

GK74-472

GK74-473

GK74-474

GK74-475

GK74-476

GK74-477

GK74-478

GK74-479

GK74-480

GK74-481

GK74-482

GK74-483

GK74-484

GK74-485

GK74-486

GK74-487

GK74-488

GK74-489

GK74-490

GK74-491

GK74-492

GK74-493

GK74-494

GK74-495

GK74-496

GK74-497

GK74-498

GK74-499

GK74-500

GK74-501

GK74-502

GK74-503

GK74-504

GK74-505

GK74-506

GK74-507

GK74-508

GK74-509

GK74-510

GK74-511

GK74-512

GK74-513

GK74-514

GK74-515

GK74-516

GK74-517

GK74-518

GK74-519

GK74-520

GK74-521

GK74-522

GK74-523

GK74-524

GK74-525

GK74-526

GK74-527

GK74-528

GK74-529

GK74-530

GK74-531

GK74-532

GK74-533

GK74-534

GK74-535

GK74-536

GK74-537

GK74-538

GK74-539

GK74-540

GK74-541

GK74-542

GK74-543

GK74-544

GK74-545

GK74-546

GK74-547

GK74-548

GK74-549

GK74-550

GK74-551

GK74-552

GK74-553

GK74-554

GK74-555

GK74-556

GK74-557

GK74-558

GK74-559

GK74-560

GK74-561

GK74-562

GK74-563

GK74-564

GK74-565

GK74-566

GK74-567

GK74-568

GK74-569

GK74-570

GK74-571

GK74-572

GK74-573

GK74-574

GK74-575

GK74-576

GK74-577

GK74-578

GK74-579

GK74-580

GK74-581

GK74-582

GK74-583

GK74-584

GK74-585

GK74-586

GK74-587

GK74-588

GK74-589

GK74-590

GK74-591

GK74-592

GK74-593

GK74-594

GK74-595

GK74-596

GK74-597

GK74-598

GK74-599

GK74-600

GK74-601

GK74-602

GK74-603

GK74-604

GK74-605

GK74-606

GK74-607

GK74-608

GK74-609

GK74-610

GK74-611

GK74-612

GK74-613

GK74-614

GK74-615

GK74-616

GK74-617

GK74-618

GK74-619

GK74-620

GK74-621

GK74-622

GK74-623

GK74-624

GK74-625

GK74-626

GK74-627

GK74-628

GK74-629

GK74-630

GK74-631

GK74-632

GK74-633

GK74-634

GK74-635

GK74-636

GK74-637

GK74-638

GK74-639

GK74-640

GK74-641

GK74-642

GK74-643

GK74-644

GK74-645

GK74-646

GK74-647

GK74-648

GK74-649

GK74-650

GK74-651

GK74-652

GK74-653

GK74-654

GK74-655

GK74-656

GK74-657

GK74-658

GK74-659

GK74-660

GK74-661

GK74-662

GK74-663

GK74-664

GK74-665

GK74-666

GK74-667

GK74-668

GK74-669

GK74-670

GK74-671

GK74-672

GK74-673

GK74-674

GK74-675

GK74-676

GK74-677

GK74-678

GK74-679

GK74-680

GK74-681

GK74-682

GK74-683

GK74-684

GK74-685

GK74-686

GK74-687

GK74-688

GK74-689

GK74-690

GK74-691

GK74-692

GK74-693

GK74-694

GK74-695

GK74-696

GK74-697

GK74-698

GK74-699

GK74-700

GK74-701

GK74-702

GK74-703

GK74-704

GK74-705

GK74-706

GK74-707

GK74-708

GK74-709

GK74-710

GK74-711

GK74-712

GK74-713

GK74-714

GK74-715

GK74-716

GK74-717

GK74-718

GK74-719

GK74-720

GK74-721

GK74-722

GK74-723

GK74-724

GK74-725

GK74-726

GK74-727

GK74-728

GK74-729

GK74-730

GK74-731

GK74-732

GK74-733

GK74-734

GK74-735

GK74-736

GK74-737

GK74-738

GK74-739

GK74-740

GK74-741

GK74-742

GK74-743

GK74-744

GK74-745

GK74-746

GK74-747

GK74-748

GK74-749

GK74-750

GK74-751

GK74-752

GK74-753

GK74-754

GK74-755

GK74-756

GK74-757

GK74-758

GK74-759

GK74-760

GK74-761

GK74-762

GK74-763

GK74-764

GK74-765

GK74-766

GK74-767

GK74-768

GK74-769

GK74-770

GK74-771

GK74-772

GK74-773

GK74-774

GK74-775

GK74-776

GK74-777

GK74-778

GK74-779

GK74-780

GK74-781

GK74-782

GK74-783

GK74-784

GK74-785

GK74-786

GK74-787

GK74-788

GK74-789

GK74-790

GK74-791

GK74-792

GK74-793

GK74-794

GK74-795

GK74-796

GK74-797

GK74-798

GK74-799

GK74-800

GK74-801

GK74-802

GK74-803

GK74-804

GK74-805

GK74-806

GK74-807

GK74-808

GK74-809

GK74-810

GK74-811

GK74-812

GK74-813

GK74-814

GK74-815

GK74-816

GK74-817

GK74-818

GK74-819

GK74-820

GK74-821

GK74-822

GK74-823

GK74-824

GK74-825

GK74-826

GK74-827

GK74-828

GK74-829

GK74-830

GK74-831

GK74-832

GK74-833

GK74-834

GK74-835

GK74-836

GK74-837

GK74-838

GK74-839

GK74-840

GK74-841

GK74-842

GK74-843

GK74-844

GK74-845

GK74-846

GK74-847

GK74-848

GK74-849

GK74-850

GK74-851

GK74-852

GK74-853

GK74-854

GK74-855

GK74-856

GK74-857

GK74-858

GK74-859

GK74-860

GK74-861

GK74-862

GK74-863

GK74-864

GK74-865

GK74-866

GK74-867

GK74-868

GK74-869

GK74-870

GK74-871

GK74-872

GK74-873

GK74-874

GK74-875

GK74-876

GK74-877

GK74-878

GK74-879

GK74-880

GK74-881

GK74-882

GK74-883

GK74-884

GK74-885

GK74-886

GK74-887

GK74-888

GK74-889

GK74-890

GK74-891

GK74-892

GK74-893

GK74-894

GK74-895

GK74-896

GK74-897

GK74-898

GK74-899

GK74-900

GK74-901

GK74-902

GK74-903

GK74-904

GK74-905

GK74-906

GK74-907

GK74-908

GK74-909

GK74-910

GK74-911

GK74-912

GK74-913

GK74-914

GK74-915

GK74-916

GK74-917

GK74-918

GK74-919

GK74-920

GK74-921

GK74-922

GK74-923

GK74-924

GK74-925

GK74-926

GK74-927

GK74-928

GK74-929

GK74-930

GK74-931

GK74-932

GK74-933

GK74-934

GK74-935

GK74-936

GK74-937

GK74-938

GK74-939

GK74-940

GK74-941

GK74-942

GK74-943

GK74-944

GK74-945

GK74-946

GK74-947

GK74-948

GK74-949

GK74-950

GK74-951

GK74-952

GK74-953

GK74-954

GK74-955

GK74-956

GK74-957

GK74-958

GK74-959

GK74-960

GK74-961

GK74-962

GK74-963

GK74-964

GK74-965

GK74-966

GK74-967

GK74-968

GK74-969

GK74-970

GK74-971

GK74-972

GK74-973

GK74-974

GK74-975

GK74-976

GK74-977

GK74-978

GK74-979

GK74-980

GK74-981

GK74-982

GK74-983

GK74-984

GK74-985

GK74-986

GK74-987

GK74-988

GK74-989

GK74-990

GK74-991

GK74-992

GK74-993

GK74-994

GK74-995

GK74-996

GK74-997

GK74-998

GK74-999

GK74-1000

GK74-1001

GK74-1002

GK74-1003

GK74-1004

GK74-1005

GK74-1006

GK74-1007

GK74-1008

GK74-1009

GK74-1010

GK74-1011

GK74-1012

GK74-1013

GK74-1014

GK74-1015

GK74-1016

GK74-1017

GK74-1018

GK74-1019

GK74-1020

GK74-1021

GK74-1022

GK74-1023

GK74-1024

GK74-1025

GK74-1026

GK74-1027

GK74-1028

GK74-1029

GK74-1030

GK74-1031

GK74-1032

GK74-1033

GK74-1034

GK74-1035

GK74-1036

GK74-1037

GK74-1038

GK74-1039

GK74-1040

GK74-1041

GK74-1042

GK74-1043

GK74-1044

GK74-1045

GK74-1046

GK74-1047

GK74-1048

GK74-1049

GK74-1050

GK74-1051

GK74-1052

GK74-1053

GK74-1054

GK74-1055

GK74-1056

GK74-1057

GK74-1058

GK74-1059

GK74-1060

GK74-1061

GK74-1062

GK74-1063

GK74-1064

GK74-1065

GK74-1066

GK74-1067

GK74-1068

GK74-1069

GK74-1070

GK74-1071

GK74-1072

GK74-1073

GK74-1074

GK74-1075

GK74-1076

GK74-1077

GK74-1078

GK74-1079

GK74-1080

GK74-1081

GK74-1082

GK74-1083

GK74-1084

GK74-1085

GK74-1086

GK74-1087

GK74-1088

GK74-1089

GK74-1090

GK74-1091

GK74-1092

GK74-1093

GK74-1094

GK74-1095

GK74-1096

GK74-1097

GK74-1098

GK74-1099

GK74-1100

GK74-1101

GK74-1102

GK74-1103

GK74-1104

GK74-1105

GK74-1106

GK74-1107

GK74-1108

GK74-1109

GK74-1110

GK74-1111

GK74-1112

GK74-1113

GK74-1114

GK74-1115

GK74-1116

GK74-1117

GK74-1118

GK74-1119

GK74-1120

GK74-1121

GK74-1122

GK74-1123

GK74-1124

GK74-1125

GK74-1126

GK74-1127

GK74-1128

GK74-1129

GK74-1130

GK74-1131

GK74-1132

GK74-1133

GK74-1134

GK74-1135

GK74-1136

GK74-1137

GK74-1138

GK74-1139

GK74-1140

GK74-1141

GK74-1142

GK74-1143

GK74-1144

GK74-1145

GK74-1146

GK74-1147

GK74-1148

GK74-1149

GK74-1150

GK74-1151

GK74-1152

GK74-1153

GK74-1154

GK74-1155

GK74-1156

GK74-1157

GK74-1158

GK74-1159

GK74-1160

GK74-1161

GK74-1162

GK74-1163

GK74-1164

GK74-1165

GK74-1166

GK74-1167

GK74-1168

GK74-1169

GK74-1170

GK74-1171

GK74-1172

GK74-1173

GK74-1174

GK74-1175

GK74-1176

GK74-1177

GK74-1178

GK74-1179

GK74-1180

GK74-1181

GK74-1182

GK74-1183

GK74-1184

GK74-1185

GK74-1186

GK74-1187

GK74-1188

GK74-1189

GK74-1190

GK74-1191

GK74-1192

GK74-1193

GK74-1194

GK74-1195

GK74-1196

GK74-1197

GK74-1198

GK74-1199

GK74-1200

GK74-1201

GK74-1202

GK74-1203

GK74-1204

GK74-1205

GK74-1206

GK74-1207

GK74-1208

GK74-1209

GK74-1210

GK74-1211

GK74-1212

GK74-1213

GK74-1214

GK74-1215

GK74-1216

GK74-1217

GK74-1218

GK74-1219

GK74-1220

GK74-1221

GK74-1222

GK74-1223

GK74-1224

GK74-1225

GK74-1226

GK74-1227

GK74-1228

GK74-1229

GK74-1230

GK74-1231

GK74-1232

GK74-1233

GK74-1234

GK74-1235

GK74-1236

GK74-1237

GK74-1238

GK74-1239

GK74-1240

GK74-1241

GK74-1242

GK74-1243

GK74-1244

GK74-1245

GK74-1246

GK74-1247

GK74-1248

GK74-1249

GK74-1250

GK74-1251

GK74-1252

GK74-1253

GK74-1254

GK74-1255

GK74-1256

GK74-1257

GK74-1258

GK74-1259

GK74-1260

GK74-1261

GK74-1262

GK74-1263

GK74-1264

GK74-1265

GK74-1266

GK74-1267

GK74-1268

GK74-1269

GK74-1270

GK74-1271

GK74-1272

GK74-1273

GK74-1274

GK74-1275

GK74-1276

GK74-1277

GK74-1278

GK74-1279

GK74-1280

GK74-1281

GK74-1282

GK74-1283

GK74-1284

GK74-1285

GK74-1286

GK74-1287

GK74-1288

GK74-1289

GK74-1290

GK74-1291

GK74-1292

GK74-1293

GK74-1294

GK74-1295

GK74-1296

GK74-1297

GK74-1298

GK74-1299

GK74-1300

GK74-1301

GK74-1302

GK74-1303

GK74-1304

GK74-1305

GK74-1306

GK74-1307

GK74-1308

GK74-1309

GK74-1310

GK74-1311

GK74-1312

GK74-1313

GK74-1314

GK74-1315

GK74-1316

GK74-1317

GK74-1318

GK74-1319

GK74-1320

GK74-1321

GK74-1322

GK74-1323

GK74-1324

GK74-1325

GK74-1326

GK74-1327

GK74-1328

GK74-1329

GK74-1330

GK74-1331

GK74-1332

GK74-1333

GK74-1334

GK74-1335

GK74-1336

GK74-1337

GK74-1338

GK74-1339

GK74-1340

GK74-1341

GK74-1342

GK74-1343

GK74-1344

GK74-1345

GK74-1346

GK74-1347

GK74-1348

GK74-1349

GK74-1350

GK74-1351

GK74-1352

GK74-1353

GK74-1354

GK74-1355

GK74-1356

GK74-1357

GK74-1358

GK74-1359

GK74-1360

GK74-1361

GK74-1362

GK74-1363

GK74-1364

GK74-1365

GK74-1366

GK74-1367

GK74-1368

GK74-1369

GK74-1370

GK74-1371

GK74-1372

GK74-1373

GK74-1374

GK74-1375

GK74-1376

GK74-1377

GK74-1378

GK74-1379

GK74-1380

GK74-1381

GK74-1382

GK74-1383

GK74-1384

GK74-1385

GK74-1386

GK74-1387

GK74-1388

GK74-1389

GK74-1390

GK74-1391

GK74-1392

GK74-1393

GK74-1394

GK74-1395

GK74-1396

GK74-1397

GK74-1398

GK74-1399

GK74-1400

GK74-1401

GK74-1402

GK74-1403

GK74-1404

GK74-1405

GK74-1406

GK74-1407

GK74-1408

GK74-1409

GK74-1410

GK74-1411

GK74-1412

GK74-1413

GK74-1414

GK74-1415

GK74-1416

GK74-1417

GK74-1418

GK74-1419

GK74-1420

GK74-1421

GK74-1422

GK74-1423

GK74-1424

GK74-1425

GK74-1426

GK74-1427

GK74-1428

GK74-1429

GK74-1430

GK74-1431

GK74-1432

GK74-1433

GK74-1434

GK74-1435

GK74-1436

GK74-1437

GK74-1438

GK74-1439

GK74-1440

GK74-1441

GK74-1442

GK74-1443

GK74-1444

GK74-1445

GK74-1446

GK74-1447

GK74-1448

GK74-1449

GK74-1450

GK74-1451

GK74-1452

GK74-1453

GK74-1454

GK74-1455

GK74-1456

GK74-1457

GK74-1458

GK74-1459

GK74-1460

GK74-1461

GK74-1462

GK74-1463

GK74-1464

GK74-1465

GK74-1466

GK74-1467

GK74-1468

GK74-1469

GK74-1470

GK74-1471

GK74-1472

GK74-1473

GK74-1474

GK74-1475

GK74-1476

GK74-1477

GK74-1478

GK74-1479

GK74-1480

GK74-1481

GK74-1482

GK74-1483

GK74-1484

GK74-1485

GK74-1486

GK74-1487

GK74-1488

GK74-1489

GK74-1490

GK74-1491

GK74-1492

GK74-1493

GK74-1494

GK74-1495

GK74-1496

GK74-1497

GK74-1498

GK74-1499

GK74-1500

GK74-1501

GK74-1502

GK74-1503

GK74-1504

GK74-1505

GK74-1506

GK74-1507

GK74-1508

GK74-1509

GK74-1510

GK74-1511

GK74-1512

GK74-1513

GK74-1514

GK74-1515

GK74-1516

GK74-1517

GK74-1518

GK74-1519

GK74-1520

GK74-1521

GK74-1522

GK74-1523

GK74-1524

GK74-1525

GK74-1526

GK74-1527

GK74-1528

GK74-1529

GK74-1530

GK74-1531

GK74-1532

GK74-1533

GK74-1534

GK74-1535

GK74-1536

GK74-1537

GK74-1538

GK74-1539

GK74-1540

GK74-1541

GK74-1542

GK74-1543

GK74-1544

GK74-1545

GK74-1546

GK74-1547

GK74-1548

GK74-1549

GK74-1550

GK74-1551

GK74-1552

GK74-1553

GK74-1554

GK74-1555

GK74-1556

GK74-1557

GK74-1558

GK74-1559

GK74-1560

GK74-1561

GK74-1562

GK74-1563

GK74-1564

GK74-1565

GK74-1566

GK74-1567

GK74-1568

GK74-1569

GK74-1570

GK74-1571

GK74-1572

GK74-1573

GK74-1574

GK74-1575

GK74-1576

GK74-1577

GK74-1578

GK74-1579

GK74-1580

GK74-1581

GK74-1582

GK74-1583

GK74-1584

GK74-1585

GK74-1586

GK74-1587

GK74-1588

GK74-1589

GK74-1590

GK74-1591

GK74-1592

GK74-1593

GK74-1594

GK74-1595

GK74-1596

GK74-1597

GK74-1598

GK74-1599

GK74-1600

GK74-1601

GK74-1602

GK74-1603

GK74-1604

GK74-1605

GK74-1606

GK74-1607

GK74-1608

GK74-1609

GK74-1610

GK74-1611

GK74-1612

GK74-1613

GK74-1614

GK74-1615

GK74-1616

GK74-1617

GK74-1618

GK74-1619

GK74-1620

GK74-1621

GK74-1622

GK74-1623

GK74-1624

GK74-1625

GK74-1626

GK74-1627

GK74-1628

GK74-1629

GK74-1630

GK74-1631

GK74-1632

GK74-1633

GK74-1634

GK74-1635

GK74-1636

GK74-1637

GK74-1638

GK74-1639

GK74-1640

GK74-1641

GK74-1642

GK74-1643

GK74-1644

GK74-1645

GK74-1646

GK74-1647

GK74-1648

GK74-1649

GK74-1650

GK74-1651

GK74-1652

GK74-1653

GK74-1654

GK74-1655

GK74-1656

GK74-1657

GK74-1658

GK74-1659

GK74-1660

GK74-1661

GK74-1662

GK74-1663

GK74-1664

GK74-1665

GK74-1666

GK74-1667

GK74-1668

GK74-1669

GK74-1670

GK74-1671

GK74-1672

GK74-1673

GK74-1674

GK74-1675

GK74-1676

GK74-1677

GK74-1678

GK74-1679

GK74-1680

GK74-1681

GK74-1682

GK74-1683

GK74-1684

GK74-1685

GK74-1686

GK74-1687

GK74-1688

GK74-1689

GK74-1690

GK74-1691

GK74-1692

GK74-1693

GK74-1694

GK74-1695

GK74-1696

GK74-1697

GK74-1698

GK74-1699

GK74-1700

GK74-1701

GK74-1702

GK74-1703

GK74-1704

GK74-1705

GK74-1706

GK74-1707

GK74-1708

GK74-1709

GK74-1710

GK74-1711

GK74-1712

GK74-1713

GK74-1714

GK74-1715

GK74-1716

GK74-1717

GK74-1718

GK74-1719

GK74-1720

GK74-1721

GK74-1722

GK74-1723

GK74-1724

GK74-1725

GK74-1726

GK74-1727

GK74-1728

GK74-1729

GK74-1730

GK74-1731

GK74-1732

GK74-1733

GK74-1734

GK74-1735

GK74-1736

GK74-1737

GK74-1738

GK74-1739

GK74-1740

GK74-1741

GK74-1742

GK74-1743

GK74-1744

GK74-1745

GK74-1746

GK74-1747

GK74-1748

GK74-1749

GK74-1750

GK74-1751

GK74-1752

GK74-1753

GK74-1754

GK74-1755

GK74-1756

GK74-1757

GK74-1758

GK74-1759

GK74-1760

GK74-1761

GK74-1762

GK74-1763

GK74-1764

GK74-1765

GK74-1766

GK74-1767

GK74-1768

GK74-1769

GK74-1770

GK74-1771

GK74-1772

GK74-1773

GK74-1774

GK74-1775

GK74-1776

GK74-1777

GK74-1778

GK74-1779

GK74-1780

GK74-1781

GK74-1782

GK74-1783

GK74-1784

GK74-1785

GK74-1786

GK74-1787

GK74-1788

GK74-1789

GK74-1790

GK74-1791

GK74-1792

GK74-1793

GK74-1794

GK74-1795

GK74-1796

GK74-1797

GK74-1798

GK74-1799

GK74-1800

GK74-1801

GK74-1802

GK74-1803

GK74-1804

GK74-1805

GK74-1806

GK74-1807

GK74-1808

GK74-1809

GK74-1810

GK74-1811

GK74-1812

GK74-1813

GK74-1814

GK74-1815

GK74-1816

GK74-1817

GK74-1818

GK74-1819

GK74-1820

GK74-1821

GK74-1822

GK74-1823

GK74-1824

GK74-1825

GK74-1826

GK74-1827

GK74-1828

GK74-1829

GK74-1830

GK74-1831

GK74-1832

GK74-1833

GK74-1834

GK74-1835

GK74-1836

GK74-1837

GK74-1838

GK74-1839

GK74-1840

GK74-1841

GK74-1842

GK74-1843

GK74-1844

GK74-1845

GK74-1846

GK74-1847

GK74-1848

GK74-1849

GK74-1850

GK74-1851

GK74-1852

GK74-1853

GK74-1854

GK74-1855

GK74-1856

GK74-1857

GK74-1858

GK74-1859

GK74-1860

GK74-1861

GK74-1862

GK74-1863

GK74-1864

GK74-1865

GK74-1866

GK74-1867

GK74-1868

GK74-1869

GK74-1870

GK74-1871

GK74-1872

GK74-1873

GK74-1874

GK74-1875

GK74-1876

GK74-1877

GK74-1878

GK74-1879

GK74-1880

GK74-1881

GK74-1882

GK74-1883

GK74-1884

GK74-1885

GK74-1886

GK74-1887

GK74-1888

GK74-1889

GK74-1890

GK74-1891

GK74-1892

GK74-1893

GK74-1894

GK74-1895

GK74-1896

GK74-1897

GK74-1898

GK74-1899

GK74-1900

GK74-1901

GK74-1902

GK74-1903

GK74-1904

GK74-1905

GK74-1906

GK74-1907

GK74-1908

GK74-1909

GK74-1910

GK74-1911

GK74-1912

GK74-1913

GK74-1914

GK74-1915

GK74-1916

GK74-1917

GK74-1918

GK74-1919

GK74-1920

GK74-1921

GK74-1922

GK74-1923

GK74-1924

GK74-1925

GK74-1926

GK74-1927

GK74-1928

GK74-1929

GK74-1930

GK74-1931

GK74-1932

GK74-1933

GK74-1934

GK74-1935

GK74-1936

GK74-1937

GK74-1938

GK74-1939

GK74-1940

GK74-1941

GK74-1942

GK74-1943

GK74-1944

GK74-1945

GK74-1946

GK74-1947

GK74-1948

GK74-1949

GK74-1950

GK74-1951

GK74-1952

GK74-1953

GK74-1954

GK74-1955

GK74-1956

GK74-1957

GK74-1958

GK74-1959

GK74-1960

GK74-1961

GK74-1962

GK74-1963

GK74-1964

GK74-1965

GK74-1966

GK74-1967

GK74-1968

GK74-1969

GK74-1970

GK74-1971

GK74-1972

GK74-1973

GK74-1974

GK74-1975

GK74-1976

GK74-1977

GK74-1978

GK74-1979

GK74-1980

GK74-1981

GK74-1982

GK74-1983

GK74-1984

GK74-1985

GK74-1986

GK74-1987

GK74-1988

GK74-1989

GK74-1990

GK74-1991

GK74-1992

GK74-1993

GK74-1994

GK74-1995

GK74-1996

GK74-1997

GK74-1998

GK74-1999

GK74-2000

GK74-2001

GK74-2002

GK74-2003

GK74-2004

GK74-2005

GK74-2006

GK74-2007

GK74-2008

GK74-2009

GK74-2010

GK74-2011

GK74-2012

GK74-2013

GK74-2014

GK74-2015

GK74-2016

GK74-2017

GK74-2018

GK74-2019

GK74-2020

GK74-2021

GK74-2022

GK74-2023

GK74-2024

GK74-2025

GK74-2026

GK74-2027

GK74-2028

GK74-2029

GK74-2030

GK74-2031

GK74-2032

GK74-2033

GK74-2034

GK74-2035

GK74-2036

GK74-2037

GK74-2038

GK74-2039

GK74-2040

GK74-2041

GK74-2042

GK74-2043

GK74-2044

GK74-2045

GK74-2046

GK74-2047

GK74-2048

GK74-2049

GK74-2050

GK74-2051

GK74-2052

GK74-2053

GK74-2054

GK74-2055

GK74-2056

GK74-2057

GK74-2058

GK74-2059

GK74-2060

GK74-2061

GK74-2062

GK74-2063

GK74-2064

GK74-2065

GK74-2066

GK74-2067

GK74-2068

GK74-2069

GK74-2070

GK74-2071

GK74-2072

GK74-2073

GK74-2074

GK74-2075

GK74-2076

GK74-2077

GK74-2078

GK74-2079

GK74-2080

GK74-2081

GK74-2082

GK74-2083

GK74-2084

GK74-2085

GK74-2086

GK74-2087

GK74-2088

GK74-2089

GK74-2090

GK74-2091

GK74-2092

GK74-2093

GK74-2094

GK74-2095

GK74-2096

GK74-2097

GK74-2098

GK74-2099

GK74-2100

GK74-2101

GK74-2102

GK74-2103

GK74-2104

GK74-2105

GK74-2106

GK74-2107

GK74-2108

GK74-2109

GK74-2110

GK74-2111

GK74-2112

GK74-2113

GK74-2114

GK74-2115

GK74-2116

GK74-2117

GK74-2118

GK74-2119

GK74-2120

GK74-2121

GK74-2122

GK74-2123

GK74-2124

GK74-2125

GK74-2126

GK74-2127

GK74-2128

GK74-2129

GK74-2130

GK74-2131

GK74-2132

GK74-2133

GK74-2134

GK74-2135

GK74-2136

GK74-2137

GK74-2138

GK74-2139

GK74-2140

GK74-2141

GK74-2142

GK74-2143

GK74-2144

GK74-2145

GK74-2146

GK74-2147

GK74-2148

GK74-2149

GK74-2150

GK74-2151

GK74-2152

GK74-2153

GK74-2154

GK74-2155

GK74-2156

GK74-2157

GK74-2158

GK74-2159

GK74-2160

GK74-2161

GK74-2162

GK74-2163

GK74-2164

GK74-2165

GK74-2166

GK74-2167

GK74-2168

GK74-2169

GK74-2170

GK74-2171

GK74-2172

GK74-2173

GK74-2174

GK74-2175

GK74-2176

GK74-2177

GK74-2178

GK74-2179

GK74-2180

GK74-2181

GK74-2182

GK74-2183

GK74-2184

GK74-2185

GK74-2186

GK74-2187

GK74-2188

GK74-2189

GK74-2190

GK74-2191

GK74-2192

GK74-2193

GK74-2194

GK74-2195

GK74-2196

GK74-2197

GK74-2198

GK74-2199

GK74-2200

GK74-2201

GK74-2202

GK74-2203

GK74-2204

GK74-2205

GK74-2206

GK74-2207

GK74-2208

GK74-2209

GK74-2210

GK74-2211

GK74-2212

GK74-2213

GK74-2214

GK74-2215

GK74-2216

GK74-2217

GK74-2218

GK74-2219

GK74-2220

GK74-2221

GK74-2222

GK74-2223

GK74-2224

GK74-2225

GK74-2226

GK74-2227

GK74-2228

GK74-2229

GK74-2230

GK74-2231

GK74-2232

GK74-2233

GK74-2234

GK74-2235

GK74-2236

GK74-2237

GK74-2238

GK74-2239

GK74-2240

GK74-2241

GK74-2242

GK74-2243

GK74-2244

GK74-2245

GK74-2246

GK74-2247

GK74-2248

GK74-2249

GK74-2250

GK74-2251

GK74-2252

GK74-2253

GK74-2254

GK74-2255

GK74-2256

GK74-2257

GK74-2258

GK74-2259

GK74-2260

GK74-2261

GK74-2262

GK74-2263

GK74-2264

GK74-2265

GK74-2266

GK74-2267

GK74-2268

GK74-2269

GK74-2270

GK74-2271

GK74-2272

GK74-2273

GK74-2274

GK74-2275

GK74-2276

GK74-2277

GK74-2278

GK74-2279

GK74-2280

GK74-2281

GK74-2282

GK74-2283

GK74-2284

GK74-2285

GK74-2286

GK74-2287

GK74-2288

GK74-2289

GK74-2290

GK74-2291

GK74-2292

GK74-2293

GK74-2294

GK74-2295

GK74-2296

GK74-2297

GK74-2298

GK74-2299

GK74-2300

GK74-2301

GK74-2302

GK74-2303

GK74-2304

GK74-2305

GK74-2306

GK74-2307

GK74-2308

GK74-2309

GK74-2310

GK74-2311

GK74-2312

GK74-2313

GK74-2314

GK74-2315

GK74-2316

GK74-2317

GK74-2318

GK74-2319

GK74-2320

GK74-2321

GK74-2322

GK74-2323

GK74-2324

GK74-2325

GK74-2326

GK74-2327

GK74-2328

GK74-2329

GK74-2330

GK74-2331

GK74-2332

GK74-2333

GK74-2334

GK74-2335

GK74-2336

GK74-2337

GK74-2338

GK74-2339

GK74-2340

GK74-2341

GK74-2342

GK74-2343

GK74-2344

GK74-2345

GK74-2346

GK74-2347

GK74-2348

GK74-2349

GK74-2350

GK74-2351

GK74-2352

GK74-2353

GK74-2354

GK74-2355

GK74-2356

GK74-2357

GK74-2358

GK74-2359

GK74-2360

GK74-2361

GK74-2362

GK74-2363

GK74-2364

GK74-2365

GK74-2366

GK74-2367

GK74-2368

GK74-2369

GK74-2370

GK74-2371

GK74-2372

GK74-2373

GK74-2374

GK74-2375

GK74-2376

GK74-2377

GK74-2378

GK74-2379

GK74-2380

GK74-2381

GK74-2382

GK74-2383

GK74-2384

GK74-2385

GK74-2386

GK74-2387

GK74-2388

GK74-2389

GK74-2390

GK74-2391

GK74-2392

GK74-2393

GK74-2394

GK74-2395

GK74-2396

GK74-2397

GK74-2398

GK74-2399

GK74-2400

GK74-2401

GK74-2402

GK74-2403

GK74-2404

KONNEKTION RITNING AKF05-08-110-00_020

KONNEKTION RITNING AKF05-08-110-00_022

KOORDINATSYSTEM PLAN: SWEREF 99 1200
KOORDINATSYSTEM I HÖJD: RH 2000

0 10 20 30 40 50 60 70 80 90 100
SKALA 1:1000

RITNINGSBETECKNINGAR

BETECKNINGAR ENLIGT SGF/BGS BETECKNINGSSYSTEM

FÖRKLARINGAR

UNDERSÖKNINGAR MED BETECKNING: OCXXXX, CCXXXX, CHXXXX, HHXXXX, KAXXXX OCH KKXXXX ÄR UTFÖRDA 2012-2013 AV AKF05.

ÖVRIGA UNDERSÖKNINGAR ÄR HÄMTADE UR ARKIV, SE PM F 05 - 001, TIDIGARE UTFÖRDA GEOTEKNISKA UNDERSÖKNINGAR.

ANM.

LINJESTRÄCKNING VERSION 7.00

Denna ritning är Trafikverkets egendom. All obehörig/ obegränsande av ritningen beivras enligt lag
TRAFIKVERKET

XREF: MODELL\AKF05_00_P_AKF05_BLANDNING
MODELL\AKF05_00_P_AKF05_KONSTRUKTIONSYTA
MODELL\AKF05_00_P_AKF05_KORDINATSYSS
MODELL\GEO_00_P_AKF05_GK_KLEMPARKERING
MODELL\GEO_00_P_AKF05_GW
MODELL\GEO_00_P_AKF05_JORD
MODELL\GEO_00_P_AKF05_KRYV
GRUNDKARTOR\GS2019_1_TRV_TRIMMKARTA
SPACEBASE\WN12_245.SPACE_OMRÅDE

2019-09-17	SJ07
2019-09-17	AT58
2019-09-09	SJ21
2019-09-09	AT41
2019-09-10	T18
2014-06-11	T17
2014-06-11	T14
2013-10-23	SJ15
2013-10-23	SJ10

REV	ÄNDRINGEN AV	DATUM	KONSTRUERAD AV	GRANSKAD AV
A	ALLMÄN	2014-06-19		PEDG

KONSTR.UTFÖRD AV	GRANSKAD	UPPDRAGSNUMMER
SWECO/AA	O SKEPP	2305478
GODKÄND	DATUM	KONSULTUPPDRAG
K SANELL	2013-09-30	AKF05

TRAFIKVERKET

VÄSTLÄNKEN
KM 5+300 - 5+500 VKB
GEOTEKNISK UNDERSÖKNING
PLAN

PRODUKT	FÖRUTSÄTTNINGAR
TEKNIKOMRÅDE	GEOTEKNIK
KM	SKALA 1:1000
RITNINGSNR PROJEKT	AKF05-08-110-00_021
RITNINGSNR FÖRVALTNING	BLAD 21 / NÄSTA BL 22 / REV A

KONSTRUERAD AV	GRANSKAD AV	FASTSTÄLLD AV	DATUM	FORMAT
SWECO	A HANSSON			A1

ida_ilenname | plottime | ida_username

View: PLOT1, Drawing: P:\2321\2305478_AKF5 Västlänken\000_AKF5 Västlänken\5ARBETSMATRL_RITN\Ritter\AKF05-08-110-00_021. Drawn by: SEAAND, 2014-06-11 14:00

KONNEKTION RITNING AKF05-08-110-00_021

KOORDINATSYSTEM PLAN: SWEREF 99 1200
KOORDINATSYSTEM I HÖJD: RH 2000

0 10 20 30 40 50 60 70 80 90 100
SKALA 1:1000

RITNINGSBETECKNINGAR

BETECKNINGAR ENLIGT SGF/BGS BETECKNINGSSYSTEM

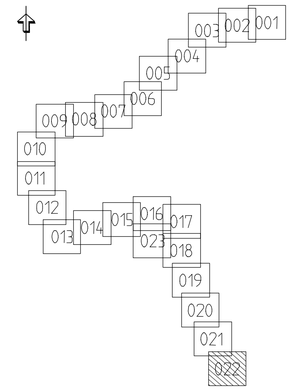
FÖRKLARINGAR

UNDERSÖKNINGAR MED BETECKNING: OCXXXX, CCXXXX, CHXXXX, HHXXXX, KAXXXX OCH KKXXXX ÄR UTFÖRDA 2012-2013 AV AKF05.

ÖVRIGA UNDERSÖKNINGAR ÄR HÄMTADE UR ARKIV, SE PM F 05 - 001, TIDIGARE UTFÖRDA GEOTEKNISKA UNDERSÖKNINGAR.

ANM.

LINJESTRÄCKNING VERSION 7.00



Denna ritning är Trafikverkets egendom. Allt obehörigt begagnande av ritningen tillvarses enligt lag.
TRAFIKVERKET

REV	ÄNDRINGEN AV	DATUM	KONSTRUERAD AV	GRANSKAD AV
A	ALLMÄN	2014-06-19		PEDG

KONSTR./RITAD AV	GRANSKAD	UPPDRAGSNUMMER
SWECO/AA	O SKEPP	2305478
GODKÄND	DATUM	KONSULTUPPDRAG
K SANELL	2013-09-30	AKF05

TRAFIKVERKET

VÄSTLÄNKEN

GEOTEKNISK UNDERSÖKNING
PLAN

PROJEKT	
FÖRUTSÄTTNINGAR	
TEKNOMRÅDE	
GEOTEKNIK	
KM	SKALA 1:1000

RITNINGSNR PROJEKT: AKF05-08-110-00_022 — BANDEL

KONSTRUERAD AV	GRANSKAD AV	FASTSTÄLLD AV	DATUM	FORMAT	RITNINGSNR FÖRVALTNING	BLAD	NÄSTA BL	REV
SWECO	A HANSSON			A1		22		A

ida_itemname — plottime — ida_username

View: PLOT1 Drawing: P:\2321\2305478_AKF5 Västlänken\000_AKF5 Västlänken\5ARBETSMATRL_RITN\Ritat\AKF05-08-110-00_022 Drawn by: SEAAND, 2014-06-11 14:22

XREF MODELL\NO_00_P_AKF05_BLADINDELNING 2013-09-17 14:07
MODELL\NO_00_P_AKF05_KONNEKTIONSRITNING 2013-10-29 15:21
MODELL\NO_00_P_AKF05_KOORDINATSYSS 2013-10-29 15:21
MODELL\NO_00_P_AKF05_PLANFÖRKLARING 2013-09-30 15:48
MODELL\GEO_00_P_AKF05.DGN 2013-09-30 15:50
MODELL\GEO_00_P_AKF05.DWG 2014-06-11 14:30
MODELL\GEO_00_P_AKF05.XRV 2014-06-11 14:30
GRUNDKARTOR\GSD_09_W_TRV_PRIMÄRKARTA.MET SKAPAD: 2014-04-11 13:45

KOORDINATSYSTEM PLAN: SWEREF 99 1200
KOORDINATSYSTEM I HÖJD: RH 2000

0 10 20 30 40 50 60 70 80 90 100
SKALA 1:1000

RITNINGSBETECKNINGAR

BETECKNINGAR ENLIGT SGF/BGS BETECKNINGSSYSTEM

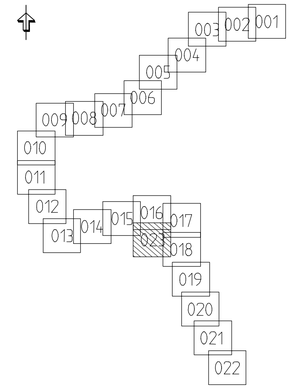
FÖRKLARINGAR

UNDERSÖKNINGAR MED BETECKNING: OCXXXX, CCXXXX, CHXXXX, HHXXXX, KAXXXX OCH KKXXXX ÄR UTFÖRDA 2012-2013 AV AKF05.

ÖVRIGA UNDERSÖKNINGAR ÄR HÄMTADE UR ARKIV, SE PM F 05 - 001, TIDIGARE UTFÖRDA GEOTEKNISKA UNDERSÖKNINGAR.

ANM.

LINJESTRÄCKNING VERSION 7.00



KONNEKTION RITNING AKF05-08-110-00_016

REV	ÄNDRINGEN AV	DATUM	KONSTRUERAD AV	GRANSKAD AV
A	ALLMÄN	2014-06-19		PEDG

KONSTR./RITAD AV: SWECO/AA	GRANSKAD: O SKEPP	UPPDRAGSNUMMER: 2305478
GODKÄND: K SANELL	DATUM: 2013-09-30	KONSULTUPPDRAG: AKF05

TRAFIKVERKET

VÄSTLÄNKEN
KM 461+000 - 461+500
GEOTEKNISK UNDERSÖKNING
PLAN

PROJEKT: FÖRUTSÄTTNINGAR
TEKNOMRÅDE: GEOTEKNIK
KM
SKALA: 1:1000

KONSTRUERAD AV	GRANSKAD AV	FASTSTÄLLD AV	DATUM	FORMAT	RITNINGSNR PROJEKT: AKF05-08-110-00_023			BANDEL
					RITNINGSNR FÖRVALTNING	BLAD	NÄSTA BL	REV
SWECO	A HANSSON			A1		Z3		A

ida_itemname | plottime | ida_username

VERS	MODELLNR	ÄNDRING	DATUM
04	MODELLNR:0.00_P_AKF05_BLADINDELNING		2013-09-17
03	MODELLNR:0.00_P_AKF05_KONSTRUKTIONSYTA		2013-10-29
02	MODELLNR:0.00_P_AKF05_KONSTRUKTIONSYTA		2013-10-29
01	MODELLNR:0.00_P_AKF05_UTKANTSMARKERING		2013-06-30
00	MODELLNR:0.00_P_AKF05_JUV		2013-10-23
00	MODELLNR:0.00_P_AKF05_ARKIV		2014-06-11
00	GRUNDKARTOR:GSD2.08_V_TRV_PRIMÄRKARTA		2014-06-11
00	GRUNDKARTOR:GSD2.08_V_TRV_SEKUNDÄRKARTA		2014-06-11
00	SPÅRGEOMETRI:VZ_453-006_P_0022		2014-06-11

Denna ritning är trafikverkets egendom. All obehörig kopiering av ritningen liksom enligt lag.

TRAFIKVERKET

Under Byggnad

Kv 33 Skoklostret
Kv 14 Stensvärnet
Kv 15 Stensvärnet
Kv 16 Gardsmyren
Kv 85 Urvädret
Kv 88 Alkvädret
Kv 39 Backsvalan
Kv 150 Tornfalken
Kv 44 Gärdesgången
Kv 45 Pilgrimsmusslan

Undrens Trappor
Vargbergsvägen
5000-P Fiederbourgsgatan
Stubbs Vägen
Carlanderspåret
Rosenhillsgatan
Gyllenkrooksgatan
Kristinehofsgatan
Tranebergsallén
Gatebergsled
Nellickevägen
Mollösundsvägen
Mollösundsvägen
Balder

X6397300
Y1497700
X6397200
X6397100
X6397000
X6396900
Y1497600
Y1497500
750.788
750.426
750.572
751.91
751.65
751.16
705.28
707.21
707.26
708.11
708.675
707.176
40.16
40.17
40.32
40.40
39.15
39.10
39.4
39.3
39.2
39.1
33.26
33.25
33.2
33.15
33.14
33.4
33.5
33.13
33.12
33.6
33.11
33.7
33.10
33.8
33.27
14.1
14.2
14.21
14.20
14.19
14.18
14.24
14.23
14.22
14.8
14.17
14.16
14.9
14.25
14.26
14.27
14.11
14.12
14.36
15.22
15.5
15.30
16.10
16.2
85.46
85.15
85.14
85.3
85.4
85.19
85.5
85.6
85.7
85.8
86.12
86.16
86.17
86.18
86.19
86.3
86.4
86.10
86.5
86.6
86.8
86.7
95.6
95.7
150.15
BA1G102
BA1110
U32101
U32102
U32103
U32104
U_I16
U_GK36
U_GK37
U_GK38
U_GK39
U_GK40
U_GK41
U_GK44
U_E13
U_E14
SK99
FBVFB203
FBVFB201
FBVFB204
FBVFB205
FBVFB206
FBVFB208
FBVFB210
FBVFB211
FBVFB212
FBVFB213
FBVFB214
FBVFB215
FBVFB216
FBVFB217
FBVFB218
FBVFB219
FBVFB220
FBVFB221
FBVFB222
FBVFB223
FBVFB224
FBVFB225
FBVFB226
FBVFB227
FBVFB228
FBVFB229
FBVFB230
FBVFB231
FBVFB232
FBVFB233
FBVFB234
FBVFB235
FBVFB236
FBVFB237
FBVFB238
FBVFB239
FBVFB240
FBVFB241
FBVFB242
FBVFB243
FBVFB244
FBVFB245
FBVFB246
FBVFB247
FBVFB248
FBVFB249
FBVFB250
FBVFB251
FBVFB252
FBVFB253
FBVFB254
FBVFB255
FBVFB256
FBVFB257
FBVFB258
FBVFB259
FBVFB260
FBVFB261
FBVFB262
FBVFB263
FBVFB264
FBVFB265
FBVFB266
FBVFB267
FBVFB268
FBVFB269
FBVFB270
FBVFB271
FBVFB272
FBVFB273
FBVFB274
FBVFB275
FBVFB276
FBVFB277
FBVFB278
FBVFB279
FBVFB280
FBVFB281
FBVFB282
FBVFB283
FBVFB284
FBVFB285
FBVFB286
FBVFB287
FBVFB288
FBVFB289
FBVFB290
FBVFB291
FBVFB292
FBVFB293
FBVFB294
FBVFB295
FBVFB296
FBVFB297
FBVFB298
FBVFB299
FBVFB300
FBVFB301
FBVFB302
FBVFB303
FBVFB304
FBVFB305
FBVFB306
FBVFB307
FBVFB308
FBVFB309
FBVFB310
FBVFB311
FBVFB312
FBVFB313
FBVFB314
FBVFB315
FBVFB316
FBVFB317
FBVFB318
FBVFB319
FBVFB320
FBVFB321
FBVFB322
FBVFB323
FBVFB324
FBVFB325
FBVFB326
FBVFB327
FBVFB328
FBVFB329
FBVFB330
FBVFB331
FBVFB332
FBVFB333
FBVFB334
FBVFB335
FBVFB336
FBVFB337
FBVFB338
FBVFB339
FBVFB340
FBVFB341
FBVFB342
FBVFB343
FBVFB344
FBVFB345
FBVFB346
FBVFB347
FBVFB348
FBVFB349
FBVFB350
FBVFB351
FBVFB352
FBVFB353
FBVFB354
FBVFB355
FBVFB356
FBVFB357
FBVFB358
FBVFB359
FBVFB360
FBVFB361
FBVFB362
FBVFB363
FBVFB364
FBVFB365
FBVFB366
FBVFB367
FBVFB368
FBVFB369
FBVFB370
FBVFB371
FBVFB372
FBVFB373
FBVFB374
FBVFB375
FBVFB376
FBVFB377
FBVFB378
FBVFB379
FBVFB380
FBVFB381
FBVFB382
FBVFB383
FBVFB384
FBVFB385
FBVFB386
FBVFB387
FBVFB388
FBVFB389
FBVFB390
FBVFB391
FBVFB392
FBVFB393
FBVFB394
FBVFB395
FBVFB396
FBVFB397
FBVFB398
FBVFB399
FBVFB400
FBVFB401
FBVFB402
FBVFB403
FBVFB404
FBVFB405
FBVFB406
FBVFB407
FBVFB408
FBVFB409
FBVFB410
FBVFB411
FBVFB412
FBVFB413
FBVFB414
FBVFB415
FBVFB416
FBVFB417
FBVFB418
FBVFB419
FBVFB420
FBVFB421
FBVFB422
FBVFB423
FBVFB424
FBVFB425
FBVFB426
FBVFB427
FBVFB428
FBVFB429
FBVFB430
FBVFB431
FBVFB432
FBVFB433
FBVFB434
FBVFB435
FBVFB436
FBVFB437
FBVFB438
FBVFB439
FBVFB440
FBVFB441
FBVFB442
FBVFB443
FBVFB444
FBVFB445
FBVFB446
FBVFB447
FBVFB448
FBVFB449
FBVFB450
FBVFB451
FBVFB452
FBVFB453
FBVFB454
FBVFB455
FBVFB456
FBVFB457
FBVFB458
FBVFB459
FBVFB460
FBVFB461
FBVFB462
FBVFB463
FBVFB464
FBVFB465
FBVFB466
FBVFB467
FBVFB468
FBVFB469
FBVFB470
FBVFB471
FBVFB472
FBVFB473
FBVFB474
FBVFB475
FBVFB476
FBVFB477
FBVFB478
FBVFB479
FBVFB480
FBVFB481
FBVFB482
FBVFB483
FBVFB484
FBVFB485
FBVFB486
FBVFB487
FBVFB488
FBVFB489
FBVFB490
FBVFB491
FBVFB492
FBVFB493
FBVFB494
FBVFB495
FBVFB496
FBVFB497
FBVFB498
FBVFB499
FBVFB500
FBVFB501
FBVFB502
FBVFB503
FBVFB504
FBVFB505
FBVFB506
FBVFB507
FBVFB508
FBVFB509
FBVFB510
FBVFB511
FBVFB512
FBVFB513
FBVFB514
FBVFB515
FBVFB516
FBVFB517
FBVFB518
FBVFB519
FBVFB520
FBVFB521
FBVFB522
FBVFB523
FBVFB524
FBVFB525
FBVFB526
FBVFB527
FBVFB528
FBVFB529
FBVFB530
FBVFB531
FBVFB532
FBVFB533
FBVFB534
FBVFB535
FBVFB536
FBVFB537
FBVFB538
FBVFB539
FBVFB540
FBVFB541
FBVFB542
FBVFB543
FBVFB544
FBVFB545
FBVFB546
FBVFB547
FBVFB548
FBVFB549
FBVFB550
FBVFB551
FBVFB552
FBVFB553
FBVFB554
FBVFB555
FBVFB556
FBVFB557
FBVFB558
FBVFB559
FBVFB560
FBVFB561
FBVFB562
FBVFB563
FBVFB564
FBVFB565
FBVFB566
FBVFB567
FBVFB568
FBVFB569
FBVFB570
FBVFB571
FBVFB572
FBVFB573
FBVFB574
FBVFB575
FBVFB576
FBVFB577
FBVFB578
FBVFB579
FBVFB580
FBVFB581
FBVFB582
FBVFB583
FBVFB584
FBVFB585
FBVFB586
FBVFB587
FBVFB588
FBVFB589
FBVFB590
FBVFB591
FBVFB592
FBVFB593
FBVFB594
FBVFB595
FBVFB596
FBVFB597
FBVFB598
FBVFB599
FBVFB600
FBVFB601
FBVFB602
FBVFB603
FBVFB604
FBVFB605
FBVFB606
FBVFB607
FBVFB608
FBVFB609
FBVFB610
FBVFB611
FBVFB612
FBVFB613
FBVFB614
FBVFB615
FBVFB616
FBVFB617
FBVFB618
FBVFB619
FBVFB620
FBVFB621
FBVFB622
FBVFB623
FBVFB624
FBVFB625
FBVFB626
FBVFB627
FBVFB628
FBVFB629
FBVFB630
FBVFB631
FBVFB632
FBVFB633
FBVFB634
FBVFB635
FBVFB636
FBVFB637
FBVFB638
FBVFB639
FBVFB640
FBVFB641
FBVFB642
FBVFB643
FBVFB644
FBVFB645
FBVFB646
FBVFB647
FBVFB648
FBVFB649
FBVFB650
FBVFB651
FBVFB652
FBVFB653
FBVFB654
FBVFB655
FBVFB656
FBVFB657
FBVFB658
FBVFB659
FBVFB660
FBVFB661
FBVFB662
FBVFB663
FBVFB664
FBVFB665
FBVFB666
FBVFB667
FBVFB668
FBVFB669
FBVFB670
FBVFB671
FBVFB672
FBVFB673
FBVFB674
FBVFB675
FBVFB676
FBVFB677
FBVFB678
FBVFB679
FBVFB680
FBVFB681
FBVFB682
FBVFB683
FBVFB684
FBVFB685
FBVFB686
FBVFB687
FBVFB688
FBVFB689
FBVFB690
FBVFB691
FBVFB692
FBVFB693
FBVFB694
FBVFB695
FBVFB696
FBVFB697
FBVFB698
FBVFB699
FBVFB700
FBVFB701
FBVFB702
FBVFB703
FBVFB704
FBVFB705
FBVFB706
FBVFB707
FBVFB708
FBVFB709
FBVFB710
FBVFB711
FBVFB712
FBVFB713
FBVFB714
FBVFB715
FBVFB716
FBVFB717
FBVFB718
FBVFB719
FBVFB720
FBVFB721
FBVFB722
FBVFB723
FBVFB724
FBVFB725
FBVFB726
FBVFB727
FBVFB728
FBVFB729
FBVFB730
FBVFB731
FBVFB732
FBVFB733
FBVFB734
FBVFB735
FBVFB736
FBVFB737
FBVFB738
FBVFB739
FBVFB740
FBVFB741
FBVFB742
FBVFB743
FBVFB744
FBVFB745
FBVFB746
FBVFB747
FBVFB748
FBVFB749
FBVFB750
FBVFB751
FBVFB752
FBVFB753
FBVFB754
FBVFB755
FBVFB756
FBVFB757
FBVFB758
FBVFB759
FBVFB760
FBVFB761
FBVFB762
FBVFB763
FBVFB764
FBVFB765
FBVFB766
FBVFB767
FBVFB768
FBVFB769
FBVFB770
FBVFB771
FBVFB772
FBVFB773
FBVFB774
FBVFB775
FBVFB776
FBVFB777
FBVFB778
FBVFB779
FBVFB780
FBVFB781
FBVFB782
FBVFB783
FBVFB784
FBVFB785
FBVFB786
FBVFB787
FBVFB788
FBVFB789
FBVFB790
FBVFB791
FBVFB792
FBVFB793
FBVFB794
FBVFB795
FBVFB796
FBVFB797
FBVFB798
FBVFB799
FBVFB800
FBVFB801
FBVFB802
FBVFB803
FBVFB804
FBVFB805
FBVFB806
FBVFB807
FBVFB808
FBVFB809
FBVFB810
FBVFB811
FBVFB812
FBVFB813
FBVFB814
FBVFB815
FBVFB816
FBVFB817
FBVFB818
FBVFB819
FBVFB820
FBVFB821
FBVFB822
FBVFB823
FBVFB824
FBVFB825
FBVFB826
FBVFB827
FBVFB828
FBVFB829
FBVFB830
FBVFB831
FBVFB832
FBVFB833
FBVFB834
FBVFB835
FBVFB836
FBVFB837
FBVFB838
FBVFB839
FBVFB840
FBVFB841
FBVFB842
FBVFB843
FBVFB844
FBVFB845
FBVFB846
FBVFB847
FBVFB848
FBVFB849
FBVFB850
FBVFB851
FBVFB852
FBVFB853
FBVFB854
FBVFB855
FBVFB856
FBVFB857
FBVFB858
FBVFB859
FBVFB860
FBVFB861
FBVFB862
FBVFB863
FBVFB864
FBVFB865
FBVFB866
FBVFB867
FBVFB868
FBVFB869
FBVFB870
FBVFB871
FBVFB872
FBVFB873
FBVFB874
FBVFB875
FBVFB876
FBVFB877
FBVFB878
FBVFB879
FBVFB880
FBVFB881
FBVFB882
FBVFB883
FBVFB884
FBVFB885
FBVFB886
FBVFB887
FBVFB888
FBVFB889
FBVFB890
FBVFB891
FBVFB892
FBVFB893
FBVFB894
FBVFB895
FBVFB896
FBVFB897
FBVFB898
FBVFB899
FBVFB900
FBVFB901
FBVFB902
FBVFB903
FBVFB904
FBVFB905
FBVFB906
FBVFB907
FBVFB908
FBVFB909
FBVFB910
FBVFB911
FBVFB912
FBVFB913
FBVFB914
FBVFB915
FBVFB916
FBVFB917
FBVFB918
FBVFB919
FBVFB920
FBVFB921
FBVFB922
FBVFB923
FBVFB924
FBVFB925
FBVFB926
FBVFB927
FBVFB928
FBVFB929
FBVFB930
FBVFB931
FBVFB932
FBVFB933
FBVFB934
FBVFB935
FBVFB936
FBVFB937
FBVFB938
FBVFB939
FBVFB940
FBVFB941
FBVFB942
FBVFB943
FBVFB944
FBVFB945
FBVFB946
FBVFB947
FBVFB948
FBVFB949
FBVFB950
FBVFB951
FBVFB952
FBVFB953
FBVFB954
FBVFB955
FBVFB956
FBVFB957
FBVFB958
FBVFB959
FBVFB960
FBVFB961
FBVFB962
FBVFB963
FBVFB964
FBVFB965
FBVFB966
FBVFB967
FBVFB968
FBVFB969
FBVFB970
FBVFB971
FBVFB972
FBVFB973
FBVFB974
FBVFB975
FBVFB976
FBVFB977
FBVFB978
FBVFB979
FBVFB980
FBVFB981
FBVFB982
FBVFB983
FBVFB984
FBVFB985
FBVFB986
FBVFB987
FBVFB988
FBVFB989
FBVFB990
FBVFB991
FBVFB992
FBVFB993
FBVFB994
FBVFB995
FBVFB996
FBVFB997
FBVFB998
FBVFB999
FBVFB1000
FBVFB1001
FBVFB1002
FBVFB1003
FBVFB1004
FBVFB1005
FBVFB1006
FBVFB1007
FBVFB1008
FBVFB1009
FBVFB1010
FBVFB1011
FBVFB1012
FBVFB1013
FBVFB1014
FBVFB1015
FBVFB1016
FBVFB1017
FBVFB1018
FBVFB1019
FBVFB1020
FBVFB1021
FBVFB1022
FBVFB1023
FBVFB1024
FBVFB1025
FBVFB1026
FBVFB1027
FBVFB1028
FBVFB1029
FBVFB1030
FBVFB1031
FBVFB1032
FBVFB1033
FBVFB1034
FBVFB1035
FBVFB1036
FBVFB1037
FBVFB1038
FBVFB1039
FBVFB1040
FBVFB1041
FBVFB1042
FBVFB1043
FBVFB1044
FBVFB1045
FBVFB1046
FBVFB1047
FBVFB1048
FBVFB1049
FBVFB1050
FBVFB1051
FBVFB1052
FBVFB1053
FBVFB1054
FBVFB1055
FBVFB1056
FBVFB1057
FBVFB1058
FBVFB1059
FBVFB1060
FBVFB1061
FBVFB1062
FBVFB1063
FBVFB1064
FBVFB1065
FBVFB1066
FBVFB1067
FBVFB1068
FBVFB1069
FBVFB1070
FBVFB1071
FBVFB1072
FBVFB1073
FBVFB1074
FBVFB1075
FBVFB1076
FBVFB1077
FBVFB1078
FBVFB1079
FBVFB1080
FBVFB1081
FBVFB1082
FBVFB1083
FBVFB1084
FBVFB1085
FBVFB1086
FBVFB1087
FBVFB1088
FBVFB1089
FBVFB1090
FBVFB1091
FBVFB1092
FBVFB1093
FBVFB1094
FBVFB1095
FBVFB1096
FBVFB1097
FBVFB1098
FBVFB1099
FBVFB1100
FBVFB1101
FBVFB1102
FBVFB1103
FBVFB1104
FBVFB1105
FBVFB1106
FBVFB1107
FBVFB1108
FBVFB1109
FBVFB1110
FBVFB1111
FBVFB1112
FBVFB1113
FBVFB1114
FBVFB1115
FBVFB1116
FBVFB1117
FBVFB1118
FBVFB1119
FBVFB1120
FBVFB1121
FBVFB1122
FBVFB1123
FBVFB1124
FBVFB1125
FBVFB1126
FBVFB1127
FBVFB1128
FBVFB1129
FBVFB1130
FBVFB1131
FBVFB1132
FBVFB1133
FBVFB1134
FBVFB1135
FBVFB1136
FBVFB1137
FBVFB1138
FBVFB1139
FBVFB1140
FBVFB1141
FBVFB1142
FBVFB1143
FBVFB1144
FBVFB1145
FBVFB1146
FBVFB1147
FBVFB1148
FBVFB1149
FBVFB1150
FBVFB1151
FBVFB1152
FBVFB1153
FBVFB1154
FBVFB1155
FBVFB1156
FBVFB1157
FBVFB1158
FBVFB1159
FBVFB1160
FBVFB1161
FBVFB1162
FBVFB1163
FBVFB1164
FBVFB1165
FBVFB1166
FBVFB1167
FBVFB1168
FBVFB1169
FBVFB1170
FBVFB1171
FBVFB1172
FBVFB1173
FBVFB1174
FBVFB1175
FBVFB1176
FBVFB1177
FBVFB1178
FBVFB1179
FBVFB1180
FBVFB1181
FBVFB1182
FBVFB1183
FBVFB1184
FBVFB1185
FBVFB1186
FBVFB1187
FBVFB1188
FBVFB1189
FBVFB1190
FBVFB1191
FBVFB1192
FBVFB1193
FBVFB1194
FBVFB1195
FBVFB1196
FBVFB1197
FBVFB1198
FBVFB1199
FBVFB1200
FBVFB1201
FBVFB1202
FBVFB1203
FBVFB1204
FBVFB1205
FBVFB1206
FBVFB1207
FBVFB1208
FBVFB1209
FBVFB1210
FBVFB1211
FBVFB1212
FBVFB1213
FBVFB1214
FBVFB1215
FBVFB1216
FBVFB1217
FBVFB1218
FBVFB1219
FBVFB1220
FBVFB1221
FBVFB1222
FBVFB1223
FBVFB1224
FBVFB1225
FBVFB1226
FBVFB1227
FBVFB1228
FBVFB1229
FBVFB1230
FBVFB1231
FBVFB1232
FBVFB1233
FBVFB1234
FBVFB1235
FBVFB1236
FBVFB1237
FBVFB1238
FBVFB1239
FBVFB1240
FBVFB1241
FBVFB1242
FBVFB1243
FBVFB1244
FBVFB1245
FBVFB1246
FBVFB1247
FBVFB1248
FBVFB1249
FBVFB1250
FBVFB1251
FBVFB1252
FBVFB1253
FBVFB1254
FBVFB1255
FBVFB1256
FBVFB1257
FBVFB1258
FBVFB1259
FBVFB1260
FBVFB1261
FBVFB1262
FBVFB1263
FBVFB1264
FBVFB1265
FBVFB1266
FBVFB1267
FBVFB1268
FBVFB1269
FBVFB1270
FBVFB1271
FBVFB1272
FBVFB1273
FBVFB1274
FBVFB1275
FBVFB1276
FBVFB1277
FBVFB1278
FBVFB1279
FBVFB1280
FBVFB1281
FBVFB1282
FBVFB1283
FBVFB1284
FBVFB1285
FBVFB1286
FBVFB1287
FBVFB1288
FBVFB1289
FBVFB1290
FBVFB1291
FBVFB1292
FBVFB1293
FBVFB1294
FBVFB1295
FBVFB1296
FBVFB1297
FBVFB1298
FBVFB1299
FBVFB1300
FBVFB1301
FBVFB1302
FBVFB1303
FBVFB1304
FBVFB1305
FBVFB1306
FBVFB1307
FBVFB1308
FBVFB1309
FBVFB1310
FBVFB1311
FBVFB1312
FBVFB1313
FBVFB1314
FBVFB1315
FBVFB1316
FBVFB1317
FBVFB1318
FBVFB1319
FBVFB1320
FBVFB1321
FBVFB1322
FBVFB1323
FBVFB1324
FBVFB1325
FBVFB1326
FBVFB1327
FBVFB1328
FBVFB1329
FBVFB1330
FBVFB1331
FBVFB1332
FBVFB1333
FBVFB1334
FBVFB1335
FBVFB1336
FBVFB1337
FBVFB1338
FBVFB1339
FBVFB1340
FBVFB1341
FBVFB1342
FBVFB1343
FBVFB1344
FBVFB1345
FBVFB1346
FBVFB1347
FBVFB1348
FBVFB1349
FBVFB1350
FBVFB1351
FBVFB1352
FBVFB1353
FBVFB1354
FBVFB1355
FBVFB1356
FBVFB1357
FBVFB1358
FBVFB1359
FBVFB1360
FBVFB1361
FBVFB1362
FBVFB1363
FBVFB1364
FBVFB1365
FBVFB1366
FBVFB1367
FBVFB1368
FBVFB1369
FBVFB1370
FBVFB1371
FBVFB1372
FBVFB1373
FBVFB1374
FBVFB1375
FBVFB1376
FBVFB1377
FBVFB1378
FBVFB1379
FBVFB1380
FBVFB1381
FBVFB1382
FBVFB1383
FBVFB1384
FBVFB1385
FBVFB1386
FBVFB1387
FBVFB1388
FBVFB1389
FBVFB1390
FBVFB1391
FBVFB1392
FBVFB1393
FBVFB1394
FBVFB1395
FBVFB1396
FBVFB1397
FBVFB1398
FBVFB1399
FBVFB1400
FBVFB1401
FBVFB1402
FBVFB1403
FBVFB1404
FBVFB1405
FBVFB1406
FBVFB1407
FBVFB1408
FBVFB1409
FBVFB1410
FBVFB1411
FBVFB1412
FBVFB1413
FBVFB1414
FBVFB1415
FBVFB1416
FBVFB1417
FBVFB1418
FBVFB1419
FBVFB1420
FBVFB1421
FBVFB1422
FBVFB1423
FBVFB1424
FBVFB1425
FBVFB1426
FBVFB1427
FBVFB1428
FBVFB1429
FBVFB1430
FBVFB1431
FBVFB1432
FBVFB1433
FBVFB1434
FBVFB1435
FBVFB1436
FBVFB1437
FBVFB1438
FBVFB1439
FBVFB1440
FBVFB1441
FBVFB1442
FBVFB1443
FBVFB1444
FBVFB1445
FBVFB1446
FBVFB1447
FBVFB1448
FBVFB1449
FBVFB1450
FBVFB1451
FBVFB1452
FBVFB1453
FBVFB1454
FBVFB1455
FBVFB1456
FBVFB1457
FBVFB1458
FBVFB1459
FBVFB1460
FBVFB1461
FBVFB1462
FBVFB1463
FBVFB1464
FBVFB1465
FBVFB1466
FBVFB1467
FBVFB1468
FBVFB1469
FBVFB1470
FBVFB1471
FBVFB1472
FBVFB1473
FBVFB1474
FBVFB1475
FBVFB1476
FBVFB1477
FBVFB1478
FBVFB1479
FBVFB1480
FBVFB1481
FBVFB1482
FBVFB1483
FBVFB1484
FBVFB1485
FBVFB1486
FBVFB1487
FBVFB1488
FBVFB1489
FBVFB1490
FBVFB1491
FBVFB1492
FBVFB1493
FBVFB1494
FBVFB1495
FBVFB1496
FBVFB1497
FBVFB1498
FBVFB1499
FBVFB1500
FBVFB1501
FBVFB1502
FBVFB1503
FBVFB1504
FBVFB1505
FBVFB1506
FBVFB1507
FBVFB1508
FBVFB1509
FBVFB1510
FBVFB1511
FBVFB1512
FBVFB1513
FBVFB1514
FBVFB1515
FBVFB1516
FBVFB1517
FBVFB1518
FBVFB1519
FBVFB1520
FBVFB1521
FBVFB1522
FBVFB1523
FBVFB1524
FBVFB1525
FBVFB1526
FBVFB1527
FBVFB1528
FBVFB1529
FBVFB1530
FBVFB1531
FBVFB1532
FBVFB1533
FBVFB1534
FBVFB1535
FBVFB1536
FBVFB1537
FBVFB1538
FBVFB1539
FBVFB1540
FBVFB1541
FBVFB1542
FBVFB1543
FBVFB1544
FBVFB1545
FBVFB1546
FBVFB1547
FBVFB1548
FBVFB1549
FBVFB1550
FBVFB1551
FBVFB1552
FBVFB1553
FBVFB1554
FBVFB1555
FBVFB1556
FBVFB1557
FBVFB1558
FBVFB1559
FBVFB1560
FBVFB1561
FBVFB1562
FBVFB1563
FBVFB1564
FBVFB1565
FBVFB1566
FBVFB1567
FBVFB1568
FBVFB1569
FBVFB1570
FBVFB1571
FBVFB1572
FBVFB1573
FBVFB1574
FBVFB1575
FBVFB1576
FBVFB1577
FBVFB1578
FBVFB1579
FBVFB1580
FBVFB1581
FBVFB1582
FBVFB1583
FBVFB1584
FBVFB1585
FBVFB1586
FBVFB1587
FBVFB1588
FBVFB1589
FBVFB1590
FBVFB1591
FBVFB1592
FBVFB1593
FBVFB1594
FBVFB1595
FBVFB1596
FBVFB1597
FBVFB1598
FBVFB1599
FBVFB1600
FBVFB1601
FBVFB1602
FBVFB1603
FBVFB1604
FBVFB1605
FBVFB1606
FBVFB1607
FBVFB1608
FBVFB1609
FBVFB1610
FBVFB1611
FBVFB1612
FBVFB1613
FBVFB1614
FBVFB1615
FBVFB1616
FBVFB1617
FBVFB1618
FBVFB1619
FBVFB1620
FBVFB1621
FBVFB1622
FBVFB1623
FBVFB1624
FBVFB1625
FBVFB1626
FBVFB1627
FBVFB1628
FBVFB1629
FBVFB1630
FBVFB1631
FBVFB1632
FBVFB1633
FBVFB1634
FBVFB1635
FBVFB1636
FBVFB1637
FBVFB1638
FBVFB1639
FBVFB1640
FBVFB1641
FBVFB1642
FBVFB1643
FBVFB1644
FBVFB1645
FBVFB1646
FBVFB1647
FBVFB1648
FBVFB1649
FBVFB1650
FBVFB1651
FBVFB1652
FBVFB1653
FBVFB1654
FBVFB1655
FBVFB1656
FBVFB1657
FBVFB1658
FBVFB1659
FBVFB1660
FBVFB1661
FBVFB1662
FBVFB1663
FBVFB1664
FBVFB1665
FBVFB1666
FBVFB1667
FBVFB1668
FBVFB1669
FBVFB1670
FBVFB1671
FBVFB1672
FBVFB1673
FBVFB1674
FBVFB1675
FBVFB1676
FBVFB1677
FBVFB1678
FBVFB1679
FBVFB1680
FBVFB1681
FBVFB1682
FBVFB1683
FBVFB1684
FBVFB1685
FBVFB1686
FBVFB1687
FBVFB1688
FBVFB1689
FBVFB1690
FBVFB1691
FBVFB1692
FBVFB1693
FBVFB1694
FBVFB1695
FBVFB1696
FBVFB1697
FBVFB1698
FBVFB1699
FBVFB1700
FBVFB1701
FBVFB1702
FBVFB1703
FBVFB1704
FBVFB1705
FBVFB1706
FBVFB1707
FBVFB1708
FBVFB1709
FBVFB1710
FBVFB1711
FBVFB1712
FBVFB1713
FBVFB1714
FBVFB1715
FBVFB1716
FBVFB1717
FBVFB1718
FBVFB1719
FBVFB1720
FBVFB1721
FBVFB1722
FBVFB1723
FBVFB1724
FBVFB1725
FBVFB1726
FBVFB1727
FBVFB1728
FBVFB1729
FBVFB1730
FBVFB1731
FBVFB1732
FBVFB1733
FBVFB1734
FBVFB1735
FBVFB1736
FBVFB1737
FBVFB1738
FBVFB1739
FBVFB1740
FBVFB1741
FBVFB1742
FBVFB1743
FBVFB1744
FBVFB1745
FBVFB1746
FBVFB1747
FBVFB1748
FBVFB1749
FBVFB1750
FBVFB1751
FBVFB1752
FBVFB1753
FBVFB1754
FBVFB1755
FBVFB1756
FBVFB1757
FBVFB1758
FBVFB1759
FBVFB1760
FBVFB1761
FBVFB1762
FBVFB1763
FBVFB1764
FBVFB1765
FBVFB1766
FBVFB1767
FBVFB1768
FBVFB1769
FBVFB1770
FBVFB1771
FBVFB1772
FBVFB1773
FBVFB1774
FBVFB1775
FBVFB1776
FBVFB1777
FBVFB1778
FBVFB1779
FBVFB1780
FBVFB1781
FBVFB1782
FBVFB1783
FBVFB1784
FBVFB1785
FBVFB1786
FBVFB1787
FBVFB1788
FBVFB1789
FBVFB1790
FBVFB1791
FBVFB1792
FBVFB1793
FBVFB1794
FBVFB1795
FBVFB1796
FBVFB1797
FBVFB1798
FBVFB1799
FBVFB1800
FBVFB1801
FBVFB1802
FBVFB1803
FBVFB1804
FBVFB1805
FBVFB1806
FBVFB1807
FBVFB1808
FBVFB1809
FBVFB1810
FBVFB1811
FBVFB1812
FBVFB1813
FBVFB1814
FBVFB1815
FBVFB1816
FBVFB1817
FBVFB1818
FBVFB1819
FBVFB1820
FBVFB1821
FBVFB1822
FBVFB1823
FBVFB1824
FBVFB1825
FBVFB1826
FBVFB1827
FBVFB1828
FBVFB1829
FBVFB1830
FBVFB1831
FBVFB1832
FBVFB1833
FBVFB1834
FBVFB1835
FBVFB1836
FBVFB1837
FBVFB1838
FBVFB1839
FBVFB1840
FBVFB1841
FBVFB1842
FBVFB1843
FBVFB1844
FBVFB1845
FBVFB1846
FBVFB1847
FBVFB1848
FBVFB1849
FBVFB1850
FBVFB1851
FBVFB1852
FBVFB1853
FBVFB1854
FBVFB1855
FBVFB1856
FBVFB1857
FBVFB1858
FBVFB1859
FBVFB1860
FBVFB1861
FBVFB1862
FBVFB1863
FBVFB1864
FBVFB1865
FBVFB1866
FBVFB1867
FBVFB1868
FBVFB1869
FBVFB1870
FBVFB1871
FBVFB1872
FBVFB1873
FBVFB1874
FBVFB1875
FBVFB1876
FBVFB1877
FBVFB1878
FBVFB1879
FBVFB1880
FBVFB1881
FBVFB1882
FBVFB1883
FBVFB1884
FBVFB1885
FBVFB1886
FBVFB1887
FBVFB1888
FBVFB1889
FBVFB1890
FBVFB1891
FBVFB1892
FBVFB1893
FBVFB1894
FBVFB1895
FBVFB1896
FBVFB1897
FBVFB1898
FBVFB1899
FBVFB1900
FBVFB1901
FBVFB1902
FBVFB1903
FBVFB1904
FBVFB1905
FBVFB1906
FBVFB1907
FBVFB1908
FBVFB1909
FBVFB1910
FBVFB1911
FBVFB1912
FBVFB1913
FBVFB1914
FBVFB1915
FBVFB1916
FBVFB1917
FBVFB1918
FBVFB1919
FBVFB1920
FBVFB1921
FBVFB1922
FBVFB1923
FBVFB1924
FBVFB1925
FBVFB1926
FBVFB1927
FBVFB1928
FBVFB1929
FBVFB1930
FBVFB1931
FBVFB1932
FBVFB1933
FBVFB1934
FBVFB1935
FBVFB1936
FBVFB1937
FBVFB1938
FBVFB1939
FBVFB1940
FBVFB1941
FBVFB1942
FBVFB1943
FBVFB1944
FBVFB1945
FBVFB1946
FBVFB1947
FBVFB1948
FBVFB1949
FBVFB1950
FBVFB1951
FBVFB1952
FBVFB1953
FBVFB1954
FBVFB1955
FBVFB1956
FBVFB1957
FBVFB1958
FBVFB1959
FBVFB1960
FBVFB1961
FBVFB1962
FBVFB1963
FBVFB1964
FBVFB1965
FBVFB1966
FBVFB1967
FBVFB1968
FBVFB1969
FBVFB1970
FBVFB1971
FBVFB1972
FBVFB1973
FBVFB1974
FBVFB1975
FBVFB1976
FBVFB1977
FBVFB1978
FBVFB1979
FBVFB1980
FBVFB1981
FBVFB1982
FBVFB1983
FBVFB1984
FBVFB1985
FBVFB1986
FBVFB1987
FBVFB1988
FBVFB1989
FBVFB1990
FBVFB1991
FBVFB1992
FBVFB1993
FBVFB1994
FBVFB1995
FBVFB1996
FBVFB1997
FBVFB1998
FBVFB1999
FBVFB2000
FBVFB2001
FBVFB2002
FBVFB2003
FBVFB2004
FBVFB2005
FBVFB2006
FBVFB2007
FBVFB2008
FBVFB2009
FBVFB2010
FBVFB2011
FBVFB2012
FBVFB2013
FBVFB2014
FBVFB2015
FBV